

IONOSPHERIC DATA IN JAPAN

FOR NOVEMBER 2017
VOL. 69 NO. 11

CONTENTS

Preface	
Introduction	1
A. Ionosphere	
A1. Automatic Scaling	
Hourly Values at Wakkanai ($foF2$, fEs and $fmin$)	4
Hourly Values at Kokubunji ($foF2$, fEs and $fmin$)	7
Hourly Values at Yamagawa ($foF2$, fEs and $fmin$)	10
Hourly Values at Okinawa ($foF2$, fEs and $fmin$)	13
Summary Plots at Wakkanai	16
Summary Plots at Kokubunji	24
Summary Plots at Yamagawa	32
Summary Plots at Okinawa	40
Monthly Medians λF and λEs	48
Monthly Medians Plot of $foF2$	50
A2. Manual Scaling	
Hourly Values at Wakkanai	51
Hourly Values at Kokubunji	65
Hourly Values at Yamagawa	79
Hourly Values at Okinawa	93
f -plot at Wakkanai	108
f -plot at Kokubunji	138
f -plot at Yamagawa	168
f -plot at Okinawa	198

«Real Time Ionograms on the Webhttp://wdc.nict.go.jp/index_eng.html»



NATIONAL INSTITUTE OF INFORMATION
AND COMMUNICATIONS TECHNOLOGY
TOKYO, JAPAN

INTRODUCTION

This Series contains data on ionosphere (I) and solar radio emission (S) obtained at the following stations under the

National Institute of Information and Communications Technology , Japan.

Stations	Geographic(WGS84)		Geomagnetic (IGRF-10(2005))		Technical Method
	Latitude	Longitude	Latitude	Longitude	
*Wakkanai/Sarobetsu	45°10'N	141°45'E	36.4°N	208.9°	Vertical Sounding (I)
Kokubunji	35°43'N	139°29'E	26.8°N	208.2°	Vertical Sounding (I)
Yamagawa	31°12'N	130°37'E	21.7°N	200.5°	Vertical Sounding (I)
Okinawa	26°41'N	128°09'E	17.0°N	198.6°	Vertical Sounding (I)
Hiraiso	36°22'N	140°37'E	27.6°N	209.1°	Solar Radio Emission (S)

* We moved the observation facilities at Wakkanai to Sarobetsu on February 2009. The new observatory is located at approximately 26km south from the old observatory. The observation at Sarobetsu commenced on March 6, 2009.

IONOSPHERE

Ionospheric observations are carried out at the above four stations in Japan by means of vertical sounding using ionosondes. The ionosonde produces ionograms, which are recorded digitally on a computer storage medium. The digitally-recorded ionograms are collected from each station by the central computer and reduced to numerical values and Summary Plots by the automatic processing system. The ionograms obtained at Kokubunji are manually scaled by experienced specialists to supplement automatically-scaled parameters.

A1. Automatic Scaling

Digital ionograms are automatically scaled by the pattern recognition method. The following five characteristics of the ionospheric are listed below. The reliability of these factors has been ascertained by comparison of the automatically-scaled parameters with the manually-scaled values of large amounts of test ionograms.

The published data consist of tabulations of hourly values of three factors (*foF2*, *fEs*, *fmin*) and monthly medians of two factors (*h'Es*, *h'F*), daily Summary Plots and monthly medians plot of *foF2*.

a. Characteristics of Ionosphere

foF2	Ordinary wave critical frequency for the F2 layer
fEs	Highest frequency of the Es layer whether it may be ordinary or extraordinary
fmin	Lowest frequency which shows vertical iono-spheric reflections
h'Es h'F	Minimum virtual height on the ordinary wave for the Es and F layers, respectively

b. Descriptive Letters

The following descriptive letters are used in the tables.

- A Impossible measurement because of the presence of a lower thin layer, for example *Es* (for *foF2*).
- C Impossible measurement because of any failure in observation.
- G Impossible automatic scaling because of very small ionization density of the layer (for *fEs*).
- N Impossible automatic scaling because of complex echoes.
- Blank No digital record because of problems occurring in the auto matic data processing system, but existence of film record.

c. Definitions of CNT, MED, UQ ,and LQ

Median count (CNT) is the number of numerical values from which the median has been computed. In addition to numerical values, the count may include a descriptive letter G.

Median (MED) is defined as the middle value when the numerical values are arranged in order of magnitude, or the average of the two middle values if there is an even number of values.

Upper quartile (UQ) is the median value of the upper half of the values when they are ranked according to magnitude; the **lower quartile (LQ)** is the median value of the lower half.

If CNT is less than 10, there are blank spaces left.

d. Reliability of Automatic Scaling

The results of the comparison between automatically-scaled values and manually-scaled ones showed that hourly values of *foF2* , *fEs* and *fmin* were scaled within a difference of 1 MHz from about 90, 90 and 99%, respectively of the test ionograms.

e. Summary Plot

Daily Summary Plots which are made from quarter-hourly digital ionograms are published to present general ionosphere conditions. The upper and middle parts of a Summary Plot show the diurnal variation of the frequency range of the echoes reflected from the *F* and *E* regions, respectively. The two solid arcing lines indicate the predicted values of *fxE* and *foE* calculated by the method described in the CCIR report 340. The lower part shows the diurnal variation of the virtual height where the echo traces become horizontal.

A2. Manual Scaling

The published data consist of tabulations of hourly values of the ionospheric characteristics and figures of daily *f*-plot.

All symbols and terminology in the tables or figures of ionospheric data are used in accordance with the "URSI Hand-book of Ionogram Interpretation and Reduction (Second Edition) 1972 " and its revision of chapters I-4, published in July 1978.

a. Characteristics of Ionosphere

fxl	Top frequency of spread F trace
foF2 foF1 foE foEs	Ordinary wave critical frequency for the F2 , F1 , E , and Es (including particle type E) layers, respectively
fbEs	Blanketing frequency of the Es layer, e.g. the lowest ordinary wave frequency visible through Es
fmin	Lowest frequency that shows vertical ionospheric reflections
M(3000)F2 M(3000)F1	Maximum usable frequency factor for a path of 3000 km for transmission by the F2 and F1 layers, respectively
h'F2 h'F h'E h'Es	Minimum virtual height on the ordinary wave for the F2 , whole F , E and Es layers, respectively
Types of Es	See below b. (iii)

b. Symbols

(i) Descriptive Letters

The following letters are entered after, or used to replace a numerical value on the monthly tabulation sheets, if necessary.

- A** Measurement influenced by, or impossible because of, the presence of a lower thin layer, for example *Es*.
- B** Measurement influenced by, or impossible because of, absorption in the vicinity of *fmin*.
- C** Measurement influenced by, or impossible because of, any non-ionospheric reason.
- D** Measurement influenced by, or impossible because of, the upper limit of the normal frequency range in use.
- E** Measurement influenced by, or impossible because of, the lower limit of the normal frequency range in use.
- F** Measurement influenced by, or impossible because of, the presence of spread echoes.
- G** Measurement influenced by, or impossible because the ionization density of the layer is too small to enable it to be made accurately.
- H** Measurement influenced by, or impossible because of, the presence of a stratification.
- K** Presence of particle *E* layer.
- L** Measurement influenced or impossible because the trace has no sufficiently definite cusp between layers.
- M** Interpretation of measurement questionable because the ordinary and extraordinary components are not distinguishable.
- N** Conditions are such that the measurement cannot be interpreted.
- O** Measurement refers to the ordinary component.
- P** Man-made perturbations of the observed parameter; or spur type spread *F* present.
- Q** Range spread present.
- R** Measurement influenced by, or impossible because of, attenuation in the vicinity of a critical frequency.
- S** Measurement influenced by, or impossible because of, interference or atmosphericics.
- T** Value determined by a sequence of observations, the actual observation being inconsistent or doubtful.
- V** Forked trace which may influence the measurement.
- W** Measurement influenced or impossible because the echo lies outside the height range recorded.
- X** Measurement refers to the extraordinary component.
- Y** Lacuna phenomena, severe layer tilt.
- Z** Third magneto-electronic component present.

(ii) Qualifying Letters

The following letters are entered in the first column before a numerical value on the monthly tabulation sheets, if necessary.

- A** Less than. Used only when *fbEs* is deduced from *foEs* because total blanketing of higher layer is present.
- D** Greater than.
- E** Less than.
- I** Missing value has been replaced by an interpolated value.
- J** Ordinary component characteristic deduced from the extraordinary component.

M Mode interpretation uncertain.

O Extraordinary component characteristic deduced from the ordinary component. (Used for x-characteristics only.)

T Value determined by a sequence of observations, the actual observation being inconsistent or doubtful.

U Uncertain or doubtful numerical value.

Z Measurement deduced from the third magneto-electronic component.

(iii) Description of Types of *Es*

When more than one type of *Es* trace are present on the ionogram, the type for the trace used to determine *foEs* must be written first. The number of multiple trace is indicated after the type letter.

The types are:

- f** An *Es* trace which shows no appreciable increase of height with frequency.
- l** A flat *Es* trace at or below the normal *E* layer minimum virtual height or below the part *E* layer minimum virtual height.
- c** An *Es* trace showing a relatively symmetrical cusp at or below *foE*. (Usually a daytime type.)
- h** An *Es* trace showing a discontinuity in height with the normal *E* layer trace at or above *foE*. The cusp is not symmetrical, the low frequency end of the *Es* trace lying clearly above the high frequency end of the normal *E* trace. (Usually a daytime type.)
- q** An *Es* trace which is diffuse and non-blanketing over a wide frequency range.
- r** An *Es* trace showing an increase in virtual height at the high frequency end similar to group retardation.
- a** An *Es* trace having a well-defined flat or gradually rising lower edge with stratified and diffuse traces present above it.
- s** A diffuse *Es* trace which rises steadily with frequency and usually emerges from another type *Es* trace.
- d** A weak diffuse trace at heights below 95 km associated with high absorption and large *fmin*.
- n** The designation 'n' is used to denote an *Es* trace which cannot be classified into one of the standard types.
- k** The designation 'k' is used to show the presence of particle *E*. When *foEs* > *foE* (particle *E*) the *Es* type precedes k.

c. Definitions of the CNT, MED, UQ and LQ

Median count (CND) is the number of values from which the median has been computed. In addition to numerical values, the count may include certain descriptive letters.

Median (MED) is the middle value when the numerical values are arranged in order of magnitude, or the average of the two middle values if there is an even number of values.

Upper quartile (UQ) is the median value of the upper half of the values when they are ranked according to magnitude; the **lower quartile (LQ)** is the median value of the lower half.

HOURLY VALUES OF f₀F₂

AT Wakkanai

NOV. 2017

LAT. 45°10.0'N LON. 141°45.0'E SWEEP 1.0 MHz TO 30.0 MHz AUTOMATIC SCALING

H D	00	01	02	03	04	05	06	07	08	09	10	11	12	13	14	15	16	17	18	19	20	21	22	23			
1	A	41	41	32	32	37	43	55	67	64	65	68	71	79	63	62	64	54		28	32	28	32				
2	36	36	37	37	32	32	34	51	58	66	74	78	72	67	61	67	66	50	53	A	36	40	A	A			
3	40	49	50	41	41	40	37	55	74	72	75	81	94	87	72	54	58	42	41	48	42	49	51	52			
4	53	58	58	58	58		54	58	67	72	85	80	99	69	67		72	38	40	42	46	48	51	52			
5	52	52	51	49	46	42	34	54	67	66	76	78	67	62	60	64	54	42	30	34	38	42	42	42			
6	39	36	38	36	38	38	34	54	64	61	61	74	69	58	57	48	58	43	34	42	45	45	45	46			
7	37	38	43	42	43	34	36	50	66	66	66	74	62	60	67	54	48	36	34	34	37	34	34	34			
8	59	32	34		26			35	40		54	47	55	48	51	48	44	34	34	44	32	40	37	36			
9	34	34	32	32		A	N		30	50	54		65		56	40	59	55	46	37	35	37	59	34	36		
10	37	38	34	34	32	31	34	51	62	67	60	68	89	61	64	64	49	34	38	32	34		28	32			
11	36	42	41	48	47	34	34	50	65		N	67	79	61	64	56	54	63	34	A	A	A		38	34	32	
12	36	34	42	42	42	A		29	48	55	64	64	71	52	58	58	48	34		31	32	34	34	34			
13	32	34	34	26	28	34	25	49		N	56	55	58	63	61	56	62	60	29	25	A	29		32	32		
14	34	34	34	31	34	32	28	46	58	62	65	59	65	58	54	57	44	29		32	37	34	41	42			
15	37	37		34	32	32	30	54	63	70	68	66	67	67	59	89	57	34	34	34	34	36	40	37			
16	34	34	32	32	31	26	29	40	56	71	74	89	74	58	61	60	53	33	28	34	37	41	43	44			
17	42	42	36	36	37	34	31	51	54	58	69	74	80	63	61	55	58	42		A	A			38	41	42	37
18	42	42	41	40	34			29	52	65	64	64	72	65	54	56	64	54	34	33	31	34	35	32	35		
19	51	48	48	42	34	34	34	50	58	66	65	66	62	57	57	54	50	139	34	32	41	47	32	47			
20	28	42	34	34	34	34	29	49	54	64	76	67	66	54	54	54	45	34	26	32	34	28	34	38			
21	42	48	37	38	32	29	37	53	57	70	89	80	68	66	56	62	50	41	47	54	58	43	48	42			
22	43	42	48	44	42	37	44	47	61	66	90	76	65	69	68	54	50	36		A	30	34	35	36	40		
23	40	38	32	37	37			28	54	64	58	70	70	80	69	61	58	57	25	34	42	40	42	38	37		
24	37	34	34	32	32	59		48	54	53	65	77	70	61	62	54	55	31	32	33	34	34	35	34			
25	35	34	34	34	31	30	29	49	54	89	66	69	66	66	59	54	50	34		A	34	32	34	34	37		
26	41	40	42	42	45	40	34	52	58	60	68	72	61	55	61	59	41	34	38	42	42	40	41	48			
27	42	42	42	40	40	40	34	46	58	58	62	63	64	57	51	59	48	36		A	42	40	38	34	40		
28	34	40	31	52	51	44	32	42	54	55	65	62	59	58	58	49	47		N	34	37	44	37	42			
29	50	48	47	54	38	34	29	42	49	54	67	56	61	54	61	52	51	34	85	28	31	30	38				
30	46	49	48	47	50	34	29	48	53	49	63	67	57	62	61	55	58	36	A	A		43	48	50			
31																											
	00	01	02	03	04	05	06	07	08	09	10	11	12	13	14	15	16	17	18	19	20	21	22	23			
CNT	29	30	29	29	29	24	28	30	29	27	30	29	30	30	30	29	30	29	21	25	28	28	27	27			
MED	39	40	38	38	37	34	33	50	58	64	66	70	66	61	60	55	52	34	34	34	37	38	37	38			
U Q	42	42	45	43	42	39	34	53	64	67	74	77	71	66	61	62	58	41	39	42	41	42	42	44			
L Q	35	34	34	34	32	32	29	48	54	58	64	65	62	57	56	54	48	34	32	32	34	34	34	35			

HOURLY VALUES OF fES

AT Wakkanai

NOV. 2017

LAT. 45°10.0'N LON. 141°45.0'E SWEEP 1.0 MHz TO 30.0 MHz AUTOMATIC SCALING

H D	00	01	02	03	04	05	06	07	08	09	10	11	12	13	14	15	16	17	18	19	20	21	22	23		
1	26	G	G	G	G	G	11	54	32	39	40	38	50	33	29	24	G	27		G	28	G	G			
2	G	G	G	G	G	G	G	48	G	34	37	31	50	42	38	34	31	30	47	35	G	G	32	38		
3	30	25	G	G	G	G	G	G	33	35	46	40	36	28	30	47	G	G	G	G	25	28	28	24		
4	25	G	55	26		28	48	34	39	50	37	30	58	38		48	35	G	G	33	32	30	G			
5	G	G	G	G	G	G	G	28	33	42	46	40		G	G	36	32	29	38	G	G	33	G	G	G	
6	G	G	G	G	G	G	31	29	126	52	33	42	37	52	28		G	G	38	G	G	G	28	28		
7	28	G	G	G	G	G	G	48	34	34	106	52	34	33	30		G	25	29	G	G	G	G	G	G	
8	G	G	58		G		29	28	32	33	36	48		G	G	G	G	G	G	30	G	28	G	G		
9	G	G	G	G	38	G	G	34	40	45	64		56	46	35	32	29	G	G	G	G	26	59	28		
10	27	26	25		G	G	G	125	28	40	40	35	58	71		27	25	34	G	G	G	G	G	G	G	
11	25	G	G	G	G	G	G	32	41	41	55	31	42	32	33	33	28	32	108	55	53	26	28	G		
12	G	G	G	G	27	50	G	28	39	40	42	44	50	50	26	33	20	31		G	54	28	G	G		
13	33	25	33	26	G	34	50	26	28	104	54	56	32	28	34	33	20	G	59	60	27	33	G	G		
14	G	G	G	G	26	28	G	40	39	43	38	28	29		G	41	46	G	25	G	25	G	G			
15	G	32	38	29	G	G	G	58	35		52		G	G	G	19	26	G	32	33	34	G				
16	G	25	G	G	G	G	G	124	33	39	46	34	35	34	32		11	11		G	G	G	G	G		
17	G	G	33	29	29	G	G	34	32	58	30	64	33	31	33		G	29	70	107	58	G	G	G		
18	G	G	92	G	G	G	G	38	29	92	51	59	32	48	26		G	11	G	G	G	G	G	G		
19	G	28	G	G	G	G	G	40	36	49	50	150	28		G	G	46	G	G	G	G	G	G	27		
20	G	G	G	G	11	G	48	46	28	28	48		G	G	G		11	G	G	G	G	G	G	G		
21	G	G	G	G	G	G	33	24	33	G	G	G	48	44		G	G	G	G	G	G	G	G	G		
22	G	G	121	G	G	G	60	166	105	86	G	G	G	G	G	11	32	34	29	G	G	G	G	G		
23	G	G	G	G	G	G	91	50	28	29	29	33	47	38		G	11	26	G	G	G	G	G			
24	32	G	G	G	71	G	G	35	34	28	49		33	26	32	29		G	G	G	G	28	G			
25	G	G	G	G	G	G	26	34	28	27	28	39	33	69	46	11	G	29	G	G	G	G	G			
26	G	G	G	G	G	G	34	40	40	34	34	33	34	77	27		G	G	G	G	G	G	G			
27	27	28	G	G	G	G	G	30	34	34	34	G	G	48	46		G	45	40	33	G	G	G			
28	28	29	G	G	G	G	G	30	44	32	40	41	38	41	32	11	G	28	32	G	39	G				
29	G	G	G	G	G	G	41	28	49	G	G	124	28	26	77		G	95	84	G	G	G				
30	G	G	G	G	G	G	G	48	44	38	48	51	106	35	40	39	60	113	69	G	33	G				
31																										
	00	01	02	03	04	05	06	07	08	09	10	11	12	13	14	15	16	17	18	19	20	21	22	23		
CNT	30	30	30	29	30	26	30	30	30	30	30	29	30	30	29	30	30	30	27	30	30	30	30	28		
MED	G	G	G	G	G	G	28	34	36	43	34	36	33	32	26	22	G	G	G	G	G	G	G	G		
U Q	27	G	G	G	G	G	48	41	41	50	43	50	48	38	33	31	31	45	30	32	26	28	G			
L Q	G	G	G	G	G	G	G	32	33	34	28	29	28	26	G	11	G	G	G	G	G	G	G			

HOURLY VALUES OF fmin AT Wakkanai

NOV. 2017

LAT. 45°10.0'N LON. 141°45.0'E SWEEP 1.0 MHz TO 30.0 MHz AUTOMATIC SCALING

H D	00	01	02	03	04	05	06	07	08	09	10	11	12	13	14	15	16	17	18	19	20	21	22	23	
1	20	14	14	15	14	14	14	18	14	15	14	15	15	16	15	14	17	15		14	15	15	15		
2	14	14	15	14	14	14	14	16	14	17	15	16	15	14	14	14	14	16	14	14	15	14	15	14	
3	14	14	22	14	15	14	14	21	14	15	15	17	14	15	15	22	18	14	15	15	14	16	20	15	
4	16	14	15	14	15		14	20	14	15	15	15	14	14	14		14	15	14	14	14	14	14	14	
5	15	14	14	14	14	15	15	17	14	14	14	14	15	14	14	14	14	14	15	14	14	14	15	14	
6	14	14	14	14	14	14	14	14	14	14	14	15	14	15	14	14	14	17	14	14	15	14	18	15	15
7	14	14	14	15	14	14	14	20	14	14	14	14	14	14	14	14	14	18	14	15	14	15	14	14	14
8	14	15	14		20		17	14	14	14	17	14	15	14	14	14	18	15	18	18	15	14	16	14	14
9	14	14	15	15	15	18	18	15	14	14	15		14	14	14	15	14	15	14	15	14	14	14	15	
10	14	15	15	14	18	14	14	18	14	15	14	14	14	14	14	14	15	14	33	14	22	15	18	16	
11	14	15	14	14	14	14	14	15	14	14	14	14	14	14	14	14	14	18	14	14	14	14	14	14	
12	14	14	14	15	14	14	14	18	14	15	15	16	15	15	18	14	17	14		15	14	14	15	14	
13	14	14	14	15	14	14	14	18	14	14	15	15	17	15	16	15	16	15	14	14	14	14	14	14	
14	14	14	14	14	14	14	14	18	14	17	14	15	17	18	24	21	16	14		14	14	15	14	14	
15	15	14	14	14	14	14	14	16	15	15	15	18	16	15	14	15	17	14	15	21	14	14	14	14	
16	15	14	15	15	14	14	14	18	14	14	14	14	14	14	14	14	21	14	14	15	15	14	14	14	
17	14	14	14	14	14	15	15	14	14	15	15	14	14	14	14	15	18	14	14	14	14	14	14	14	
18	14	14	14	14	14		21	20	20	17	15	15	14	15	15	22	14	18	15	15	14	14	14	14	
19	14	14	15	14	14	17	15	15	14	15	14	15	15	14	15	21	15	14	20	17	15	14	14	14	
20	14	14	14	14	15	14	14	18	14	14	14	16	20	18	16	21	14	14	15	14	15	14	14	14	
21	15	14	14	14	14	14	15	17	15	14	17	18	28	16	14	22	14	15	14	15	14	15	14	14	
22	14	14	14	16	15	14	14	18	21	22	33	28	29	26	21	16	14	14	15	14	14	14	15	15	
23	15	14	14	15	20		16	18	14	14	14	15	15	14	14	22	15	14	15	14	14	14	14	14	
24	14	14	14	14	14	14	17	17	14	14	14	14	14	14	14	15	14	14	14	14	15	16	15	14	
25	15	14	15	15	15	14	14	18	14	14	15	15	14	14	14	15	14	16	14	14	14	14	14	14	
26	14	14	14	14	14	14	15	15	14	14	14	14	14	14	14	14	20	15	20	14	14	14	16	14	17
27	14	14	15	14	14	14	15	15	14	14	14	15	14	17	15	20	14	18	15	14	14	15	14	14	
28	15	14	14	14	14	14	15	18	15	18	14	14	14	17	14	14	15	17	14	14	15	14	14	14	
29	14	14	14	14	14	14	15	18	22	24	28	30	28	27	21	20	14	18	14	15	17	14	14	14	
30	14	14	14	14	14	15	14	15	18	27	26	26	18	23	22	15	14	14	14	14	14	21	14	15	
31																									
	00	01	02	03	04	05	06	07	08	09	10	11	12	13	14	15	16	17	18	19	20	21	22	23	
CNT	30	30	30	29	30	26	30	30	30	30	30	29	30	30	29	30	30	30	27	30	30	30	30	28	
MED	14	14	14	14	14	14	14	18	14	14	15	15	15	14	14	15	15	14	14	14	14	14	14	14	
U Q	15	14	15	15	15	14	15	18	14	15	15	16	16	16	15	21	17	16	15	15	15	15	15	14	
L Q	14	14	14	14	14	14	14	15	14	14	14	14	14	14	14	14	14	14	14	14	14	14	14	14	

HOURLY VALUES OF f₀F₂

AT Kokubunji

NOV. 2017

LAT. 35°43.0'N LON. 139°29.0'E SWEEP 1.0 MHz TO 30.0 MHz AUTOMATIC SCALING

H D	00	01	02	03	04	05	06	07	08	09	10	11	12	13	14	15	16	17	18	19	20	21	22	23	
1	32	34	A	34	26	31	40	51	53	62	62	58	74	68	80	79	58	41	38	A	25	A	30	27	
2	34	32	24	36	34		35	51	64	77	83	70	66	71	70	69	62	47	A	A	A	A	37		
3	36	35	36	39	37	28	42	54	58	77	73	71	70	96	88	68	58	54	A	A	36	37	37	31	
4	37	37	32		A	A	34	44	71	54	70	75	82	84	84	71	61	67	48	30	35	25	36	42	37
5	34	36	23	38	39	37	42	64		61	71	80	82	56	54	56	56	44	27	28	36	36	37	32	
6	32	34	32	26	24		34	51	64	61	68	56	62	62	67	59	55	50	27	32	38	42	40	34	
7	32	34	36	37	38	28	38	52	55	67	70	66	71	63	55	64	53	36	31	36	37	38		N	
8	36	38	39			N		64	54	51	65	80	68	78	84	65	59	41	32	34	35	36	34		N
9	37	35	28	27	25		30	51	64	80	97	65	65	63	65	62	63	39	36	36	36	34	31		
10	N	A	A	A	A	27	32	50	69	78	82	81	59	65	65	65	65	41	A	41	25	30	26		
11	34		31	32	37		34	63	72	67	68	75	69	A		68	60	49	47	31	32	A	34	36	34
12	34	33	32	31	34	28	34	59	65	71	65	65	65	67	64	66	58	42	A	31	30	27	26	27	
13	27		A	48	48	49		48	48	51	59	56	65	59	60	82	62	51	30	A	26		21	25	
14	26	48	48	58		N	N	27	45	55	64	80	66	68	65	65	65	52	31	A	36	27	31	32	
15	34	31	34	27		28	32	54	54	66	94	77	64	65	65	55	58	48	27	31	27	30	31		
16	26		N	25	30	34		34	48	59	74	100	87	71	69				A	30	31	34	27	34	
17	34	34	32	32	32		N	27	50	64	62	80	69	62	75	62	62	65	41	28	32	32	32	32	
18	32	32	32		25	28	34	53	64	62	80	65	72	62	63	62	57	38	30	32	A	A	A	A	
19	A		32	31	32	32	N	28	54	66	68	68	70	61	62	51	52	51	36	31	37	40	32	31	
20	25	27	A	31	30		N	27	54	60	65	62	68	70	61	62	54	44	32	32	30	31	31	28	
21	34	31	31	31	31		N	27	53	72	65	65	72	72	63	54	54	52	48	47	43	39	44	27	32
22	34	34	32	31	31		N	38		54	69	72	80	72	68	58	55	49	41	28	27	32	31	35	
23	32	58	34	31	26		N	28	54	54	64	74	71	69	85	81	66	48	36	27	31	21	34	36	36
24	34	34	32	37	23		N	51	63	53	61	72	75	69	74	53	51	41	34	36	32	30	A	N	27
25	A	A	26	27	27			26	54	51	61	69	58	68	69	67	58	51	44	A	23	32			
26	A	27	27	30		A		N	61	64	64	65	67	61	56	48		A	N	34	30	A	N	30	
27	A	30	30	27	48		N	26	49	51	56	61	64	71	60	52	57	46	39	34	32	31	34	A	N
28	26	34	27	27	27	27	26	47	52	54	58		N	58	54	54	54	46	A	A	A	A	A	32	
29	39	38	42	37	37	37	40	51	55	56	62	61	64	67	68	66	52	A	A			A	A	A	36
30	32	32	30	30	31	31	36	51	50	55	65	64	65	61	59	65	54	43	37	A	32	37	34	30	
31																									
	00	01	02	03	04	05	06	07	08	09	10	11	12	13	14	15	16	17	18	19	20	21	22	23	
CNT	25	25	28	26	24	13	28	29	28	30	30	29	30	29	29	29	29	26	17	22	24	22	20	23	
MED	34	34	32	31	32	28	34	51	56	64	68	69	68	65	65	62	53	41	31	32	32	34	32	32	
U Q	34	35	34	37	37	32	38	54	64	69	80	76	71	69	70	65	58	47	35	35	36	37	36	34	
L Q	32	32	27	30	26	28	27	50	54	61	64	64	64	62	58	55	50	38	28	30	30	31	30	28	

HOURLY VALUES OF fES AT Kokubunji

NOV. 2017

LAT. 35°43.0'N LON. 139°29.0'E SWEEP 1.0 MHz TO 30.0 MHz AUTOMATIC SCALING

D	00	01	02	03	04	05	06	07	08	09	10	11	12	13	14	15	16	17	18	19	20	21	22	23			
1	G	G	26	25	26	26	27	27	38	N	127	39	39	G	45	42	51	31	33	42	24	28	G	G			
2	G	G	G	G	G		G		45	31	38	45	37	43	31	G	52	46	53	43	53	70	56	71	29		
3	32	G	G	G	11	G	G		26	49	29	43	42	31	36	G	43	45	28	43	33	G	G	G	G		
4	G	33	30	67	35	29	25	27	37	34	33	37	G	G	41	37	28	45	G	G	G	G	G	27			
5	G	G	26	G	G	G	G		33	42	35	37	46	31	33	29		24	G	G	G	G	32	G			
6	G	G	G	G	G		G	27	35	36	42	53	G	42	39	33	37	28	32	45	G	G	G	G			
7	G	26	G	G	G	G	G		29	34	33	G	G	43	G	44	36	29	29	G	G	G	G	G			
8	G	G	24			G		31	37	52	37	G	G	G		28	G	G	G	G	G	27	G				
9	27	28	G	G	G		G		26	49	42	106	129	37	34	29	11	G	G	G	G	G	G	G	G		
10	G	31	27	28	33	G	G		29	35	30	37	60	37	37	39	39		28	74	30	34	G	G	31	G	
11	G		G	23	G		G		28	35	42	36	39	45	72	36	43	45	42	31	G	34	28	29	G		
12	G	G	G	G	G		G	27	33	34	56	52	49	36	G	36	31	34	28	33	G	G	G	G	G		
13	G	29	G	G	G	G	G		24	32	37	N	43	34	G	G	29	31		28	G	G	G	G	G		
14	G	G	G	G	11	G	G		32	39	G	31	G	29	G	80	55	32		26	G	G	G	G	G		
15	G	G	G	G	G	G	G		24	29	33	42	50	32	51	G	G	G		33	G	G	G	G	29		
16	G	G	G	G	G		G		30	37	41	45	36	64	40						37	G	G	G	G	G	
17	G	G	G	G	G	G	G		29	32	41	40	33	35	G	29	40	27	36	G	G	G	G	G	G		
18	G	29	27		G	G	G		28	38	37	87	78	61	45	165	37	27	37	G	G	41	40	55	41	G	
19	29	G	G	G	G	G	G		34	33	29	35	43	36	31	29	49	38	26	26	G	27	25		G		
20	G	27	33	G	G	G	G		29	29	43	33	30	54	34	47	G	28	G	G	G	G	G	G	G	G	
21	G	G	G	G	G	G	G		29	38	36	29	33	G	G	G		27	33	G	G	G	G	G	G		
22	G	G	G	G	G	G	G		32	31	40	35	G	40	G	40	40	11	G	G	G	G	G	G	G	G	
23	G	G	G	G	G	G	G		29	29	31	37	46	46	47	G	G	28	11	G	26	27	G	G	G		
24	G	G	G	29	G	G	G		28	33	40	42	37	35	34	G	G	G	11	G	G	G	G	G	32		
25	35	28	G	G	G		G		46	28	40	41	43	144	34	34	29	29	37	31	G	28	31	G	G	G	
26	30	G	27	29	G	G	G		32	35	40	35	40	G	63	88	39	33	G	G	G	51	G		G		
27	28	G	28	G	G	G	G		29	31	46	41	37	35	36	34	29	28	29	G	G	G	G	36	G		
28	G	G	G	G	G	G	G		115	32	35	42	G	35	42	42	61	33	43	31	29	26	70	43	27		
29	26	31	27	36	26	G	G	G	25	G	G	35	G	32	43	43	27	42	34		47	55	32				
30	G	29	G	G	G	G	G		47	34	35	33	G	69	35	59	G	11	29	37	25	26	28	32			
31																											
	00	01	02	03	04	05	06	07	08	09	10	11	12	13	14	15	16	17	18	19	20	21	22	23			
CNT	30	29	30	29	29	23	30	30	29	29	29	30	30	30	29	29	29	29	29	27	28	29	30	28	29		
MED	G	G	G	G	G	G	G	28	33	37	40	37	36	34	34	36	29	29	29	G	G	G	G	G	G		
U Q	G	28	26	23	6	G	G	30	37	41	42	43	45	42	40	43	39	37	33	28	25	28	28	28	28		
L Q	G	G	G	G	G	G	G	24	31	33	34	33	31	G	G	28	14	17	G	G	G	G	G	G			

HOURLY VALUES OF fmin AT Kokubunji

NOV. 2017

LAT. 35°43.0'N LON. 139°29.0'E SWEEP 1.0 MHz TO 30.0 MHz AUTOMATIC SCALING

H D	00	01	02	03	04	05	06	07	08	09	10	11	12	13	14	15	16	17	18	19	20	21	22	23
1	14	14	14	14	15	14	15	14	14	15	20	20	18	33	18	20	15	14	14	15	15	14	14	18
2	14	15	20	15	14		14	15	15	15	20	23	22	22	29	18	14	15	13	15	14	13	14	14
3	14	15	17	14	14	14	14	17	15	18	22	20	18	17	20	14	14	13	14	13	13	14	13	15
4	14	17	14	13	13	13	14	14	14	14	17	18	17	15	14	18	14	15	15	14	22	17	14	13
5	13	17	15	14	14	14	14	14		15	17	20	14	14	13	14	20	15	20	18	17	14	14	14
6	17	17	15	18	15		17	17	15	18	17	18	14	34	17	15	15	15	15	20	15	14	14	14
7	18	14	18	18	21	17	14	14	17	15	33	34	22	13	13	13	14	14	20	15	18	15		20
8	18	14	14	17			17	15	14	18	18	18	20	20	18	15	20	17	18	17	21	14	18	
9	14	14	18	15	17		14	18	14	18	17	22	20	22	17	14	14	15	14	17	15	17	18	21
10	21	14	15	14	14	18	15	14	15	22	21	20	20	17	15	17	20	18	14	17	14	15	15	14
11	15		14	15	14		14	13	17	15	18	18	20	20	17	13	14	14	14	20	14	14	14	21
12	20	20	15	17	17	18	14	15	13	15	17	18	37	21	14	14	14	14	13	21	20	17	14	
13	20	15	17	15	17	17	21	17	13	14	15	18	22	15	18	25	14	14		21	13	14	17	14
14	14	14	14	14	13	18	13	21	14	17	18	21	18	22	37	17	15	13		20	14	14	15	13
15	14	14	14	14	17	15	14	22	14	13	14	17	18	18	14	25	20	13		14	14	15	14	15
16	15	15	14	14	17		14	14	14	15	14	15	20	13				13	15	15	14	14	14	
17	14	14	14	15	15	15	18	14	14	14	15	17	20	18	20	20	18	14	14		15	14	14	14
18	14	14	15		14	13	14	14	17	17	17	17	18	17	18	18	20	18	20	20	17	14	17	14
19	14	17	17	17	15	17	14	20	17	14	17	14	14	18	17	14	21	14	18	15	14	14	15	14
20	15	17	14	14	18	15	18	15	15	17	18	18	18	17	15	15	13	17	17	15	20	15		15
21	22	14	21	15	18	20	15	14	18	18	18	20	20	21	18	25	14	17	17	20	14	14	17	17
22	15	14	15	14	14	17	14	14	14	15	17	46	21	30	17	23	14	17	18	15	17	15	20	14
23	13	14	14	14	14	15	15	14	25	18	20	21	18	14	17	14	18	15	14	14	14	13	13	14
24	15	14	17	15	17	18	17	14	15	14	17	18	17	20	17	13	21	14	15	14	14	17	20	15
25	14	14	20	15	14		17	22	14	17	17	20	17	15	15	15	20	14	15	18	17	14	14	15
26	14	20	18	14	13	17	14	17	22	17	17	20	20	14	17	14	14	15	15	14	17	15	17	15
27	15	13	13	18	14	14	18	14	17	20	17	21	20	15	14	14	18	14	18	14	14	14	15	17
28	17	21	14	18	15	14	15	21	15	13	14	18	15	17	17	18	14	20	14	14	18	15	15	14
29	14	14	15	14	14	14	15	20	18	17	18	21	39	21	22	21	15	14	14		13	14	14	
30	14	14	14	14	14	17	14	20	14	26	20	21	21	25	21	20	15	14	14	14	14	14	14	13
31																								
	00	01	02	03	04	05	06	07	08	09	10	11	12	13	14	15	16	17	18	19	20	21	22	23
CNT	30	29	30	29	29	23	30	30	29	30	30	30	30	30	29	29	29	29	27	28	29	30	28	29
MED	14	14	15	15	14	15	14	15	15	16	17	20	20	18	17	15	15	15	15	15	15	14	14	14
U Q	17	17	17	16	17	17	17	18	17	18	18	21	20	21	18	20	20	16	18	18	17	15	17	15
L Q	14	14	14	14	14	14	14	14	14	15	17	18	18	15	15	14	14	14	14	14	14	14	14	14

HOURLY VALUES OF f₀F₂

AT Yamagawa

NOV. 2017

LAT. 31°12.0'N LON. 130°37.0'E SWEEP 1.0 MHz TO 30.0 MHz AUTOMATIC SCALING

H D	00	01	02	03	04	05	06	07	08	09	10	11	12	13	14	15	16	17	18	19	20	21	22	23	
1	34	34	35	34	34	34	29	52	51	61	68	72	77	74	67	82	71	51	44	36	34	34	32	A	
2	34	35	36	34	44	B	B	54	60	67	84	77	65	70	84	90	78	51	46	A	36	36	59	28	
3	32	A	A	42	55	28	29	51	176	52	65	72	60	91	110	81	52	169	64	47	A	28	34	28	
4	34	33	B	34	44	22	A	52	59	64	72	82	75	84	82	74	67	49	45	29	30	32	A	34	
5	A	32	32	32	36	26		51	65	62	71	85	82	82	64	58	57	48	44	A	A	59	40	32	
6	A	31	A	32	31	49	28	54	54	54	60	71	57	62	72	67	60	53	40	A	A	36	32	26	
7	59	28	59	30	32	A	B	44	52	54	60	85	78	71	56	77	57	51	38	41	36	41	31	32	
8	34	34	44	B	N	N	B	67	53	67	76	106	76	85	94	78	60	51	37	34	A	37	37	40	
9	34	A	34	32		B	A	42	67	88	N	81	65	72	77	77	63	50	42	34	34	37	34	A	
10	32	34	A	32	31	29	32	51	67	64	90	94	64	62	64	77	74	53	46	39	40	34	34	26	
11		28	28	31	45	A	N	47	78	64	65	82	78	61	65	72	A	47	40	A	A	32	34		
12	A	A	31	32	37	31	28	53	50	54	66	74	A	69	80	64	65	58	41	49	B	28	28	28	
13	28	28	28	26	34	26	B	45	50	57	66	79	64	67	70	72	64	48	32		28	28	36	41	
14	38	34	34	32	36	N	N	44	54	53	87	86	64	75	64	72	65	45	23	59	28	38	34	A	
15	32	34	34	30	31	23	29	49	54		C	C	B	84	63	71	67	71	54	40	35	37	38	34	30
16	B	A	A	34	40		26	52	59	64	91	86	72	75	72	82	57	56	42	A	A	34	26	34	
17	28	28	26	26	34	N	A	50	54	52	75	81	66	82	82	66	70	54	34	N	32	35	59	B	
18	32	A	34	32	32	B	29	44	54	65	65	73	70	70	71	70	64	54	34	32	34	28	A	28	
19	28	A	A	32	30	49	45	54	62	76	72	67	64	67	64	58	48	34	A	A	36	40	B		
20	N	29	30	A	30	29	29	48		N	73	70	68	85	91	85	58	54	50	42	34	A	49	34	30
21	B	34	49	37	41	31	24	48	54	64	56	69	75	75	57	50	58	55	52	38	32	37	36	28	
22	49	34	34	34	42	28	29	46	51	66	68	78	62	78	68	63	60	52	26	32	49		31	34	
23	24	36	37	31	28	N	N	42	54	63	54	70	78	94	77	72	56	42	33	28	34	49	32	28	
24	30	31	31	34	34	B	N	44	54	67	64	67	76	77	80	70	54	52	34	31	34	59		B	
25	28	30	A	A	32	B	N	44	54	54	64	59	64	71	82	69	67	54	42	28	28	N	N	26	
26	28	24	30	26	49	26	30	44	54	61	59	64	61	75	75	67	57	51	34	A	30	A	B	A	
27	N	26	26	26	28	N	N	40	53	52	62	60	61	68	60	54	54	54	38	A	34	34	26	B	
28	B	26	26	28	30	N		49	44	51	51	58	61	56	67	62	61	62	51	42	N	28	28	29	31
29	A	A	31	31	32	A	29	41	50	54	58	61	57	64	74	77	51	34	30	34	59	26	26		
30	49	30	32	A	34	25	A	53	52	58	64	60	69	53	68	64	50	38	B	49	32	34	29		
31																									
	00	01	02	03	04	05	06	07	08	09	10	11	12	13	14	15	16	17	18	19	20	21	22	23	
CNT	20	23	23	25	28	15	15	29	29	29	28	29	29	30	30	30	29	29	30	18	21	27	25	21	
MED	32	31	32	32	34	28	29	47	54	62	66	73	66	72	72	70	60	51	40	34	34	36	34	29	
U Q	34	34	35	34	40	31	30	51	59	64	73	82	76	78	80	77	66	54	42	39	36	38	36	33	
L Q	28	28	30	30	31	26	28	44	52	54	60	67	61	67	64	64	57	49	34	31	30	32	31	28	

HOURLY VALUES OF fES AT Yamagawa

NOV. 2017

LAT. $31^{\circ}12.0'N$ LON. $130^{\circ}37.0'E$ SWEEP 1.0 MHz TO 30.0 MHz AUTOMATIC SCALING

D	00	01	02	03	04	05	06	07	08	09	10	11	12	13	14	15	16	17	18	19	20	21	22	23
1	38	G	G	G	G	G	G	44	31	46	37	41	53	55	50	59	38	40	32	30	27	24	G	39
2	G	G	G	G	27	B	B	31	55	36	38	46	44	45	41	50	28	41	40	38	30	G	25	G
3	G	38	34	34	27	28	G	31	45	39	45	50	44	60	44	44	53	60	40	32	28	G	G	G
4	29	G	B	G	G	24	31	48	30	36	36	46	44	51	43	49	36	44	28	27	28	26	34	28
5	32	32	G	G	24	11	G	G	26	33	46	46	55	43	47	41	33	39	25	41	53	G	G	G
6	28	27	28	G	G	G	G	48	44	37	39	40	40	43	34	34	40	32	26	33	34			
7	G	G	G	28	G	26	B	41	35	38	66	61	56	55	48	28	48		G	G	G	27	G	G
8	G	G	G	B	G	G	B	26	32	34	50	46	44	48	43	28	G	G	G	G	29	G	G	G
9	G	40	26	26		B	G	33	40	40	45	32	41	47	40	38	27	39		26	G	G	40	
10	25	34	39	32	G	G	G	46	32	32	47	41	56	60	36	32	N		39	33	27	G	G	G
11	G	G	G	26	26	28	G	32	45	52	55	48	43	63	70	76	50	52	51	41	31	46	48	
12	32	33	27	26	27	30	G	30	32	47	34	45	91	32	34	G	36	33	40	28	B	G	G	G
13	G	G	G	G	G	11	B	34	28	46	42	36	36	42	45	G	G	G	11	B	G	G	G	
14	G	G	G	G	G	11	G	25	53	45	39	37	52	52	45	40	32	32	25	G	30	24	34	
15	G	G	G	G	G	G	G	28	C	C	B		38	39	36	50	35	11	28	26	25	G	G	G
16	B	30	32	G	G	G	G	32	38	40	56	48	58	48	34	30	33	31	28	33	G	G	G	
17	G	G	G	G	G	26	25	33	41	50	48	60	46	43	36	36	26	29		27	G	G	B	
18	G	34	G	G	G	B	G	39	58	36	35	39	50	41	41	35	33	28		G	G	26	G	
19	23	45	29	29	G	G	G	33	36	37	37	38	34	45	45	40	29	28	29	28	G	G	G	
20	G	G	G	30	G	27	G	25	31	44	40	43	70	40	43	35	49	32	28	33	28	G	G	G
21	B	G	G	G	G	G	G	48	33	44	54	44	55	31	36	33	33		11	11	G	G	11	
22	G	G	G	G	G	G	G	27	43	37	38	35	N	44	44	48	33	24	39	G	24	G	G	
23	G	G	G	G	G	G	G	50	32	44	35	49	37	33	35	35	26	27	G	G	G	G		
24	G	G	G	34	B	G	G	28	29	39	49	65	60	51	40	G	G	G	G	G	G	G	B	
25	G	23	48	49	28	B	27	27	34	43	46	40	40	36	46	33	28	G	G	G	G	G	G	
26	G	G	24	G	G	G	G	32	32	48	62	71	49	41	32	29	G	11	30	G	32	B	34	
27	G	G	G	G	G	G	G	50	37	40	49	56	44	45	30	G	G	G	57	G	28	G		
28	B	G	G	G	G	G	G	23	33	36	44	49	40	54	51	50	33	36	G	G	G	G		
29	34	26	28	G	G	28	G	32	38	32	46	38	44	49	50	58	71	29	G	G	G	26		
30	G	G	25	48	38	G	40	56	41	37	50	45	48	56	71	40	76	35	40	B	G	G	G	
31																								
	00	01	02	03	04	05	06	07	08	09	10	11	12	13	14	15	16	17	18	19	20	21	22	23
CNT	27	30	29	29	29	25	26	30	30	29	29	29	30	30	30	30	29	30	30	28	29	30	29	26
MED	G	G	G	G	G	G	G	26	33	37	40	45	48	44	44	38	35	28	28	27	26	G	G	G
U Q	27	30	27	27	25	25	G	39	43	43	47	49	56	54	48	48	40	39	36	31	28	24	G	26
L Q	G	G	G	G	G	G	G	32	36	38	40	40	41	41	33	29	G	11	G	G	G	G		

HOURLY VALUES OF f_{min}

AT Yamagawa

NOV. 2017

LAT. 31°12.0'N LON. 130°37.0'E SWEEP 1.0 MHz TO 30.0 MHz AUTOMATIC SCALING

H D	00	01	02	03	04	05	06	07	08	09	10	11	12	13	14	15	16	17	18	19	20	21	22	23	
1	15	15	16	14	14	14	15	17	14	14	15	20	17	17	20	17	15	14	14	14	15	15	15	14	
2	15	15	15	15	15	B	B	14	15	17	18	20	20	21	20	20	16	14	15	16	14	21	14	15	
3	18	14	14	14	15	14	20	15	14	17	18	20	20	20	20	15	14	14	15	15	14	15	15	15	
4	14	17	B	18	14	14	14	14	15	14	18	18	18	20	20	15	15	15	14	16	15	15	14	15	
5	14	15	14	18	14	15	17	18	14	15	15	18	21	22	15	15	15	14	15	14	14	15	16	14	
6	14	14	14	15	15	17	14	14	14	14	15	15	18	22	18	21	17	16	14	15	14	15	15	14	
7	15	18	20	15	14	15	B	18	15	15	17	20	22	17	17	21	22	18	16	16	14	14	14	15	
8	14	14	15	B	17	15	B	17	15	15	18	20	24	21	21	18	17	17	17	15	15	15	15	15	
9	17	15	14	15	B	15	18	14	16	21	20	20	20	21	18	15	16	14	18	15	15	15	14	14	
10	15	14	15	14	14	14	16	14	14	18	18	16	18	15	18	20	23	14	14	14	18	15	21	18	
11	66	14	14	15	14	15	16	15	15	15	15	20	22	20	20	15	15	14	15	14	14	14	15	14	
12	14	14	15	14	15	14	15	14	14	15	15	23	20	17	21	18	15	14	14	14	B	14	15	14	
13	14	17	18	15	14	14	B	18	15	17	15	18	18	22	21	20	21	17	14	B	18	14	14	14	
14	15	14	15	15	14	14	16	18	14	14	15	18	18	22	22	17	14	14	15	17	14	15	14	14	
15	14	14	16	14	14	15	15	17	14	C	C	B	18	18	20	16	16	18	14	14	15	15	14	15	
16	B	15	14	16	15	15	66	15	17	14	15	14	16	18	17	16	17	15	14	14	15	14	15	15	
17	14	14	16	14	14	14	15	18	14	15	16	18	16	18	16	16	15	15	15	15	21	15	14	14	
18	14	14	14	21	17	B	15	18	15	14	15	16	17	20	18	15	16	18	15	15	16	15	15	16	
19	15	14	14	15	15	14	14	17	15	15	15	17	21	18	17	15	16	15	14	15	15	14	15	B	
20	14	15	14	14	15	14	15	16	15	15	15	16	18	17	20	16	15	14	15	15	15	14	14	14	
21	B	14	21	15	14	15	16	17	15	14	16	18	20	20	17	20	15	17	14	14	16	15	14	14	
22	16	15	14	15	15	14	17	16	14	14	16	14	21	18	15	17	15	15	15	15	14	14	14	14	
23	15	14	14	14	14	17	15	17	16	14	15	15	17	21	18	15	16	17	15	15	15	20	16	18	
24	14	15	14	17	14	B	18	16	14	16	17	17	18	20	18	18	17	18	14	14	15	17	16	B	
25	15	15	14	14	15	B	14	14	16	14	15	18	17	17	17	14	15	18	14	15	15	18	17	15	
26	21	15	15	14	15	17	17	16	14	17	15	18	15	20	21	17	14	17	14	14	15	14	16	B	
27	15	15	15	14	18	15	14	16	14	15	15	15	20	18	17	20	15	16	20	14	14	14	15	15	
28	B	66	18	16	15	20	14	15	14	14	15	17	20	20	20	18	16	21	15	15	15	14	14	15	
29	15	14	14	15	14	15	14	15	15	17	18	20	17	18	16	21	17	15	17	17	14	15	14	15	
30	15	14	14	14	14	15	14	14	17	20	20	20	18	18	17	21	18	14	14	B	17	16	15	15	
31																									
	00	01	02	03	04	05	06	07	08	09	10	11	12	13	14	15	16	17	18	19	20	21	22	23	
CNT	27	30	29	29	29	25	26	30	30	29	29	29	30	30	30	30	30	30	30	30	28	29	30	29	26
MED	15	14	14	15	14	15	15	16	14	15	15	18	18	20	18	17	16	15	14	15	15	15	15	15	
U Q	15	15	15	15	15	15	16	17	15	16	18	20	20	20	20	17	17	15	15	15	15	15	15	15	
L Q	14	14	14	14	14	14	14	15	14	14	15	17	17	18	17	15	15	14	14	14	14	14	14	14	

HOURLY VALUES OF f₀F₂ AT Okinawa

NOV. 2017

LAT. 26°41.0'N LON. 128°09.0'E SWEEP 1.0 MHz TO 30.0 MHz AUTOMATIC SCALING

H D	00	01	02	03	04	05	06	07	08	09	10	11	12	13	14	15	16	17	18	19	20	21	22	23	
1	40	41	A	36	40	36	B	44	60	54	64	89	84	76	77	80	92	69	57	46	B	32	32	32	
2	32	32	39	42	44	B	N	48	56	64	71	94	67	75	91	111	81	66	60	54	43	48	42	34	
3	32	32	41	29	A	A	B	52	68	64	48	77	75	86	125	108	76	88	88	73	44	36	36	36	
4	34	34	30	32	45	A	B	48	62	62	65	86	78	92	95	98	66	64	51	34	36	36	36	32	
5	34	34	34	34	38	A	B	47	72	84	77	90	108	96	106	92	80	60	55	41	30	40	34		
6	B	32	31	31	30	31	31	45	52	57	61	71	71	63	77	75	64	60	58	38	B	34	32	A	
7	A	A	B	29	34		B	43	51	57	60	78	102	97	101	111	100	67	52	52	42	48	43	42	
8	47	45	47	32		N	B	66	51	61	86	110	75	100	96	97	68	55	44	44	37	36	39	44	
9	42	44	41	36		A	B	44	75	95	121	106	72	90	107	98	76	63	44	45	44	47	44	45	
10	39	34	37	36	34	31	37	66	67	72	87	117	73	66	65	75	87	87	46	48	46	46	50	41	
11	B	28	26	29	36	A	A	44	71	73	60	81	93	69	71	A	66	54	A	A	A	36	34	32	
12	32	29		A	36	A	A	51	53	59	72	71	76	63	84	89	65	74	47	30	33	28	30	31	
13	29	28	28	30	34	29		43	54	59	66	77	92	80	75	77	57	60	46	41	31	37	44	47	
14	44	42	40	35	42		N	B	41	65	81	84	108	114	78	86	75	66	52	42	B	41	44	42	40
15	A	37	38	32	31	28	28	42	58	75	80	102	100	90	75	76	81	66	50	45	45	44	41	32	
16	N	28	30	36	30	30		50	66	78	95	94	82	78	85	84	71	58	A	A	A	30		31	
17	N	28	22	22	28		N	44	61	92	71	88	94	104	140		N	84	67	54	34	A	37	35	B
18	B	N	28	29	30	31	30	48	50	60	77	63	77	86	84	93	67	56	48	40	44	32		30	
19	29	29	32	34	34	34	29	44	59	62	61	82	90	97	107	90	71	68	45	A	A	A	A	44	
20		29	30	31	31	29	30	48	60	71	81	86	106	141	132	118	95	70	63	46	A	41	37	37	
21	34	37	33	40	35	28	47	60	64	66	68	81	80	72	57	60	75	52	40	A	34	A	28		
22	28	32	36	42	37	29		48	54	62	B	B	B	94	86	78	76	71	46	30	31		28		
23	29	30	36	34		N	B	42	54	58	60	66	81	107	85	76	78	57	47	34	32	37		B	
24	B	N	26	32	29	B		41	58	70	76	73	72	91	100	95	76	57	46	34	37	36	B	B	
25	26	N	28	30	34	N	B	44	50	54	61	82	78	90	110	129	107	85	64	51	34	26		N	
26	28	26	26	31	31		B	31	46	58	58	65	64	62	80	83	84	70	67	48	A	34	36	30	B
27	B	B	28	30	32	32	28	44	48	60	66	A	73	53	72	62	71	64	A	44	44	42	34	A	
28	A	N	26	28	29	30	28	47	51	53	52	64	62	73	67	82	60	66	57	38	31	28	30	35	
29	31	N	A	A	26	30		38	55	60	67	61	A	71	86	73	72	48	47	A	A	A	28	28	
30		29	30	32	30		N	37	51	54	45	49	61	A	64	74	67	55	44	B	29	30	30	A	
31																									
	00	01	02	03	04	05	06	07	08	09	10	11	12	13	14	15	16	17	18	19	20	21	22	23	
CNT	18	23	26	28	26	14	10	30	30	30	29	28	28	29	30	28	30	30	27	23	21	27	23	20	
MED	32	32	30	32	34	30	30	44	58	62	66	82	78	86	86	84	72	65	48	41	37	36	36	34	
U Q	39	37	37	34	37	32	31	48	62	72	78	92	92	95	101	97	81	69	57	46	44	44	42	40	
L Q	29	29	28	30	30	29	28	43	52	58	61	69	72	74	75	75	66	57	46	34	31	32	30	31	

HOURLY VALUES OF fES AT Okinawa

NOV. 2017

LAT. 26°41.0'N LON. 128°09.0'E SWEEP 1.0 MHz TO 30.0 MHz AUTOMATIC SCALING

D	00	01	02	03	04	05	06	07	08	09	10	11	12	13	14	15	16	17	18	19	20	21	22	23	
1	32	G	44	28	26	G	B	40	31	46	G	47	42	47	49	34	38	41	47	32	B	G	G	G	
2	G	26	G	G	11	B	G	27	31	50	35	32	32	G	48	42	37	56	50	20	G	G	G	G	
3	G	G	G	G	27	26	B	28	34	36	62	65	44	64	36	G	G	G	11	G	24	G	G		
4	G	G	G	G	G	26	B	G	48	40	44	G	44	86	42	35	G	23	G	G	G	G	G		
5	G	G	G	G	G	31	B	28	29	33	36	38	G	32	G	36	32	G	27	G	48	G	G		
6	B	G	G	G	G	G	G	28	32	42	G	G	G	45	43	39	24	G	G	B	G	49	32		
7	33	24	B	G	G	G	B	G	30	39	43	34	G	44	35	39	35	28	G	27	G	G	G		
8	G	G	G	G	G	B	48	40	52	52	63	G	32	40	G	G	G	G	G	G	G	29	G		
9	G	G	G	26	35	B	B	G	34	42	43	49	44	41	38	33	G	G	G	G	36	27	28		
10	48	26	G	G	G	G	G	48	35	40	46	36	40	54	G	44	27	38	34	G	G	G	G		
11	B	G	G	32	28	28	28	28	40	44	59	63	64	64	96	40	52	58	53	26	G	G	G		
12	G	G	33	32	36	39	31	34	30	36	46	45	54	57	40	50	G	G	22	24	G	G	G		
13	G	G	G	G	G	G	G	29	32	35	35	41	45	57	48	30	G	G	G	G	G	G	G		
14	G	G	G	G	G	B	26	32	32	35	G	G	43	43	56	52	32	30	B	G	G	G	24		
15	46	G	G	G	G	G	G	27	33	45	G	43	42	34	G	37	11	G	28	G	G	G			
16	G	G	G	26	25	G	G	25	31	40	36	38	38	89	52	44	27	50	61	53	46	G	G		
17	G	G	24	G	G	G	G	29	41	51	44	76	91	58	58	41	34	11	28	26	G	G	B		
18	B	G	G	24	G	G	G	29	G	G	41	43	44	34	51	40	G	G	G	G	G	B	G		
19	G	G	G	26	26	G	24	28	34	36	G	46	53	54	45	41	32	38	32	39	25	54	39		
20	G	G	G	G	G	G	28	29	26	42	60	46	42	36	40	36	56	50	56	30	41	34	G	G	
21	G	G	G	G	G	G	G	31	42	51	39	34	G	32	34	37	35	54	50	27	G				
22	G	G	G	G	G	G	N	48	33	B	B	B	46	56	44	35	30	22	G	G	32	24	G		
23	G	G	30	G	G	B	B	26	35	40	43	48	47	45	40	38	G	G	G	G	26	29	B		
24	B	G	G	G	B	G	25	25	G	G	43	32	47	G	36	G	34	19	G	G	B	B			
25	G	G	G	39	G	G	B	27	40	49	46	50	33	39	39	34	G	26	25	G	G	G	G		
26	G	G	G	G	B	G	G	27	38	55	56	49	41	74	48	28	G	38	44	G	G	G	B		
27	B	B	G	G	G	G	G	25	40	54	80	72	57	47	50	40	39	85	32	31	33	57	G		
28	33	G	G	G	G	G	11	35	44	60	70	56	54	45	56	56	41	23	37	G	23	G	G		
29	G	G	40	33	G	G	B	G	28	54	44	51	67	57	163	41	54	67	49	36	35	28	23		
30		G	G	G	G	34	G	G	45	88	49	55	74	113	47	46	45	28	26				27		
31																									
	00	01	02	03	04	05	06	07	08	09	10	11	12	13	14	15	16	17	18	19	20	21	22	23	
CNT	24	29	28	30	30	25	19	29	30	30	29	29	29	30	30	30	30	30	30	30	28	28	30	27	27
MED	G	G	G	G	G	G	G	11	30	40	42	46	43	44	46	41	37	31	23	22	G	G	G	G	
U Q	G	G	G	24	11	13	G	28	34	42	50	53	54	54	57	48	41	39	38	35	26	24	23	G	
L Q	G	G	G	G	G	G	G	28	32	35	37	33	40	40	36	32	G	G	G	G	G	G	G	G	

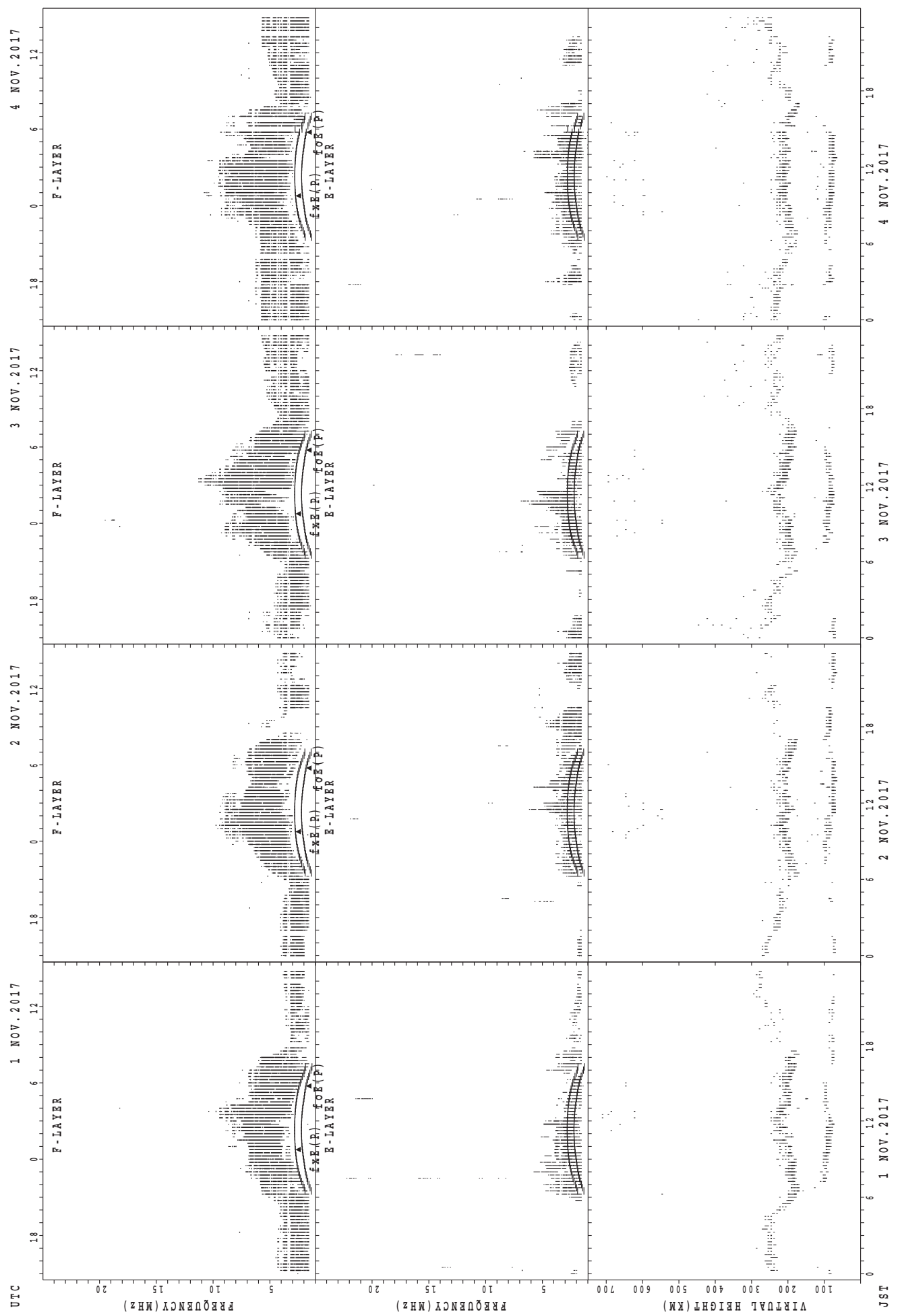
HOURLY VALUES OF fmin AT Okinawa

NOV. 2017

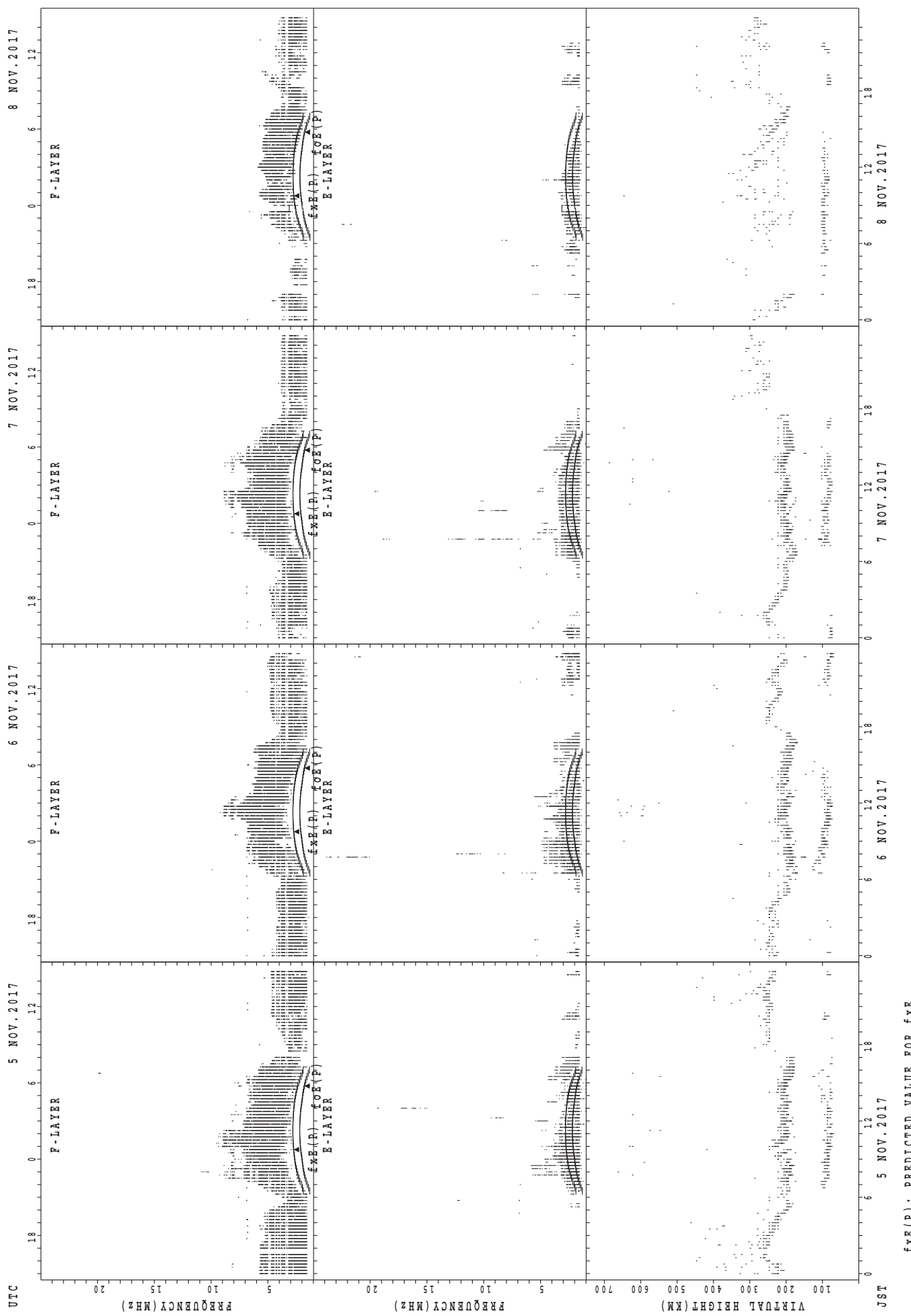
LAT. 26°41.0'N LON. 128°09.0'E SWEEP 1.0 MHz TO 30.0 MHz AUTOMATIC SCALING

H D	00	01	02	03	04	05	06	07	08	09	10	11	12	13	14	15	16	17	18	19	20	21	22	23	
1	15	18	15	14	14	14	B	20	17	15	15	20	21	18	20	21	15	14	15	14	B	14	15	14	
2	14	15	16	15	14	B	15	14	15	14	21	21	22	42	18	18	14	14	14	15	15	15	15	21	
3	15	14	14	15	14	14	B	15	14	16	18	16	20	18	22	15	15	14	15	15	15	16	18	14	
4	15	14	15	15	14	15	B	15	14	16	16	21	22	20	16	16	14	21	15	16	15	15	15	17	
5	15	15	15	17	20	14	B	14	14	14	20	17	20	39	16	16	14	14	15	14	21	15	15	14	
6	B	14	14	15	14	14	14	17	14	14	14	20	18	39	14	18	14	14	16	17	B	17	15	14	
7	15	16	B	18	17	66	B	18	14	14	14	15	20	39	16	17	14	14	15	18	15	15	22	15	
8	15	15	15	15	15	16	B	14	14	14	29	29	32	23	26	16	28	21	15	15	16	14	14	15	
9	15	15	16	14	15	B	B	17	14	15	15	28	21	21	17	17	15	18	14	20	14	14	14	14	
10	15	16	15	14	14	14	15	14	14	14	18	14	20	16	17	17	14	14	14	14	20	14	15	15	
11	B	15	14	14	14	14	14	14	14	14	14	16	22	21	21	18	15	14	14	14	15	14	15	15	
12	16	15	B	14	14	14	14	14	14	14	15	15	17	38	16	16	17	15	16	16	15	15	15	15	
13	15	16	15	14	14	15	66	18	14	15	18	17	27	28	22	16	16	20	15	15	18	15	14	14	
14	15	15	14	14	14	14	B	17	14	14	16	16	20	24	20	18	14	14	14	B	15	15	15	14	
15	14	15	20	14	14	15	15	17	14	14	15	17	18	21	17	17	15	20	14	15	15	15	15	16	
16	15	15	14	15	14	14	66	15	14	14	14	15	17	15	15	14	15	14	14	14	14	15	14	15	
17	15	14	15	14	14	14	15	16	14	14	15	17	17	16	18	17	14	15	15	15	15	20	15	B	
18	B	18	15	15	14	16	15	18	14	14	16	27	40	22	18	16	14	17	14	14	17	15	15	15	
19	15	15	14	14	14	14	15	14	14	14	14	17	20	21	20	15	14	15	14	14	15	15	14	14	
20	66	14	15	17	15	15	14	14	14	14	17	18	18	23	16	18	14	14	14	14	14	14	15	15	
21	15	16	20	15	20	14	15	17	14	14	14	17	17	21	38	22	17	15	15	16	15	14	15	14	
22	15	14	14	15	15	14	16	16	14	14	B	B	B	15	18	16	14	14	14	15	17	14	15	15	
23	16	14	14	15	14	B	B	15	14	14	14	15	17	29	22	18	14	18	14	15	14	16	B	17	
24	B	20	14	15	14	B	66	16	14	14	14	16	18	21	20	15	15	14	14	14	14	15	15	B	B
25	18	15	14	15	14	16	B	15	15	17	16	18	18	33	18	14	14	16	15	14	15	14	17	15	B
26	14	16	14	15	14	B	15	15	14	14	17	20	29	28	17	18	14	20	14	14	15	15	15	15	
27	B	B	14	14	15	14	14	15	17	15	16	15	20	16	14	14	14	14	14	14	14	14	14	14	
28	14	15	14	14	14	14	14	14	14	14	14	14	14	14	16	18	15	16	14	14	14	14	15	14	
29	14	17	14	14	14	14	B	15	14	14	14	17	14	15	14	14	14	14	14	14	14	14	14	15	
30	B	14	14	15	14	14	15	14	14	14	14	14	15	14	16	15	14	14	14	14	B	14	14	14	
31																									
	00	01	02	03	04	05	06	07	08	09	10	11	12	13	14	15	16	17	18	19	20	21	22	23	
CNT	24	29	28	30	30	25	19	30	30	30	29	29	29	30	30	30	30	30	30	30	28	28	30	27	27
MED	15	15	14	15	14	14	15	15	14	14	16	17	20	21	18	16	14	14	14	15	15	15	15	15	
U Q	15	16	15	15	15	15	15	17	14	15	17	20	21	28	20	17	15	17	15	15	15	15	15	15	
L Q	15	14	14	14	14	14	14	14	14	14	14	14	15	18	16	16	15	14	14	14	14	14	14	14	

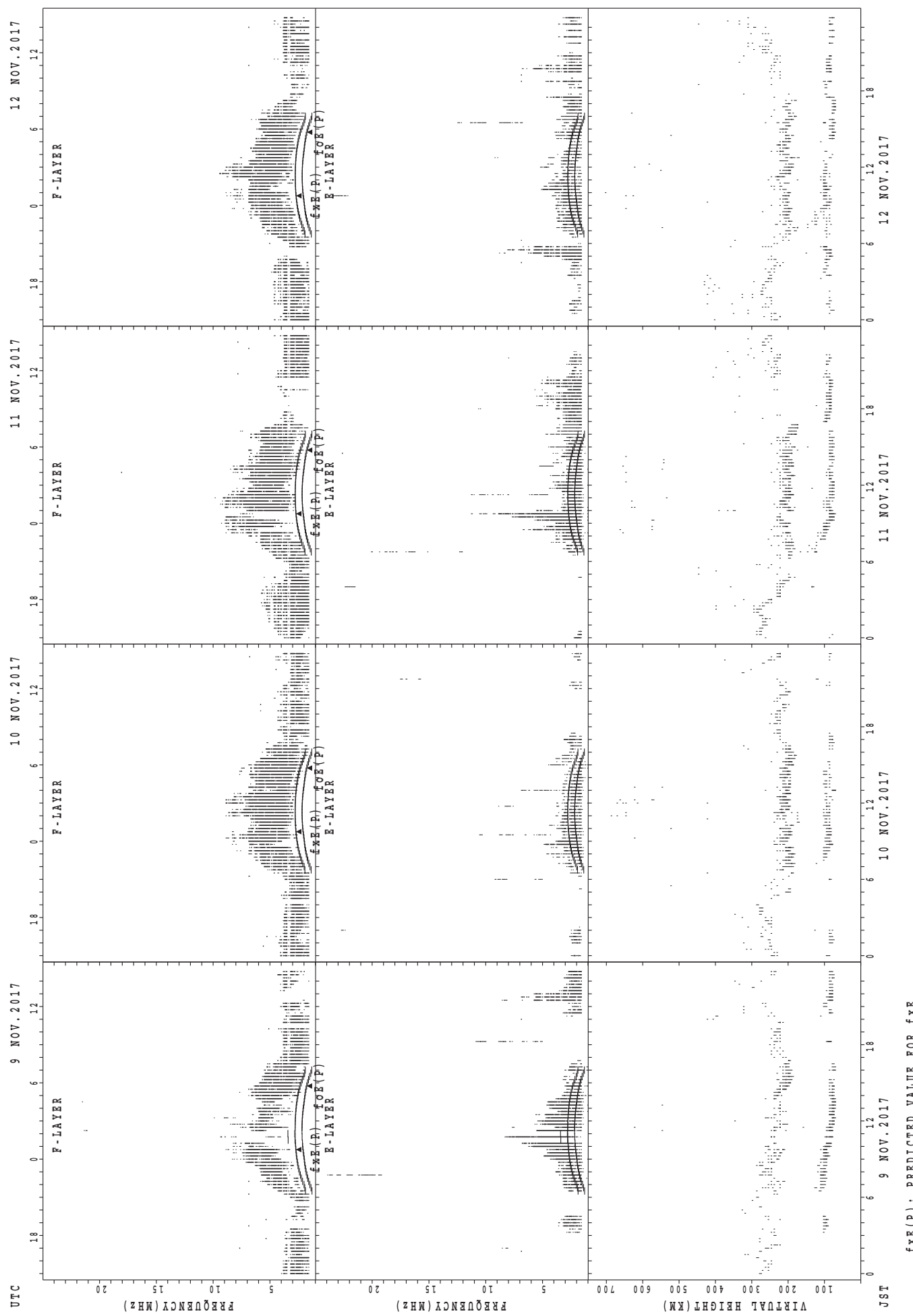
SUMMARY PLOTS AT Wakkanai



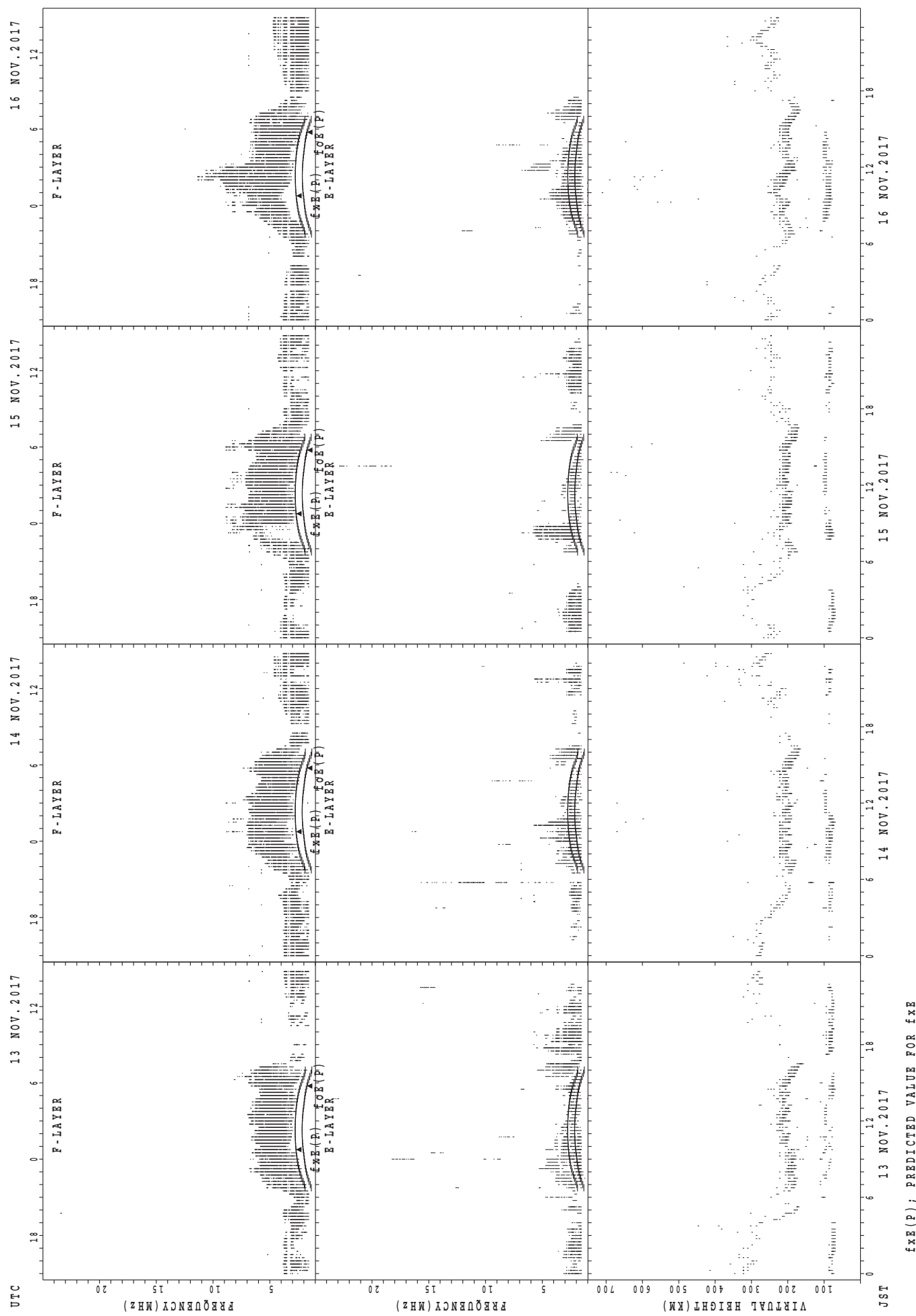
SUMMARY PLOTS AT Wakkanai



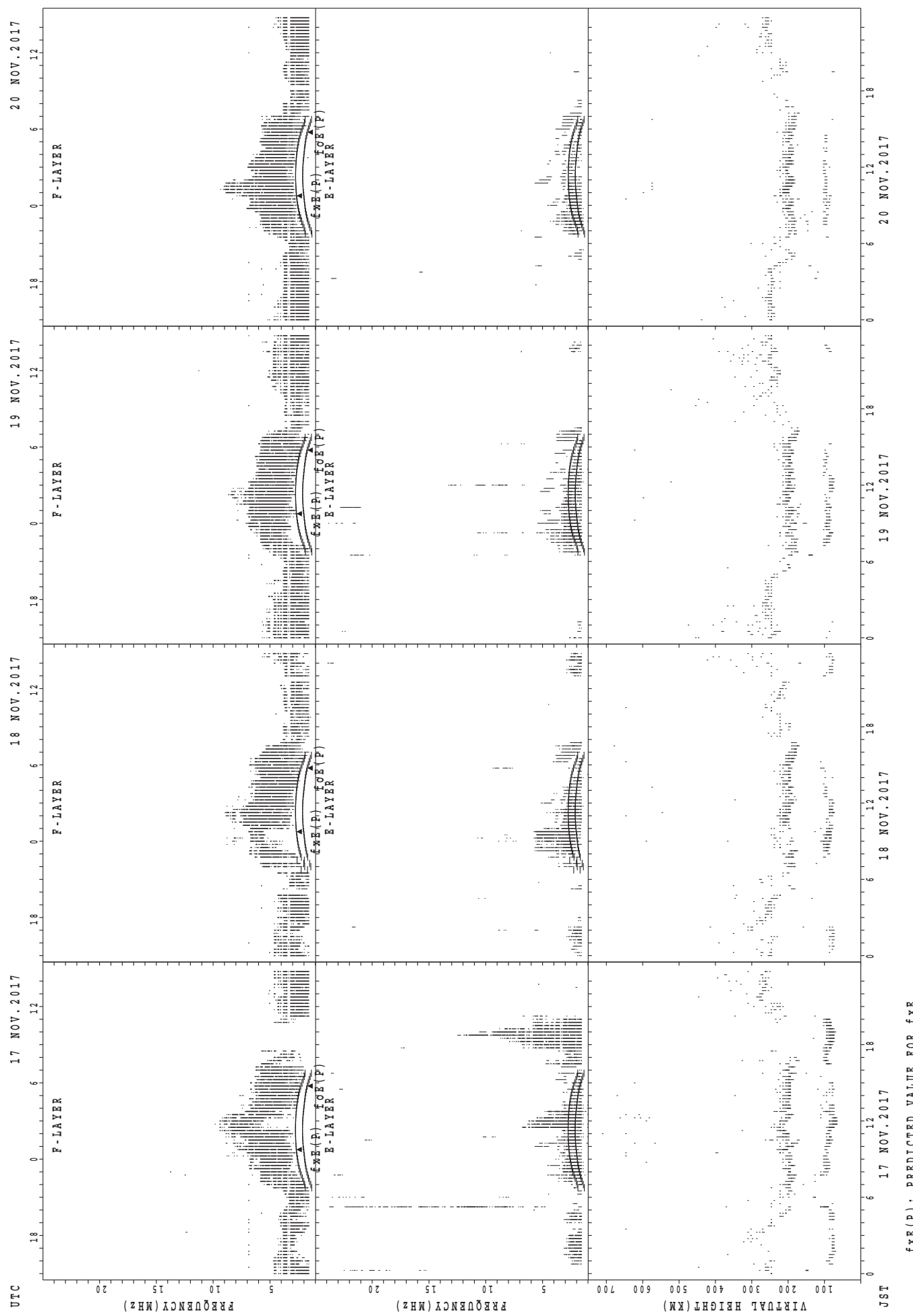
SUMMARY PLOTS AT Wakkanai



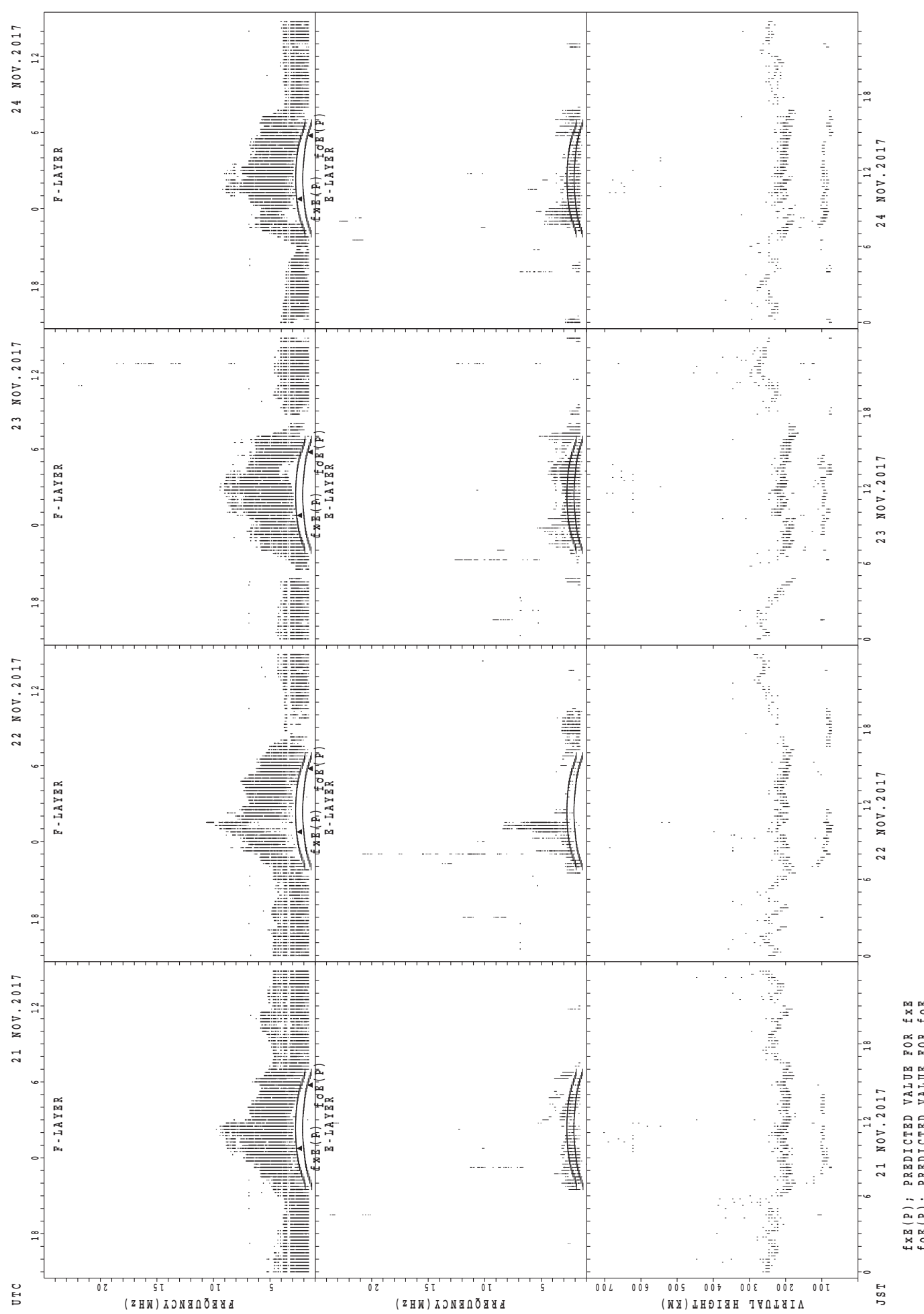
SUMMARY PLOTS AT Wakkanai



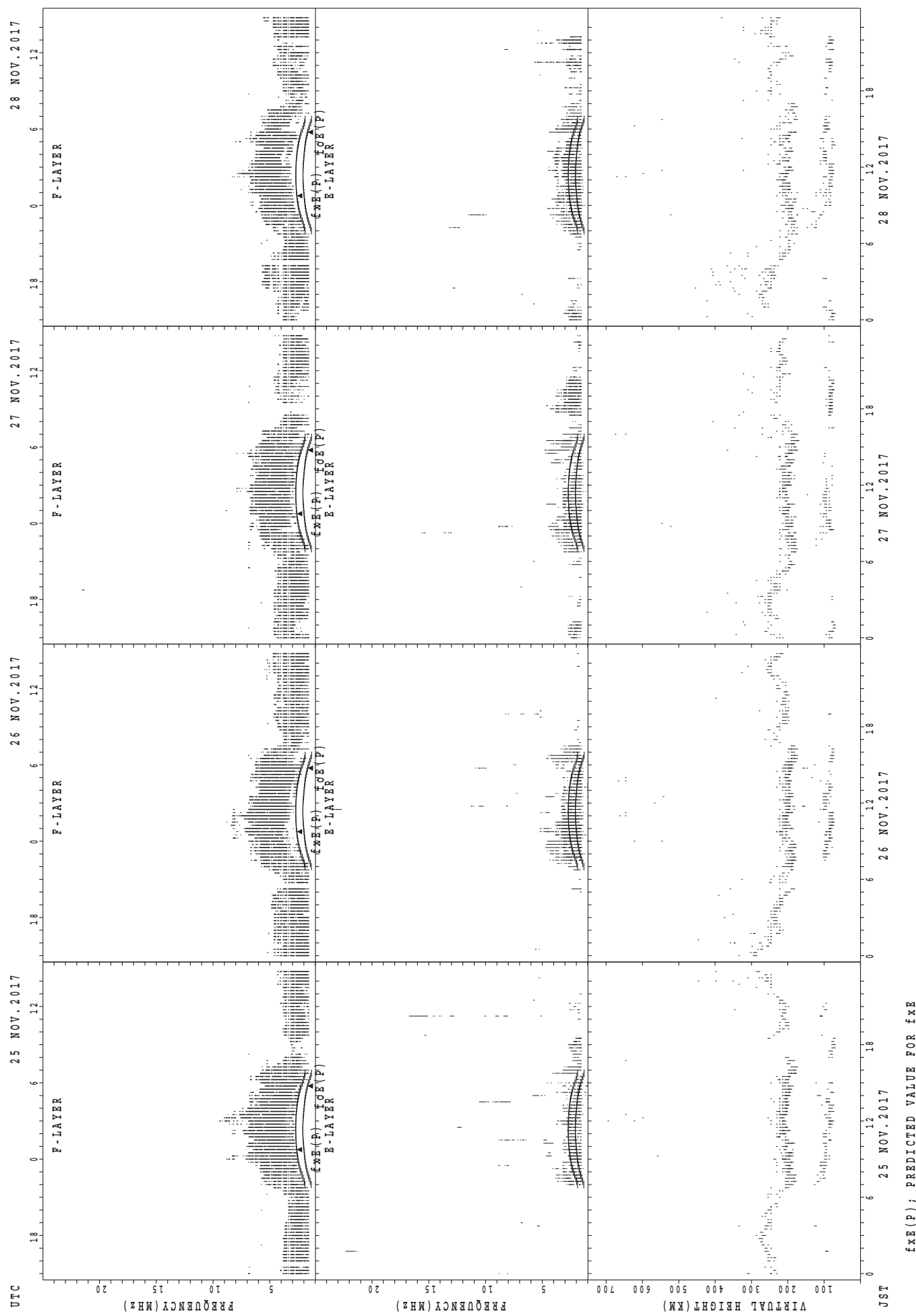
SUMMARY PLOTS AT Wakkanai



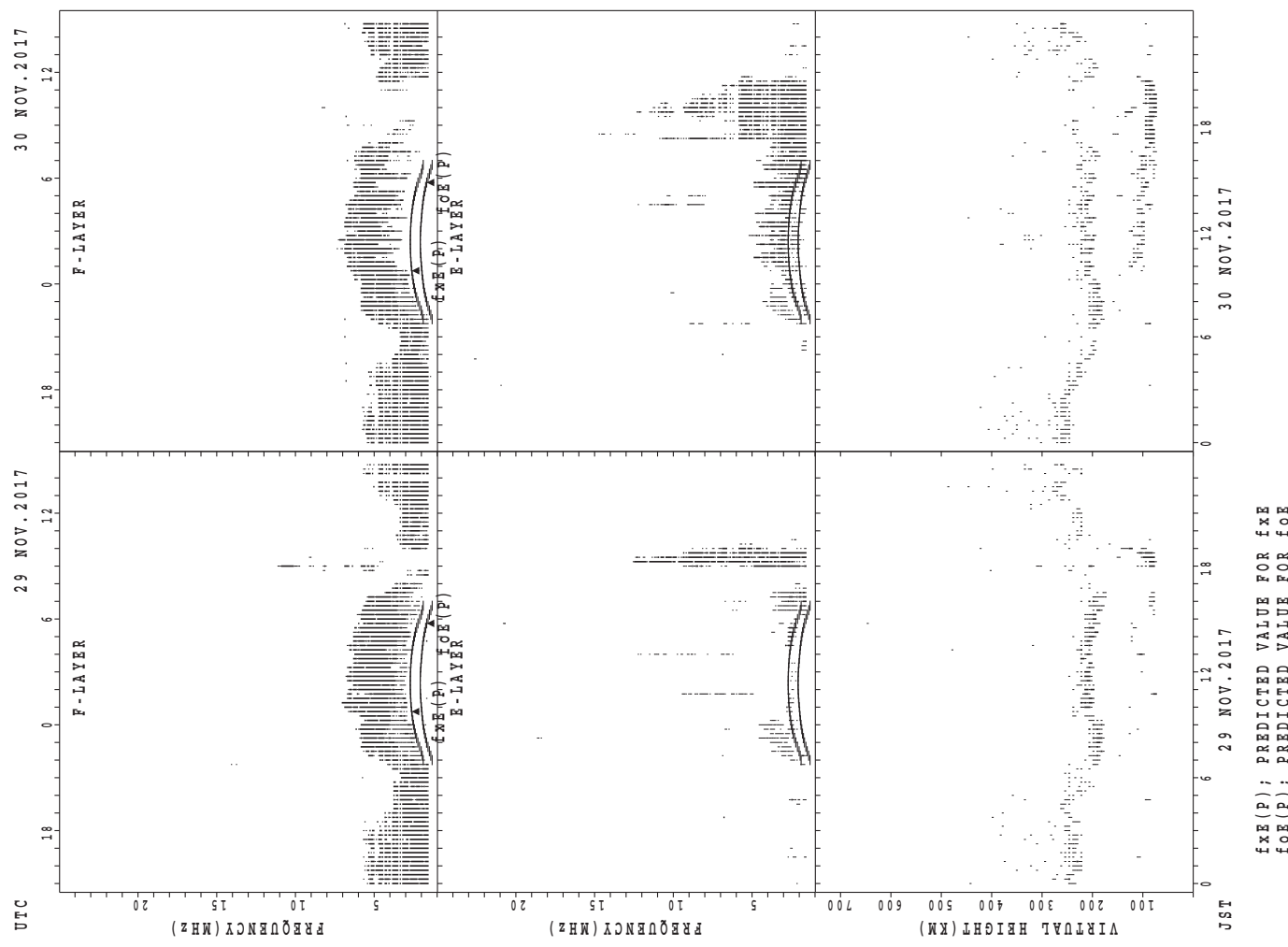
SUMMARY PLOTS AT Wakkanai



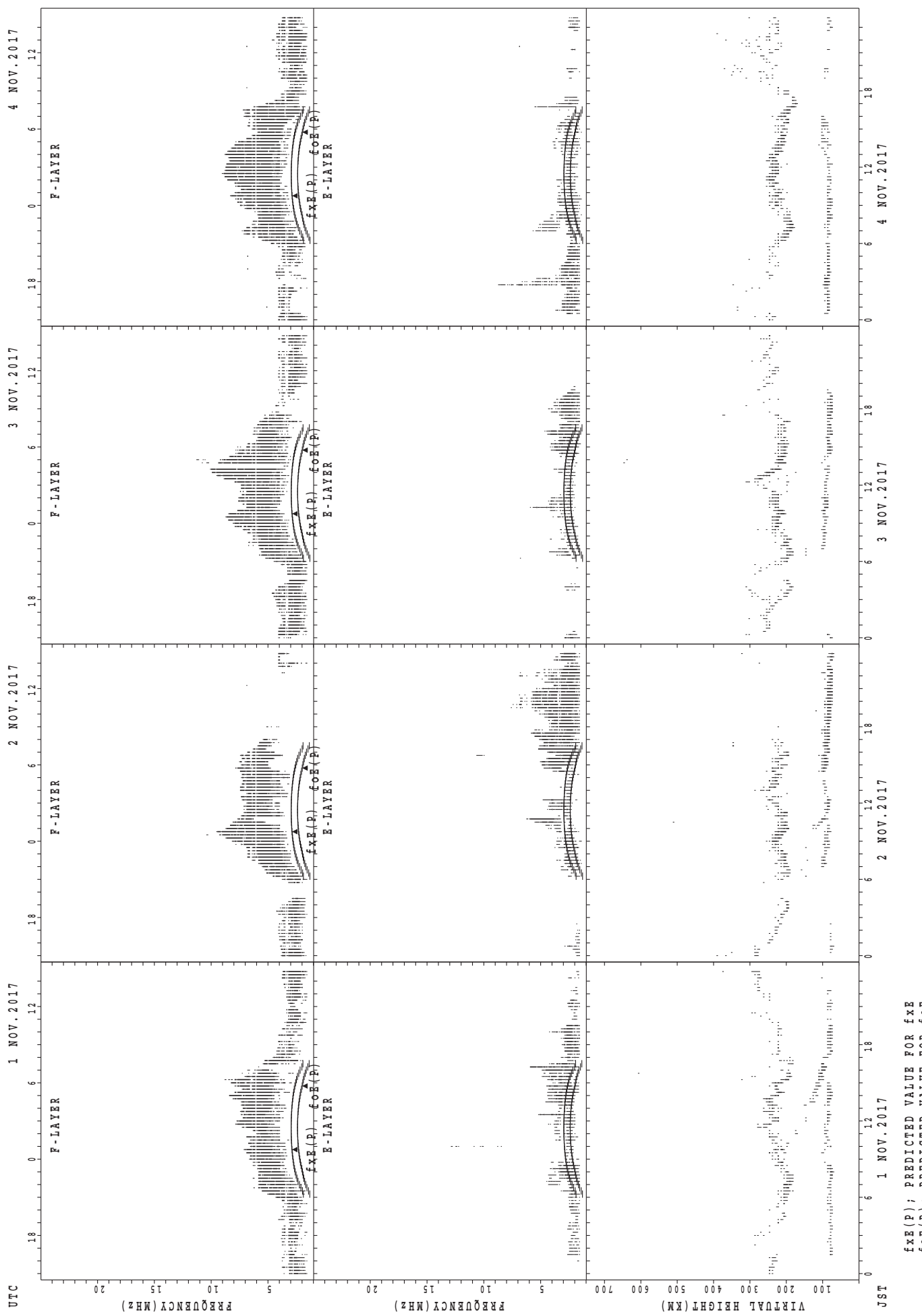
SUMMARY PLOTS AT Wakkanai



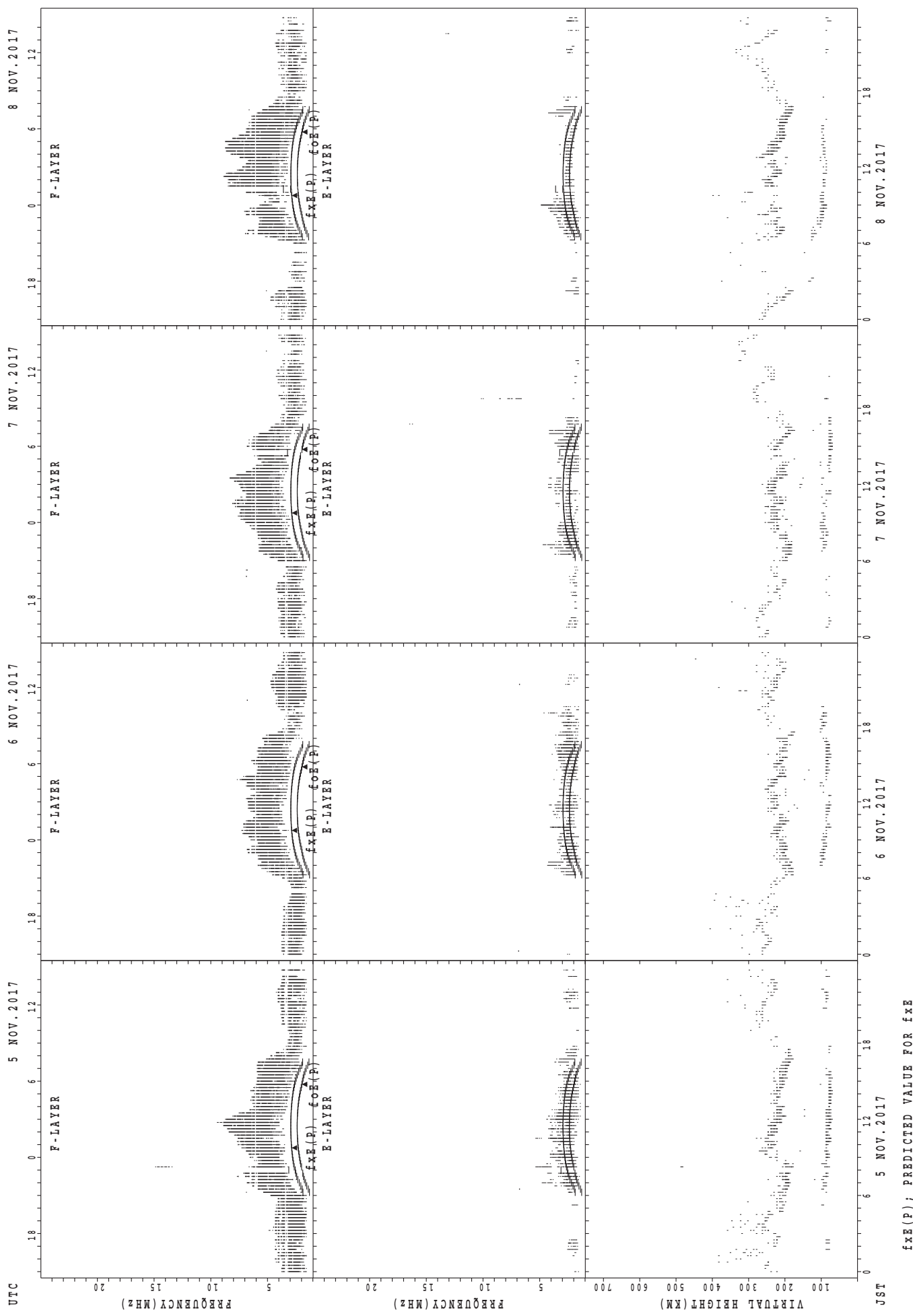
SUMMARY PLOTS AT Wakkanai



SUMMARY PLOTS AT Kokubunji

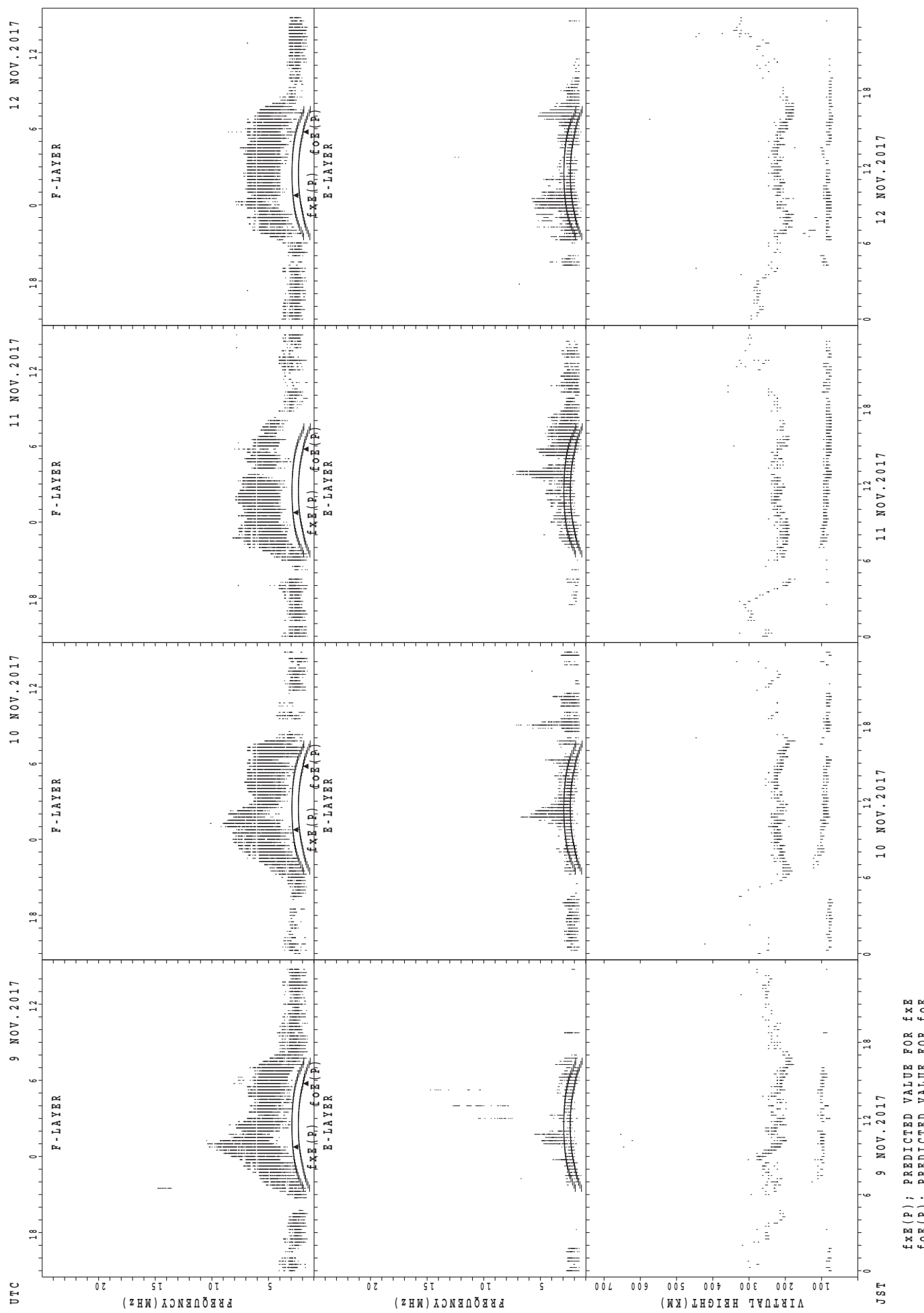


SUMMARY PLOTS AT Kokubunji

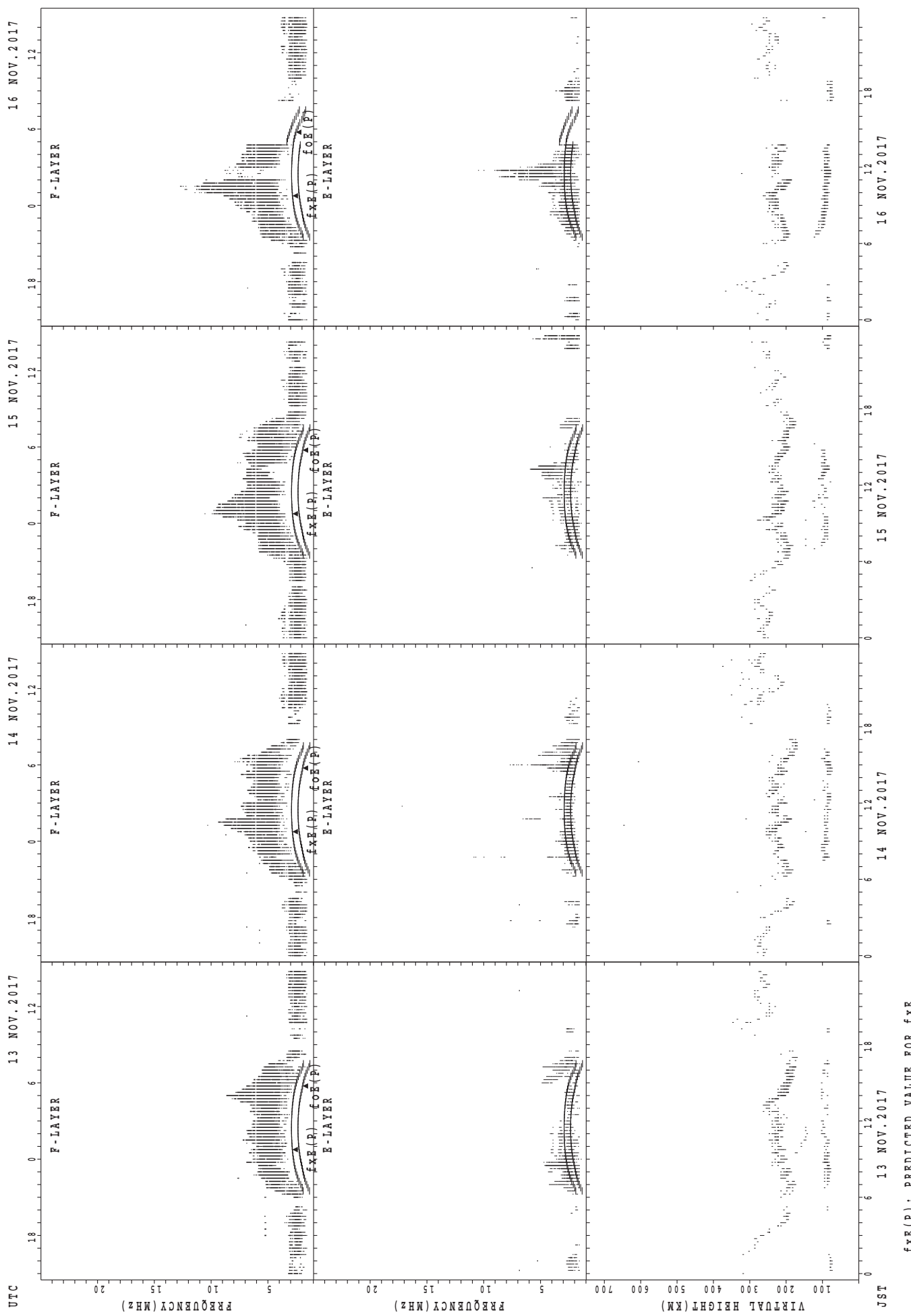


$f_{Fe}(P)$; PREDICTED VALUE FOR f_{Fe}
 $f_{Oe}(P)$; PREDICTED VALUE FOR f_{Oe}

SUMMARY PLOTS AT Kokubunji

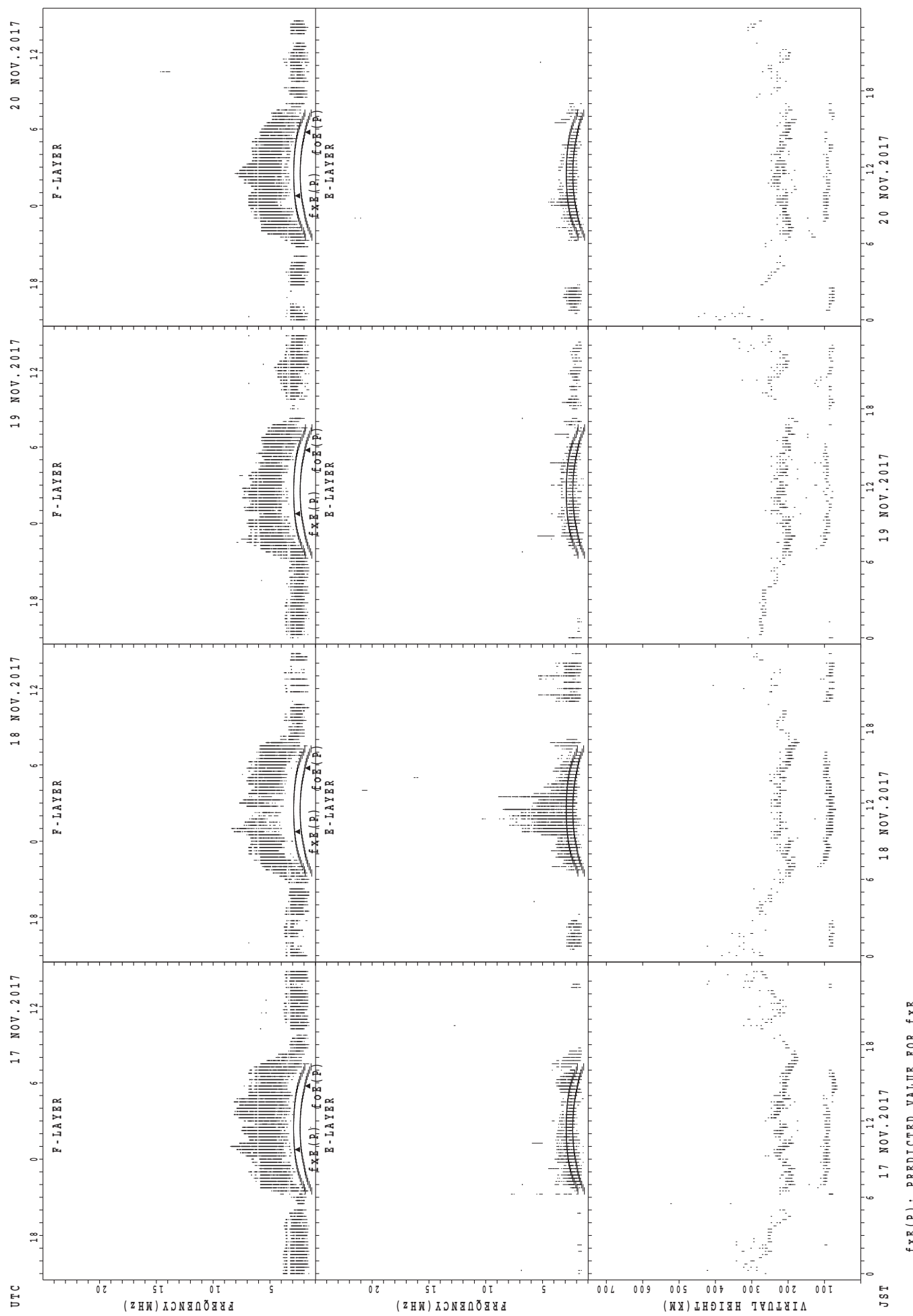


SUMMARY PLOTS AT Kokubunji



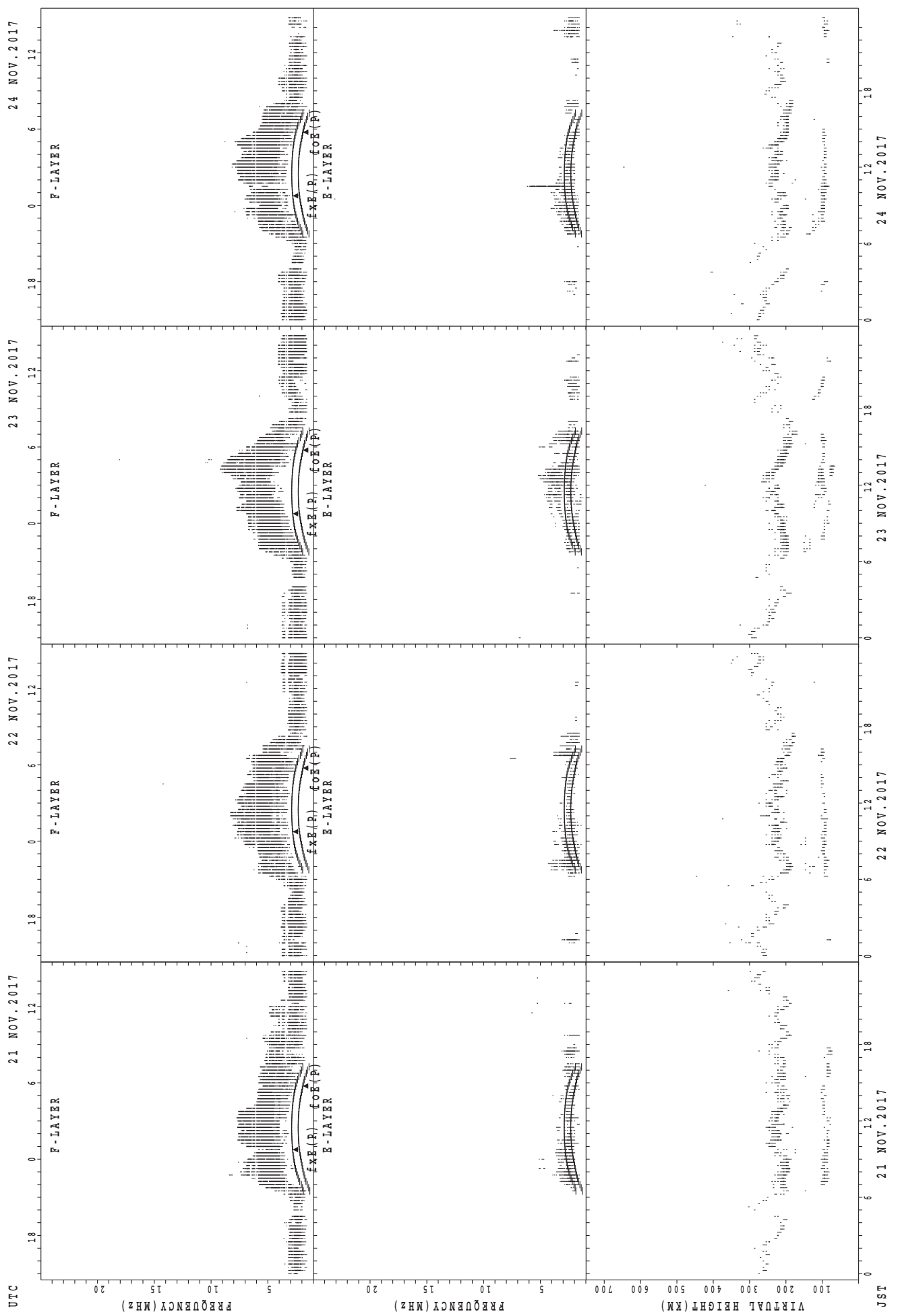
$f_{xE}(P)$; PREDICTED VALUE FOR f_{xE}
 $f_{OE}(P)$; PREDICTED VALUE FOR f_{OE}

SUMMARY PLOTS AT Kokubunji

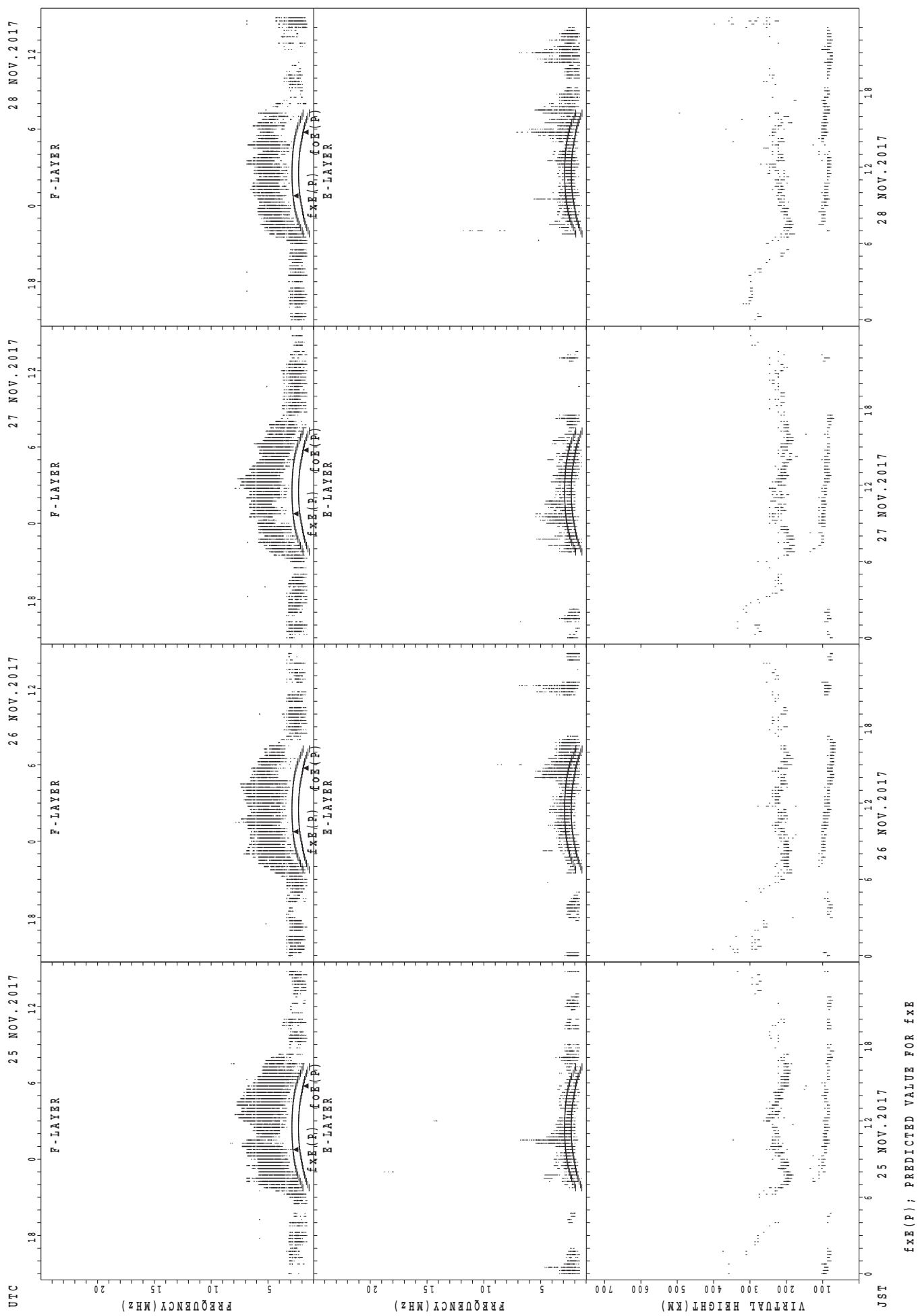


$f_{\text{Ex}}(\text{P})$; PREDICTED VALUE FOR f_{Ex}
 $f_{\text{oE}}(\text{P})$; PREDICTED VALUE FOR f_{oE}

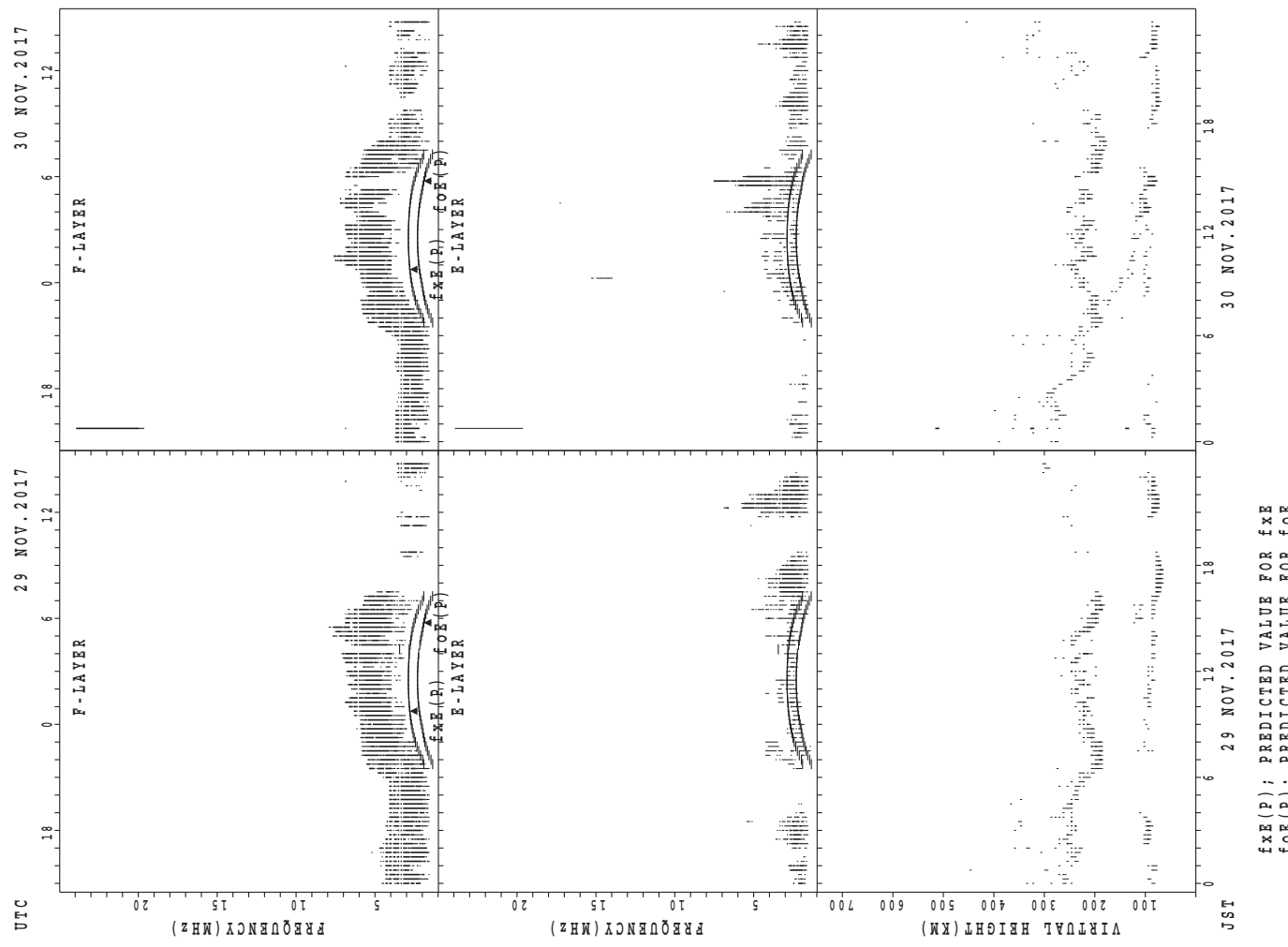
SUMMARY PLOTS AT Kokubunji



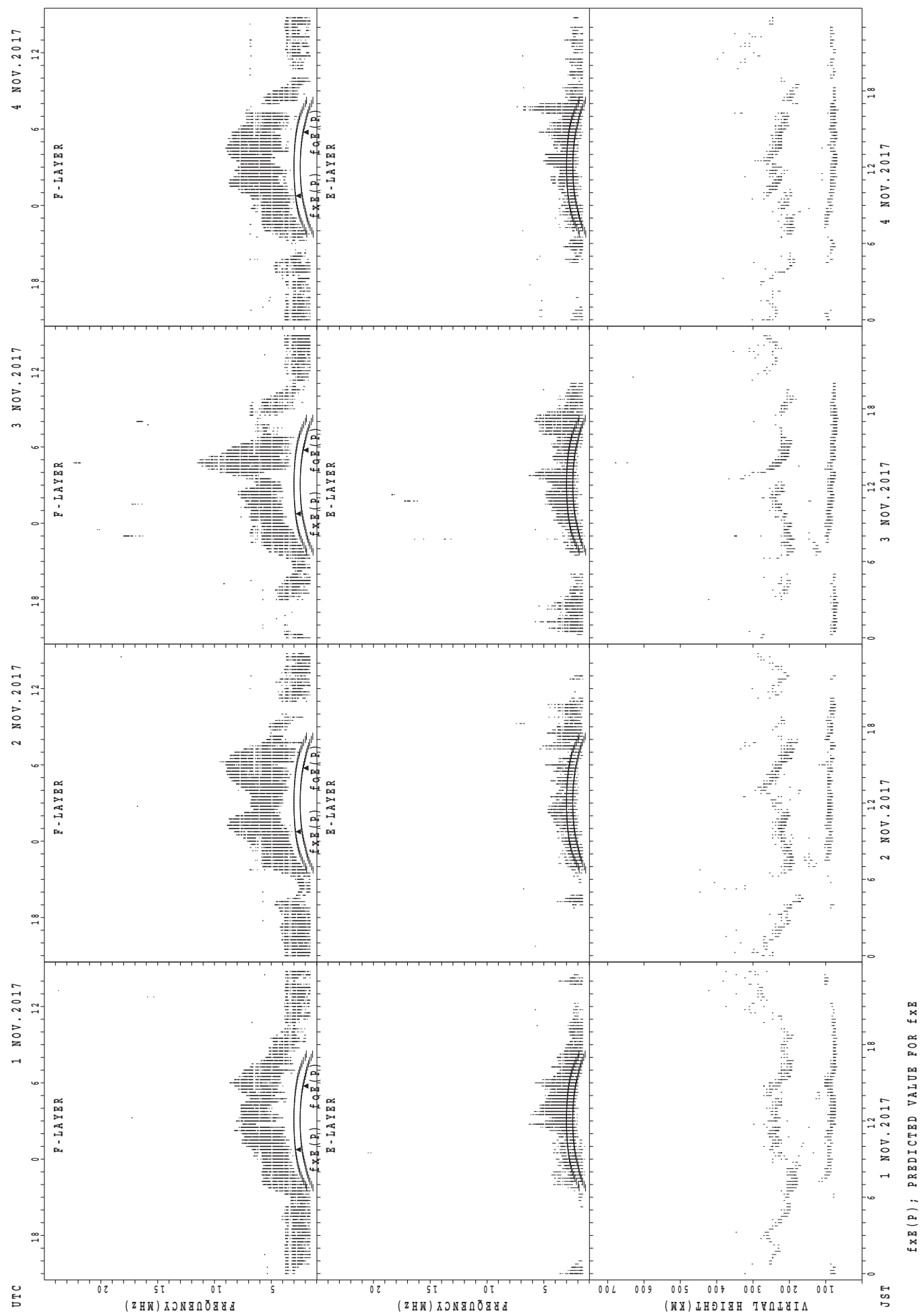
SUMMARY PLOTS AT Kokubunji



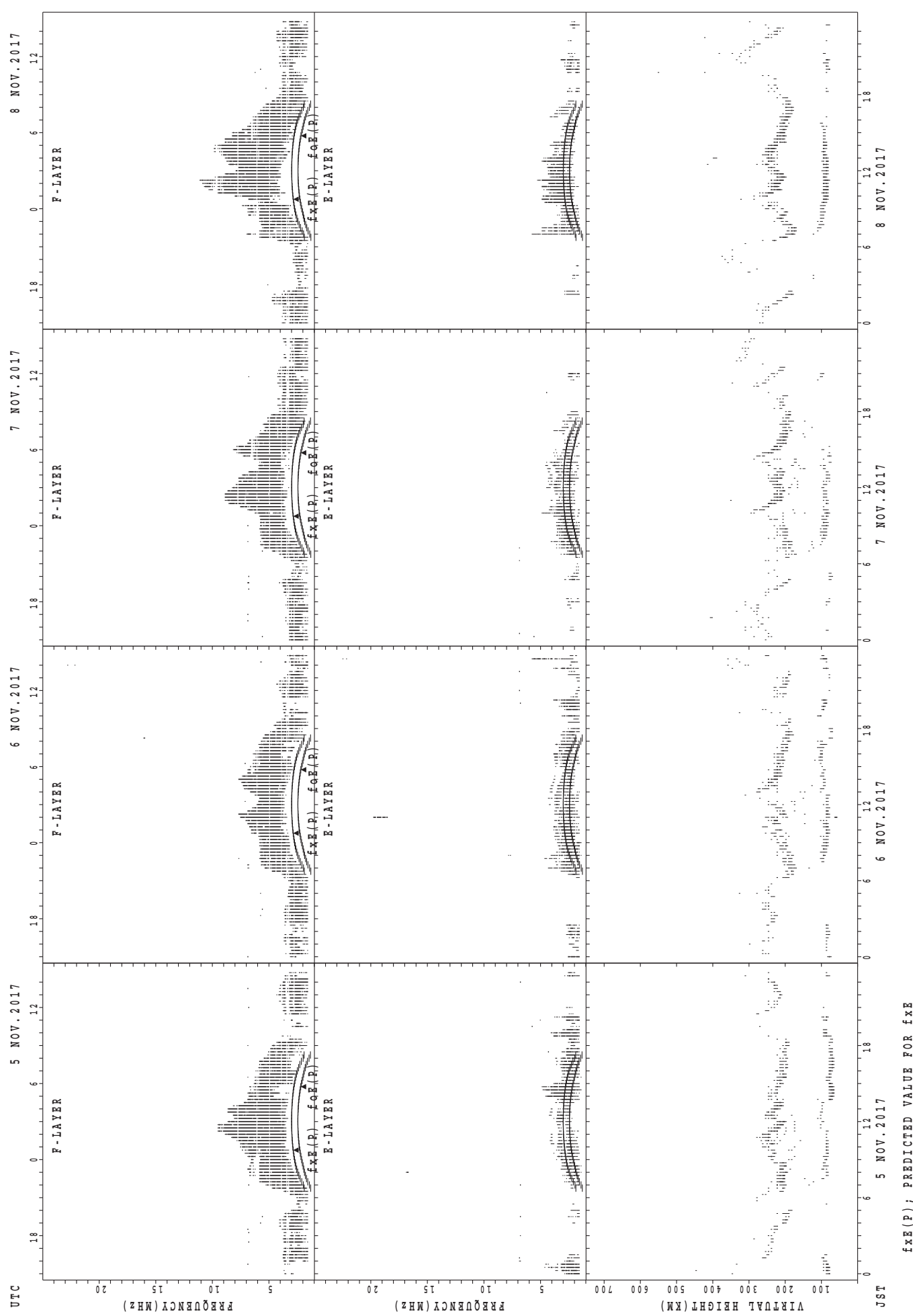
SUMMARY PLOTS AT Kokubunji



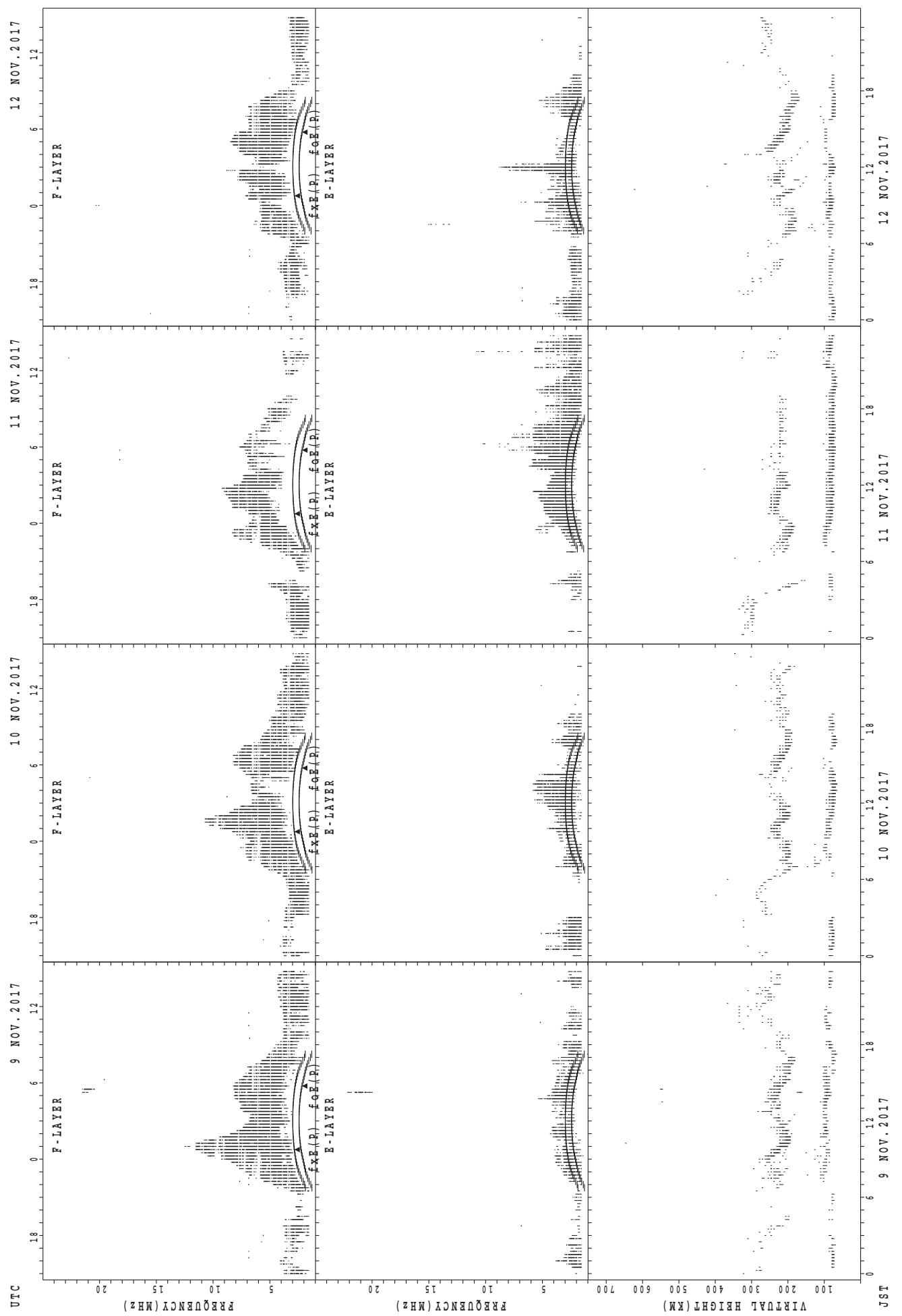
SUMMARY PLOTS AT Yamagawa



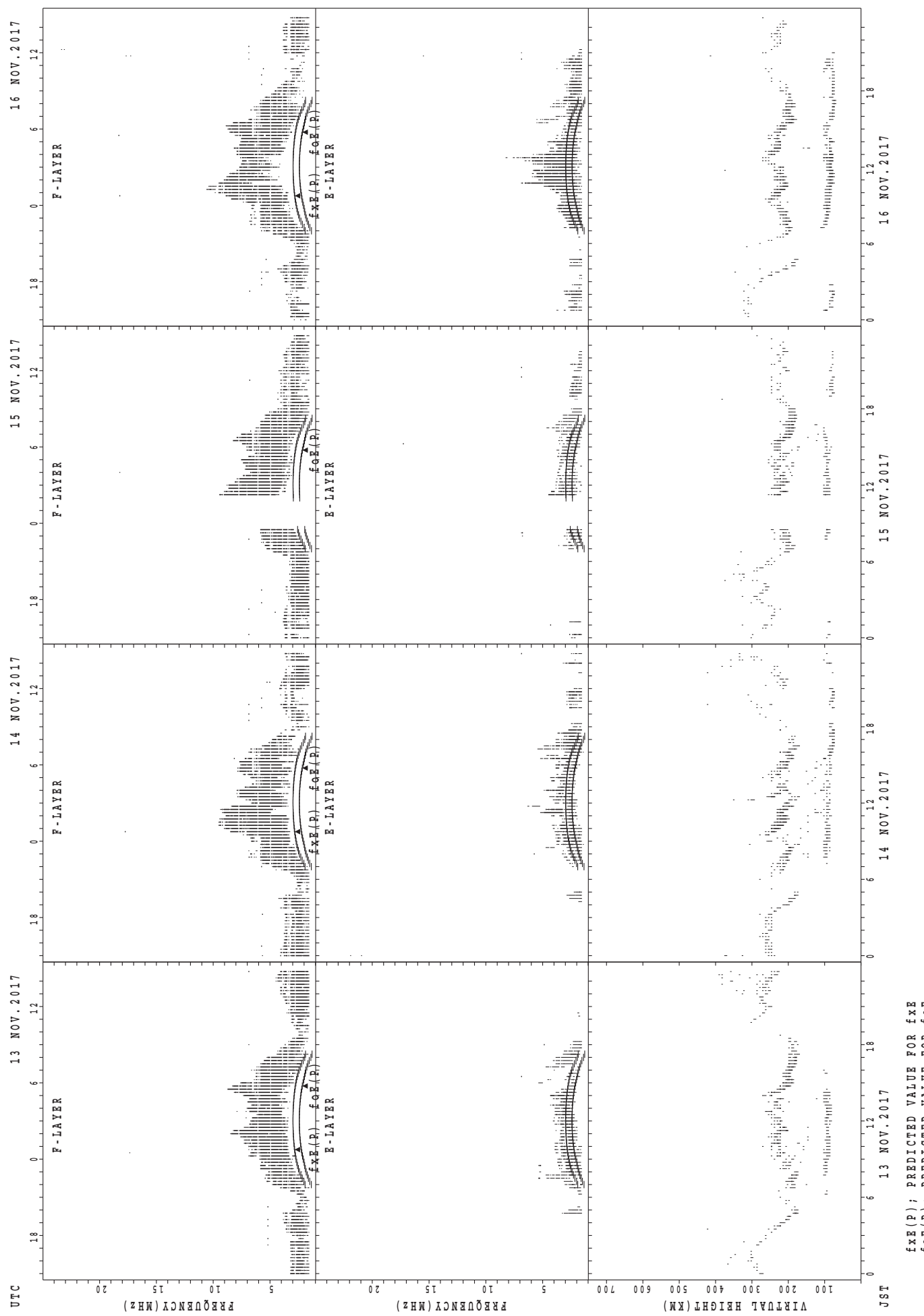
SUMMARY PLOTS AT Yamagawa



SUMMARY PLOTS AT Yamagawa

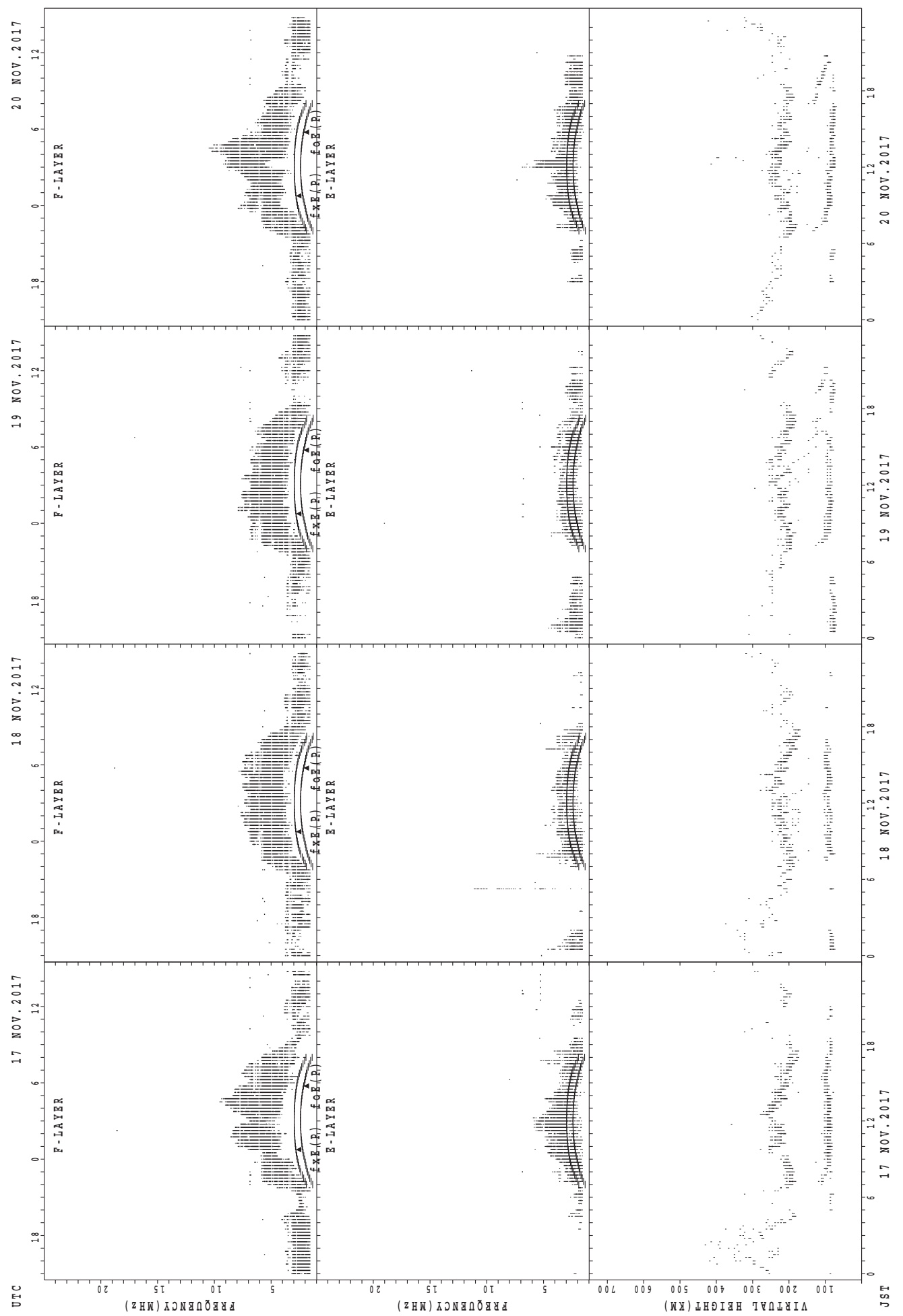


SUMMARY PLOTS AT Yamagawa

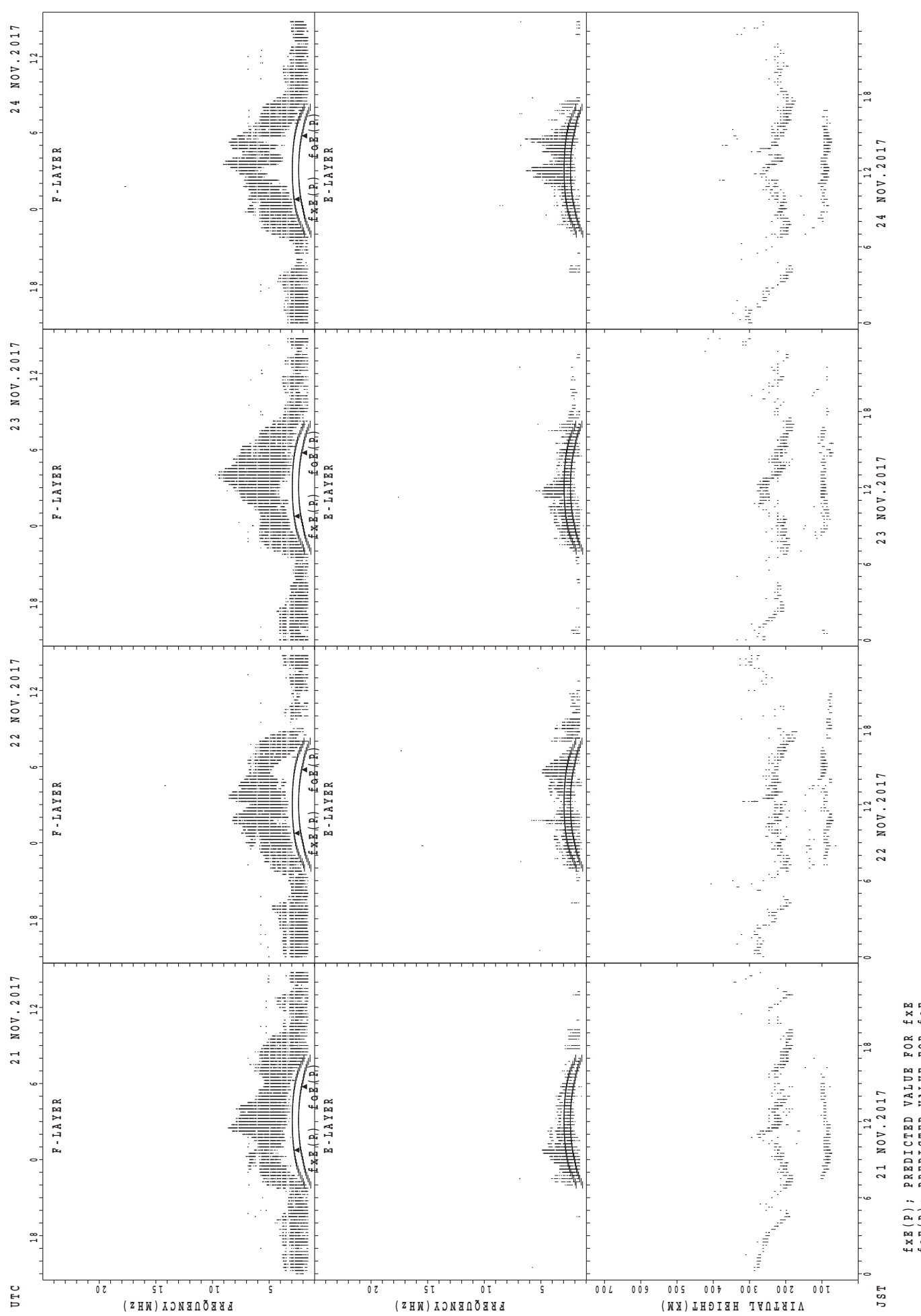


$f_{\text{EX}}(\text{P})$; PREDICTED VALUE FOR f_{EX}
 $f_{\text{OE}}(\text{P})$; PREDICTED VALUE FOR f_{OE}

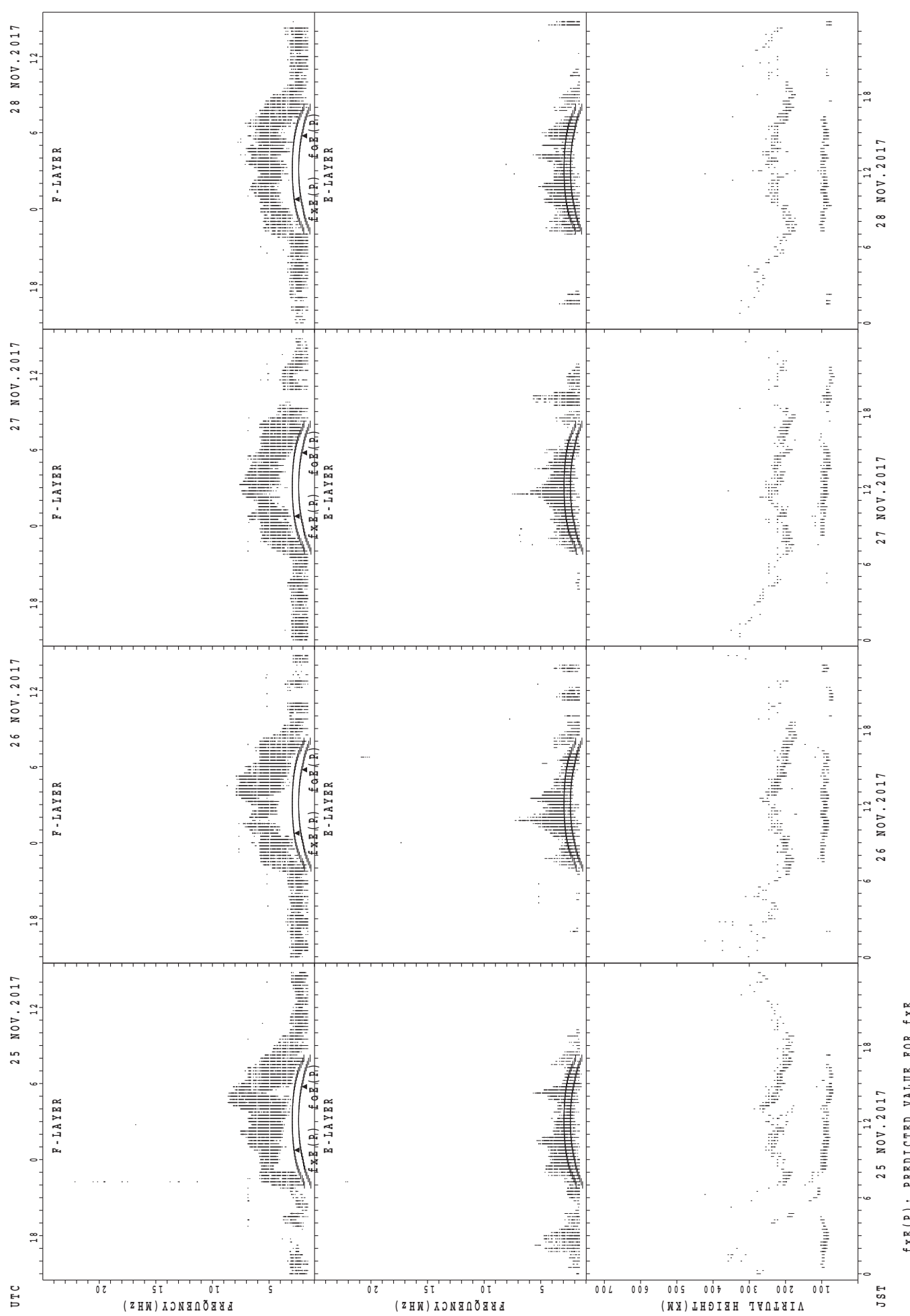
SUMMARY PLOTS AT Yamagawa



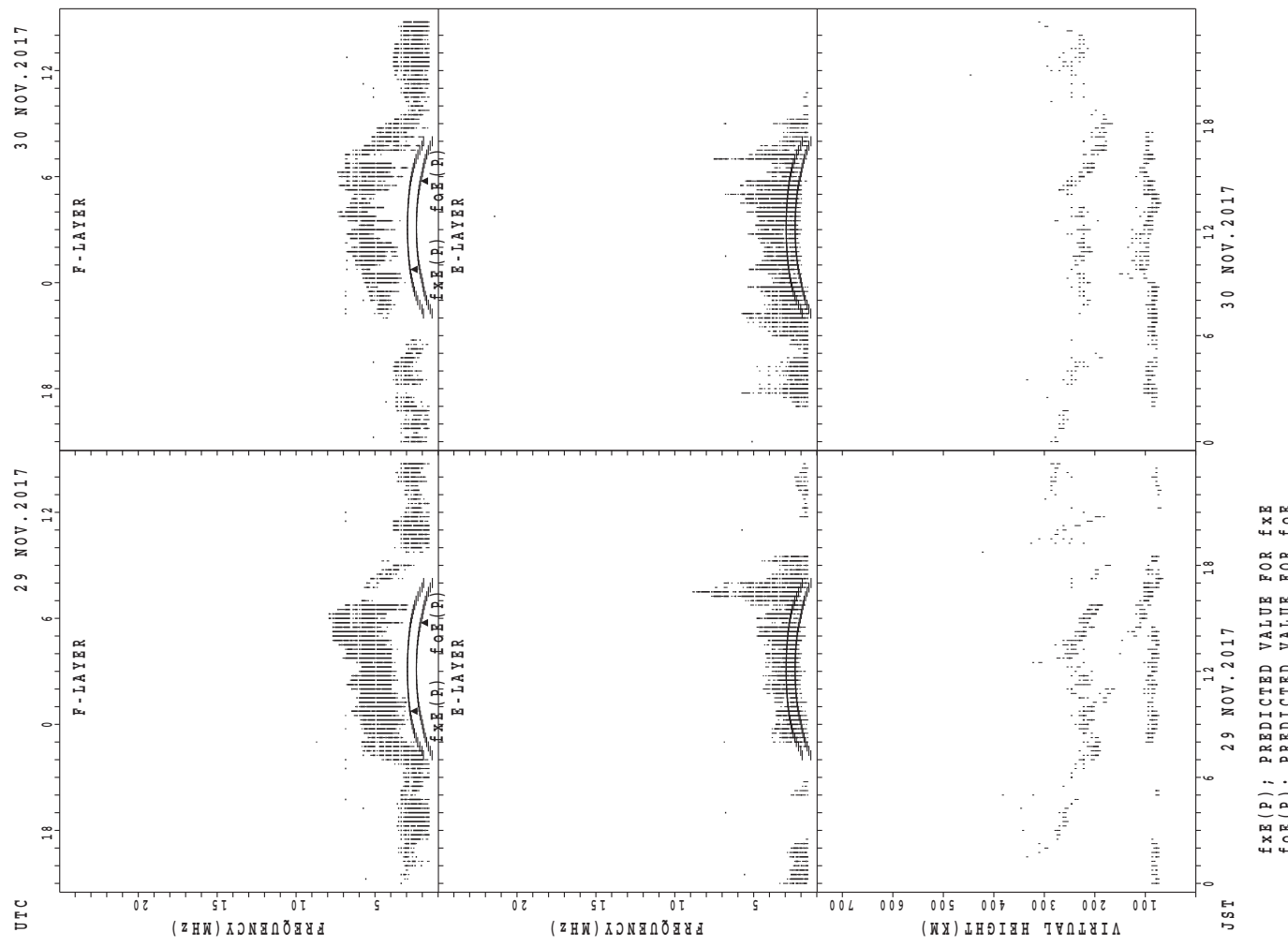
SUMMARY PLOTS AT Yamagawa



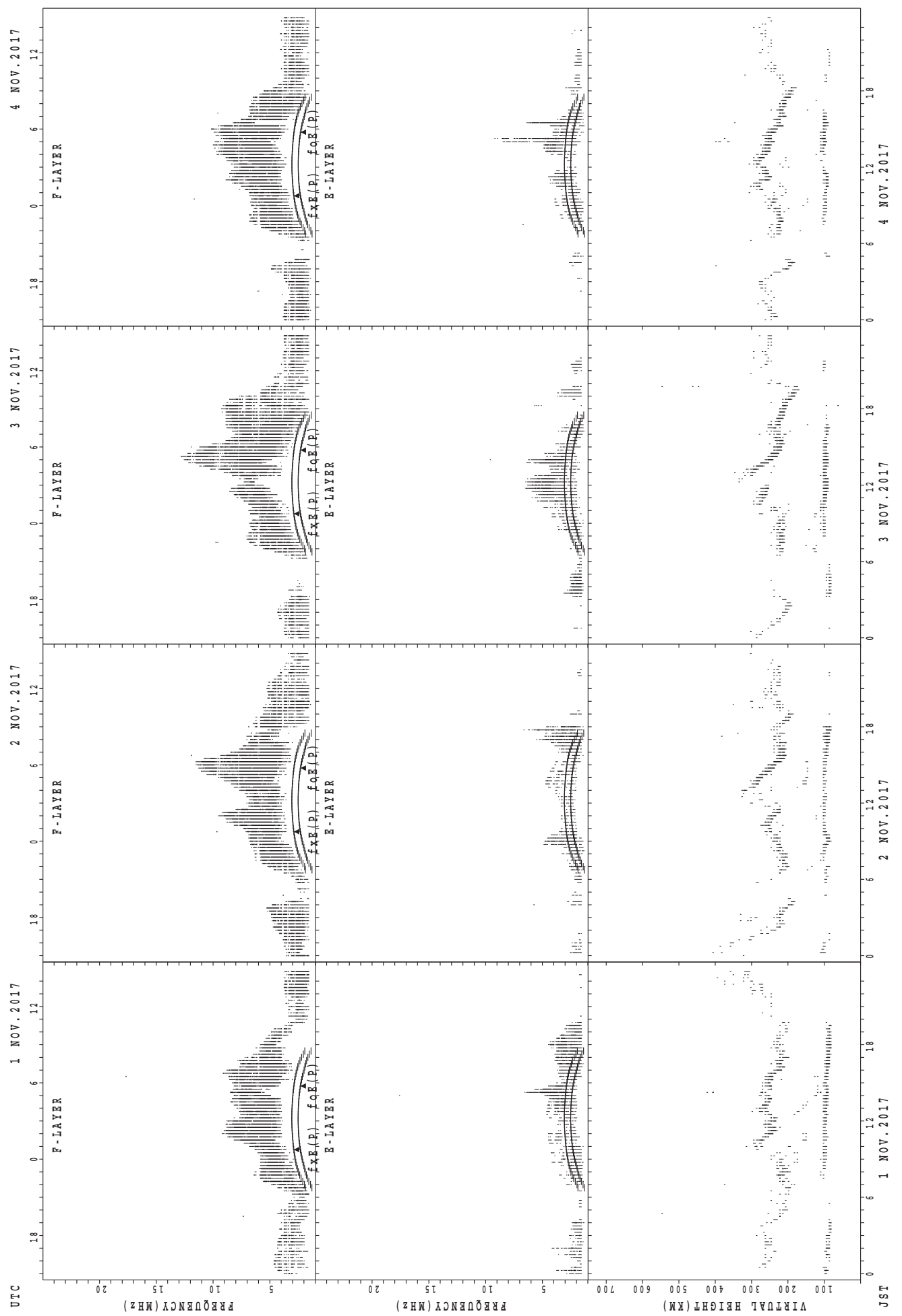
SUMMARY PLOTS AT Yamagawa



SUMMARY PLOTS AT Yamagawa

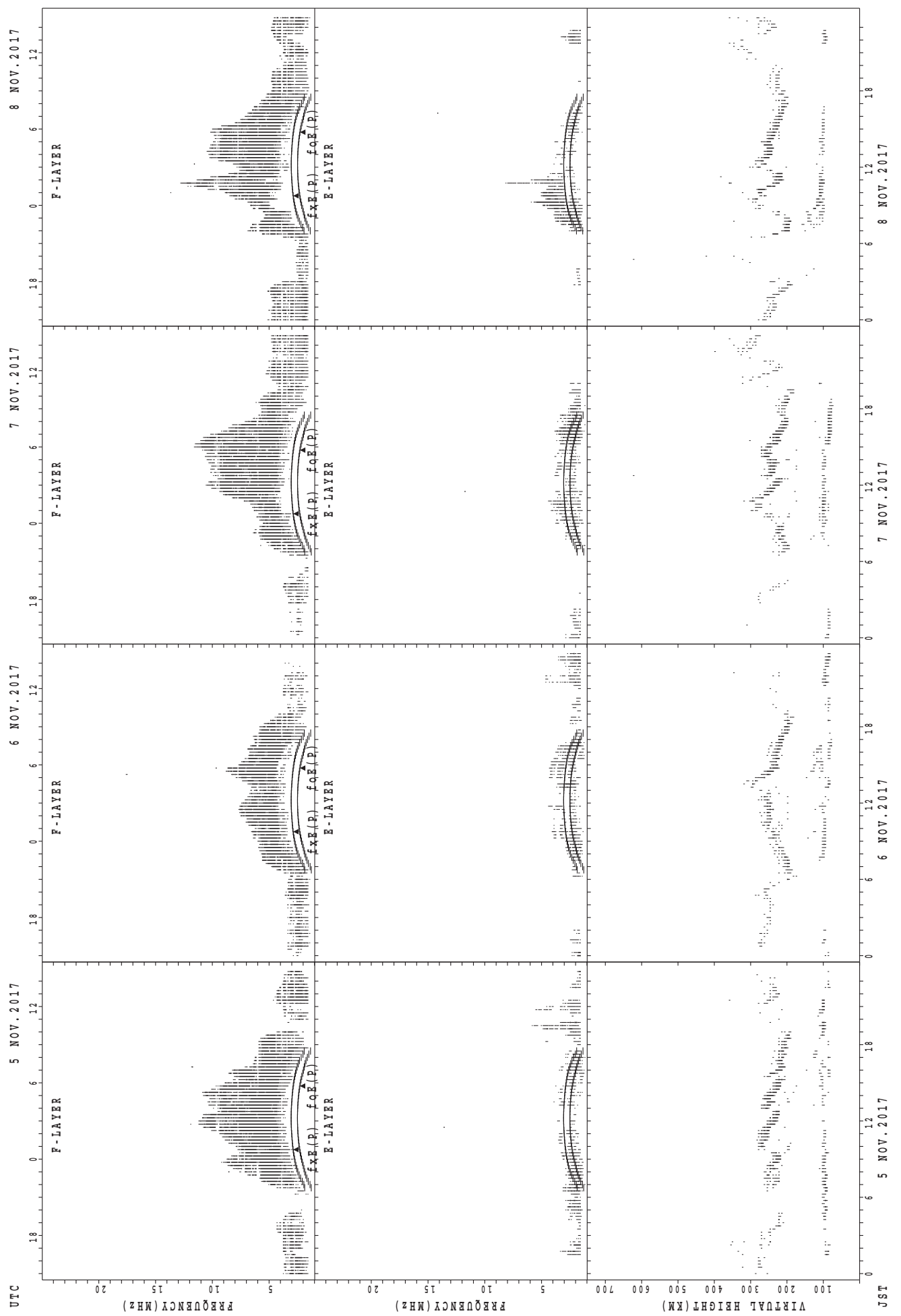


SUMMARY PLOTS AT Okinawa

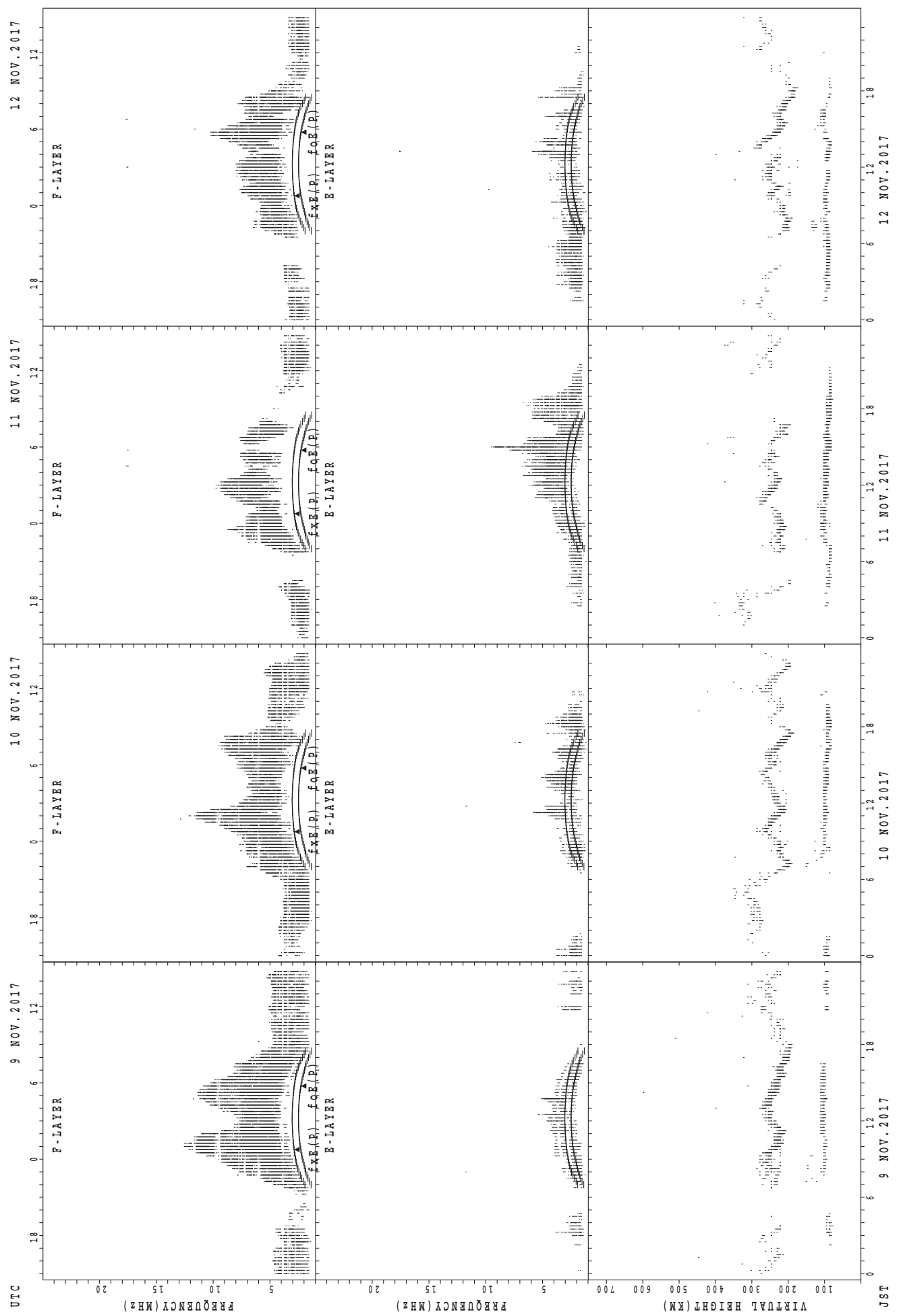


$f_{\text{Fe}}(\text{P})$; PREDICTED VALUE FOR f_{Fe}
 $f_{\text{Qe}}(\text{P})$; PREDICTED VALUE FOR f_{Qe}

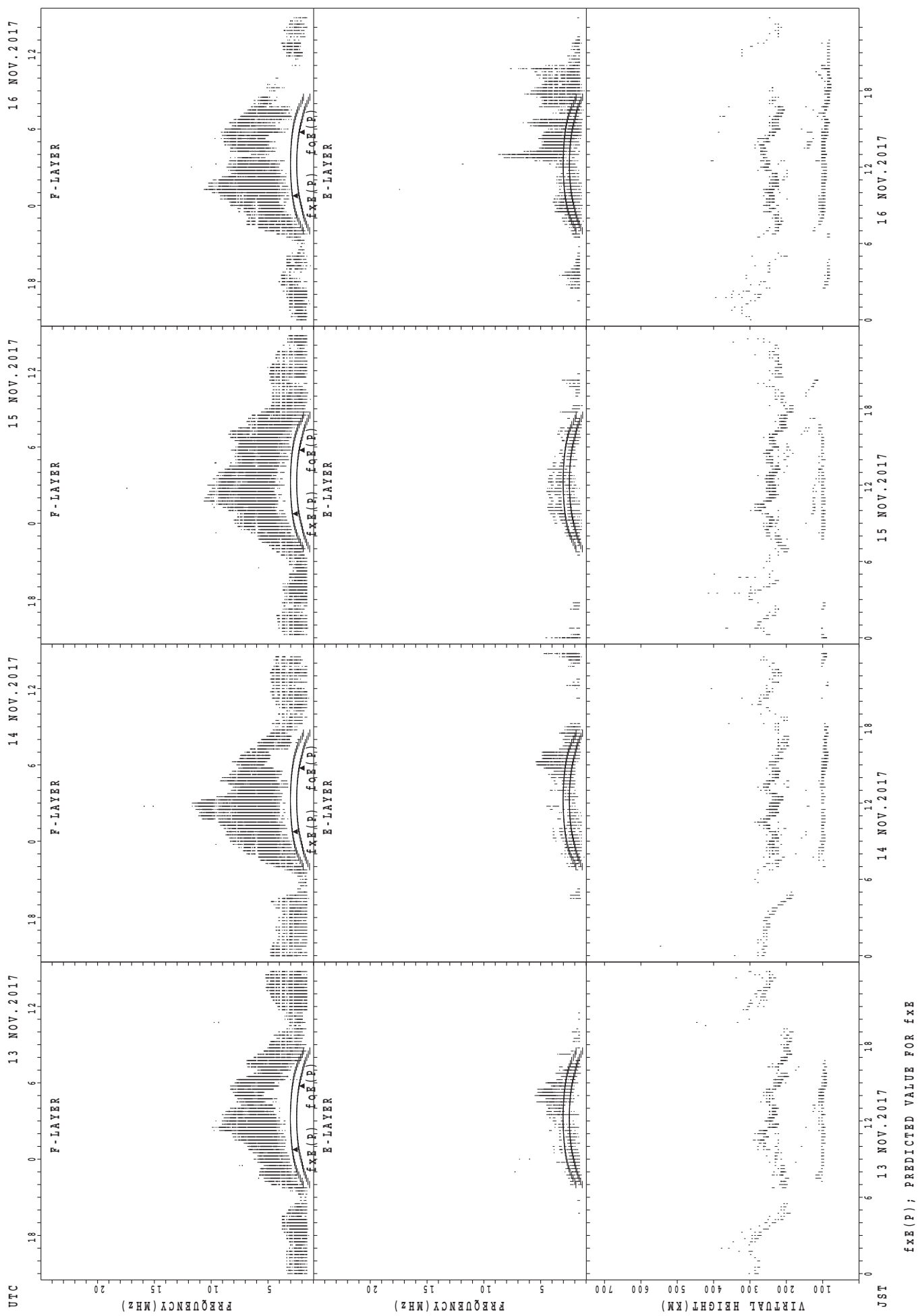
SUMMARY PLOTS AT Okinawa



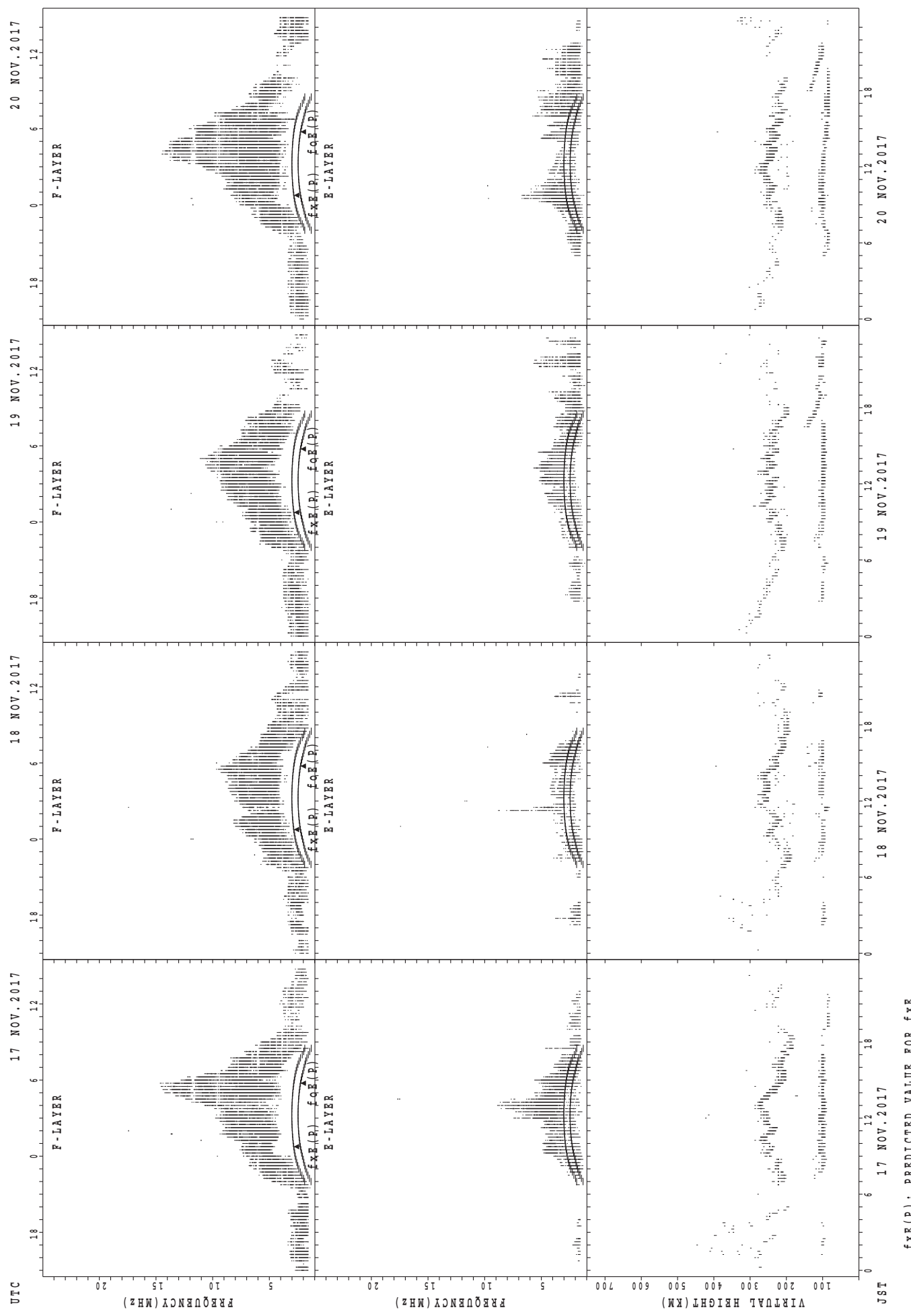
SUMMARY PLOTS AT Okinawa



SUMMARY PLOTS AT Okinawa

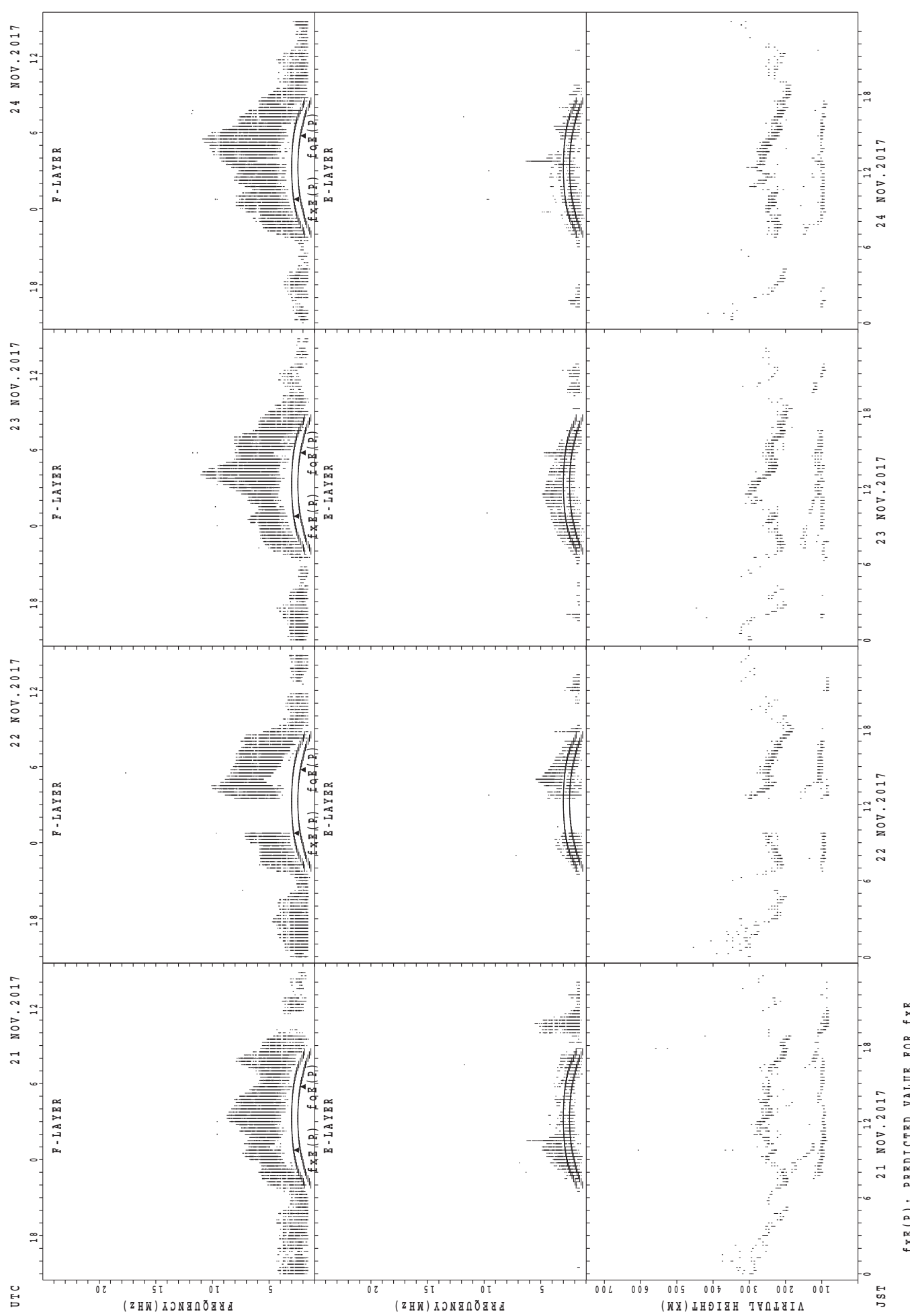


SUMMARY PLOTS AT Okinawa



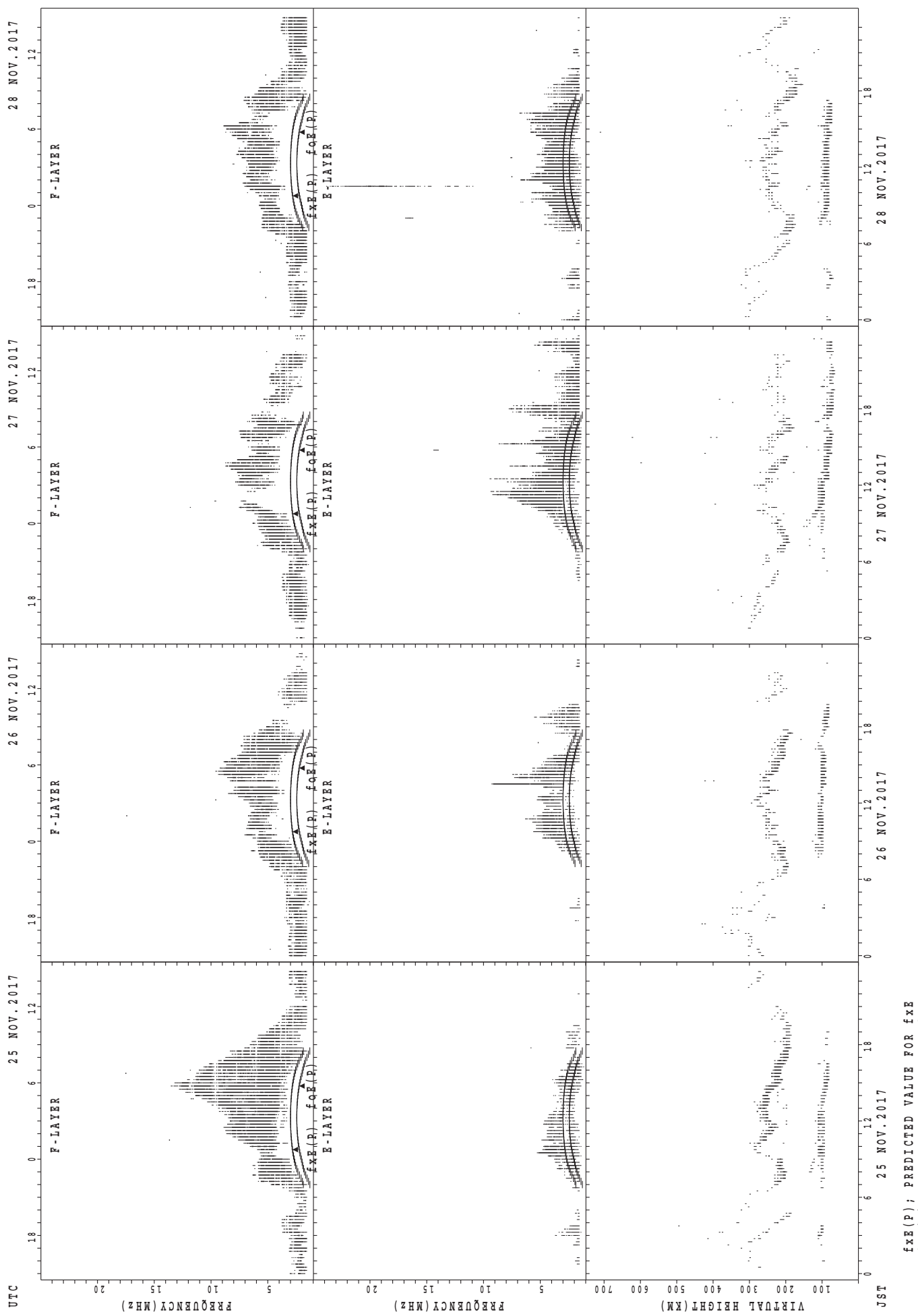
$f_{\text{X}E}(\text{P})$; PREDICTED VALUE FOR $f_{\text{X}E}$
 $f_{\text{O}E}(\text{P})$; PREDICTED VALUE FOR $f_{\text{O}E}$

SUMMARY PLOTS AT Okinawa



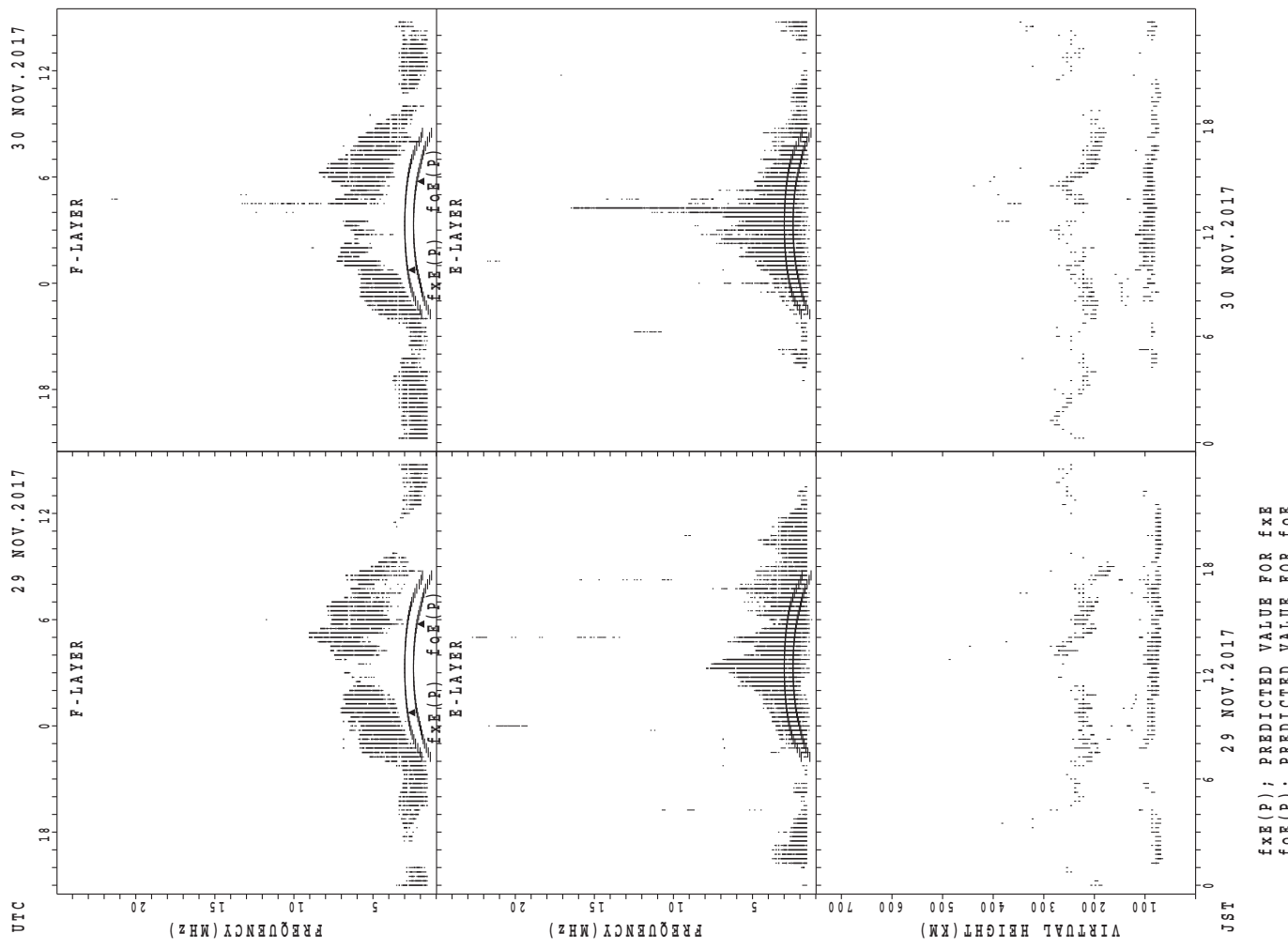
$f_{EX}(P)$; PREDICTED VALUE FOR f_{EX}
 $f_{OE}(P)$; PREDICTED VALUE FOR f_{OE}

SUMMARY PLOTS AT Okinawa



$f_{xE}(P)$; PREDICTED VALUE FOR f_{xE}
 $f_{oE}(P)$; PREDICTED VALUE FOR f_{oE}

SUMMARY PLOTS AT Okinawa



MONTHLY MEDIANs OF h'F AND h'Es
NOV. 2017 135E MEAN TIME (UTC+9H) AUTOMATIC SCALING

h'F STATION Wakkanai LAT. 45°10.0'N LON. 141°45.0'E

	00	01	02	03	04	05	06	07	08	09	10	11	12	13	14	15	16	17	18	19	20	21	22	23
CNT									9	18	18	18	17	12	11	9	4		1					
MED									210	224	217	215	216	224	216	222	200		206					
U_Q									219	230	234	218	223	229	224	225	202		103					
L_Q									206	212	208	208	207	216	212	218	198		103					

h'Es

	00	01	02	03	04	05	06	07	08	09	10	11	12	13	14	15	16	17	18	19	20	21	22	23
CNT	11	7	6	5	6	3	6	20	27	28	28	25	23	23	24	16	17	12	11	10	12	9	10	5
MED	83	83	81	81	88	87	101	121	95	95	92	101	95	95	100	89	93	91	89	87	86	87	86	85
U_Q	89	85	97	96	97	175	131	165	113	100	117	142	125	107	139	110	125	138	95	101	96	93	93	90
L_Q	81	79	77	77	87	85	97	107	91	89	86	93	81	89	83	83	80	81	85	83	85	81	79	

h'F STATION Kokubunji LAT. 35°43.0'N LON. 139°29.0'E

	00	01	02	03	04	05	06	07	08	09	10	11	12	13	14	15	16	17	18	19	20	21	22	23
CNT									4	10	15	9				10	20	14	3					
MED									210	218	228	238				228	226	217	210					
U_Q									213	228	248	257				236	241	234	226					
L_Q									204	216	220	226				218	215	216	208					

h'Es

	00	01	02	03	04	05	06	07	08	09	10	11	12	13	14	15	16	17	18	19	20	21	22	23
CNT	6	10	8	8	5	3	2	24	29	27	26	25	23	20	20	23	22	22	13	11	9	11	9	9
MED	85	83	88	86	83	87	85	110	99	95	95	95	95	92	94	91	90	89	83	89	85	83	89	89
U_Q	89	89	89	93	94	97	89	125	107	103	101	113	141	98	127	101	99	175	89	91	91	87	92	96
L_Q	81	81	81	82	78	81	81	97	92	89	89	89	87	87	88	81	83	79	80	81	82	81	84	83

h'F STATION Yamagawa LAT. 31°12.0'N LON. 130°37.0'E

	00	01	02	03	04	05	06	07	08	09	10	11	12	13	14	15	16	17	18	19	20	21	22	23
CNT									1	2	7	12				10	23	9	1					
MED									190	279	226	230				232	226	214	204					
U_Q									95	352	248	244				238	232	216	102					
L_Q									95	206	218	219				222	218	209	102					

h'Es

	00	01	02	03	04	05	06	07	08	09	10	11	12	13	14	15	16	17	18	19	20	21	22	23
CNT	9	11	11	10	8	7	5	18	29	29	29	29	28	30	30	28	25	19	20	15	16	8	4	7
MED	81	81	83	84	86	81	85	137	99	95	91	95	89	95	90	95	91	81	83	85	83	84	85	87
U_Q	95	91	85	87	95	85	104	163	131	110	122	146	117	137	107	102	105	97	91	87	92	87	99	95
L_Q	81	79	79	81	81	79	82	125	94	89	89	89	87	87	85	87	82	77	78	81	81	79	82	83

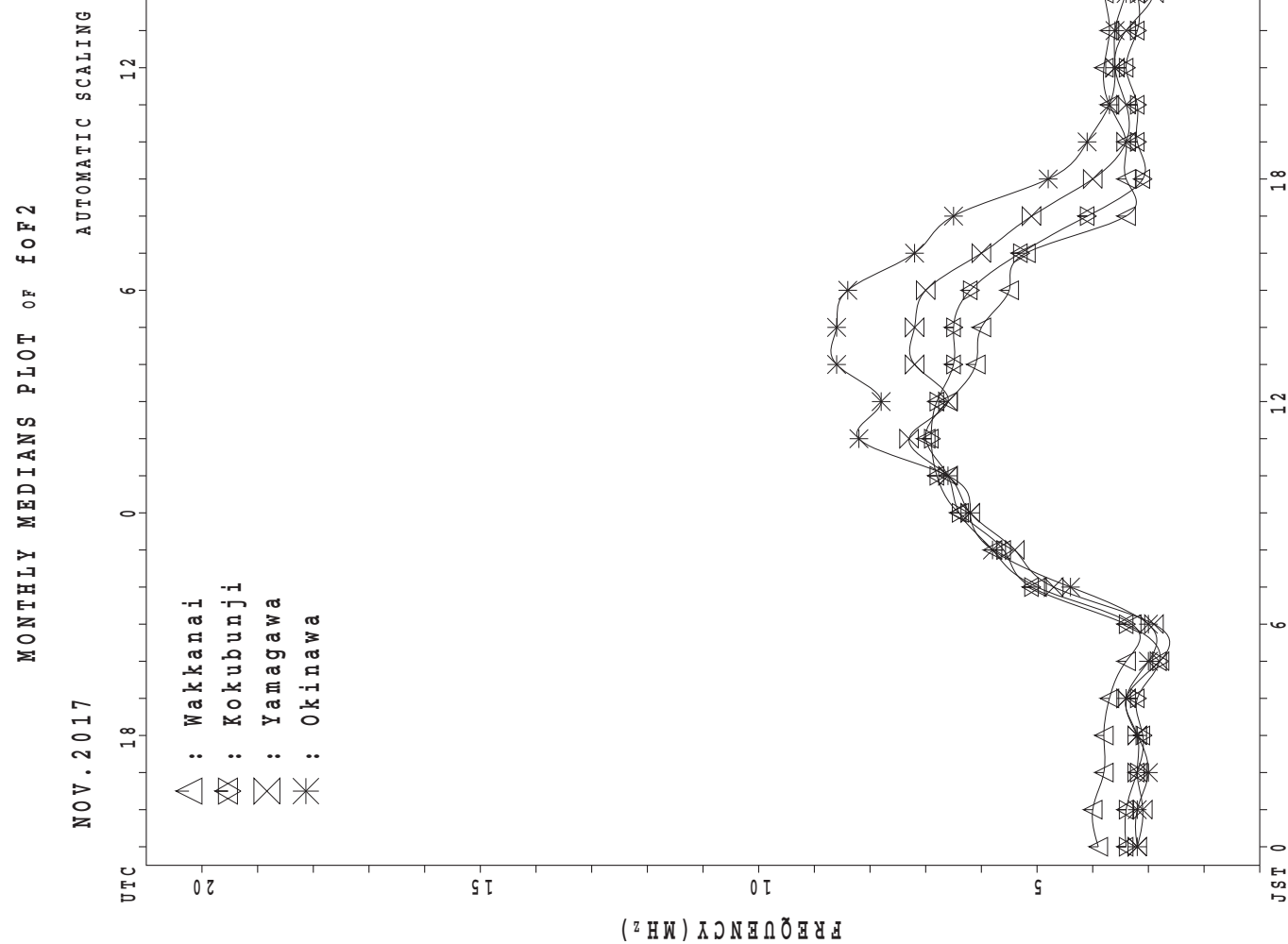
MONTHLY MEDIAN S OF h' F AND h' Es
 NOV. 2017 135E MEAN TIME(UTC+9H) AUTOMATIC SCALING

h' F STATION Okinawa LAT. 26°41.0'N LON. 128°09.0'E

	00	01	02	03	04	05	06	07	08	09	10	11	12	13	14	15	16	17	18	19	20	21	22	23
CNT									1	4	13	10					27	27	15	1				
MED									206	244	246	241					230	222	226	224				
U Q									103	271	247	260					238	232	238	112				
L Q									103	222	236	232					222	218	214	112				

h' Es

	00	01	02	03	04	05	06	07	08	09	10	11	12	13	14	15	16	17	18	19	20	21	22	23
CNT	5	3	4	8	7	6	4	14	29	26	23	26	24	26	28	26	26	18	18	15	12	10	7	6
MED	93	93	95	91	89	90	90	120	113	115	107	105	105	107	103	104	97	94	89	93	92	104	97	92
U Q	97	105	101	103	93	93	94	147	133	151	113	117	113	113	110	111	105	103	99	105	115	107	105	99
L Q	85	89	84	89	87	89	88	95	104	101	103	97	99	99	96	95	89	89	87	87	84	89	91	89



IONOSPHERIC DATA STATION Wakkanai

NOV. 2017 fxI (0.1MHz)

135°E MEAN TIME (G.M.T. + 9 H)

LAT. 45°10.0'N LON. 141°45.0'E SWEEP 1.0MHz TO 30.0MHz IN 15.0SEC IN MANUAL SCALING

H D	00	01	02	03	04	05	06	07	08	09	10	11	12	13	14	15	16	17	18	19	20	21	22	23	
1	X	X	X	X	X	X												X	X	X	X	X	X		
	39	45	46	44	43	43												35	35	37	37	37	40		
2	X	X	X	X	X	X												A	X	X	X	X	X		
	41	42	43	42	40	38												41	42	45	45	45	45		
3	X		X	X	X														47	54	52	56	59	57	
	43	58	58	45	46	45												X	X	X	X	X	X		
4	X	X	X	X	X	X												45	45	51	53	59	59		
	58	59	61	63	63	62												X	X						
5	58	58	58	57	58	55												35	39	47	57	56	56		
	X	X	X	X	X	X	X											X	X	X	X	X	X		
6	56	56	43	41	43	43	38											39	47	50	48	50	50		
	X	X		X	X													X	X	X					
7	43	43	48	48	47	43												39	39	42		39	42		
	X	X	X	X	X	X												42	52	43	46	41	43		
8	40		41	31	31	27												X	X	X	X	X	X		
	X	X	X	X	X	X												41	44	38	41	A	X		
9	41	39	41	39	34	30																	40		
	X	X	X	X	X	X												X	X	X	X	X	X		
10	41	43		39	38	40												43	46	43	40	33	39		
	X	X		X	X	X												X							
11	41	45	57	59	54	40												35	43	42	45	40	37		
	X	X		X	X	X												X	X	X	X	X	X		
12	47	57	49	56	50	40												31	34	39	39	39	39		
	X	X		X	X	X												X	X	X	X	X	X		
13	40	41	40	40	32	39												30	33	34	34	37	37		
	X	X	X	X	X	X												X							
14	37	39	39	37	39	39												36	41	39	48	52			
	X	X	X	X	X	X												X	X	X	X	X	X		
15	42	39	38	38	37	37												39	39	41	41	45	42		
	X	X	X	X	X	X												X	X	X	X	X	X		
16	41	38	37	38	36	31												34	39	41	44	51	51		
	X	X	X	X	X	X												X	X	X	X	X	X		
17	51	51	40	41	41	39	34											66	40	44	44	45	53	53	
	X	X		X	X	X												X	X	X	X	X	X		
18	48	47	47	54	39													40	37	41	41	38	46		
	X	X		X	X	X												X	X	X	X	X	X		
19	58	58	58	55														53	37	39	47	52	54	57	
	X	X		X	X	X												X							
20	54	47	47	41	39	40												34	39	38	35	39	52		
	X	X		X	X	X												X	X	X	X	X	X		
21	58	56	46	46	39	38	44											54	53	59	64	51	54	52	
	X	X	X	X	X	X												X	X	X	X	X	X		
22	53	48	51	49	46	43													40	38	38	39	43	45	
	X	X	X	X	X	X												X	X	X	X	X	X		
23	45	45	43	43	44	28												62	40	46	44	56	49	43	
	X	X	X	X	X	X												X	X	X	X	X	X		
24	41	40	37	37	37	32													39	39	40	38	41	41	
	X	X	X	X	X	X												X	X	X	X	X	X		
25	42	40	40	38	37	34													33	40	39	39	39	49	
	X	X	X	X	X	X												X	X	X	X	X	X		
26	47	49	48	48	50	45	39												43	45	45	44	52	55	
	X	X		X	X	X												X	X	X	X	X	X		
27	48	48	48	49	45	47												39	39	45	44	42	41	43	
	X	X		X	X	X												X	X	X	X	X	X		
28	42	44	48	58	57	51												39	43	48	42	45	49		
	X	X		X	X	X												A							
29	58	58	58	58	58	38	35												37	34	47	58			
	X	X		X	X	X												X	X	X	X	X	X		
30	58	58	58	55	58	39	34											39	45	52	48	54	54		
	X	X		X	X	X												X	X	X	X	X	X		
31																									
	00	01	02	03	04	05	06	07	08	09	10	11	12	13	14	15	16	17	18	19	20	21	22	23	
CNT	30	29	29	30	29	28	7											4	1	27	29	30	29	30	
MED	44	47	47	44	43	40	38											X	X	X	X	X	X		
U Q	54	56	54	55	50	43	39											58	39	41	42	45	48		
L Q	41	42	40	39	38	38	34											X	X	X	X	X	X		

NOV. 2017 fxI (0.1MHz)

NATIONAL INSTITUTE OF INFORMATION AND COMMUNICATIONS TECHNOLOGY, JAPAN

IONOSPHERIC DATA STATION Wakkanai

NOV. 2017 foF2 (0.1MHz)

135°E MEAN TIME (G.M.T. + 9 H)

LAT. 45°10.0'N LON. 141°45.0'E SWEEP 1.0MHz TO 30.0MHz IN 15.0SEC IN MANUAL SCALING

H D	00	01	02	03	04	05	06	07	08	09	10	11	12	13	14	15	16	17	18	19	20	21	22	23
1	32	38	39	37	36	36	41	53	66	63	63	69	70	77	62	62	52	28	28	30	30	30	33	
2	34	35	36	35	33	31	33	50	57	64	73		71	67	61	66	64	48	A	35	36	38	38	38
3	37	42	42	38	39	38	36	55	72	72	74	80	93	86	72	61	58	39	36	40	42	40	44	50
4	52	52	54	56	56	55	54	55	68	70	84	78	82	66	65	74	70	37	38	38	44	46	44	44
5	43	44	42	46	46	37	32	54	67	63	74	77	66	61	56	62	52	37	28	32	35	37	36	37
6	38	36	36	34	36	36	32	52	61	58	59	72	67	57	55	52	57	39	32	40	43	41	43	43
7	36	36	38	38	40	36	34	49	65	64	66	72	60	58	66	53	49	34	32	32	35	33	32	35
8	33	33	34	24	24	20	22	34	46	39	52	46	53	48	48	47	43	32	30	45	36	39	34	36
9	34	32	34	32	27	23	27	47	54	69	64	66	54	56	58	54	45	35	34	36	31	30		33
10	34	36	33	32	31	33	32	49	60	66	58	67	67	59	62	61	47	34	36	39	36	33	26	32
11	34	38	36	46	34	33	30	46	63	73	66	77	60	61	53	53	60	32	28	31	35	27	28	30
12	30	30	30	32	34	33	27	44	55	60	60	66	67	55	56	57	47	38	24	27	32	32	32	32
13	27	26	26	25	26	27	23	48	59	56	53	55	62	58	55	60	59	27	23	26	27	27	30	30
14	32	32	32	30	32	32	26	46	58	58	64	61	59	57	54	59	42	29	22	29	32	32	33	34
15	35	32	31	31	30	30	27	47	60	68	67	63	67	65	58	66	56	33	32	32	34	34	38	35
16	34	31	30	31	29	24	25	38	56	69	72	88	74	57	59	60	60	34	27	32	34	37	37	37
17	37	36	33	32	34	32	27	47	54	58	69	73	80	60	57	59	54	40	33	37	37	38	32	33
18	33	35	33	34	32	19	26	48	62	59	62	70	63	59	54	62	51	33	33	30	34	34	31	39
19	34	36	33	34	34	33	31	48	57	68	64	65	62	55	55	54	46	30	30	32	40	40	36	32
20	31	33	32	32	32	33	26	44	52	60	75	66	63	54	54	52	44	32	27	27	31	28	32	32
21	34	34	32	31	27	25	28	44	55	68	70	78	66	64	55	61	47	38	46	52	57	44	47	36
22	41	41	44	42	39	36	41	43	61	70	90	75	64	68	68	53	48	33	33	31	31	32	36	38
23	38	38	36	36	37	21	26	51	63	55	69	69	79	68	60	58	55	25	33	39	37	37	35	36
24	34	33	30	30	30	25	20	44	54	54	52	64	76	70	55	60	52	55	34	32	32	33	31	34
25	35	33	33	31	30	27	30	48	53	68	65	67	65	65	59	54	48	32	26	33	32	32	32	31
26	34	41	36	35	37	34	28	50	56	57	69	70	60	54	60	60	44	31	36	38	38	37	45	48
27	38	36	41	38	38	35	32	44	54	56	61	61	61	54	55	57	44	32	32	38	37	35	34	36
28	35	37	31	42	33	32	30	40	51	54	59	61	57	59	58	48	45	32	36	40	35	38	42	
29	46	42	36	32	32	27	23	42	52	53	66	60	61	58	58	53	50	31	A	27	30	27	30	41
30	46	46	46	41	34	32	27	44	54	54	60	65	56	61	58	54	58	40	32	38	45	41	41	47
31																								
	00	01	02	03	04	05	06	07	08	09	10	11	12	13	14	15	16	17	18	19	20	21	22	23
CNT	30	30	30	30	30	30	30	30	30	30	30	29	30	30	30	30	30	30	28	30	30	30	29	30
MED	34	36	34	34	34	32	28	47	57	62	66	69	64	59	58	58	50	34	32	32	35	34	34	36
U Q	38	38	38	38	37	35	32	50	62	68	70	76	70	65	60	61	58	38	33	38	38	38	38	39
L Q	34	33	32	31	30	27	26	44	54	56	61	64	60	56	55	53	46	32	28	31	32	32	32	33

NOV. 2017 foF2 (0.1MHz)

NATIONAL INSTITUTE OF INFORMATION AND COMMUNICATIONS TECHNOLOGY, JAPAN

IONOSPHERIC DATA STATION Wakkanai

NOV. 2017 foF1 (0.01MHz)

135°E MEAN TIME (G.M.T. + 9 H)

LAT. 45°10.0'N LON. 141°45.0'E SWEEP 1.0MHz TO 30.0MHz IN 15.0SEC IN MANUAL SCALING

H D	00	01	02	03	04	05	06	07	08	09	10	11	12	13	14	15	16	17	18	19	20	21	22	23										
1									L	L	L	L	L	L	L																			
2										L	L		404	L																				
3										L		L	L	L	L																			
4											L	L	L	L	L																			
5											L	L	L	L	L																			
6											L	L	L	L	L	L																		
7											L	L	L	L																				
8								B	L	L		364	376	260		L	L	L																
9																L	L																	
10											L	L	L	L	L	L		L																
11											L	L	L	L	L		264	252																
12									L		L		L		328			L																
13										L		L	L	L	L				L															
14											L		L	L	L																			
15											L		L		352		L	L			L													
16											376	388	388			L	L																	
17											320		L	L	L	L	L																	
18												L	L	L	L																			
19												L		332		L																		
20												L	E	L					L															
21												L	L	L	L	L																		
22													L	L	L																			
23											L			L	L																			
24													L			L	L	L	L															
25													L			L	L	L	L															
26													L	L	L	L	L	L																
27													L	L	L	L	L	L	L															
28												L				L			L			L												
29													L			L																		
30																																		
31																																		
	00	01	02	03	04	05	06	07	08	09	10	11	12	13	14	15	16	17	18	19	20	21	22	23										
CNT															2	2	3	3	1	1	1													
MED															348	376	376	352	328	264	252													
U Q																388	404																	
L Q																332	260																	

NOV. 2017 foF1 (0.01MHz)

NATIONAL INSTITUTE OF INFORMATION AND COMMUNICATIONS TECHNOLOGY, JAPAN

IONOSPHERIC DATA STATION Wakkanai

NOV. 2017 foE (0.01MHz) 135°E MEAN TIME (G.M.T. + 9 H)

LAT. 45°10.0'N LON. 141°45.0'E SWEEP 1.0MHz TO 30.0MHz IN 15.0SEC IN MANUAL SCALING

H D	00	01	02	03	04	05	06	07	08	09	10	11	12	13	14	15	16	17	18	19	20	21	22	23					
1								B	200	248	268	280	244	300	280	244	228	B	A										
2								B	208	232	272	280		300	272		A	A	A	A									
3								B	204	240	276	296		A	A		272	260	204	168		B							
4								A	188	272	288		288	288	288	268	232		A	A									
5								B	176	236	252	280	296	280	268	264	200		A	B									
6									200	236	244	280		A	A		280	240	220		B	B							
7								B	192	224	256	272	288	288	272	248	204	192		A			160						
8	160							A	A		A	A		272	240	240	188		A			192							
9								B	248	220	244	260	232	236	256			A		A	A								
10	304							A	A		A		212	268	268	268	256	224	188		A	A							
11								B	188	224	252	276	276	260	252			A	212	200		A							
12								B	200	212	248	256	268	288	260	232		A	188		A								
13								R	212	188	212	244	260	272	272	252	252		A	A		180							
14								A	172		A	A		284	252	280	264	240	216		A	B		168		200			
15								B	B	A			252	276	276	276	264	244		A	B	B							
16									192	180	204	252	260	272	280	252	240	184		B	B								
17										192	208	232	264	264		A		268	248	204	196		A						
18								B	204		A		296	276	276	288	276	228	224		A	A							
19	148	B						A	A				264	280	280	280	268	248	212		B								
20								B	192	232	272	288	292	280	256	240	208		B	B									
21										192	220	260	272	280	276	264	248	208		B									
22								B	A	A	A	A	A	B			268	232		B	B	A							
23									196	188	212	220	268	268	268	268	248	204			B								
24								B	176	212	248	276	276	264	240	240	208		A	B									
25								B	204	224	244	264	284	284	260	240	180		B	A									
26								A	B				164	252	284	276	276	256	224	216		A	A						
27								B	B				216	256	256	264	264	256	244	208		B							
28								B	A				216	236	252	268	268	268	220		A		A						
29								B					240	264	296	272	276		A	A	220	252	232		284				
30								B					192	244	268	268	268	264	232	196	184			A					
31																													
CNT	00	01	02	03	04	05	06	07	08	09	10	11	12	13	14	15	16	17	18	19	20	21	22	23					
MED	1	1	1	1	3	20	25	27	27	25	26	29	26	24	8	3	1	1	1	1	1	1	1	1	1	1	1		
U Q	160	304	148	196	192	220	252	276	272	276	264	240	240	208	190	192	168	284	160	200									
L Q								R	212	202	234	264	280	280	284	270	248	216	198	232									

NOV. 2017 foE (0.01MHz)

NATIONAL INSTITUTE OF INFORMATION AND COMMUNICATIONS TECHNOLOGY, JAPAN

IONOSPHERIC DATA STATION Wakkanai

NOV. 2017 foEs (0.1MHz)

135°E MEAN TIME (G.M.T. + 9 H)

LAT. 45°10.0'N LON. 141°45.0'E SWEEP 1.0MHz TO 30.0MHz IN 15.0SEC IN MANUAL SCALING

H D	00	01	02	03	04	05	06	07	08	09	10	11	12	13	14	15	16	17	18	19	20	21	22	23
1	J 52	A 16	E 16	B 23	E 16	B 16	E 16	27	32	32	33	37	51	G 29	J 26	A 17	E 21	B 21	J 26	A 26	J 29	J 30	J 23	J 21
2	20	21	18	16	16	16	16	23	30	32	31	53	37	31	27	30	32	50	38	22	20	31	39	
3	31	29	28	21	16	18	16	27	48	38	53	48	37	30	33	25	25	16	16	25	28	28	25	
4	26	22	16	62	25	25	28	25	28	35	55	34	32	63	39	29	21	33	16	16	41	34	31	24
5	E 16	B 21	E 16	J 87	23	16	16	22	34	43	47	40	55	30	30	26	22	21	25	20	31	24	151	16
6	28	24	28	19	19	16	16	22	120	52	29	35	41	28	29	24	16	16	16	16	32	33	28	
7	J 23	A 33	E 26	E 87	16	16	16	26	37	33	98	23	33	50	34	24	27	32	19	28	16	16	16	16
8	E 26	B 17	J 151	A 16	E 16	24	33	23	25	27	32	51	29	24	18	24	24	16	25	24	16	E B		
9	J 25	A 15	E 88	B 24	38	15	16	34	33	48	57	71	63	49	35	39	30	30	16	16	16	29	60	28
10	30	27	23	16	16	16	132	21	25	39	34	32	32	64	26	22	26	32	16	16	18	24	16	27
11	E 27	B 16	E 20	B 16	15	16	107	24	35	43	32	34	42	33	26	33	22	32	41	50	52	28	30	21
12	E 16	B 29	E 28	16	28	50	28	28	38	34	34	37	42	26	34	34	20	36	60	31	28	28		
13	34	30	35	28	34	16	56	27	24	28	36	31	32	29	34	38	28	59	61	33	36	30	63	
14	J 140	A 16	E 21	B 26	26	30	26	28	33	44	51	28	30	28	45	19	26	28	16	29	29	20		
15	29	31	33	29	25	20	16	16	51	45	61	33	32	23	18	15	26	23	27	32	29	24		
16	E 16	B 24	E 15	B 16	21	22	20	G G	26	38	48	34	29	27	22	16	16	16	16	20	20	15	15	
17	E 15	B 28	J 27	32	32	26	120	G 32	27	33	30	63	32	30	27	40	23	65	107	58	24	16	16	
18	21	32	94	38	32	16	16	20	29	108	48	33	40	35	32	37	16	11	16	16	28	28		
19	32	27	16	103	89	16	15	102	53	58	51	57	149	41	33	17	15	16	16	16	16	31		
20	E 21	B 16	E 29	B 13	16	16	16	26	30	36	60	55	32	28	G 16	16	14	16	16	16	16	16		
21	E 16	B 16	E 16	B 27	17	16	16		25	39	G G	G G	G G	G G	G G	G 16	E 16	B 16	16	16	28	16		
22	E 16	B 16	E 16	B 125	16	16	15	28	20	20	102	93	32	28	27	23	16	38	34	34	22	22	20	
23	30	22	16	15	15	17	15	25	25	29	44	31	83	50	30	22	16	15	27	16	16	16	16	
24	J 27	A 16	E 21	B 16	77	16	16	G 29	36	36	32	33	28	26	55	27	16	16	16	16	16	30	20	
25	E 90	B 16	E 16	B 16	16	16	16	24	28	34	34	38	27	75	53	16	25	28	16	20	27	20	16	
26	E 16	B 16	E 16	B 50	18	20	39	16	49	31	31	47	29	39	26	71	26	20	21	85	16	16	16	
27	28	30	16	22	23	20	16	16	30	34	28	30	31	G 26	J 17	27	45	43	31	25	16	22		
28	J 28	A 104	E 17	B 25	16	15	16	113	25	31	31	33	32	33	30	34	26	20	24	28	35	27	51	
29	28	27	27	59	24	23	16	16	G 29	G 137	G 29	52	83	30	104	90	E 16	21	16	E 16	E 16	E 16		
30	E 16	B 16	E 16	B 16	16	16	16	16	24	30	37	38	43	49	37	37	45	38	60	58	72	39	34	
31																								
	00	01	02	03	04	05	06	07	08	09	10	11	12	13	14	15	16	17	18	19	20	21	22	
CNT	30	30	30	30	30	30	30	30	30	30	30	30	30	30	30	30	30	30	30	30	30	30	30	
MED	26	22	20	24	18	16	16	24	30	36	36	33	33	30	29	26	22	22	24	24	20	25	26	
U Q	30	29	28	38	26	20	28	27	37	43	51	39	43	41	33	34	28	32	34	38	31	29	30	
L Q	E 16	B 16	E 16	B 16	16	16	16	G 25	31	32	30	31		G 26	G 22	J 17	16	16	16	16	20	16		

NOV. 2017 foEs (0.1MHz)

NATIONAL INSTITUTE OF INFORMATION AND COMMUNICATIONS TECHNOLOGY, JAPAN

IONOSPHERIC DATA STATION Wakkanai

NOV. 2017 fbEs (0.1MHz) 135°E MEAN TIME (G.M.T. + 9 H)

LAT. 45°10.0'N LON. 141°45.0'E SWEEP 1.0MHz TO 30.0MHz IN 15.0SEC IN MANUAL SCALING

H D	00	01	02	03	04	05	06	07	08	09	10	11	12	13	14	15	16	17	18	19	20	21	22	23		
1	E 18	B 16	E 16	B 16	E 16	B 16	E 16	B 16	G 18	25	29	31	31	32	G 27	G 22	E 17	B 18	E 19	B 16	E 16	B 16	E 16			
2	E 16	B 16	E 17	B 16	E 16	B 16	E 16	B 16	21	28	29	30		32	32	29	26	24	17	50	20	16	16	21	17	
3	E 18	B 16	E 16	B 16	E 16	S 16	E B	E B		G					G		G 16	E 16	B 16	E 16	17	16	16			
4	E 16	B 16	E 16	B 16	E 16	B 16	E 16	B 16	20	26	30	30	28	30	28	26	22	E 18	E 17	16	16	16	16	E 16		
5	E 16	B 16	E 16	B 16	E 16	B 16	E 16	B 16	20	25	28	30	29	30	30	25	24	20	16	16	16	16	16	16		
6	E 16	B 16	E 16	B 16	E 16	B 16	E 16	B 16	G 19	26	29	28	28	29	26	27	23	E 16								
7	E 16	B 16	E 16	B 16	E 16	B 16	E 16	B 16	G 19	24	28	30	20	29	30	27	22	20	16	16	16	16	16	16		
8	E 16	B 17	E 16	B 16	E 16	B 16	E 16	B 16	22	26	26	28	28	26	23	G 16	G 16	E 16	E 16	20	16	18	16	16		
9	E 16	B 15	E 16	B 16	E 22	B 15	E 16	B 22	24	41	34	44	25	27	22	22	19	19	16	16	16	16	16	60	16	
10	E 16	B 17	E 16	B 16	E 16	B 16	E 16	B 16	G 19	22	26	26	27	29	28	24	20	17	17	16	16	18	17	16	17	
11	E 17	B 16	E 16	B 16	E 15	B 16	E 16	B 16		G 22	24	25	29	27	24	27	21	20	18	18	18	18	18	16	16	16
12	E 16	B 17	E 16	B 16	E 16	B 16	E 16	B 16	G 30	26	30	30	30	32	23	21		16	16	16	16	16	16	16	16	
13	E 16	B 16	E 18	B 16	E 16	B 16	E 17	B 17	22	25	26	29	29	28	27	23	18		16	17	16	16	16	16	E 16	
14	E 16	B 16	E 16	B 16	E 16	B 16	E 16	B 16	20	22	25	30	28	29	25		18	16	16	16	16	16	16	17		
15	E 17	B 16	E 22	B 18	E 16	B 16	E 16	B 16	37	27	28		30	26	21	16	15	16	21	21	16	16	16	16		
16	E 16	B 16	E 15	B 16	E 16	B 16	E 16	B 16	G 18	23	29	27		26	24	20	16	16	16	16	16	17	15	15		
17	E 15	B 16	E 18	B 16	E 16	B 16	E 12	B 20	25	25	24	29	30	26	23	23	18	16	18	20	16	16	16	16		
18	E 16	B 16	E 21	B 16	E 16	B 16	E 16	B 20	28	32	28	30	28	24		16	16	16	11	16	16	16	16	16		
19	E 16	B 16	E 16	B 16	E 14	B 16	E 15	B 19	23	25	26	27	29	26	24		17	15	16	16	16	16	16	16		
20	E 16	B 16	E 17	B 13	E 16	B 16	E 16	B 19	22	28	30	29	28	25		16	16	14	16	16	16	16	16	16		
21	E 16	B 16	E 16	B 16	E 17	B 16	E 16	B 16		24	26			G G	G G	G G	G 16	16	16	16	16	16	16	16		
22	E 16	B 16	E 16	B 16	E 16	B 15	E 19	B 29	34	34	30	28		24	23	16	17	21	16	16	16	16	16	17		
23	E 16	B 16	E 16	B 15	E 15	B 17	E 15	B 16	22	24	30	28	30	28	23	21	16	15	16	16	16	16	16	16		
24	E 16	B 16	E 16	B 16	E 16	B 17	E 16	B 16	20	26	27	30	28	27	24	22	22	16	16	16	16	16	16	18	16	
25	E 16	B 16	E 16	B 16	E 16	B 16	E 16	B 18	25	25	31		31	26	23	20	16	18	20	16	16	16	16	16		
26	E 16	B 16	E 16	B 16	E 16	B 16	E 16	B 16	24	25	29	29	27	25	24	22	20	18	16	16	16	16	16	16		
27	E 16	B 17	E 16	B 16	E 16	B 16	E 16	B 16	22	26	28	30	29	24		17	15	16	16	17	17	16	16			
28	E 16	B 16	E 17	B 16	E 16	B 15	E 16	B 20	22	26	30	30	30	31	26	24	17	17	16	16	18	16	16	E 16		
29	E 16	B 16	E 16	B 17	E 16	B 16	E 16	B 16	G 26	G 28	G 27	G 23	19	17	104	17	16	17	17	16	16	16	16	E 16		
30	E 16	B 16	E 16	B 16	E 16	B 16	E 16	B 16	21	26	35	35	32	39	29	23	20	22	17	20	24	16	16	16	E 16	
31																										
	00	01	02	03	04	05	06	07	08	09	10	11	12	13	14	15	16	17	18	19	20	21	22	23		
CNT	30	30	30	30	30	30	30	30	30	30	30	30	30	29	30	30	30	30	30	30	30	30	30	30	30	
MED	E 16	B 16	E 16	B 16	E 16	B 16	E 16	B 16	19	24	26	30		29	24		18	16	16	16	16	16	16	16		
U Q	16	16	16	16	16	16	16	16	21	28	30	30	30	28	27	23		17	17	17	17	16	16	16	16	
L Q	E 16	B 16	E 16	B 16	E 16	B 16	E 16	B 16	22	25	28		26	24	22	16	16	16	16	16	16	16	16	16		

NOV. 2017 fbEs (0.1MHz)

NATIONAL INSTITUTE OF INFORMATION AND COMMUNICATIONS TECHNOLOGY, JAPAN

IONOSPHERIC DATA STATION Wakkanai

NOV. 2017 fmin (0.1MHz)

135°E MEAN TIME (G.M.T. + 9 H)

LAT. 45°10.0'N LON. 141°45.0'E SWEEP 1.0MHz TO 30.0MHz IN 15.0SEC IN MANUAL SCALING

H D	00	01	02	03	04	05	06	07	08	09	10	11	12	13	14	15	16	17	18	19	20	21	22	23
1	16	16	16	16	16	16	16	16	15	16	16	15	15	18	16	10	17	16	19	15	16	16	16	16
2	16	16	16	16	16	16	16	16	16	16	16	16	16	15	15	14	16	16	16	16	16	16	16	16
3	15	16	16	15	16	16	16	16	16	16	16	17	16	16	16	16	16	16	16	16	16	16	16	16
4	16	16	16	16	15	16	14	14	14	15	16	16	14	11	11	11	16	17	16	16	16	16	16	16
5	16	16	16	16	16	16	16	16	13	13	14	15	15	15	15	13	16	16	16	16	16	15	16	16
6	16	16	16	16	16	16	16	16	14	12	15	15	16	15	16	15	16	16	16	16	16	16	16	16
7	16	16	16	17	16	16	16	14	14	16	14	16	16	16	16	10	10	16	16	16	16	16	16	16
8	16	17	15	16	16	16	16	16	10	14	16	15	16	14	14	15	16	16	15	16	16	16	16	16
9	16	15	16	16	15	15	16	16	9	10	14	10	12	11	12	10	8	16	16	16	16	16	15	15
10	16	17	16	16	16	16	16	16	14	12	14	15	15	15	11	10	16	15	16	16	18	16	16	16
11	16	16	16	16	15	16	16	16	15	15	11	13	9	11	14	15	15	16	15	15	15	16	15	15
12	16	17	15	16	16	16	16	16	16	14	16	16	16	15	16	15	16	16	16	16	16	16	16	16
13	16	16	15	15	16	16	16	15	16	16	15	16	16	16	16	16	16	16	16	15	16	16	16	16
14	17	16	16	16	16	16	16	16	16	17	17	15	17	18	16	16	17	16	16	16	16	16	16	16
15	16	16	16	16	16	16	16	16	17	16	16	16	15	16	13	16	15	15	16	16	17	16	15	16
16	16	16	15	16	16	16	16	15	15	11	10	16	14	16	14	15	16	16	16	16	15	17	15	15
17	15	16	16	16	16	16	16	12	20	15	15	13	15	11	16	15	14	13	15	16	16	17	16	16
18	16	16	16	16	16	16	16	16	21	18	16	16	16	16	12	15	16	16	16	16	11	16	16	15
19	16	16	16	15	14	16	15	16	16	16	15	15	15	13	16	17	17	15	16	16	16	16	16	16
20	16	16	17	13	16	16	16	15	12	16	16	18	16	16	16	16	16	16	16	14	16	16	16	16
21	16	16	16	16	17	16	16	16	16	15	16	19	19	18	18	16	14	16	16	16	16	16	16	16
22	16	16	16	16	16	16	15	16	19	22	24	22	28	24	20	23	16	15	16	16	16	16	16	17
23	16	16	16	15	15	17	15	16	16	15	15	15	15	16	16	15	16	15	16	16	16	16	16	16
24	16	16	16	16	17	16	16	11	16	15	15	15	16	15	10	15	16	16	16	16	16	16	16	15
25	16	16	16	16	16	16	16	16	12	12	15	15	16	15	11	10	16	16	16	16	16	16	16	16
26	16	16	16	16	16	16	16	16	12	9	16	14	11	9	14	16	17	16	16	16	16	16	16	16
27	16	17	16	16	16	16	16	16	16	15	14	14	14	15	13	15	16	17	13	16	16	17	16	16
28	16	16	17	16	16	15	16	16	17	13	16	16	16	16	14	16	16	16	16	16	16	16	16	16
29	16	16	16	17	16	16	16	16	18	19	22	24	22	28	23	17	16	16	15	16	16	16	16	16
30	16	16	16	16	16	16	16	16	15	17	16	16	16	18	18	16	11	15	16	16	16	16	16	16
31																								
	00	01	02	03	04	05	06	07	08	09	10	11	12	13	14	15	16	17	18	19	20	21	22	23
CNT	30	30	30	30	30	30	30	30	30	30	30	29	30	30	30	30	30	30	30	30	30	30	30	30
MED	16	16	16	16	16	16	16	16	16	15	16	16	16	16	15	15	16	16	16	16	16	16	16	16
U Q	16	16	16	16	16	16	16	16	16	16	16	16	16	16	16	16	16	16	16	16	16	16	16	16
L Q	16	16	16	16	16	16	16	16	14	13	15	15	15	14	14	13	16	16	16	16	16	16	16	16

NOV. 2017 fmin (0.1MHz)

NATIONAL INSTITUTE OF INFORMATION AND COMMUNICATIONS TECHNOLOGY, JAPAN

IONOSPHERIC DATA STATION Wakkanai

NOV. 2017 M(3000)F2 (0.01) 135°E MEAN TIME (G.M.T. + 9 H)

LAT. 45°10.0'N LON. 141°45.0'E SWEEP 1.0 MHz TO 30.0 MHz IN 15.0 SEC IN MANUAL SCALING

H D	00	01	02	03	04	05	06	07	08	09	10	11	12	13	14	15	16	17	18	19	20	21	22	23
1	349	311	308	319	299	334	383	384	388	378	378	332	345	370	366	355	376	385	359	322	342	304	304	307
2	304	321	331	318	334	332	363	381	359	367	360		357	371	342	352	368	382		315	321	308	290	315
3	307	283	300	312	328	356	340	370	377	364	353	351	343	353	375	368	357	343	305	311	302	311	326	305
4	291	325	297	316	324	315	370	377	347	363	353	347	362	363	346	377	388	358	344	315	329	334	307	270
5	288	253	267	271	296	346	328	355	377	373	360	351	380	366	370	376	378	384	332	317	316	327	278	305
6	275	283	296	286	311	350	366	368	374	350	376	374	374	353	363	365	364	366	308	323	318	343	324	357
7	321	318	315	330	334	341	361	380	392	395	347	375	374	358	356	384	372	366	329	284	311	292	299	299
8	314	340	390	303	310	266	315	318	323	248	338	318	330	311	344	350	354	348	278	271	291	308	293	300
9	300	315	327	344	292	304	320	342	326	347	349	350	368	376	340	363	367	344	322	323	331	302		291
10	330	284	312	307	312	377	338	371	382	343	379	342	356	375	354	365	374	349	326	333	331	362	288	317
11	299	309	270	286	322	354	318	377	353	379	364	387	380	359	379	386	393	360	360	301	331	325	307	283
12	318	294	291	307	330	343	326	381	359	377	367	326	378	355	377	365	379	384	372	334	288	291	291	267
13	263	267	298	303	324	403	319	376	375	387	364	383	362	369	345	366	400	379	337	301	314	314	281	289
14	275	301	305	326	333	391	311	375	357	358	345	357	323	354	331	350	393	349	300	319	291	310	257	269
15	302	329	304	316	301	318	346	358	378	380	367	376	354	366	366	366	380	339	376	307	324	320	324	311
16	309	332	304	289	345	324	392	371	355	384	351	361	389	370	356	360	370	381	319	339	322	316	289	307
17	294	296	324	290	321	368	365	369	377	360	385	353	359	371	363	378	368	376	332	342	355	305	269	260
18	282	290	284	275	288		C	R	378	346	367	392	365	346	372	377	331	376	339	323	344	315	311	
19	305	261	321	309	311	332	333	393	381	379	371	365	362	383	359	366	381	340	340	301	298	325	254	288
20	292	297	291	291	291	336	336	393	370	382	374	381	376	387	371	367	373	353	325	306	346	293	284	284
21	262	297	315	323	338	313	318	373	365	370	367	363	375	343	359	369	349	346	305	322	331	284	311	305
22	293	296	326	312	318	302	360	363	361	367	349	377	367	356	373	348	370	370	361	349	323	301	285	312
23	299	298	300	335	353	328	307	359	365	375	343	350	363	358	373	363	404	381	321	328	304	269	278	275
24	320	312	297	297	325	335	319	371	385	389	345	369	360	361	374	374	328	338	331	332	316	336	305	299
25	322	309	313	315	313	336	316	362	375	369	364	372	348	364	367	348	373	374	320	345	326	352	317	292
26	268	257	289	303	329	334	324	382	381	373	369	374	365	345	364	365	353	332	344	362	341	338	326	309
27	286	306	295	278	303	327	330	377	389	382	364	374	377	357	353	357	372	351	303	359	312	326	334	340
28	306	319	282	299	291	327	340	R	401	384	362	362	383	336	345	369	354	380	317	315	343	310	317	284
29	281	297	286	265	290	299	328	347	382	388	359	380	359	361	381	383	368	382	A	310	345	334	291	294
30	260	289	261	286	311	352	328	378	396	328	386	380	333	360	369	373	371	372	358	302	356	327	274	297
31																								
	00	01	02	03	04	05	06	07	08	09	10	11	12	13	14	15	16	17	18	19	20	21	22	23
CNT	30	30	30	30	30	29	30	29	29	30	30	29	30	30	30	30	30	30	28	30	30	30	29	30
MED	299	298	300	305	316	334	329	373	375	374	363	365	362	361	363	366	372	363	330	320	323	315	293	299
U Q	309	315	315	316	329	351	360	380	382	382	369	376	376	370	371	373	379	380	351	334	331	334	316	309
L Q	282	289	291	289	301	321	319	362	359	363	349	350	356	355	346	360	367	346	318	307	312	304	282	284

NOV. 2017 M(3000)F2 (0.01)

NATIONAL INSTITUTE OF INFORMATION AND COMMUNICATIONS TECHNOLOGY, JAPAN

IONOSPHERIC DATA STATION Wakkanai

NOV. 2017 M(3000)F1 (0.01) 135°E MEAN TIME (G.M.T. + 9 H)

LAT. 45°10.0'N LON. 141°45.0'E SWEEP 1.0 MHz TO 30.0 MHz IN 15.0 SEC IN MANUAL SCALING

H D	00	01	02	03	04	05	06	07	08	09	10	11	12	13	14	15	16	17	18	19	20	21	22	23
1									L	L	L	L	L	L	L									
2										L	L		408	L										
3										L		L	L	L	L									
4											L	L	L	L	L									
5											L	L	L	L	L									
6											L	L	L	L	L	L								
7											L	L	L	L										
8								B	L	L	358	378	488		L	L	L							
9															L	L								
10											L	L	L	L	L	L	L	L						
11											L	L	L	L	L	391397								
12									L		L	L	L	444		L								
13										L	L	L	L	L			L							
14											L	L	L	L	L									
15											L	L	L	425	L	L		L						
16											395	384	381		L	L								
17											426		L	L	L	L	L							
18												L	L	L	L									
19												L	435		L									
20												L	L	L			L							
21												L	L	L	L	L								
22													L	L	L									
23									L			L	L											
24												L		L	L	L								
25												L		L	L	L								
26												L	L	L	L	L								
27												L	L	L	L	L	L							
28									L					L			L			L				
29											L		L											
30																								
31																								
	00	01	02	03	04	05	06	07	08	09	10	11	12	13	14	15	16	17	18	19	20	21	22	23
CNT											2	2	3	3	1	1	1							
MED											410	371	381	425	444	391397								
U Q												435	488											
L Q												378	408											

NOV. 2017 M(3000)F1 (0.01)

NATIONAL INSTITUTE OF INFORMATION AND COMMUNICATIONS TECHNOLOGY, JAPAN

IONOSPHERIC DATA STATION Wakkanai

NOV. 2017 h'F2 (KM)

135°E MEAN TIME (G.M.T. + 9 H)

LAT. 45°10.0'N LON. 141°45.0'E SWEEP 1.0 MHz TO 30.0 MHz IN 15.0 SEC IN MANUAL SCALING

H D	00	01	02	03	04	05	06	07	08	09	10	11	12	13	14	15	16	17	18	19	20	21	22	23				
1									20	22	36	228	234	246	234	238												
2										22	22	34		234	234													
3										222		240	252	244	222	220												
4											244	244	244	244	252													
5										222	252	222	220	220														
6									220	228	216	224	224	234	242													
7										218	246	232	228															
8					264	290	296	256	278	328	296	312	272	256														
9													242	248														
10										238	226	242	234	234	234		228											
11										226	216	216	218	234	212	212												
12						212		234		276	212	222		234														
13						202		208	214	232	232	236					212											
14									222	238	220	254																
15									224	230	220	230	222	222			222											
16									222	258	224	208	226															
17									210	208	228	212	220	226														
18										228	236	216	222															
19										218	226	234																
20										234	214	230					264											
21										222	222	228	216	228														
22											242	222	234															
23									216		246	226																
24										238		238	232	228														
25										236		228	236	230	230													
26										218	214	222	228	228	228													
27											228	228	220	230	226	234												
28									220				266			228												
29										228		228																
30																												
31																												
	00	01	02	03	04	05	06	07	08	09	10	11	12	13	14	15	16	17	18	19	20	21	22	23				
CNT									1	3	6	17	22	24	27	24	13	5	2	3								
MED									264	212	219	222	228	230	228	234	230	234	228	222								
U Q										290	220	235	238	241	234	239	245	245		264								
L Q										202	216	220	222	225	220	227	224	216		212								

NOV. 2017 h'F2 (KM)

NATIONAL INSTITUTE OF INFORMATION AND COMMUNICATIONS TECHNOLOGY, JAPAN

IONOSPHERIC DATA STATION Wakkanai

NOV. 2017 h'F (KM)

135°E MEAN TIME (G.M.T. + 9 H)

LAT. 45°10.0'N LON. 141°45.0'E SWEEP 1.0 MHz TO 30.0 MHz IN 15.0 SEC IN MANUAL SCALING

H D	00	01	02	03	04	05	06	07	08	09	10	11	12	13	14	15	16	17	18	19	20	21	22	23		
1	264	270	270	258	256	232	206	192	194	194	192	192	198	222	206	220	210	212	218	244	244	252	286	264		
2	272	272	248	236	214	214	218	204	214	194	194		186	202	230	228	208	200	A	248	248	248	248	260		
3	272	268	244	258	236	202	214	212	218	190	232	198	208	200	200	190	208	214	222	242	248	248	236	250		
4	250	250	248	230	230	230	208	196	206	222	206	202	202	190	190	216	208	188	208	260	258	232	244	260		
5	230	244	254	254	240	200	218	216	212	200	188	184	204	196	218	222	200	204	228	242	260	246	246	238		
6	230	250	246	246	246	204	200	200	196	190	190	190	190	186	208	208	214	202	236	258	248	232	246	226		
7	216	256	256	228	210	210	206	206	214	204	198	188	188	232	222	202	208	208	258	294	242	264	258	288		
8	290	222	204	274	274	346			232	194	218	198	198	216	200	212	200	224	234	234	288	288	282	294	292	
9	284	272	264	252	230	266	278	246	260	256	258	220	230	196	196	220	214	234	248	246	234	300		280		
10	246	254	256	262	286	206	230	210	206	200	198	190	204	204	204	202	210	196	214	236	236	232	206	240	274	
11	266	270	290	244	220	218	250	208	218	198	198	194	190	190	190	188	202	202	220	246	E A	214	226	226	262	
12	234	262	274	260	240	210	224	158	226	178	228	182	194	174	216	200	200	200	204	242	242	226	4	264	264	
13	316	284	270	270	260	182	260	198	206	184	170	196	202	221	228	216	196	198	202	266	248	248	258	258		
14	280	264	274	264	228	202	258	212	224	216	188	198	192	200	224	206	194	220	254	258	250	208	286	288		
15	234	250	298	268	282	238	220	196	218	194	184	200	184	204	204	218	190	196	216	254	234	266	244	250		
16	254	250	272	256	228	276	216	208	226	210	186	186	198	190	220	222	202	194	232	238	264	242	284	246		
17	246	250	266	278	252	202	218	220	212	180	202	202	196	194	194	214	226	196	246	220	206	222	266	266		
18	250	250	258	262	250	196	246	204	212	214	192	218	196	188	214	222	206	216	212	218	234	220	276	264		
19	256	240	256	262	262	240	228	204	214	204	198	178	186	204	220	216	194	232	232	266	226	232	254	270		
20	246	230	244	222	250	190	204	198	208	208	182	198	212	218	200	200	200	214	232	214	246	248	256			
21	256	242	214	248	220	244	234	194	214	194	192	202	198	190	212	230	220	234	240	250	236	202	238	234		
22	240	254	228	248	210	274	220	214	222	232	238	198	206	200	214	216	218	210	224	240	240	262	280	270		
23	272	272	270	236	214	182	264	232	192	212	242	202	208	236	208	212	196	192	244	244	244	276	276	256		
24	236	242	242	268	226	230	276	218	196	202	202	226	206	196	196	204	212	212	230	244	224	236	260	250		
25	242	260	254	272	246	246	244	208	216	200	218	198	198	198	206	228	212	202	A	230	216	210	246	246		
26	286	256	236	248	216	194	230	210	198	170	202	194	190	182	226	218	202	242	232	218	218	218	218	246	246	
27	228	240	248	248	234	220	198	208	204	214	198	196	198	198	200	198	214	196	A	224	218	232	216	234		
28	274	274	258	258	248	208	198	204	196	216	226	232	216	204	222	230	194	196	256	256	254	204	244	254		
29	244	236	238	256	256	240	222	212	212	196	196	220	200	230	216	216	210	214	A	238	216	216	256	238		
30	264	244	258	246	224	200	200	202	202	212	228	228	238	240	222	214	214	202	200	228	222	222	227	234		
31																										
	00	01	02	03	04	05	06	07	08	09	10	11	12	13	14	15	16	17	18	19	20	21	22	23		
CNT	30	30	30	30	30	30	29	30	30	30	30	29	30	30	30	30	30	30	30	26	30	30	30	29	30	
MED	252	252	256	256	238	211	220	208	212	201	198	198	198	200	213	216	208	203	231	243	238	234	254	257		
U Q	272	268	270	262	252	240	245	212	218	214	218	202	206	204	220	220	214	214	240	256	248	252	275	266		
L Q	240	244	244	246	224	202	207	200	202	194	192	190	192	190	202	204	200	198	216	236	222	220	244	246		

NOV. 2017 h'F (KM)

NATIONAL INSTITUTE OF INFORMATION AND COMMUNICATIONS TECHNOLOGY, JAPAN

IONOSPHERIC DATA STATION Wakkanai

NOV. 2017 h'E (KM)

135°E MEAN TIME (G.M.T. + 9 H)

LAT. 45°10.0'N LON. 141°45.0'E SWEEP 1.0 MHz TO 30.0 MHz IN 15.0 SEC IN MANUAL SCALING

H D	00	01	02	03	04	05	06	07	08	09	10	11	12	13	14	15	16	17	18	19	20	21	22	23		
1								B	126	120	112	112	112	112	112	112	112	B	A							
2								B	128	112	112	112			100	100	A	A	A	A						
3								B	108	110	110	112					106	106	106	104		B				
4								A	106	116	116		A	116	110	104	104	116	130		A					
5								B	112	112	108	102	102	114	100	118	102		A	B						
6									136	122	106	110			110	110	120		B	B						
7								B	132	120	116	118	108	108	108	108	100	100		A						
8								A	A			A	A		104	114	98	108	A	G						
9								B	134	112	112	112	112	112	98			A		A						
10		94						A	A		A							A	A							
11								B	B							A			A							
12								B	E	A	138	116	104	104	104	116	108	108		A	108		A			
13									116	116	116	104	104	104	114	112	100		A	A	102					
14								B	118			106	100	114	114	102	102		A	B				114		
15								B	B	A		114	106	106	106	110	106		A	B	B					
16									104	154	102	112	112	112	98	114	114	104		B	B					
17										140	100	112	112	112		106	100	100		A						
18								B	G	A		106	106	108	108	108	100	130		A	A					
19			B	B				A	A		118	110	110	112	112	112	112			B						
20								B		140	124	124	118	112	100	104	104	104		B	B					
21										116	116	116	116	100		100	122	110		B						
22								B	A	A	A	A	A	A	B		120	120	B	B	A					
23										154	140	116	112	112	112	112	112	112			B					
24								B	G		104	104	106	102	104	98	116	116		A	B					
25								B		142	120	120	120	110	110	102	108	108		B	A					
26								A	B		108	108	120	108	114	106	100	138		A	A					
27								B	B		106	106	106	112	112	102	102	118		B						
28								B	A		126	118	106	106	106	106	92		A		86	A				
29								B		106	106	G	110	110		A	A		110	98	90	118				
30								B		112	112	112	112	112	112	96	96	96	96	96		A				
31																										
	00	01	02	03	04	05	06	07	08	09	10	11	12	13	14	15	16	17	18	19	20	21	22	23		
CNT									1		3	18	25	27	26	25	25	29	26	24	9	2			1	
MED									94		116	128	116	112	112	110	110	106	106	108	98	96			114	
U Q											154	140	118	116	112	112	112	112	112	112	114	106				
L Q											104	116	107	106	106	104	104	102	100	103	96					

NOV. 2017 h'E (KM)

NATIONAL INSTITUTE OF INFORMATION AND COMMUNICATIONS TECHNOLOGY, JAPAN

IONOSPHERIC DATA STATION Wakkanai

NOV. 2017 h'Es (KM)

135°E MEAN TIME (G.M.T. + 9 H)

LAT. 45°10.0'N LON. 141°45.0'E SWEEP 1.0 MHz TO 30.0 MHz IN 15.0 SEC IN MANUAL SCALING

H D	00	01	02	03	04	05	06	07	08	09	10	11	12	13	14	15	16	17	18	19	20	21	22	23	
1	102	B	B	94	B	B	B	120	110	110	102	98	98	G	126	104	B	88	86	86	86	88	88	88	
2	84	84	84	B	B	B	B	140	130	130	98	86	106	84	86	88	102	102	102	106	88	88	94		
3	82	84	84	92	S	88	B	136	128	106	102	94	94	104	100	124	G	90	B	B	90	92	90	90	
4	100	100	B	100	92	96	98	98	98	98	98	110	110	92	94	104	134	84	B	B	100	100	92	102	
5	B	94	108	102	B	B	B	146	100	98	96	92	92	86	100	136	118	86	86	86	100	88	88	B	
6	100	94	94	94	94	B	B	126	106	106	102	100	92	104	134	134	B	B	B	B	B	134	102	94	
7	94	94	86	88	B	B	B	108	100	100	100	96	90	94	90	134	86	92	88	88	B	B	B	B	
8	94	110	B	B	110	106	108	108	170	104	94	G	110	100	70	92	92	G	G	B	B	98	102	B	
9	92	102	114	114	B	B	B	116	112	112	104	100	100	92	92	92	92	90	B	B	B	102	96	96	
10	96	96	96	B	B	B	B	96	112	126	102	100	154	140	78	158	146	94	94	B	B	B	94	98	
11	98	96	B	B	B	B	B	100	132	116	108	94	88	88	88	92	92	110	98	98	98	98	98	92	
12	B	92	92	106	96	106	96	110	110	110	110	110	122	G	104	88	G	88	100	100	100	100	100	100	
13	94	94	90	84	84	B	B	114	102	102	96	102	146	146	122	92	90	84	G	112	94	94	94	94	94
14	94	B	94	94	98	98	96	136	102	100	100	92	124	158	G	100	100	94	100	B	94	102	102	B	
15	108	102	92	92	92	90	B	B	96	102	106	G	168	100	102	98	G	98	252	90	96	96	96	B	
16	B	90	B	B	90	90	90	G	108	100	100	100	G	138	162	134	B	B	B	B	110	110	B	B	
17	B	98	98	90	98	98	B	G	110	110	98	156	86	86	86	86	86	104	104	94	110	96	B	B	
18	86	96	96	80	80	B	B	Q	118	104	156	92	88	G	G	88	88	B	B	B	B	102	90		
19	92	92	B	88	138	B	B	90	102	104	92	102	96	96	110	G	B	B	B	B	B	B	104		
20	90	90	B	B	B	B	B	156	106	138	96	90	100	G	G	G	B	B	B	B	B	B	B		
21	B	B	B	B	B	B	B	G	104	98	G	G	G	G	G	B	B	B	B	B	B	88	B		
22	B	B	B	104	B	B	B	120	96	110	98	98	B	G	156	B	B	94	94	94	94	94	80	B	
23	B	B	B	B	B	B	B	154	142	114	96	138	106	90	110	184	B	B	86	B	B	B	B	B	
24	94	B	92	92	B	B	B	G	96	104	104	166	102	156	130	86	86	B	B	B	B	B	100	100	
25	100	84	B	B	B	B	B	132	110	100	110	G	92	92	118	90	B	92	88	100	100	78	B		
26	B	B	B	114	86	94	94	B	86	94	98	94	104	92	122	126	82	82	90	90	B	B	B	B	
27	90	90	B	90	90	94	B	B	120	94	152	122	168	G	90	B	90	90	96	96	96	96	96	B	
28	90	110	B	94	B	B	B	144	148	120	136	118	118	108	108	108	102	84	104	102	98	98	98	B	
29	98	98	112	90	102	102	B	B	G	G	G	116	104	130	96	100	86	98	144	B	92	B	B		
30	B	B	B	B	B	B	B	B	150	136	124	124	124	118	118	110	110	102	102	92	98	120	94	B	
31																									
	00	01	02	03	04	05	06	07	08	09	10	11	12	13	14	15	16	17	18	19	20	21	22	23	
CNT	22	18	17	19	16	11	9	20	28	29	28	26	25	22	27	22	18	20	19	17	16	23	19	16	
MED	94	94	94	92	93	96	98	123	108	106	101	101	100	98	108	104	92	90	94	94	98	96	96	96	
U Q	100	98	97	100	102	98	106	138	118	113	104	124	123	108	130	134	100	97	102	101	100	100	100	100	
L Q	90	90	90	88	90	90	95	108	101	100	98	94	92	92	90	86	87	88	91	94	92	88	93		

NOV. 2017 h'Es (KM)

NATIONAL INSTITUTE OF INFORMATION AND COMMUNICATIONS TECHNOLOGY, JAPAN

IONOSPHERIC DATA STATION Wakkanai

NOV. 2017 TYPES OF Es

135°E MEAN TIME (G.M.T. + 9 H)

LAT. 45°10.0'N LON. 141°45.0'E SWEEP 1.0 MHz TO 30.0 MHz IN 15.0 SEC IN MANUAL SCALING

H D	00	01	02	03	04	05	06	07	08	09	10	11	12	13	14	15	16	17	18	19	20	21	22	23
1 1			F 1			C 1	LC 11	C 3	C 2	C 3	LC 21	C 1	C 1	L 2	F 1	F 1	F 1	F 1	F 1	F 1	F 1	F 1	F 1	
2 2	F 2	F 2	F 1			H 2	H 2	H 1	H 2	C 2	LC 21	CL 22	L 3	LL 21	L 2	L 1	F 3	F 2	F 1	F 1	F 1	F 2	F 3	
3 3	FF 1	F 1	F 1	F 1		C 1	CL 21	CL 21	C 2	LL 21	L 2	C 1	C 2	C 1	L 1			F 1	F 3	F 1	F 2	F 1	F 2	
4 1	F 1	F 2	F 2	F 1	L 3	L 2	L 3	L 2	CL 22	C 1	C 1	C 2	C 2	C 2	C 2	L 1			F 2	F 2	F 2	F 2	F 1	
5 1	F 1	F 1	F 1			CL 21	LC 21	LC 21	C 1	L 2	LC 11	LC 21	LC 11	C 2	L 2	L 1	F 1	F 1	F 2	1	1	1		
6 1	F 1	F 1	F 1	F 1		C 1	C 1	C 2	LC 11	L 3	LC 3	C 1	CL 21								F 1	F 1	F 1	
7 3	F 1	F 1	F 1			LC 11	LC 21	LC 21	LC 12	LC 12	LC 21	LC 12	LC 11	C 1	L 1	L 1	F 1	F 1						
8 1	F 1	F 1			F 2	L 2	L 3	CL 21	HL 11	L 2	L 1	C 1	CL 21		L 1		F 1	F 2		F 3	F 1			
9 1	FF 1	F 1	F 1	F 6		C 3	C 2	C 3	C 4	C 5	C 5	C 3	L 2	L 3	L 3	L 1				2	F 4	F 22		
10 1	FQ 1	F 2	F 2			L 1	L 2	CL 11	C 2	LC 42	C 1	LC 11	LC 2	C 1	L 1	L 2					F 1	F 1		
11 1	FQ 1	F 1				L 1	C 1	LC 12	LC 22	LC 3	LC 12	LC 11	LC 3	LC 21	L 1	F 1	F 4	F 4	F 3	F 11	F 1	F 1		
12 1	FQ 11	FQ 11		F 1	F 4	L 1	LC 11	CL 21	C 2	LC 22	C 1	C 1	L 1	L 2	L 1	F 1	F 1	F 1	F 1	F 1	F 1	F 1		
13 2	F 2	F 2	F 2	F 2		L 1	LC 11	LC 21	LC 11	LC 11	HL 11	H 1	LC 21	LL 11	L 1		F 2	F 2	F 2	F 21	F 2	F 1		
14 1	F 1	F 1	F 2	F 2	FQ 21	L 1	HL 11	L 1	LC 21	LC 11	CL 11	HL 11		L 1	L 1	F 1	F 1	F 1	F 1	F 1	F 1	F 1		
15 1	F 3	F 3	F 3	F 1	F 1		L 3	L 2	C 1	H 1	C 1	C 1	C 1	L 1		F 1	F 1	F 1	F 2	F 2	F 2	F 1		
16 2	F 2		F 1	F 1	F 1	L 11	LC 2	C 2	C 1	C 2	C 1	C 2	H 1	C 2			L 1	L 1						
17 2	F 3	F 2	F 1	F 1		C 2	C 2	LC 21	LC 11	HL 5	L 11	LC 11	L 2	L 1	L 2	F 6	F 5	F 2	F 1					
18 1	F 1	F 2	F 1	F 1		C 1	L 1	CL 11	L 1	HL 11	LC 11	LC 11	L 11	L 1	L 1					F 1	F 1			
19 1	F 1	F 1	F 1	F 1		L 1	L 2	LC 22	LC 11	LC 11	LC 11	LC 11	C 1							F 1				
20 1	F 1	F 1				H 1	LC 21	CL 11	L 1	C 1	CL 11	CL 11												
21			L 1			C 2	LC 11												L 1					
22			F 1			L 1	LL 1	L 3	L 1			H 1			L 1	F 3	F 2	F 1	F 1	F 1				
23 1	F 1					C 1	C 2	C 1	LC 11	C 2	LC 22	C 2	C 1		L 2									
24 3	1	F 1	F 1			C 2	LC 11	LC 11	H 1	LC 11	HL 11	C 2	L 2	L 2					L 3	F 1				
25 1						LC 11	C 2	LC 11	LC 11	LC 11	LC 21	C 2	L 2	L 2	F 3		F 1	F 1	F 1					
26			F 1	F 1	F 1	L 1	LC 13	LC 12	LC 21	LC 12	LC 22	C 2	LC 11	C 2	L 2	L 1	F 1	F 1						
27 1	F 3	F 1	F 1	F 1	F 1		C 2	LC 22	LC 11	LC 2	HL 11	C 11	LC 11			L 1	F 3	F 3	F 2	F 1		F 1		
28 3	F 1	F 1	F 1			L 1	CL 21	CL 12	CL 11	CL 11	CL 11	C 3	CL 21	L 1	C 3	C 2	F 2	F 3	F 2	F 3				
29 1	F 1	F 1	F 1	F 1	F 1				C 1		L 1	C 1	C 1	C 1	C 1	C 1	C 1	F 6	F 11	F 1				
30						C 1	C 1	C 1	C 1	C 1	C 2	C 2	C 1	C 2	C 2	C 3	F 4	F 4	F 4	F 1	F 2			
31																								
	00	01	02	03	04	05	06	07	08	09	10	11	12	13	14	15	16	17	18	19	20	21	22	23
CNT																								
MED																								
U Q																								
L Q																								

NOV. 2017 TYPES OF Es

NATIONAL INSTITUTE OF INFORMATION AND COMMUNICATIONS TECHNOLOGY, JAPAN

IONOSPHERIC DATA STATION Kokubunji

NOV. 2017 fxI (0.1MHz)

135°E MEAN TIME (G.M.T. + 9 H)

LAT. 35°43.0'N LON. 139°29.0'E SWEEP 1.0MHz TO 30.0MHz IN 15.0SEC IN MANUAL SCALING

H D	00	01	02	03	04	05	06	07	08	09	10	11	12	13	14	15	16	17	18	19	20	21	22	23	
1	X	X		X	X	X												X	X	X	X	X	X	X	
	40	42		42	43	39												43	42	35	36	36	38		
2	X	X	X	X	X	X	X											X	A	A	A	X	X	X	
	38	41	43	42	40	32	41											56		41	40	40			
3	X	X	X	X	X	X	X											X	X	X	X	X	X	X	
	42	40	42	48	42	34												60	47	42	42	43	43	44	
4	X	X	X	X	X	X	X											X	X	X	X	X	X	X	
	43	42	42	41	43	40	48											51	39	39	38	44	48	42	
	X																	X	X	X	X	X	X	X	
5	37	48	46	52	49	46	48											48	36	35	40	44	42	37	
	X	X	X	X		X												X	X	X	X	X	X	X	
6	39	40	38	36	36	30												54	38	40	44	46	46	40	
	X	X	X	X	X	X												X	X	X	X	X	X	X	
7	38	40	40	41	43	35												43	37	42	44	44	40	40	
	X	X	X	X	X	X												X	X	X	X	X	X	X	
8	41	44	47	30	32	30												48	39	41	43	42	45	40	
	X	X	X	X	X	X												X	X	X	X	X	X	X	
9	42	41	37	35	37	26												47	42	42	40	38	39	40	
	X	X	X	X	X	X												X	X	X	X	X	X	X	
10	40	39	36	35	32	32												47	41	45	39	37	38	33	
	X	X	X	X	X	X												X	X	X	X	X	X	X	
11	39	36	37	38	42	30	39											52	39	38	38	39	40	42	
	X	X	X	X	X	X												X	X	X	X	X	X	X	
12	42	39	38	37	38	35												47	36	36	39	33	39	33	
	X	X	X	X	X	X												X	X	X	X	X	X	X	
13	33	33	32	33	37	29												37	28	32	35	37	36	37	
	X	X	X	X	X	X												X	X	X	X	X	X	X	
14	38	36	37	35	40	28												37	32	37	40	40	36	38	
	X	X	X	X	X	X												X	X	X	X	X	X	X	
15	38	40	38	36	33	34												52	35	37	39	33	38	38	
	X	X	X	X	X	X												C	C	C	X	X	X	X	
16	38	38	36	35	39	31												36	36	38	40	41	39		
	X	X	X	X	X	X												X	X	X	X	X	X	X	
17	40	38	38	38	40	32												48	35	32	38	40	38	38	
	X	X	C	X	X													X	X	X	X	X	X	X	
18	38	36	40		36	33												46	38	38	36	39	38	34	
	X	X	X	X	X	X												X	X	X	X	X	X	X	
19	36	37	38	38	37	35												42	34	37	41	45	39	38	
	X	X	X	X	X	X												X	X	X	X	X	X	X	
20	40	38	37	36	35	31												38	38	36	38	35	32	34	
	X	X	X	X	X	X												X	X	X	X	X	X	X	
21	37	37	36	38	38	31												54	53	48	47	50	34	37	
	X	X	X	X	X	X												X	X	X	X	X	X	X	
22	40	40	39	39	38	35												47	35	36	35	40	39	40	
	X	X	X	X	X	X												X	X	X	X	X	X	X	
23	39	39	40	41	31	31	33											42	34	38	43	38	41	44	
	X	X	X	X	X	X												X	X	X	X	X	X	X	
24	41	39	37	41	34	30												48	39	42	39	35	32	31	
	X	X	X	X	X	X												X	X	X	X	X	X	X	
25	33	34	34	34	34	29												49	34	34	38	32	31	32	
	X	X	X	X	X	X												X	X	X	X	X	X	X	
26	33	33	34	35	35	34												40	36	39	37	33	34	35	
	X	X	X	X	X	X												X	X	X	X	X	X	X	
27	35	34	34	34	34	30												44	39	40	38	40	34	30	
	X	X	X	X	X	X												X	X	X	X	A	X	X	
28	32	33	33	34	34	34												45	34	38	36		42	46	
	X	X	X	X	X	X												X	X	X	X	O	X	X	
29	49	52	54	44	44	41												39	34	34	35	37	37	36	
	X	X	X	X	X													X	X	X	X	X	X	X	
30	38	38	41	36	45	38	42											51	43	34	39	43	39	41	
	X	X	X	X	X	X																			
31																									
	00	01	02	03	04	05	06	07	08	09	10	11	12	13	14	15	16	17	18	19	20	21	22	23	
CNT	30	30	29	29	30	30	6												28	29	29	29	29	30	30
MED	X	X	X	X	X	X	X											X	X	X	X	X	X	X	
U Q	38	39	38	37	38	32	42											47	37	38	39	40	39	38	
L Q	37	36	36	35	34	30	39											X	X	X	X	X	X	X	

NOV. 2017 fxI (0.1MHz)

NATIONAL INSTITUTE OF INFORMATION AND COMMUNICATIONS TECHNOLOGY, JAPAN

IONOSPHERIC DATA STATION Kokubunji

NOV. 2017 foF2 (0.1MHz)

135°E MEAN TIME (G.M.T. + 9 H)

LAT. 35°43.0'N LON. 139°29.0'E SWEEP 1.0MHz TO 30.0MHz IN 15.0SEC IN MANUAL SCALING

H D	00	01	02	03	04	05	06	07	08	09	10	11	12	13	14	15	16	17	18	19	20	21	22	23		
1	34	36	35	36	37	33	40	57	54	62	62	60	73	67	79	79	59	42	37	36	29	30	30	32		
2	32	35	37	36	34	26	35	51	62	77	82	69	66	70	69	69	63	50	A	A	35	34	34			
3	36	34	36	41	36	28	41	56	60	76	72	70	70	95	86	66	59	54	41	36	36	37	37	38		
4	37	36	36	35	37	34	42	70	56	70	74	82	83	83	70	61	68	45	33	33	31		F	F	35	
5		F	F	F	F	F	F		61	68	60	70	78	82	57	58	56	55	42	30	30	34		F	36	33
6	33	34	32	30		24	34	56	63	61	66	57	62	61	66	58	54	48	32	34	38	40	40	34		
7	32	34	34	35	37	29	37	52	54	67	68	65	73	64	55	64	53	37	31	36	38	38	34	34		
8	35	38	41	24	26	24	25	63	54	52	64	80	68	78	82	64	60	42	33	35	37	36	39	34		
9	36	35	31	29	31	20	29	51	63	79	96	70	66	62	63	62	62	41	36	36	34	32	33	34		
10	33	33	30	29	26	26	35	48	69	76	83	80	58	64	64	64	64	40	35	39	33	31	32	27		
11	33	30	31	32	36	24	33	62	70	68	69	74	68	60	66	60	48	46	33	31	32	33	34	36		
12		F	33	32	31	32	29	33	60	64	70	62	63	64	66	64	66	58	41	30	29		27	27		
13	27	27	26	27	31	23	26	47	56	59	56	63	58	60	81	60	52	31	22	26	29	30	30	31		
14	32	30	31	29	33	22	29	45	56	61	79	68	67	63	64	64	51	31	26	31	34	34	30	32		
15	32	34	32	30	27	28	34	56	56	65	92	75	63	65	64	56	58	46	29	31	33	27	32	32		
16	32	32	30	29	33	25	34	53	60	73	99	84	70	69		C	C	C		30	30	32	34	35	33	
17	34	32	32	32	34	26	27	55	66	60	80	69	68	75	64	64	63	42	29	26	32	34	32		F	
18		F	30		30	27	30	53	64	62	77	63	73	60	66	64	58	40	32	32	30	32	32	28		
19	30	31	32	32	31	29	31	58	65	68	67	70	62	61	51	53	50	36	28	31	35	38	33		F	
20		F			31	30	29	25	25	53	60	64	62	68	69	61	61	53	45	32	32	30	32	29	26	28
21	31	30	30	32	32	25	27	53	69	63	65	71	72	64	53	54	52	48	47	42	41	44	28	31		
22	34	34	33	33	32	29	37	58	54	68	73	80	71	69	58	60	50	41	29	30	29	34	32	34		
23	33	34	34	35	25	25	27	54	60	62	74	71	73	84	81	65	48	36	28	32	37	32	35		F	
24		F	32	31	35	28	24	25	50	61	62	60	72	74	68	74	54	52	42	33	36	33	29	26	25	
25	27	28	28	28	23	27	59	56	58	69	58	68	69	67	60	51	43	28	28	32	32	26	25	26		
26	27	27	28	29	29	28	30	49	66	60	63	64	66	68	61	57	50	34	30	33	31	27	28	29		
27	29	28	28	28	28	24	26	47	50	58	60	66	70	60	53	57	46	38	33	34	32	33	28	24		
28	26	27	27	28	28	28	26	45	50	53	60	57	58	54	60	54	48	39	28	32	30		36	A	F	
29		F			F			35	38	50	54	57	61	64	66	68	64	52	33	27	28	29	31	31	30	
30	32	32			30				50	55	54	64	63	65	60	60	63	53	45	37	28	33	37	33		F
31																										
	00	01	02	03	04	05	06	07	08	09	10	11	12	13	14	15	16	17	18	19	20	21	22	23		
CNT	25	27	26	27	26	28	28	30	30	30	30	30	30	30	30	29	29	29	29	29	28	27	28	25		
MED	32	32	32	30	31	26	30	53	60	62	68	69	68	64	64	61	53	41	31	32	32	33	32	32		
U Q	34	34	34	35	34	28	35	58	64	68	77	74	72	69	70	64	59	45	33	36	34	36	34	34		
L Q	30	30	30	29	28	24	27	50	55	60	62	63	64	61	60	56	50	36	28	30	31	30	30	28		

NOV. 2017 foF2 (0.1MHz)

NATIONAL INSTITUTE OF INFORMATION AND COMMUNICATIONS TECHNOLOGY, JAPAN

IONOSPHERIC DATA STATION Kokubunji

NOV. 2017 foF1 (0.01MHz)

135°E MEAN TIME (G.M.T. + 9 H)

LAT. 35°43.0'N LON. 139°29.0'E SWEEP 1.0MHz TO 30.0MHz IN 15.0SEC IN MANUAL SCALING

H D	00	01	02	03	04	05	06	07	08	09	10	11	12	13	14	15	16	17	18	19	20	21	22	23	
1											U 460	L		A											
2									L				432		L										
3									L		L	LU 404	L												
4									L	L	L	L													
5									U 420	U 416	L	A													
6											L 448	LU 420	L												
7									L	L	L 400	U 400			L										
8									U 388	396		L 416	U 416												
9									L 412		L		L	L											
10										L			L	L											
11										L	L	L	A	L											
12										L	U 404	U 404	L												
13									L 356	L	L	L	L												
14									L	L	L			L	L										
15									L	A	A				L										
16									L 428	U 428			L	C	C	C									
17									L		L	L	L	L											
18													L												
19									U 360	L	L	L													
20									L	L	L	L	L	L											
21										L	L	L													
22										L	L	L	L	L	L										
23									U 344	L	L														
24										L		L	LU 380	L											
25										L		L	L	L											
26										L	L	L	L												
27														L											
28											L	L			L										
29										L	L		L		A										
30										U 404	L														
31																									
	00	01	02	03	04	05	06	07	08	09	10	11	12	13	14	15	16	17	18	19	20	21	22	23	
CNT										1	3	5	2	3	5										
MED									U 344	U 412	U 404	U 428	U 404	U 416											
U Q									U 420	U 422		U 448	U 426												
L Q									U 360	U 372	U 400	U 392	U 400	U 392											

NOV. 2017 foF1 (0.01MHz)

NATIONAL INSTITUTE OF INFORMATION AND COMMUNICATIONS TECHNOLOGY, JAPAN

IONOSPHERIC DATA STATION Kokubunji

NOV. 2017 foE (0.01MHz)

135°E MEAN TIME (G.M.T. + 9 H)

LAT. 35°43.0'N LON. 139°29.0'E SWEEP 1.0MHz TO 30.0MHz IN 15.0SEC IN MANUAL SCALING

H D	00	01	02	03	04	05	06	07	08	09	10	11	12	13	14	15	16	17	18	19	20	21	22	23		
1			B					B U R 204	A U R U A 300 296	R 324	U A 304	A U A 252	A	B												
2									216 268	A A A A A A	A R A A	R A A A	A B													
3								B 208	U R R 288	A A R 316	R A R A A A	A B														
4								B U R 208	A U R 324	R A R A A A	R A A A A A	A B														
5								B U R 200	A A A A A A	A U R 324	A U R U R 252 200	A U R U R 252 200														
6								B U R 220	A A R 272	R R R R	268	A A														
7								B U R 204	U R R 276	R R R R R R	R U A U R 300 272	A A														
8								B A	A A A A A A	R R U R	U R U R 300 288 232 200															
9								B U A 192	A A A A A A	A A A A A A	A A A A A A	A B														
10								B B B	A A A A A A	A A A A A A	A A A A A A	A U A 180														
11								B B	A A A A A A	A A A A A A	A A A A A A	A A A A A A														
12								B U R 204	A A R U R 296 304	R U R 308	268	A U R 248	B													
13								B B B	A A A A A A	R U A 304	R R R R	A B														
14								B 192	244 276 300	A A	A A A A	R U R 248	A													
15								B B B	A A A A A A	A A A A A A	A A A A A A	R U R 248	A													
16								B B B	A A A A A A	A A A A A A	A A C 208	C C C	C													
17								B A U R 252	A A A A A A	R R R R	R R R R	A B														
18								B U R 204	A A A A A A	A A A A A A	A A A A A A	A 212														
19								B 180	A U R 280	304 308	A 284	A A U A 184														
20								B B 256	A R R 320	R U R U R 296 280 228	R U R U R 296 280 228	B														
21								B B B	A A R R 288	R R 288	U R 264 224	B														
22								B B 248	272	A R R R R	272	R B														
23								B U R 220	280 300	A A A A A A	A U R U R 280 236	B														
24								B U A U R 196	A A R 272	316	A U R A 280	B														
25								B U R 180	A A A 260	A U R U R 312 276	R U A 228	B														
26								B R B	A A A A A A	A U R 304	A U A A 288	B														
27								B 160	A A A A A A	A U R 308	A U R 224	B														
28								B B 240	A 288	R U R U A 312 284	A A B	B														
29								B U R U R 192	252 288	A A A A A A	A A A A A A	B														
30								B U R 196	236 276 280	U R A R A A 288 256 308	A A A A A 284 268 228	B														
31																										
	00	01	02	03	04	05	06	07	08	09	10	11	12	13	14	15	16	17	18	19	20	21	22	23		
CNT									17	14	8	7	4	8	10	9	10	5								
MED									U R 200	254 280 296 304	312	U U R U R U 292 272 234 200														
U Q									U R U R R 206	272 294 300 306	318	U R U R U R 300 280 248 206														
L Q									192 244 276 288 256	308	U U U U 284 268 228 182	U U A														

NOV. 2017 foE (0.01MHz)

NATIONAL INSTITUTE OF INFORMATION AND COMMUNICATIONS TECHNOLOGY, JAPAN

IONOSPHERIC DATA STATION Kokubunji

NOV. 2017 foEs (0.1MHz)

135°E MEAN TIME (G.M.T. + 9 H)

LAT. 35°43.0'N LON. 139°29.0'E SWEEP 1.0MHz TO 30.0MHz IN 15.0SEC IN MANUAL SCALING

H D	00	01	02	03	04	05	06	07	08	09	10	11	12	13	14	15	16	17	18	19	20	21	22	23
1	E 15	B 20	J 28	A 23	J 22	A 22	J 21	A 19	G 38	A 35	G 40	A 36	G 40	A 35	J 49	A 28	J 29	A 42	J 24	A 24	J 22	E 15		
2	20	20	22	24	E 15	B 18	E 20	27	32	33	38	35	38	J 47	A 42	J 47	A 42	J 46	74	54	63	34		
3	J 26	A 16	E 15	B 15	E 15	B 16	E 16	26	25	28	45	38	36	32	GJ 41	AJ 42	AJ 29	AJ 38	28	21	16	15	21	
4	E 15	B 48	J 26	A 65	J 33	A 25	J 24	A 20	G 34	A 30	G 36	A 36	G 34	A 36	32	23	15	15	22	17	22	21	22	
5	22	21	24	16	15	22	21	26	40	37	33	39	48	36	37	28	22	22	20	15	22	29	23	
6	J 27	A 16	E 14	B 15	E 16	B 14	E 15	30	30	43	G G	G G	J 33	A 31	J 34	A 27	J 30	44	16	16	23	E 16		
7	J 22	A 24	J 23	A 24	23	23	23	J A	G G	G G	G G	G G	34	22	36	26	24	22	24	22	24	20	16	
8	E 15	B 16	E 16	B 22	E 15	B 20	E 20	24	30	46	35	G G	G G	G G	G G	G G	G G	J 18	A 21	15	15	26		
9	J 27	A 23	J 24	A 16	15	13	15	22	29	35	44	38	36	32	32	29	22	15	16	16	15	15	18	
10	J 26	A 29	J 23	A 23	28	23	16	22	30	31	36	60	36	34	35	36	22	22	76	28	30	22	16	28
11	J 28	A 16	E 15	B 24	22	25	21	25	33	44	34	39	49	67	32	45	47	40	27	30	38	27	26	28
12	J 24	A 16	E 15	B 15	14	23	34	29	33	53	52	43	G 33	G 27	G 28	G 25	G 28	23	22	22	16	22	E 22	
13	J 22	A 24	E 22	B 15	15	20	20	20	G 29	A 44	37	36	G 33	G 27	G 25	G 24	G 24	26	15	15	15	15	E B	
14	E 16	B 15	E 15	B 22	E 16	B 15	E 16	20	J 28	A 38	35	G 35	G 79	G 27	G 15	G 21	G 26	23	22	21	15	15	15	
15	E 16	B 15	E 16	B 15	15	16	15	24	28	34	36	50	35	45	G 21	G 26	G 15	G 16	19	15	15	26		
16	22	20	24	22	14	15	19	23	33	39	63	74	37	C C	C C	C C	C C	G 34	21	21	15	15	16	
17	21	23	16	16	16	21	14	29	G 39	A 36	A 40	G 39	G 36	G 26	G 15	G 15	G 16	15	16	16	16	23		
18	E 16	B 25	J 27	A 16	C 15	E 15	B 15	35	32	86	74	62	47	34	32	21	14	15	18	48	36	53	40	
19	J 24	A 22	E 22	B 14	E 15	B 14	E 15	21	28	G 35	35	36	35	31	30	23	23	20	27	27	23	24	24	
20	J 25	A 26	J 32	E 22	15	16	15	23	28	42	G J 26	G J 23	G G	G 26	G 23	G 15	G 22	14	15	15	15	E B		
21	E 16	B 15	E 15	B 16	E 16	B 15	E 16	25	32	33	G G	G G	G 33	G 27	G 29	G 26	G 25	15	15	15	15	19		
22	E 16	B 22	J 21	A 15	E 16	B 15	E 16	24	28	33	33	G G	G 34	G 36	G 16	G 15	G 15	15	15	22	16			
23	E 16	B 16	E 16	B 15	E 16	B 16	E 19	23	G 32	38	40	42	44	J 22	J 16	J 21	J 23	J 22	J 23	J 20				
24	E 15	B 15	E 15	B 22	E 26	15	14	20	26	36	37	36	33	G 25	G 20	G 16	G 20	G 22	E 16	23	16	27		
25	J 32	A 26	J 23	A 24	24	22	15	25	G 34	39	39	G 27	G 27	G 27	G 38	G 26	G 22	J 26	26	24	24	15		
26	J 29	A 20	E 16	B 26	J 24	E 22	B 20	G 31	A 33	39	38	38	35	J 52	J 48	J 36	J 34	J 22	16	16	53	22	21	
27	J 28	A 25	J 28	A 23	15	15	14	24	29	41	36	36	34	G 29	G 26	G 16	G 20	G 16	15	36	15			
28	E 15	B 16	E 15	B 17	E 16	B 15	E 23	27	30	36	G 30	G 38	G 35	J 64	J 30	J 50	J 27	J 23	24	66	42	24		
29	J 25	A 31	J 24	A 44	30	24	15	G 33	J 34	38	34	33	J 40	J 38	J 30	J 43	J 31	J 23	25	47	51	30		
30	J 20	A 24	J 22	A 22	23	16	15	G 29	36	35	40	G 66	G 37	G 53	G 18	G 22	G 24	G 33	22	22	26	32		
31																								
	00	01	02	03	04	05	06	07	08	09	10	11	12	13	14	15	16	17	18	19	20	21	22	23
CNT	30	30	30	29	30	30	30	30	30	30	30	30	30	29	29	29	29	30	30	30	30	30	30	30
MED	22	20	22	22	16	16	16	23	29	34	36	38	35	34	32	31	26	24	22	22	21	22	22	22
U Q	J 26	A 24	J 24	A 24	22	22	20	25	32	39	39	40	38	36	35	40	32	28	28	27	24	26	26	26
L Q	E 16	B 16	E 15	B 15	15	15	15	G 27	G 31	34	G G	G G	G G	G G	G G	E 22	E 16	E 16	E 18	15	15	15	16	

NOV. 2017 foEs (0.1MHz)

NATIONAL INSTITUTE OF INFORMATION AND COMMUNICATIONS TECHNOLOGY, JAPAN

IONOSPHERIC DATA STATION Kokubunji

NOV. 2017 fBEs (0.1MHz) 135°E MEAN TIME (G.M.T. + 9 H)

LAT. 35°43'.0" N LON. 139°29'.0" E SWEEP 1.0 MHz TO 30.0 MHz IN 15.0 SEC IN MANUAL SCALING

NOV. 2017 f b E s (0.1MHz)

NATIONAL INSTITUTE OF INFORMATION AND COMMUNICATIONS TECHNOLOGY, JAPAN

IONOSPHERIC DATA STATION Kokubunji

NOV. 2017 fmin (0.1MHz)

135°E MEAN TIME (G.M.T. + 9 H)

LAT. 35°43'0"N LON. 139°29'0"E SWEEP 1.0MHz TO 30.0MHz IN 15.0SEC IN MANUAL SCALING

H D	00	01	02	03	04	05	06	07	08	09	10	11	12	13	14	15	16	17	18	19	20	21	22	23	
1	15	16	16	16	16	16	15	14	14	16	18	15	17	16	18	16	15	14	15	15	16	15	15	15	
2	16	16	15	16	15	18	15	16	15	13	17	19	19	15	18	17	16	15	15	15	16	15	16	16	
3	16	16	15	15	15	16	16	14	16	16	17	17	15	18	14	18	15	15	15	15	16	16	15	16	
4	15	16	14	16	15	15	16	13	15	14	16	16	16	16	14	15	15	15	16	17	16	16	16	16	
5	15	16	16	16	15	16	16	14	14	16	17	16	14	14	12	15	14	11	16	16	15	15	16	16	
6	15	16	14	15	16	14	15	15	17	15	16	18	16	17	15	16	15	16	15	15	16	16	16	16	
7	15	16	16	16	16	16	16	15	16	16	16	14	16	14	14	14	14	14	16	16	16	15	16	16	
8	15	16	16	15	15	16	15	14	14	15	16	17	16	16	17	16	14	14	15	15	15	15	15	15	
9	16	15	16	16	15	13	15	15	16	17	15	16	16	17	16	14	14	15	16	16	15	15	15	18	
10	17	15	15	15	15	16	16	14	14	14	19	15	18	16	12	13	13	13	15	16	15	16	16	16	
11	16	16	15	17	16	16	16	14	15	14	17	16	18	18	16	14	14	16	15	16	16	15	16	15	
12	16	16	15	15	14	15	16	16	13	14	15	16	15	20	14	15	15	15	16	16	16	16	16	16	
13	15	14	16	15	15	16	16	14	16	14	16	15	15	16	15	14	14	16	16	16	15	15	15	15	
14	16	15	15	16	16	15	16	15	14	14	17	14	16	17	16	17	14	15	16	15	16	15	15	15	
15	16	15	16	15	16	15	16	11	16	14	14	13	15	16	16	16	13	15	15	16	16	15	15	16	
16	16	15	16	16	14	15	16	16	15	14	13	16	13	13		C	C	C	C	14	16	16	15	16	
17	16	16	16	16	16	16	14	13	14	15	13	16	19	17	16	15	14	15	15	16	15	16	16	16	
18	16	16	16		C	16	15	15	12	11	13	14	14	18	17	18	16	14	14	15	18	16	16	16	16
19	16	16	14	15	14	15	16	11	14	14	15	15	17	15	17	17	14	16	16	16	17	15	15	15	
20	16	16	15	16	15	16	15	15	13	14	15	18	17	17	16	16	13	14	15	16	14	14	15	15	
21	16	15	15	16	16	15	16	15	14	13	19	18	16	16	16	14	15	17	16	15	15	15	15	15	
22	16	16	16	15	16	15	16	16	14	12	14	15	20	17	15	16	16	16	16	15	15	15	15	16	
23	16	16	16	15	16	16	16	16	14	14	15	12	18	12	16	14	14	16	16	16	16	16	16	15	
24	15	15	16	16	15	14	16	15	14	14	14	17	17	16	15	13	20	16	16	16	16	17	16	16	
25	15	16	16	16	15	16	15	14	14	14	17	15	15	16	13	11	11	14	16	16	16	15	16	15	
26	16	20	16	17	16	16	16	14	14	16	14	16	18	15	14	14	16	16	16	16	16	16	16	16	
27	16	16	16	16	15	15	14	12	14	16	16	16	16	14	14	14	12	15	16	15	16	15	16	15	
28	15	16	15	17	16	16	15	14	13	13	14	14	17	16	16	16	14	16	15	16	15	15	15	16	
29	16	16	16	14	16	15	15	16	15	16	17	19	19	19	17	15	16	15	14	16	15	16	15	16	
30	16	16	15	16	15	16	15	14	16	17	16	18	20	20	19	18	18	16	16	16	15	16	16	16	
31																									
	00	01	02	03	04	05	06	07	08	09	10	11	12	13	14	15	16	17	18	19	20	21	22	23	
CNT	30	30	30	29	30	30	30	30	30	30	30	30	30	29	29	29	29	29	30	30	30	30	30	30	
MED	16	16	16	16	15	16	16	14	14	14	16	16	16	16	15	14	15	15	16	16	15	16	16	16	
U Q	16	16	16	16	16	16	16	15	15	16	17	17	18	17	16	16	15	16	16	16	16	16	16	16	
L Q	15	15	15	15	15	15	15	14	14	14	14	15	16	15	14	14	14	14	15	15	15	15	15	15	

NOV. 2017 fmin (0.1MHz)

NATIONAL INSTITUTE OF INFORMATION AND COMMUNICATIONS TECHNOLOGY, JAPAN

IONOSPHERIC DATA STATION Kokubunji

NOV. 2017 M(3000)F2 (0.01) 135°E MEAN TIME (G.M.T. + 9 H)

LAT. 35°43.0'N LON. 139°29.0'E SWEEP 1.0MHz TO 30.0MHz IN 15.0SEC IN MANUAL SCALING

H D	00	01	02	03	04	05	06	07	08	09	10	11	12	13	14	15	16	17	18	19	20	21	22	23	
1	331	323	312	305	354	355	385	396	390	368	355	346	376	354	364	374	381	366	350	346	334	319	324	307	
2	307	325	349	344	376	340	359	387	378	359	379	377	346	361	365	380	396	388	A	A	A	333	313	305	
3	303	313	327	345	383	322	366	369	363	368	377	372	322	349	366	395	375	367	341	321	321	324	315	323	
4	326	313	312	295	356	340	343	407	381	363	365	349	361	365	381	372	372	382	371	334	330	F	F	347	
5	336	F	F	F	F	F	F	400	413	334	354	356	387	371	367	375	367	362	330	304	313	F	297	316	
6	308	336	300	331	340	356	404	394	362	389	368	360	357	396	380	391	384	338	328	322	345	358	350	350	
7	322	333	318	361	379	353	373	406	391	358	384	380	353	401	347	362	392	353	308	303	318	327	299	287	
8	310	334	349	286	306	293	301	381	324	377	332	349	362	353	376	364	382	341	312	317	305	280	320	295	
9	302	328	296	313	370	325	353	347	331	337	325	361	372	364	374	378	387	372	332	339	314	333	330	329	
10	314	340	317	337	324	317	357	374	379	384	368	387	359	366	364	379	388	376	315	347	362	344	349	311	
11	324	313	312	302	382	309	358	372	385	382	372	368	383	381	389	393	399	376	370	357	314	324	326	311	
12	F	325	311	314	353	341	365	381	414	397	370	358	374	367	362	390	398	421	379	333	315	F	296		
13	312	307	310	319	386	385	344	410	406	395	364	376	368	352	390	407	395	366	358	330	294	328	313	320	
14	317	317	335	333	382	310	350	389	368	371	351	344	401	368	350	382	421	383	325	321	302	320	321	307	
15	319	330	336	311	314	327	366	394	388	342	376	361	375	362	369	395	366	378	306	319	339	336	328	307	
16	326	332	324	308	363	312	350	363	375	355	363	402	357	363	C	C	C	C	355	307	327	323	349	310	
17	303	289	303	330	357	380	343	382	400	354	393	370	330	362	334	370	393	368	367	312	327	350	325	F	
18	F	303	F	C	317	327	373	389	386	381	405	366	361	392	374	343	367	362	343	370	304	338	311	324	
19	315	327	331	323	343	335	341	374	413	398	382	360	380	394	384	369	407	411	323	325	328	349	336		
20	F	F	321	318	338	343	350	383	390	391	372	354	373	371	380	381	359	346	333	351	349	376	305	297	
21	315	327	333	346	351	314	340	377	410	395	359	372	351	393	379	363	353	349	336	344	327	381	305	282	
22	312	291	295	322	347	287	337	384	372	371	350	354	364	366	354	367	387	369	330	347	318	338	307	306	
23	296	333	342	344	372	334	341	390	369	376	356	361	321	362	379	399	376	379	349	330	348	324	298		
24	F	315	326	356	396	340	323	383	372	359	392	363	358	387	380	389	374	375	326	365	355	355	317	307	
25	313	316	311	319	351	324	325	373	378	354	374	348	348	354	349	354	374	376	383	359	338	386	351	333	326
26	297	299	297	328	317	324	361	393	404	382	383	383	374	354	388	386	374	353	383	365	341	364	348	324	
27	319	299	303	330	351	378	333	410	373	348	386	394	382	383	397	350	372	369	335	365	339	343	347	324	
28	308	304	321	311	328	356	349	382	390	386	374	381	358	377	385	375	390	394	324	343	328	A	F	356	
29	F	F	F	F	306	353	387	390	383	378	362	372	396	371	389	387	359	345	356	336	326	310	319		
30	290	292	F	298	F	F	F	385	397	372	364	373	373	366	370	381	375	370	373	393	300	335	302	F	
31																									
	00	01	02	03	04	05	06	07	08	09	10	11	12	13	14	15	16	17	18	19	20	21	22	23	
CNT	25	27	26	27	26	28	28	30	30	30	30	30	30	30	29	29	29	29	29	29	28	27	28	25	
MED	313	317	318	322	354	330	350	384	387	371	372	364	363	336	374	379	382	370	338	338	327	335	320	311	
U Q	320	330	331	337	376	342	360	394	397	383	382	376	374	381	382	389	392	382	358	354	339	349	334	324	
L Q	305	304	310	311	338	316	341	377	373	358	359	356	357	361	364	370	373	362	326	321	314	324	308	306	

NOV. 2017 M(3000)F2 (0.01)

NATIONAL INSTITUTE OF INFORMATION AND COMMUNICATIONS TECHNOLOGY, JAPAN

IONOSPHERIC DATA STATION Kokubunji

NOV. 2017 M(3000)F1 (0.01) 135°E MEAN TIME (G.M.T. + 9 H)

LAT. 35°43'0"N LON. 139°29'0"E SWEEP 1.0 MHz TO 30.0 MHz IN 15.0 SEC IN MANUAL SCALING

H D	00	01	02	03	04	05	06	07	08	09	10	11	12	13	14	15	16	17	18	19	20	21	22	23
1											U 404	L		A										
2									L				391		L									
3									L		L	L 405	U L											
4									L	L	L	L												
5						U 416	U 402	L	L	A														
6											L 402	L 376	U L											
7								L	L	L 452	U L			L										
8									U 415	393	L 373	U L												
9								L 357	L			L	L											
10									L			L	L											
11										L	L	L	A	L										
12									L	U 444	U L	L												
13								L 464	U L	L	L	L												
14								L	L	L		L	L											
15								L	A	A				L										
16								L 374	U L			L	C	C	C									
17								L		L	L	L	L											
18												L												
19						U 434	L	L	L															
20							L	L	L	L	L	L	L											
21								L	L	L														
22								L	L	L	L	L	L	L										
23						U 376	L	L																
24								L		L	L 416	U L	L											
25								L		L	L	L												
26								L	L	L	L													
27													L											
28									L	L		L		L										
29								L	L		L		A											
30								U 387	L			L												
31																								
	00	01	02	03	04	05	06	07	08	09	10	11	12	13	14	15	16	17	18	19	20	21	22	23
CNT									1	3	5	2	3	5										
MED								U 376	U 416	U 402	U 398	U 444	U 391											
U Q								U 434	U 440		U 387	U 452	U 410											
L Q								U 357	U 380	U 380	U 402	U 374												

NOV. 2017 M(3000)F1 (0.01)

NATIONAL INSTITUTE OF INFORMATION AND COMMUNICATIONS TECHNOLOGY, JAPAN

IONOSPHERIC DATA STATION Kokubunji

NOV. 2017 h' F2 (KM)

135°E MEAN TIME (G.M.T. + 9 H)

LAT. 35°43.0'N LON. 139°29.0'E SWEEP 1.0 MHz TO 30.0 MHz IN 15.0 SEC IN MANUAL SCALING

H D	00	01	02	03	04	05	06	07	08	09	10	11	12	13	14	15	16	17	18	19	20	21	22	23			
1											242		252	236													
2										240			252	248													
3										230	238	268	246														
4											238	246	242	244													
5											242	248	246	224													
6												228	250	250													
7											240	234	230	238		242											
8											294	248	238	244													
9										268	268		232		246	242											
10											236		240	242													
11											234	234	240	236	230												
12											228		240	240													
13											226	232	242	240	248												
14											244	252	234		234	242											
15										226		224	228			232											
16											248	246			238		C	C	C								
17										238		226	258	238	228												
18															224												
19											214	234	244	224													
20											226	228	236	224	238	238											
21												252	232	240													
22												234	254	246	238	258											
23											224		254	254													
24											224		236	244	234	236											
25												238		254	238	240											
26												228	216	224	236												
27																216											
28													218	248		228											
29												222	232		222		240										
30													240		230												
31																											
	00	01	02	03	04	05	06	07	08	09	10	11	12	13	14	15	16	17	18	19	20	21	22	23			
CNT											3	13	20	21	20	19	16	1									
MED											226	238	235	236	240	240	239	216									
U Q											268	243	247	245	247	246	242										
L Q											224	225	232	229	227	238	231										

NOV. 2017 h' F2 (KM)

NATIONAL INSTITUTE OF INFORMATION AND COMMUNICATIONS TECHNOLOGY, JAPAN

IONOSPHERIC DATA STATION Kokubunji

NOV. 2017 h'F (KM)

135°E MEAN TIME (G.M.T. + 9 H)

LAT. 35°43.0'N LON. 139°29.0'E SWEEP 1.0MHz TO 30.0MHz IN 15.0SEC IN MANUAL SCALING

H D	00	01	02	03	04	05	06	07	08	09	10	11	12	13	14	15	16	17	18	19	20	21	22	23			
1	230	224	E A E B	254 248	216	206	194	198	194	208	196	172	222	210	A	218	198	190	204	214	218	238	238	252			
2	262	236	218	210	196	228	210	202	208	206	204	208	210	196	208	204	200	200	A	A	A E A E B	264	306	256			
3	274	232	244	220	198	252	206	186	190	174	210	200	198	184	204	206	210	198	210	222	236	218	240	230			
4	232	276	260	280	218	230	212	196	192	216	184	192	202	196	210	204	204	184	184	240	206	234	218	212			
5	220	232	224	216	248	206	198	200	196	186	172	188		A	210	204	210	202	186	200	248	238	250	236	230		
6	244	238	250	218	226	224	200	192	208	196	214	186	170	194	212	212	200	192	210	240	218	216	208	200			
7	234	234	242	212	210	208	206	188	196	196	192	186	166	206	178	220	196	198	216	258	252	224	296	298			
8	248	240	200	292	242	320	266	208	220	216	202	200	200	190	220	206	196	190	224	224	242	300	248	242			
9	274	240	276	234	214	292	238	220	212	200	214	182	206	204	210	208	198	188	206	212	250	238	230	228			
10	258	238	244	238	284	274	200	200	212	216	196	216	210	186	196	206	204	190	248	216	252	238	208	258			
11	242	272	278	268	196	246	224	206	202	220	192	198	202	A	192	202	194	192	206	204	232	246	242	254			
12	270	248	260	260	218	238	210	204	198	202	184	210	174	204	218	208	194	176	178	236	232	232	238	304			
13	284	296	278	262	210	192	192	190	180	194	168	212	204	194	214	198	192	178	222	230	250	230	230	242			
14	248	258	244	250	190	282	208	198	208	208	210	194	204	192	200	208	190	176	234	268	256	214	210	260			
15	246	246	234	262	234	258	212	198	190	214		A	A	212	224	198	196	206	184	210	208	226	206	234	256		
16	250	242	248	280	204	234	228	200	212	206	206	196	220	208	C	C	C	C	CE	AE	B	254	250	226	242	216	258
17	246	282	254	250	218	198	240	198	200	188	200	186	170	204	190	210	198	180	196	230	238	206	232	292			
18	262	284	256	262	228	214	194	200	198	204	210	222	214	200	204	198	178	198	202	266	238	238	270				
19	262	262	260	254	240	224	210	208	192	182	210	194	184	210	210	204	196	188	248	240	244	212	200	256			
20	250	278	260	246	220	206	234	198	196	198	190	190	176	192	200	192	204	198	230	212	228	200	272	288			
21	252	248	248	222	208	254	222	208	202	200	180	186	192	200	204	212	204	202	214	190	214	204	236	268			
22	248	262	272	240	200	228	226	196	198	220	190	188	178	200	200	206	200	188	216	212	230	236	268	268			
23	276	246	226	208	196	220	228	198	164	204	214	210	222	230	212	200	188	190	208	262	222	228	228	252			
24	276	256	248	218	196	246	238	200	214	184	204	188	200	180	192	200	200	188	230	204	210	218	224	264			
25	282	304	270	260	212	296	242	204	200	204	186	194	180	190	188	206	200	204	218	214	194	228	252	266			
26	296	268	270	250	258	254	204	202	200	196	184	176	180	200	206	198	190	206	188	208	216	232	221	240			
27	264	266	294	256	206	206	220	190	196	198	206	216	212	208	200	180	192	194	218	206	210	210	210	266			
28	272	274	286	278	262	221	216	212	188	192	200	220	168	194	212	200	206	196	202	236	230		210	232			
29	236	238	230	234	238	230	212	192	194	182	194	194	238	192	210	A	204	196	190	280	202	E A E B E A E A	232	240	292	254	
30	272	260	262	272	220	200	214	192	200	216	198	208	196	240	214	214	198	186	202	198	246	224	232	272			
31																											
	00	01	02	03	04	05	06	07	08	09	10	11	12	13	14	15	16	17	18	19	20	21	22	23			
CNT	30	30	30	29	30	30	30	30	30	30	29	29	29	29	27	29	29	29	29	29	29	29	30	30			
MED	255	252	254	250	210	214	211	198	199	200	198	194	200	202	204	206	198	190	208	209	232	218	235	256			
U Q	272	272	270	262	238	254	228	202	208	208	208	209	210	210	209	201	198	230	240	245	238	248	268				
L Q	246	238	244	221	204	208	206	192	194	196	188	186	180	193	198	201	195	185	203	207	218	215	216	242			

NOV. 2017 h'F (KM)

NATIONAL INSTITUTE OF INFORMATION AND COMMUNICATIONS TECHNOLOGY, JAPAN

IONOSPHERIC DATA STATION Kokubunji

NOV. 2017 h'E (KM)

135°E MEAN TIME (G.M.T. + 9 H)

LAT. 35°43.0'N LON. 139°29.0'E SWEEP 1.0 MHz TO 30.0 MHz IN 15.0 SEC IN MANUAL SCALING

H D	00	01	02	03	04	05	06	07	08	09	10	11	12	13	14	15	16	17	18	19	20	21	22	23						
1			B				B	104	A	108	112	114	114	110	110	110	A	B												
2								110	112	A	108	110	A	110	110	A	B													
3				B				110	120	118		A	A	A	110		A	B												
4								108		A	110	110	A	110	108	110	108		B											
5					B			114		A	A	A	A	A	110		112	112												
6						B		112	112	A	A	110	110	108	108		A	A												
7				B				112	112	112	112	110	110	108	112		A	A												
8			B					108	108	A	A	108	108	108	102	110	110													
9				B				108	108	108	112		A	A	A	114		A	B											
10					B	B		112		A	A	A	A	A	A	A	A	A	112											
11						B		A	A	A	A	A	A	A	A	A	A	A	A											
12					B	B		112		A	A	A	112	112	A	108		B												
13				B				108	114	A		114	114	112	112	106	116		A											
14					B	B		A	A	108	108	108	108	108		A	B													
15						B		110	110	110	112	108	110		112	112	110													
16					B	B		110		A	A	A			A	C	C	C												
17				B				108	114	A	A	A	110	110	110		A	B												
18					B			110		A	A	A	A	A	A	A	A	104												
19			B					112	112	112	112	110	110	110	110	110	110	110	110	110										
20				B	B			108		A		112	114	112	114	108	108		B											
21					B	B		A	A	114	116	108	110	108	108	108		B												
22				B	B			110	110	110	110	110	110	110	110	110	110		B											
23					B			108	108	108	114	114	114	110	110	106		B												
24				B				118	120	A	A	120	114	A	112	112		B												
25					B			114	110	112	A	A	114	108	108	108		B												
26				B				116		A	A	A	116		114		A	A	B											
27					B			122		A	A	118	114		A	A	110		B											
28			B					116	110	110	110	110	108	110	112		A	B												
29				B				110	108	110	110		110		110		108		B											
30				B				130	114	114	116	110	112		112		A	B												
31																														
	00	01	02	03	04	05	06	07	08	09	10	11	12	13	14	15	16	17	18	19	20	21	22	23						
CNT								20	21	13	17	17	21	19	21	16	6													
MED								110	112	110	112	110	110	110	110	110	110													
U Q								114	114	112	113	114	113	110	112	111	112													
L Q								108	109	109	110	110	110	110	108	108	110													

NOV. 2017 h'E (KM)

NATIONAL INSTITUTE OF INFORMATION AND COMMUNICATIONS TECHNOLOGY, JAPAN

IONOSPHERIC DATA STATION Kokubunji

NOV. 2017 h'Es (KM)

135°E MEAN TIME (G.M.T. + 9 H)

LAT. 35°43.0'N LON. 139°29.0'E SWEEP 1.0MHz TO 30.0MHz IN 15.0SEC IN MANUAL SCALING

H D	00	01	02	03	04	05	06	07	08	09	10	11	12	13	14	15	16	17	18	19	20	21	22	23	
1	B	92	90	88	86	86	84	84	88	G	154	G	150	146	124	124	102	102	88	86	86	86	86	B	
2	82	82	82	82	B	B	106	144	144	102	120	132	90	G	G	98	90	94	94	90	88	88	86	84	
3	88	B	B	B	B	B	140	102	98	100	94	104	92	G	86	86	86	86	86	84	B	B	84		
4	B	96	94	92	90	90	88	90	88	88	92	G	112	108	108	96	B	B	94	92	92	88	B	B	
5	88	88	90	B	B	98	106	138	96	96	92	86	86	94	86	82	76	78	78	B	94	94	96	B	
6	88	B	B	B	B	B	G	146	96	86	G	G	134	84	90	90	98	98	B	B	92	B	B	B	
7	90	84	84	84	84	84	86	G	G	G	G	G	140	84	84	80	80	80	80	82	82	82	B	B	
8	B	B	B	122	B	128	128	124	116	98	96	G	G	94	G	G	94	92	B	B	B	B	B	90	
9	88	86	86	B	B	B	126	118	116	114	100	100	98	116	102	100	B	B	B	B	B	B	B	B	B
10	90	88	84	84	84	84	B	122	120	104	104	92	92	96	96	94	134	102	92	92	90	88	B	100	
11	94	B	B	96	94	94	92	100	100	98	98	96	96	94	90	86	84	84	84	86	92	92	92	90	
12	84	B	B	B	B	94	94	124	120	84	86	90	G	G	90	84	84	84	82	80	80	80	80	86	
13	86	86	86	B	B	86	86	110	98	140	132	G	G	144	126	96	96	96	92	B	B	B	B	B	
14	B	B	B	90	B	B	B	126	96	98	144	G	G	120	92	94	90	90	104	96	98	B	B	B	
15	B	B	B	B	B	B	146	142	160	130	114	118	102	G	G	120	90	104	B	B	B	B	B	98	
16	86	86	90	90	B	B	132	118	118	100	96	96	94	94	C	C	C	86	86	100	B	B	B	B	B
17	98	96	B	B	B	94	128	102	102	98	G	G	G	78	86	B	B	B	B	B	B	B	B	86	
18	B	92	88	C	B	B	G	106	100	96	88	86	90	96	96	B	B	B	94	90	90	90	90	B	
19	92	92	B	B	B	B	140	120	150	150	126	140	122	116	132	96	96	90	120	96	96	88	B	B	B
20	88	92	90	88	B	B	B	128	136	102	G	G	G	G	G	88	88	88	B	B	B	B	B	B	
21	B	B	B	B	B	B	110	98	98	G	G	G	154	148	88	88	86	B	B	B	B	B	B	112	
22	B	98	92	B	B	B	134	134	148	134	G	G	G	136	108	B	B	B	B	B	B	B	B	124	
23	B	B	B	B	B	B	94	136	144	128	110	110	110	G	G	106	124	120	110	100	90	94	B	B	
24	B	B	94	92	B	B	140	132	100	100	G	G	G	156	100	134	B	B	96	96	96	B	B	96	
25	96	88	88	92	96	88	B	128	114	102	96	G	G	G	140	92	90	86	86	86	86	86	86		
26	98	B	94	88	88	100	G	104	100	98	96	90	120	86	84	86	84	84	B	B	92	104	96	B	
27	78	100	92	90	B	B	B	118	108	102	108	94	G	92	94	92	92	88	B	B	92	B	B	92	
28	B	B	B	B	B	B	124	148	126	126	G	98	110	110	98	96	96	96	94	88	88	92	90		
29	96	94	94	100	102	102	B	G	150	116	106	122	94	86	122	90	82	80	80	86	92	82	96		
30	96	94	100	84	92	B	B	G	160	152	136	116	104	114	92	B	90	90	90	88	86	102	88		
31																									
	00	01	02	03	04	05	06	07	08	09	10	11	12	13	14	15	16	17	18	19	20	21	22	23	
CNT	19	18	17	16	9	13	13	23	24	27	25	20	18	20	19	23	25	21	22	22	17	19	18	19	
MED	88	92	90	90	90	90	94	126	117	100	104	96	102	101	96	96	92	90	89	89	88	92	92	90	
U Q	96	94	93	93	95	96	117	136	135	116	129	112	122	116	122	122	101	95	96	92	102	94	96	96	
L Q	86	86	86	86	85	86	87	118	101	98	97	93	92	94	90	84	87	84	84	86	86	86	86	88	

NOV. 2017 h'Es (KM)

NATIONAL INSTITUTE OF INFORMATION AND COMMUNICATIONS TECHNOLOGY, JAPAN

IONOSPHERIC DATA STATION Kokubunji

NOV. 2017 TYPES OF Es

135°E MEAN TIME (G.M.T. + 9 H)

LAT. 35°43.0'N LON. 139°29.0'E SWEEP 1.0 MHz TO 30.0 MHz IN 15.0 SEC IN MANUAL SCALING

H D	00	01	02	03	04	05	06	07	08	09	10	11	12	13	14	15	16	17	18	19	20	21	22	23
1	F 2	F 2	F 2	F 2	F 2	L 1	L 3	H 1		HL 11	H 1	CL 22	CL 22	L 4	L 3	F 3	F 4	F 3	F 4	F 3	F 4	F 2		
2	F 1	F 2	F 1	F 1		C 1	H 2	H 1	L 2	C 1	C 1	L 2			L 3	L 3	F 4	F 5	F 5	F 3	F 6	F 6	F 2	
3	F 2					H 3	L 2	L 2	L 2	L 2	L 2	L 2	L 1		L 2	L 3	F 4	F 4	F 4	F 2			F 1	
4	F 3	F 3	F 2	F 4	F 4	L 3	L 2	L 2	L 2	L 2	L 2	C 11	C 2	C 2					F 2		F 1	F 1	F 3	
5	F 2	F 1	F 2			F 1	L 1	H L 22	L 3	L 2	L 2	L 2	L 2	L 2	L 1		F 1	F 1	F 2	F 2	F 3	F 2		
6	F 1						H 1	L 2	L 2				H 1	L 2	L 2	L 2	F 2	F 2	F 2			F 1		
7	F 2	F 2	F 1	F 1	F 1	L 1						H 11	L 2	L 3	L 2	F 2	F 2	F 1	F 1	F 1	F 2	F 1	F 2	
8			F 1		F 1	C 1	C 3	C 2	L 3	L 1			L 1				F 1	F 1			F 2		F 3	
9	F 2	F 3	F 2				C 2	C 3	C 2	C 1	L 1	L 1	L 1	L 1	L 2	L 2								
10	F 2	F 4	F 3	F 3	F 4	F 2		C 2	C 2	L 1	L 1	L 2	L 1	L 1	L 2	L 1	F 1	F 4	F 2	F 4	F 2	F 2	F 2	
11	F 2			F 2	F 1	F 2	L 2	L 2	L 3	L 2	L 2	L 2	L 2	L 5	L 2	L 3	F 3	F 3	F 2	F 2	F 2	F 1	F 1	
12	F 2					F 3	L 2	C L 22	C L 33	L 3	L 2	L 2			L 2	L 2	L 3	F 1	F 2	F 2	F 2	F 1	F 1	
13	F 2	F 2	F 2			F 1	L 1	C 2	L 2	H 1	H 1		H 1	H 1	C 2	L 2	F 2	F 1	F 2					
14			F 2				C 1	L 2	L 2	H 1		C 1			L 2	L 2	F 1	F 2	F 1	F 1	F 1	F 1		
15							H 2	H 2	H 2	H 2	H 2	C 1	C 2	L 2		C 1	F 1			F 1			F 2	
16	F 2	F 1	F 1	F 2			H L 11	C 3	C 3	L 2	L 2	L 2	L 2	L 2				F 3	F 2	F 1				
17	F 2				F 1	C 2	L 2	L 2	L 2					L 3	L 1								F 1	
18	F 2	F 2					L 3	L 3	L 2	L 2	L 2	L 2	L 2	L 3	L 1			F 2	F 3	F 3	F 2	F 2	F 2	
19	F 2	F 1					H 1	C 2	H 1	H 1	C 2	H 1	C 2	H 1	H 2	F 2	F 1	F 2	F 2	F 2	F 2	F 2	F 2	
20	F 2	F 2	F 3	F 1			C 2	H 2	L 2						L 1	F 1			F 1					
21							C 3	L 3	L 2				H 1		H 1	L 2	F 1	F 1					F 1	
22	F 2	F 1					H L 22	H 2	H 2	C 1			H 1		L 3							F 2		
23							L 1	H 4		H 1	H 1	C 2	C 3	C 32		L 2	F 1	F 2	F 1	F 1	F 1	F 2	F 1	
24	F 1	F 2	F 2				H 1	H 2	L 2	L 3	C 2	L 2			C 1			F 1	F 1	F 2	F 2	F 4	F 4	
25	F 2	F 2	F 2	F 2	F 2	C 2		C 2	C 3	L 2					H 1	L 2	F 3	F 3	F 1	F 2	F 4	F 2	F 2	
26	F 2		F 4	F 3	F 1	L 1		L 3	L 2	L 1	L 2	L 2	C 12	L 3	L 4	F 2	F 1			F 2	F 1	F 2	F 2	
27	F 2	F 2	F 2	F 1			C 2	L 2	L 2	C 2	L 1		L 2	L 2	L 1	F 2		F 1				F 2		
28							C 1	H 2	C 2	C 1	L 1	L 2	C 22	C 22	L 3	L 2	F 3	F 5	F 2	F 3	F 4	F 3	F 2	
29	F 2	F 2	F 2	F 2	F 2			H 1	C 1	L 2	C 2	L 1	L 2	C 1	L 2	C 4	F 3	F 2	F 1	F 2	F 3	F 2	F 2	
30	F 1	F 2	F 2	F 2	F 1			H 2	H 2	H 1	C 1		L 3	C 1	L 3		F 1	F 3	F 4	F 2	F 3	F 2	F 2	
31																								
	00	01	02	03	04	05	06	07	08	09	10	11	12	13	14	15	16	17	18	19	20	21	22	23
CNT																								
MED																								
U Q																								
L Q																								

NOV. 2017 TYPES OF Es

NATIONAL INSTITUTE OF INFORMATION AND COMMUNICATIONS TECHNOLOGY, JAPAN

IONOSPHERIC DATA STATION Yamagawa

NOV. 2017 fxI (0.1MHz)

135°E MEAN TIME (G.M.T. + 9 H)

LAT. 31°12.0'N LON. 130°37.0'E SWEEP 1.0MHz TO 30.0MHz IN 15.0SEC IN MANUAL SCALING

H D	00	01	02	03	04	05	06	07	08	09	10	11	12	13	14	15	16	17	18	19	20	21	22	23	
1	X	X	X	X	X	X											X	X	X	X	X	45	40		
	39	40	41	39	39	41											57	52	44	39	39				
2	X	X	X	X	X	X											X	X	X	X	X	X			
	40	41	42	39	48	26											56	54	43	44	44	43	39		
3	X	X	X	X	X	X	X										X	X	X	X	X	X			
	39	42	42	45	47	35	34										68	71	53	38	41	41	41		
4	X	X	X	X	X	X											X	X	X	X	X	X			
	41	38	39	40	47	35											62	52	35	35	39	39	40		
5	X	X	X	X	X	X	X										X	X	A	X	X	X	X		
	38	38	38	39	41	33	29										57	49		36	40	44	39		
6	X	X	X	X	X	X	X										X	X	X	X	X	X			
	37	37	38	37	36	34	34										58	46	39	39	42	41	39		
7	X	X	X	X	X	X	X										X	X	X	X	X	X			
	38	36	37	36	38	32	28										44	44	43	46	38	39	39		
8	X	X	X	X	X	X											X	X	X	X	X	X			
	40	43	49	26	29	31											44	42	43	43	43	44			
9	X	X	X	X	X	X											X	X	X	X	X	X			
	40	42	39	39	42	28											47	40	39	42	44	44			
10	X	X	X	X	X	X											X	X	X	X	X	X			
	40	41	38	38	36	35											54	49	44	38	39	30			
11	X																X	X	A	X	X	X			
	32	36	37	38	48	25											54	38		38	39	38			
12	X	X	X	X	X												X	X	X	X	X	X			
	34	36	37	37	43	37											45	34	29	34	36	36			
13	X	X	X	X	X	X											X	X	X	X	X	X			
	36	34	34	36	40	33											37	29	34	38	40	47			
14	X	X	X	X	X	X											X	X	X	X	X	X			
	42	40	40	38	44	30											38	42	42	38	36				
15	X	X	X	X	X												X	X	X	X	X	X			
	38	38	39	36	36	37	37										46	44	43	45	40	37			
16	X	X	X	X	X	X											X	X	X	X	X	X			
	31	35	36	37	45	29											35	37	39	40	40	40			
17	X																X	X	X	X	X	X			
	37	38	39	38	42	27											41	33	37	41	36	31			
18	X	X	X	X	X	X											X	X	X	X	X	X			
	36	36	37	38	36	38											41	37	41	33	33	34			
19	X	A	X	X	X	X											X	X	X	X	X	X			
	34	36	36	38	36	36											39	32	39	42	46	33			
20	X	X	X	X	X	X											X	X	X	X	X	X			
	33	35	36	38	36	35											40	40	36	39	34				
21	X	X	X	X	X	X											X	X	X	X	X	X			
	37	39	40	42	45	36											45	40	44	44	44	33			
22	X	X	X	X	X	X											X	X	X	X	X	X			
	37	39	40	44	47	32											38	33	33	37	37				
23	X																X	X	X	X	X	X			
	42	44	43	41	33	29											34	40	37	38	32				
24	X	X	X	X	X	X											X	X	X	X	X	X			
	35	35	36	42	38	28											39	39	36	28	32				
25	X	X	A	X	X	X											X	X	X	X	X	X			
	34	34	34	38	26												60	34	33	30	27	32			
26	X	X	X	X	X	X											X	X	X	X	X	X			
	32	32	35	35	35	34												34	36	37	31	30			
27	X	X	X	X	X	X											X	X	X	X	X	X			
	30	30	32	32	34	31												34	39	40	32	28			
28	X	X	X	X	X	X											X	X	X	X	X	X			
	31	32	33	35	35	37	34	51										34	34	35	36	40			
29	X	X	X	X	X	X											X	X	X	X	X	X			
	36	35	36	36	36	35											40	35	40	33	33	38			
30	X	X	X	X	X	X											X	X	X	X	X	X			
	36	36	38	38	42	31												34	36	38	38	35			
31																									
	00	01	02	03	04	05	06	07	08	09	10	11	12	13	14	15	16	17	18	19	20	21	22	23	
CNT	30	29	30	29	30	30	6	4	1									7	17	29	29	30	30		
MED	X	X	X	X	X	X	X	X	X								X	X	X	X	X	X			
U Q	37	37	38	38	38	33	34	50	54									58	46	38	39	39	37		
L Q	X	X	X	X	X	X	X	X	X								X	X	X	X	X	X			
	34	35	36	36	36	29	29	49										57	41	34	36	36	33		

NOV. 2017 fxI (0.1MHz)

NATIONAL INSTITUTE OF INFORMATION AND COMMUNICATIONS TECHNOLOGY, JAPAN

IONOSPHERIC DATA STATION Yamagawa

NOV. 2017 foF2 (0.1MHz) 135°E MEAN TIME (G.M.T. + 9 H)

LAT. 31°12.0'N LON. 130°37.0'E SWEEP 1.0MHz TO 30.0MHz IN 15.0SEC IN MANUAL SCALING

H D	00	01	02	03	04	05	06	07	08	09	10	11	12	13	14	15	16	17	18	19	20	21	22	23	
1	33	34	35	33	34	35	29	54	56	60	68	71	75	73	67	82	70	51	46	38	33	33	F	F	
2	F	35	36	33	41	20	23	52	59	68	83	76	65	69	84	89	77	50	48	37	38	38	37	33	
3	33	36	36	39	41	29	28	50	61	59	64	72	59	93	108	81	61	62	65	50	32	35	35	35	
4	35	32	33	34	41	29	29	52	59	61	72	82	74	83	82	75	68	56	46	29	29	A	F	F	
5	32	32	32	33	35	27	23	50	62	60	71	84	81	81	64	62	59	51	43	30	34	38	33	F	
6	31	31	32	31	30	28	28	49	54	54	61	70	57	62	72	62	61	52	40	33	33	36	35		
7	F	30	30	30	32	26	22	42	52	52	60	83	78	70	57	77	58	50	38	38	37	40	32	33	
8	34	37	43	20	23	25	23	67	58	68	75	106	74	84	92	77	60	52	38	38	36	37	37	38	
9	34	36	33	33	36	22	19	43	68	92	126	81	64	72	76	77	66	49	41	34	33	F	38	38	
10	34	35	32	32	30	29	30	48	68	65	89	94	61	61	63	78	74	59	48	43	38	32	33	24	
11	F	F	F		42	18	22	46	77	63	68	83	78	61	65	72	64	49	48	32	A	32	33	32	
12	28	30	31	31	37	F	25	53	54	57	66	75	65	70	81	64	67	62	38	27	23	28	30	30	
13	30	28	28	30	34	27	19	43	50	59	66	81	62	66	70	71	62	48	31	23	28	32	34	F	
14	36	34	34	32	38	24	24	44	63	61	86	85	64	74	64	72	66	44	30	32	36	36	32	30	
15	32	32	33	30	30	F	F	46	58	C	C	C	83	64	70	67	71	55	40	38	37	39	34	30	
16	25	29	30	31	39	23	26	52	60	63	96	87	73	75	70	82	60	60	41	28	31	33	34	34	
17	31	F	F	F		21	21	51	58	57	74	80	65	81	82	66	69	55	35	26	31	35	30	25	
18	30	30	30	32	30	32	30	45	58	65	66	74	70	73	66	67	65	55	35	31	35	27	27	28	
19	A	28	30	30	32	30	28	46	66	62	76	72	65	64	63	63	58	48	33	27	33	36	39	27	
20	27	28	30	32	30	29	27	48	59	72	70	67	84	91	83	57	55	52	42	34	34	30	33	28	
21	31	33	34	36	39	30	28	47	59	62	56	69	76	74	58	50	61	56	54	39	34	38	37	27	
22	31	33	34	38	41	26	26	46	50	66	68	78	62	78	68	64	62	60	33	32	27	27	31	31	
23	F	F	F		37	27	23	23	41	54	60	56	70	77	93	76	72	57	44	32	28	34	31	32	26
24	29	29	30	35	32	22	23	42	56	67	64	67	76	78	80	69	55	53	34	33	32	30	22	26	
25	28	28	28	A	32	20	24	44	56	55	62	70	64	72	82	70	68	54	42	28	27	24	21	26	
26	26	26	29	29	29	27	29	44	53	59	62	64	62	76	74	66	58	57	34	28	30	30	25	24	
27	24	24	25	26	28	25	24	39	53	53	60	59	65	67	60	55	54	54	38	28	33	34	26	22	
28	25	26	27	29	29	31	28	45	51	55	58	60	58	61	60	59	62	52	V	42	28	28	29	30	34
29	30	29	30	30	30	28	28	40	56	57	58	60	57	63	72	75	56	52	34	29	34	27	27	32	
30	30	31	32	32	36	25	25	42	48	53	58	60	61	67	59	68	66	48	40	28	30	32	32	29	
31																									
	00	01	02	03	04	05	06	07	08	09	10	11	12	13	14	15	16	17	18	19	20	21	22	23	
CNT	27	26	28	26	29	28	29	30	30	29	29	29	30	30	30	30	30	30	30	29	29	28	28	27	
MED	30	31	32	32	32	26	25	46	58	60	66	74	65	72	70	70	62	52	40	32	33	32	32	30	
U Q	33	34	34	33	38	29	28	50	60	65	74	82	76	78	81	77	67	56	43	38	34	36	35	33	
L Q	28	29	30	30	30	23	23	43	54	57	60	68	62	66	64	64	58	50	34	28	30	30	30	26	

NOV. 2017 foF2 (0.1MHz)

NATIONAL INSTITUTE OF INFORMATION AND COMMUNICATIONS TECHNOLOGY, JAPAN

IONOSPHERIC DATA STATION Yamagawa

NOV. 2017 foF1 (0.01MHz) 135°E MEAN TIME (G.M.T. + 9 H)

LAT. 31°12.0'N LON. 130°37.0'E SWEEP 1.0MHz TO 30.0MHz IN 15.0SEC IN MANUAL SCALING

H D	00	01	02	03	04	05	06	07	08	09	10	11	12	13	14	15	16	17	18	19	20	21	22	23						
1											U 4 7 2	U 4 6 8	L 4 3 2	A	A	L														
2											L 4	L 5	L 6		L															
3											L 4	L 3	L 2			A														
4											L 4	L 3	L 2		L	L	L													
5											L 4	L 3	L 2		A	L														
6											L 4	L 3	L 2	L 4	L 3	L	L	L												
7											U 4 4 8	U 4 0 4	L 4 2 8																	
8											L 4	A 3	U 2	L 1	L 0	L	L	L												
9											L 4	A 3	L 2	L 1																
10											L 4		L 3	A 2	L 1	L 0	L 1													
11											A 4	A 3			L 1															
12											U 3	U 7	U 2	L 4	A 2	U 1	A 4	A 4												
13											L 4	L 3	U 2	L 1	L 0	L 1	L 0	L 1												
14											L 4	U 1	L 0				A 1	A 1												
15											C 4	C 3	C 2	L 1	L 0	L 1	L 0	L 1												
16											L 4	L 3	L 2	L 1	L 0															
17												L 4	L 3	L 2	L 1	L 0	L 1													
18											L 4	L 3	U 2	L 1	L 0	L 1	L 0	L 1												
19											L 4	L 3	L 2	L 1	A 0	U 1	L 0													
20											L 4	L 3	U 2	L 1	L 0	L 1	L 0	L 1												
21											L 4	L 3	U 2	L 1	L 0	L 1	L 0	L 1												
22											L 4	L 3	L 2	L 1	A 0															
23											L 4	L 3	L 2	L 1	L 0	L 1	L 0	L 1												
24											L 4	L 3	L 2	A 1			A 1	L 0												
25											L 4	L 3	L 2	L 1	L 0	L 1	L 0	L 1												
26												L 4	L 3	L 2	L 1	L 0	L 1	L 0	L 1											
27												L 4	L 3	L 2	L 1	L 0	L 1	L 0	L 1											
28											L 4	L 3	U 2	L 1	L 0	A 1		L 1												
29											L 4	U 3	L 2	L 1	L 0															
30											A 4						L 1	A 1												
31																														
	00	01	02	03	04	05	06	07	08	09	10	11	12	13	14	15	16	17	18	19	20	21	22	23						
CNT																	4	9	6	6	1									
MED																	U 4	3	2	4	2	4	3	2	4	4	2	4	0	0
U Q																	U 4	6	0	4	3	4	4	3	2	4	5	6		
L Q																	U 3	9	4	4	1	4	4	2	8	4	3	2		

NOV. 2017 foF1 (0.01MHz)

NATIONAL INSTITUTE OF INFORMATION AND COMMUNICATIONS TECHNOLOGY, JAPAN

IONOSPHERIC DATA STATION Yamagawa

NOV. 2017 foE (0.01MHz) 135°E MEAN TIME (G.M.T. + 9 H)

LAT. 31°12.0'N LON. 130°37.0'E SWEEP 1.0MHz TO 30.0MHz IN 15.0SEC IN MANUAL SCALING

H D	00	01	02	03	04	05	06	07	08	09	10	11	12	13	14	15	16	17	18	19	20	21	22	23										
1								B 184	R 256	U 280	R 316	A	A	A	A	A	A																	
2								B 240	B 292		A 328	A 328	A 284	A 248																				
3								B 244		A A																								
4								B 192	R 244	R 280	R 308	A	A	A	A	A	A	A																
5								U 180	R 252	R 276	R 312	A 328	A 328	A 284	A 228																			
6								B 252		A 304	A 312	U 320	R 316	A	A	A																		
7								U 172	A 236	A 320	R 332	R 320	A 312	U 308	A 284	A 232	U 184																	
8								B 172	R 240	R 276	A	A	A	A	A		R 284	R 192																
9								B 180	R 244	A 308	A	A	A 308	A	A	A	A	B																
10								B 236	B 236	A	A	A	A	A	A	A 256	A 224	A																
11								B 184	R 252	A	A	A	A	A	A	A	A	B																
12								B 204	R 252	A	A 300	U 300	R 312	U 284	R 276	A 248	A 248																	
13								B 176	R 224	R 272	R 288	R 312	A 312	U 280	R 228																			
14								B 180	R 240	R 276	R 280	A	A 304	A 288	A	A	B	B																
15								B 228		C C	C	A	A 304	A 284	A	A	B																	
16								B 248	B 248	A	A	A	A	A	A	U 312	R 268	U 232	B	B														
17								B 224	B 224	A	A	A	A	A	A	A	A	A	B	B														
18								B 276	B 276	A	A	A	A	A	A	R 316	A R	A R	A	B														
19								B 292	B 292	A	A	A	A	A	A	R 312	U 296	R 268	U 224	A														
20								B 248	B 248	A	A	A	A	A	A	U 316	R 312	A	244	U 184	B													
21								B 248	B 248	A	A	A	A	A	A	R 324	R 264	R 216	U 204	B														
22								B 224	B 224	U 300	A	A 316	A 316	A	A	A	A	A	B	B														
23								B 220	B 268	U 292	A	A	A	A	A	A	R 316	R 300	R 280	A	B	B												
24								B 208	B 292	A	A	A	A	A	A	U 312	A	A	A	A	B	B												
25								B 236	B 236	A	A	A	A	A	A	R 320	R 304	A 272	R 228	B														
26								B 276	B 276	A	A	A	A	A	A	A	A	A	U 276	R 236	B	B												
27								B 224	B 224	A	A	A	A	A	A	A	A	A	U 260	R 240	U 188	B												
28								A 276	A 300	A	A	A	A	A	A	R 336	A	A	A	A	B	B												
29								B 228	B 228	U 280	A	A 304	A 316	A 324	A 284	A	A	A	A	A	A	A												
30								B 296		U 304	A	U 316	A	A	A	A	A	A	A	A	A	B												
31																																		
	00	01	02	03	04	05	06	07	08	09	10	11	12	13	14	15	16	17	18	19	20	21	22	23										
CNT																																		
MED																																		
U Q																																		
L Q																																		

NOV. 2017 foE (0.01MHz)

NATIONAL INSTITUTE OF INFORMATION AND COMMUNICATIONS TECHNOLOGY, JAPAN

IONOSPHERIC DATA STATION Yamagawa

NOV. 2017 foEs (0.1MHz) 135°E MEAN TIME (G.M.T. + 9 H)

LAT. 31°12.0'N LON. 130°37.0'E SWEEP 1.0MHz TO 30.0MHz IN 15.0SEC IN MANUAL SCALING

H D	00	01	02	03	04	05	06	07	08	09	10	11	12	13	14	15	16	17	18	19	20	21	22	23	
1	J 34	A 21	E 16	B 16	E 16	B 20	E 22	G	G	G 35	J 40	A 50	J 53	A 49	J 55	J 36	A 41	J 27	A 26	J 21	A 20	J 22	A 34		
2	E 16	B 16	E 21	B 23	J 16	A 20	E 25	G 29	J 33	S 36	R 40	A 41	G 39	J 44	G 29	J 42	S 37	J 37	S 32	J 15	A 23	B 16	E B		
3	E 15	B 40	J 36	A 32	J 28	A 23	J 20	G 24	G 28	S 36	R 41	A 44	R 40	A 61	S 38	R 40	G 48	S 53	R 37	S 28	J 23	A 15	B 15	E B	
4	E 15	B 20	J 20	A 19	E 16	B 15	E 21	G 34	G	G 32	R 27	S 39	R 38	A 46	R 37	J 46	S 32	R 45	S 23	J 26	S 31	J 22	A 29	B 27	
5	J 34	A 34	E 16	B 15	J 19	A 19	E 15	G 26	G	G	G 36	S 35	R 37	A 42	S 42	J 39	S 42	J 23	S 38	J 51	J 27	J 16	A 16	E B	
6	J 22	A 22	J 22	A 26	J 15	A 21	J 22	E 16	G 21	G 29	S 31	R 34	S 36	G 38	S 34	S 34	J 37	S 27	J 30	S 28	J 28	J 21	J 21	J 22	
7	E 16	B 22	J 16	A 28	E 25	B 25	J 20	E 20	G 29	J 33	S 63	G G	G 36	R 41	S 32	S 28	S 22	J 26	S 16	J 15	S 22	J 19	J 15	E B	
8	E 16	B 16	E 15	B 15	E 15	B 16	E 15	G	G	G 46	J 43	R 44	R 48	R 38	G G	G G	J A	S 26	J 20	S 28	J 15	J 15	E B		
9	J 23	A 36	J 21	A 22	J 24	A 23	J 23	G	G 29	S 34	R 34	S 36	G 34	R 43	S 34	S 35	J 21	S 33	S 25	J 22	S 24	J 16	S 31	E B	
10	J 20	A 33	J 42	A 28	J 16	A 16	J 20	E 21	G 26	J 29	R 47	S 36	R 54	S 56	S 35	S 29	S 25	J 33	S 29	J 23	S 26	J 16	J 16	E B	
11	E 15	B 16	E 16	B 22	E 24	B 27	E 20	G 28	G 40	R 47	S 51	R 42	S 38	R 59	S 70	S 72	S 54	S 55	S 52	S 38	S 27	S 27	S 49	E B	
12	J 32	A 30	J 23	A 23	J 23	A 33	E 16	G 26	G 27	J 43	R 38	R 88	S 88	S 34	G G	G 30	J 28	S 22	J 26	S 22	J 20	S 16	J 16	E B	
13	E 16	B 16	E 16	B 20	E 16	B 19	E 19	G	G 32	S 35	R 35	S 36	R 37	S 40	G J	G 16	G 16	E 16	E 16	E 16	E 16	E 16	E B		
14	E 16	B 16	E 16	B 16	E 16	B 16	E 16	G	G 28	S 33	R 34	S 36	R 35	R 47	S 39	S 40	J 28	S 28	J 24	S 23	J 26	S 22	J 15	S 34	
15	J 25	A 16	E 15	B 15	E 15	B 15	E 15	E 26	C C	C C	C C	S 36	R 34	S 33	G 29	S 16	S 23	S 21	S 22	S 22	S 16	S 16	E B		
16	E 16	B 29	J 30	A 19	E 16	B 20	E 20	E 16	E 29	J 34	R 35	R 61	R 46	R 56	R 35	G 26	S 34	S 26	S 28	S 29	S 20	S 16	J 16	E B	
17	E 25	B 16	E 20	B 20	E 22	B 22	E 22	J 29	J 29	R 39	R 49	R 50	R 64	R 42	R 42	S 35	S 32	S 24	S 24	S 24	S 24	S 16	S 15	E B	
18	E 16	B 33	E 32	B 16	E 16	B 21	E 15	E 15	E 54	S 32	R 34	R 38	G 35	R 37	G 30	J 24	S 16	S 24	S 22	S 21	S 21	S 16	S 16	E B	
19	J 27	A 40	J 30	A 26	J 21	A 21	J 16	E 30	J 31	S 35	G 36	G 36	S 33	S 22	S 29	S 27	J 24	S 24	J 16	S 16	J 16	S 16	E B		
20	E 15	B 15	E 16	B 27	E 22	B 24	E 20	E 18	G 41	J 38	R 38	R 66	G 36	S 36	S 34	J 26	S 24	S 27	S 24	S 27	S 16	S 15	J 15	E B	
21	E 20	B 16	E 16	B 15	E 15	B 15	E 16	E 28	J 41	S 34	R 38	G G	G G	G G	G 26	S 21	S 16	S 21	S 16	S 15	S 15	S 15	E B		
22	E 15	B 15	E 15	B 16	E 15	B 22	E 21	E 26	S 30	S 32	R 34	S 38	R 38	S 39	J 44	S 30	S 24	S 35	S 31	S 24	S 23	S 15	S 15	E B	
23	E 16	B 23	E 16	B 16	E 16	B 21	E 20	E 20	S 26	S 31	R 37	S 36	R 44	G 36	S 28	S 20	S 19	S 23	S 22	S 22	S 21	S 16	J 16	E B	
24	E 16	B 16	E 16	B 16	E 16	B 18	E 15	E 16	E 26	S 30	S 33	R 43	R 59	R 35	R 54	R 39	S 28	S 16	S 15	S 15	S 15	S 20	S 20	E B	
25	J 20	A 24	J 42	A 48	J 34	A 20	J 25	E 20	S 30	S 39	R 43	R 40	G 42	R 29	S 26	S 16	S 16	S 15	S 15	S 14	S 14	S 20	S 20	E B	
26	E 17	B 16	E 22	B 15	E 15	B 20	E 16	E 20	E 27	S 44	R 60	R 44	R 43	R 41	G 16	G 15	S 26	S 16	S 26	S 16	S 29	S 16	S 33	E B	
27	E 16	B 15	E 15	B 15	E 20	B 20	E 19	E 16	E 26	S 32	R 36	R 47	R 54	R 38	R 40	G 23	G 53	S 24	S 24	S 21	S 16	S 16	E B		
28	E 16	B 21	J 23	B 16	E 16	B 15	E 16	E 29	E 32	S 36	R 46	G 50	R 48	R 50	S 38	S 15	S 16	S 22	S 22	S 16	S 16	S 16	E B		
29	J 29	A 22	J 25	A 16	E 20	J 27	A 21	J 21	S 32	S 36	R 31	R 35	R 36	R 38	R 40	J 45	J 52	S 65	S 35	S 16	J 16	S 20	S 20	J A	
30	E 16	B 20	J 23	B 23	E 51	A 41	J 23	J 34	E 51	R 42	S 34	R 44	S 38	R 44	S 51	S 66	S 34	J 72	S 32	S 16	S 21	S 20	S 16	S 16	E B
31																									
	00	01	02	03	04	05	06	07	08	09	10	11	12	13	14	15	16	17	18	19	20	21	22	23	
CNT	30	30	30	30	30	30	30	30	30	29	29	29	30	30	30	30	30	30	30	30	30	30	30	30	E B
MED	E 16	B 20	E 18	B 16	E 18	B 20	E 20	G 28	J 33	S 36	R 38	R 39	S 38	R 39	S 34	S 30	S 24	S 24	S 24	S 22	S 21	S 16	S 16	E B	
U Q	J 23	A 29	J 25	A 23	J 23	A 21	J 21	J 29	S 36	R 44	R 44	R 46	R 47	R 42	R 42	S 36	S 34	S 29	S 28	S 26	S 24	S 21	S 21	S 22	
L Q	E 16	B 16	E 16	B 16	E 16	B 16	E 16	E 26	S 31	R 34	R 36	G 34	R 35	G 26	G GE	G BE	B BE	B BE	B BE	B BE	B BE	B BE	E B		

NOV. 2017 foEs (0.1MHz)

NATIONAL INSTITUTE OF INFORMATION AND COMMUNICATIONS TECHNOLOGY, JAPAN

IONOSPHERIC DATA STATION Yamagawa

NOV. 2017 fbEs (0.1MHz) 135°E MEAN TIME (G.M.T. + 9 H)

LAT. 31°12.0'N LON. 130°37.0'E SWEEP 1.0MHz TO 30.0MHz IN 15.0SEC IN MANUAL SCALING

H D	00	01	02	03	04	05	06	07	08	09	10	11	12	13	14	15	16	17	18	19	20	21	22	23												
1	E	B	E	B	E	B	E	B	G	G	G	34	34	36	40	40	31	28	28	23	22	18	16	16	19											
2	E	B	E	B	E	B	E	B	E	G	G	22	28	32	35	35	35	34	36	26	23	33	23	18	15	18	16									
3	E	B	E	B	E	B	E	B	E	G	G	15	23	21	20	16	16	16	22	27	27	33	35	32	35	32	42	50	26	20	20	15	15	15		
4	E	B	E	B	E	B	E	B	G	G	G	15	16	16	16	15	18	31	26	37	34	40	34	28	22	22	17	17	E	B	E	E	E	E		
5	E	B	E	B	E	B	E	B	E	G	G	19	15	16	15	16	16	15	19	34	32	35	36	22	21	21	16	38	16	16	16	16	16	16		
6	E	B	E	B	E	B	E	B	E	G	G	18	16	17	15	16	16	16	20	27	27	32	34	36	32	30	31	21	19	22	22	15	17	15		
7	E	B	E	B	E	B	E	B	E	G	G	16	16	16	16	16	16	16	19	26	26	26	25	36	40	32	26	21	18	16	15	17	15	15		
8	E	B	E	B	E	B	E	B	E	G	G	16	16	15	15	15	16	15	16	26	36	33	32	34	31	G	G	G	18	16	22	15	15	15		
9	E	B	E	B	E	B	E	B	G	G	G	16	23	15	15	16	16	16	25	30	30	34	32	32	38	32	26	20	24	16	16	16	16	21		
10	E	B	E	B	E	B	E	B	E	G	G	16	16	22	22	18	16	16	17	20	25	28	34	32	34	40	32	28	25	25	20	17	18	16	16	16
11	E	B	E	B	E	B	E	B	E	G	G	15	16	16	16	16	16	16	24	30	40	45	38	33	44	37	46	32	27	20	38	16	16	16	16	
12	E	B	E	B	E	B	E	B	E	G	G	20	20	16	16	16	16	16	19	24	28	28	50	32	G	G	G	29	20	20	16	16	16	16	16	
13	E	B	E	B	E	B	E	B	E	G	G	16	16	16	16	16	16	16	16	30	33	33	34	33	33	G	G	E	E	E	E	E	E	E		
14	E	B	E	B	E	B	E	B	E	G	G	16	16	16	16	16	16	16	25	32	32	34	33	37	36	33	25	22	16	16	19	16	15	17		
15	E	B	E	B	E	B	E	B	E	G	C	16	16	15	15	15	15	16	25	C	C	C	34	32	31	G	G	E	E	E	E	E	E	E		
16	E	B	E	B	E	B	E	B	E	G	G	16	21	16	16	16	16	16	16	22	28	30	42	35	35	33	23	20	18	16	19	16	16	16		
17	E	B	E	B	E	B	E	B	E	G	G	16	16	16	16	16	16	16	18	24	28	41	34	34	34	31	27	24	18	18	16	16	16	15		
18	E	B	E	B	E	B	E	B	E	G	G	16	17	16	16	16	16	16	15	24	28	33	37	33	32	G	G	24	18	16	16	16	16	16		
19	E	B	A	A	E	B	E	B	E	G	G	16	40	18	18	16	16	16	16	21	27	31	G	G	G	35	30	20	16	16	16	16	16			
20	E	B	E	B	E	B	E	B	E	G	G	15	15	16	18	15	15	16	17	30	32	32	33	33	28	29	24	19	22	20	16	16	15			
21	E	B	E	B	E	B	E	B	E	G	G	20	16	16	15	15	15	16	16	28	31	31	31	G	G	G	25	16	16	16	16	15	15			
22	E	B	E	B	E	B	E	B	E	G	G	15	15	15	16	15	15	18	24	29	31	34	34	35	34	36	22	21	19	15	15	15	15			
23	E	B	E	B	E	B	E	B	E	G	G	16	16	16	16	16	16	16	25	30	34	34	35	G	G	G	20	25	17	16	16	16	16			
24	E	B	E	B	E	B	E	B	E	G	G	16	16	16	16	16	16	15	24	28	32	33	49	34	34	36	28	21	16	15	15	15	15			
25	E	B	E	B	A	A	E	B	E	G	G	16	16	16	48	16	16	16	18	26	32	32	28	31	23	24	16	16	15	15	14	14	15			
26	E	B	E	B	E	B	E	B	E	G	G	17	16	16	15	15	16	16	16	22	38	37	36	33	33	G	G	E	B	E	E	E	E			
27	E	B	E	B	E	B	E	B	E	G	G	16	15	15	15	16	16	16	16	25	28	33	33	34	34	33	G	G	E	B	E	E	E	E		
28	E	B	E	B	E	B	E	B	E	G	G	16	16	16	16	16	16	15	24	30	34	32	38	37	29	24	15	16	16	16	16	16				
29	E	B	E	B	E	B	E	B	E	G	G	18	16	16	16	16	16	16	16	20	28	30	33	33	36	37	38	34	26	20	16	16	19	16	16	
30	E	B	E	B	E	B	E	B	E	G	G	16	16	16	16	21	16	19	29	37	31	39	35	36	40	38	31	60	20	16	16	16	16	16		
31																																				
	00	01	02	03	04	05	06	07	08	09	10	11	12	13	14	15	16	17	18	19	20	21	22	23												
CNT	30	30	30	30	30	30	30	30	30	30	29	29	29	29	30	30	30	30	30	30	30	30	30	30	30	30	30	30	30	30	30	30				
MED	E	B	E	B	E	B	E	B	E	B		16	16	16	16	16	16	18	24	28	32	34	34	34	33	28	25	20	18	16	16	16	16	16	16	
U Q	E	B	E	B	E	B	E	B	E	B		16	16	16	16	16	16	16	25	30	34	35	35	36	36	32	29	22	20	20	18	16	16	16	16	
L Q	E	B	E	B	E	B	E	B	E	B		16	16	16	15	16	16	15	16	28	30	32	32	32	32	G	G	E	B	E	E	E	E	E	E	

NOV. 2017 fbEs (0.1MHz)

NATIONAL INSTITUTE OF INFORMATION AND COMMUNICATIONS TECHNOLOGY, JAPAN

IONOSPHERIC DATA STATION Yamagawa

NOV. 2017 fmin (0.1MHz)

135°E MEAN TIME (G.M.T. + 9 H)

LAT. 31°12'0"N LON. 130°37'0"E SWEEP 1.0MHz TO 30.0MHz IN 15.0SEC IN MANUAL SCALING

H D	00	01	02	03	04	05	06	07	08	09	10	11	12	13	14	15	16	17	18	19	20	21	22	23
1	16	16	16	16	16	16	16	14	14	14	13	13	14	14	15	17	15	16	16	15	15	16	16	16
2	16	16	16	16	16	16	16	16	16	16	16	16	17	18	19	18	18	15	15	15	15	16	15	16
3	15	15	16	16	16	16	16	16	15	16	18	17	19	19	19	14	16	15	15	16	15	15	15	15
4	15	16	16	16	15	15	16	16	16	15	14	18	18	19	16	15	15	14	15	16	16	16	16	16
5	16	16	16	15	16	16	15	15	13	14	14	16	19	21	15	15	16	16	16	16	16	16	16	16
6	16	16	15	15	16	16	16	15	15	13	13	15	17	17	17	17	14	16	16	16	15	16	15	15
7	16	16	16	16	16	16	16	14	14	14	14	18	21	19	18	20	18	16	16	16	15	15	15	15
8	16	16	15	15	15	16	15	13	15	16	13	18	18	18	18	18	16	13	16	16	15	15	15	15
9	16	16	15	15	16	16	16	15	16	15	15	15	18	20	20	17	15	15	15	16	16	16	16	16
10	16	16	16	16	16	16	17	16	16	16	16	14	15	15	15	16	16	16	16	16	18	16	16	16
11	15	16	16	16	16	16	16	16	15	16	16	16	17	18	18	19	17	16	16	16	16	16	16	16
12	16	16	16	16	16	16	16	16	16	16	16	15	15	17	17	21	19	14	15	16	16	16	16	16
13	16	16	16	16	16	16	16	16	16	15	15	16	15	19	19	19	16	16	16	16	16	16	16	16
14	16	16	16	16	16	16	16	15	15	15	15	17	17	20	22	17	14	15	16	16	16	16	16	15
15	16	16	15	15	15	15	15	16	14					15	14	15	16	16	16	16	16	16	16	16
16	16	16	16	16	16	16	16	16	16	15	15	15	15	15	14	14	15	15	16	16	16	16	16	
17	16	16	16	16	16	16	16	16	15	16	16	16	15	20	16	16	17	14	16	16	16	16	16	15
18	16	16	16	16	16	16	16	15	15	16	16	16	16	14	17	16	16	14	16	16	16	16	16	16
19	16	16	16	16	16	16	16	16	15	15	15	14	16	16	15	15	15	13	16	16	16	16	16	16
20	15	15	16	15	15	16	16	15	15	14	15	19	16	18	16	15	15	14	14	16	15	16	16	15
21	20	16	16	15	15	15	15	16	14	14	16	19	19	17	16	15	15	14	16	16	16	15	15	15
22	15	15	15	16	15	15	15	15	14	16	14	14	14	16	16	16	15	18	16	15	15	15	15	15
23	16	16	16	16	16	16	16	16	16	16	15	15	16	18	16	16	16	13	16	16	16	16	16	16
24	16	16	16	16	16	15	15	16	15	15	15	15	15	18	17	18	16	16	15	15	15	15	15	15
25	16	16	16	16	16	16	16	15	15	16	15	14	14	14	15	13	14	16	16	15	15	14	14	15
26	17	16	16	15	15	16	16	15	15	15	16	16	16	16	19	18	16	16	15	15	16	16	16	16
27	16	15	15	15	16	16	16	15	15	15	16	18	14	17	16	16	15	16	16	16	16	16	16	16
28	16	16	16	16	16	15	16	16	15	16	16	15	15	20	20	20	18	15	15	16	16	16	16	16
29	16	16	16	16	16	16	16	16	16	14	18	20	16	16	16	20	16	16	16	16	16	16	16	16
30	16	16	16	16	16	16	16	16	16	18	19	19	18	18	17	17	17	14	16	15	16	16	16	16
31																								
	00	01	02	03	04	05	06	07	08	09	10	11	12	13	14	15	16	17	18	19	20	21	22	23
CNT	30	30	30	30	30	30	30	30	30	29	29	29	30	30	30	30	30	30	30	30	30	30	30	30
MED	16	16	16	16	16	16	16	16	15	15	15	16	16	18	17	16	16	15	16	16	16	16	16	16
U Q	16	16	16	16	16	16	16	16	16	16	16	16	16	18	18	19	19	18	16	16	16	16	16	16
L Q	16	16	16	15	16	16	16	15	15	14	15	15	15	16	16	15	15	14	16	16	15	16	15	15

NOV. 2017 fmin (0.1MHz)

NATIONAL INSTITUTE OF INFORMATION AND COMMUNICATIONS TECHNOLOGY, JAPAN

IONOSPHERIC DATA STATION Yamagawa

NOV. 2017 M(3000)F2 (0.01) 135°E MEAN TIME (G.M.T. + 9 H)

LAT. 31°12.0'N LON. 130°37.0'E SWEEP 1.0 MHz TO 30.0 MHz IN 15.0 SEC IN MANUAL SCALING

H D	00	01	02	03	04	05	06	07	08	09	10	11	12	13	14	15	16	17	18	19	20	21	22	23			
1	321	318	328	316	352	370	380	423	391	362	347	355	365	367	335	375	388	365	363	357	312	307	F	F			
2		F	315	321	352	386	279	320	386	388	362	369	392	358	330	344	351	387	390	355	334	302	317	363	315		
3	307	332	312	339	374	307	321	374	354	368	352	357	354	327	374	379	373	353	358	353	305	319	324	321			
4	299	325	328	304	376	359	316	370	386	378	344	377	356	337	361	379	369	404	380	367	303		A	F	296		
5	311	311	320	346	374	387	322	367	369	354	352	342	373	377	347	358	372	370	366		307	335	366	330			
6	312	324	322	330	326	329	363	402	395	400	382	378	359	337	380	376	384	380	347	348	350	335	351		F		
7		F	313	302	311	359	387	329	386	376	385	347	369	373	379	326	374	376	380	364	341	295	368	276	284		
8	314	318	380	268	335	292	290	407	363	350	328	375	370	346	367	367	393	361	339	323	300	291	313	362			
9	302	339	313	324	372	352	301	329	344	328	372	374	362	364	365	374	362	384	363	321	309		F	288	329		
10	324	343	321	317	320	307	324	387	386	355	339	378	388	371	339	361	378	373	347	361	336	334	350	343			
11		F	F	F	305		392	289	334	360	381	407	356	356	381	366	364	379	399	371	378	371		A	328	335	348
12	310	317	280	319	331			F	349	398	387	377	403	361	384	342	352	398	394	389	393	363	300	316	326	327	
13	310	311	310	326	355	405	372	379	357	344	358	379	375	379	346	392	384	397	360	301	313	297	311		F		
14	316	322	321	321	362	378	307	356	387	368	358	364	364	379	351	370	373	405	311	306	325	350	334	306			
15	311	327	342	292	317			F	F	372	373		C	C	C	380	355	368	351	399	367	372	333	325	385	337	362
16	311	302	322	318	361	320	325	362	389	338	361	369	355	369	362	380	376	377	351	344	340	322	341	345			
17	311		F	F	F				440	323	366	396	388	369	373	339	354	364	371	389	386	379	299	333	366	379	303
18	316	304	319	308	326	390	364	383	382	375	379	380	361	337	350	343	383	339	357	323	370	363	322	363			
19		A	315	344	344	340	326	355	355	387	384	375	368	350	367	375	375	343	386	383	296	331	324	367	325		
20	286	318	319	350	341	332	349	385	403	382	389	358	353	343	369	365	373	353	370	324	341	343	366	302			
21	299	319	333	323	343	310	351	385	369	372	368	343	360	359	378	371	363	359	357	363	339	329	351	262			
22	315	316	305	330	387	340	339	388	385	378	343	358	340	359	363	360	372	385	351	335	339	307	328	295			
23		F	F	F	335		359	304	342	362	398	387	352	350	342	365	351	371	388	385	324	327	340	369	367	306	
24	277	282	317	358	410	302	344	377	363	340	337	375	361	348	356	363	369	401	371	366	348	370	368	365	310		
25	311	311	311		A	354	376	340	355	401	375	367	363	351	339	361	383	379	376	368	383	358	358	323	335		
26	327	283	314	352	342	323	357	383	379	386	372	361	334	366	376	391	375	378	377	356	349	354	390	315			
27	316	303	325	331	335	367	359	378	398	379	395	367	362	390	378	380	387	390	371	322	332	368	386	342			
28	314	304	312	325	325	334	357	377	416	402	368	381	339	371	361	368	373	367	352	338	338	345	327	349			
29	334	323	311	311	323	324	329	374	398	379	386	357	360	372	379	388	383	400	322	294	357	316	321		V		
30	322	317	339	331	328	385	313	387	390	383	367	374	381	377	379	367	377	351	384	295	336	299	332	320			
31																											
	00	01	02	03	04	05	06	07	08	09	10	11	12	13	14	15	16	17	18	19	20	21	22	23			
CNT	27	26	28	26	29	28	29	30	30	29	29	29	30	30	30	30	30	30	30	30	29	28	28	27			
MED	311	317	320	324	352	333	339	378	386	378	367	367	360	364	363	372	378	379	364	335	332	335	336	321			
U Q	316	323	328	339	373	377	356	386	395	386	375	376	373	371	372	379	388	386	377	356	340	360	366	343			
L Q	307	311	312	316	330	308	322	366	373	362	352	358	351	343	351	367	373	367	352	322	306	318	324	306			

NOV. 2017 M(3000)F2 (0.01)

NATIONAL INSTITUTE OF INFORMATION AND COMMUNICATIONS TECHNOLOGY, JAPAN

IONOSPHERIC DATA STATION Yamagawa

NOV. 2017 M(3000)F1 (0.01) 135°E MEAN TIME (G.M.T. + 9 H)

LAT. 31°12.0'N LON. 130°37.0'E SWEEP 1.0 MHz TO 30.0 MHz IN 15.0 SEC IN MANUAL SCALING

H D	00	01	02	03	04	05	06	07	08	09	10	11	12	13	14	15	16	17	18	19	20	21	22	23			
1											U 3 7 1	L 3 7 5	U 4 5 8	A	A	L											
2											L L	L 3 8 9	L L		L												
3											L L		4 1 3			A											
4											L L	L L			L L	L L											
5											L L	L L	4 0 0		A A	L											
6											L 4 1 0	L 4 2 8	L 3 5 7	L L	L L												
7											U 3 9 6	L 4 3 0	L 4 4 2														
8											L 3 9 9	A U	L L	L L	L L												
9											L L	A A	L L														
10											L L		L A	L L	L L												
11											A A		L L														
12											U 4 2 3	L 4 0 6	A U 4 0 3														
13											L 3 8 0	L U L	L L	L L	L L												
14											L 4 1 0				A A												
15											C C	C C	L L	L L	L L	L L											
16											L L		L L														
17												L L	L L	L L	L L	L L											
18											L 4 4 5	L U L	4 1 7	L L	L L	L L											
19											L L	L L	A U 4 2 3	L L													
20											L 4 0 9	L U L	4 0 2	L L	L L	L L	L L										
21											L 4 0 8	L U L	L L	L L	L L	L L	L L										
22											L L	L L	L A														
23											L L	L L	L L	L L	L L	L L											
24											L L	A		A A	L L												
25											L L	L L	L L	L L	L L	L L											
26												L L	L L	L L	L L	L L	L L										
27												L L	L L	L L	L L	L L	L L										
28											L 4 1 1	L U L	A		L L												
29											L 4 3 1	U L	L L														
30											A				L A												
31																											
	00	01	02	03	04	05	06	07	08	09	10	11	12	13	14	15	16	17	18	19	20	21	22	23			
CNT											4	9	6	6	1												
MED											U 4 0 3	L 4 0 8	L 4 2 0	L 4 0 2	L 4 2 3												
U Q											U 4 1 6	L 4 3 0	L 4 4 2	L 4 1 3													
L Q											U 3 8 4	L 3 8 4	L 4 0 9	L 3 8 9													

NOV. 2017 M(3000)F1 (0.01)

NATIONAL INSTITUTE OF INFORMATION AND COMMUNICATIONS TECHNOLOGY, JAPAN

IONOSPHERIC DATA STATION Yamagawa

NOV. 2017 h'F2 (KM)

135°E MEAN TIME (G.M.T. + 9 H)

LAT. 31°12.0'N LON. 130°37.0'E SWEEP 1.0 MHz TO 30.0 MHz IN 15.0 SEC IN MANUAL SCALING

H D	00	01	02	03	04	05	06	07	08	09	10	11	12	13	14	15	16	17	18	19	20	21	22	23															
1										246	246	246	246	246	258	228																							
2										234	234	220	232	274	254																								
3											248	248	276				222																						
4									214	268	238		238	230	230																								
5										238	246	244	210		234	240																							
6										224	228	228	242	282	240	240																							
7											284	222	220																										
8										254	262	228	228	250	232																								
9										266	224	226	244																										
10										258		224	238	254	240																								
11											232	232		232																									
12										216	234	220	282																										
13										274	254	234	234	234	252																								
14										254	240				254	216																							
15										C	C	C		216	248	226	248																						
16										248	236		236																										
17											228	236	242		242																								
18										234	222	240	240	240	260	260																							
19											226	226	244	214	228																								
20											228	246	244	244		244																							
21										232	232	258	228	228		240																							
22											248	240	240	236																									
23											256	262	230	230	230	230																							
24											240	250	256		248	242																							
25											256	234	254	272	242																								
26												276	238	236	224																								
27												234	234	234																									
28											250	240	270	232		232																							
29										232		254	238																										
30											234						234	242																					
31																																							
	00	01	02	03	04	05	06	07	08	09	10	11	12	13	14	15	16	17	18	19	20	21	22	23															
CNT										1	11	23	22	27	21	17	15	3																					
MED										214	238	240	237	238	242	240	240	226																					
U Q											254	254	246	246	266	254	242	242	E A																				
L Q											232	228	228	228	233	233	230	222																					

NOV. 2017 h'F2 (KM)

NATIONAL INSTITUTE OF INFORMATION AND COMMUNICATIONS TECHNOLOGY, JAPAN

IONOSPHERIC DATA STATION Yamagawa

NOV. 2017 h'F (KM)

135°E MEAN TIME (G.M.T. + 9 H)

LAT. 31°12.0'N LON. 130°37.0'E SWEEP 1.0MHz TO 30.0MHz IN 15.0SEC IN MANUAL SCALING

H D	00	01	02	03	04	05	06	07	08	09	10	11	12	13	14	15	16	17	18	19	20	21	22	23											
1	E	A	E	B	E	B	E	B	H						A	A						E	B	E	A										
2	2	2	6	2	5	4	2	2	6	2	0	8	2	0	4	2	0	4	1	9	8	2	4	4	2	6	0	2	9	8					
3	E	B	E	A	E	A			E	B												E	A	E	B	E	B								
4	E	B	E	B	E	B	E	A	E	A	2	4	8	2	4	6	2	0	4	1	8	0	2	0	6	2	7	2	8	4	2	4	8		
5	E	A	E	B			E	B									A						E	E	B										
6	E	A	E	A	E	A	E	B																					E	B					
7	E	B	E	B	E	B												E	A																
8	E	B	E	B	E	B	E	B	E	B																									
9	E	B	E	B	E	B	E	B																											
10	E	B	E	A	E	A	E	B	E	B																									
11	E	B	E	B	E	B	E	B									A	A																	
12	E	A	E	E	B		E	B																											
13	E	B	E	B	E	B																													
14	E	B	E	B	E	B			E	B																									
15	E	B	E	B	E	B	E	B							C	C	C																		
16	E	B	E	B	E	A	E	B										E	A																
17	E	B	E	B	E	B			E	B																									
18	E	B	E	A	E	E	B	E	B																										
19	E	B	A	E	A	E	B	E	B									A																	
20	E	B	E	B	E	A	E	B	E	B																									
21	E	B	E	B	E	B												E	A																
22	E	B	E	B	E	B			E	B								A																	
23	E	B	E	B	E	B			E	B																									
24	E	B	E	B	E	B																													
25	E	B	E	B	E	B	A		E	B																									
26	E	B	E	B	E	B			E	B																									
27	E	B	E	B	E	B																													
28	E	B	E	B	E	B													A																
29	E	B	E	B	E	B																													
30	E	B	E	B	E	B			E	A								A																	
31																																			
	00	01	02	03	04	05	06	07	08	09	10	11	12	13	14	15	16	17	18	19	20	21	22	23											
CNT	30	29	30	29	30	30	30	30	30	29	25	28	28	25	26	29	28	30	30	29	29	30	30	30	30	30	30	30	30	30	30	30			
MED	25	25	25	25	25	25	25	25	25	25	25	25	25	25	25	25	25	25	25	25	25	25	25	25	25	25	25	25	25	25	25	25	25		
U Q	27	27	27	27	27	27	27	27	27	27	27	27	27	27	27	27	27	27	27	27	27	27	27	27	27	27	27	27	27	27	27	27	27	27	27
L Q	24	24	24	24	24	24	24	24	24	24	24	24	24	24	24	24	24	24	24	24	24	24	24	24	24	24	24	24	24	24	24	24	24	24	24

NOV. 2017 h'F (KM)

NATIONAL INSTITUTE OF INFORMATION AND COMMUNICATIONS TECHNOLOGY, JAPAN

IONOSPHERIC DATA STATION Yamagawa

NOV. 2017 h'E (KM)

135°E MEAN TIME (G.M.T. + 9 H)

LAT. 31°12.0'N LON. 130°37.0'E SWEEP 1.0 MHz TO 30.0 MHz IN 15.0 SEC IN MANUAL SCALING

H D	00	01	02	03	04	05	06	07	08	09	10	11	12	13	14	15	16	17	18	19	20	21	22	23							
1							B	116	110	110	108	A	A	A	108	108	A														
2							B	B	110	110	110	A	A	A	110	A	110	108													
3							B		A	A	A	A	A	A	A	A	A	A	A												
4							B	126	122	114	108	108	A	A	108	A	A														
5								120	120	114	114	108	108	114		114	114														
6							B		114	114	114	114	108	108	108	108	110	110	110												
7									A	112	112	112	112	112	108	108	108	110	110	110											
8							B		112	112	112	A	A	A	A	A	108	108	108	B											
9							B		110	110	110	110	108	108	A	A	A	A	B												
10							B	B		A	A	A	A	A	A	110	110	A													
11							B	110		A	A	A	A	A	A	A	A	B													
12							B	110	118	A	A	106	A	112	112	112	A	110													
13							B		124	120	118	116	112	112		A	A	116	118	B											
14							B		118	116	116	116	116	110	110	110	110	A	B	B											
15							B	B		C	C	C	A	108	108	108	108	108	B												
16							B	B	A		A	A	A	A	108	108	108	B	B												
17							B	B		A	114	114	114	A	A	A	A	A	B												
18							B	B	A		114	116	116	116	A	A	116	A	B												
19							B	B	A	A	A		116	114	114	114	114	114	114	114											
20							B	B		A	A	A	A	108	108	A	108	108	B												
21							B	B	114	A	A	A		114	114	114	114	114	110	110	B										
22							B		110	110	110	108	108	108	108	108	A	A	B	B											
23							B	B		116	116	114	114		A	114	114	114	114	B	B										
24							B	B		112	114	114	114		A	A	A	A	B	B											
25							B	B		108	108	A	108	108	108	A	114	114	B												
26							B			A	114		A	A	A	A	112	108	B	B											
27							B	B		108	108	108			A	A	A	110	114	124	B										
28									A		116	116		116		A	A	A	A	B	B										
29							B	B		108	A	108	110	112	112	116	A	A	A												
30							B				116	116	116	116		A	A	116	A	A	B										
31																															
	00	01	02	03	04	05	06	07	08	09	10	11	12	13	14	15	16	17	18	19	20	21	22	23							
CNT										10	23	21	17	17	15	14	14	20	16	7											
MED										114	112	114	114	112	112	111	108	111	110	110											
U Q										120	116	115	116	115	114	114	114	114	114	114											
L Q										110	110	110	109	108	108	108	108	109	108	108											

NOV. 2017 h'E (KM)

NATIONAL INSTITUTE OF INFORMATION AND COMMUNICATIONS TECHNOLOGY, JAPAN

IONOSPHERIC DATA STATION Yamagawa

NOV. 2017 h'Es (KM)

135°E MEAN TIME (G.M.T. + 9 H)

LAT. 31°12.0'N LON. 130°37.0'E SWEEP 1.0 MHz TO 30.0 MHz IN 15.0 SEC IN MANUAL SCALING

H D	00	01	02	03	04	05	06	07	08	09	10	11	12	13	14	15	16	17	18	19	20	21	22	23
1	86	86	B	B	B	86	80	G	G	152	102	102	92	114	106	90	90	88	88	86	84	84	98	
2	B	B	B	90	88	B	86	136	144	140	112	94	94	G	94	112	120	94	92	90	90	B	90	
3	B	86	86	86	86	84	82	126	134	100	100	96	96	90	90	90	84	84	84	84	B	B	B	
4	B	84	90	B	B	90	90	G	G	144	88	110	88	86	98	90	90	90	90	90	90	90	90	
5	88	92	B	B	92	92	B	G	92	144	124	140	74	84	84	80	80	90	90	90	90	B	B	
6	88	88	88	B	88	88	124	148	104	138	138	G	138	120	120	116	110	86	108	100	84	84	94	
7	B	96	88	88	86	86	86	142	110	94	94	G	150	156	156	136	150	80	B	B	96	96	B	
8	B	B	B	B	B	B	G	G	94	94	94	92	92	G	G	G	94	94	94	94	B	B	B	
9	94	88	88	88	88	88	88	G	122	122	118	112	106	98	98	98	90	90	100	100	100	100	92	
10	92	92	92	92	B	86	130	118	118	94	94	94	90	90	124	154	84	84	84	84	B	B	B	
11	B	B	B	92	92	92	92	G	98	98	92	92	92	90	90	90	90	90	90	84	84	92	92	
12	92	86	86	86	86	86	B	86	136	92	92	G	86	138	G	86	86	86	86	124	84	B	B	
13	B	B	B	84	90	94	B	G	148	148	138	128	100	100	G	G	B	B	B	B	114	B	B	
14	B	B	B	B	B	B	G	140	140	140	140	140	140	126	120	114	94	94	94	88	88	88	94	
15	94	B	B	B	B	B	B	154	C	C	C	114	106	134	G	G	B	92	92	92	92	B	B	
16	B	94	92	92	B	92	136	B	106	112	98	98	98	98	134	G	130	80	84	84	92	88	B	B
17	92	B	92	98	94	94	94	118	116	116	98	110	102	102	102	102	102	102	102	102	102	102	B	B
18	B	96	96	B	B	96	B	B	96	110	114	138	G	100	100	G	100	100	100	108	98	96	B	B
19	100	84	84	86	92	92	B	B	96	96	96	G	128	128	126	126	102	92	92	B	B	B	B	
20	B	B	B	92	92	92	92	126	G	104	102	102	94	G	160	90	144	142	128	120	110	110	B	B
21	B	B	B	B	B	B	B	146	92	98	96	G	G	G	G	144	84	108	B	B	B	B		
22	B	B	B	B	B	B	B	104	124	140	140	132	126	146	140	126	94	100	100	94	92	92	92	
23	B	94	B	B	B	94	130	98	150	150	130	114	104	G	G	92	112	98	96	124	124	108	92	
24	B	B	B	B	B	B	B	102	128	124	154	124	98	150	102	102	102	B	B	B	B	106	102	
25	110	102	102	96	102	102	112	124	124	114	98	98	G	G	88	88	144	B	B	B	B	B	126	
26	B	B	100	B	B	100	B	96	102	102	102	102	102	102	102	G	G	B	B	86	86	92	B	
27	B	B	B	B	92	92	92	B	132	124	124	106	102	102	102	G	G	92	92	92	90	90	B	
28	B	90	100	B	B	B	B	100	160	144	102	G	98	98	98	98	B	B	B	B	98	98	B	B
29	88	88	88	B	96	88	88	88	96	96	144	114	130	146	136	104	104	104	102	B	86	86	84	
30	B	104	104	104	104	96	94	94	94	138	126	126	126	116	102	108	100	100	92	92	B	B	B	
31																								
	00	01	02	03	04	05	06	07	08	09	10	11	12	13	14	15	16	17	18	19	20	21	22	23
CNT	11	17	15	14	15	22	18	14	25	26	27	26	22	24	27	21	26	21	22	24	24	20	13	10
MED	92	90	92	91	92	92	92	124	122	117	102	108	102	102	102	102	94	90	92	92	90	92	93	
U Q	94	95	100	92	94	94	94	126	140	140	132	126	124	133	126	113	126	103	94	99	101	97	96	98
L Q	88	86	88	86	88	88	86	96	99	100	96	98	94	95	94	90	94	88	88	90	86	88	92	

NOV. 2017 h'Es (KM)

NATIONAL INSTITUTE OF INFORMATION AND COMMUNICATIONS TECHNOLOGY, JAPAN

IONOSPHERIC DATA STATION Yamagawa

NOV. 2017 TYPES OF Es

135°E MEAN TIME (G.M.T. + 9 H)

LAT. 31°12.0'N LON. 130°37.0'E SWEEP 1.0 MHz TO 30.0 MHz IN 15.0 SEC IN MANUAL SCALING

H D	00	01	02	03	04	05	06	07	08	09	10	11	12	13	14	15	16	17	18	19	20	21	22	23	
1	F 5	F 2			F 1	L 2			H 2		L 2	L 2	L 2	C L 2 3	C L 2 2	L 4	F 6	F 3	F 4	F 2	F 2	F 1	F 3		
2			F 1	F 2		L 1	H 2	H 2	H 1	C 1	L 2	L 2	L 2	L 2	C L 2 2	C L 2 2	F 4	F 2	F 3						
3	F 6	F 5	F 3	F 3	F 2	F 2	C 2	H 2	L 3	L 2	L 2	L 2	L 2	L 3	L 6	L 7	F 4	F 4	F 2						
4	F 2	F 2			F 1	L 6			H L 2 2	L 3	C L 2 3	L 3	L 4	C L 2 3	L 2	L 3	F 3	F 1	F 2	F 2	F 2	F 2	F 2		
5	F 4	F 2		F 1	F 1			L 2		H 1	C 1	H 2	L 3	L 2	L 2	F 3	F 1	F 6	F 4	F 2					
6	F 2	F 2	F 5		F 1	F 1	C 3	H 2	C 3	C 3	H 2	C 1	C 1	C 3	F 2	F 1	F 4	F 6	F 2	F 1	F 1				
7	F 1		F 1	F 2	F 2	F 1	H 2	C 4	L 3	L 2		H 1	H 2	H 1	H 1	H 1	H 1	F 6	F 1						
8									L 3	L 3	L 2	L 2	L 2	L 2				L 1	F 4	F 2					
9	F 2	F 4	F 4	F 2	F 3	F 3	L 3	C 2	C 2	C 1	C 1	L 1	L 3	L 2	L 2	L 2	L 3	F 2	F 1	F 2			F 8		
10	F 2	F 4	F 5	F 5		L 1	C 2	C 2	C 2	L 2	L 2	L 3	L 3	L 2	C 1	H 1	L 3	F 2	F 1						
11		F 2	F 3	F 2	F 2	L 2	L 3	L 5	L 4	L 2	L 4	L 4	L 6	L 5	L 5	L 7	L 6	F 7	F 3	F 2	F 3				
12	F 4	F 6	F 2	F 2	F 3	F 2	L 2	H 1	L 3	L 2	L 5	L 1	H 1	L 2	L 2	L 2	L 3	F 3	F 1	F 1					
13		F 1	F 1	F 1	L 1			H 2	H 2	H 1	H 1	L 2	L 2										F 1		
14								H 2	H 2	H 2	H 1	H 1	C 2	C 2	L 2	L 3	L 2	F 1	F 2	F 2			F 3		
15	F 2							H 2			C 1	L 2	H 1	C 2	L 2	L 3	L 2	F 3	F 4	F 3	F 3				
16	F 2	F 4	F 2		F 2	C 1		L 2	C 2	L 2	L 4	L 2	L 2	H L 2 2		H L 2 2	L 2	L 3	F 5	F 2					
17	F 1	F 2	F 1	F 1	F 1	L 3	C 1	C 3	C 3	L 3	C 2	L 2	L 2	L 2	L 2	L 2	L 3	F 2	F 2	F 1					
18	F 4	F 3		F 1				L 2	C 2	C 2	H 2		L 1	L 2		L 2	L 2	F 1	F 1	F 1	F 5				
19	F 2	F 5	F 4	F 2	F 1	F 1		L 2	L 2	L 2	L 2		H 2		C 2	C 2	C 1	F 2	F 4						
20		F 2	F 1	F 2	L 1	C 2		H 3	L 2	L 2	L 3	L 2	L 3	H L 1 2	L 2	H L 2 2	H L 2 2	C L 2 2	F 5	F 1					
21								H 2	L 4	L 3						H 1	L 1		F 1						
22						L 2	C L 3 1	H L 2 2	H L 2 2	C L 2 2	H L 2 2	H 2	C 2	L 3	L 2	L 2	L 3	F 2	F 2	F 2					
23	F 2				F 2	C 1	L 1	H 2	H 2	H 2	C 1	L 3		L 1	C 2	L 2	L 2	F 1	F 1	F 2	F 2				
24					F 1			C 2	C 2	H 2	C 3	L 5	H 1	L 4	L 3	L 2						F 1	F 2		
25	F 2	F 2	F 7	F 4	F 1	C 3	C 2	C 2	C 2	L 4			L 3	L 2	L 3	H 1							F 1		
26		F 2			F 2		L 1	L 3		L 3	L 2	L 2	L 2	L 2	L 2	L 2		F 2	F 2	F 1					
27				F 1	F 1	L 1		H 2	C 2	C 1	L 3	L 2	L 3	L 2	L 3		L 3	F 3	F 2	F 2	F 2				
28	F 2	F 2						L 3	H 2	H 2	L 2		L 2	L 3	L 2	L 2		F 1	F 2						
29	F 2	F 2		F 2	F 2	L 1	L 2	L 4	H 1	C 1	C 1	H L 2 2	H L 3 2	L 5	L 3	L 3		F 2	F 2	F 2					
30	F 1	F 2	F 3	F 3	F 1	L 3	L 5	L 4	H L 2 2	H L 2 2	C L 2 2	C L 2 2	L 1	L 2	L 7	L 3	F 2	F 1							
31																									
	00	01	02	03	04	05	06	07	08	09	10	11	12	13	14	15	16	17	18	19	20	21	22	23	
CNT																									
MED																									
U Q																									
L Q																									

NOV. 2017 TYPES OF Es

NATIONAL INSTITUTE OF INFORMATION AND COMMUNICATIONS TECHNOLOGY, JAPAN

IONOSPHERIC DATA STATION Okinawa

NOV. 2017 fxi (0.1MHz)

135°E MEAN TIME (G.M.T. + 9 H)

LAT. 26°41.0'N LON. 128°09.0'E SWEEP 1.0MHz TO 30.0MHz IN 15.0SEC IN MANUAL SCALING

H D	00	01	02	03	04	05	06	07	08	09	10	11	12	13	14	15	16	17	18	19	20	21	22	23	
1	X	X	X	X	X	X													X	X	X	X			
	44	49	46	42	43	42													52	37	38	38	41		
2	40	42	48	50	50	28	30												X	X	X	X	X		
	X	X	X	X	X ⁰	X	X											59	52	55	47	40			
3	38	42	45	35	35	30	30												X	X	X	X	X		
	X	X	X	X	X	X	X											77	42	42	42				
4	44	42	36	38	50	25	27											X	X	X	X	X			
	X	X	X	X	X	X	X											40	39	41	41	41			
5	39	38	40	40	46	30	26											X	X	X	X	X			
	X	X	X	X	X	X	X											47	36	40	43	40			
6	38	38	37	37	38	38	37											X	X	X	X	X			
	X	X	X	X	X	X	X											43	37	40	38	31			
7	X	X	X	X	X	X	X											X	X	X	X	X			
	33	34	34	35	39	31	24											57	48	54	50	51			
8	X	X	X	X	X	X	X											X	X	X	X	X			
	54	50	53	40	29	29	28											50	44	43	44	50			
9	X	X	X	X	X	X	X											X	X						
	46	48	46	42	34	33	28											51	55	54	52	54			
10	X	X	X	X	X	X	X											X	X	X	X	X			
	44	42	44	46	44	42	46											55	52	52	59	49			
11	X	X			B	B												A	X	X			X		
	31	32	37	38	47													38	41	42	42	43			
12	X				A	A												X	X	X	X	X			
	39	36	37	43	43													36	38	33	36	36			
13	X	X				X	X											X	X	X					
	36	37	35	37	41	33	24											42	35	41	52	52			
14	X	X	X	X	X	X	X											X	X	X	X	X			
	54	49	45	44	47	27	26											47	50	49	44				
15	X	X	X	X															49	51	46	38			
	41	42	44	37	41	38												X	X	X	X	X			
16	X	X				X	X											47	37	39	40	37			
	31	33	38	43	41	36	29											X	X	X	X	X			
17	X					X												41	40	42	41	31			
	30	35	44	39	40	28	26											X	X	X	X	X			
18	X	X	X	X	X	X	X											40	50	38	31	41			
	33	32	33	37	36	36	36											X	X	X	X	X			
19	X	X	X	X	X	X	X											44	41	48	47	36			
	34	35	37	40	40	40	34											X	X	X	X	X			
20	X	X	X	X	X	X	X											52	48	46	42	40			
	33	35	36	36	37	35	35											X	A	X	X	X			
21	46	46	43	41	45	41	34											46	42	34	34				
	X				X	X	X											36	38	32	33	34			
22	36	40	46	52	48	33	30											X	X	X	X	X			
	X				X	X	X											40	39	43	30	28			
23	34	37	43	33	32	26	26											X	X	X	X	X			
	X	X	X	X	X	X	X											40	41	42	28	28			
24	29	31	34	39	34	26												X	X	X	X	X			
	X	X	X	X	X	X	X											40	41	42	28	28			
25	33	32	33	35	41		28											57	40	32		32			
	X	X	X	X	X	X	X											A	X	X	X	X			
26	34	34	34	38	36	36	37											39	42	37	28				
	X	X	X	X	X	X	X											X	X	X	X	X			
27	29	31	32	34	38	39	33											50	48	47	40	32			
	0	X	X	X	X	X	X											X	X	X	X	X			
28	32	32	34	34	34	35	34											44	38	34	36	40			
	X	X	X	X	X	X	X											A	X	X	X	X			
29	36	31	34	33	34	35	31											42	36	33	34				
	X	X	X	X	X	X	X											X	X	X	X	X			
30	37	34	36	38	37	30	28											33	35	35	36	33			
31																									
	00	01	02	03	04	05	06	07	08	09	10	11	12	13	14	15	16	17	18	19	20	21	22	23	
CNT	30	30	30	30	30	27	25														25	28	30	29	30
MED	36	36	37	38	40	33	30														X	X	X	X	
U Q	41	42	44	42	44	38	34														46	40	42	41	39
L Q	33	33	34	36	36	29	26														X	X	X	X	
																				52	48	47	46	42	
																				X	X	X	X	X	
																				40	38	38	36	33	

NOV. 2017 fxi (0.1MHz)

NATIONAL INSTITUTE OF INFORMATION AND COMMUNICATIONS TECHNOLOGY, JAPAN

IONOSPHERIC DATA STATION Okinawa

NOV. 2017 foF2 (0.1MHz) 135°E MEAN TIME (G.M.T. + 9 H)

LAT. 26°41.0'N LON. 128°09.0'E SWEEP 1.0MHz TO 30.0MHz IN 15.0SEC IN MANUAL SCALING

H D	00	01	02	03	04	05	06	07	08	09	10	11	12	13	14	15	16	17	18	19	20	21	22	23				
1	38	43	40	36	37	36	26	44	59	55	63	88	83	76	78	79	83	64	56	46	32	32	32	31				
2	F	F	F	F	F	22	24	47	59	64	70	92	66	75	92	112	80	65	57	53	46	49	41	34				
3	32	36	39	29	29	24	24	51	65	64	64	76	76	87	124	108	78	86	91	71	43	36	36	36				
4	F	F	30	32	46	19	22	47	62	62	65	86	77	92	94	97	65	62	50	34	33	35	35	35				
5	33	32	34	34	40	24	20	47	72	84	76	92	108	98	106	90	78	57	56	41	30	34	37	34				
6	32	32	31	31	32	30	31	44	52	58	60	72	70	65	76	74	62	59	56	37	31	34	32	25				
7	27	28	28	29	33	25	18	41	56	51	58	80	102	97	103	113	99	67	52	50	42	48	44	45				
8	48	44	47	34	23	23	22	69	51	62	86	110	76	100	96	97	68	55	44	44	38	37	38	44				
9	40	42	40	36	28	27	22	44	75	95	122	105	73	94	110	98	76	62	45	45	48	47	45	44				
10	F	F	F	34	30	37	65	66	69	88	117	73	64	64	75	87	86	51	49	46	45	50	38					
11	F	F	F	B	B	43	72	69	58	82	93	70	70	A		66	55	48		32	35	34	37					
12	F	F	F	A	A	50	54	54	71	70	75	62	84	90	65	74	47	30	32	27	30	30						
13	F	F																		F	F							
14	J	R	43	39	38	41	21	20	40	65	81	85	107	114	79	86	74	66	51	41	36	41	44	43	38			
15	35	36	38	31		27	27	42	58	74	80	101	98	90	75	78	81	65	49	42	43	45	40	32				
16	25	27	30	35	28	30	23	49	64	78	95	95	82	78	84	84	71	57	51	41	31	30	34	31				
17	24	26	25	26	26	22	20	44	60	65	70	88	91	110	2140	128	82	68	54	36	34	36	35	25				
18	27	26	27	31	30	30	30	47	51	59	76	63	77	82	84	79	66	54	48	34	38	32	25	29				
19	28	29	31	34	34	28	44	58	63	67	82	89	100	107	88	70	68	42	38	35	42	42	30					
20	27	29	30	30	31	29	29	44	60	72	80	86	107	148	135	118	93	68	63	46	42	40	36	34				
21	F	F	F	35	35	39	35	28	48	55	63	65	68	82	78	72	56	59	74	52	40		36	28	28			
22	F	F	F	40	36	27	24	48	54	62	C	C	C	93	85	78	73	71	45	30	32	26	27	28				
23	F	28	29	34	27	26	20	20	42	52	59	58	64	81	107	85	76	77	57	46	34	33	37	24	22			
24	23	25	28	33	28	20	19	40	58	70	75	73	73	92	99	97	74	56	46	34	35	36	22	22				
25	27	26	27	29	35	22	22	43	56	53	61	82	80	91	113	128	109	84	62	51	34	26	24	26				
26	28	28	28	32	30	30	31	45	57	56	64	63	62	76	84	84	67	66	48	A	33	36	31	22				
27	23	25	26	28	32	33	27	44	48	59	66	A	72	72	72	61	69	63	47	44	42	41	34	26				
28	26	26	28	28	28	29	28	46	52	52	56	62	61	73	64	82	60	65	56	38	32	28	30	34				
29	30	25	28	27	28	29	26	39	54	59	66	60	63	70	86	73	71	56	47	A	36	30	27	28				
30	31	28	30	32	31	24	22	36	50	54	64	65	60	A	63	74	66	54	44	27	29	29	30	27				
31																												
	00	01	02	03	04	05	06	07	08	09	10	11	12	13	14	15	16	17	18	19	20	21	22	23				
CNT	30	30	30	30	29	28	28	30	30	30	29	28	29	29	30	30	30	30	27	29	30	30	30	30				
MED	30	30	30	32	32	27	24	44	58	62	66	82	77	82	85	84	71	64	48	40	34	36	34	31				
U Q	33	34	38	35	36	30	28	47	62	69	78	92	90	96	103	98	80	68	56	46	42	41	40	36				
L Q	27	26	28	29	28	22	21	43	54	58	64	69	72	74	76	75	66	57	46	34	32	32	30	27				

NOV. 2017 foF2 (0.1MHz)

NATIONAL INSTITUTE OF INFORMATION AND COMMUNICATIONS TECHNOLOGY, JAPAN

IONOSPHERIC DATA STATION Okinawa

NOV. 2017 foF1 (0.01MHz)

135°E MEAN TIME (G.M.T. + 9 H)

LAT. 26°41.0'N LON. 128°09.0'E SWEEP 1.0MHz TO 30.0MHz IN 15.0SEC IN MANUAL SCALING

H D	00	01	02	03	04	05	06	07	08	09	10	11	12	13	14	15	16	17	18	19	20	21	22	23	
1									L		L		U	L	A	L	L								
2										L	U	L	L	U	L	L	L	L							
3										L		L	A	U	L	A	L	L							
4										4	0	8	4	5	6	4	5	2	4	1	6	2	2	0	
5									L	L	U	L	U	L	L	L	L								
6										L	L	L	U	L	U	L	L	L	L						
7									U	L	L	U	L	L	L	L	L								
8									2	9	2	4	2	0	4	4	8	4	2	0	4	1	2	4	0
9											A	U	L	L	L	L	L	L	L						
10										L	L	U	L	L	U	L	L	L	L						
11										L		A	A	A	L	A	A								
12										L	L	U	L	U	L	A	U	L	A						
13										L	L	U	L	L	4	3	6	A	A	U	L	3	2	4	
14										L	L	U	L	L	L	L	A	A	A						
15									1	6	8	4	5	6	4	4	8	4	4	4	4	3	6		
16										L	L	L	U	L	U	L	A	A	L						
17										L	A	L	L	L	U	L	L	L	L	L					
18									1	8	4	3	9	2	4	4	4	4	4	4	4	4	0	4	0
19										U	L	L	L	L	L	L	L	L	U	L	3	5	2		
20										L	L	L	4	4	8	4	3	2	4	4	4	4	0	A	
21										L	L		U	L	L	L	L	L							
22										L	C	C	C	C	L	A	L	4	0	4	L				
23										L	L	L	L	L	L	L	L	L	L	L	L	2	1	6	
24									2	6	4	L	L	L	U	L	U	L	L	U	L	3	3	2	
25											U	L	L	L	L	L	L	L	L	L					
26										L	L	L	U	L	U	L	L	A	L	L					
27										L	L	A	L	L	L	L	L	L	U	L					
28									2	9	6	U	L	L	U	L	L	L	L	L	L	L	L		
29										U	L	4	0	8	4	2	8	4	2	0	4	1	2		
30										U	L	U	L	A	A	A	A	A	U	L	3	8	8		
31										L	A	L	A	L	L	L	L	L	A						
	00	01	02	03	04	05	06	07	08	09	10	11	12	13	14	15	16	17	18	19	20	21	22	23	
CNT									2	5	1	1	6	2	0	2	5	2	5	1	6	9	3	3	
MED									1	7	6	2	9	2	3	9	2	4	3	8	4	4	0	3	3
U Q										2	9	6	U	L	L	U	L	L	L	U	L	4	1	2	
L Q										2	7	0	4	1	4	4	3	0	4	3	2	4	3	1	6

NOV. 2017 foF1 (0.01MHz)

NATIONAL INSTITUTE OF INFORMATION AND COMMUNICATIONS TECHNOLOGY, JAPAN

IONOSPHERIC DATA STATION Okinawa

NOV. 2017 foE (0.01MHz) 135°E MEAN TIME (G.M.T. + 9 H)

LAT. 26°41.0'N LON. 128°09.0'E SWEEP 1.0MHz TO 30.0MHz IN 15.0SEC IN MANUAL SCALING

H D	00	01	02	03	04	05	06	07	08	09	10	11	12	13	14	15	16	17	18	19	20	21	22	23			
1								B	176	256	292	336	A	A	A	A	288	A	A	A							
2								A		A			A	324	344		A	264	A	A							
3								A	240	320	320		A	A	A		300	244	A	A	J K	152					
4								B	232	292	328		A				U A	U A	A	B	B						
5								A	248	280	312		324	324	324	280		U R U A		U A	A						
6								164	244	276	304	316	316	320	308	292	268		A	B							
7								R	180	252	300		A	340	316	316	284		A	A	A						
8								180	256	280	292	312	324	324	288	288	252		B	B							
9								184	248	264	292	316		A U A	A	A		168		B							
10								192	232	268	280		U A	A	A	A	280	A	A	A							
11								A	248				A	A	A	A	A	A	A	A	A						
12								A	228	288			A	308		A	280	A	168	A							
13								A	236	280	304	320		328		A		252	192	B							
14								180	228	272	300	320	324	324			A	A	A	A	A	B					
15								B	224	272	288	316	320	312	296	284	252	176		B	B						
16								A	236	312	312	316			A	A	A	240	A	A							
17								B	228	272	292		A	A	A	A	A	A	A	A	B						
18								B	216	272	304	316	324	308	U A	A U A	308	A	180	B							
19								A	A	A		A	A	A	A	A	A	A	184	A							
20								A	216				A	A	A	A	304	296	A	A	A						
21								A	248				A	A			A	284	248	164	A						
22								C	168	224	276		C	C	C	328	304	276	A	A	B						
23								180	204	264	296	312	320	316			A	A		252	168	B					
24								J K	128	176	212	256	308	324	312	316	304	284	240	A	B						
25								J K	120	168		A	260	292	304		324	304	A	264	A	B		J K	120		
26								B	228	280		A	A	U A	A	A	304	308	252	A	A						
27								A	240	272	296		A	A	A	A	A	A	196	A							
28								B	228			A	A	A	A	A	A	A	A	A	B						
29								B	224	264	300		A	A	A	A	280		A	A	B						
30								B	208	256	296	324	U A	U A	A	A	A	268	A	196	A						
31																											
	00	01	02	03	04	05	06	07	08	09	10	11	12	13	14	15	16	17	18	19	20	21	22	23			
CNT									1	1	11	28	22	23	15	14	17	11	17	13	11			1	1		
MED								J K	J K	120	128	180	232	272	300	316	320	320	304	284	252	180		J K	J K	120	
U Q												180	246	280	312	320	324	324	316	292	258	196					
L Q												168	224	264	292	312	316	316	304	280	246	168					

NOV. 2017 foE (0.01MHz)

NATIONAL INSTITUTE OF INFORMATION AND COMMUNICATIONS TECHNOLOGY, JAPAN

IONOSPHERIC DATA STATION Okinawa

NOV. 2017 foEs (0.1MHz) 135°E MEAN TIME (G.M.T. + 9 H)

LAT. 26°41.0'N LON. 128°09.0'E SWEEP 1.0MHz TO 30.0MHz IN 15.0SEC IN MANUAL SCALING

H D	00	01	02	03	04	05	06	07	08	09	10	11	12	13	14	15	16	17	18	19	20	21	22	23	
1	J 40	A 17	J 41	A 28	J 21	A 16	J 16	A 22	G		G	J 40	A 38	J 41	A 45	J 32	J 32	J 35	J 41	A 27	J 19	A 14	B 16	J 18	
2	E 14	B 21	J 19	A 18	J 19	A 24	J 16	A 20	27	J 44	36	J 37	J 45	J 40	J 42	J 35	J 32	J 53	J 54	J 16	J 16	J 18	J 21	J 18	
3	J 18	A 16	E 14	B 19	J 33	A 30	J 21	A 22	27	32	G	J 58	J 58	J 42	J 60	J 30	J 27	J 21	J 20	J 14	J 15	J 18	J 19	J 14	
4	E 14	B 14	E 14	B 15	J 14	A 21	J 17	A 20	28	33	33	J 40	J A	G	J A	G	J A	82	J 35	J 29	J 19	J 16	J 18	J 17	J 16
5	E 14	B 14	J 27	A 20	J 21	A 28	J 16	A 31				36	38		34	18	28	25	19	35	21	50	16	18	
6	J 21	A 22	J 20	A 15	J 20	A 14	J 14	A 19		G	G	G	35	23	34	36	39	36	32	20	18	20	22	20	47
7	J 29	A 21	J 21	A 19	J 17	A 21	J 18	A 20		G	J 33	J 43	J 37	G	G	G	J 24	J 35	J 41	J 30	J 16	J 21	J 14	J 14	
8	E 14	B 14	E 14	B 14	E 20	J 14	A 20	J 34	34	J 46	J 48	J 60		G	G	J 33	J 19	J 17	J 17	E 18	J 14	E 26	J 17		
9	J 15	A 17	J 17	A 23	J 31	A 17	J 16	A 18	27	30	34	J 37	J 45	J 37	J 34	J 32	J 26	J 19	J 14	J 19	J 20	J 33	J 21	J 32	
10	J 50	A 27	J 20	A 14	J 13	A 13	J 18	A 20	43	30	34	J 40	J 33	J 36	J 50	J 29	J 42	J 26	J 37	J 30	J 23	J 23	J 19	J 14	
11	E 14	B 14	E 14	B 19	J 30	A 24	J 25	A 37		G	J 35	J 38	J 52	J 58	J 60	J 64	J 94	J 35	J 46	J 69	J 52	J 26	J 17	J 20	J 14
12	J 16	A 22	J 22	A 22	J 34	A 35	J 32	A 39	31	26	30	16	39		52	52	J 34	J 46	J 19	J 22	J 16	J 14	J 21	J 20	J 14
13	E 14	B 14	E 14	B 14	E 20	J 14	A 20	J 19		G	32	35	36	35	38	51	J 42	J 23	J 16	J 18	J 19	J 14	J 14	J 19	
14	E 14	B 14	E 14	B 14	E 14	J 14	A 14	J 33	27	32	34	38		G	J 37	36	J 49	J 45	J 26	J 24	J 18	J 14	J 17	J 18	J 19
15	J 42	A 14	J 16	A 17	J 14	A 14	J 18	A 15	26	33	38	37	37	37	34		30	20	14	17	J 25	J 14	J 14	J 14	
16	E 14	B 14	E 14	B 20	J 21	A 19	J 16	A 18	27	35		G	34	27	85	46	40	49	50	61	58	45	22	J 16	J 19
17	E 14	B 17	J 22	A 18	J 16	A 14	J 17	A 14		G	J 33	J 46	J 38	J 82	J 85	J 58	J 52	J 35	J 34	J 19	J 28	J 22	J 22	J 17	J 20
18	J 19	A 14	J 14	A 19	J 19	A 14	J 16	A 15	24	30	34	J 35	J 36	J 38	J 36	J 44	J 34		G	E 18	J 14	J 14	J 15	J 17	
19	E 14	B 14	J 18	A 30	J 24	A 17	J 20	A 20	27	32	34	J 46	J 49	J 50	J 42	J 41	J 28	J 32	J 26	J 36	J 22	J 43	J 52	J 40	
20	J 18	A 18	J 14	A 18	J 22	A 27	J 26	J 35	55	40	40	J 34	J 37	J 34	J 84	J 49	J 32	J 25	J 38	J 38	J 19	J 18	J 18		
21	E 20	B 19	E 14	B 14	E 14	J 14	A 20	J 20		G	J 34	J 45	J 35	J 35	J 36	J 36	J 33	J 30	J 27	J 20	J 54	J 46	J 16	J 22	J 18
22	E 19	B 18	E 14	B 14	E 14	J 14	A 18	J 26	33	C	C	C	C	J 39	J 50	J 38	J 28	J 24	J 16	J 18	J 18	J 30	J 18	J 18	
23	E 18	B 14	E 28	B 17	J 14	A 14	J 19	A 22	28	34	37	J 41	J 41	J 38	J 35	J 37		G	G	E 13	J 20	J 21	J 27	J 18	
24	E 14	B 14	E 20	B 20	J 18	A 14	J 20	A 18	24	31	34	J 36	J 35	J 43	J 33	J 31		G	J 31	J 18	J 14	J 14	J 14	J 14	
25	E 14	B 21	E 14	B 35	J 16	A 20	J 19	A 19	26	32	45	J 39	J 47	J 42	J 43	J 35	J 40	J 32	J 20	J 21	J 20	J 14	J 14	J 17	J 15
26	E 18	A 14	E 42	B 14	J 17	A 14	J 14	A 19		G	J 31	J 51	J 53	J 42	J 36	J 67	J 43		G	J 20	J 38	J 42	J 16	J 19	J 16
27	E 18	B 18	E 14	B 18	J 14	A 20	J 20	A 16	G	J 34	J 48	J 74	J 71	J 58	J 41	J 47	J 37	J 38	J 84	J 32	J 24	J 28	J 21	J 50	
28	J 26	A 16	J 19	B 19	J 20	A 16	J 19	A 16	28	38	53	J 65	J 52	J 49	J 40	J 56	J 52	J 35	J 16	J 16	J 16	J 16	J 16	J 19	
29	E 16	B 20	J 41	A 29	J 21	A 18	J 17	A 16	G	31	35	J 46	J 62	J 55	J 56	J 33	J 54	J 62	J 26	J 32	J 31	J 25	J 16	J 16	
30	E 16	B 16	E 18	B 16	E 16	J 28	A 20	J 18	26	81	42	J 49	75	14	42	J 40	38	G	J 22	J 22	J 21	J 16	J 19	J 20	
31																									
	00	01	02	03	04	05	06	07	08	09	10	11	12	13	14	15	16	17	18	19	20	21	22	23	
CNT	30	30	30	30	30	30	30	30	30	30	29	29	29	30	30	30	30	30	30	30	30	30	30	30	
MED	16	16	18	18	18	16	18	20	26	33	35	39	38	38	42	36	32	26	20	20	18	18	18	18	
U Q	J 19	A 19	J 21	A 20	J 21	A 21	J 20	A 22	27	35	45	48	50	50	51	42	38	35	32	32	23	25	21	19	
L Q	E 14	B 14	E 14	B 15	J 14	A 14	J 16	A 18	G	31	34	36	34	36	35	32	28	19	17	17	16	14	16	14	

NOV. 2017 foEs (0.1MHz)

NATIONAL INSTITUTE OF INFORMATION AND COMMUNICATIONS TECHNOLOGY, JAPAN

IONOSPHERIC DATA STATION Okinawa

NOV. 2017 fbEs (0.1MHz) 135°E MEAN TIME (G.M.T. + 9 H)

LAT. 26°41.0'N LON. 128°09.0'E SWEEP 1.0MHz TO 30.0MHz IN 15.0SEC IN MANUAL SCALING

H D	00	01	02	03	04	05	06	07	08	09	10	11	12	13	14	15	16	17	18	19	20	21	22	23	
1	E	B	E	B	E	B	E	B	G	G	34	39	36	40	43	31	27	32	35	24	E	B	E	B	
	14	14	17	18	17	14	14	21													14	14	14	14	
2	E	B	E	B	E	B	E	B	27	32	36	36	34	39	40	34	30	30	22	14	14	14	14	14	
	14	14	14	14	14	14	14	14																	
3	E	B	E	B	E	B	E	B	G												E	B	K	E	B
	14	14	14	14	16	14	14	21	26	32	36	56	36	38	23	27	21	16	14	15	14	14	14	14	14
4	E	B	E	B	E	B	E	B	G	33	32	35				37	45	32	28	19	14	14	14	14	14
	14	14	14	14	14	14	14	14																	
5	E	B	E	B	E	B	E	B	G	G	G	35	37		33	17	28	23	14	18	14	14	14	14	14
	14	14	16	16	18	17	14	20																	
6	E	B	E	B	E	B	E	B	G	G	G	34	22	34	36	37	35	31	20	14	14	14	14	14	17
	14	14	14	14	14	14	14	18																	
7	20	17	18	14	14	14	15	10	G	32	34	33				20	34	30	25	20	14	18	14	14	14
																					E	B	E	B	
8	E	B	E	B	E	B	E	B	G	G	G	31	41	44	42						E	B	E	E	B
	14	14	14	14	14	14	14	14													18	14	14	14	17
9	E	B	E	B	E	B	E	B	G	G	G	25	30	34	34	37	36	32	30	25	19	14	19	14	16
	14	14	14	14	14	14	14	15														E	B	E	B
10	E	B	E	B	E	B	E	B	G	28	32	33	32	32	22	30	21	24	19	20	14	14	14	14	
	14	17	14	14	13	13	14	14																	
11	E	B	E	B	E	B	E	B	G	31	36	51	44	49	38	94	33	38	36	52	15	14	14	14	
	14	14	14	14	14	14	14	17													A	A	E	B	
12	E	B	E	B	A	A	A	A	G	37	42	32	38	19	20					E	B	E	E	B	
	14	14	14	17	22	32	39	22	26	29	15	39								14	14	14	14	14	
13	E	B	E	B	E	B	E	B	G	31	34	36	34	37	48	39	20			G	G	E	E	B	
	14	14	14	14	14	14	14	18												14	14	14	14	14	
14	E	B	E	B	E	B	E	B	G	31	34	37		36	35	46	41	22	20	14	14	14	14	14	
	14	14	14	14	14	14	14	14												E	B	E	B		
15	E	B	E	B	E	B	E	B	G	32	37	36	35	34	32		29	20	14	14	14	14	14	14	
	21	14	14	14	14	14	15	26																	
16	E	B	E	B	E	B	E	B	G	31	34	22	43	39	32	30	33	35	32		19	14	14	14	
	14	14	14	14	14	14	14	18												E	B	E	B		
17	E	B	E	B	E	B	E	B	G	32	42	37	39	39	35	36	28	20	14	14	20	17	14	14	
	14	14	14	14	14	14	14	14												G	E	B	E	B	
18	E	B	E	B	E	B	E	B	G	30	32	33	36	36	34	41	31			14	14	14	14	14	
	14	14	14	14	14	14	14	15												E	B	E	B		
19	E	B	E	B	E	B	E	B	G	26	32	34	37	40	40	37	32	28	27	22	27	21	14	25	
	14	14	14	14	14	14	14	20												E	B	E	B		
20	E	B	E	B	E	B	E	B	G	30	33	37	34	32	25	34	42	28	28	22	28	14	14	14	
	14	14	14	14	14	14	14	17												E	B	E	B		
21	E	B	E	B	E	B	E	B	G	32	39	34	35	35	32	29	26	17	20	46	14	18	14		
	14	14	14	14	14	14	14	18												E	B	E	B		
22	E	B	E	B	C	C	B	B	G	31	38	48	35	27	22	14	14	14	20	14	14	14	14		
	14	14	14	14	14	14	14	14												E	B	E	B		
23	E	B	E	B	E	B	E	B	G	27	32	36	38	38	35	33	31			G	G	E	B		
	14	14	14	14	14	14	14	14												13	14	18	14	18	
24	E	B	E	B	J	K	E	B	G	24	30	34	36	34	36	32	30	20	14	14	14	14	14		
	14	14	14	14	14	14	13	14												E	B	E	B		
25	E	B	E	B	J	K	E	B	G	31	40	38	33	25	20	30	14	19	14	14	14	14	12	14	
	14	14	14	14	14	12	14	14												E	B	E	B		
26	E	B	E	B	E	B	E	B	G	31	37	39	40	35	53	30	19	18	42	14	14	14	14		
	14	14	14	14	14	14	14	14												E	B	E	B		
27	E	B	E	B	E	B	E	B	G	31	39	74	36	33	32	30	28	16	36	18	20	20	16	22	
	14	14	14	14	14	14	14	15												E	B	E	B		
28	E	B	E	B	E	B	E	B	G	26	32	34	34	33	33	30	29	20	16	16	16	16	16		
	16	16	16	16	16	16	16	16												E	B	A	A		
29	E	B	B	E	B	E	B	B	G	31	34	36	51	44	47	30	34	22	16	32	18	16	16		
	16	16	20	16	16	16	16	16												E	B	E	B		
30	E	B	E	B	E	B	E	B	G	26	20	38	41	37	114	34	35	33	18	16	16	16	16		
	16	16	16	16	16	16	16	16												E	B	E	B		
31																									
	00	01	02	03	04	05	06	07	08	09	10	11	12	13	14	15	16	17	18	19	20	21	22	23	
CNT	30	30	30	30	30	29	29	30	30	30	29	29	29	30	30	30	30	30	30	30	30	30	30	30	
MED	E	B	E	B	E	B	E	B	E	G										E	B	E	B	B	
	14	14	14	14	14	14	14	14	16	24	31	34	36	35	36	35	32	28	20	16	14	14	14	14	
U Q	E	B	E	B	E	B	E	B	G											E	B	E	B		
	14	14	14	14	14	14	14	18	26	32	37	38	38	39	40	35	31	25	22	20	18	14	16	14	
L Q	E	B	E	B	E	B	E	B	G	30	32	34	32	33	32	30	27	19	14	14	14	14	14		

NOV. 2017 fbEs (0.1MHz)

NATIONAL INSTITUTE OF INFORMATION AND COMMUNICATIONS TECHNOLOGY, JAPAN

IONOSPHERIC DATA STATION Okinawa

NOV. 2017 fmin (0.1MHz)

135°E MEAN TIME (G.M.T. + 9 H)

LAT. 26°41.0'N LON. 128°09.0'E SWEEP 1.0MHz TO 30.0MHz IN 15.0SEC IN MANUAL SCALING

H D	00	01	02	03	04	05	06	07	08	09	10	11	12	13	14	15	16	17	18	19	20	21	22	23
1	14	14	14	14	13	14	14	15	15	16	14	16	14	16	16	20	14	14	14	14	14	14	14	14
2	14	14	14	14	14	14	14	13	16	14	17	20	20	20	16	16	14	14	14	14	14	14	14	14
3	14	14	14	14	14	14	14	15	15	14	16	14	20	16	19	14	15	15	14	14	14	14	14	14
4	14	14	14	14	14	14	14	14	15	14	15	20	16	20	16	16	14	15	14	14	14	14	14	14
5	14	14	14	14	14	14	14	14	14	14	14	16	18	18	14	14	13	14	14	14	14	14	14	14
6	14	14	14	14	14	14	14	14	15	14	14	17	16	17	14	14	13	15	14	14	14	14	14	14
7	14	14	14	14	14	14	14	15	14	15	13	14	14	18	19	14	16	14	14	14	14	14	14	14
8	14	14	14	14	14	14	14	14	14	14	14	17	18	21	17	17	16	17	18	14	14	14	14	14
9	14	14	14	14	14	14	14	15	15	15	16	17	16	20	18	18	16	15	14	14	14	14	14	14
10	14	14	14	14	13	13	14	14	14	14	14	15	15	16	17	18	15	14	14	14	14	14	14	14
11	14	14	14	14	14	14	14	14	15	13	18	18	14	20	17	14	14	14	14	14	14	14	14	14
12	14	14	14	14	14	14	14	14	15	14	13	17	17	17	14	15	15	14	14	14	14	14	14	14
13	14	14	14	14	14	14	14	14	14	15	16	17	17	15	16	16	15	15	14	14	14	14	14	14
14	14	14	14	14	14	14	14	14	14	12	14	14	18	20	20	19	14	14	14	14	14	14	14	14
15	14	14	14	14	14	14	14	14	15	14	16	15	15	16	13	16	17	14	14	14	14	14	14	14
16	14	14	14	14	14	14	14	14	14	14	14	14	14	15	15	14	13	15	14	13	14	14	14	14
17	14	14	14	14	14	14	14	14	14	15	14	16	14	16	13	15	15	14	14	14	14	14	14	14
18	14	14	14	14	14	14	14	14	15	13	14	15	14	14	14	17	20	14	15	14	14	14	14	14
19	14	14	14	14	14	14	14	14	15	14	14	15	16	18	19	15	15	15	13	14	14	14	14	14
20	14	14	14	14	14	14	14	14	14	15	15	15	15	17	19	16	15	15	14	14	14	14	14	14
21	14	14	14	14	14	14	14	14	14	14	14	14	14	13	20	20	14	13	16	14	14	14	14	14
22	14	14	14	14	14	14	14	14	14	14	14	14	14	C	C	C	14	14	17	14	14	14	14	14
23	14	14	14	14	14	14	14	14	14	14	14	12	15	14	14	14	18	14	14	13	14	14	14	14
24	14	14	14	14	14	14	14	14	15	14	14	14	16	18	18	16	16	14	14	14	14	14	14	14
25	14	14	14	14	14	14	14	14	14	17	14	14	19	17	18	14	12	14	14	14	14	14	14	14
26	14	14	14	14	14	14	14	14	14	14	15	14	17	19	17	18	18	14	14	14	14	14	14	14
27	14	14	14	14	14	14	14	14	15	15	15	15	15	16	16	15	15	15	16	16	16	14	16	16
28	16	16	16	16	16	16	16	16	16	15	15	15	14	14	14	16	18	16	17	15	16	16	16	16
29	16	16	16	16	16	16	16	16	16	15	15	15	18	14	14	14	13	14	16	16	16	16	16	16
30	16	16	16	16	16	16	16	16	16	14	15	15	14	17	16	15	16	16	16	14	16	16	16	16
31																								
	00	01	02	03	04	05	06	07	08	09	10	11	12	13	14	15	16	17	18	19	20	21	22	23
CNT	30	30	30	30	30	30	30	30	30	30	29	29	29	30	30	30	30	30	30	30	30	30	30	30
MED	14	14	14	14	14	14	14	14	15	14	14	15	16	17	16	16	14	14	14	14	14	14	14	14
U Q	14	14	14	14	14	14	14	14	15	15	15	15	17	18	19	18	17	15	15	14	14	14	14	14
L Q	14	14	14	14	14	14	14	14	14	14	14	14	14	14	14	14	14	14	14	14	14	14	14	14

NOV. 2017 fmin (0.1MHz)

NATIONAL INSTITUTE OF INFORMATION AND COMMUNICATIONS TECHNOLOGY, JAPAN

IONOSPHERIC DATA STATION Okinawa

NOV. 2017 M(3000)F2 (0.01) 135°E MEAN TIME (G.M.T. + 9 H)

LAT. 26°41.0'N LON. 128°09.0'E SWEEP 1.0MHz TO 30.0MHz IN 15.0SEC IN MANUAL SCALING

H D	00	01	02	03	04	05	06	07	08	09	10	11	12	13	14	15	16	17	18	19	20	21	22	23		
1	304	316	323	312	333	371	370	367	400	345	337	360	370	334	336	338	374	371	379	375	304	331	321	288		
2	F	F	F	F	F	293	295	356	361	399	326	342	387	389	364	345	358	326	296	326	348	364	338	341	365	
3	306	342	377	369	365	367	304	365	391	387	383	342	331	304	353	353	331	334	356	366	305	311	331	309		
4	F	F	V	322	312	325	314	381	353	287	354	376	353	325	348	330	335	354	368	380	372	371	343	321	309	
5	324	311	341	337	381	392	310	353	360	366	327	339	354	316	334	333	363	360	360	364	298	310	348	332		
6	289	317	332	340	339	311	390	392	376	363	358	356	345	300	346	366	372	365	373	374	341	353	361	345		
7	326	311	320	322	360	404	328	396	372	363	328	337	350	335	312	344	353	370	360	366	274	337	271	292		
8	302	329	342	388	299	284	265	381	387	334	316	379	322	344	332	363	363	364	331	331	323	285	299	354		
9	310	329	326	328	360	329	284	319	331	329	357	371	349	312	346	347	363	367	319	329	V	F	F	315		
10	324	303	315	303	307	296	313	385	367	369	339	372	362	341	328	346	359	385	357	324	321	305	331	364		
11	F	F	F	B	B	291	307	294	290	374	370	373	376	358	341	367	376	355	A	387	357	377	304	313	317	
12	F	F	F	A	A	334	312	322	321	370	376	405	403	366	326	369	328	342	374	367	376	409	345	351	300	
13	F	F	F	J	R	314	317	307	315	341	372	315	377	383	376	344	334	358	365	335	374	341	382	371	396	
14	J	R	296	294	316	324	364	374	326	351	352	349	325	363	361	328	367	361	373	383	345	303	312	315	335	
15	325	298	331	300	F	F	318	332	362	358	361	328	353	351	366	346	339	367	369	356	345	325	348	342	312	
16	289	289	305	322	316	F	386	311	351	358	343	358	362	342	332	343	371	374	347	366	345	326	290	345	362	
17	F	F	F	F	F	327	305	325	339	337	403	348	361	365	355	344	361	341	314	349	367	357	381	351	364	336
18	316	317	275	335	330	364	369	358	376	367	375	358	350	340	336	357	376	365	377	377	337	367	313	330		
19	304	303	314	321	343	358	349	368	371	355	338	364	348	328	312	306	344	363	367	341	290	335	363	352		
20	303	320	305	327	339	336	354	344	377	363	360	327	312	346	344	350	357	363	363	378	322	352	332	341		
21	F	F	F	288	300	316	318	354	392	334	389	386	363	356	340	340	336	352	348	338	377	345	341	321	336	
22	F	F	F	306	279	307	358	351	358	287	361	381	356	C	C	C	342	346	345	351	367	344	372	344	345	
23	F	309	289	327	351	365	313	323	367	365	352	368	346	320	352	353	345	374	356	370	346	315	365	331	338	
24	289	279	329	361	383	307	336	360	353	359	378	349	321	335	335	354	353	369	381	337	333	364	350	331		
25	316	304	285	317	379	318	300	340	376	380	330	353	340	323	321	359	337	349	357	323	A	352	365	292	332	
26	320	304	294	351	304	322	344	405	367	371	382	359	328	360	350	359	369	385	373	A	311	352	364	307		
27	297	316	306	314	333	359	320	367	387	377	352	A	344	369	380	354	380	372	364	354	321	322	345	366		
28	310	304	326	325	316	342	377	389	403	381	359	373	338	370	329	371	V	356	363	375	376	304	306	319	362	
29	390	334	340	325	326	338	320	347	382	384	391	371	347	340	374	360	395	382	396	A	334	343	333	329		
30	342	312	325	359	370	371	345	363	383	384	370	400	353	362	362	386	391	350	319	311	326	342	333			
31																										
	00	01	02	03	04	05	06	07	08	09	10	11	12	13	14	15	16	17	18	19	20	21	22	23		
CNT	30	30	30	30	29	28	28	30	30	30	29	28	29	29	30	30	30	30	27	29	30	30	30	30		
MED	310	309	322	325	351	356	327	366	376	363	356	357	345	335	345	354	364	368	364	346	321	325	332	332		
U Q	324	317	329	351	370	372	346	381	386	376	367	364	354	349	353	364	374	377	373	372	330	348	345	345		
L Q	297	300	307	317	332	320	310	354	365	355	334	342	330	326	334	346	353	363	351	337	304	310	317	312		

NOV. 2017 M(3000)F2 (0.01)

NATIONAL INSTITUTE OF INFORMATION AND COMMUNICATIONS TECHNOLOGY, JAPAN

IONOSPHERIC DATA STATION Okinawa

NOV. 2017 M(3000)F1 (0.01) 135°E MEAN TIME (G.M.T. + 9 H)

LAT. 26°41.0'N LON. 128°09.0'E SWEEP 1.0 MHz TO 30.0 MHz IN 15.0 SEC IN MANUAL SCALING

H D	00	01	02	03	04	05	06	07	08	09	10	11	12	13	14	15	16	17	18	19	20	21	22	23	
1									L		L		U	L	A	L	L								
2										L	U	L	L	U	L	A	L	L							
3										L		L	A	U	L	A	L	L							
4										L	L	L	U	L	A	L	L	L	442						
5									L	L	U	L	L	L	L	L									
6										L	L	L	U	L	L	L	L		L						
7									U	L	L	L	L	L	L	L									
8									435	402	409	380	423	427	369										
9											A	U	L	L	L	L	L	L							
10										L	L	U	L	L	L	L	L								
11										L		A	A	A	L	A	A								
12										L	L	U	L	U	L	A	U	L	A						
13										L	L	U	L	L	376	385	A	A	U	L	442				
14										L	L	U	L	L	L	L	L	A	A						
15									466	373	384	386	389				L	L							
16										L	L	U	L	U	L	A	A	L							
17											L	A	L	L	L	U	L	L	L						
18									442	399	380	400	388	376	383										
19										U	L	L	L	L	L	L	L	U	L	393					
20										L	L	L	L	L	L	L	L	A							
21										L	L	U	L	L	L	L	L								
22										L	C	C	C	L	A	382	L	L							
23										L	L	L	L	L	L	L	L	434							
24									415	L	L	U	L	U	L	L	L	U	L						
25										364	386	392	380	382	402										
26										367	387	392	374	385											
27										L	L	U	L	U	L	A	L	L							
28									449	410	407	404	435				L	L	L						
29									427	391	419	A	A	A	A	A	U	L	403						
30										L	A	L	A	L	L	L	L	A							
31										386	397														
	00	01	02	03	04	05	06	07	08	09	10	11	12	13	14	15	16	17	18	19	20	21	22	23	
CNT									2	5	1	16	20	25	25	15	9	3	3						
MED									454	435	399	388	384	386	388	383	382	402	434						
U Q										442	399	399	394	408	404	394	442	442							
L Q										421	380	376	376	374	378	375	393	3434							

NOV. 2017 M(3000)F1 (0.01)

NATIONAL INSTITUTE OF INFORMATION AND COMMUNICATIONS TECHNOLOGY, JAPAN

IONOSPHERIC DATA STATION Okinawa

NOV. 2017 h'F2 (KM)

135°E MEAN TIME (G.M.T. + 9 H)

LAT. 26°41.0'N LON. 128°09.0'E SWEEP 1.0 MHz TO 30.0 MHz IN 15.0 SEC IN MANUAL SCALING

H D	00	01	02	03	04	05	06	07	08	09	10	11	12	13	14	15	16	17	18	19	20	21	22	23						
1									206	290		240	266	258	256	226														
2										234	254	242	300	318	280	242	220													
3										224	234	270	252	298	248	226	236													
4										254	270	256	268	262	246	240	212	212												
5										248	226	270	260	234	258	244	226													
6										238	246	250	248	256	268	232	230													
7										214	234	290	272	230	238	238	252													
8												224	284	252	254	230	224	202												
9											262	234	222	240	272	244	234	222												
10											224	260	228	236	238	256	242													
11											222		268	236	234	258		A	212											
12											218	246		248	242	264	224	222												
13											212	234	264	264	248	228	242	224	216											
14											244	242	250	240	226	246	230	238	210											
15								208		246	278	240	234	234	244	230														
16										234	252	250	232	260	264	254	228													
17											252	252	236	250	274	242	214	222												
18									208	196	234	230	238	258	252	262	228	214												
19										224	250	238	242	246	258	254	244	244												
20											252	244	252	264	242	238	242	240												
21											216	250		274	264	242	244													
22												252		C	C	C		266	250	246	234									
23													238	270	290	250	232	244	222	212										
24												230	250	236	266	268	256	244	226	226										
25													290	244	248	262	256	224												
26													216	234	234	254	276	238	258	226	214									
27														230	266	A	268	242	212	240										
28														192		238	226	268	240	258	228	222								
29														208		220	232	268	266	234	222									
30																248	218	260		A	242	240	208							
31																														
	00	01	02	03	04	05	06	07	08	09	10	11	12	13	14	15	16	17	18	19	20	21	22	23						
CNT										2	13	23	26	26	29	29	30	28	21	3										
MED										208	216	238	249	243	252	252	247	231	222	212										
U Q															232	252	266	264	268	265	258	242	228	212						
L Q																207	230	238	232	240	241	242	226	214	202					

NOV. 2017 h'F2 (KM)

NATIONAL INSTITUTE OF INFORMATION AND COMMUNICATIONS TECHNOLOGY, JAPAN

IONOSPHERIC DATA STATION Okinawa

NOV. 2017 h'F (KM)

135°E MEAN TIME (G.M.T. + 9 H)

LAT. 26°41.0'N LON. 128°09.0'E SWEEP 1.0 MHz TO 30.0 MHz IN 15.0 SEC IN MANUAL SCALING

H D	00	01	02	03	04	05	06	07	08	09	10	11	12	13	14	15	16	17	18	19	20	21	22	23				
1	282	240	240	250	236	204	192	190	190	214	198	248	194	208	A	204	208	208	214	204	222	228	242	284				
2	308	300	230	218	194	272	236	204	212	204	198	192	180	232	A	238	212	208	216	190	220	234	214	224				
3	268	228	200	204	212	204	268	220	220	214	194	212	192		A	222	210	228	214	188	222	252	244	242				
4	236	240	234	270	202	226	300	224	222	222	210	200	194	210	A	222	206	178	192	208	226	242	244	260				
5	250	262	246	246	210	208	304	232	204	192	192	208	208	210	186	220	218	214	204	190	216	272	216	238				
6	270	256	254	242	240	252	192	204	204	198	212	208	196	200	240	228	224	214	202	192	216	214	218	250				
7	E A	274	276	284	262	218	200	300	204	198	212	188	180	226	182	194	244	224	204	204	202	310	224	282	282			
8	H	258	232	224	186	290	328	364	202	200	254	268		A	204	184	206	208	202	190	208	220	220	290	302	232		
9	264	232	228	242	212	224	300	236	228	224	216	220	208	210	200	222	200	204	192	224	212	260	240	248				
10	Q Q	228	272	266	274	276	306	260	204	222	202	208	204	200	194	216	192	240	212	200	228	216	242	226	194			
11	Q Q	286	296	298	300	208		B	B				A	A	A	A	A				A		Q					
12	Q Q	228	260	246	246	224		A	A				A	A	A	A	A				A	232	248	254	228			
13	Q Q	274	266	274	264	228	202	342	208	206	210	226	202	208	218		A	A	176	204	198	188	262	258	262	242		
14	252	254	248	244	212	188	284	228	212	224	206	224	190	208	196		A	A	196	210	204	258	230	214	226			
15	A	254	272	220	282	246	244	242	168	224	232	222	230	204	204	204	226	234	212	188	208	246	218	218	222			
16	Q Q	280	322	260	250	234	196	286	224	222	210	204	210	180		H	H	A	A	224	222	208	230	246	258	294	232	208
17	Q Q	238	274	290	242	244	198	266	212	220	204		A	216	216	230	240	A	198	198	190	190	276	228	218	222		
18	Q	250	270	312	248	250	214	214	188	194	198	210	182	188	218	208	A	A		208	200	192	224	206	270	252		
19	H	274	284	260	256	240	226	218	212	194	210	190	228	240	248	208	188	H	A E A	H	A	A E A	A	296	224	224	236	
20	H	272	258	260	246	234	220	228	206	216	212	198	206	194	170	182	232	A	208	208	200	264	214	234	204			
21	H	288	272	256	246	224	200	230	206	188	214	242	202	182	206	224	226	242	210	206	194		234	222	256			
22	Q Q Q	270	296	270	224	220	210	300	220	222	226	C	C	C E A	A E A	262	230	216	218	186	200	228	238	268	278			
23	Q	284	310	250	204	204	298	266	214	218	222	222	248	238	218	212	206	206	168	202	206	272	216	234	234			
24	308	328	268	220	200	310	296	224	212	220	228	218	206	202	188	210	196	202	190	196	224	206	218	262				
25	E A E A	268	278	304	270	216	284	290	226	208	216	252	224	200	194	200	210	224	200	190	190	202	198	292	274			
26	A A A	250	276	324	224	280	260	234	198	188	202	226	218	240	224		204	204	204	194	A	236	198	200	286			
27	A A A	306	284	268	264	242	214	236	212	202	218	250	194	176	192	170	220	210	218	190	220	202	208	234				
28	A A A	280	294	254	266	278	232	194	196	172	208	188	200	182	178	192	222	210	216	186	182	222	266	258	218			
29	A A A	194	234	250	240	268	224	238	210	164	220	212	192	A	A	A	190	206	198	170	A	224	218	232	248			
30	A	228	272	258	226	202	204	242	198	210	220	A	206	232	228		196	180	194	244	232	2218	236					
31																												
	00	01	02	03	04	05	06	07	08	09	10	11	12	13	14	15	16	17	18	19	20	21	22	23				
CNT	30	30	30	30	30	28	28	30	30	30	27	25	26	26	20	25	24	30	30	27	29	30	30	30				
MED	268	272	257	246	226	222	257	209	209	213	210	209	200	206	205	221	210	208	200	196	224	230	233	240				
U Q	280	284	270	264	244	256	298	220	220	220	226	224	208	218	220	227	223	212	208	208	258	252	254	256				
L Q	250	256	246	226	212	204	232	204	198	204	198	201	190	194	193	205	205	200	190	190	220	216	218	226				

NOV. 2017 h'F (KM)

NATIONAL INSTITUTE OF INFORMATION AND COMMUNICATIONS TECHNOLOGY, JAPAN

IONOSPHERIC DATA STATION Okinawa

NOV. 2017 h'E (KM)

135°E MEAN TIME (G.M.T. + 9 H)

LAT. 26°41.0'N LON. 128°09.0'E SWEEP 1.0 MHz TO 30.0 MHz IN 15.0 SEC IN MANUAL SCALING

H D	00	01	02	03	04	05	06	07	08	09	10	11	12	13	14	15	16	17	18	19	20	21	22	23
1								B	136	106	106	108	A	A	A	A	108	A	A	A				
2								A		A	112	110	A	110	110	A	110	A	A					
3								A	110	110	110	A	A	A	A	110	108	A	A		B			
4								B	110	108	110	A	110	110	108	106	A	B	B					
5								A	106	104	108	108	106	106	108	110	110	124	A					
6									134	108	106	110	110	110	110	110	110	110	A	B				
7									140	108	108	A	A	106	106	106	110	A	A	A				
8									144	112	110	106	106	110	110	110	110	110	B	B				
9									136	110	106	106	106	A	106	A	A	A	116	B				
10									148	110	110	110	A	A	A	A	110	A	A	A				
11									A	106	A	A	A	A	A	A	A	A	A	A				
12									A	106	A	106	A	106	A	A	106	A	116	A				
13									A	112	108	108	108	A	108	A	A	112	120	B				
14									156	108	108	110	110	110	110	A	A	A	A	A	B			
15								B	B	110	110	108	108	108	108	108	112	112	112	B	B			
16									A	108	A	108	106	106	A	A	A	112	A	A				
17									B	106	106	106	A	A	A	A	A	A	A	B				
18									B	108	112	102	108	106	106	A	108	A	108	B				
19									A	A	A	A	A	A	A	A	A	A	132	A				
20									A	112	A	A	A	A	A	112	112	A	A	A				
21									A	108	A	A	110	110	110	A	108	108	122	A				
22										C	C	C	106	106	106	114	A	A	A	B				
23										142	124	118					A	A	108	116	B			
24								B	144	128	110	118	114	112	112	112	114	110	A	B				
25								B	132	A	112	108	116	A	112	112	A	108	A	B		B		
26									B	112	110	A	A	110	108	A	A	108	A	A				
27									A	112	112	108	A	A	A	A	A	A	132	A				
28									B	96	A	A	A	A	A	A	A	A	A	B				
29									B	96	104	104	A	A	A	A	102	A	A	B				
30									B	104	102	102	108	A	A	A	106	A	106	A				
31																								
	00	01	02	03	04	05	06	07	08	09	10	11	12	13	14	15	16	17	18	19	20	21	22	23
CNT									11	28	22	23	15	14	17	11	17	13	11					
MED									142	108	109	108	108	109	108	110	110	110	116					
U Q									148	112	110	110	110	110	110	112	111	111	124					
L Q									136	106	106	106	108	106	106	108	107	108	112					

NOV. 2017 h'E (KM)

NATIONAL INSTITUTE OF INFORMATION AND COMMUNICATIONS TECHNOLOGY, JAPAN

IONOSPHERIC DATA STATION Okinawa

NOV. 2017 h'Es (KM)

135°E MEAN TIME (G.M.T. + 9 H)

LAT. 26°41.0'N LON. 128°09.0'E SWEEP 1.0MHz TO 30.0MHz IN 15.0SEC IN MANUAL SCALING

H D	00	01	02	03	04	05	06	07	08	09	10	11	12	13	14	15	16	17	18	19	20	21	22	23	
1	100	90	96	94	90	114	96	174	G	176	G	152	102	154	128	120	98	98	96	94	94	B	92	90	
2	B	106	92	92	84	100	96	98	172	96	168	114	110	176	148	136	132	98	98	90	96	98	92	92	
3	92	92	B	98	92	92	90	134	136	128	G	102	102	102	102	174	142	98	B	E	106	106			
4	B	B	B	96	B	94	94	168	172	162	146	102	G	118	108	108	104	134	100	96	94	94	102	108	
5	B	B	100	98	98	98	104	102	G	G	G	168	182	112	94	154	130	94	110	110	106	102	90		
6	94	104	100	114	102	B	B	188	G	G	126	98	120	162	142	124	118	88	96	94	94	96	106	104	
7	94	90	90	88	90	90	90	94	144	104	104	G	G	96	160	90	88	84	86	112	B	B	B		
8	B	B	B	B	B	B	B	132	138	136	122	112	106	G	G	G	108	152	94	94	92	B	98	104	
9	98	100	94	94	92	92	92	90	148	134	120	112	112	110	110	110	110	152	114	106	98	98	98	B	
10	98	94	94	B	B	B	B	94	98	92	114	110	104	104	104	104	112	94	94	98	96	96	100	B	
11	B	B	B	96	96	94	94	94	G	110	110	104	102	102	100	98	98	98	94	92	92	94	B		
12	102	130	98	98	96	96	96	96	134	166	94	178	G	98	96	124	112	142	96	90	B	108	106	B	
13	B	B	B	B	B	B	B	106	184	160	158	148	138	118	114	100	98	92	88	B	B	116			
14	B	B	B	B	B	B	B	100	152	172	144	156	G	142	102	100	98	98	96	96	96	96	104		
15	100	102	108	B	B	B	B	112	184	144	124	124	118	116	116	G	164	144	B	B	B	B	B		
16	B	B	B	94	90	92	92	92	128	114	114	G	162	102	104	142	150	114	98	94	110	106	92	92	
17	B	128	106	106	106	B	106	B	G	122	112	106	108	104	104	104	108	106	104	98	90	90	90	90	
18	88	B	B	102	102	B	100	B	128	154	128	116	114	106	106	124	134	G	90	B	B	B	86	90	
19	B	B	90	106	106	106	98	116	116	114	162	108	106	104	104	104	174	136	122	112	96	120	120	102	
20	90	90	B	96	B	96	94	94	118	112	108	108	102	102	96	186	94	94	140	134	120	110	104	92	
21	92	92	B	B	B	B	B	150	G	156	128	134	130	162	202	180	144	122	118	108	94	90	106	94	
22	104	104	B	B	B	B	B	104	158	134	C	C	C	148	116	114	110	100	100	100	102	92	88	88	
23	94	B	104	98	B	142	96	146	136	128	120	114	114	114	114	118	G	G	B	146	122	104	94	B	
24	B	B	102	102	102	B	106	102	176	170	152	130	122	122	122	172	G	98	94	B	B	B	B	B	
25	98	B	110	108	108	102	104	132	120	114	112	116	104	102	96	92	148	94	88	B	B	118	98		
26	98	B	108	B	94	B	94	G	120	108	112	112	112	102	104	G	162	98	92	98	98	98	94		
27	92	92	B	94	B	94	100	100	G	120	118	108	108	108	102	96	88	114	90	86	86	82	88	88	
28	90	B	82	86	90	90	90	90	B	106	98	98	104	102	100	100	98	94	92	94	84	132	94	B	
29	B	90	84	84	88	98	108	B	G	174	128	92	106	106	102	114	96	100	96	86	86	86	108		
30	B	B	92	B	96	92	92	92	140	94	120	114	114	106	106	104	98	90	88	88	88	110	94		
31																									
	00	01	02	03	04	05	06	07	08	09	10	11	12	13	14	15	16	17	18	19	20	21	22	23	
CNT	16	15	17	22	20	17	24	25	19	28	25	29	24	27	30	28	26	26	27	26	24	22	25	21	
MED	94	94	96	97	96	94	96	102	136	131	120	112	111	108	106	109	109	103	96	95	95	96	98	94	
U Q	99	104	102	102	102	99	105	136	158	158	136	132	117	122	116	124	132	142	98	110	106	106	106	103	
L Q	92	90	91	94	90	92	93	95	118	114	110	104	103	104	102	101	98	98	94	90	91	92	92	90	

NOV. 2017 h'Es (KM)

NATIONAL INSTITUTE OF INFORMATION AND COMMUNICATIONS TECHNOLOGY, JAPAN

IONOSPHERIC DATA STATION Okinawa

NOV. 2017 TYPES OF Es

135°E MEAN TIME (G.M.T. + 9 H)

LAT. 26°41.0'N LON. 128°09.0'E SWEEP 1.0MHz TO 30.0MHz IN 15.0SEC IN MANUAL SCALING

H D	00	01	02	03	04	05	06	07	08	09	10	11	12	13	14	15	16	17	18	19	20	21	22	23
1	FQ 21	FQ 11	F 2	F 3	FQ 11	L 1	H 1		H 1	HL 11	L 2	HL 11	CL 12	CL 11	L 2	L 5	L 3	F 2			F 1	F 2		
2		FQ 21	F 1	F 1	F 2	F 4	L 2	H 1	L 2	HCL 11	C 1	HC 11	H 1	HL 11	HL 11	L 3	L 4	F 1	F 1	F 1	F 1	F 1		
3	F 1	F 1	FQ 11	FQ 21	FQ 11	FQ 21	HQ 11	H C		L 2	L 3	L 1	L 2	L 1	HL 11	HL 11	L 1	K 2						
4			F 1		F 2	F 1	H 1	H 1	HL 11	LC 11		C 1	C 2	C 1	L 1	H 1	L 1	F 1	F 2		FQ 1	F 1		
5		F 2	F 2	F 2	F 4	F 1	LH 22			H 1	H 1	C 1	L 1	HL 11	HL 11	L 1	11 1	11 1	F 3	1	2	1	1	
6	F 1	F 1	F 2	F 1	F 1		H 1			CL 11	L 1	C 1	HL 11	HL 11	C 1	CL 11	L 1	L 1	F 1	F 1	F 1	F 1	FF 23	
7	F 2	F 1	F 2	F 1	F 1	F 1	L 1		H 1	L 1				L 1	H 1	L 3	LC 21	L 3	2	2				
8			F 1			H 2	H 3	C 2	C 1	C 3			C 1			H 1	L 1	FF 1	F 4		F 1			
9	F 1	F 2	F 1	F 3	F 2	FQ 11	F 1	H 1	H 1	C 1	C 1	C 1	C 1	C 1	C 1	C 1	C 1	F 1	F 1	11 4	F 3	F 3		
10	FQ 21	FQ 11	F 1			F 1	L 1	LH 11	C 1	C 1	L 1	L 1	L 1	L 1	L 1	CHL 11	LQ 51	LQ 41	F 2	1	F 1			
11			F 2	F 3	F 3	F 4	L 3		C 1	C 2	L 2	L 3	L 5	L 2	L 7	L 2	L 6	FQ 61	31 2	F 1				
12	F 1	FQ 11	FQ 21	FQ 21	FQ 61	FQ 51	LHQ 31	H 2	HC 11	L 1	HL 12		L 2	L 3	C 1	HL 21	L 5	F 1		F 1				
13						F 2	HC 11		H 1	H 1	HC 11	HC 11	CL 31	L 2	L 2	L 1	L 1	F 1			F 1			
14							LH 12	H 1	H 1	H 1	H 1	H 1	L 1	L 2	L 2	L 2	L 5		F 2	F 1	F 2			
15	FQ 41	F 1	F 1			C 1		H 1	H 1	C 1	C 1	C 1	C 1	C 1	H 1	H 1	C 1	F 2						
16			FQ 21	F 4	F 2	F 1	C 1	C 1		C 1	L 1	L 1	HL 11	HL 11	CH 11	L 6	FF 17	F 2	F 3	F 1	F F			
17	F 1	F 2	FQ 11	FQ 21		FQ 11			C 2	C 3	C 1	C 2	C 3	LH 11	LQ 21	CQ 3	L 1	F 3	F 1	F 1	F 1	F 1		
18	F 1		FQ 11	FQ 21		F 1		C 1	HL 11	C 1	C 1	C 1	C 1	CL 11	HC 21	L 1			F 1	F 1				
19		F 1	F 3	FQ 31	FF 11	F 1	C 2	C 1	H 1	C 2	C 2	C 2	C 2	LHQ 11	HLQ 11	HL 21	C 6	FF 42	FF 24	FF 11	FF 13	FF 3		
20	F 1	F 1	F 1		F 2	F 4	L 2	C 1	C 2	C 2	L 1	L 1	L 1	L 1	HL 21	L 2	FF 18	FF 23	FF 82	FF 11	FF 1	F 2		
21	F 1	F 1					HL 11		HC 11	CL 11	HL 11	HL 11	HL 11	HL 11	HL 21	CL 41	FQ 21	41 2	21 2	22 1		F F		
22	F 1	F 1					C 1	HL 12	HL 11					HL 11	CL 21	CL 11	L 1	FF 11	FF 1	FF 11	FF 2	FF 21	F 1	
23	F 1	F 3	FQ 11			FF 11	L 3	H 1	H 1	C 1	C 1	C 1	C 1	C 1				FF 11	F 3	2	F 2			
24		F 2	F 1	F 1		FK 11	L 1	HL 11	H 1	H 1	C 1	C 1	C 1	C 1	HL 11		L 2	L 1						
25	F 2	F 3	F 1	F 1	FF 22	L 1	HL 11	C 1	C 3	C 1	L 1	L 1	L 1	L 1	LQ 21	HLC 11	L 2	F 1		F 1	F 1	F 1		
26	F 1	F 1	F 2				LH 11		C 1	C 2	C 1	C 1	C 2	L 1	L 1		HL 11	5	41	F 1	F 1	F 2		
27	F 1	F 1	F 1		F 4	F 2	L 1		C 1	C 2	C 4	CQ 21	CQ 11	LQ 11	LQ 21	C 1	L 3	F 3	3	3	3	1	3	
28	F 2	F 1	F 1	F 1	F 1	F 4		C 4	L 3	C 1	C 1	C 1	C 1	LQ 21	LQ 21	L 3		F 1	F 1	F 1	F 1	F 1		
29	FF 12	F 5	FQ 21	FQ 11	F 1	F 1		H 1	C 2	LQ 32	CL 31	CL 31	CL 32	CL 31	LQ 31	LL 22	L 1	FF 6	41	3	3	3		
30		F 1		F 1	FQ 31	F 1	L 2	H 1	LH 21	CQ 21	CQ 21	CQ 21	CQ 21	C 1	L 2	L 3	F 5	FF 1	FF 11	FF 1	FF 2			
31																								
	00	01	02	03	04	05	06	07	08	09	10	11	12	13	14	15	16	17	18	19	20	21	22	23
CNT																								
MED																								
U Q																								
L Q																								

NOV. 2017 TYPES OF Es

NATIONAL INSTITUTE OF INFORMATION AND COMMUNICATIONS TECHNOLOGY, JAPAN

f - PLOTS OF IONOSPHERIC DATA

KEY OF f - PLOT	
	S P R E A D
◇	f_{oF2} , f_{oF1} , f_{oE}
×	f_{xF2}
*	DOUBTFUL f_{oF2} , f_{oF1} , f_{oE}
✗	f_{bEs}
L	ESTIMATED f_{oF1}
*, Y	f_{min}
^	GREATER THAN
▽	LESS THAN

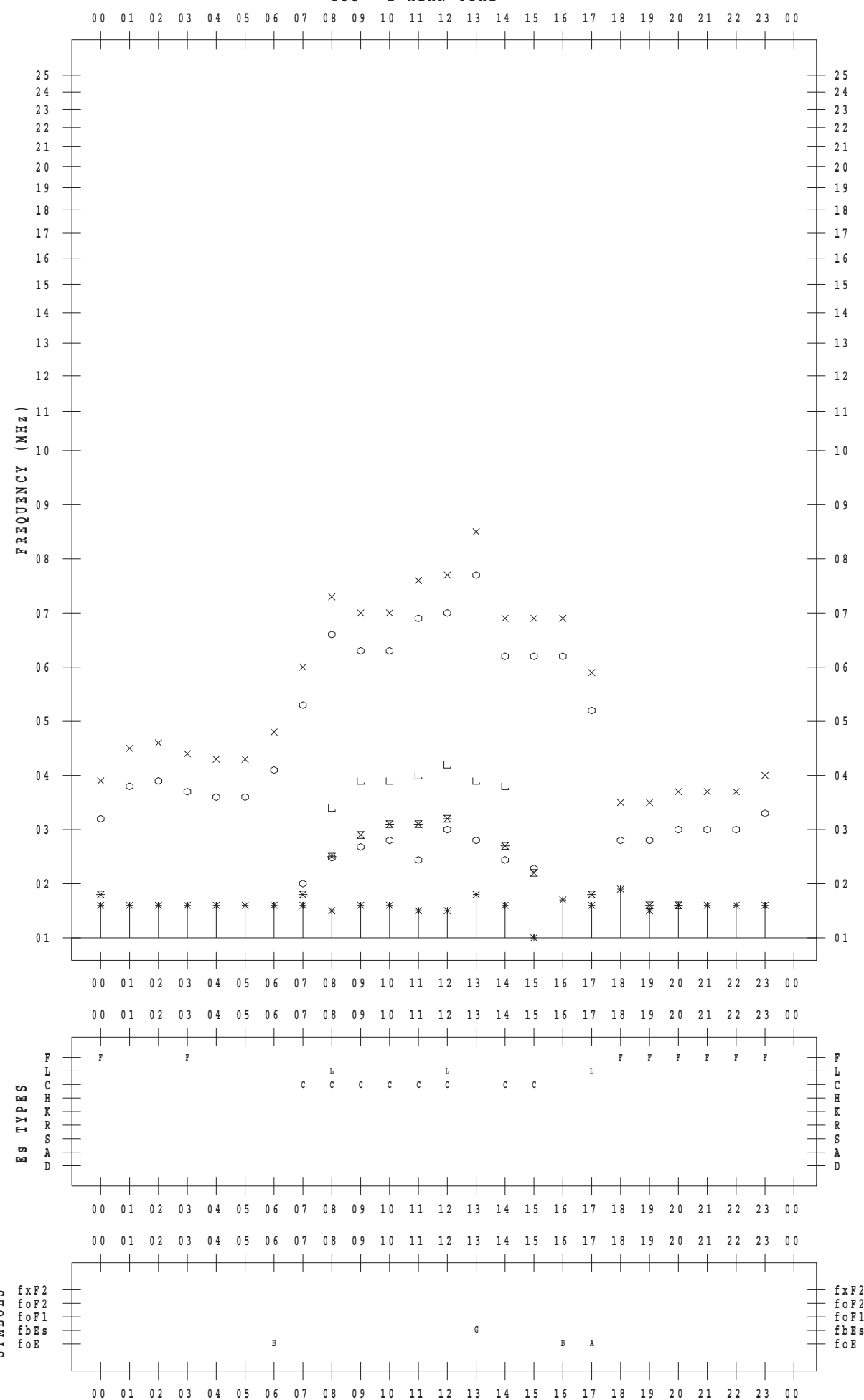
f - P L O T D A T A

SCALER : K.FUKUSHIMA

STATION : Wakkanai

DATE : 2017/11/1

135 ° E MEAN TIME



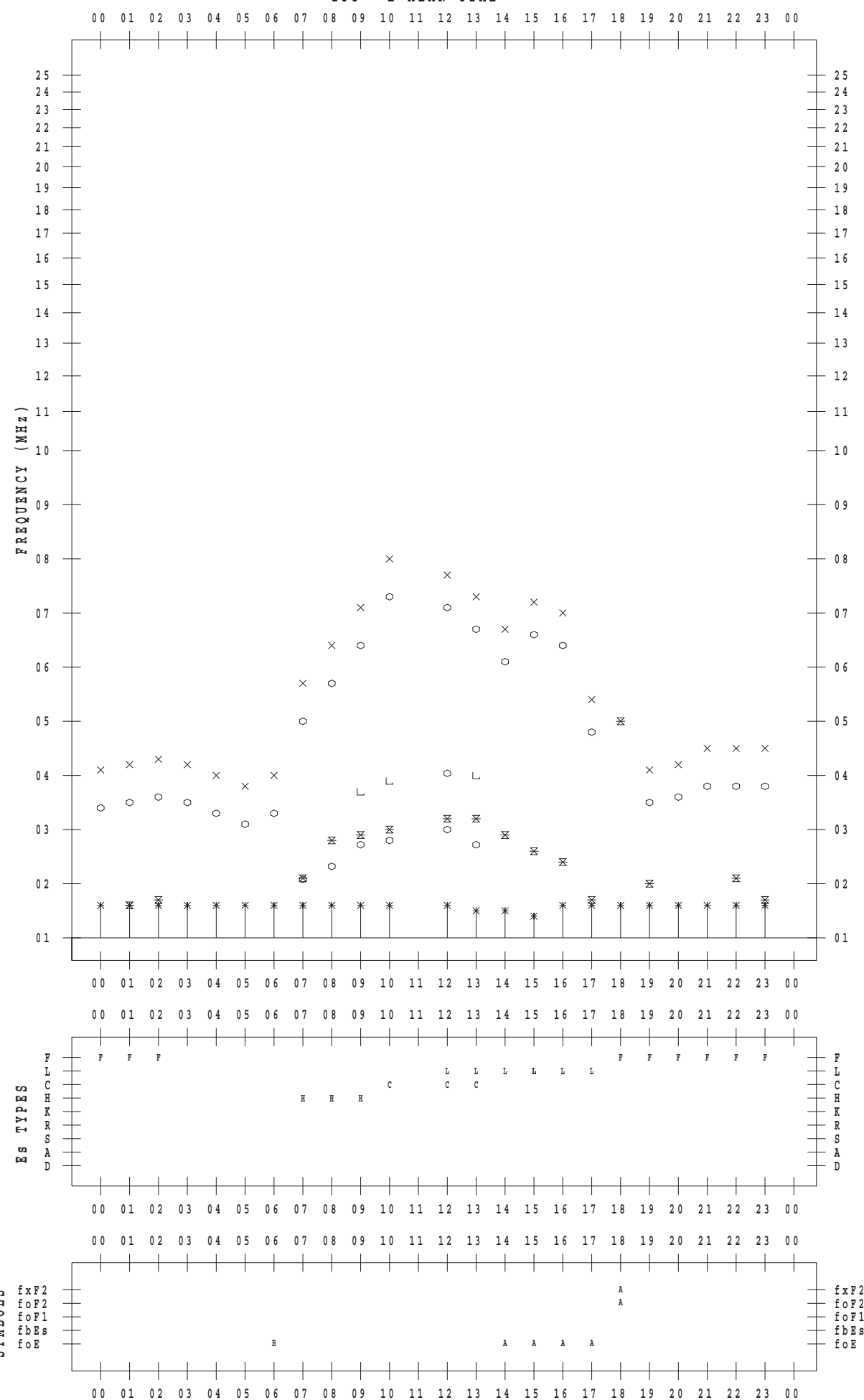
f - P L O T D A T A

SCALER : K.FUKUSHIMA

STATION : Wakkanai

DATE : 2017/11/2

135 °E MEAN TIME



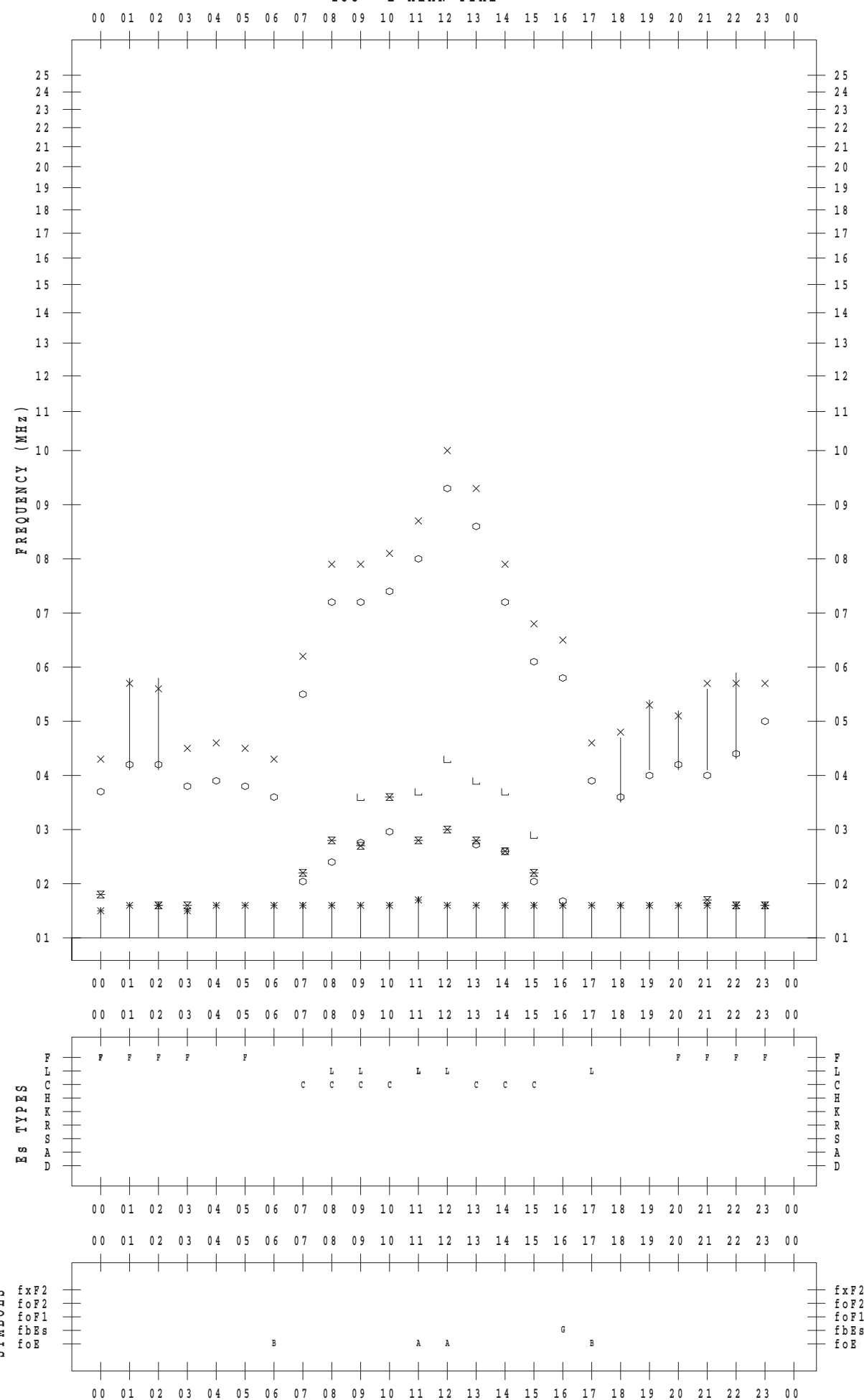
f - P L O T D A T A

SCALER : K.FUKUSHIMA

STATION : Wakkanai

DATE : 2017/11/3

135 ° E MEAN TIME



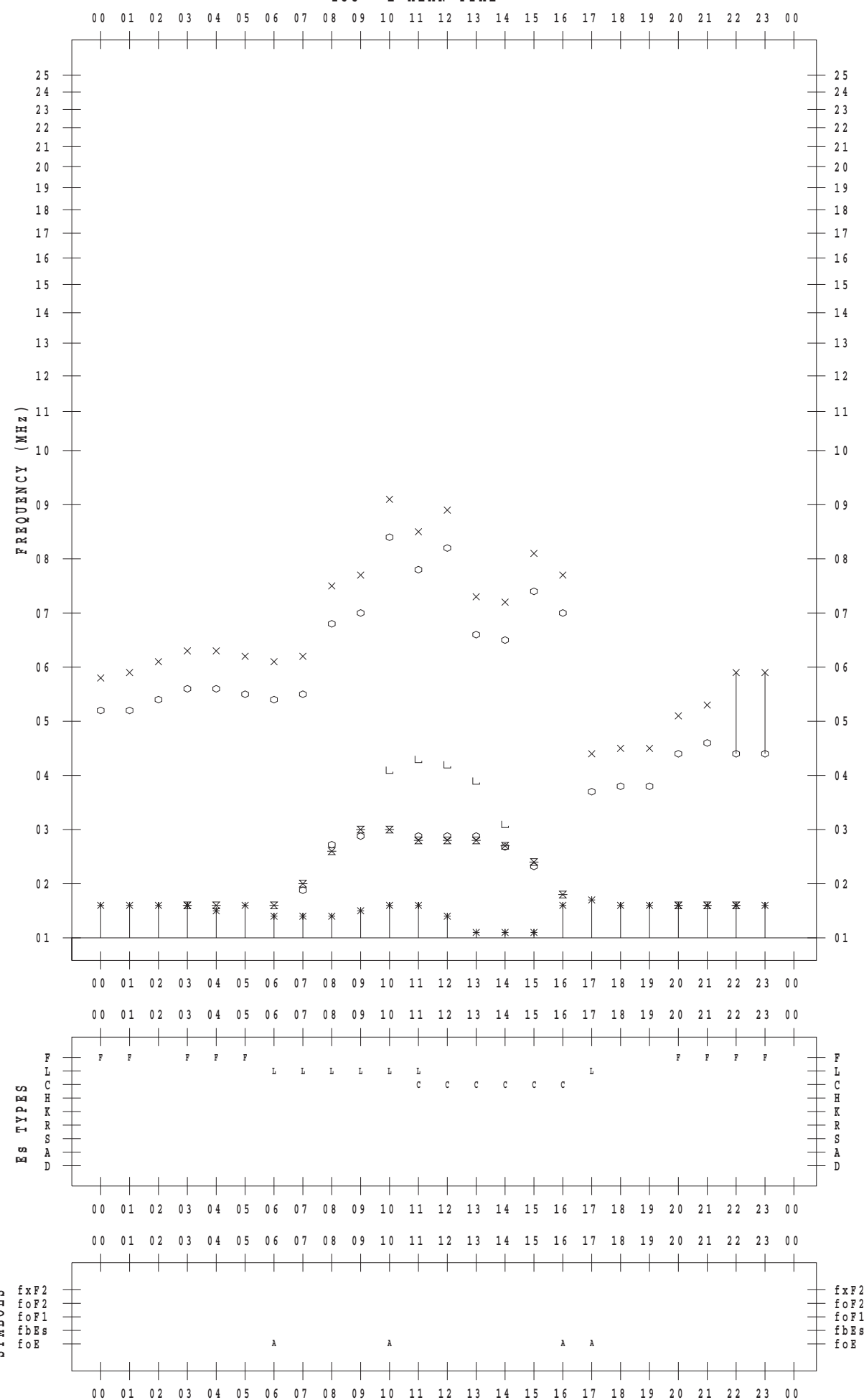
f - P L O T D A T A

SCALER : K.FUKUSHIMA

STATION : Wakkanai

DATE : 2017/11/4

135 ° E MEAN TIME



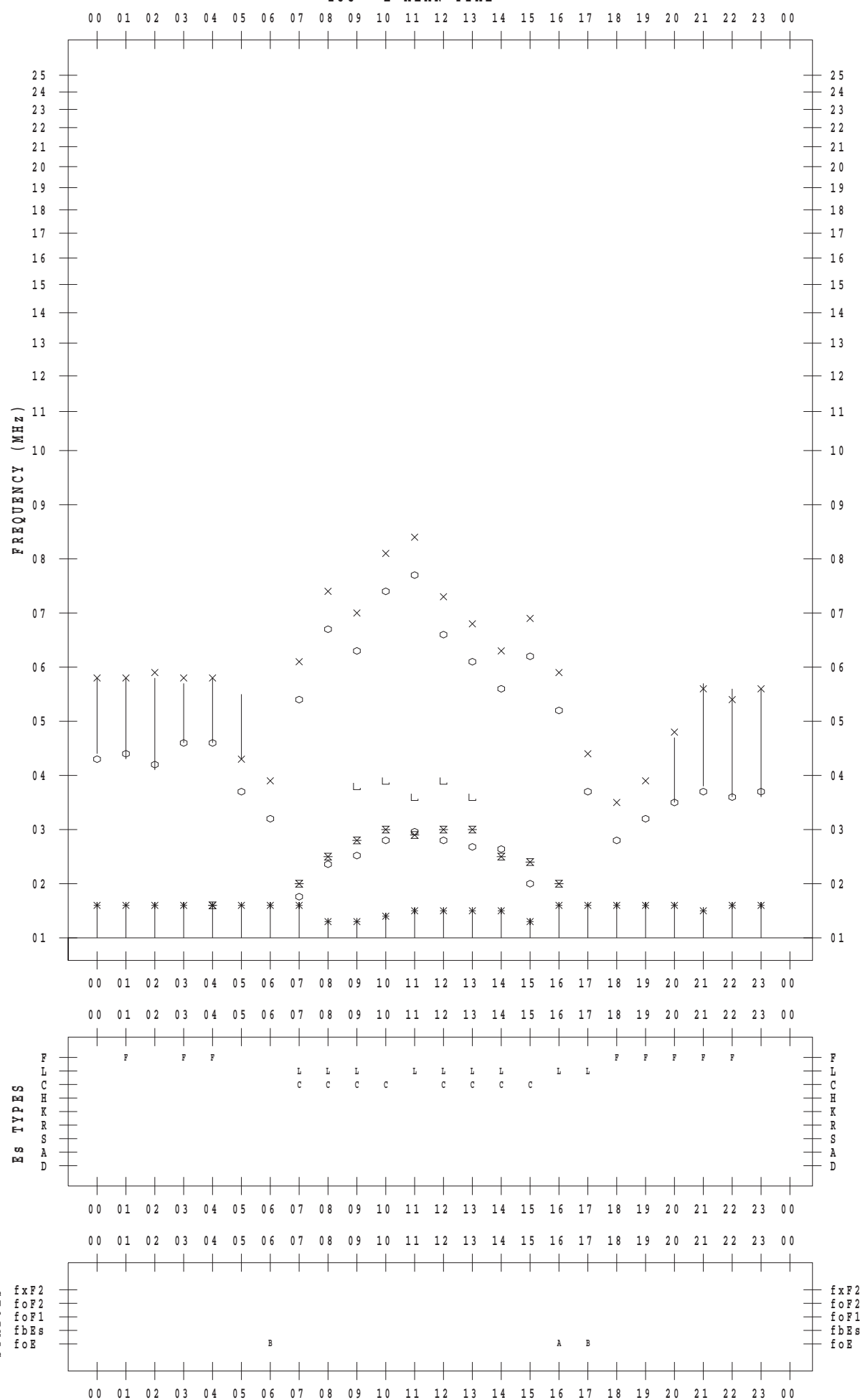
f - P L O T D A T A

SCALER : K.FUKUSHIMA

STATION : Wakkanai

DATE : 2017/11/5

135 ° E MEAN TIME



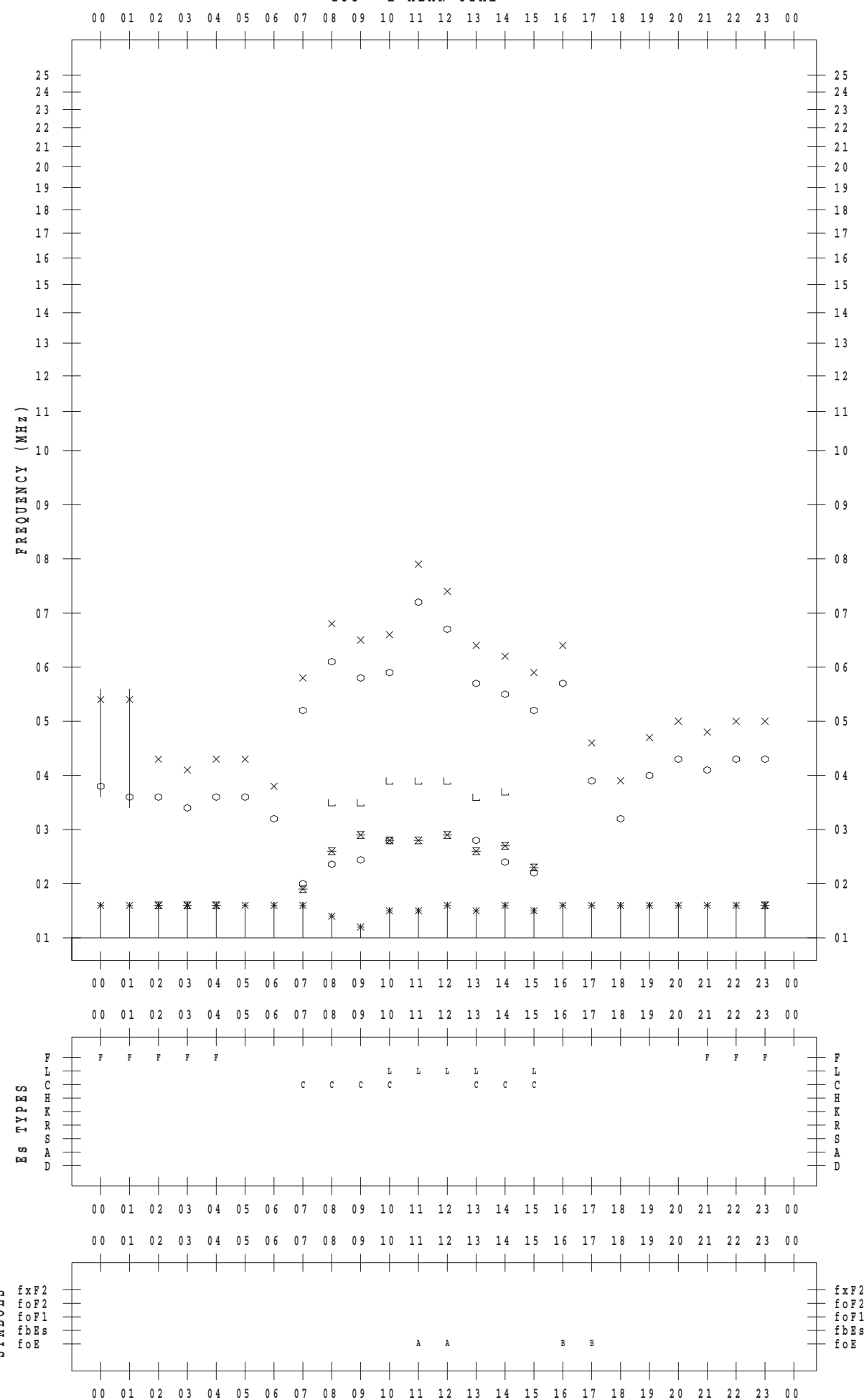
f - P L O T D A T A

SCALER : K.FUKUSHIMA

STATION : Wakkanai

DATE : 2017/11/6

135 °E MEAN TIME



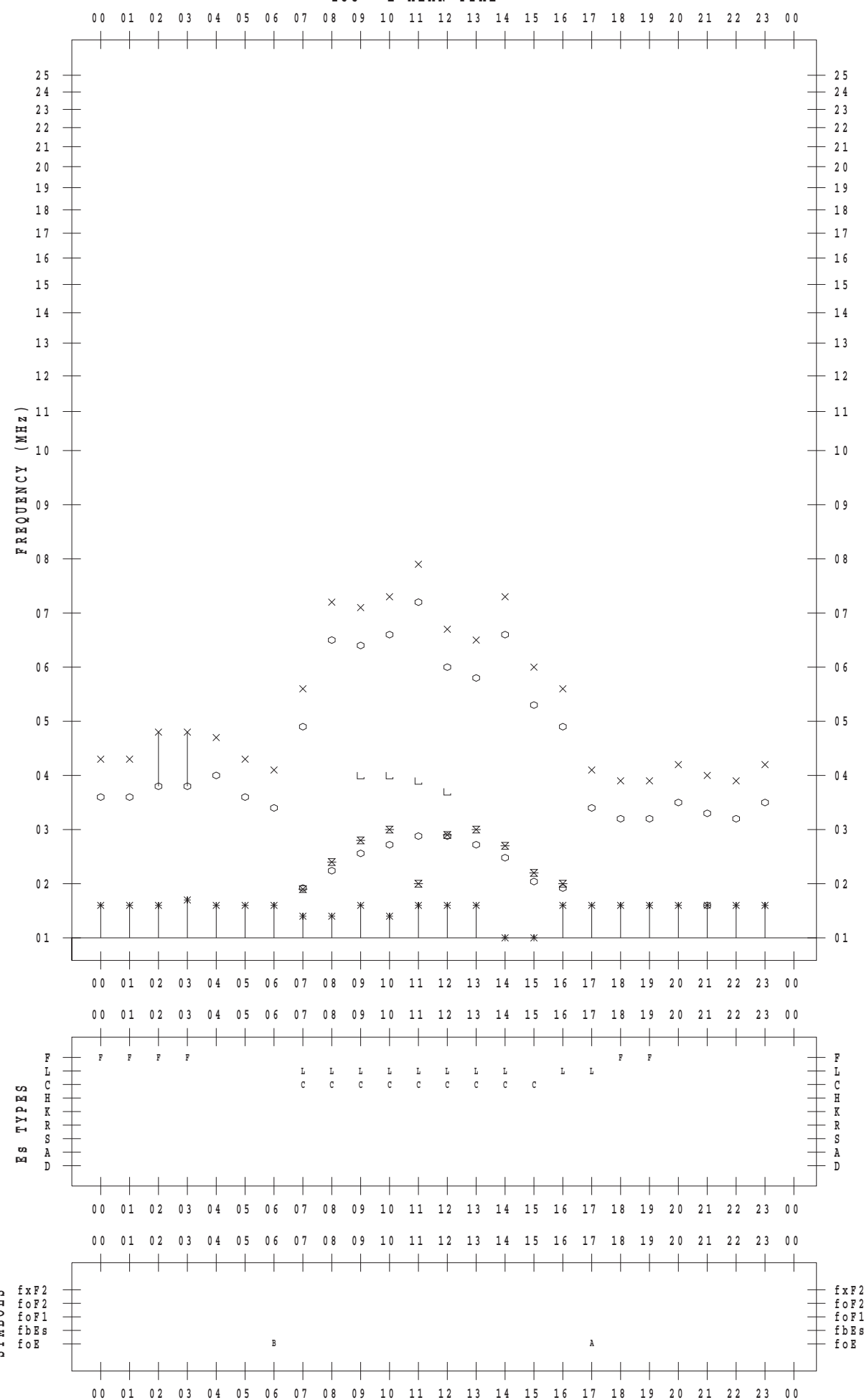
f - P L O T D A T A

SCALER : K.FUKUSHIMA

STATION : Wakkanai

DATE : 2017/11/7

135 ° E MEAN TIME



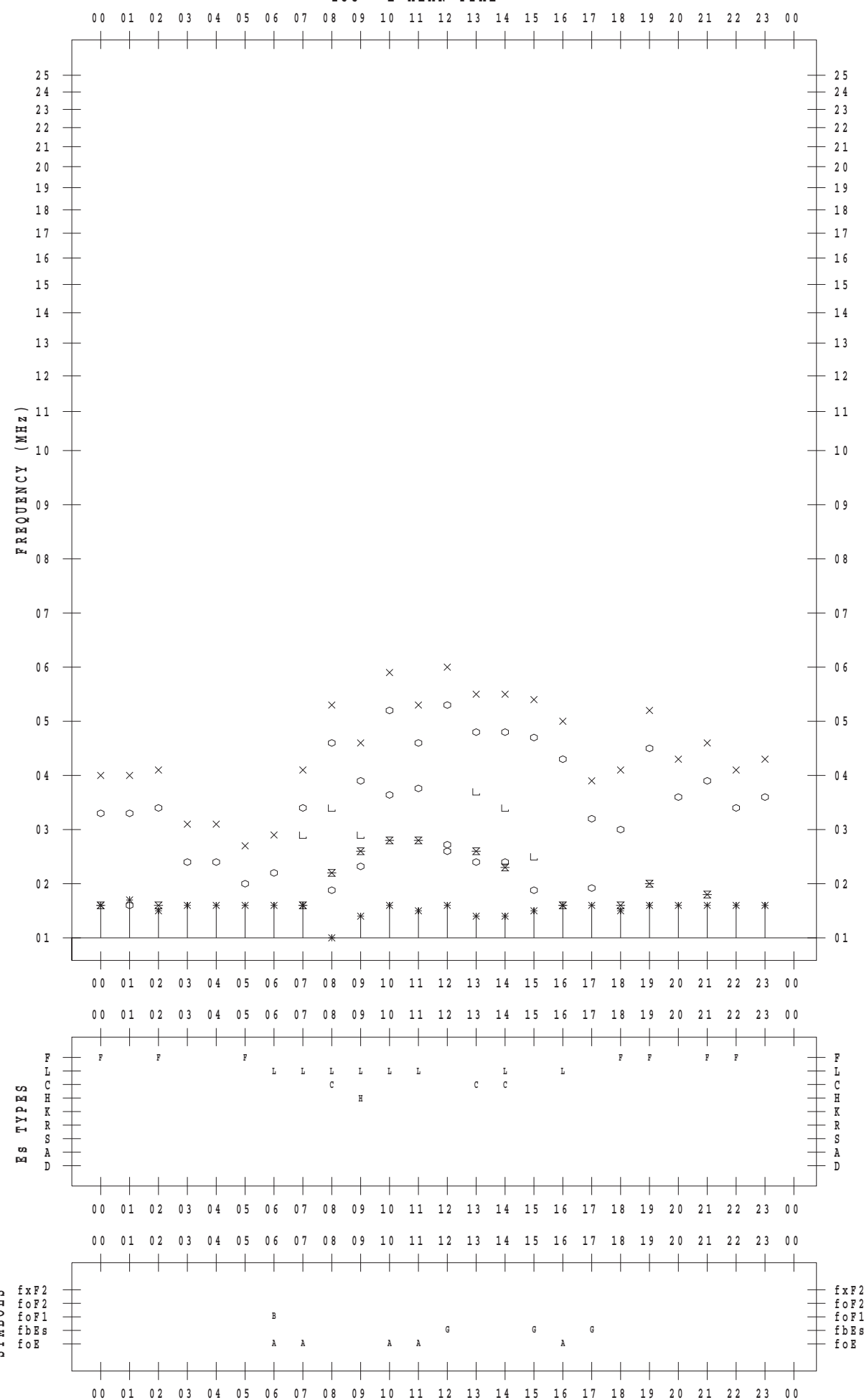
f - P L O T D A T A

SCALER : K.FUKUSHIMA

STATION : Wakkanai

DATE : 2017/11/8

135 ° E MEAN TIME



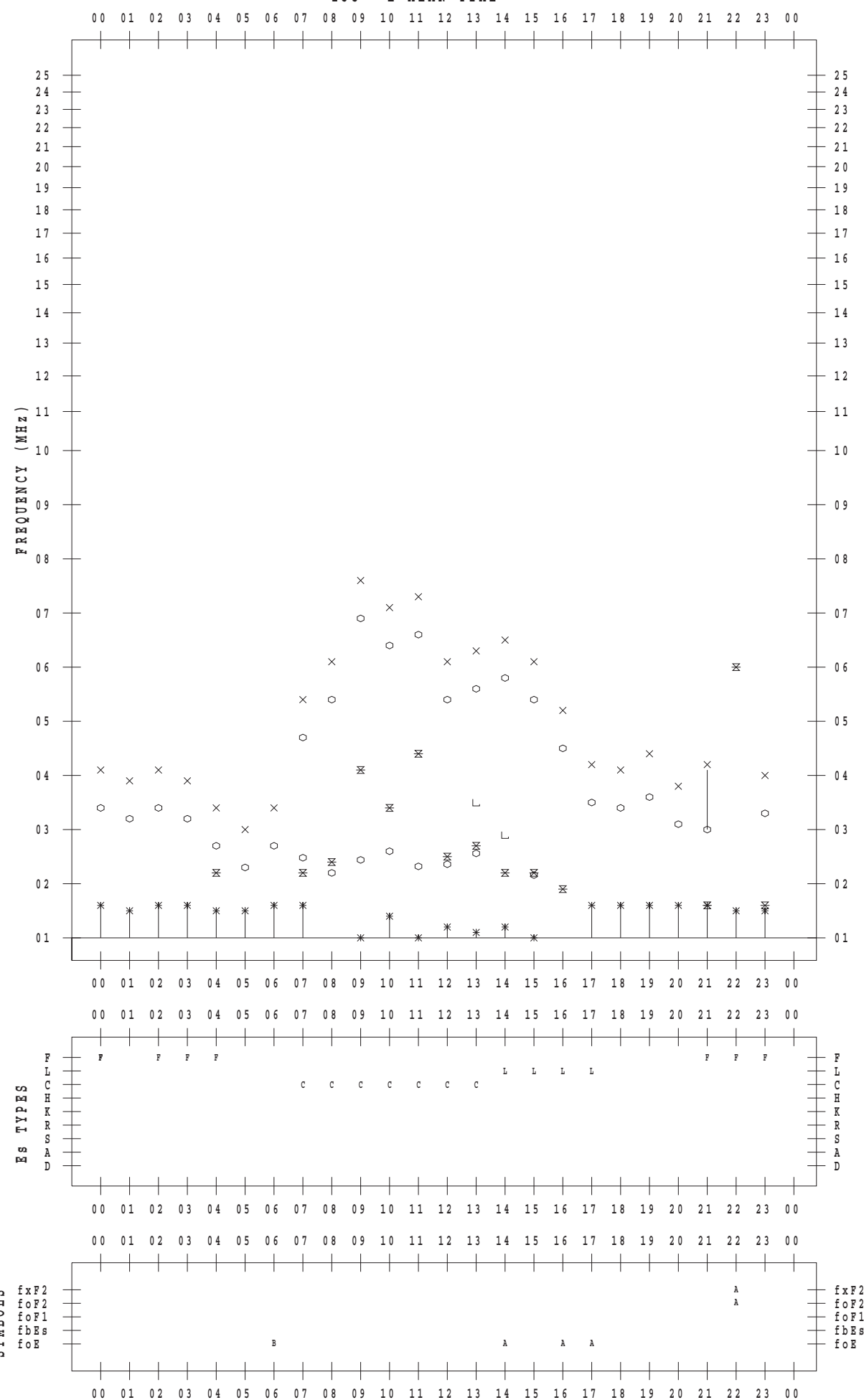
f - P L O T D A T A

SCALER : K.FUKUSHIMA

STATION : Wakkanai

DATE : 2017/11/9

135 °E MEAN TIME



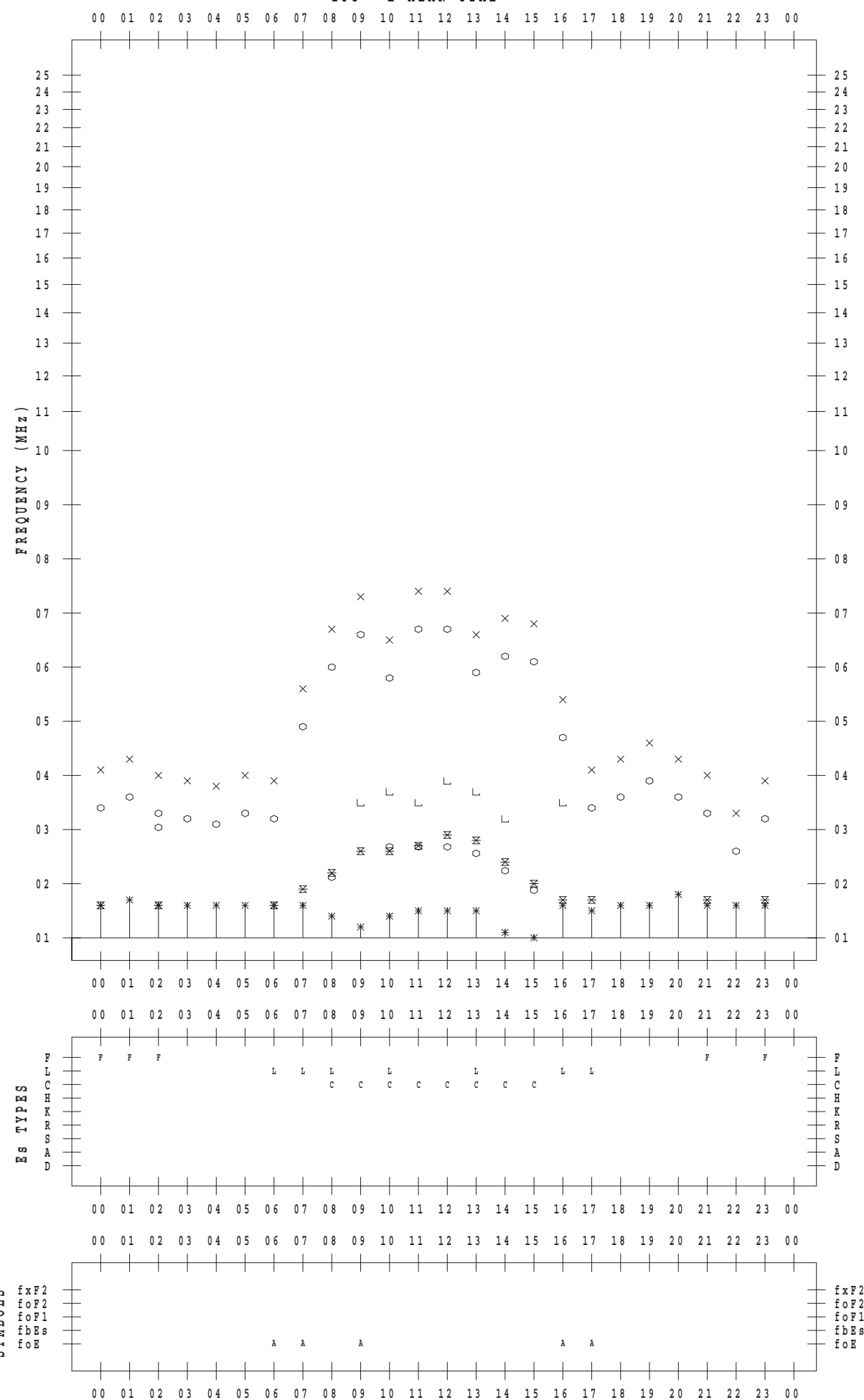
f - P L O T D A T A

SCALER : K.FUKUSHIMA

STATION : Wakkanai

DATE : 2017/11/10

135 °E MEAN TIME



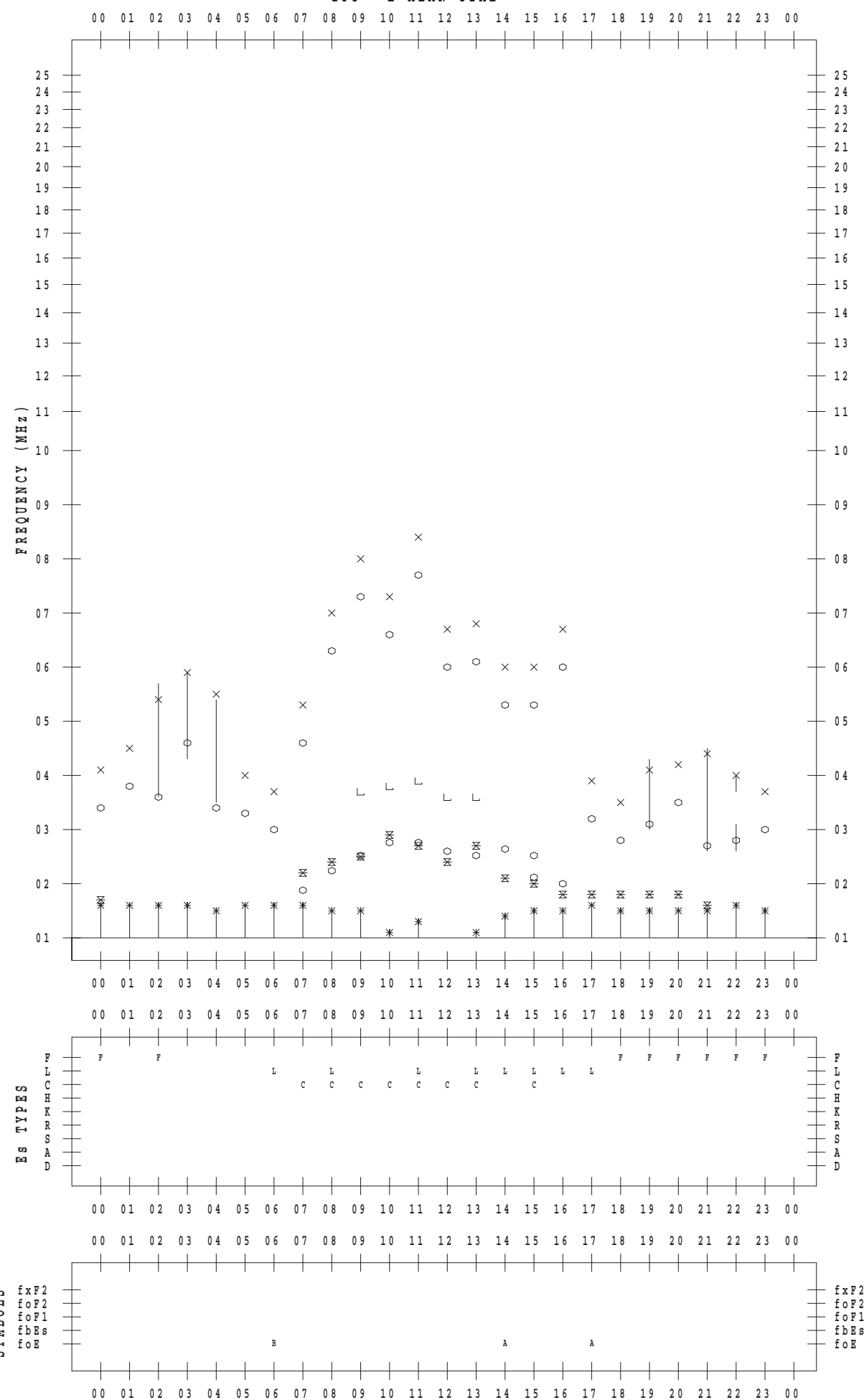
f - P L O T D A T A

SCALER : K.FUKUSHIMA

STATION : Wakkanai

DATE : 2017/11/11

135 °E MEAN TIME



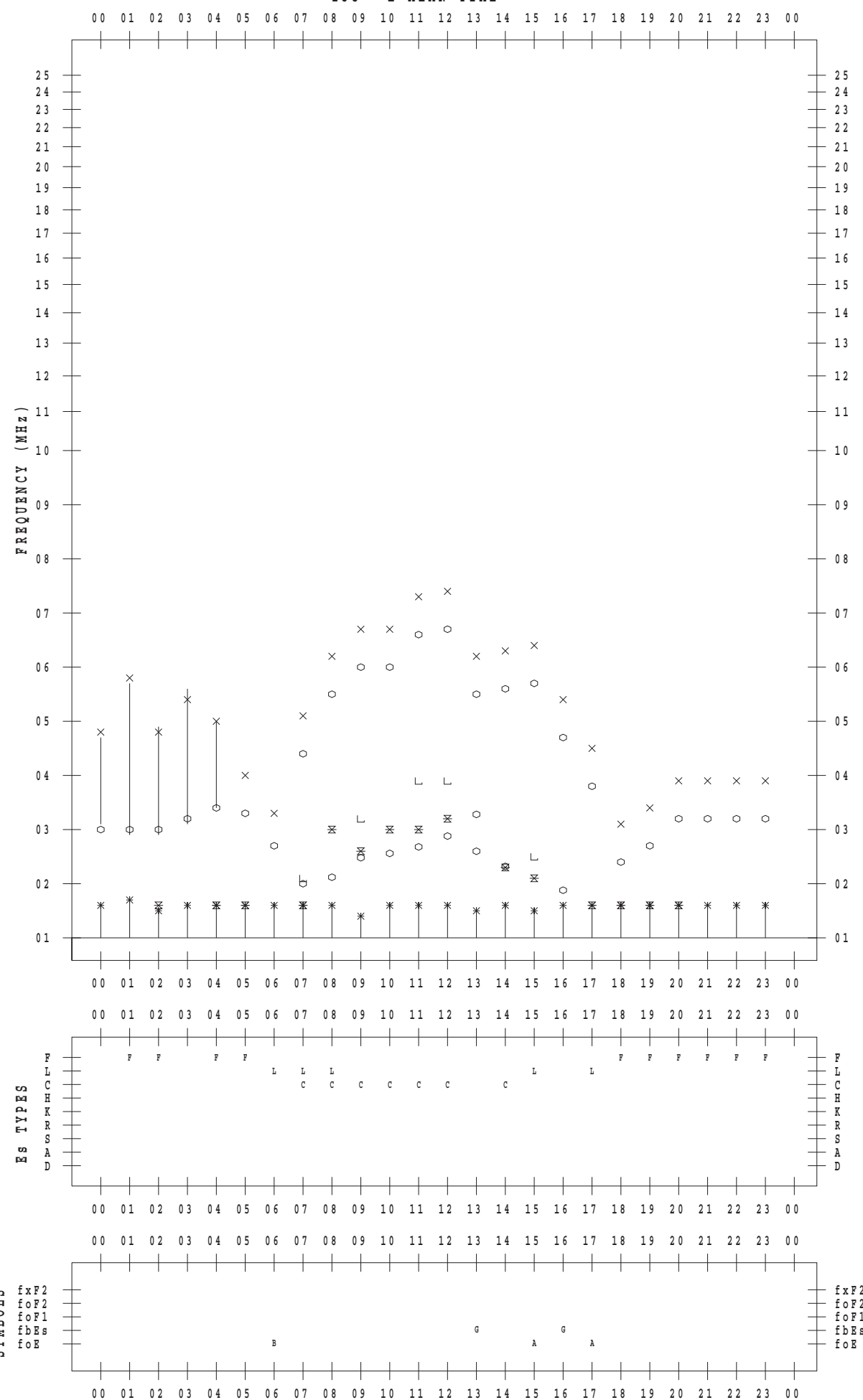
f - P L O T D A T A

SCALER : K.FUKUSHIMA

STATION : Wakkanai

DATE : 2017/11/12

135 ° E MEAN TIME



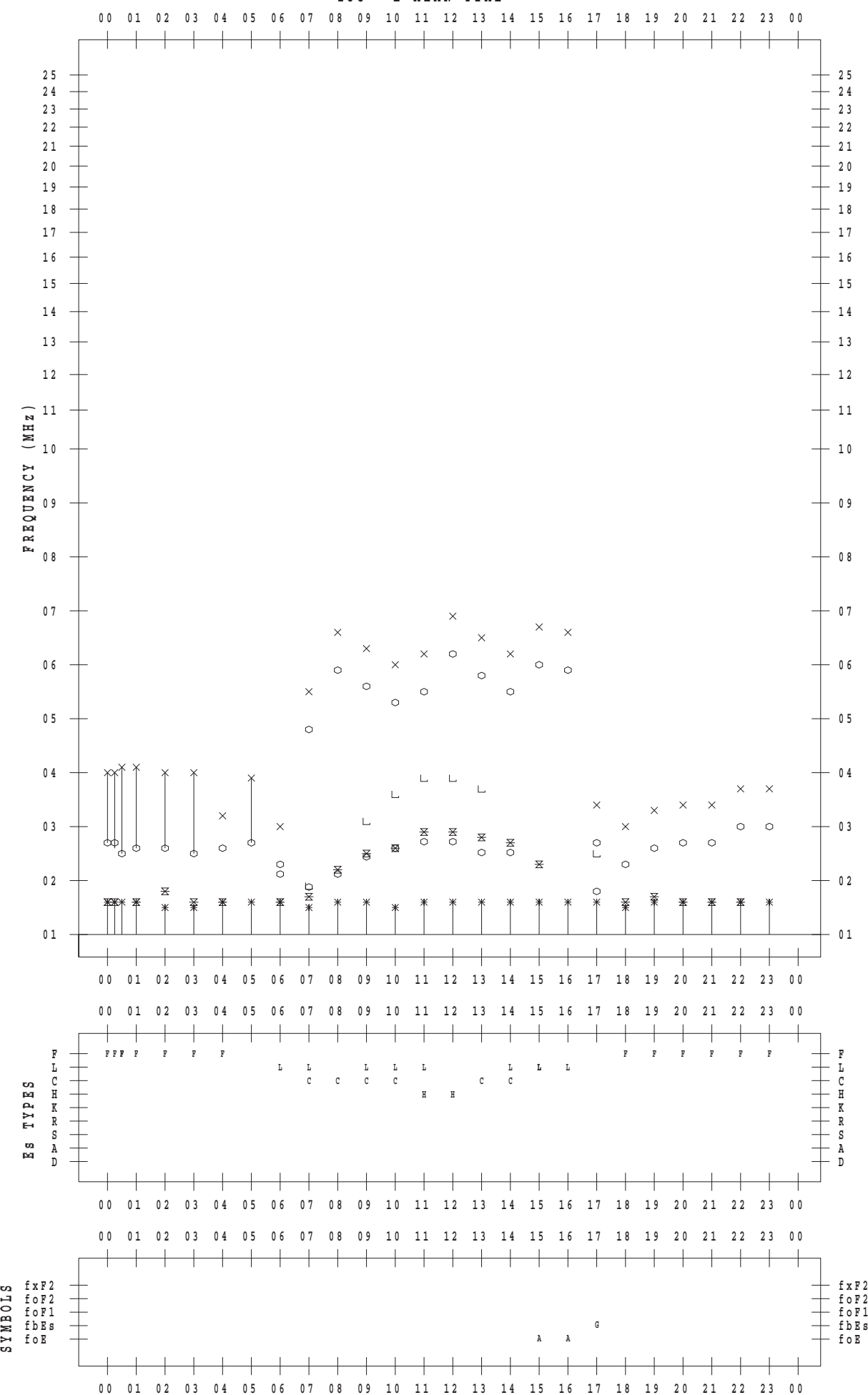
f - P L O T D A T A

SCALER : K.FUKUSHIMA

STATION : Wakkanai

DATE : 2017/11/13

135 ° E MEAN TIME



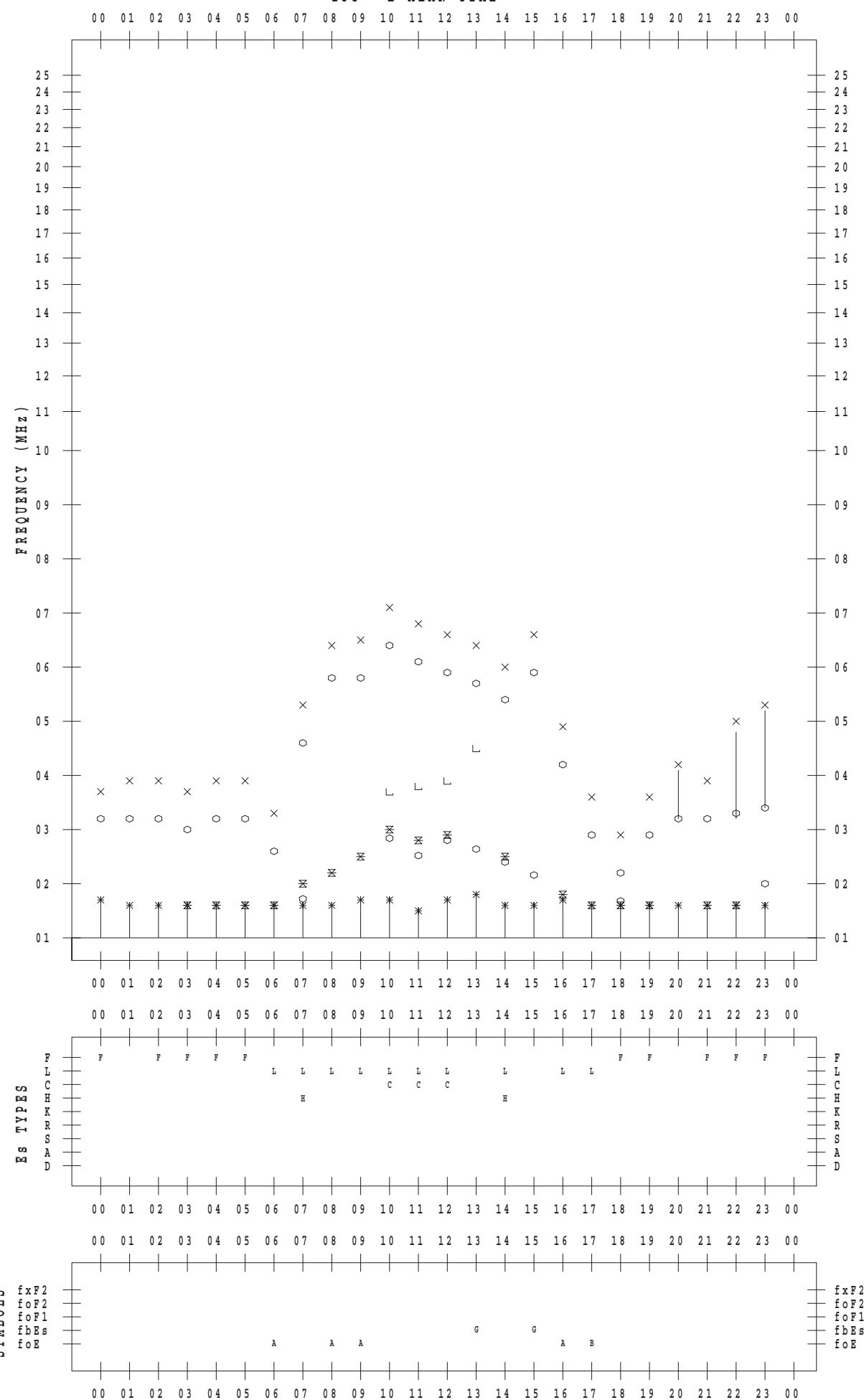
f - P L O T D A T A

SCALER : K.FUKUSHIMA

STATION : Wakkanai

DATE : 2017/11/14

135 ° E MEAN TIME



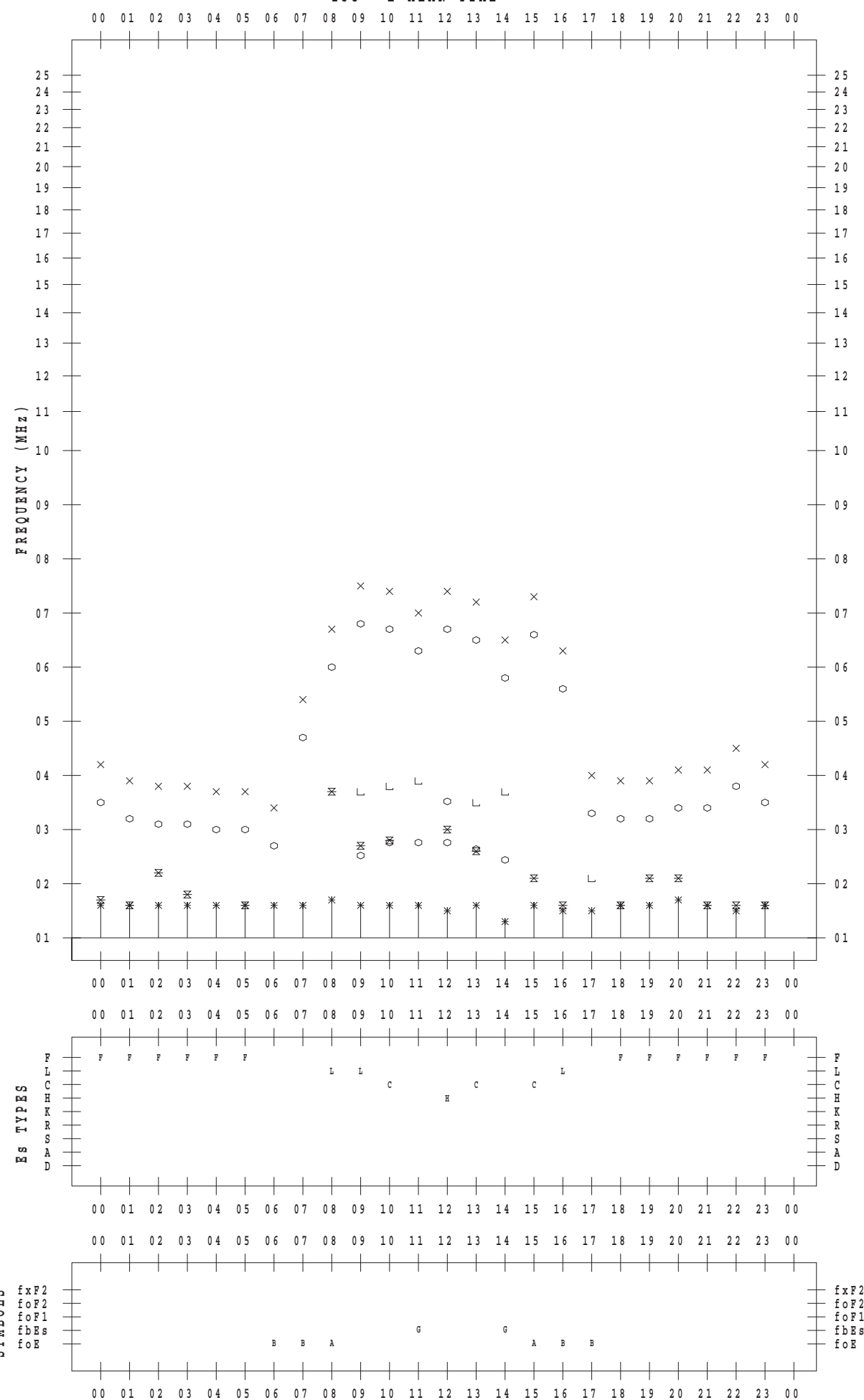
f - P L O T D A T A

SCALER : K.FUKUSHIMA

STATION : Wakkanai

DATE : 2017/11/15

135 ° E MEAN TIME



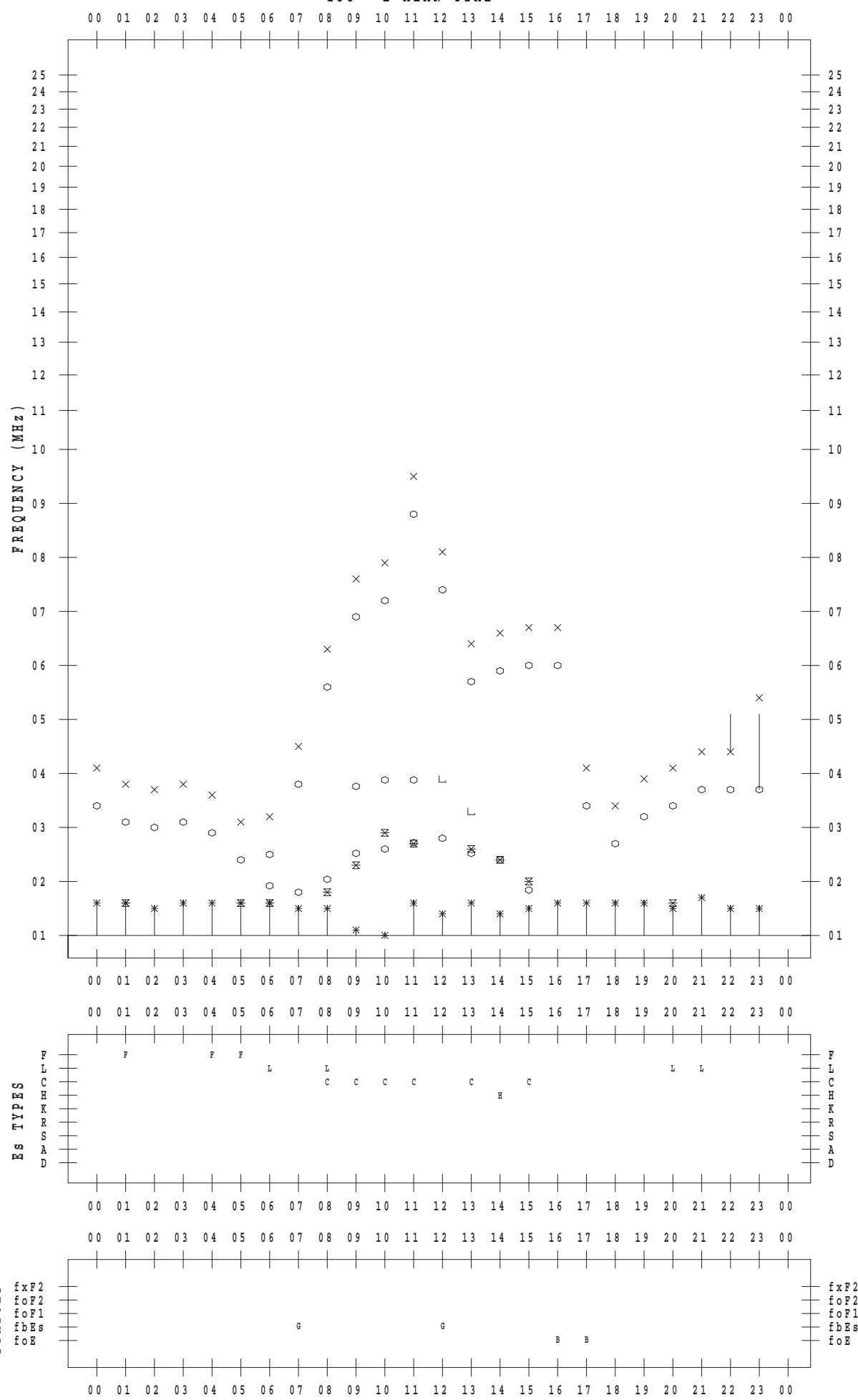
f - P L O T D A T A

SCALER : K.FUKUSHIMA

STATION : Wakkanai

DATE : 2017/11/16

135 ° E MEAN TIME



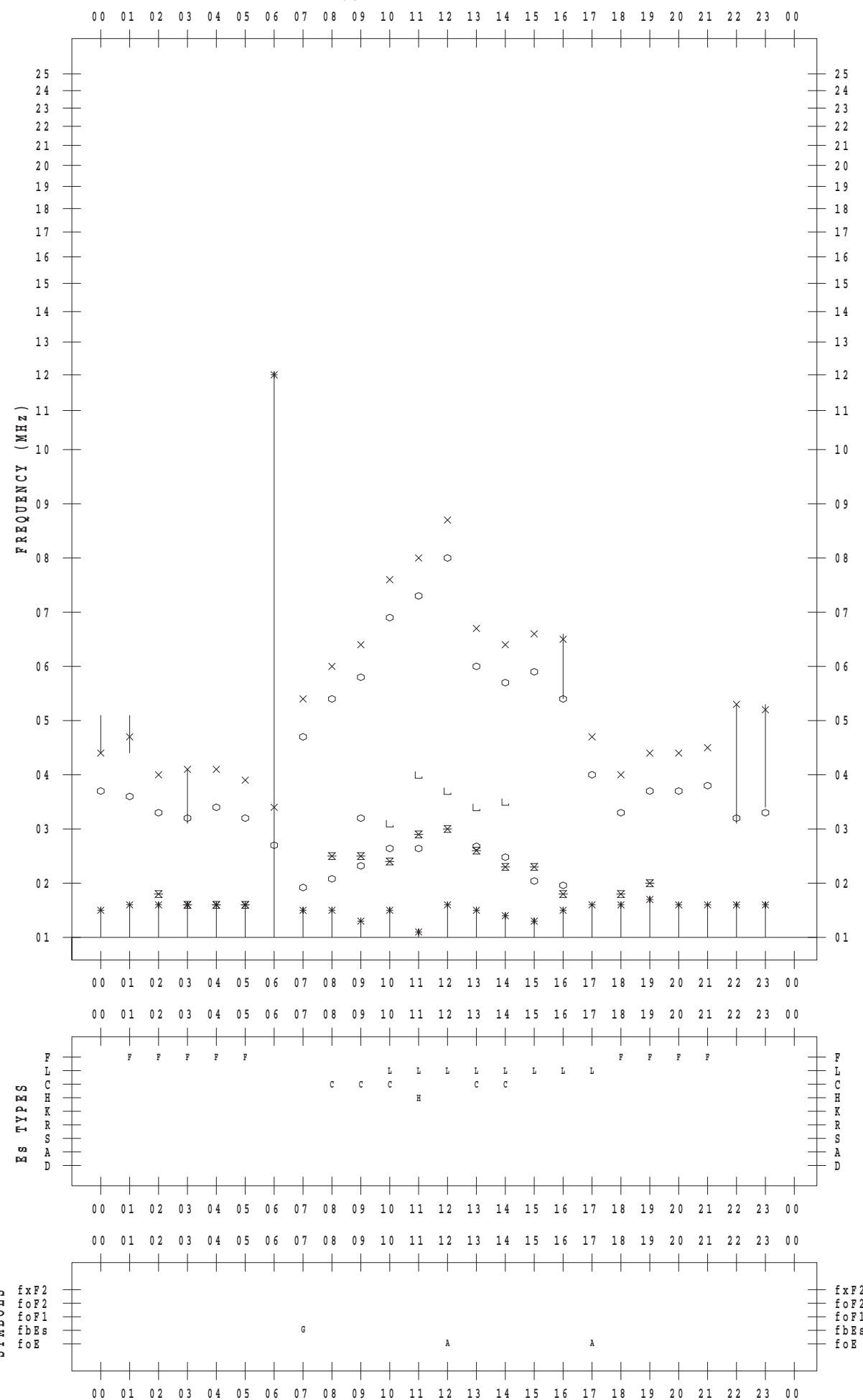
f - P L O T D A T A

SCALER : K.FUKUSHIMA

STATION : Wakkanai

DATE : 2017/11/17

135 ° E MEAN TIME



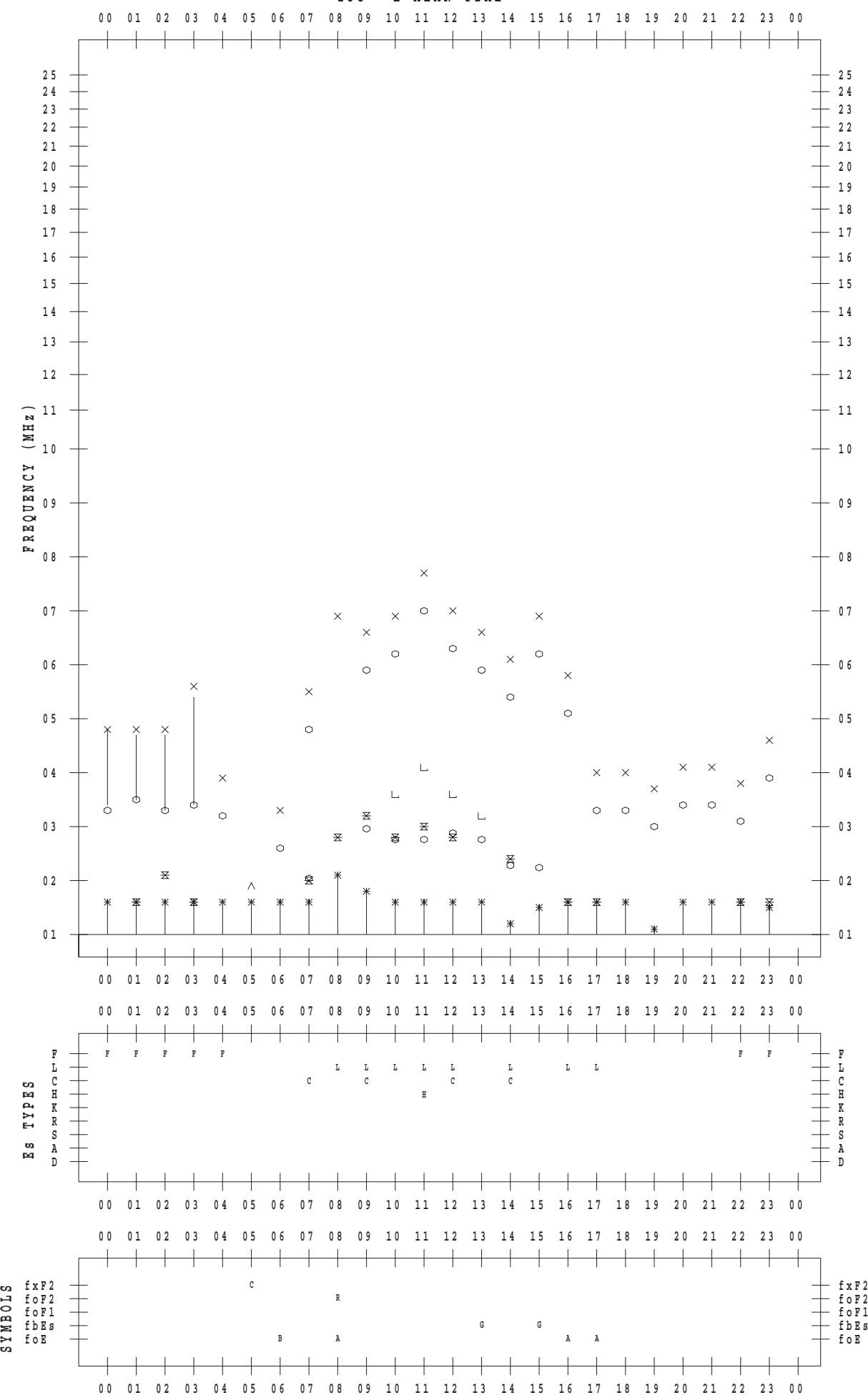
f - P L O T D A T A

SCALER : K.FUKUSHIMA

STATION : Wakkanai

DATE : 2017/11/18

135 ° E MEAN TIME



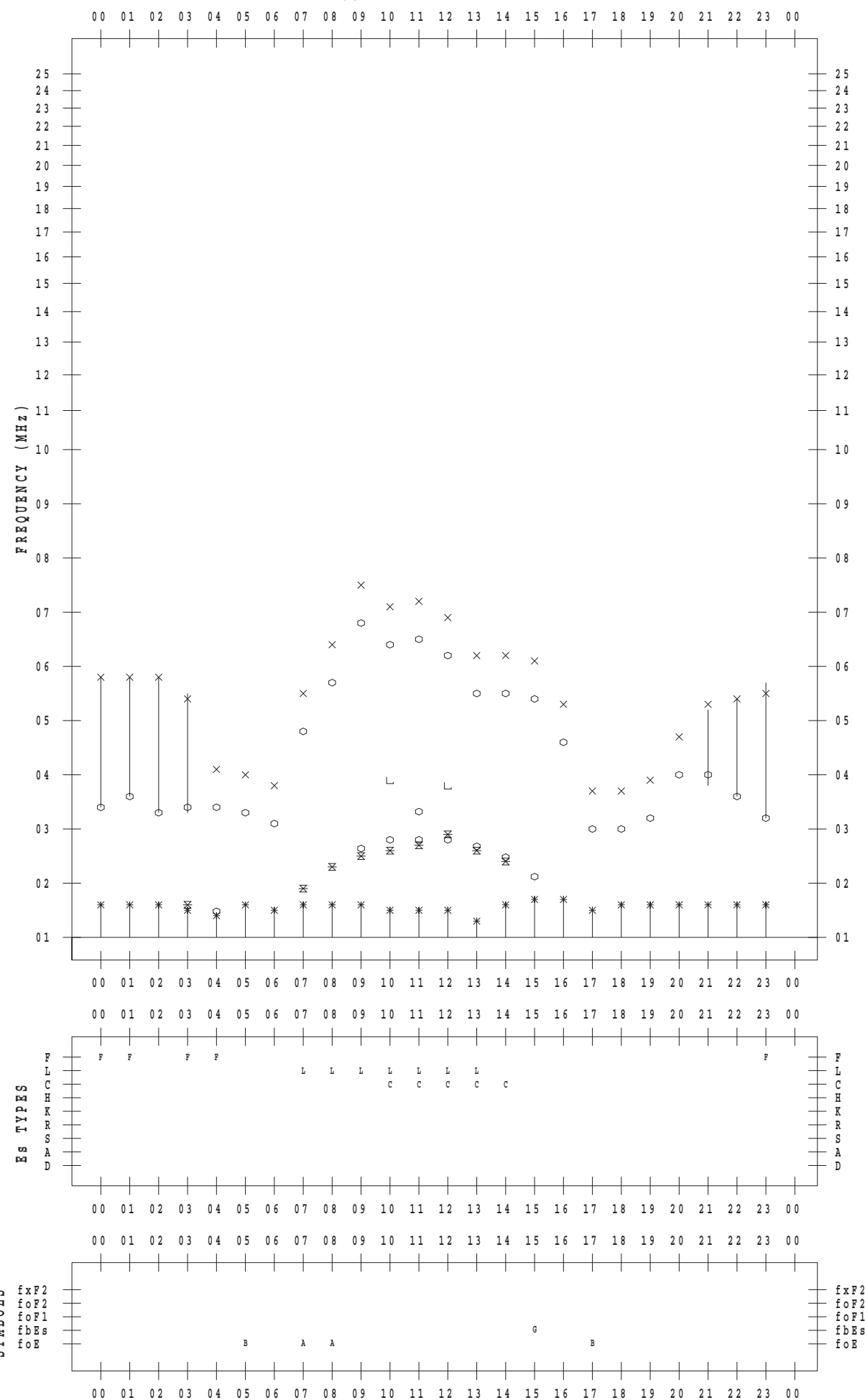
f - P L O T D A T A

SCALER : K.FUKUSHIMA

STATION : Wakkanai

DATE : 2017/11/19

135 °E MEAN TIME



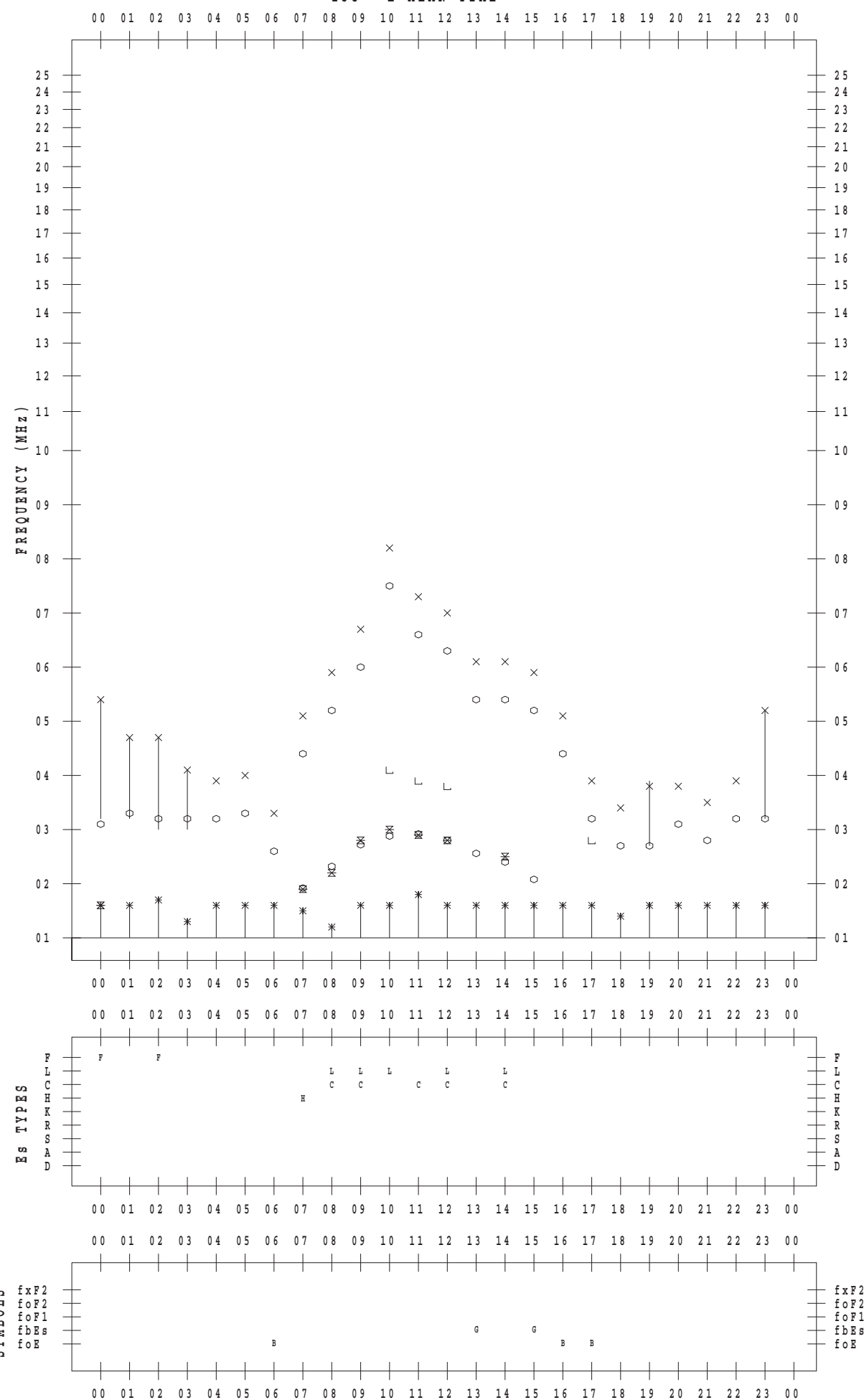
f - P L O T D A T A

SCALER : K.FUKUSHIMA

STATION : Wakkanai

DATE : 2017/11/20

135 ° E MEAN TIME



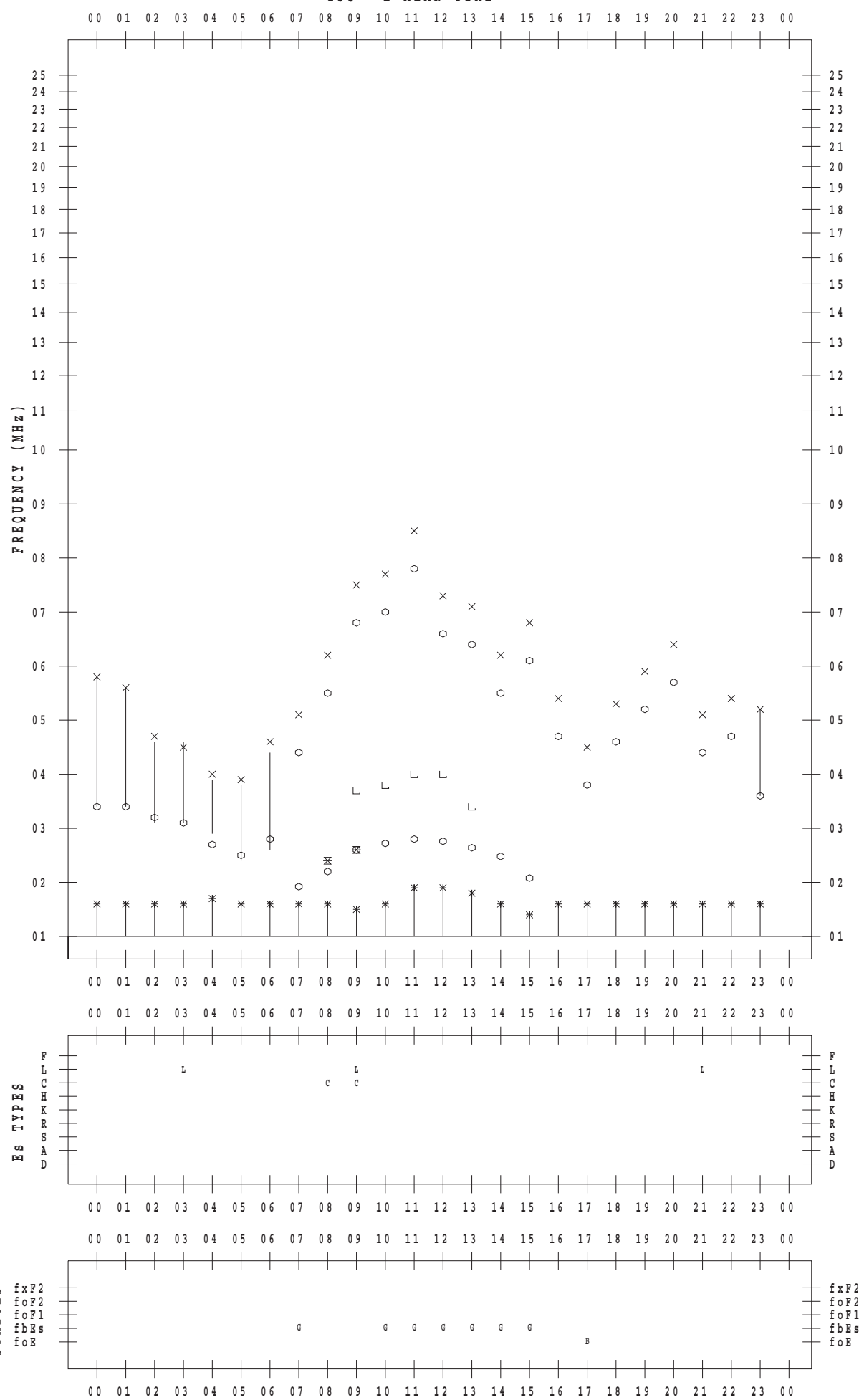
f - P L O T D A T A

SCALER : K.FUKUSHIMA

STATION : Wakkanai

DATE : 2017/11/21

135 ° E MEAN TIME



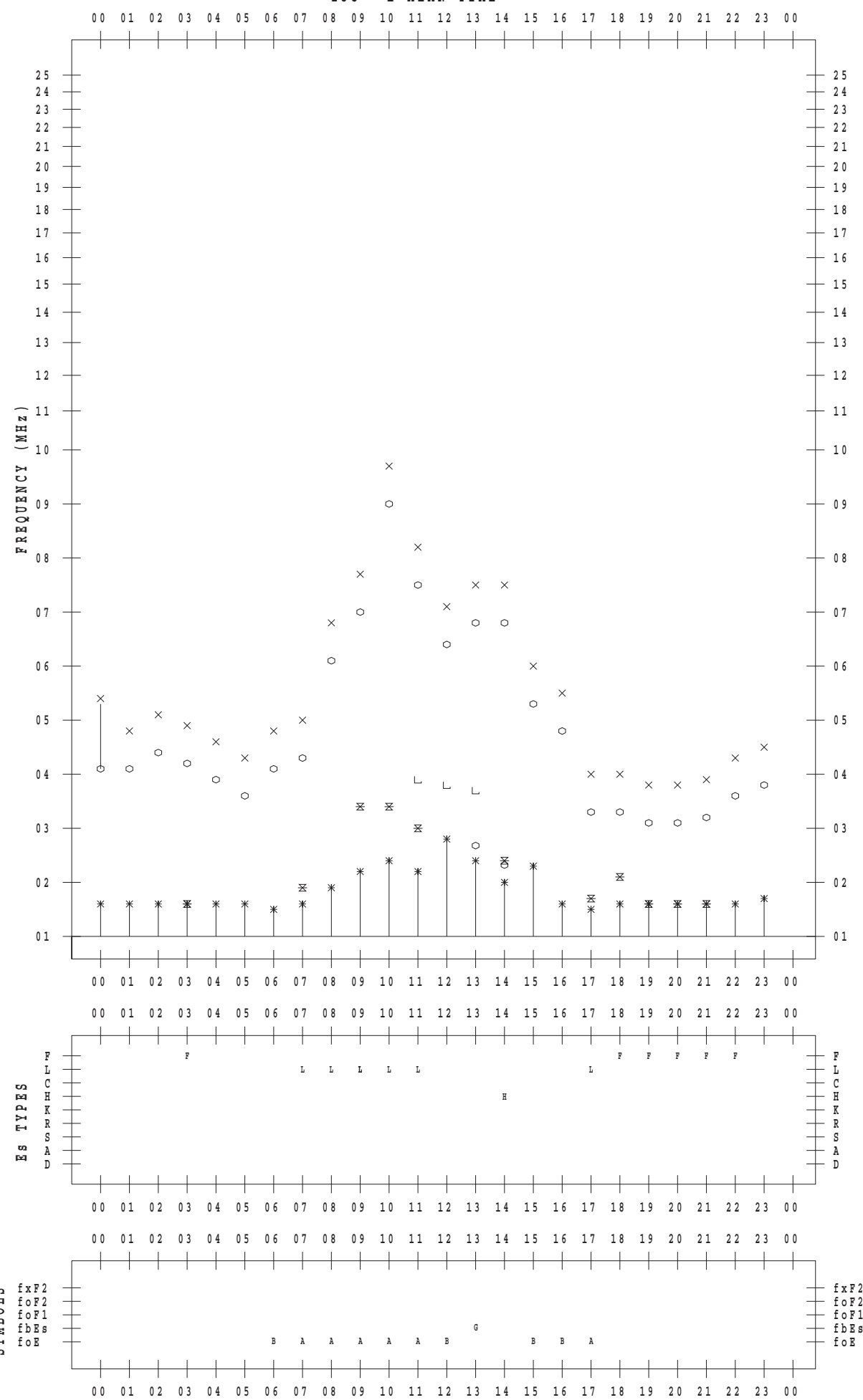
f - P L O T D A T A

SCALER : K.FUKUSHIMA

STATION : Wakkanai

DATE : 2017/11/22

135 ° E MEAN TIME



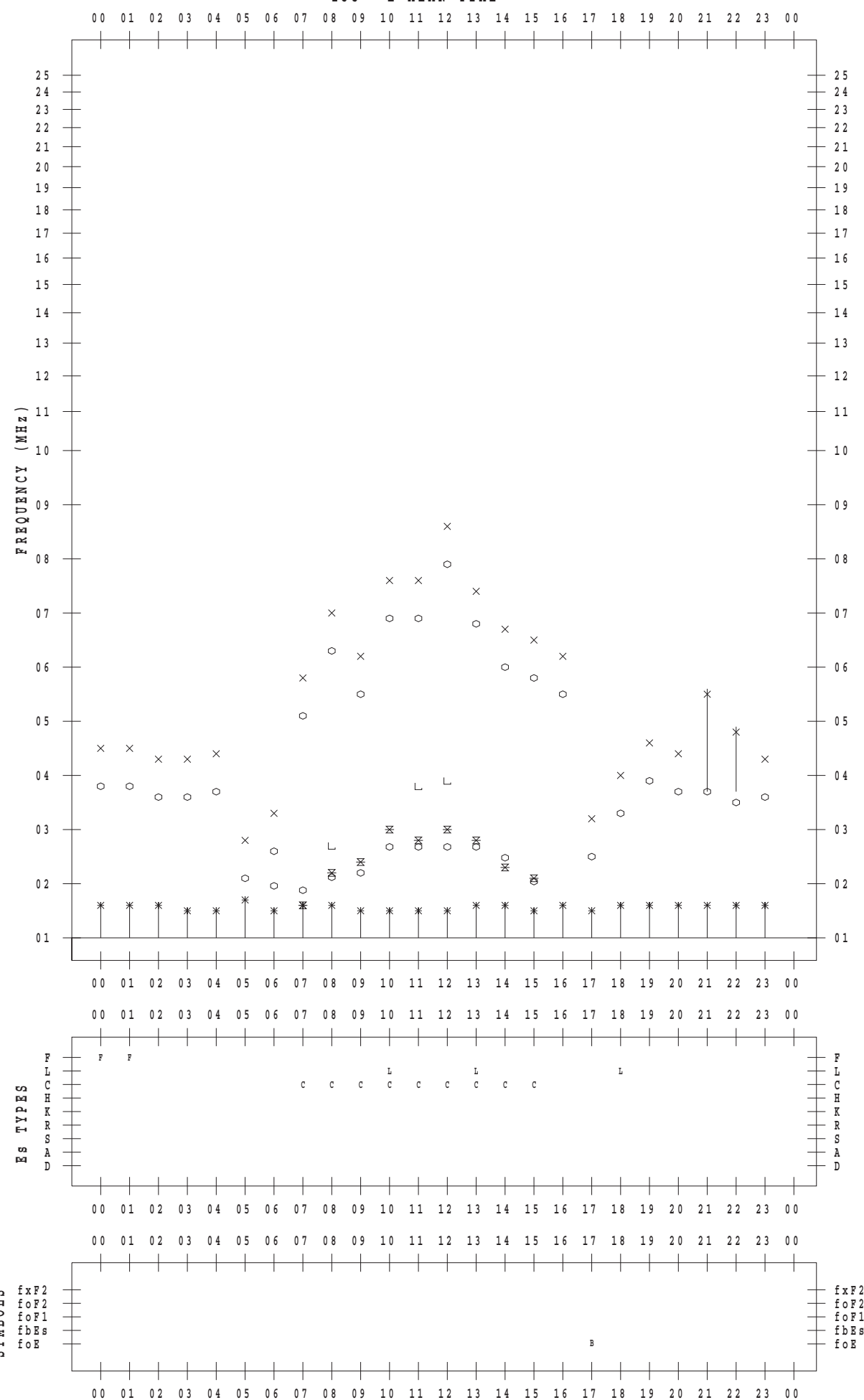
f - P L O T D A T A

SCALER : K.FUKUSHIMA

STATION : Wakkanai

DATE : 2017/11/23

135 ° E MEAN TIME



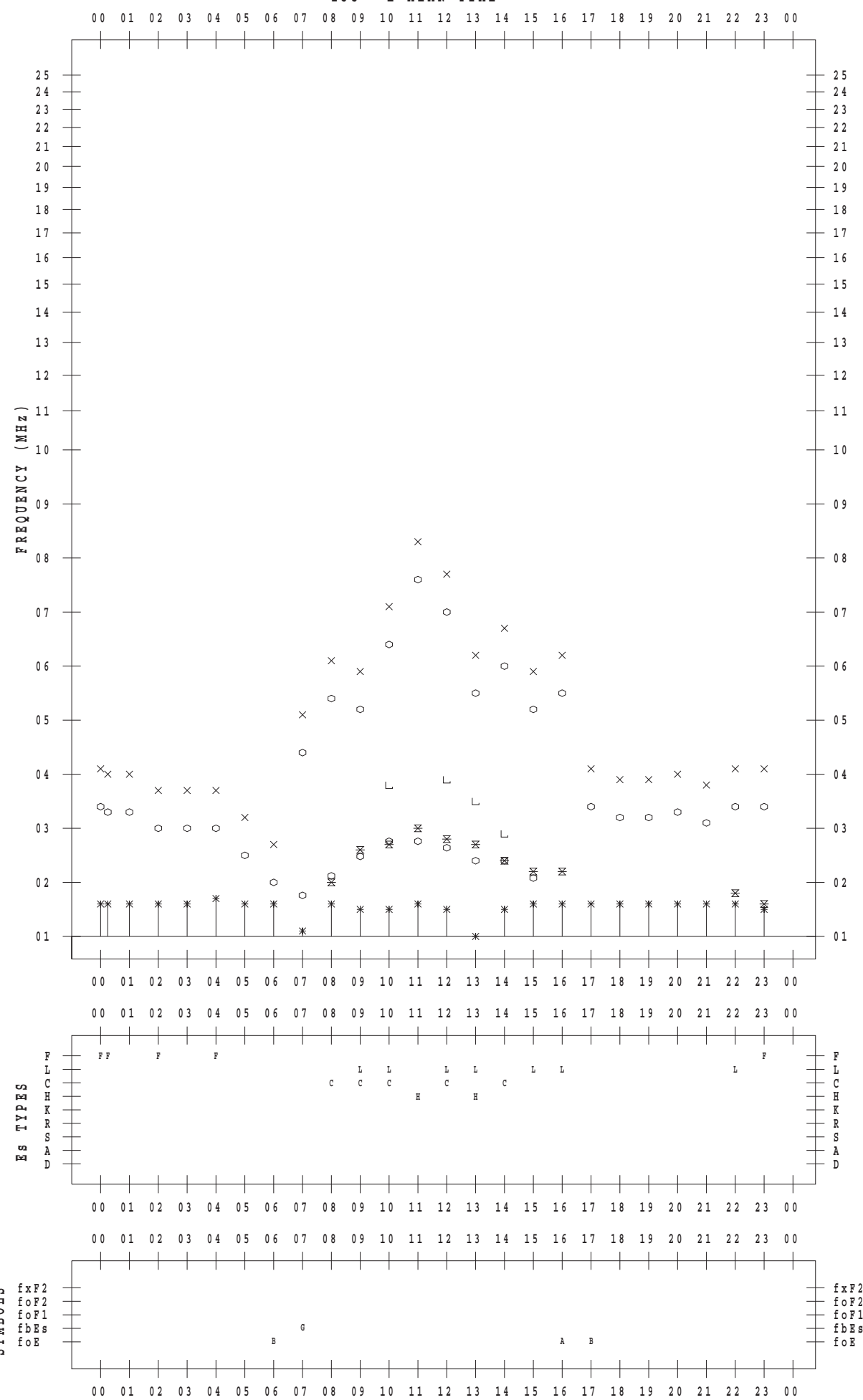
f - P L O T D A T A

SCALER : K.FUKUSHIMA

STATION : Wakkanai

DATE : 2017/11/24

135 ° E MEAN TIME



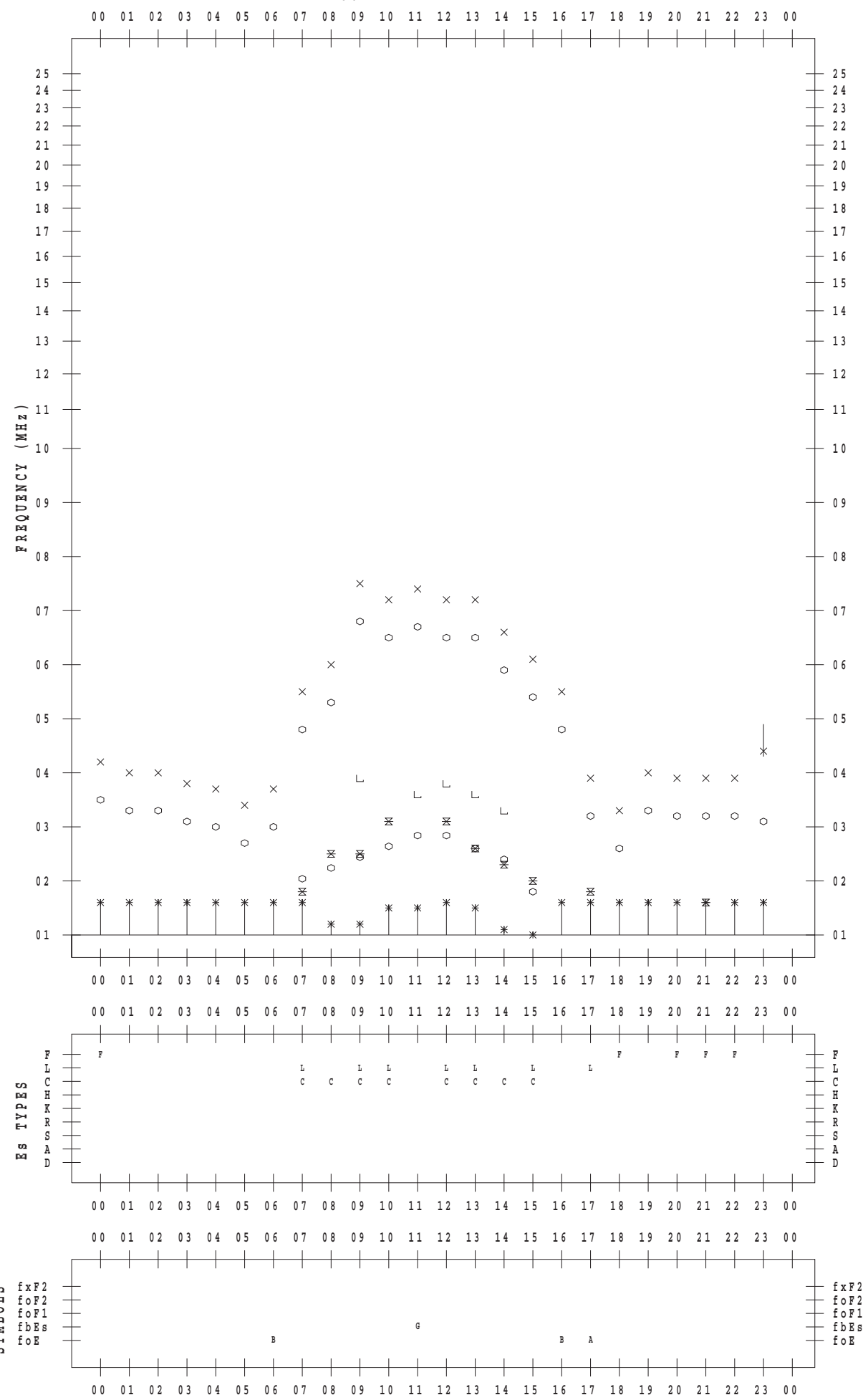
f - P L O T D A T A

SCALER : K.FUKUSHIMA

STATION : Wakkanai

DATE : 2017/11/25

135 ° E MEAN TIME



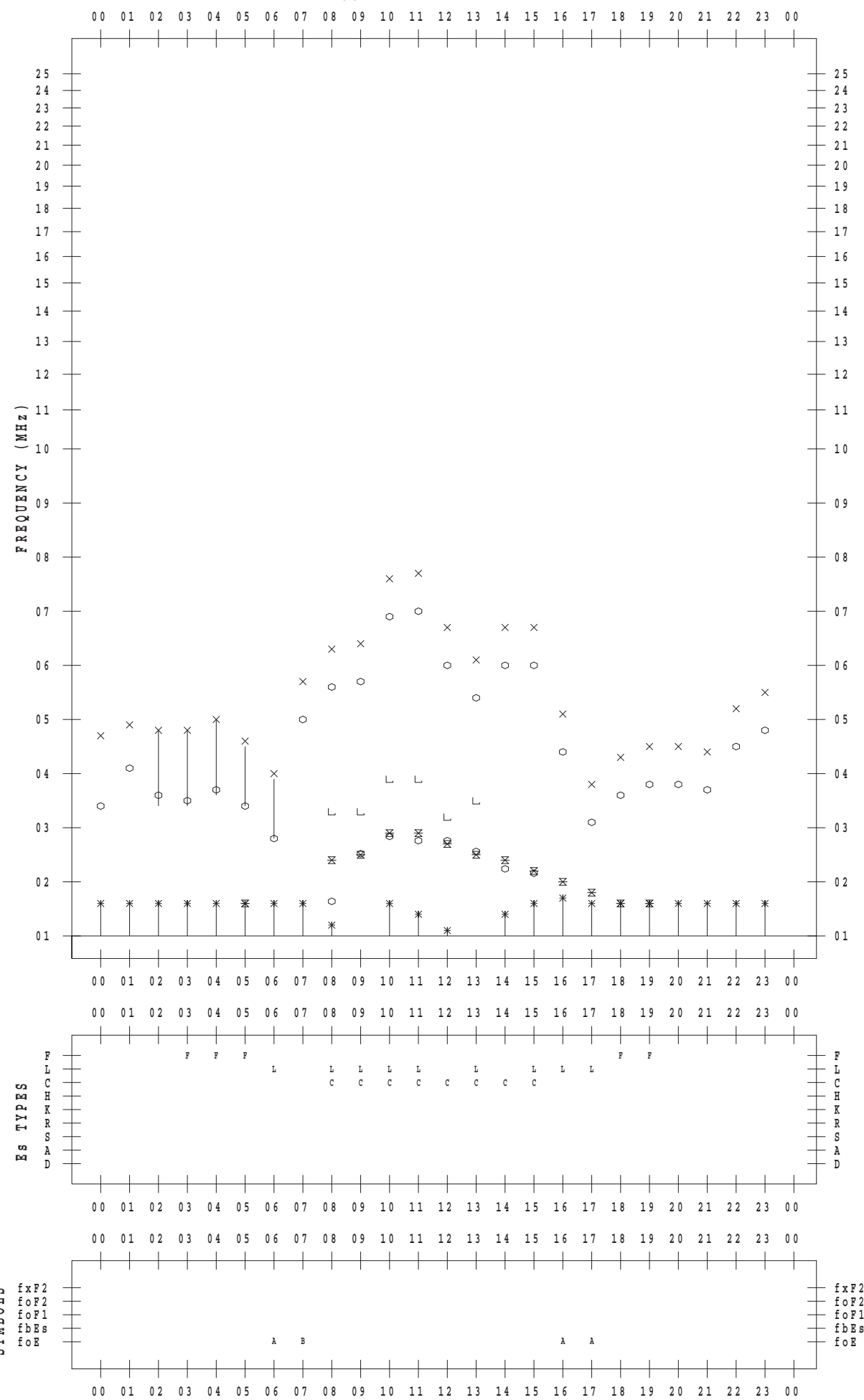
f - P L O T D A T A

SCALER : K.FUKUSHIMA

STATION : Wakkanai

DATE : 2017/11/26

135 ° E MEAN TIME



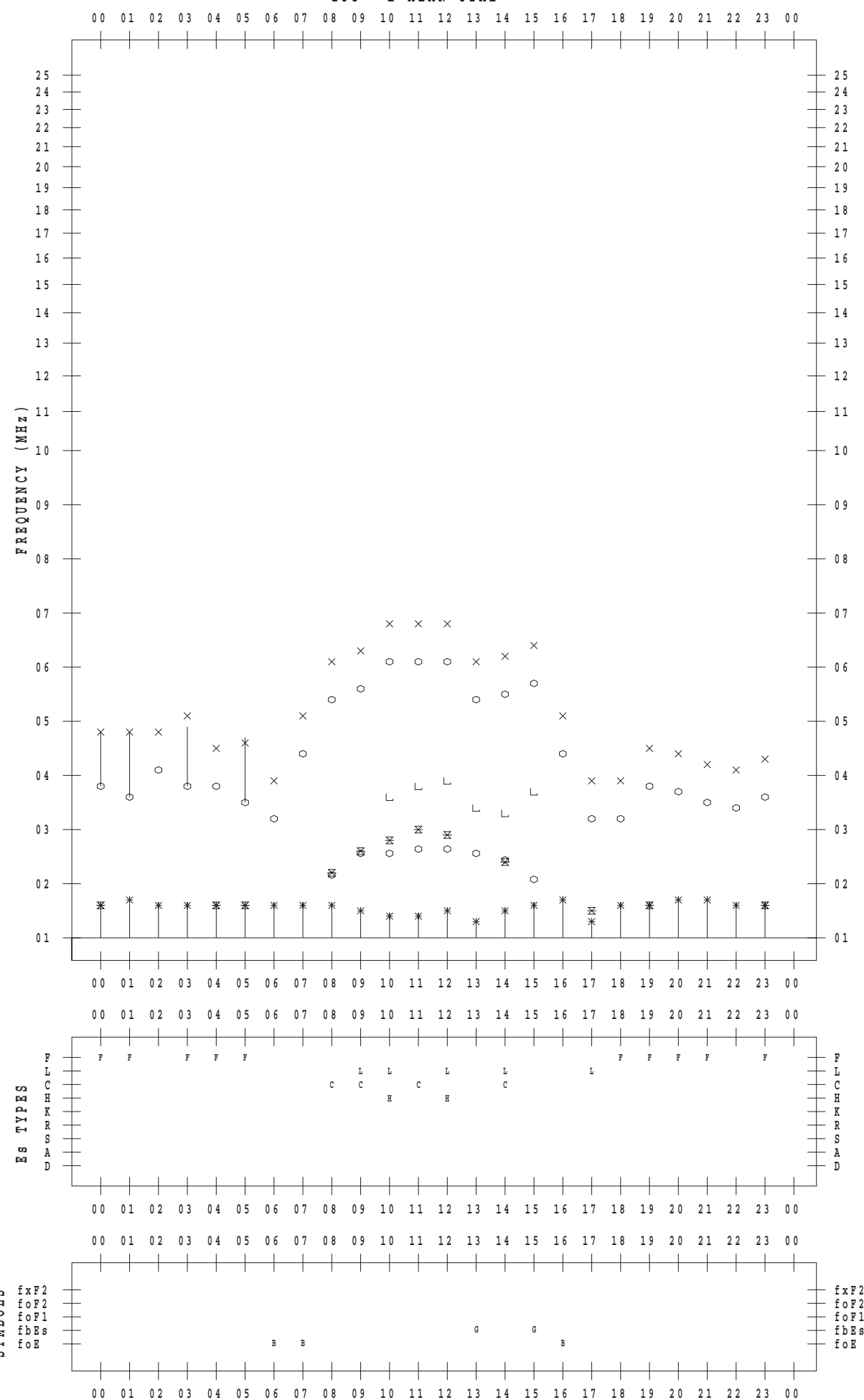
f - P L O T D A T A

SCALER : K.FUKUSHIMA

STATION : Wakkanai

DATE : 2017/11/27

135 ° E MEAN TIME



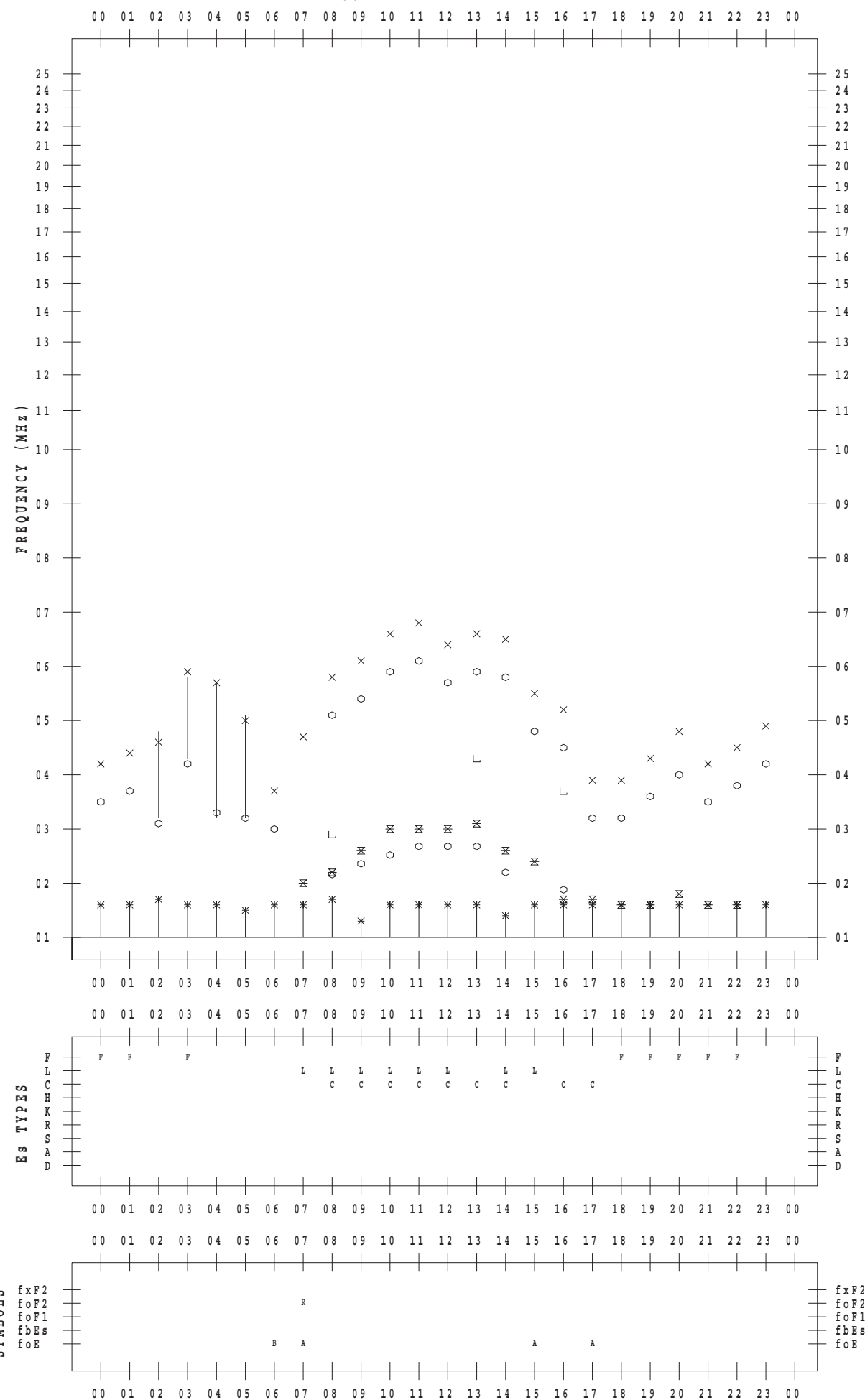
f - P L O T D A T A

SCALER : K.FUKUSHIMA

STATION : Wakkanai

DATE : 2017/11/28

135 °E MEAN TIME



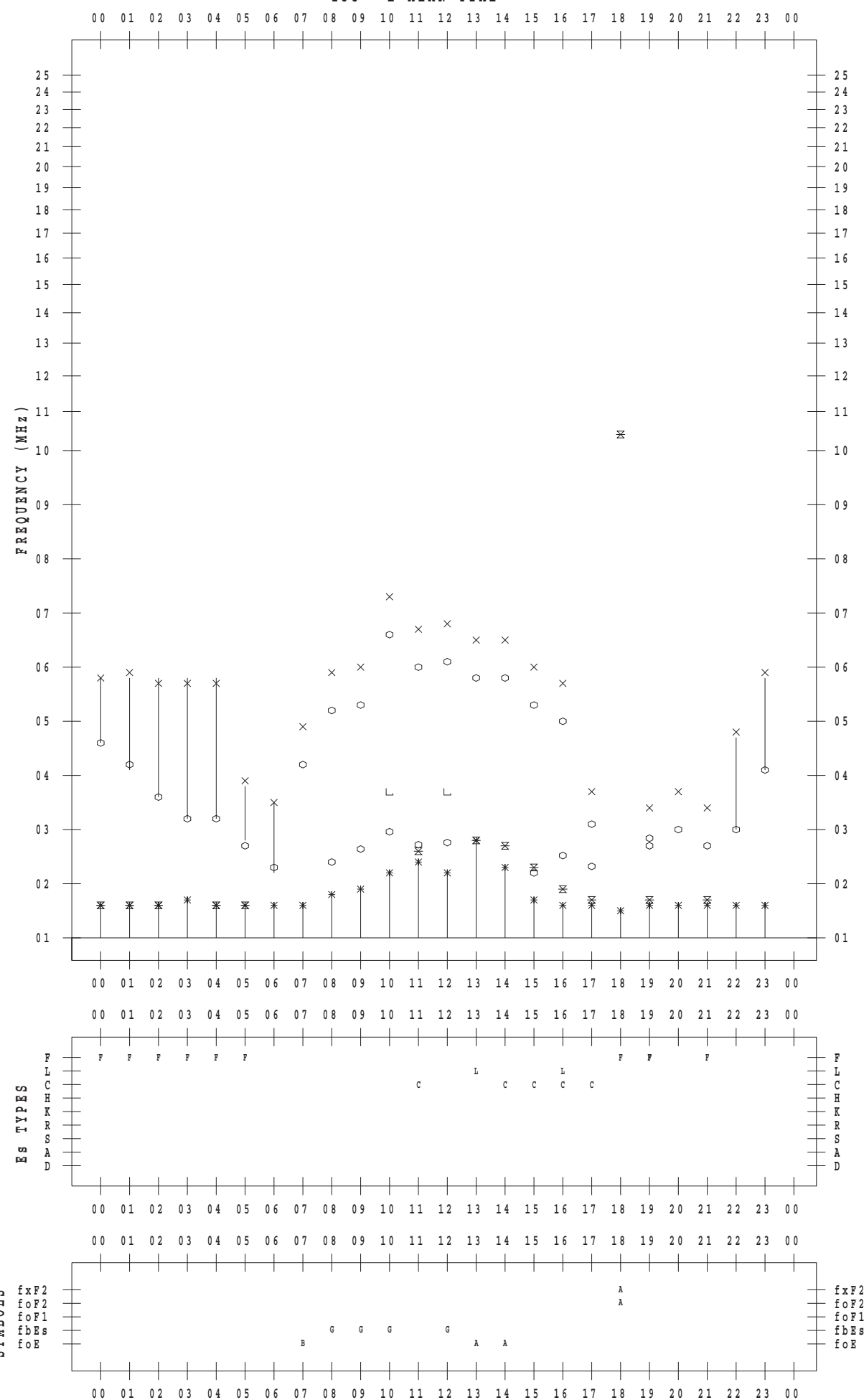
f - P L O T D A T A

SCALER : K.FUKUSHIMA

STATION : Wakkanai

DATE : 2017/11/29

135 ° E MEAN TIME



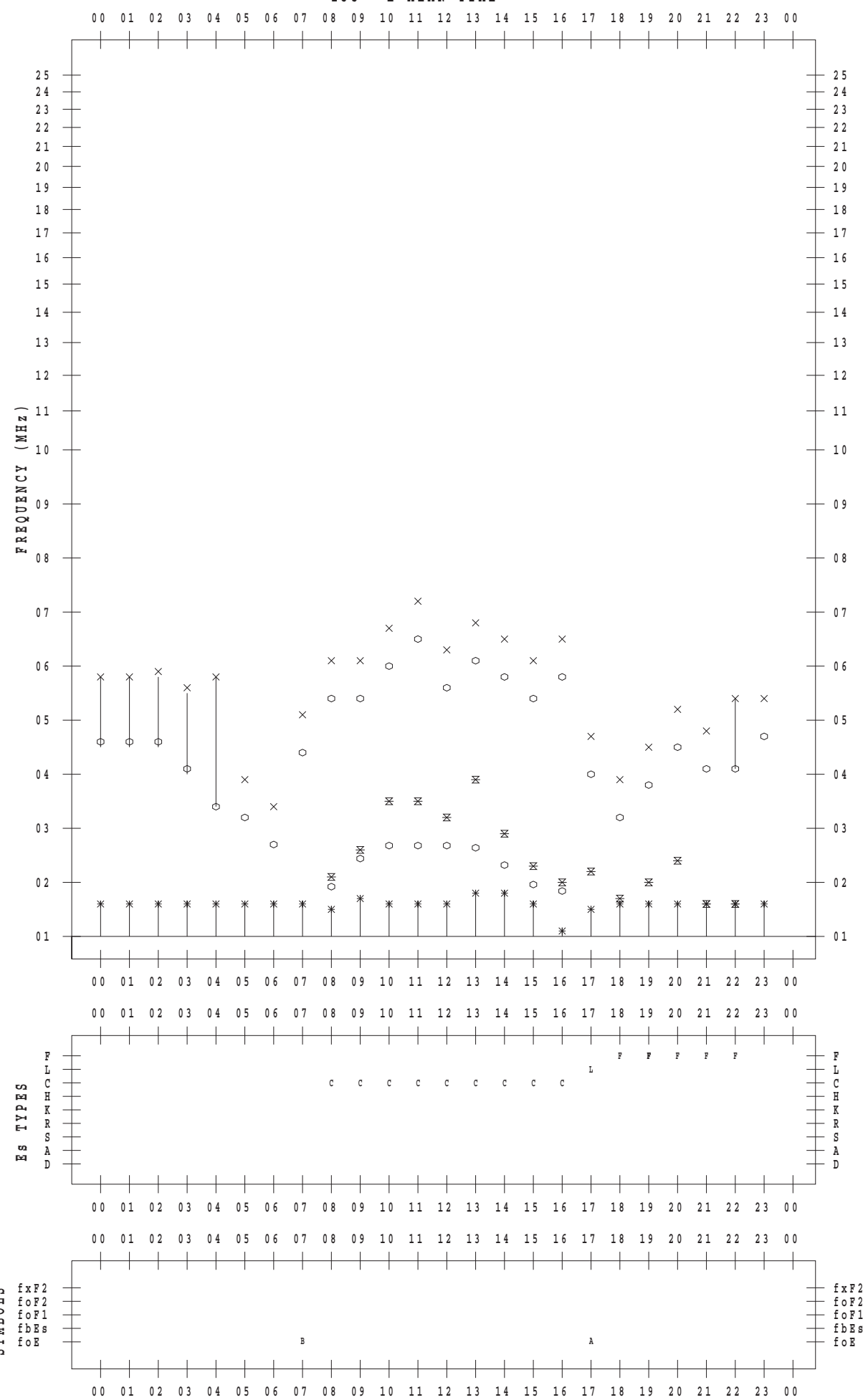
f - P L O T D A T A

SCALER : K.FUKUSHIMA

STATION : Wakkanai

DATE : 2017/11/30

135 ° E MEAN TIME



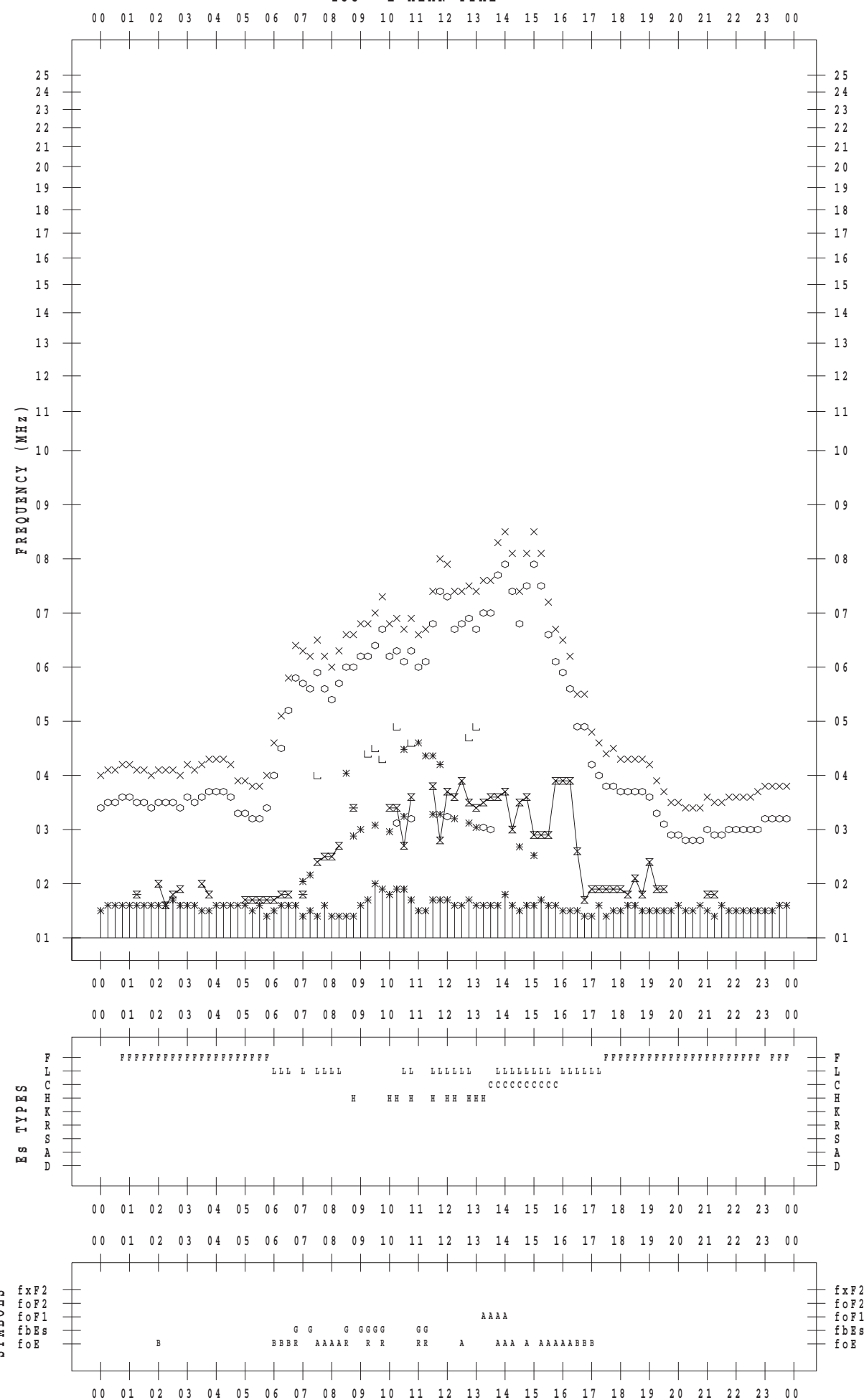
f - P L O T D A T A

SCALER : I.NISHIMUTA

STATION : Kokubunji

DATE : 2017/11/1

135 ° E MEAN TIME



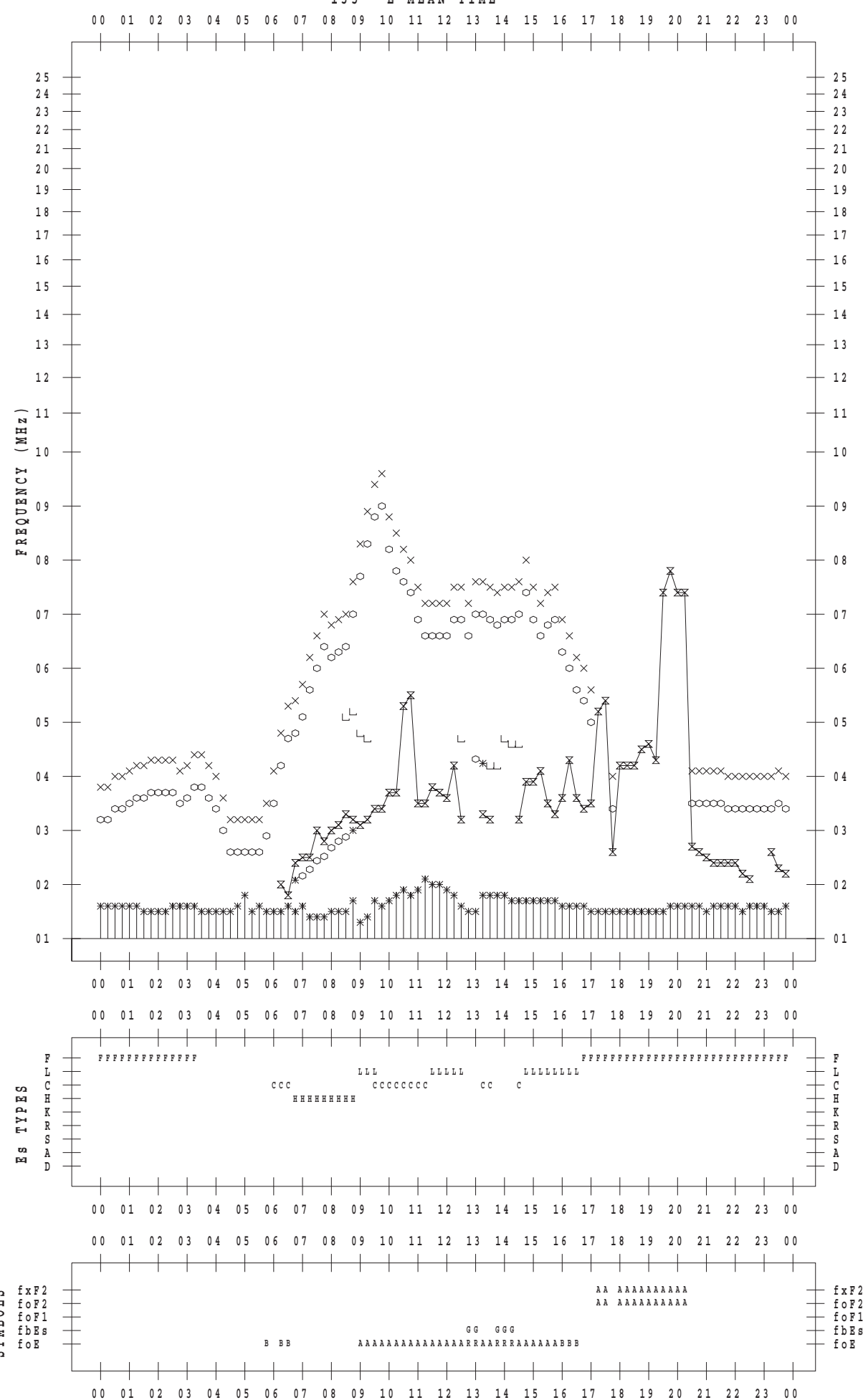
f - P L O T D A T A

SCALER : I.NISHIMUTA

STATION : Kokubunji

DATE : 2017/11/2

135 °E MEAN TIME



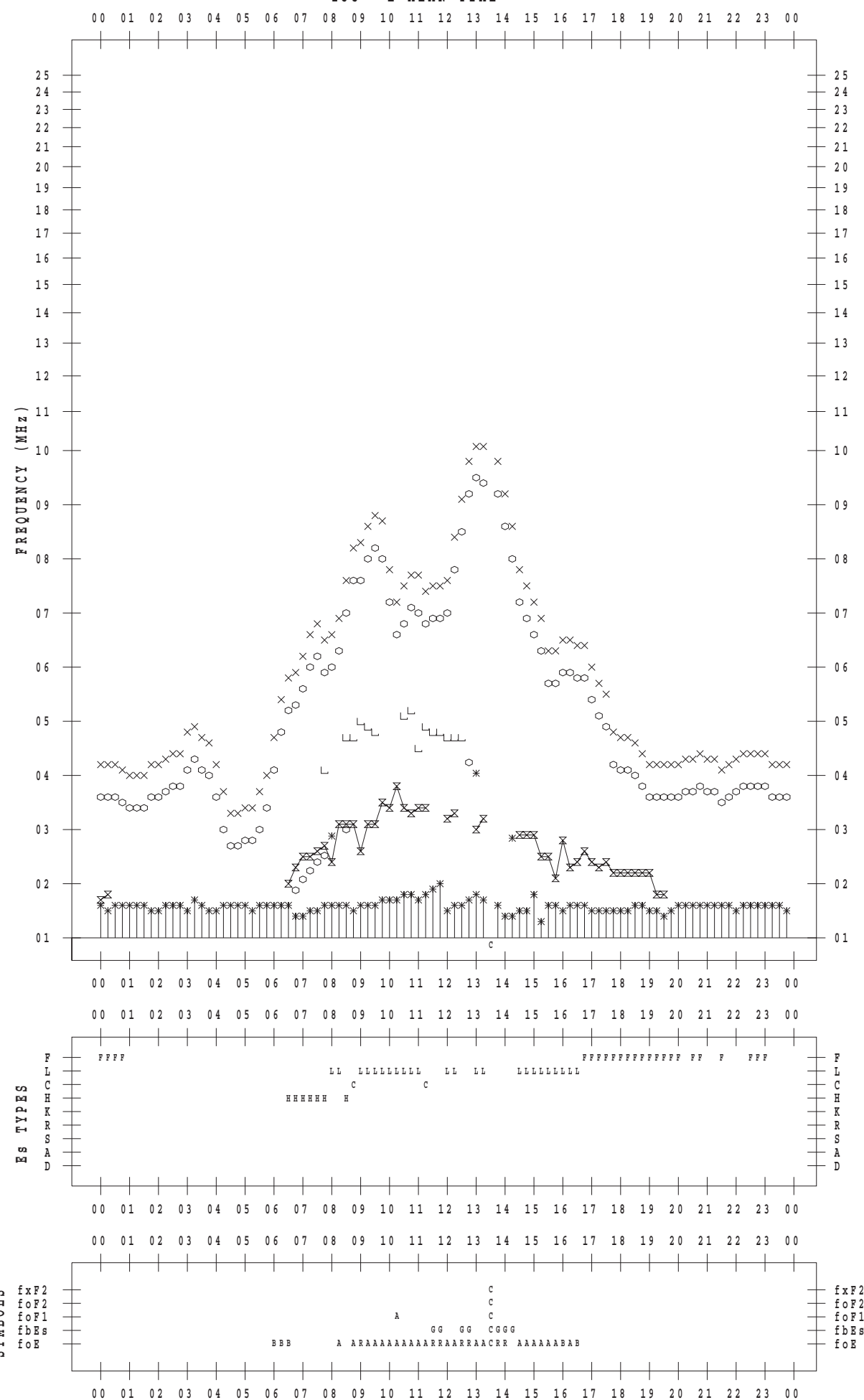
f - P L O T D A T A

SCALER : I.NISHIMUTA

STATION : Kokubunji

DATE : 2017/11/3

135 ° E MEAN TIME



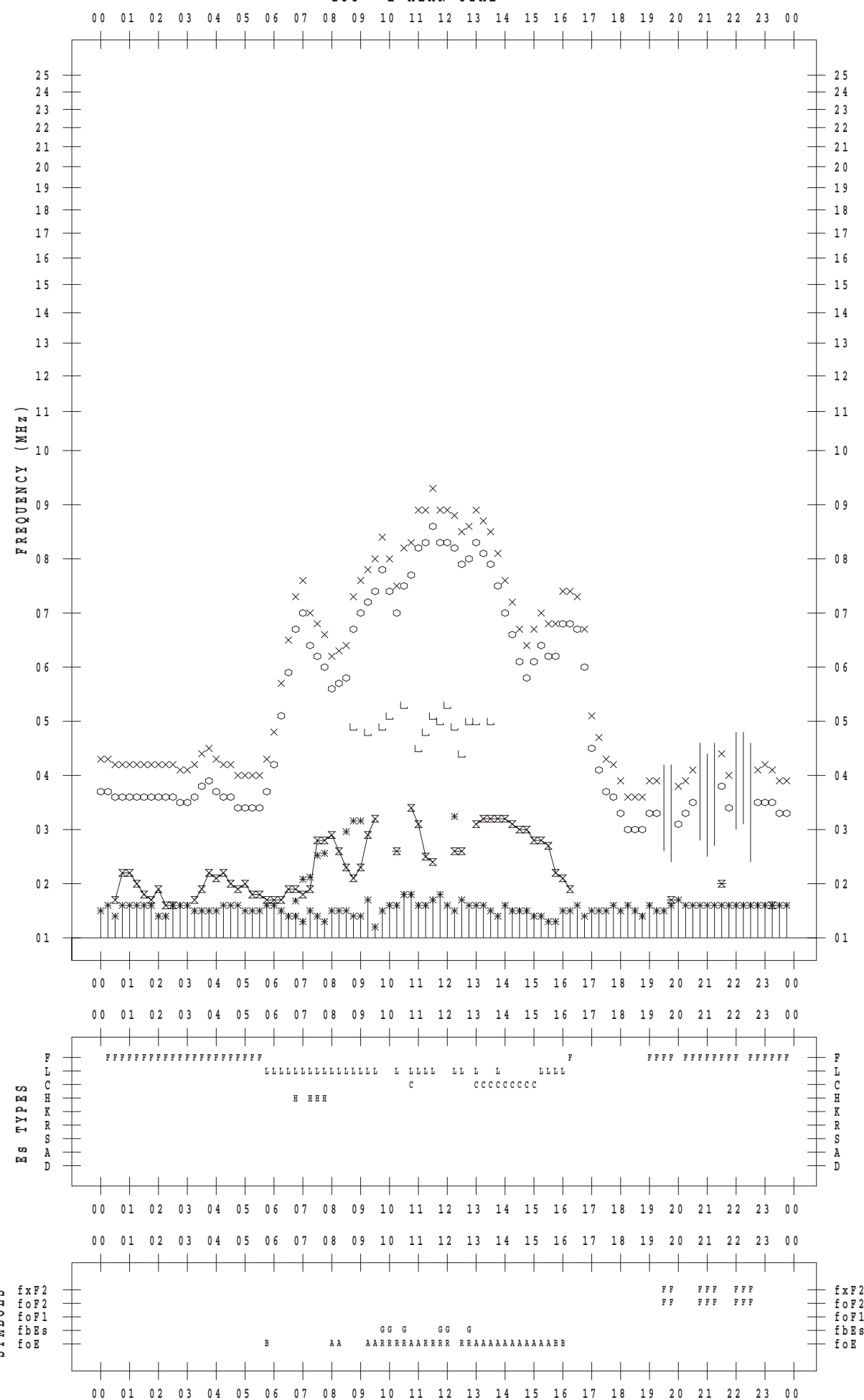
f - P L O T D A T A

SCALER : I.NISHIMUTA

STATION : Kokubunji

DATE : 2017/11/4

135 ° E MEAN TIME



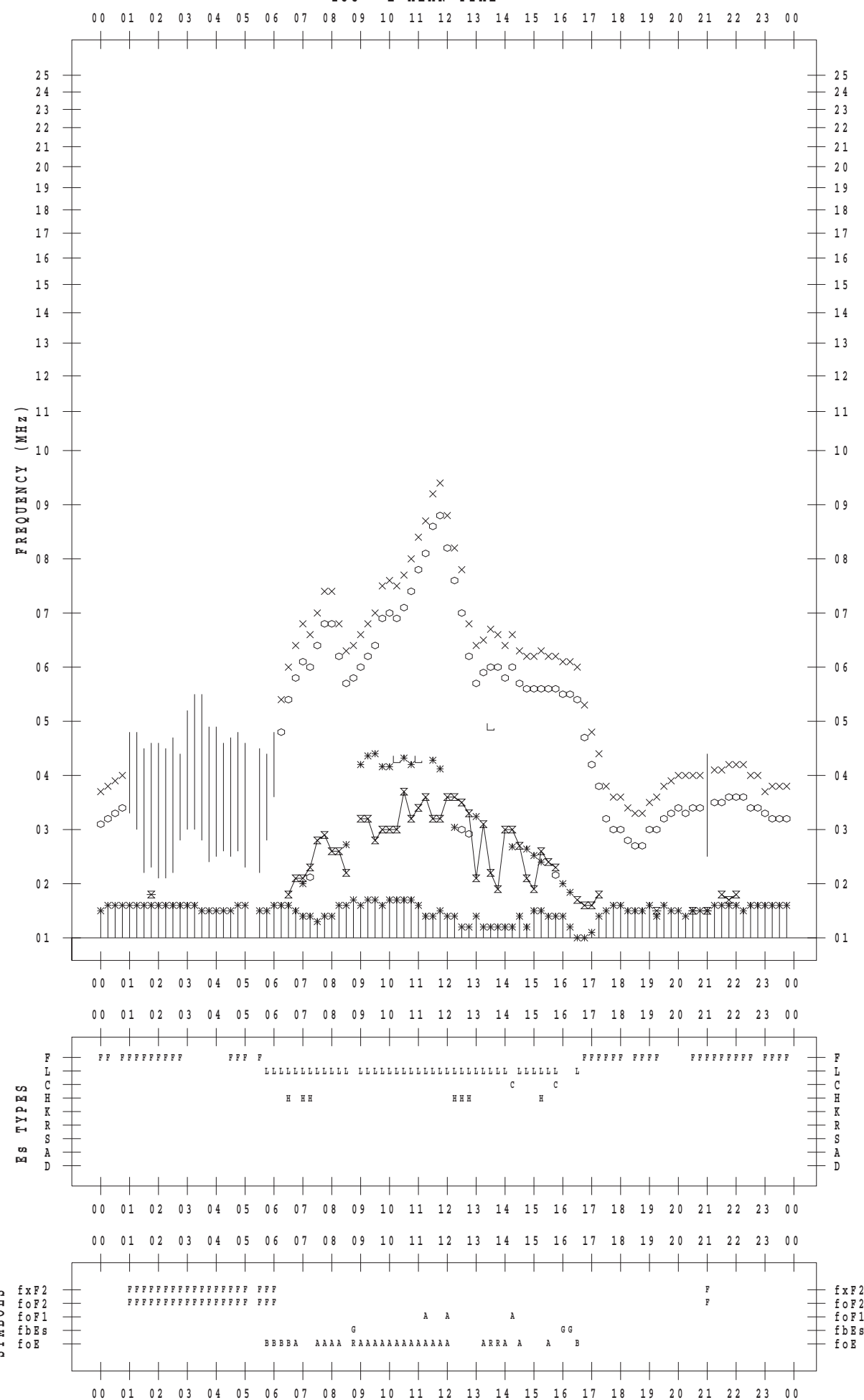
f - P L O T D A T A

SCALER : I.NISHIMUTA

STATION : Kokubunji

DATE : 2017/11/5

135 ° E MEAN TIME



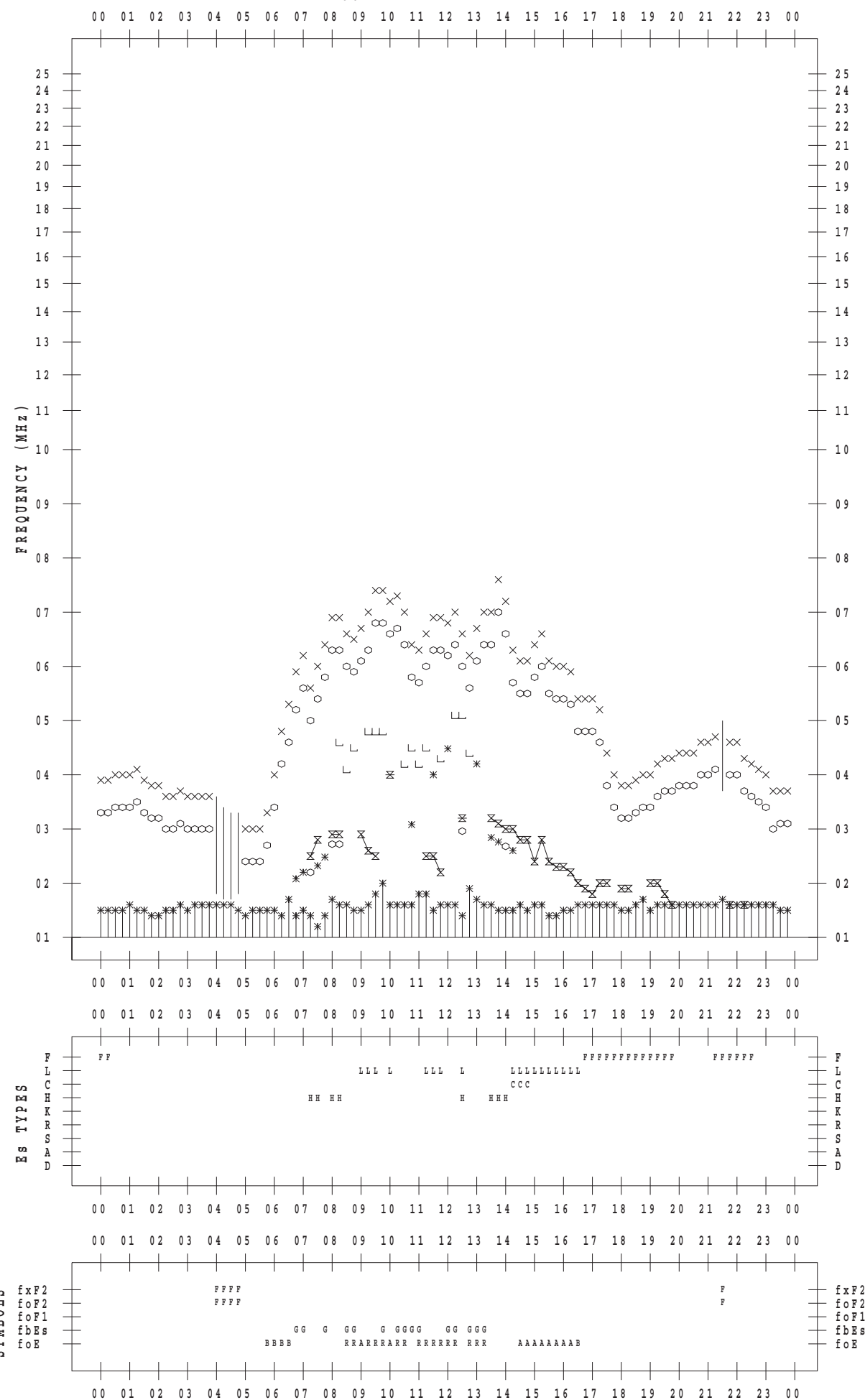
f - P L O T D A T A

SCALER : I.NISHIMUTA

STATION : Kokubunji

DATE : 2017/11/6

135 ° E MEAN TIME



f - P L O T D A T A

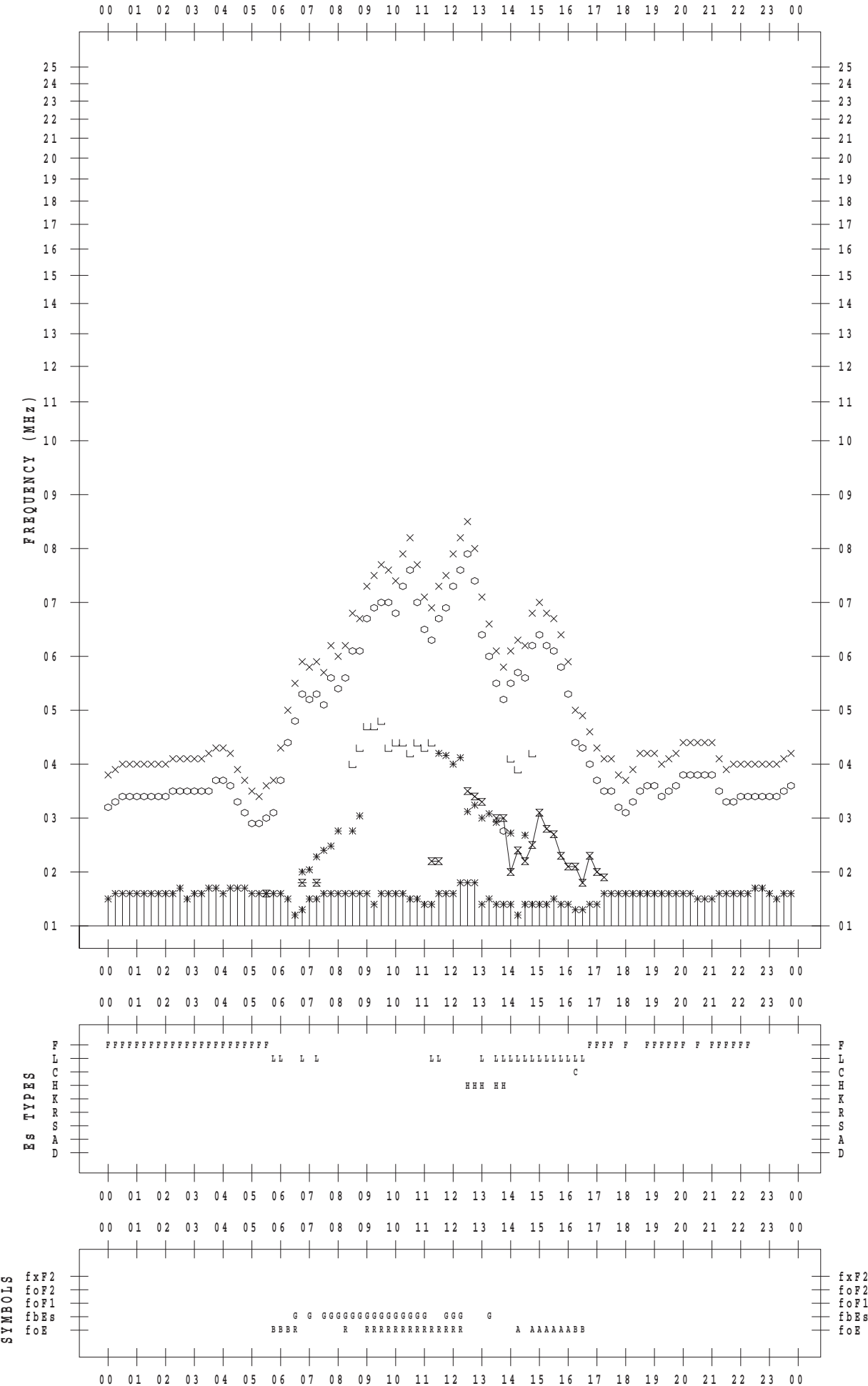
SCALER : I.NISHIMUTA

STATION : Kokubunji

DATE : 2017 / 11 / 7

135 ° E MEAN TIME

DATE : 2017 / 11 / 7



f - P L O T D A T A

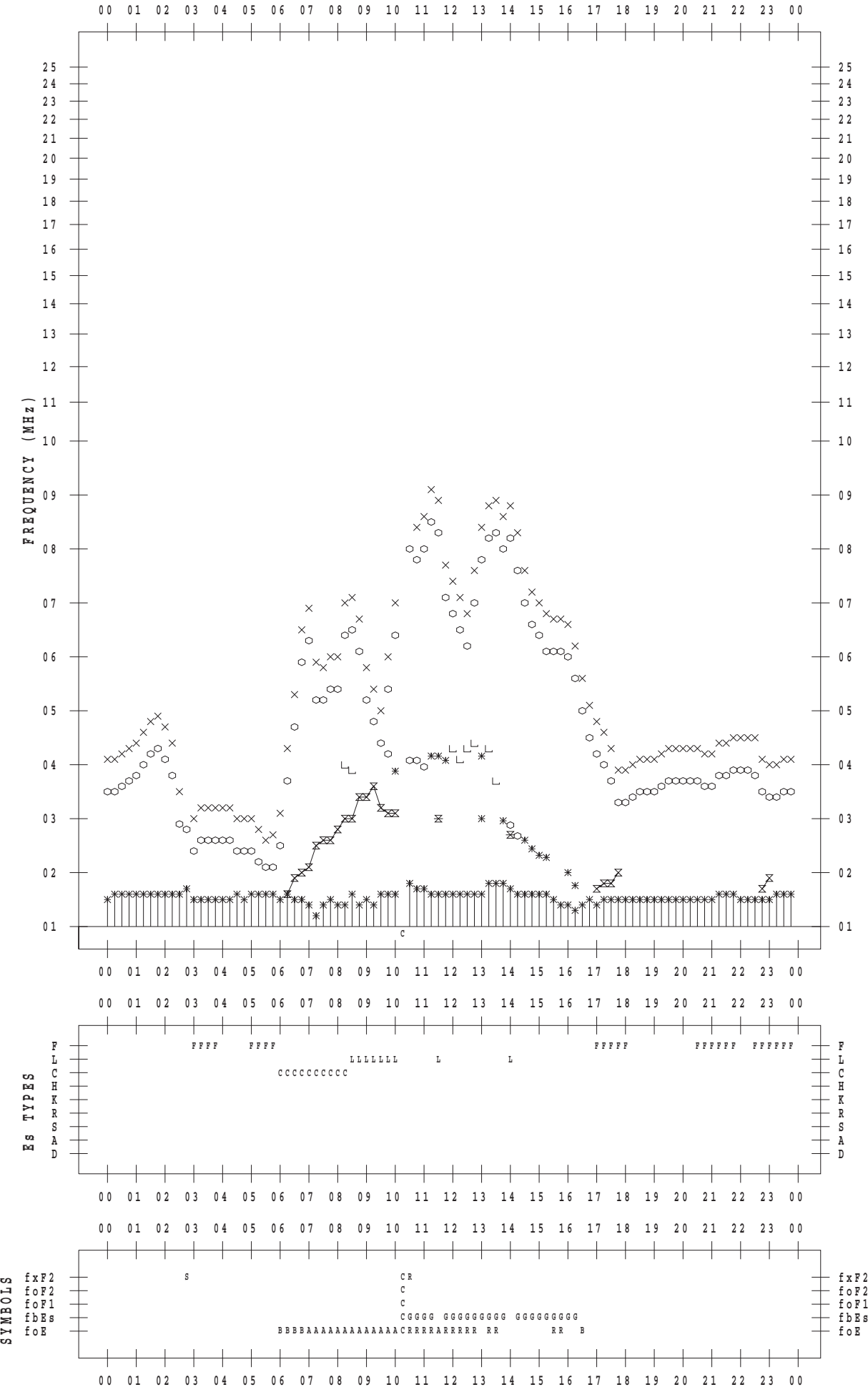
SCALER : I.NISHIMUTA

STATION : Kokubunji

DATE : 2017 / 11 / 8

135 ° E MEAN TIME

DATE : 2017 / 11 / 8



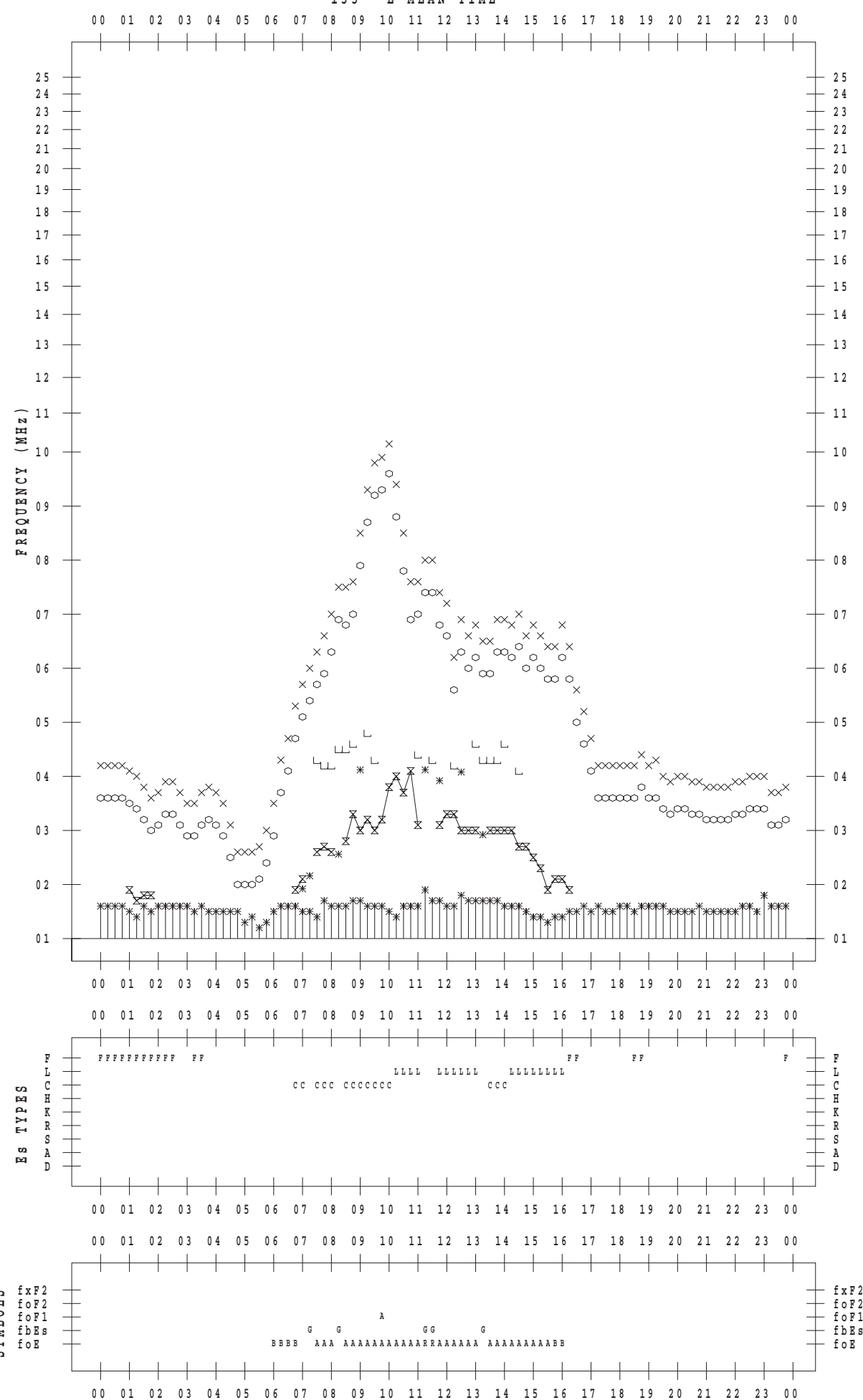
f - P L O T D A T A

SCALER : I.NISHIMUTA

STATION : Kokubunji

DATE : 2017/11/9

135 °E MEAN TIME



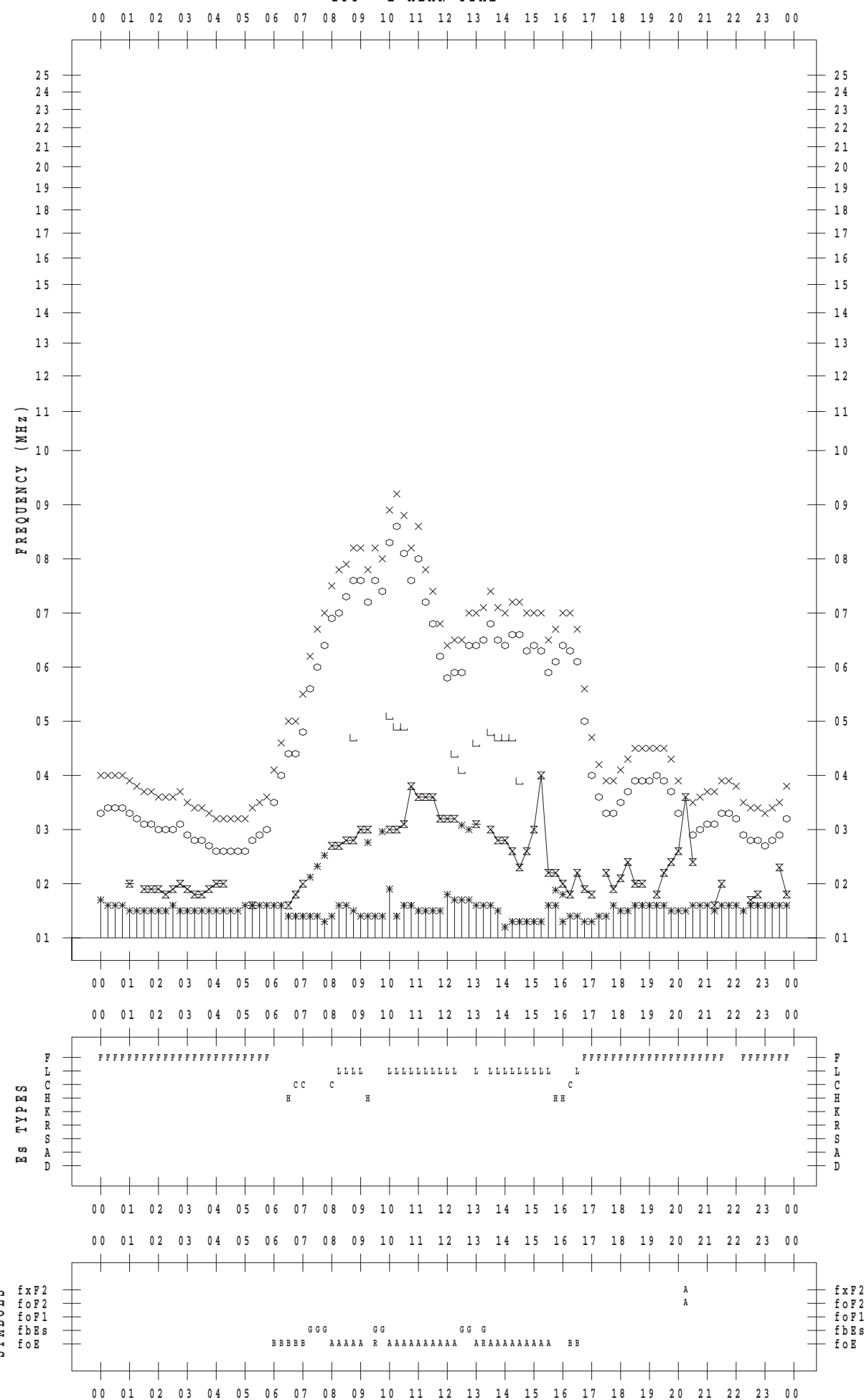
f - P L O T D A T A

SCALER : I.NISHIMUTA

STATION : Kokubunji

DATE : 2017/11/10

135 ° E MEAN TIME



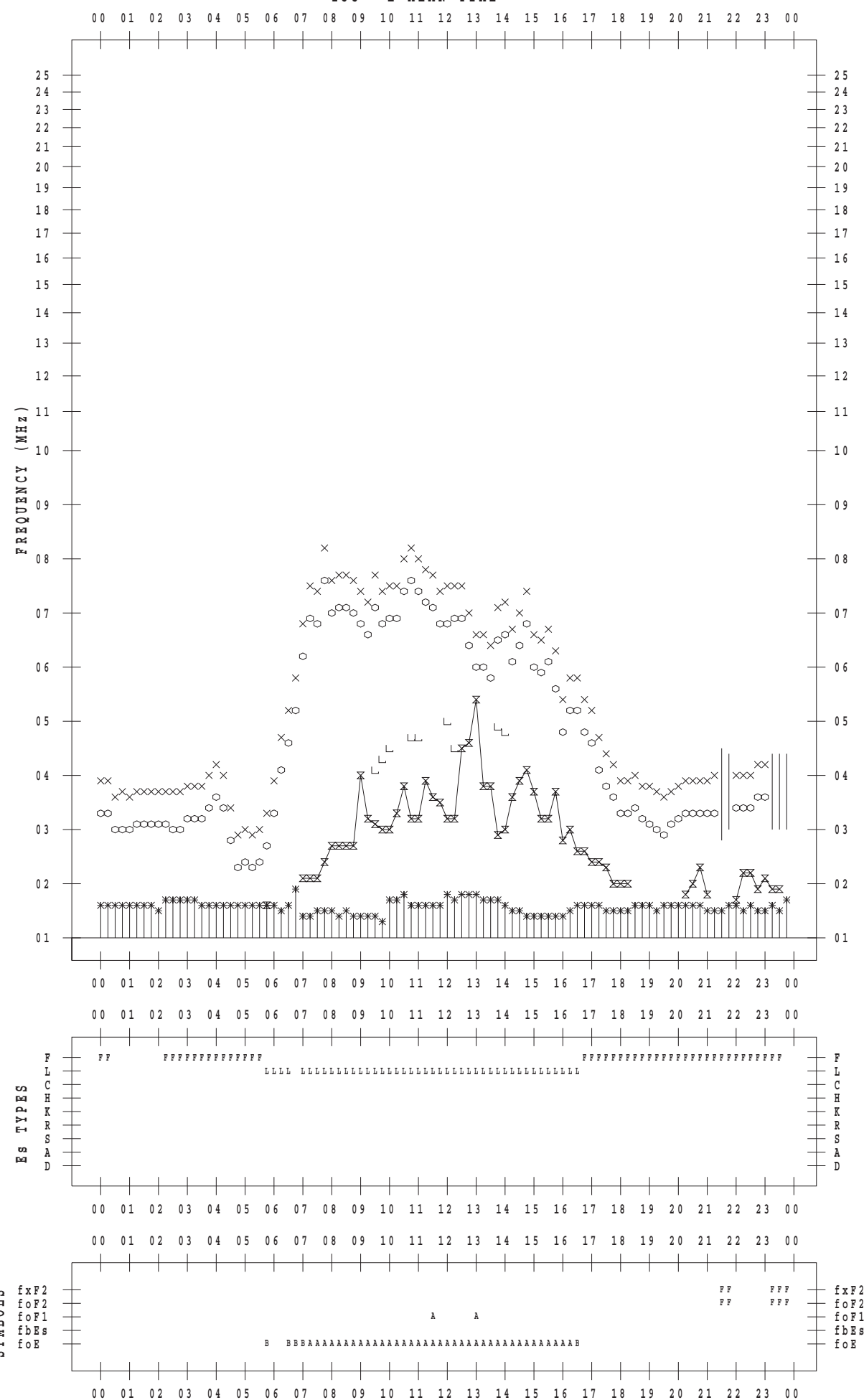
f - P L O T D A T A

SCALER : I.NISHIMUTA

STATION : Kokubunji

DATE : 2017/11/11

135 ° E MEAN TIME



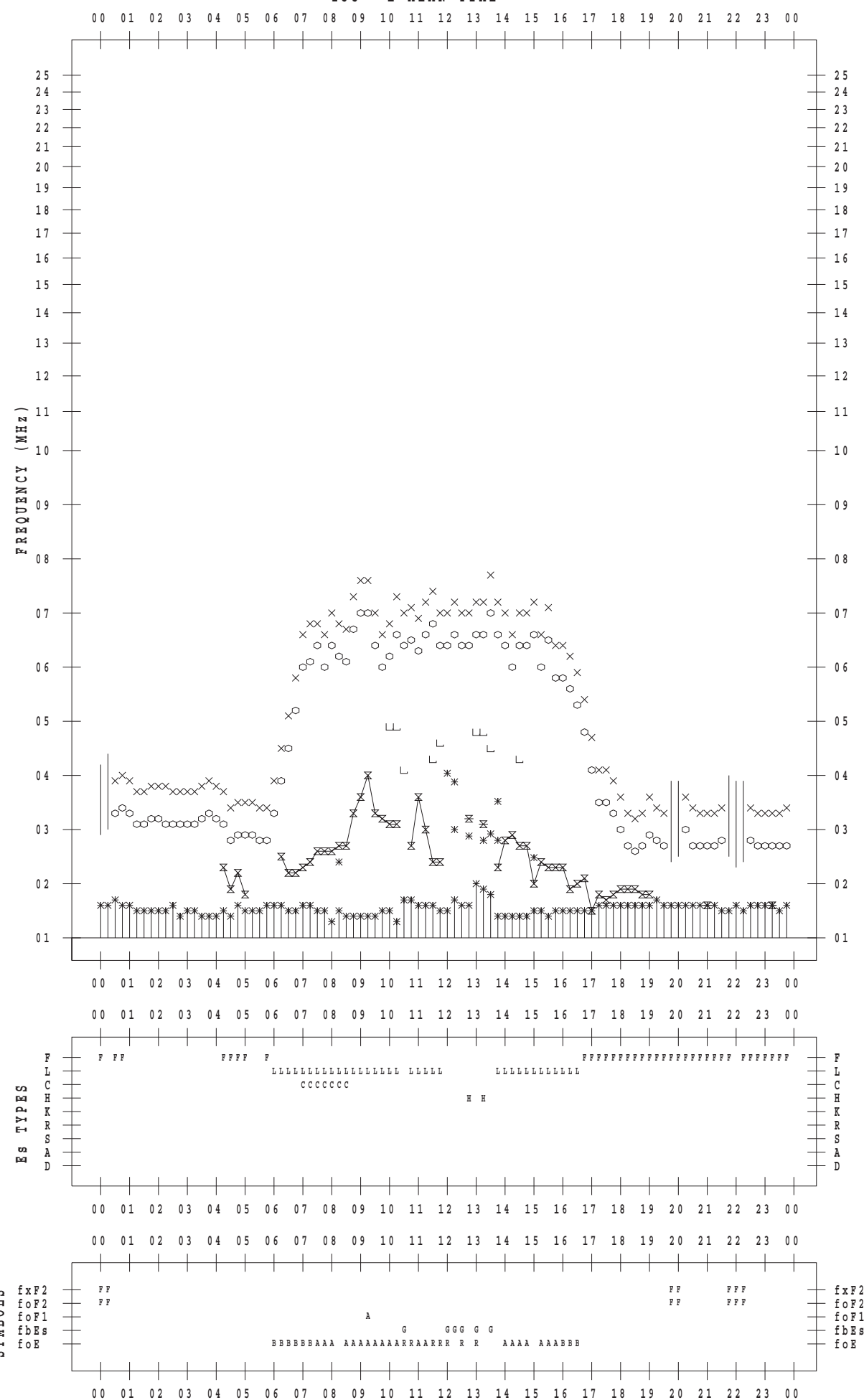
f - P L O T D A T A

SCALER : I.NISHIMUTA

STATION : Kokubunji

DATE : 2017/11/12

135 ° E MEAN TIME



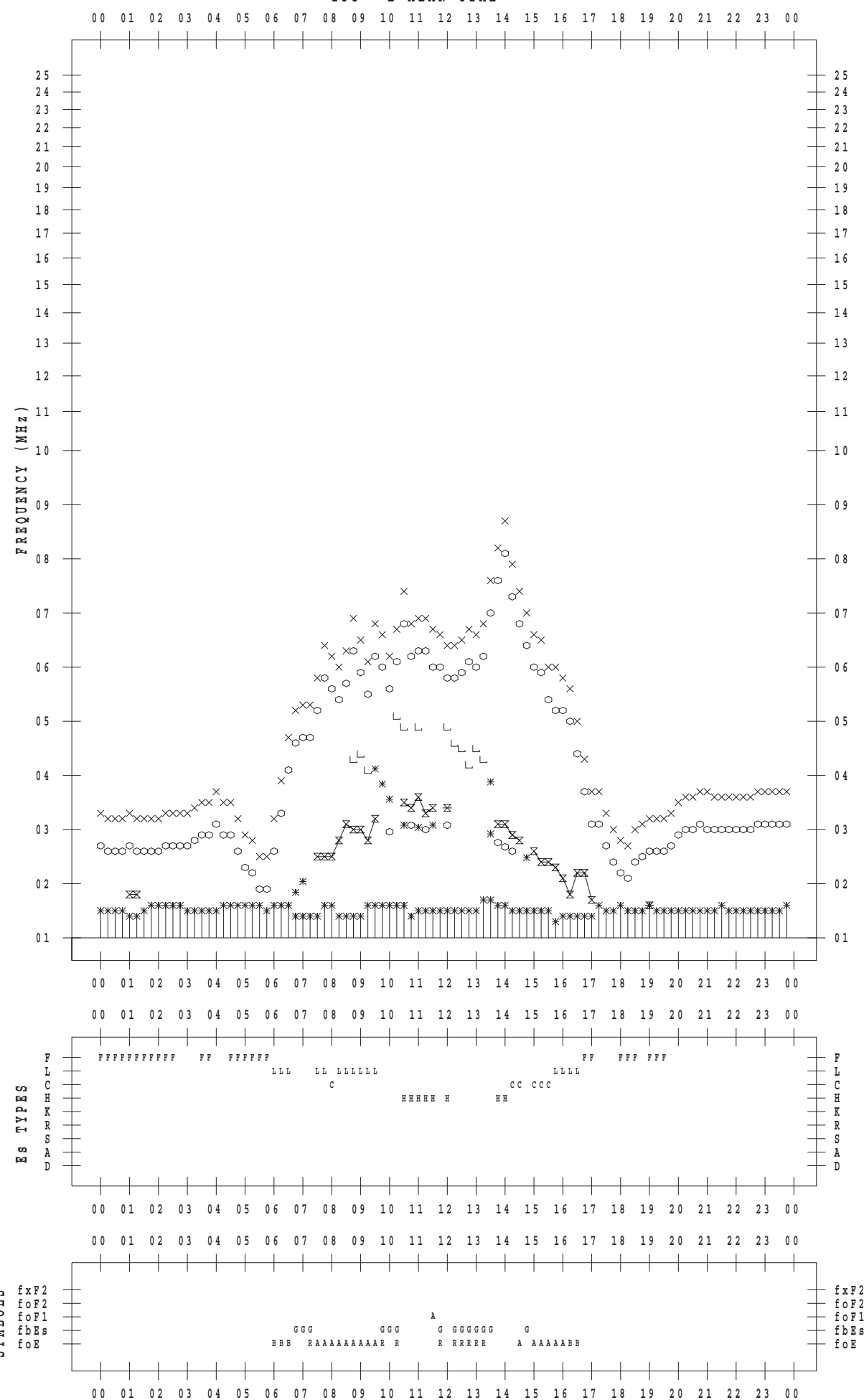
f - P L O T D A T A

SCALER : I.NISHIMUTA

STATION : Kokubunji

DATE : 2017/11/13

135 ° E MEAN TIME



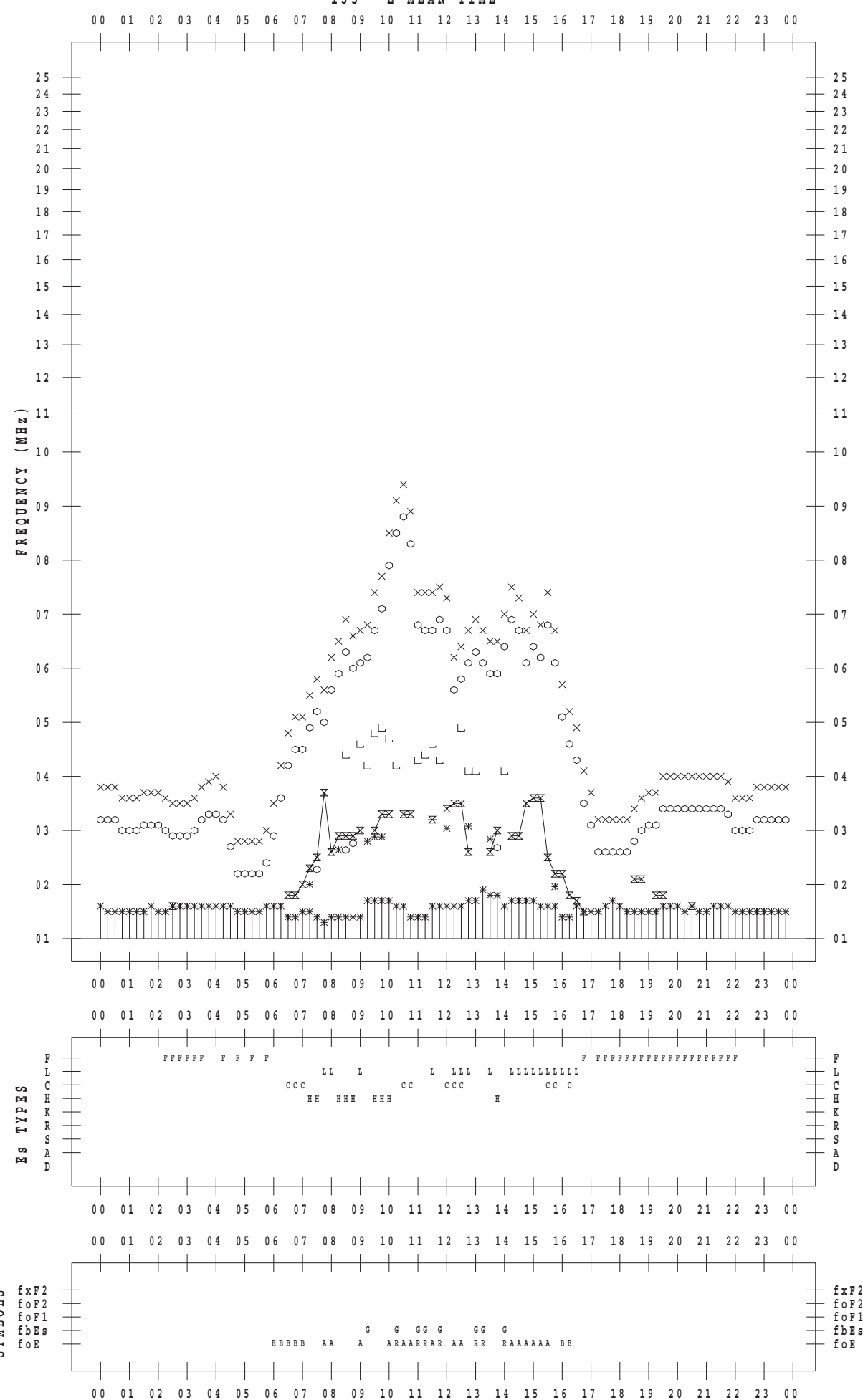
f - P L O T D A T A

SCALER : I.NISHIMUTA

STATION : Kokubunji

DATE : 2017/11/14

135 ° E MEAN TIME



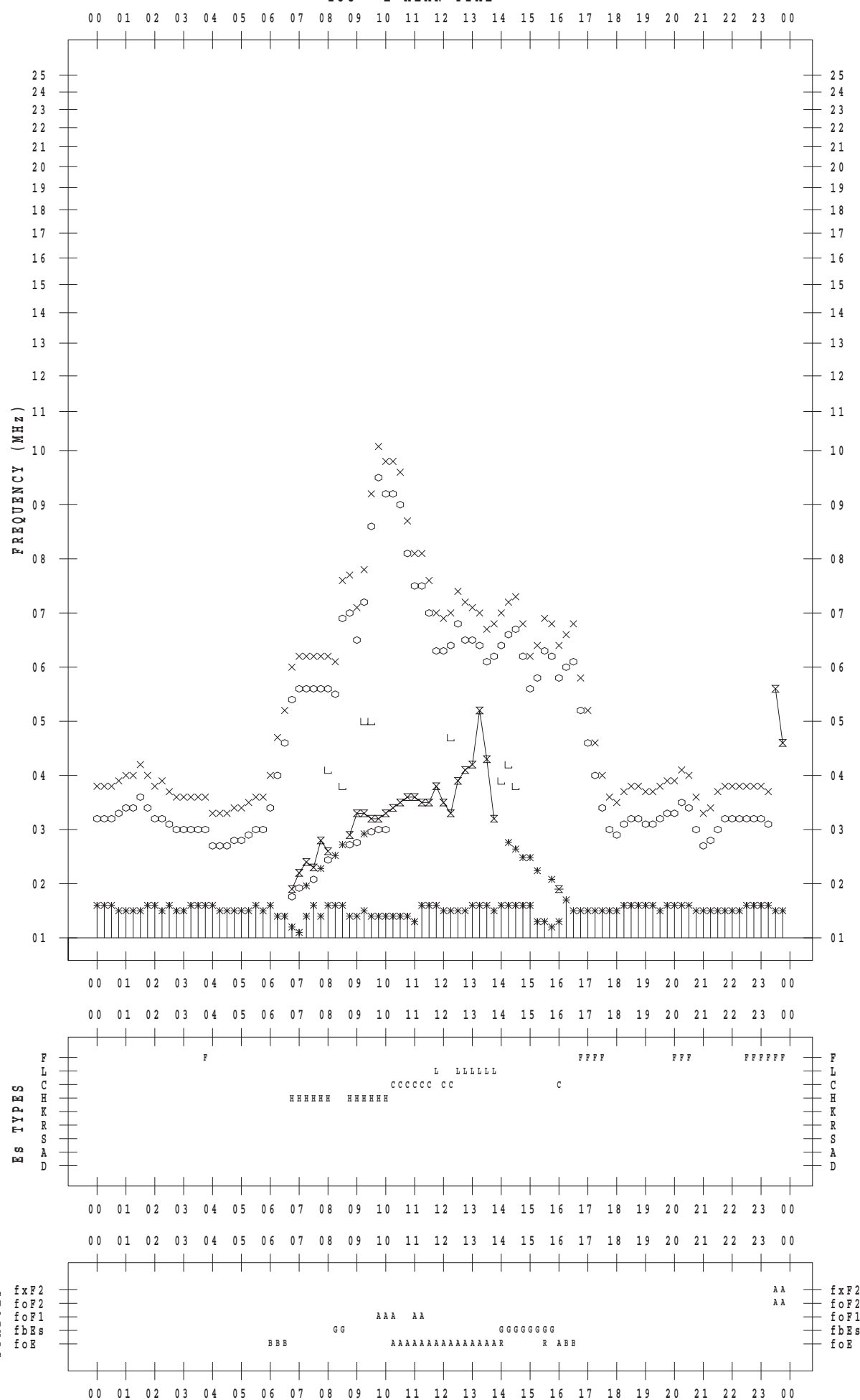
f - P L O T D A T A

SCALER : I.NISHIMUTA

STATION : Kokubunji

DATE : 2017/11/15

135 ° E MEAN TIME



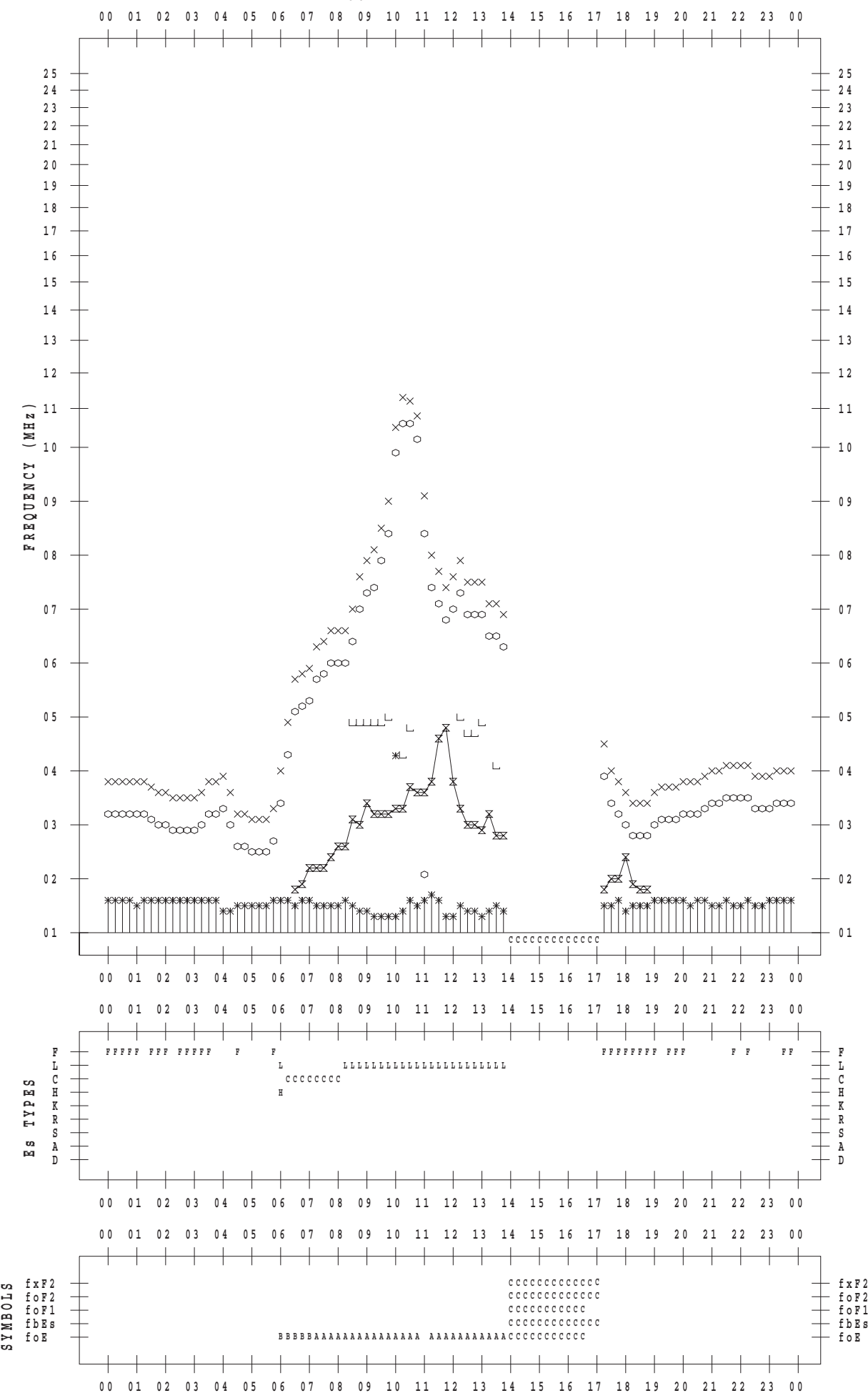
f - P L O T D A T A

SCALER : I.NISHIMUTA

STATION : Kokubunji

DATE : 2017/11/16

135 ° E MEAN TIME



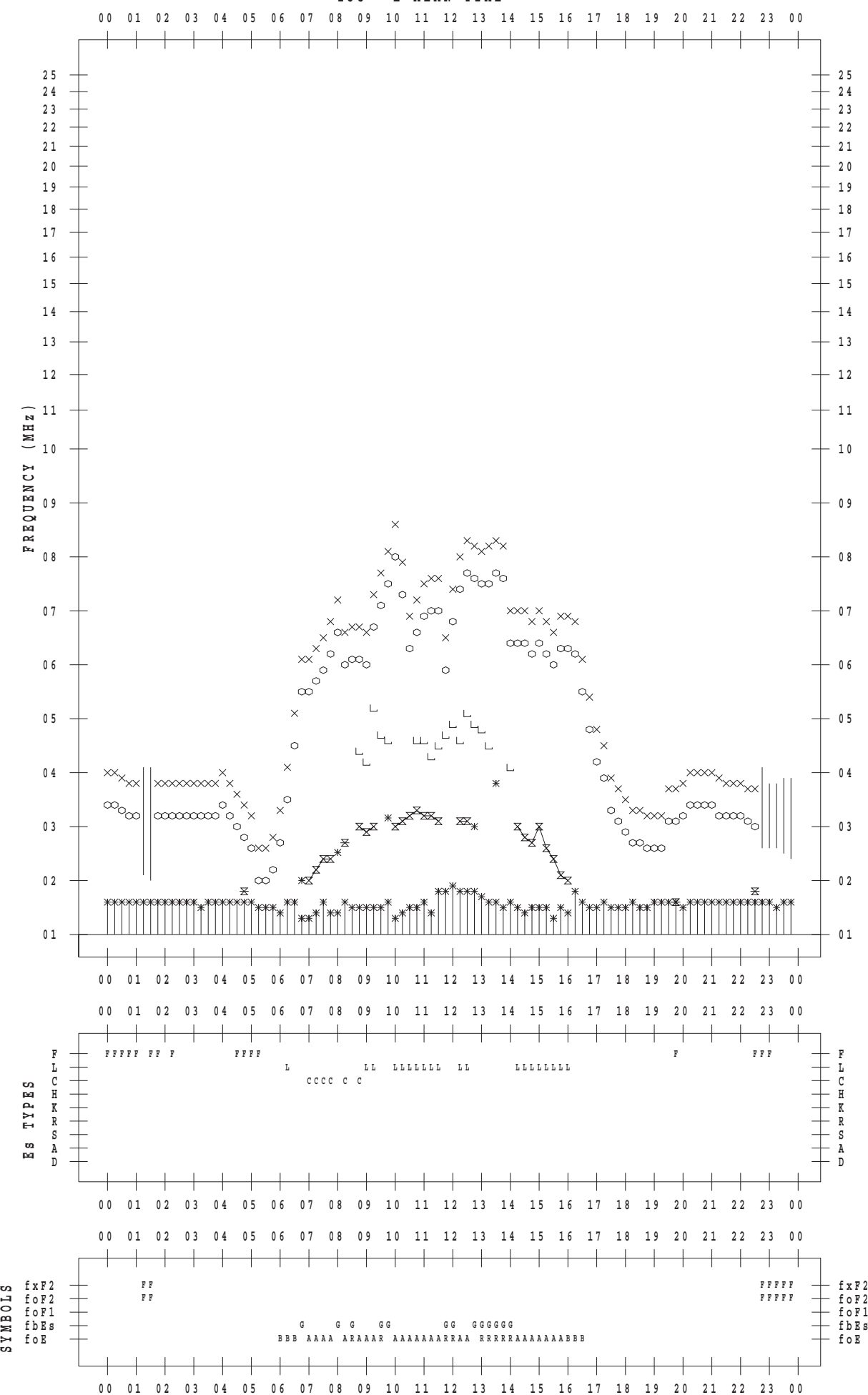
f - P L O T D A T A

SCALER : I.NISHIMUTA

STATION : Kokubunji

DATE : 2017/11/17

135 ° E MEAN TIME



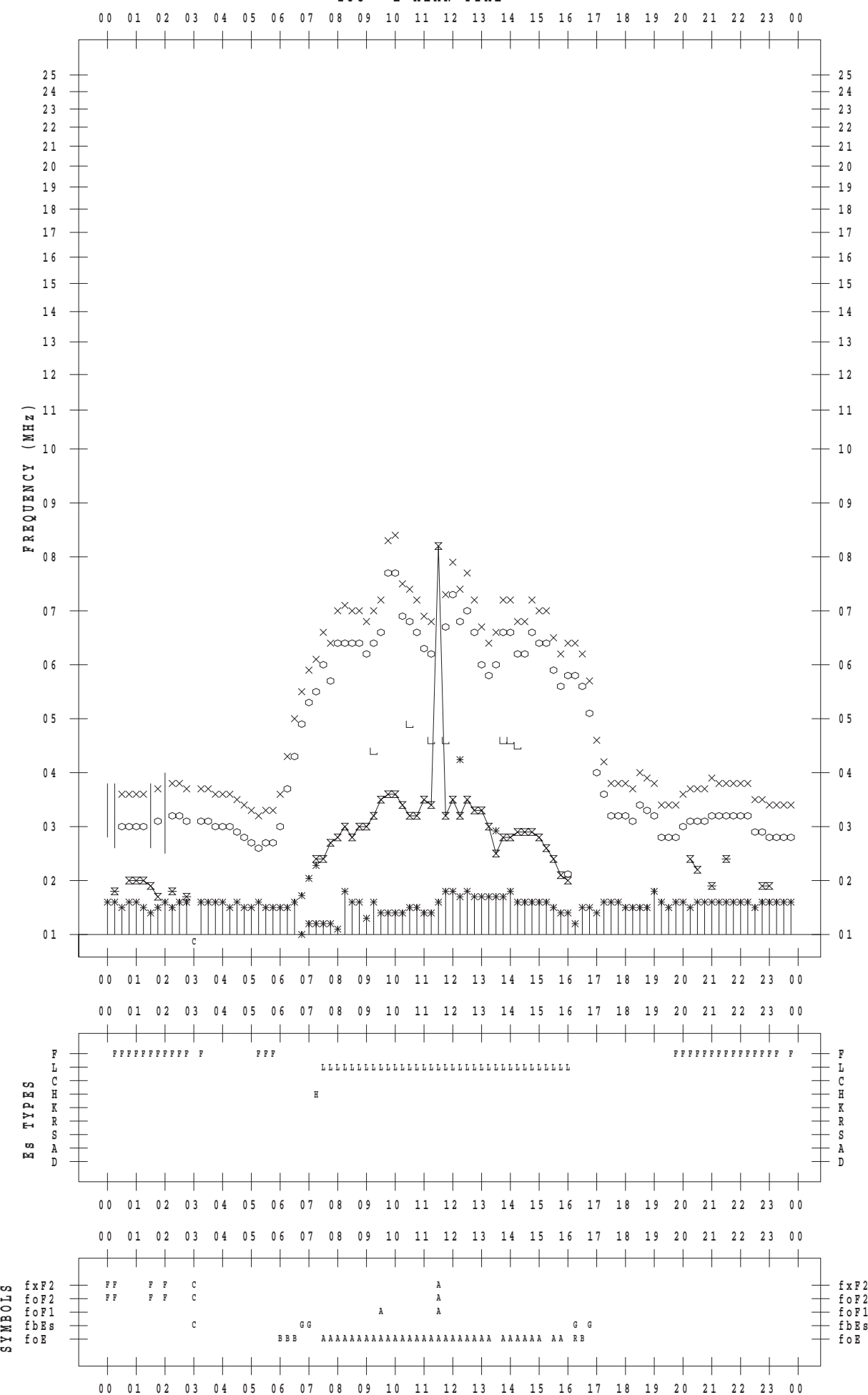
f - P L O T D A T A

SCALER : I.NISHIMUTA

STATION : Kokubunji

DATE : 2017/11/18

135 ° E MEAN TIME



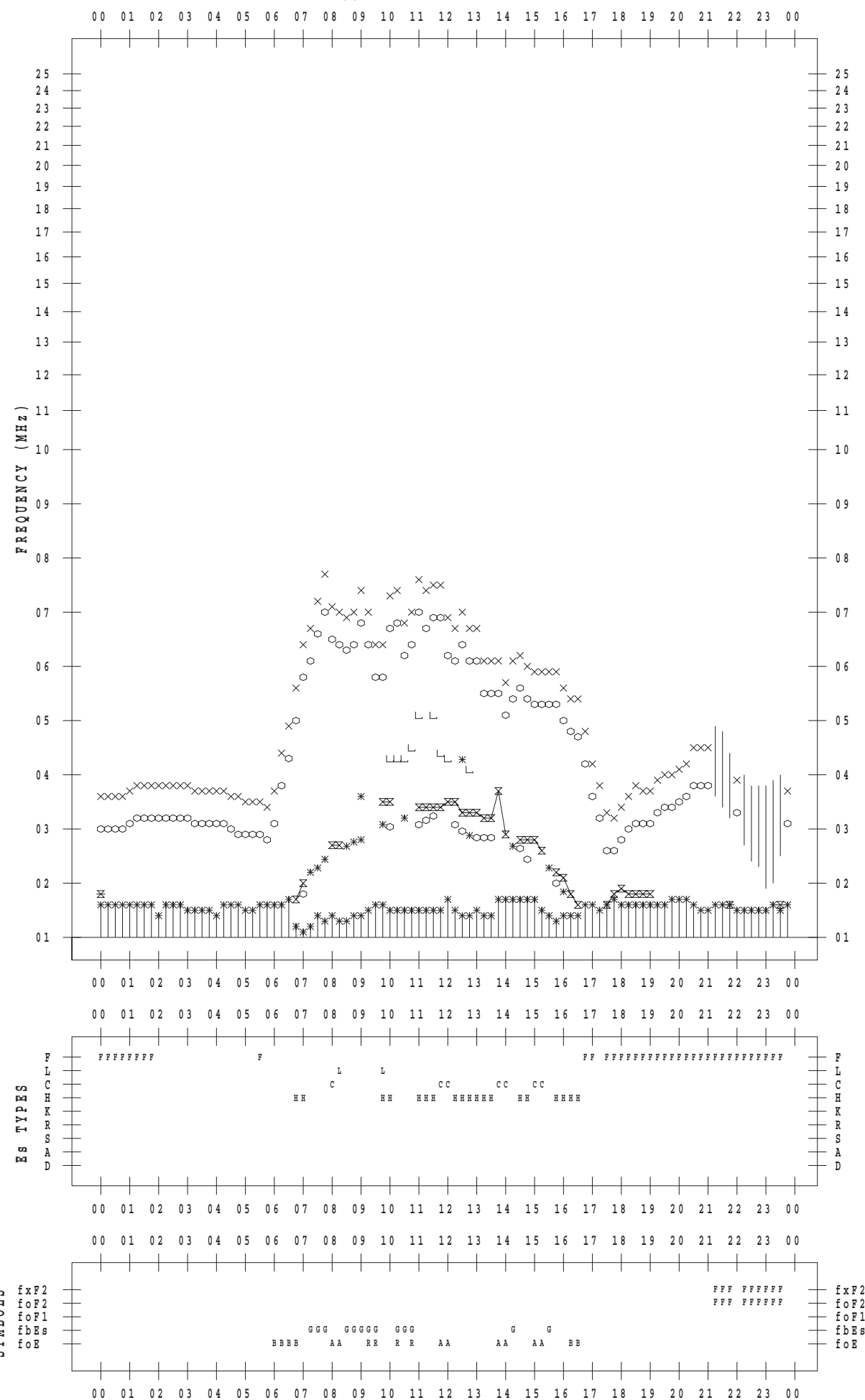
f - P L O T D A T A

SCALER : I.NISHIMUTA

STATION : Kokubunji

DATE : 2017/11/19

135 ° E MEAN TIME



f - P L O T D A T A

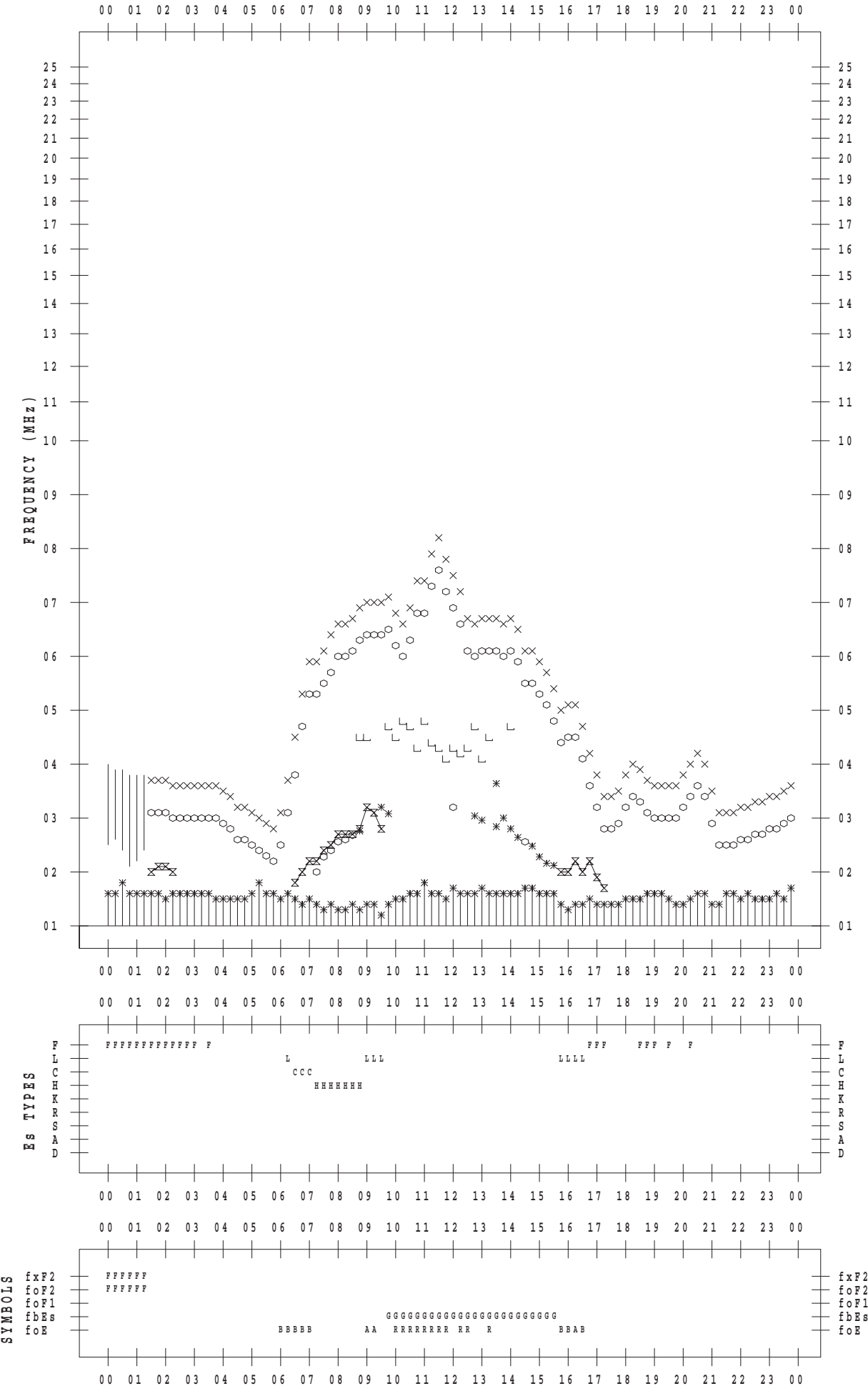
SCALER : I.NISHIMUTA

STATION : Kokubunji

DATE : 2017 / 11 / 20

135 ° E MEAN TIME

DATE : 2017 / 11 / 20



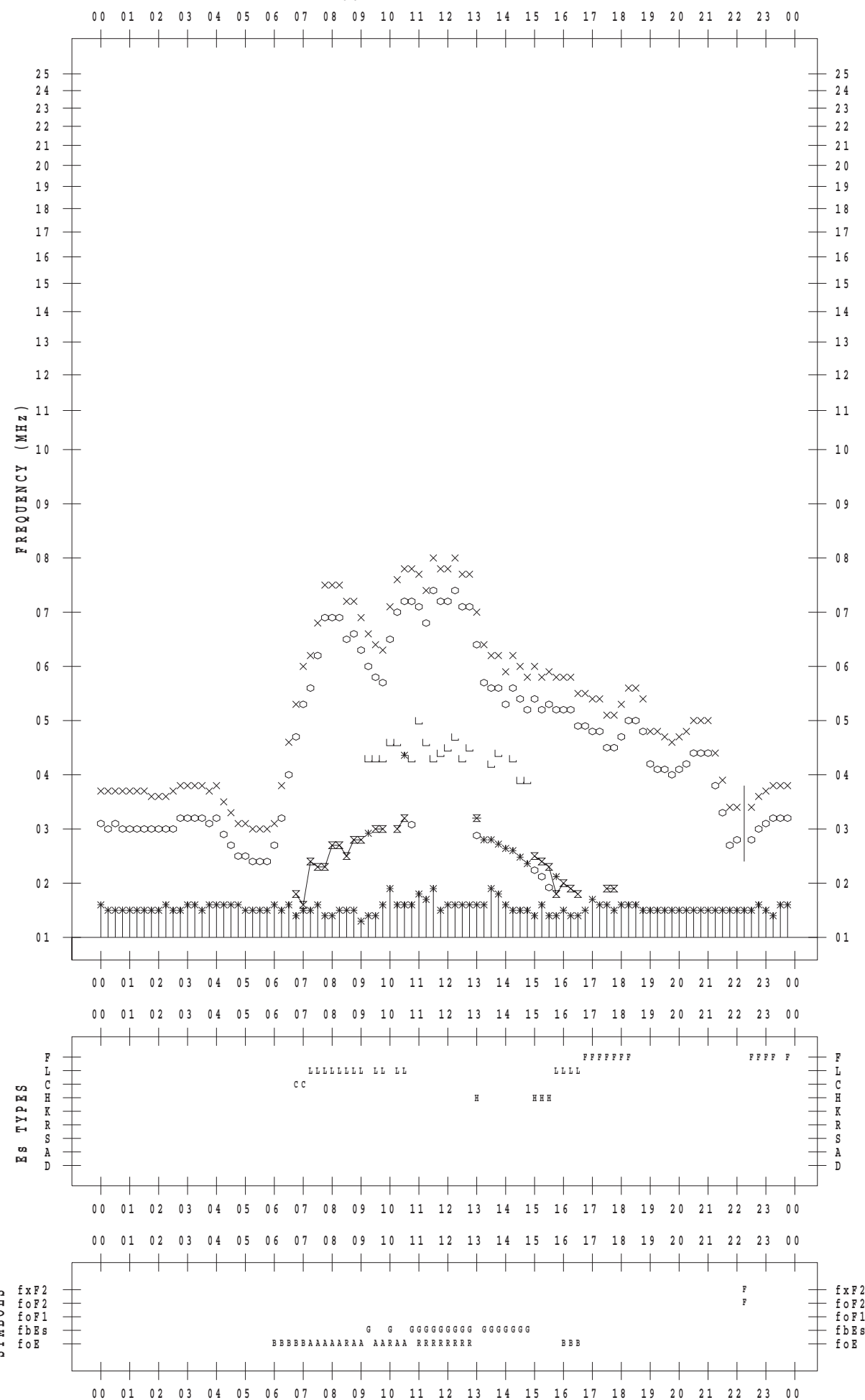
f - P L O T D A T A

SCALER : I.NISHIMUTA

STATION : Kokubunji

DATE : 2017/11/21

135 ° E MEAN TIME



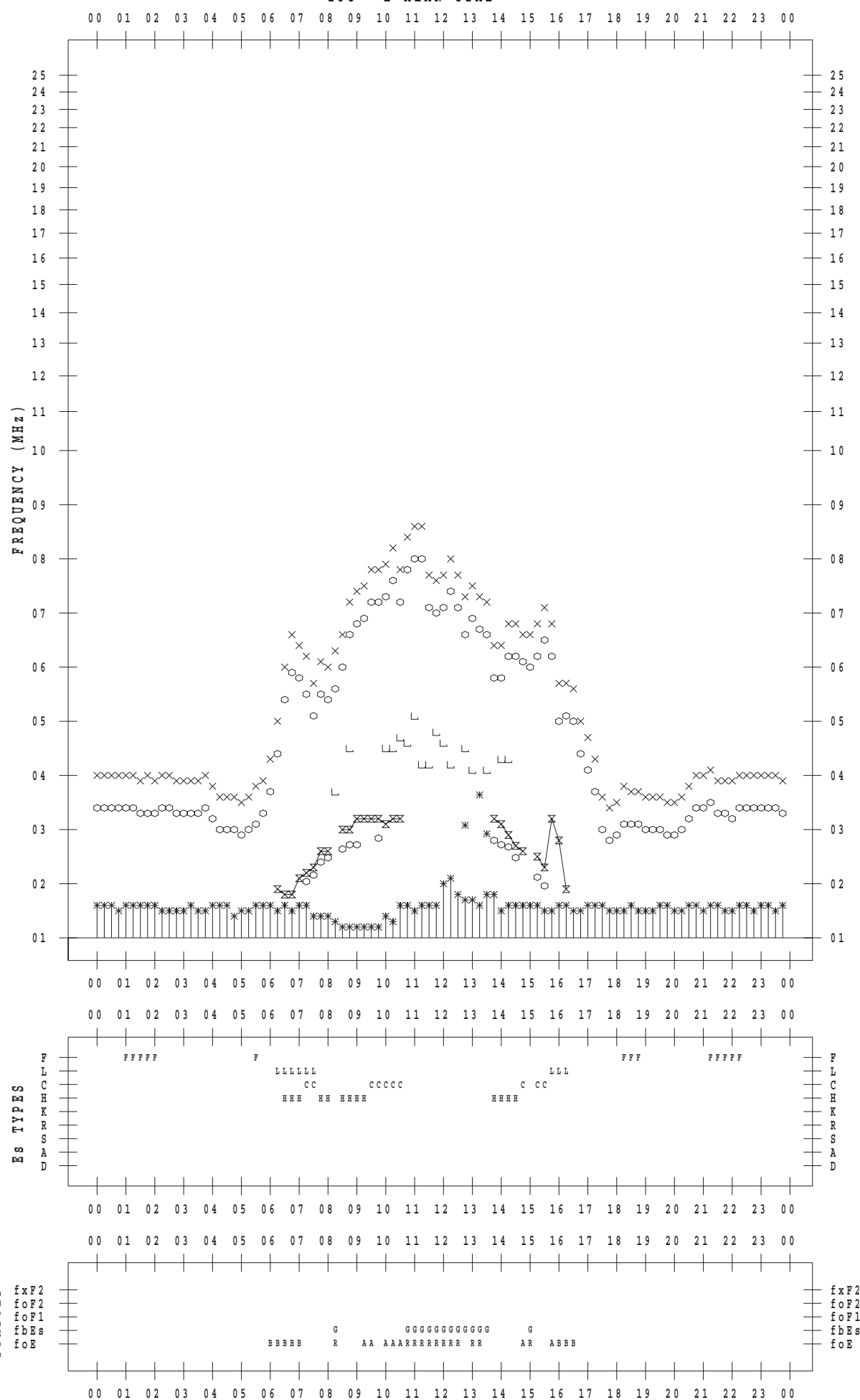
f - P L O T D A T A

SCALER : I.NISHIMUTA

STATION : Kokubunji

DATE : 2017/11/22

135 ° E MEAN TIME



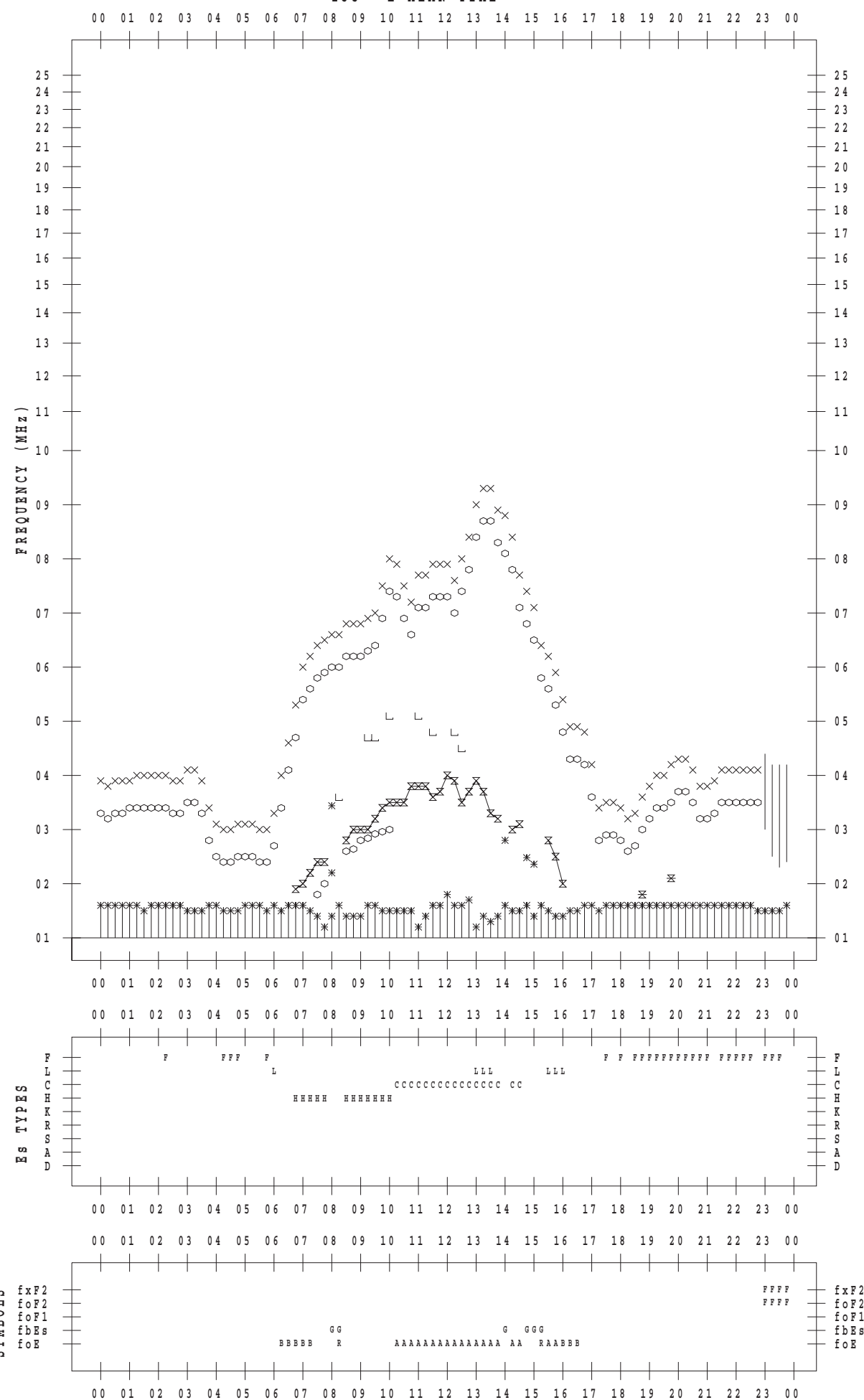
f - P L O T D A T A

SCALER : I.NISHIMUTA

STATION : Kokubunji

DATE : 2017/11/23

135 ° E MEAN TIME



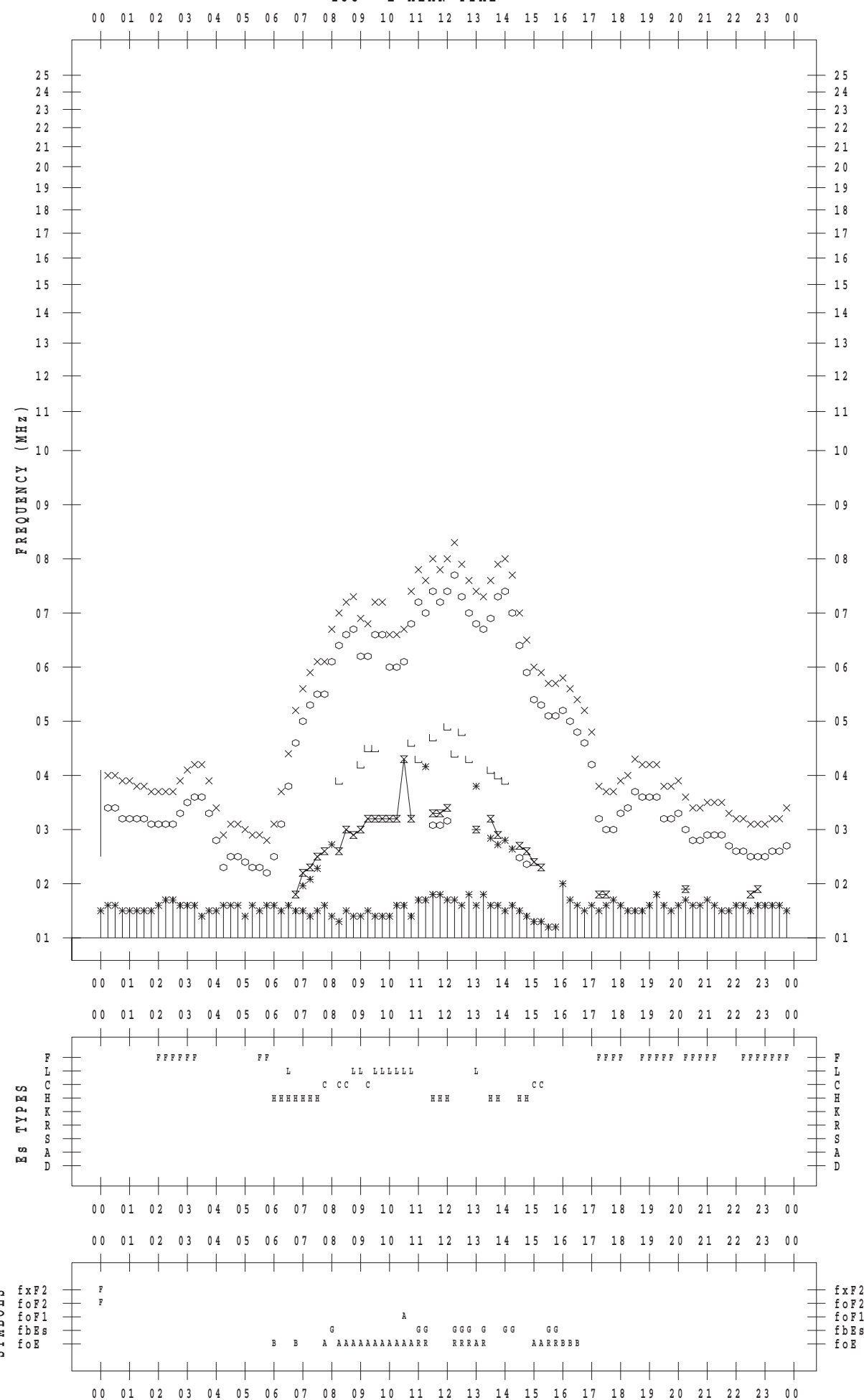
f - P L O T D A T A

SCALER : I.NISHIMUTA

STATION : Kokubunji

DATE : 2017/11/24

135 ° E MEAN TIME



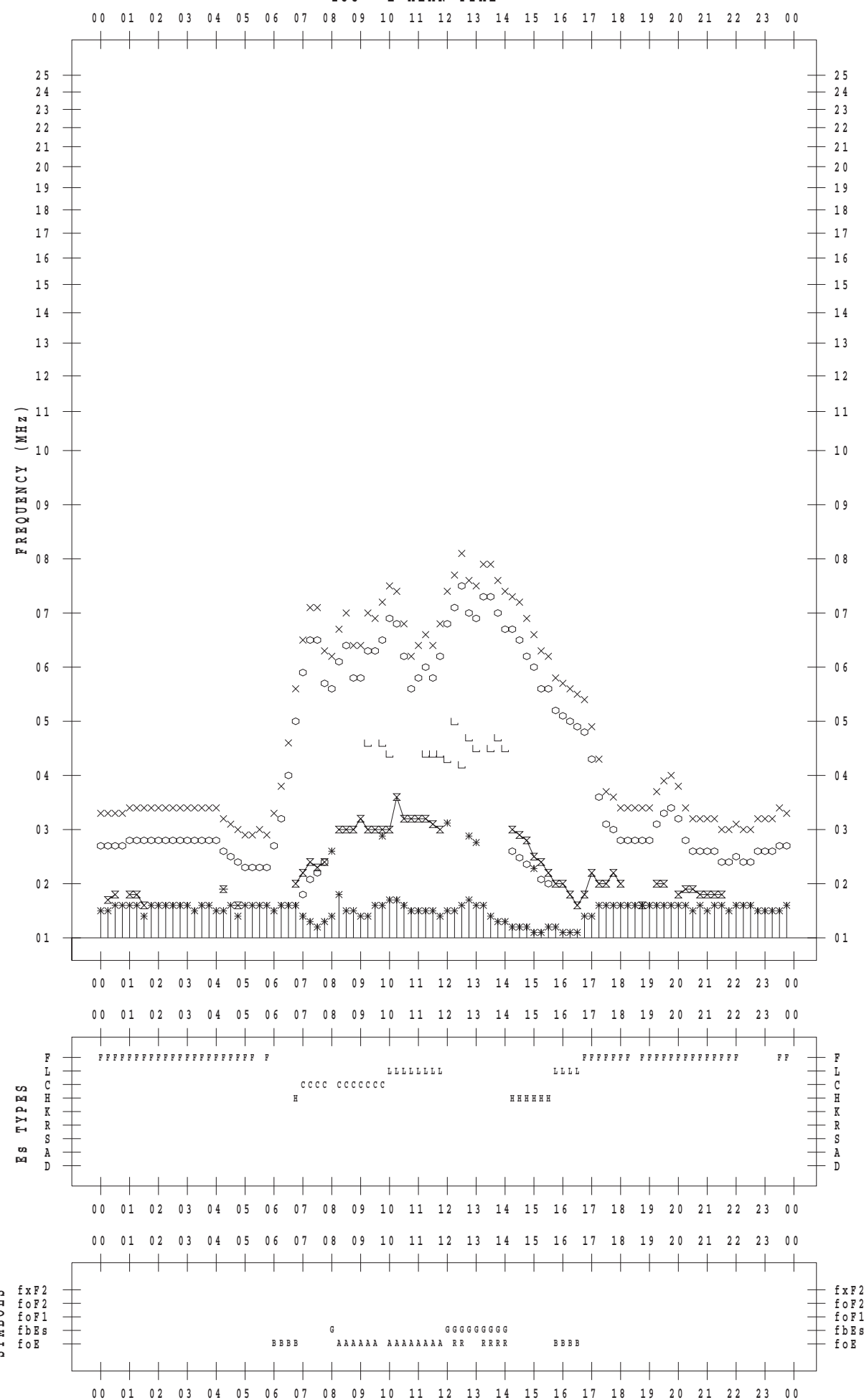
f - P L O T D A T A

SCALER : I.NISHIMUTA

STATION : Kokubunji

DATE : 2017/11/25

135 ° E MEAN TIME



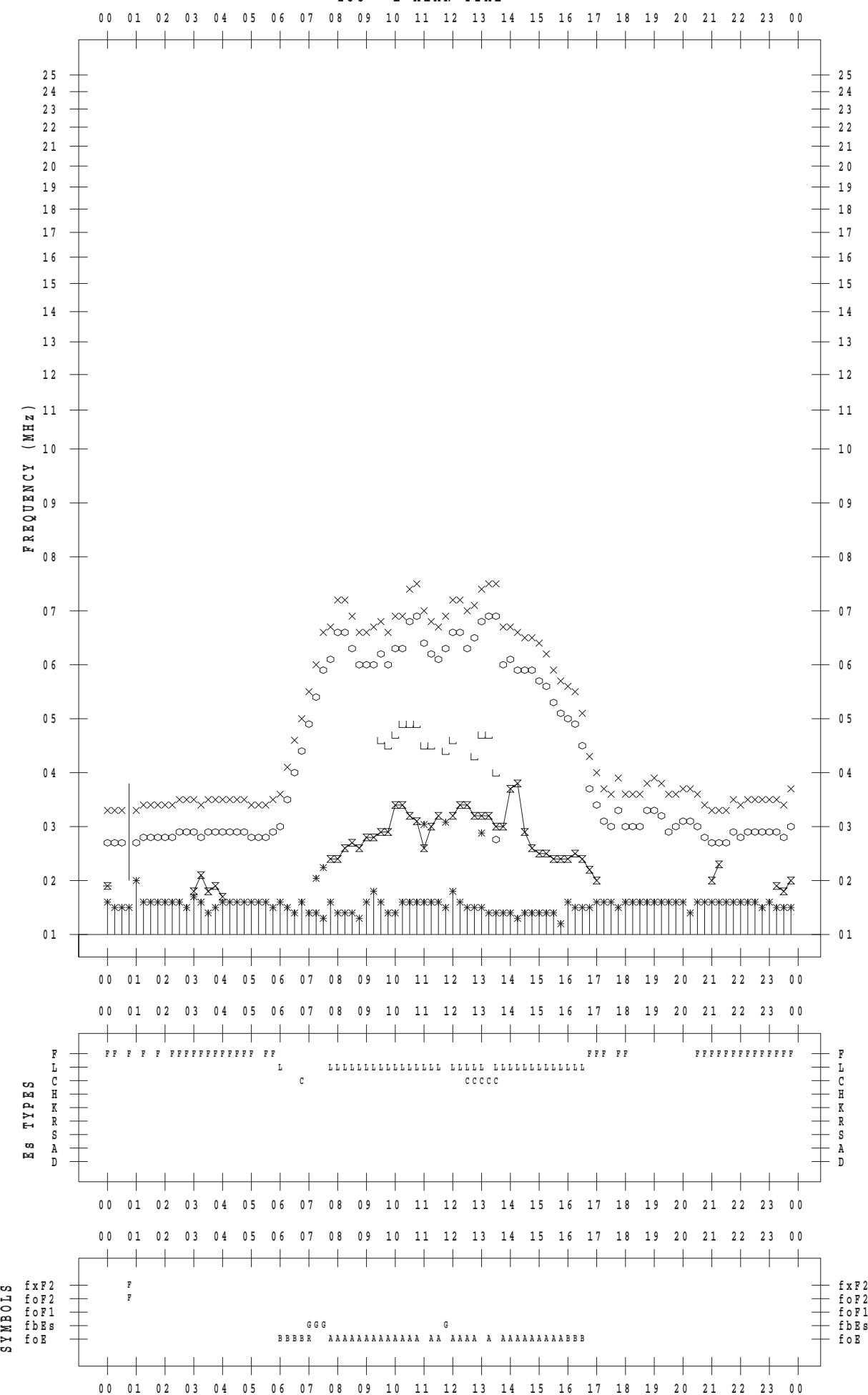
f - P L O T D A T A

SCALER : I.NISHIMUTA

STATION : Kokubunji

DATE : 2017/11/26

135 ° E MEAN TIME



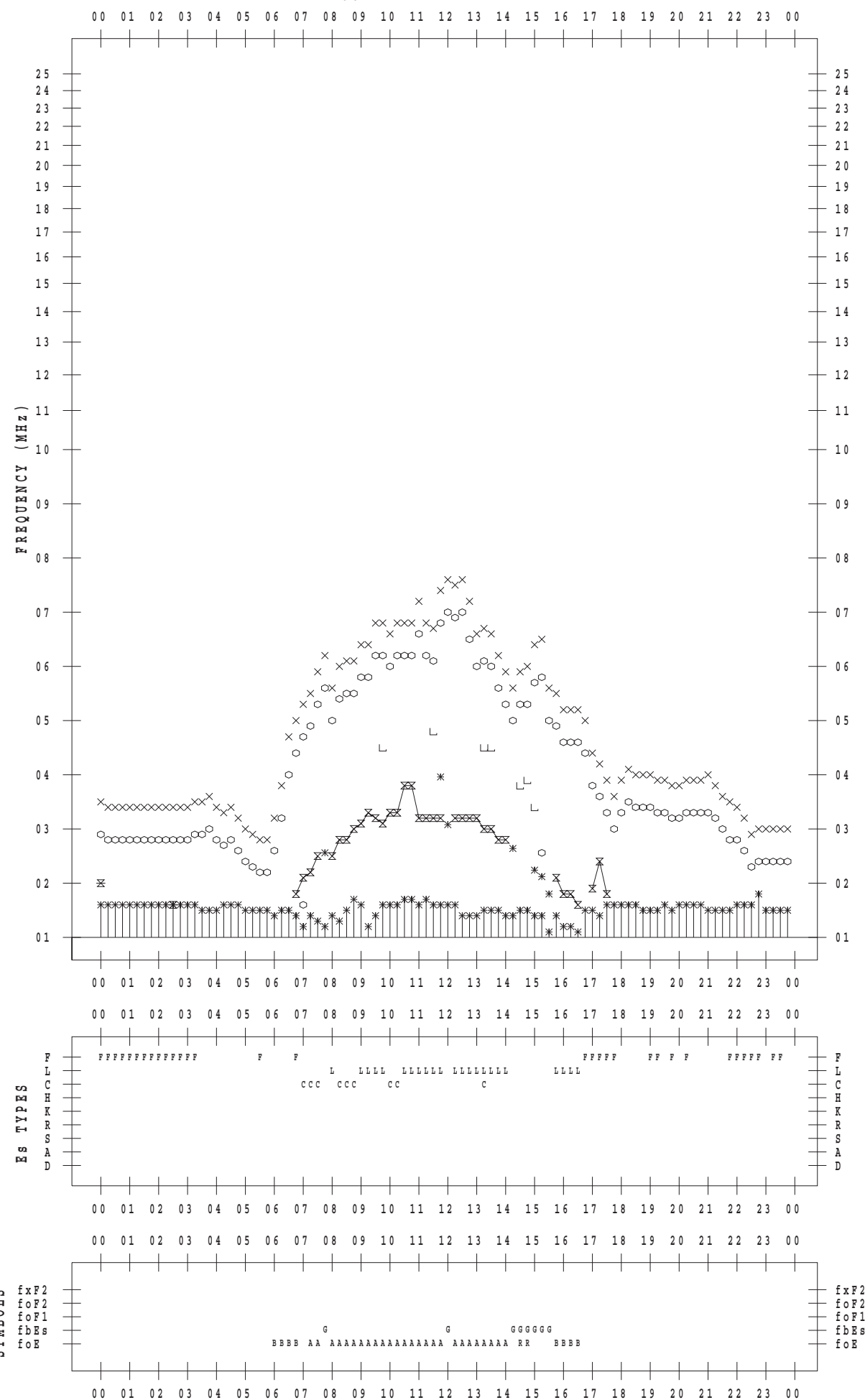
f - P L O T D A T A

SCALER : I.NISHIMUTA

STATION : Kokubunji

DATE : 2017/11/27

135 ° E MEAN TIME



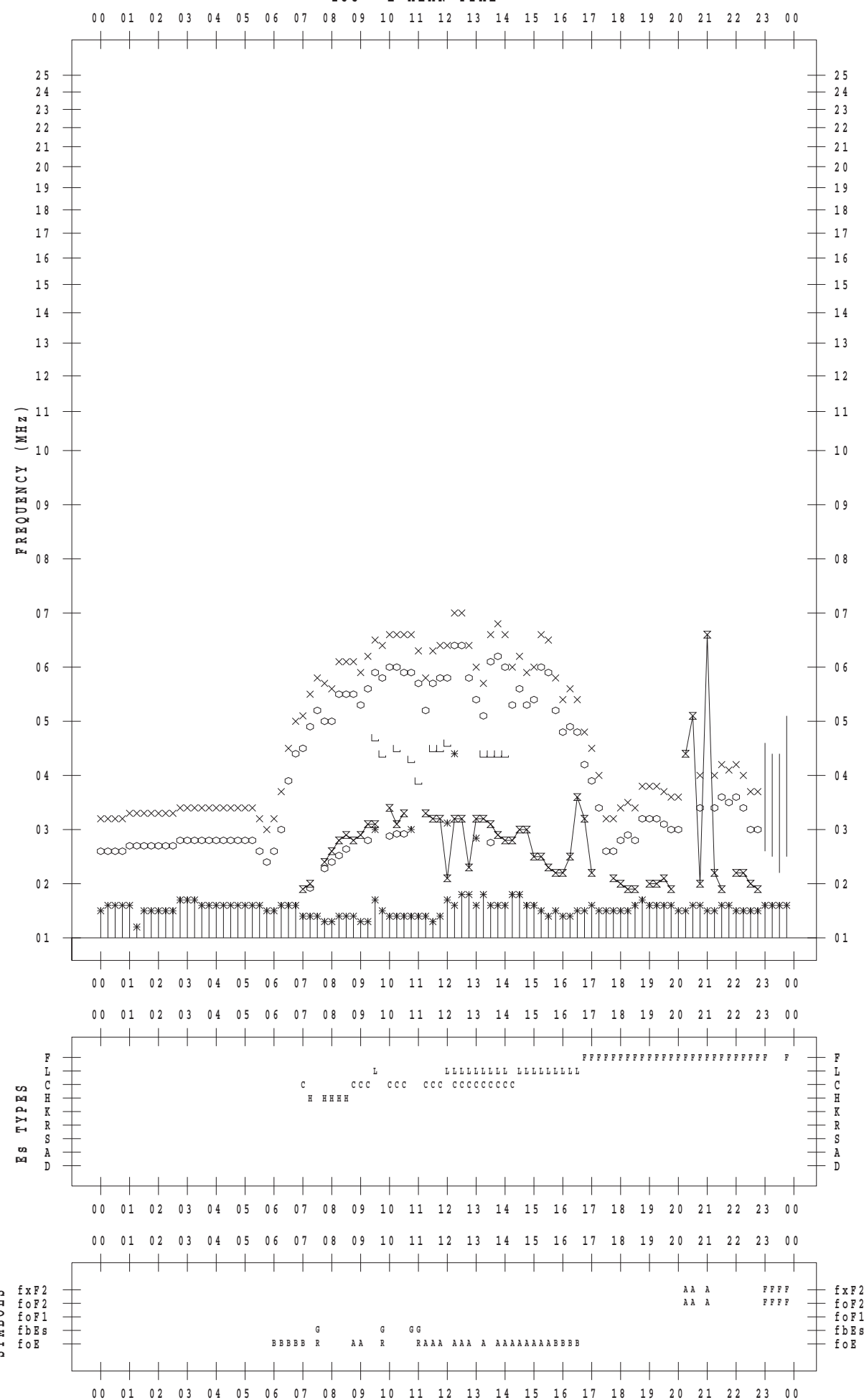
f - P L O T D A T A

SCALER : I.NISHIMUTA

STATION : Kokubunji

DATE : 2017/11/28

135 ° E MEAN TIME



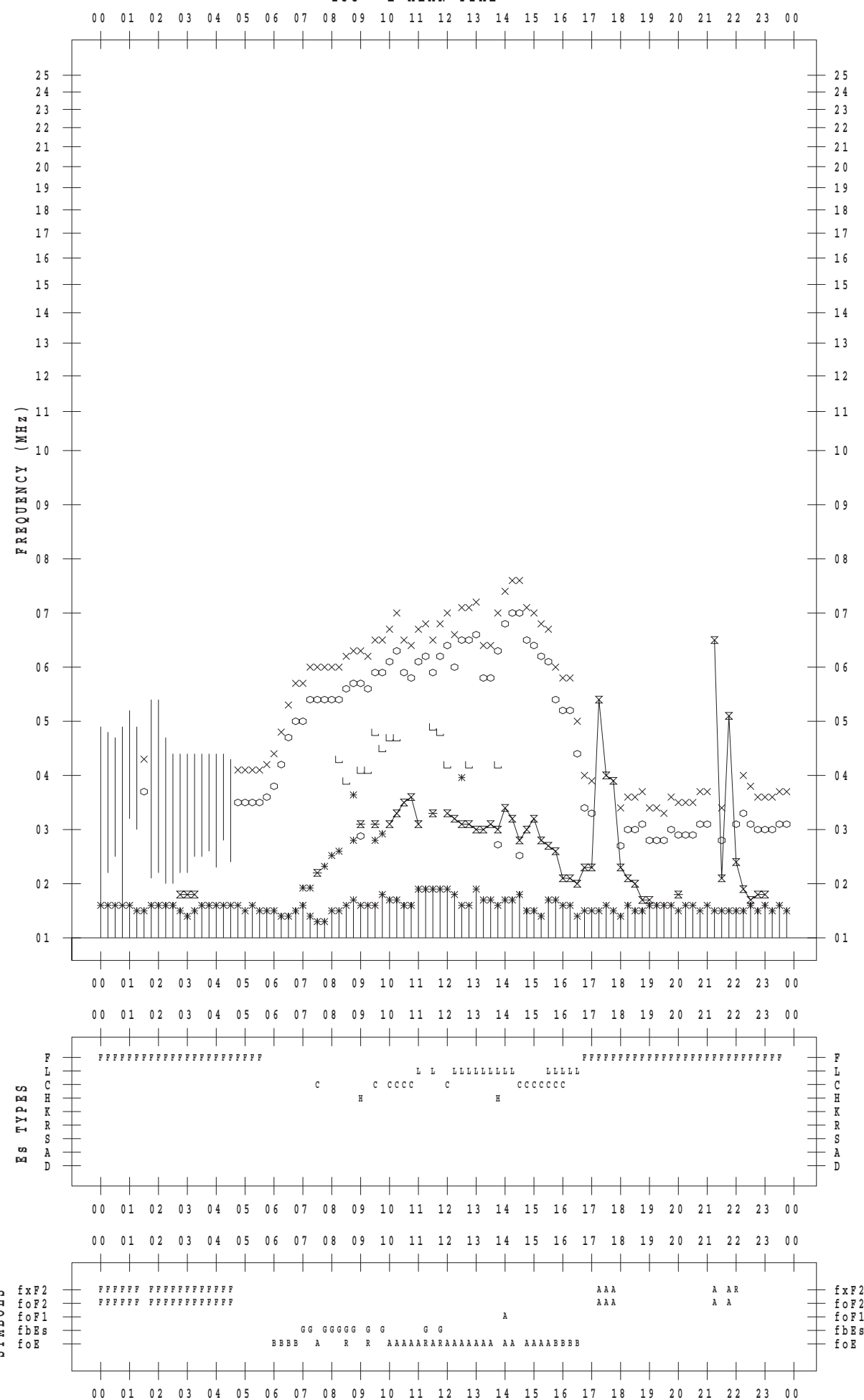
f - P L O T D A T A

SCALER : I.NISHIMUTA

STATION : Kokubunji

DATE : 2017/11/29

135 ° E MEAN TIME



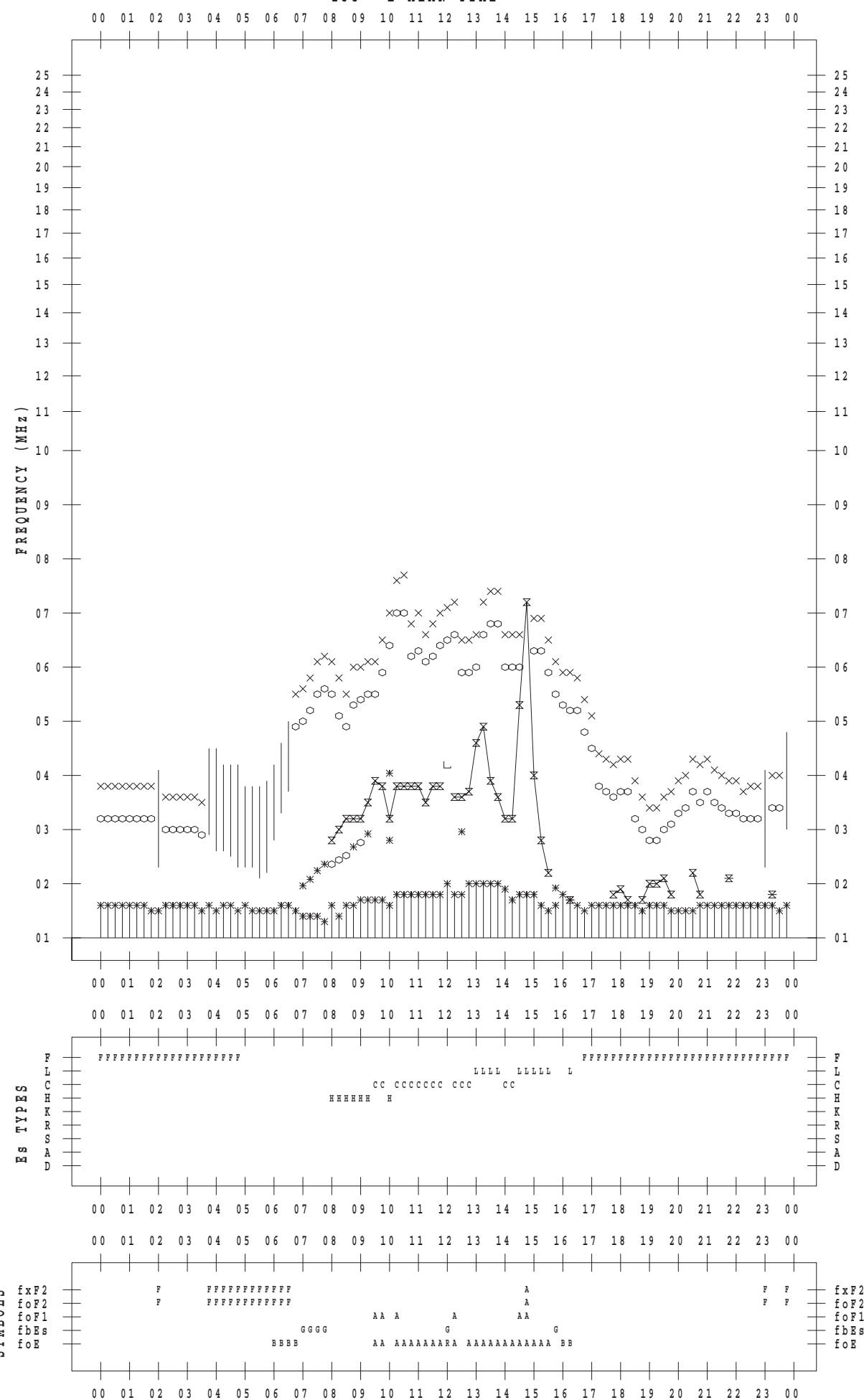
f - P L O T D A T A

SCALER : I.NISHIMUTA

STATION : Kokubunji

DATE : 2017/11/30

135 ° E MEAN TIME



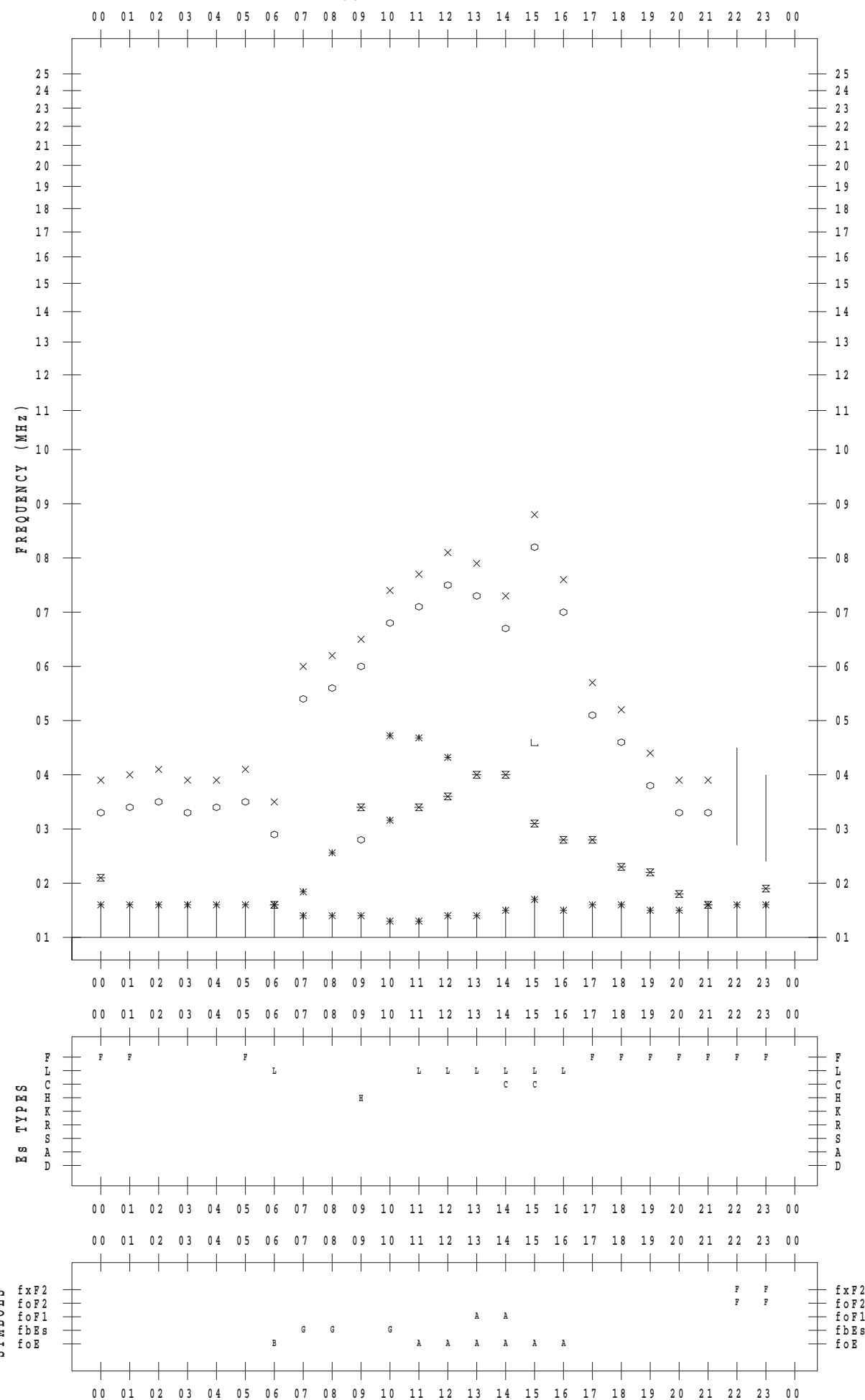
f - P L O T D A T A

SCALER : I.NISHIMUTA

STATION : Yamagawa

DATE : 2017/11/1

135 ° E MEAN TIME



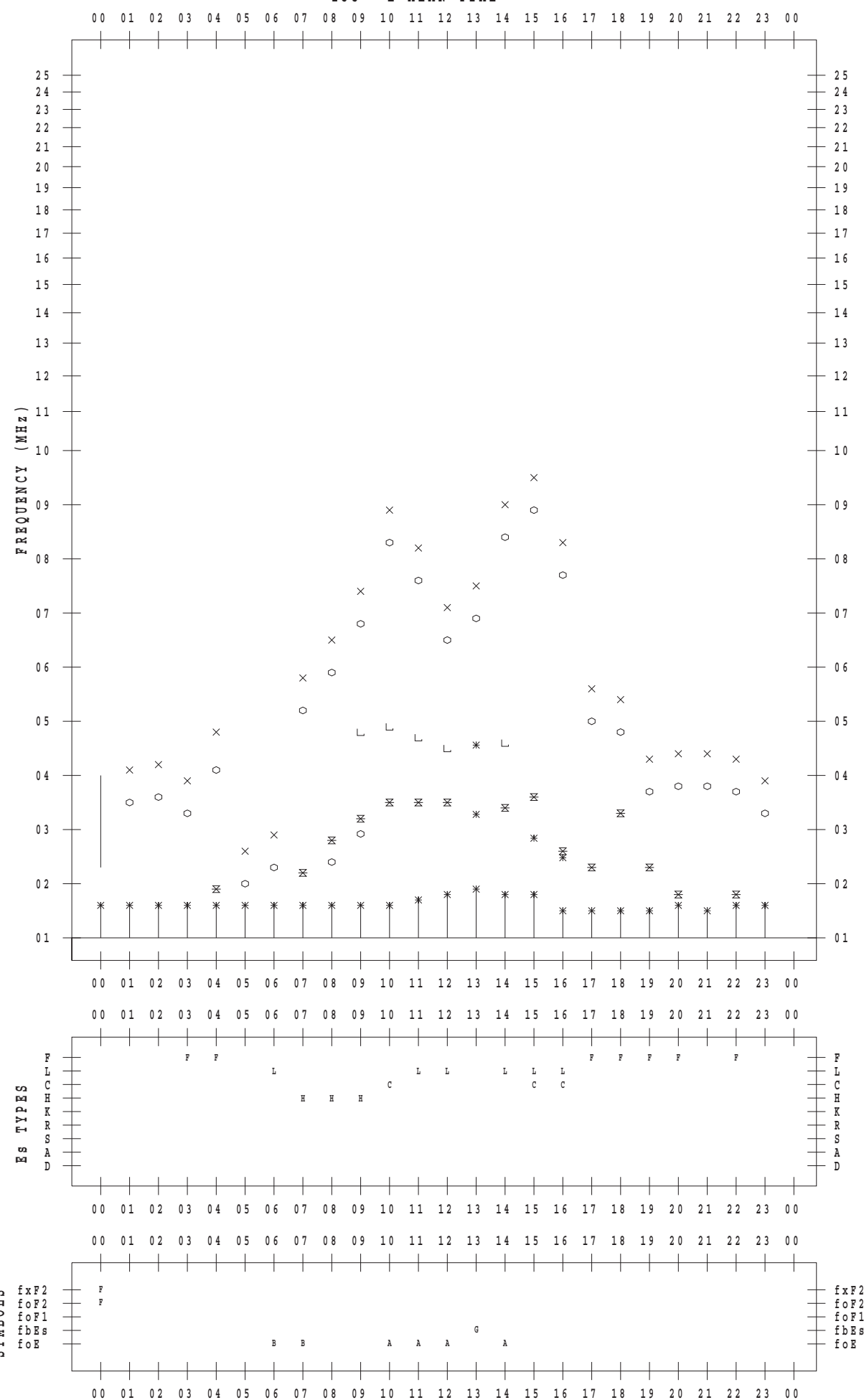
f - P L O T D A T A

SCALER : I.NISHIMUTA

STATION : Yamagawa

DATE : 2017/11/2

135 ° E MEAN TIME



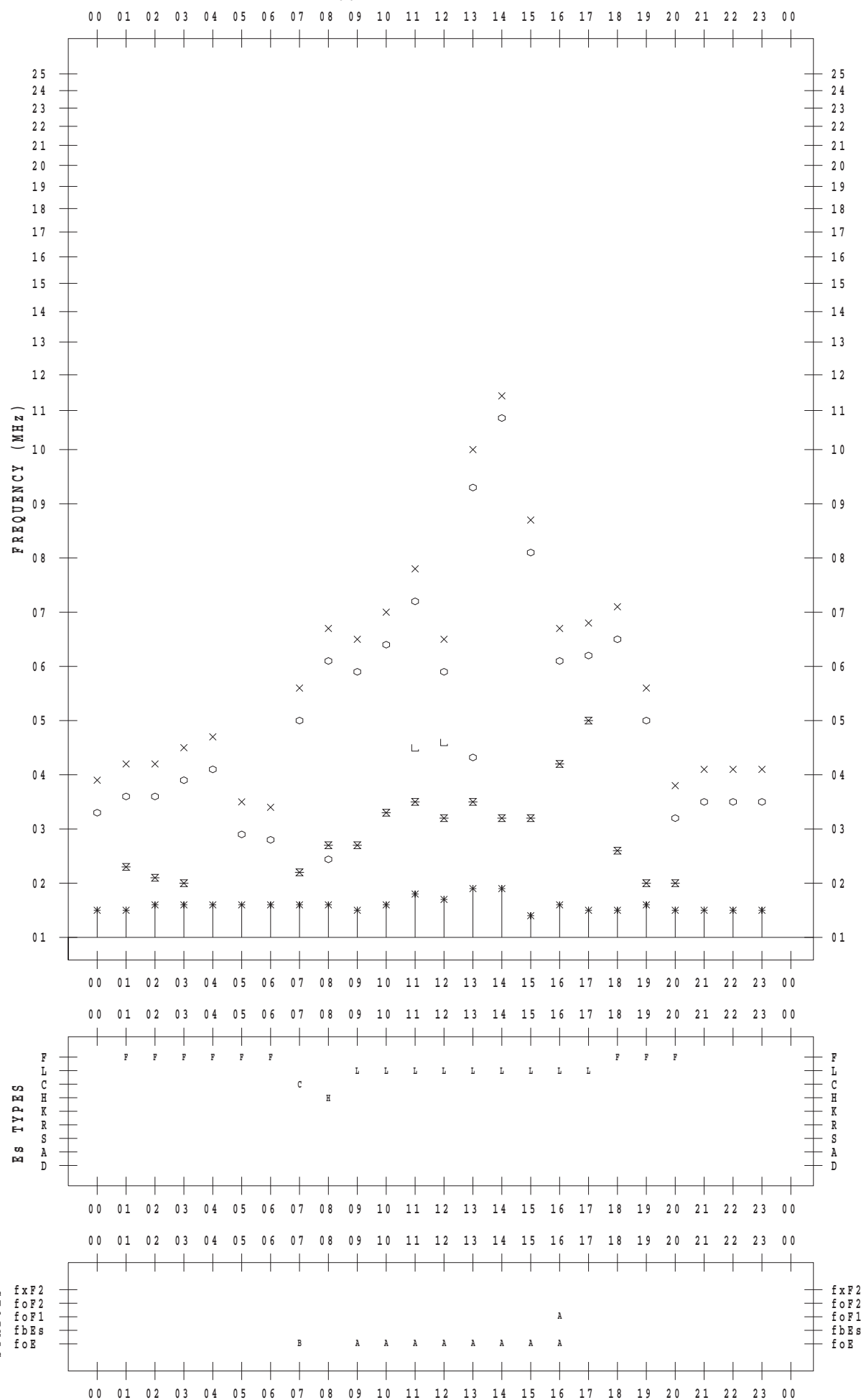
f - P L O T D A T A

SCALER : I.NISHIMUTA

STATION : Yamagawa

DATE : 2017/11/3

135 ° E MEAN TIME



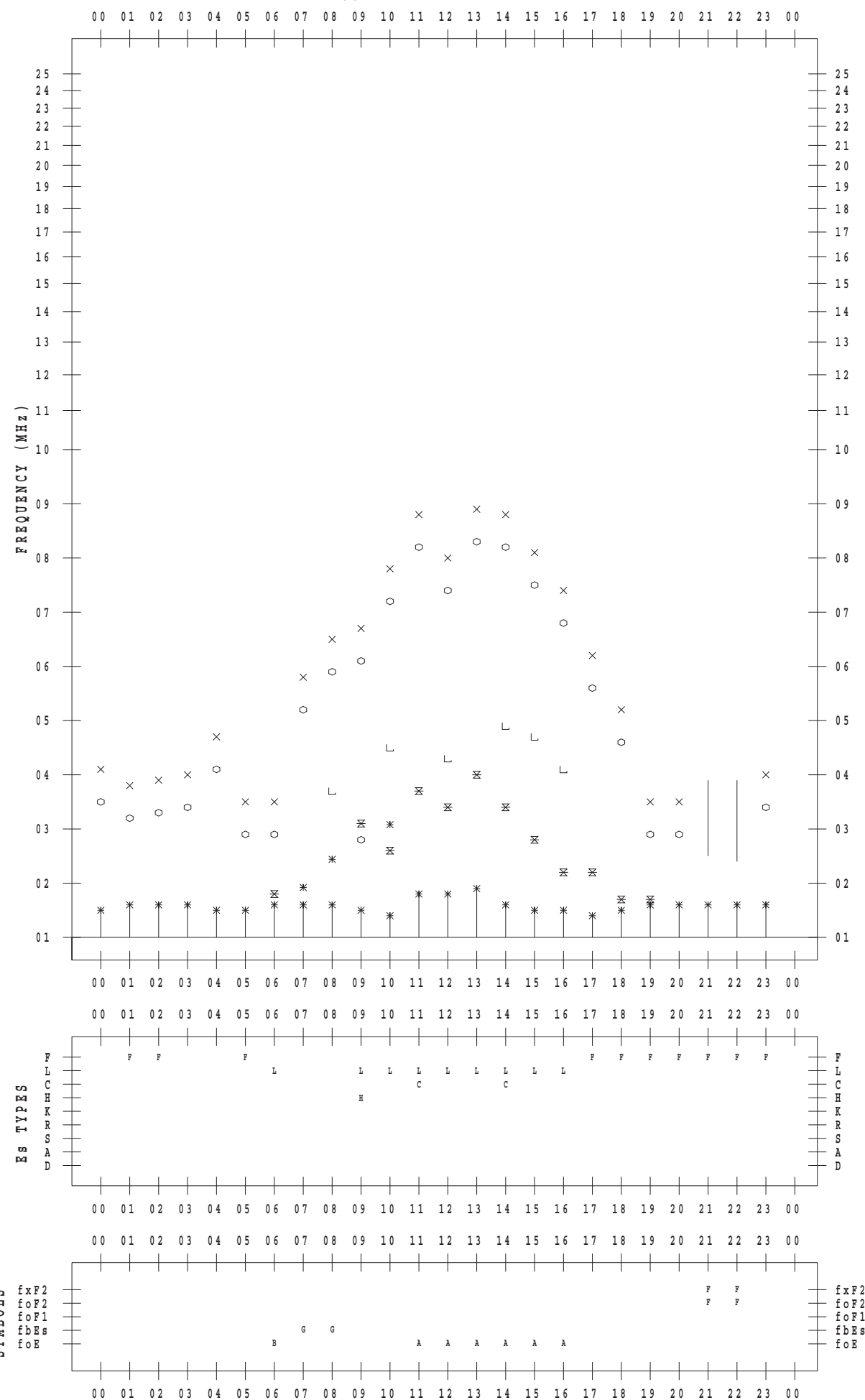
f - P L O T D A T A

SCALER : I.NISHIMUTA

STATION : Yamagawa

DATE : 2017/11/4

135 ° E MEAN TIME



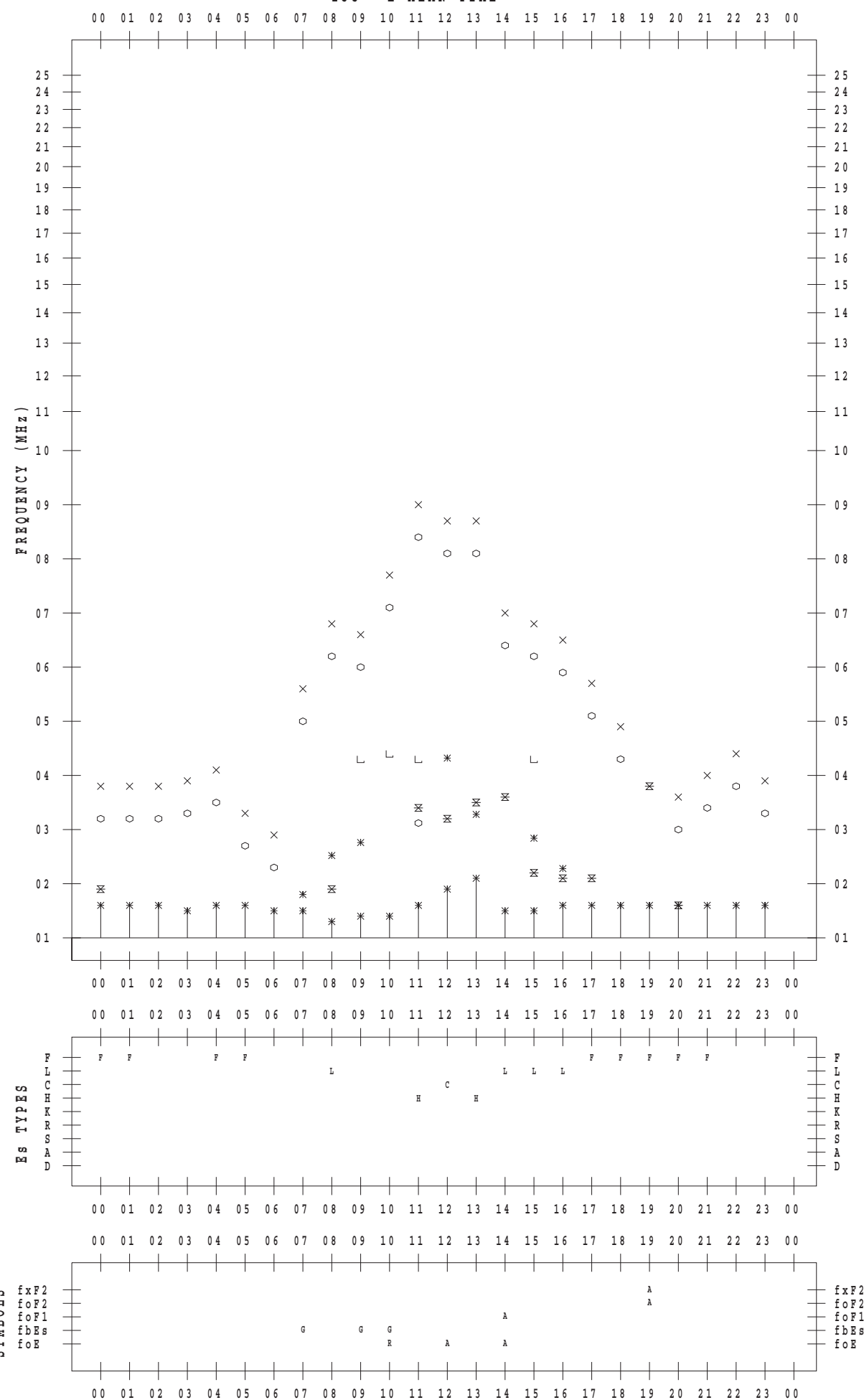
f - P L O T D A T A

SCALER : I.NISHIMUTA

STATION : Yamagawa

DATE : 2017/11/5

135 ° E MEAN TIME



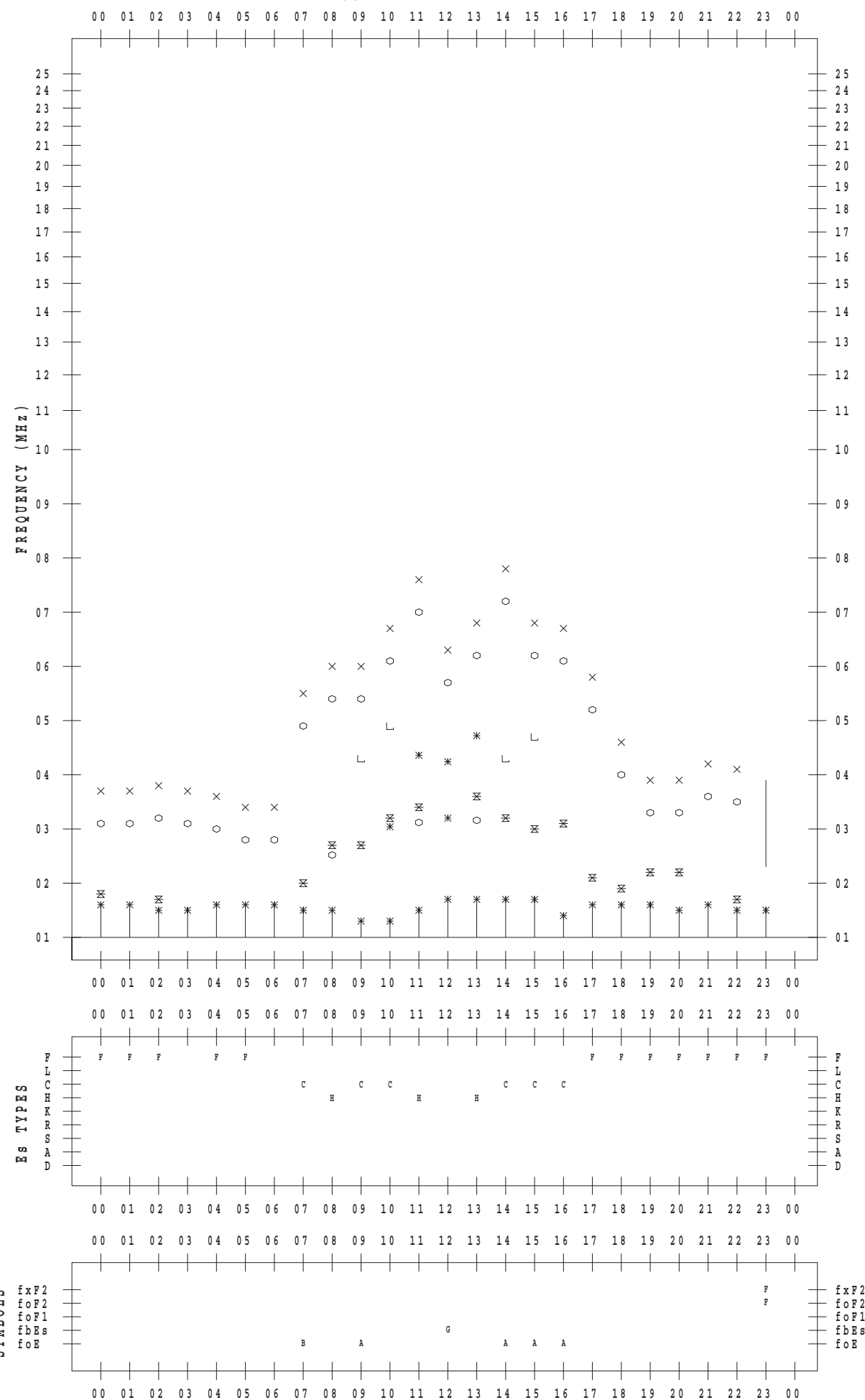
f - P L O T D A T A

SCALER : I.NISHIMUTA

STATION : Yamagawa

DATE : 2017/11/6

135 ° E MEAN TIME



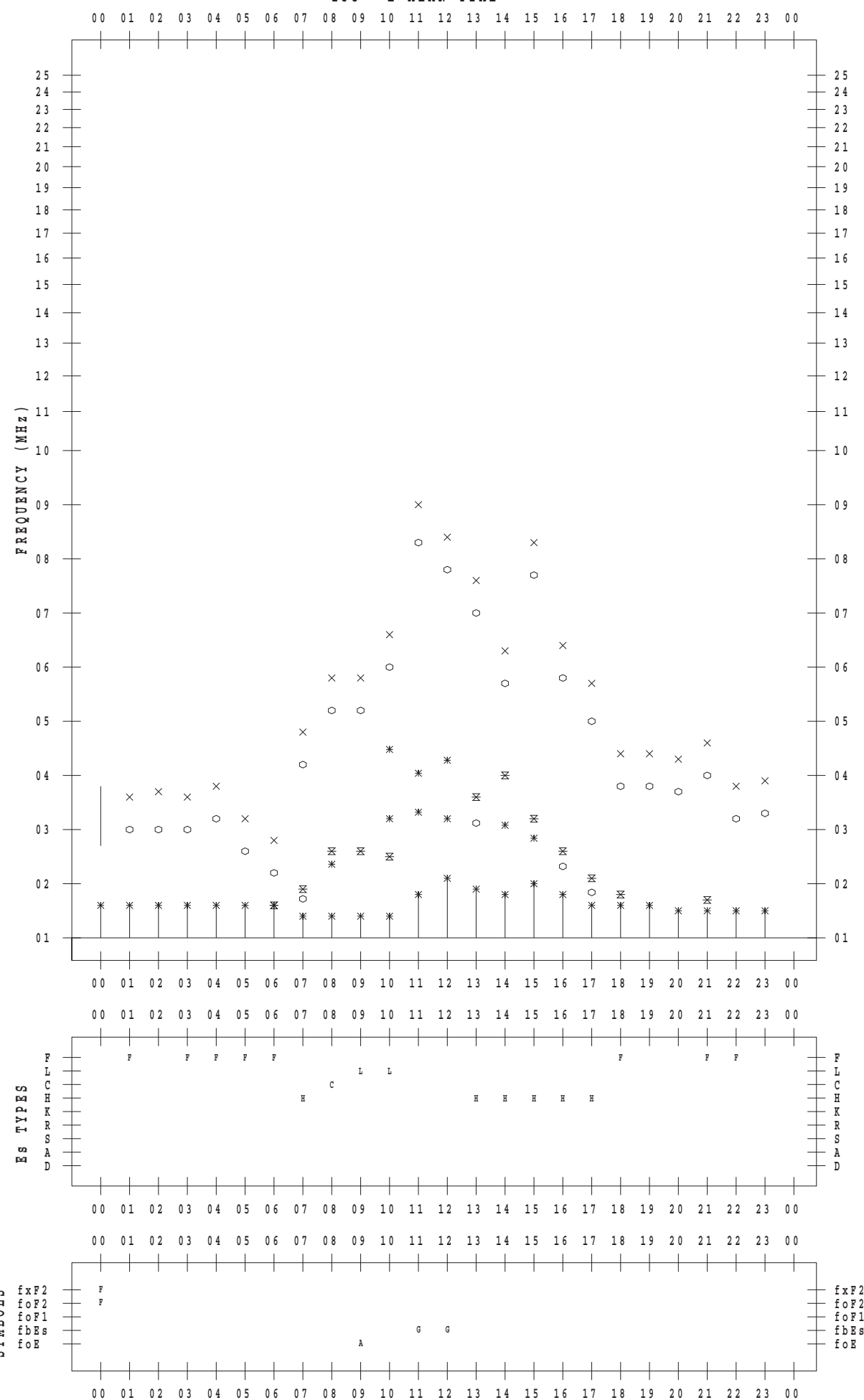
f - P L O T D A T A

SCALER : I.NISHIMUTA

STATION : Yamagawa

DATE : 2017/11/7

135 ° E MEAN TIME



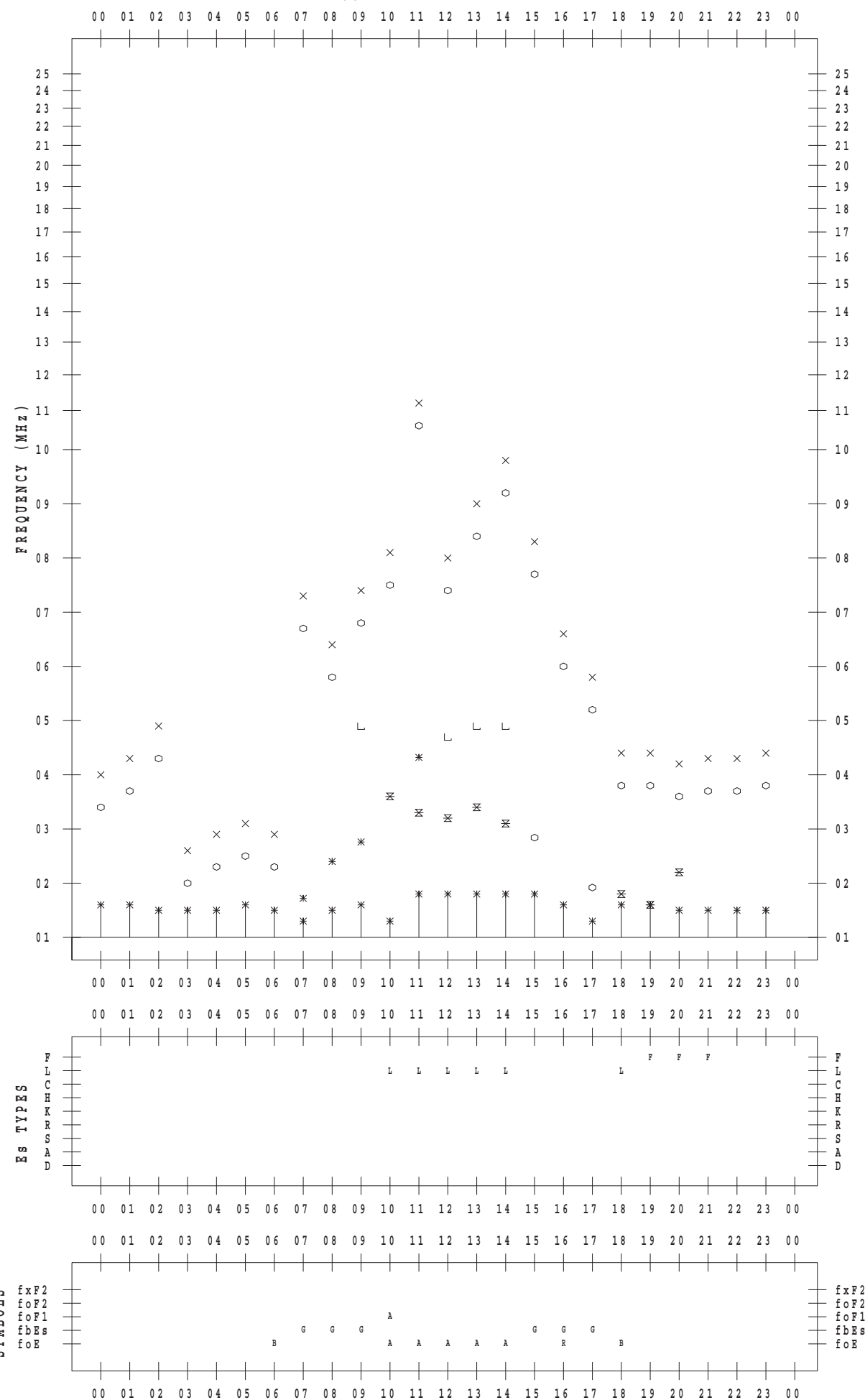
f - P L O T D A T A

SCALER : I.NISHIMUTA

STATION : Yamagawa

DATE : 2017/11/8

135 ° E MEAN TIME



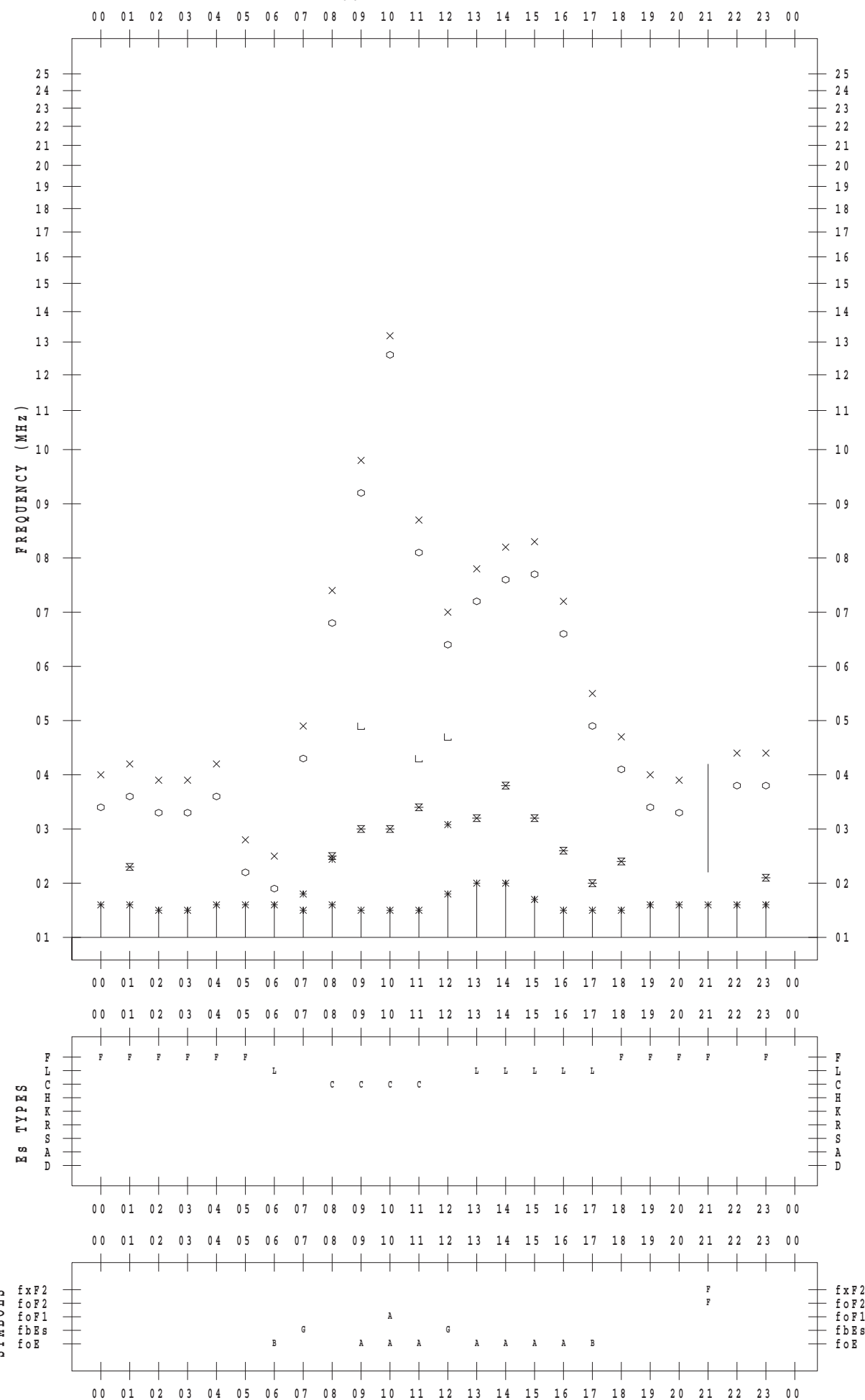
f - P L O T D A T A

SCALER : I.NISHIMUTA

STATION : Yamagawa

DATE : 2017/11/9

135 °E MEAN TIME



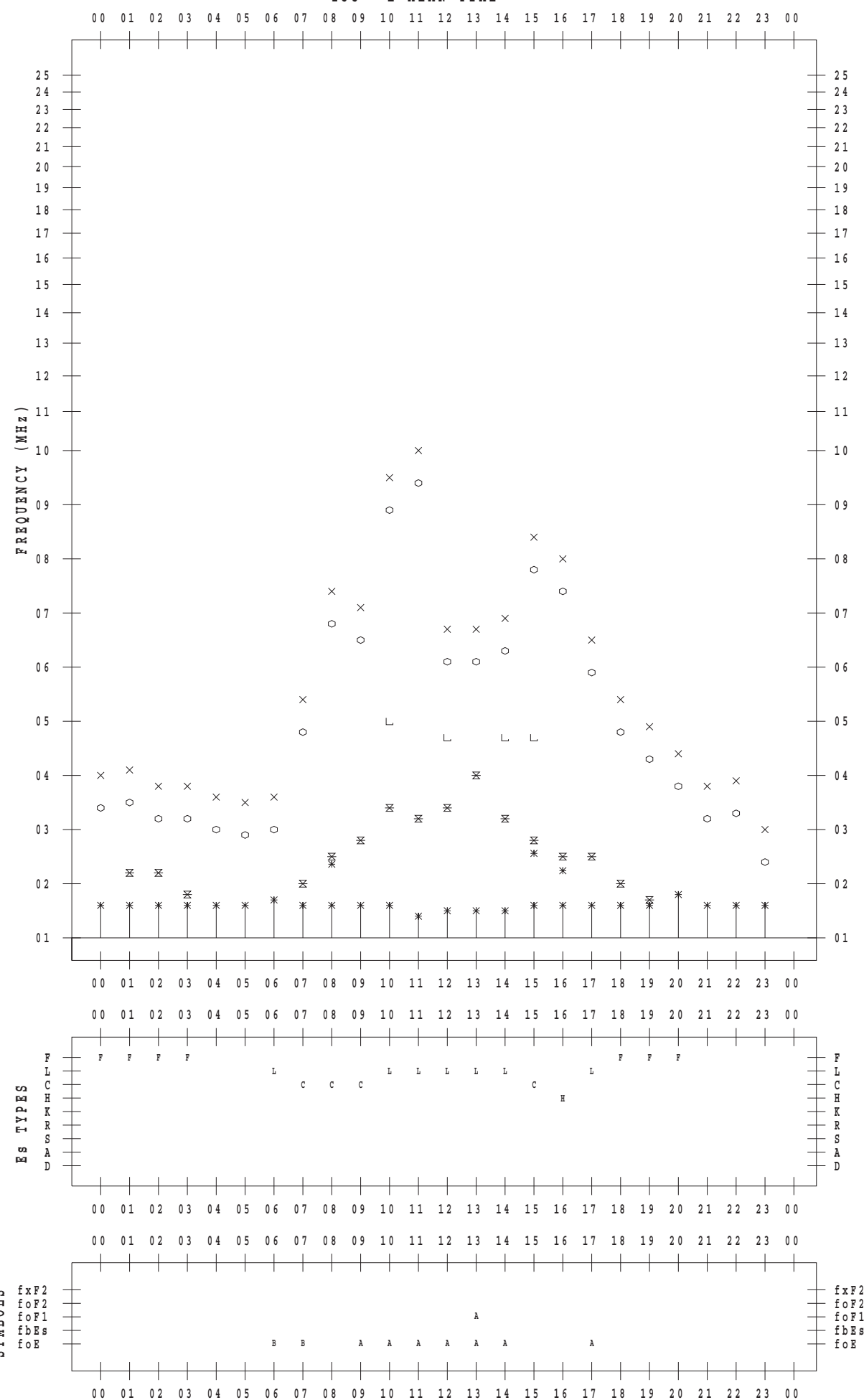
f - P L O T D A T A

SCALER : I.NISHIMUTA

STATION : Yamagawa

DATE : 2017/11/10

135 ° E MEAN TIME



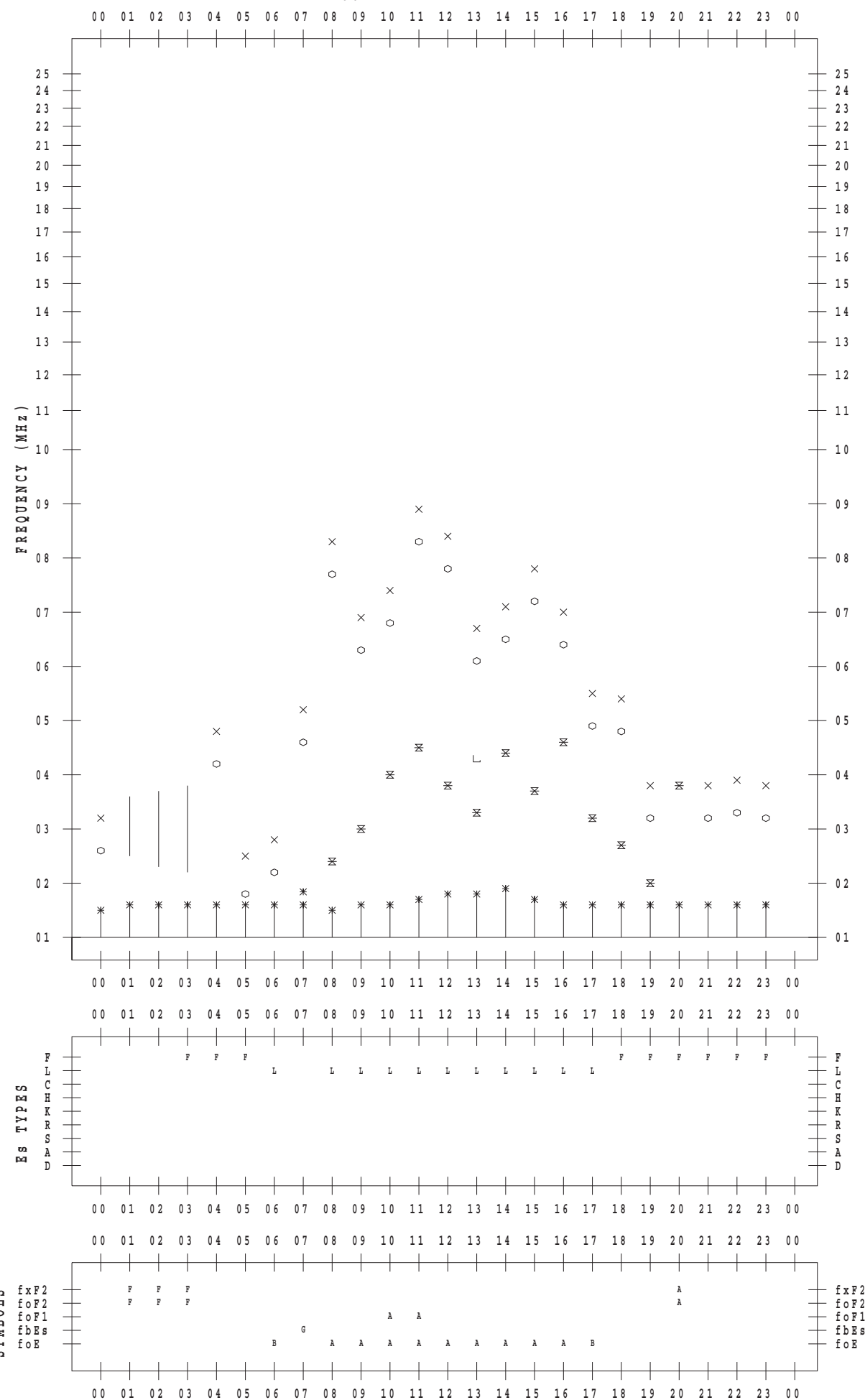
f - P L O T D A T A

SCALER : I.NISHIMUTA

STATION : Yamagawa

DATE : 2017/11/11

135 ° E MEAN TIME



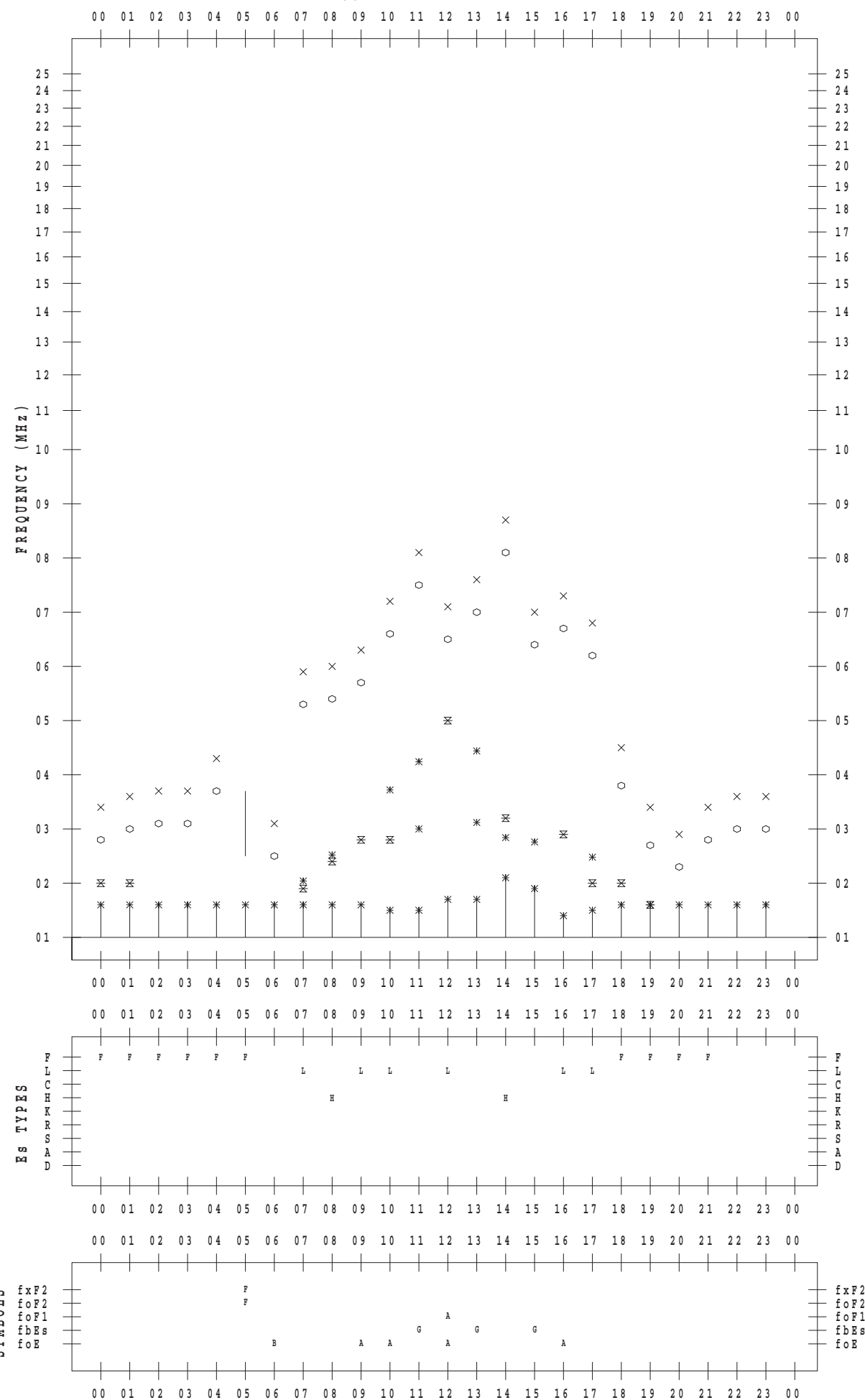
f - P L O T D A T A

SCALER : I.NISHIMUTA

STATION : Yamagawa

DATE : 2017/11/12

135 ° E MEAN TIME



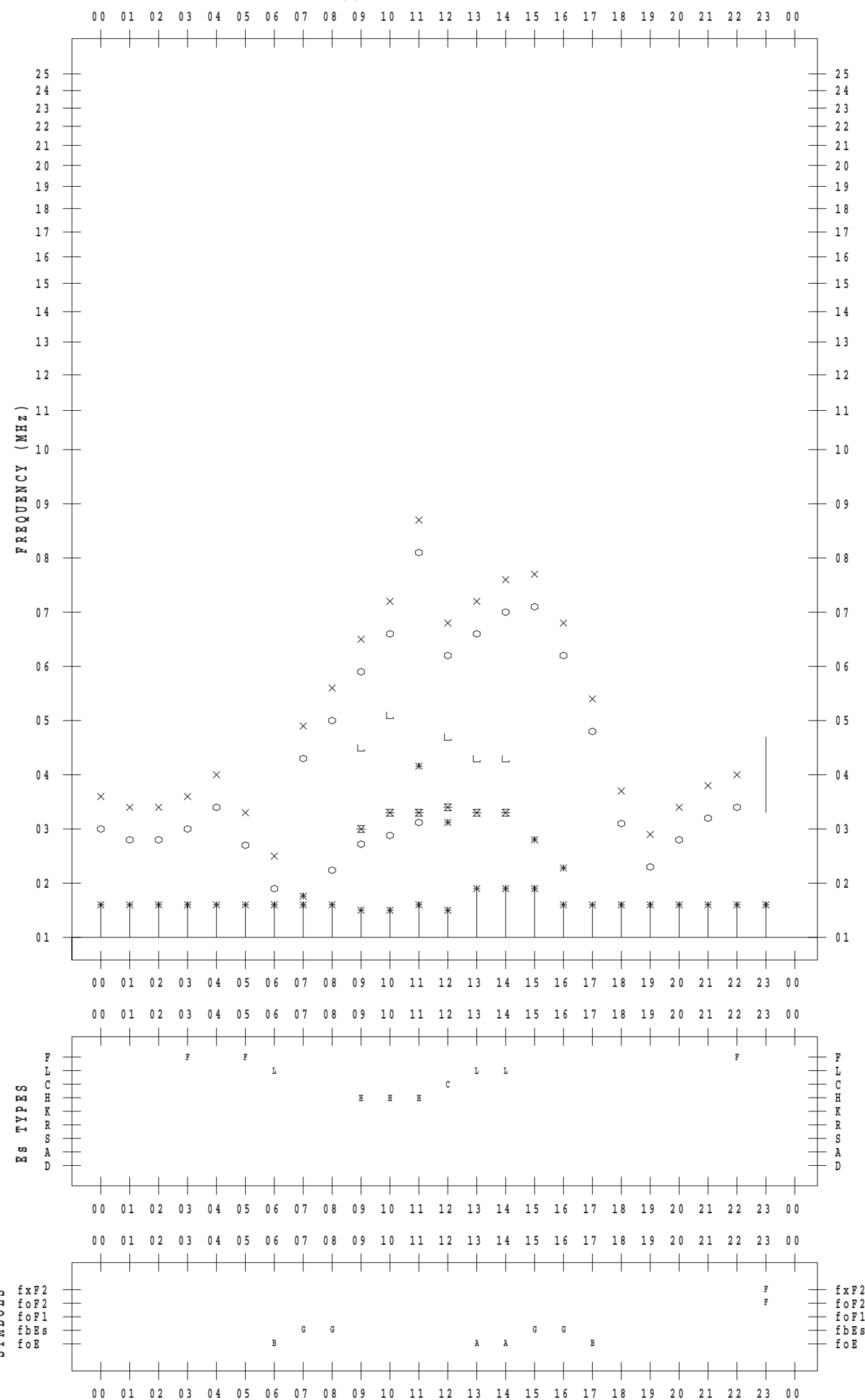
f - P L O T D A T A

SCALER : I.NISHIMUTA

STATION : Yamagawa

DATE : 2017/11/13

135 ° E MEAN TIME



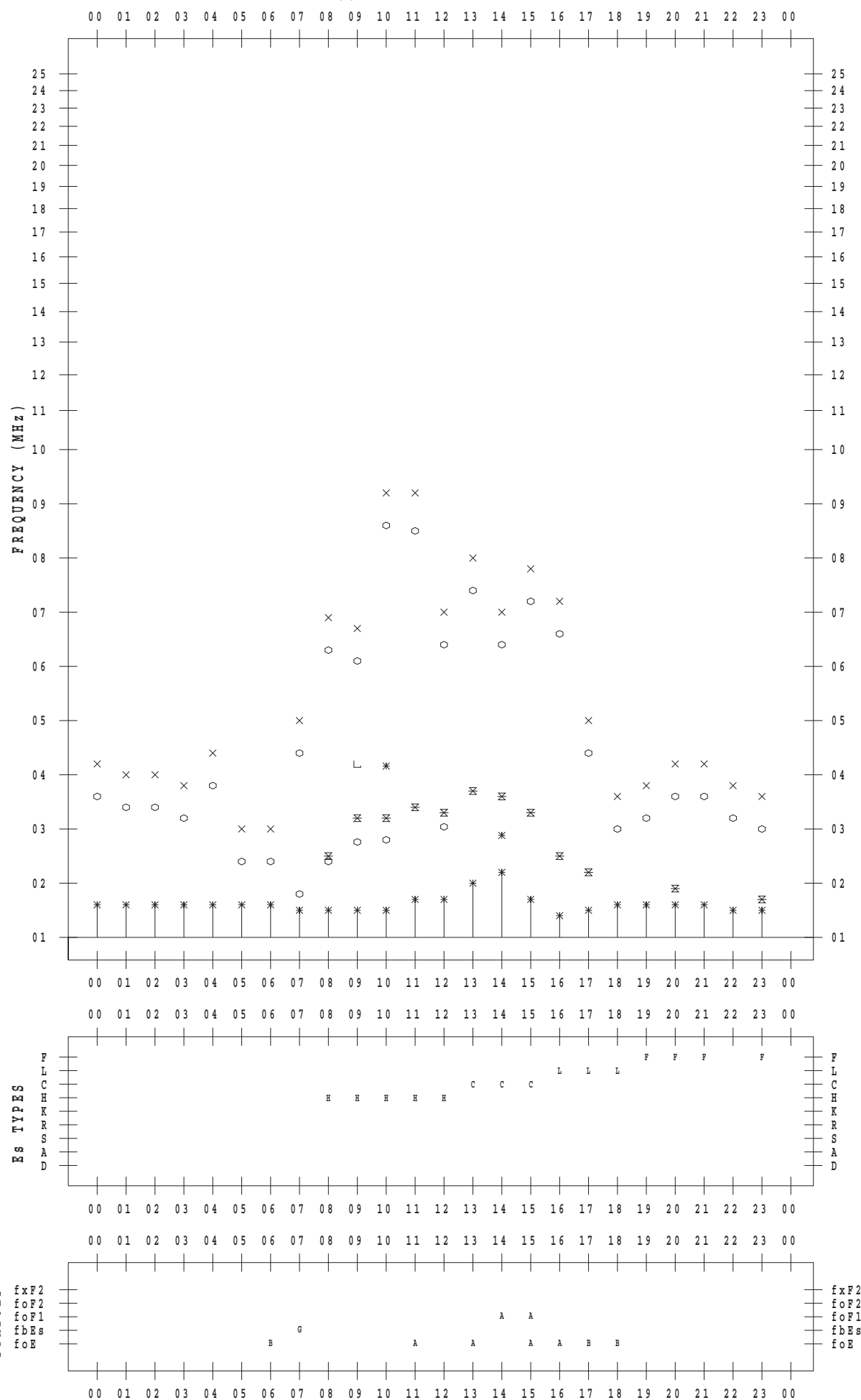
f - P L O T D A T A

SCALER : I.NISHIMUTA

STATION : Yamagawa

DATE : 2017/11/14

135 ° E MEAN TIME



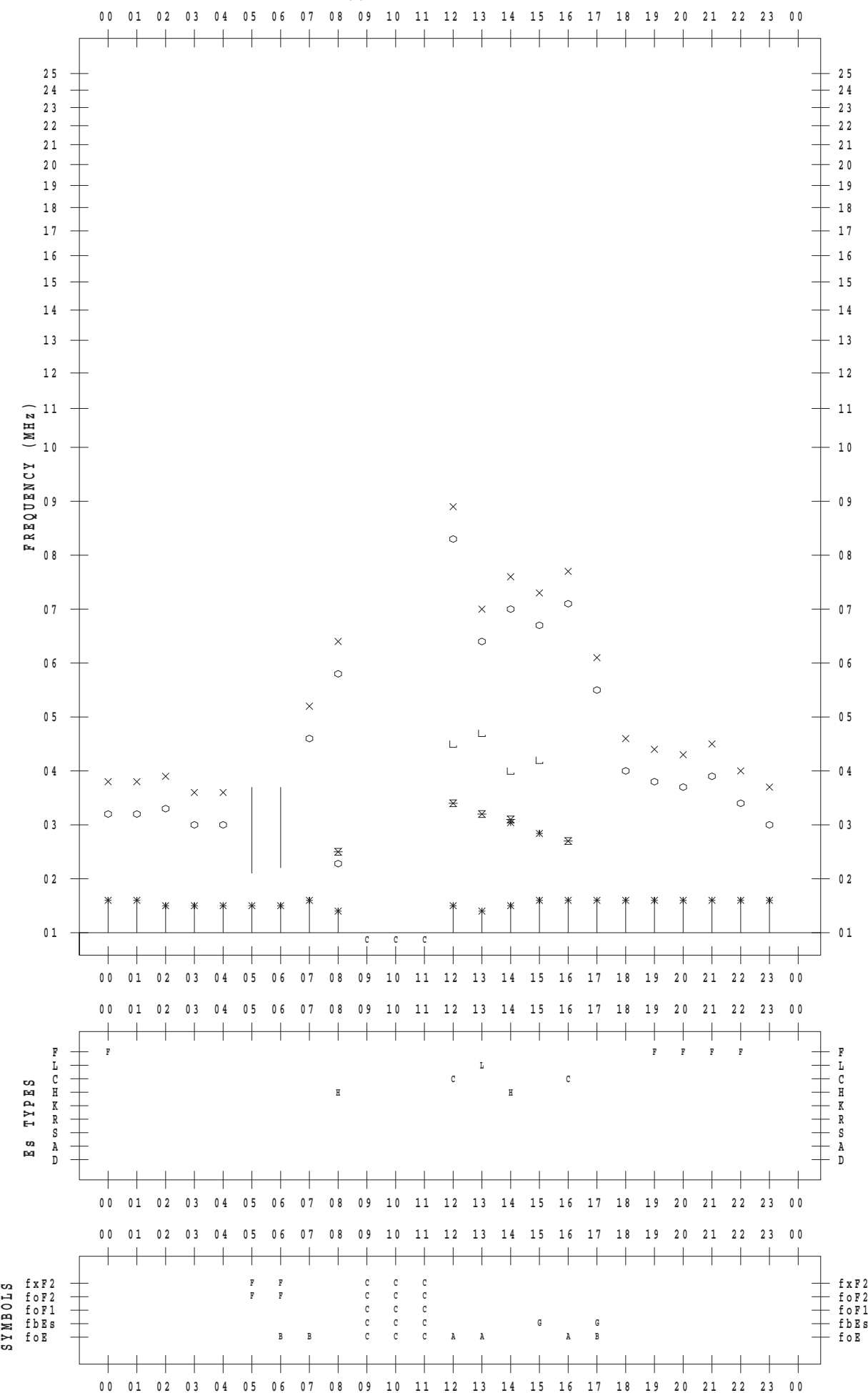
f - P L O T D A T A

SCALER : I.NISHIMUTA

STATION : Yamagawa

DATE : 2017/11/15

135 ° E MEAN TIME



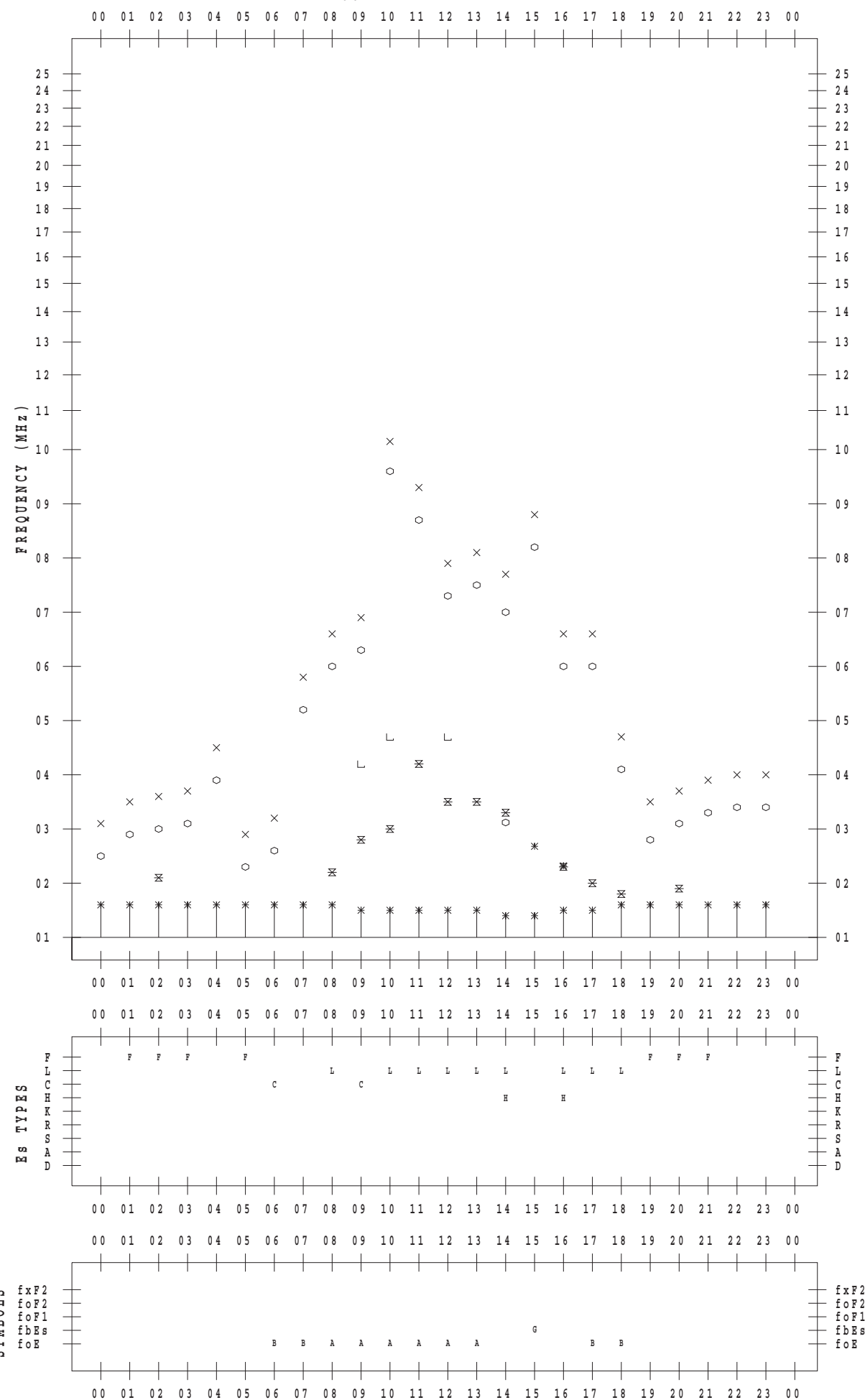
f - P L O T D A T A

SCALER : I.NISHIMUTA

STATION : Yamagawa

DATE : 2017/11/16

135 ° E MEAN TIME



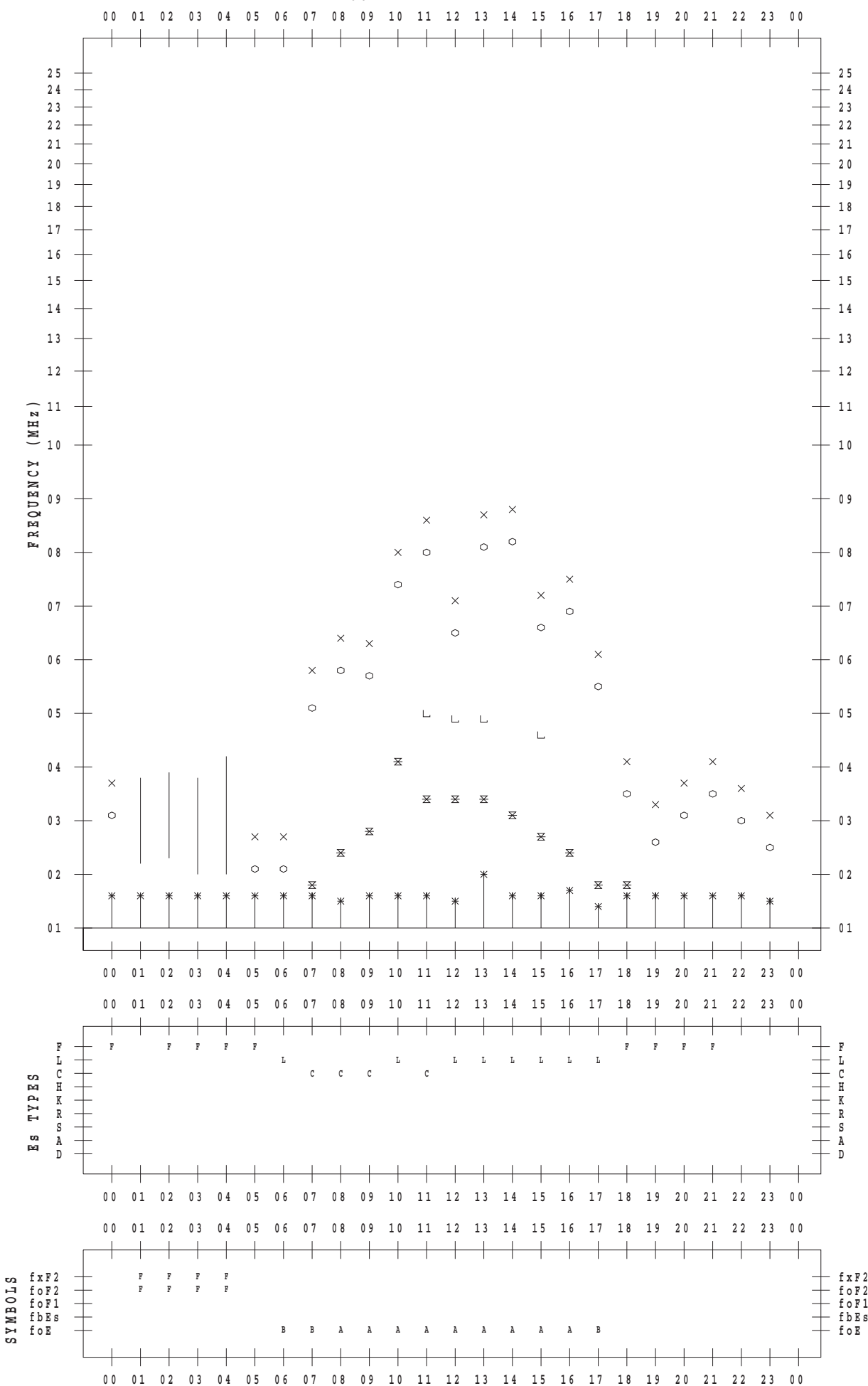
f - P L O T D A T A

SCALER : I.NISHIMUTA

STATION : Yamagawa

DATE : 2017/11/17

135 ° E MEAN TIME



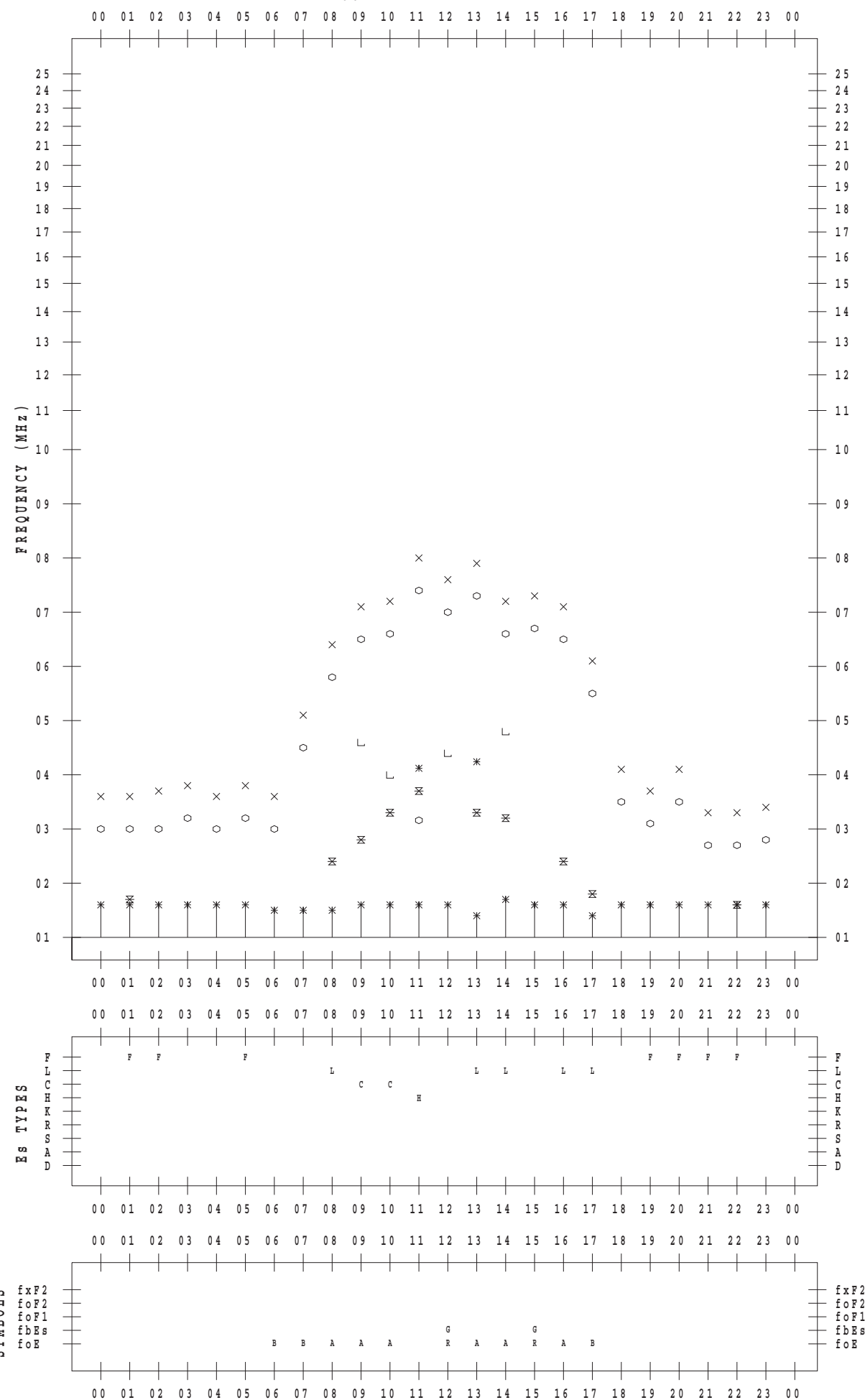
f - P L O T D A T A

SCALER : I.NISHIMUTA

STATION : Yamagawa

DATE : 2017/11/18

135 ° E MEAN TIME



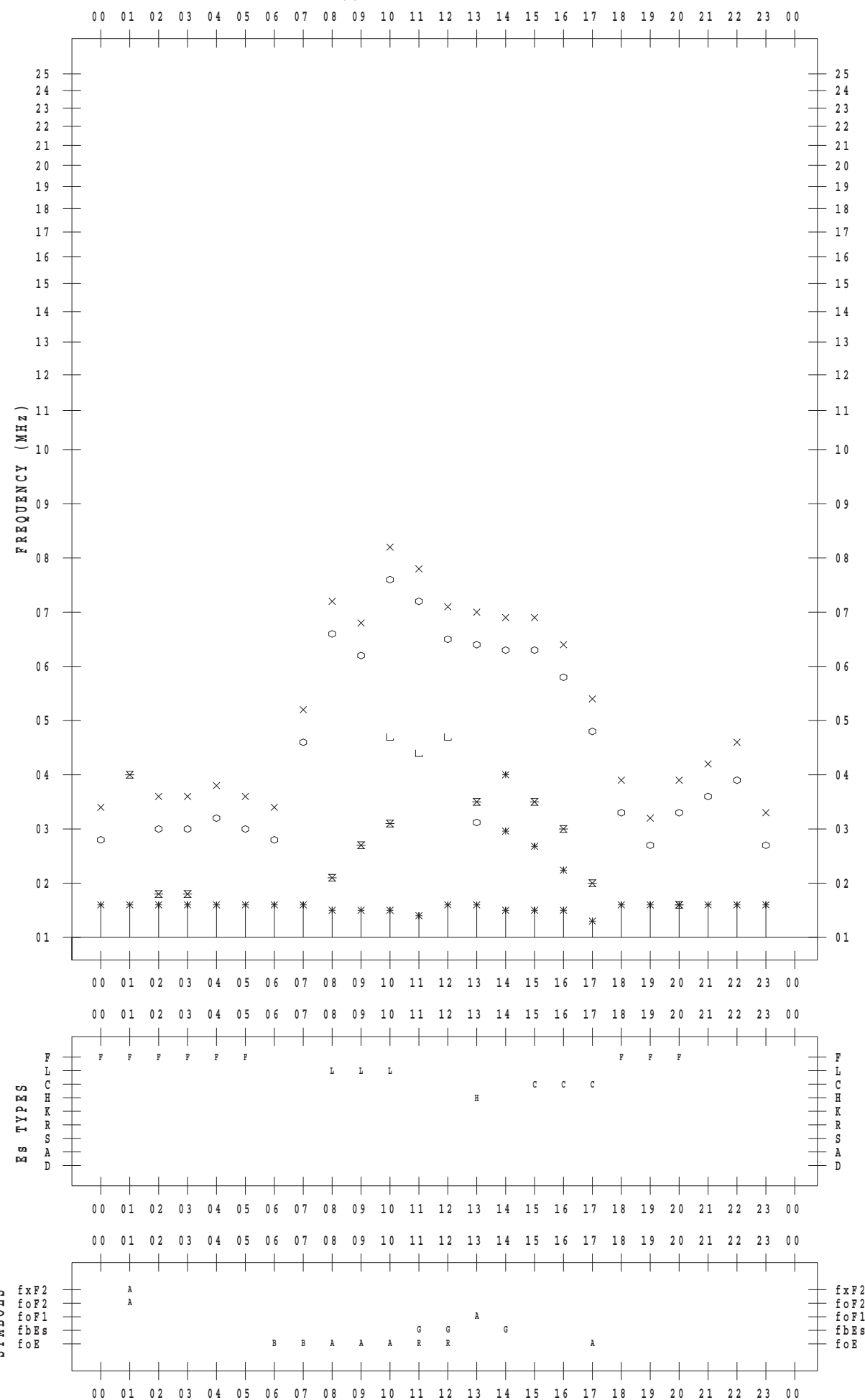
f - P L O T D A T A

SCALER : I.NISHIMUTA

STATION : Yamagawa

DATE : 2017/11/19

135 ° E MEAN TIME



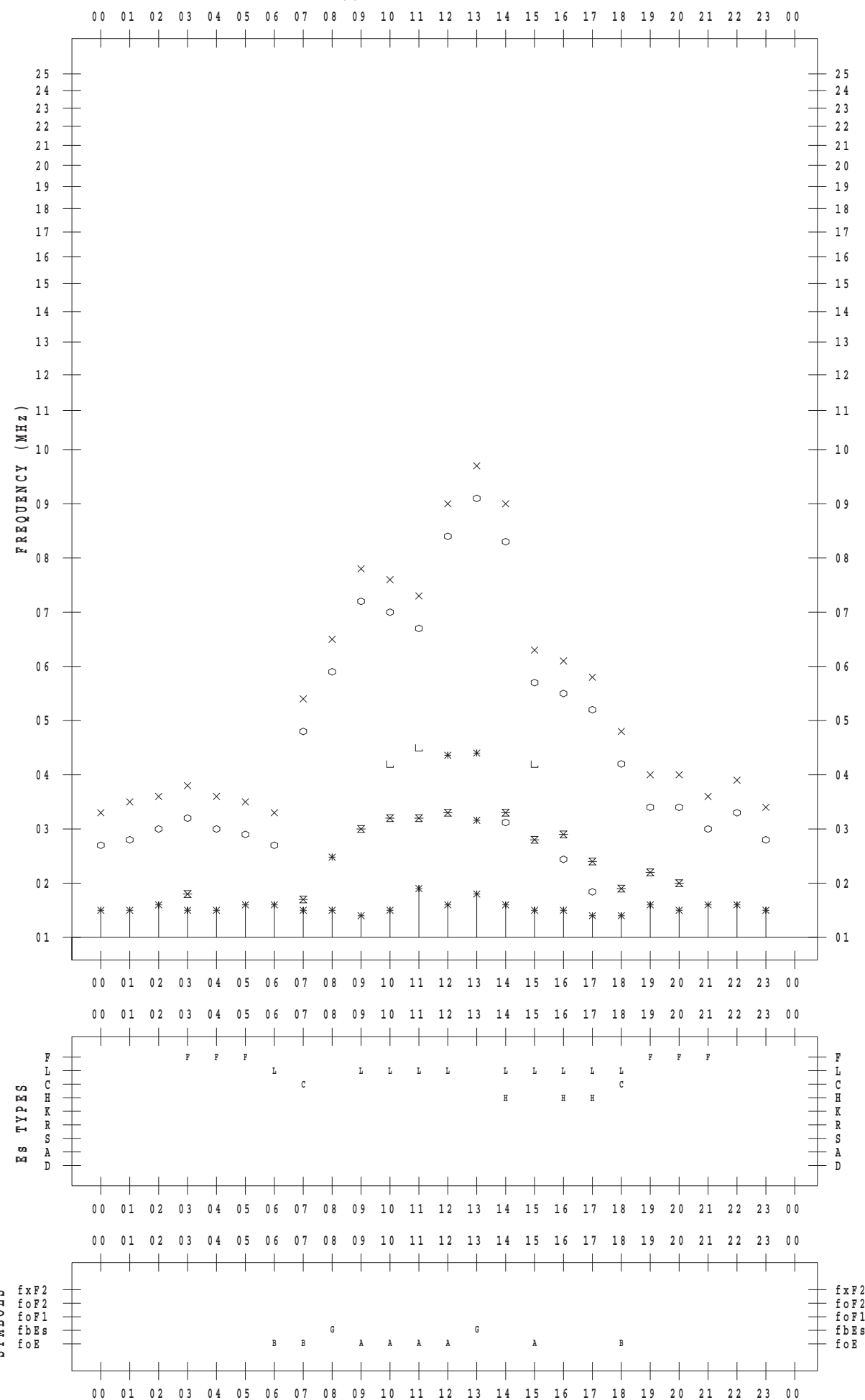
f - P L O T D A T A

SCALER : I.NISHIMUTA

STATION : Yamagawa

DATE : 2017/11/20

135 ° E MEAN TIME



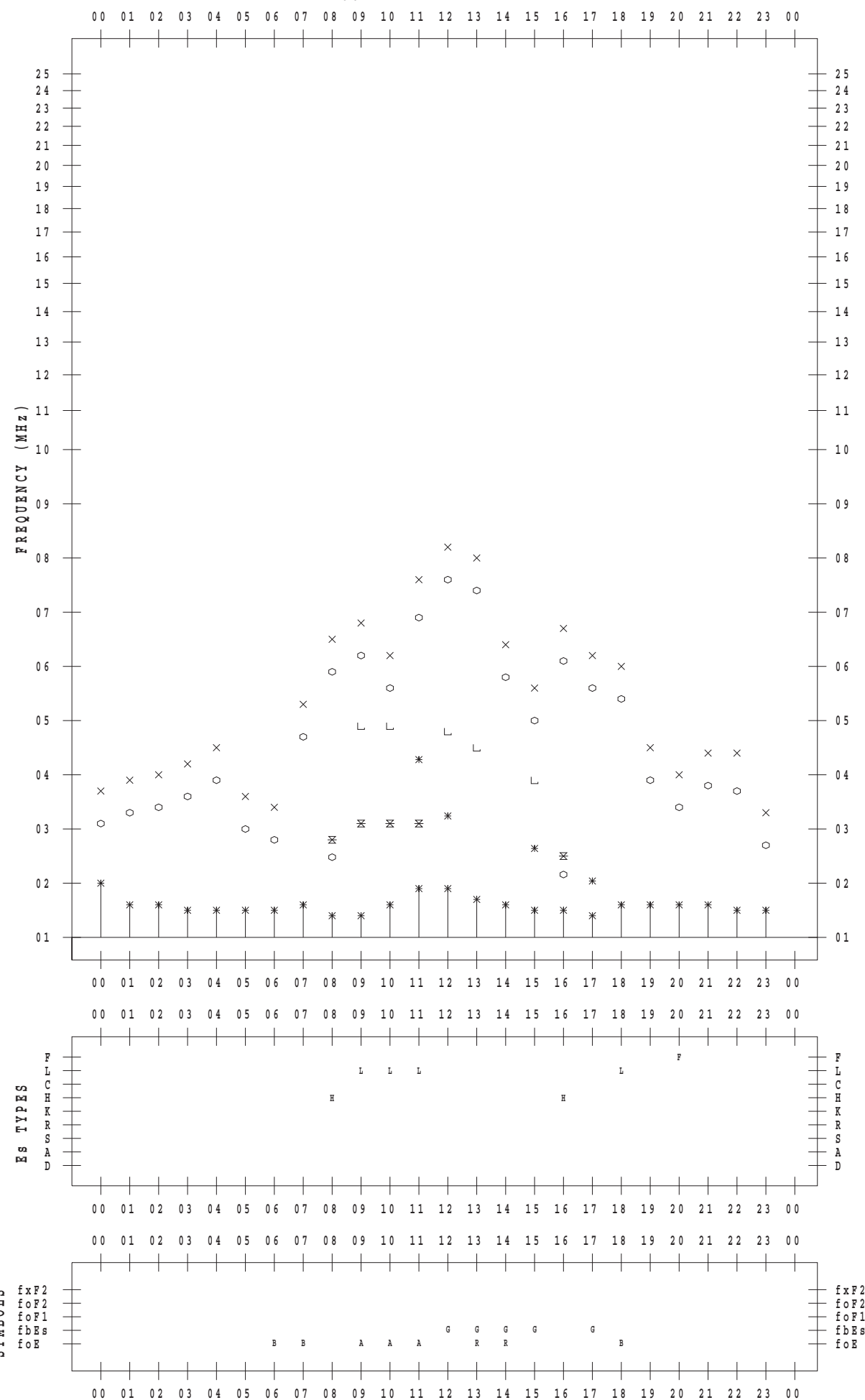
f - P L O T D A T A

SCALER : I.NISHIMUTA

STATION : Yamagawa

DATE : 2017/11/21

135 ° E MEAN TIME



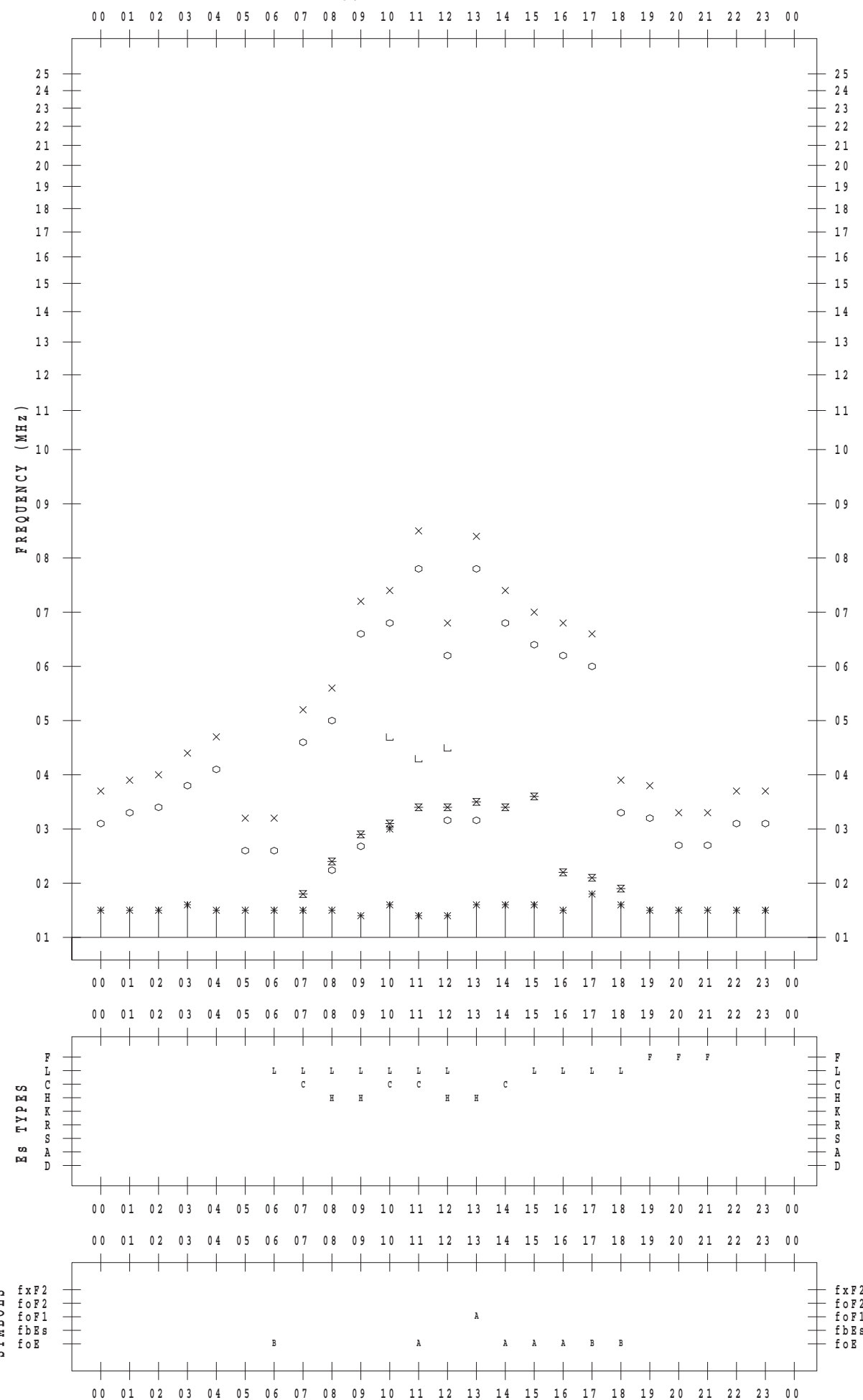
f - P L O T D A T A

SCALER : I.NISHIMUTA

STATION : Yamagawa

DATE : 2017/11/22

135 ° E MEAN TIME



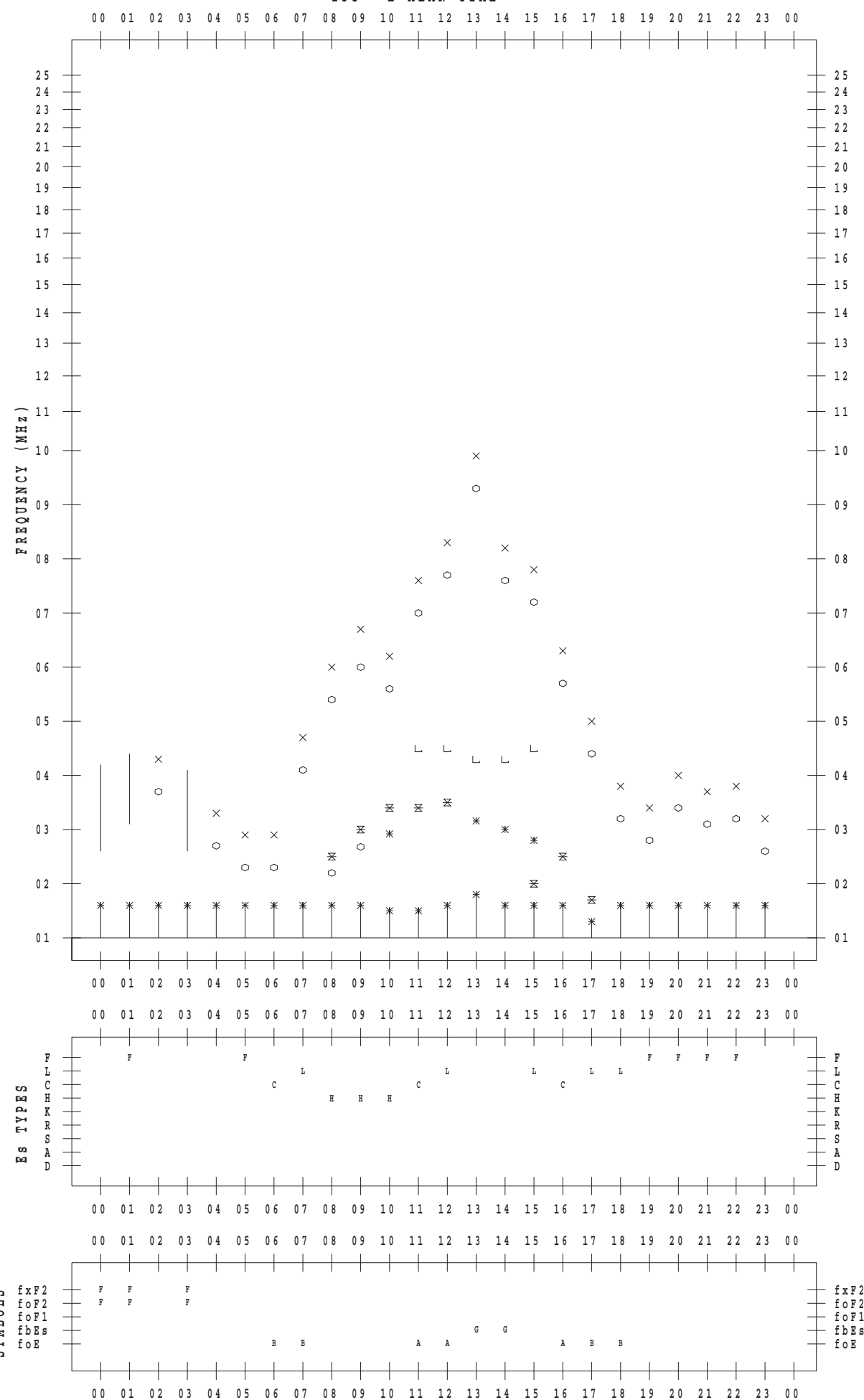
f - P L O T D A T A

SCALER : I.NISHIMUTA

STATION : Yamagawa

DATE : 2017/11/23

135 ° E MEAN TIME



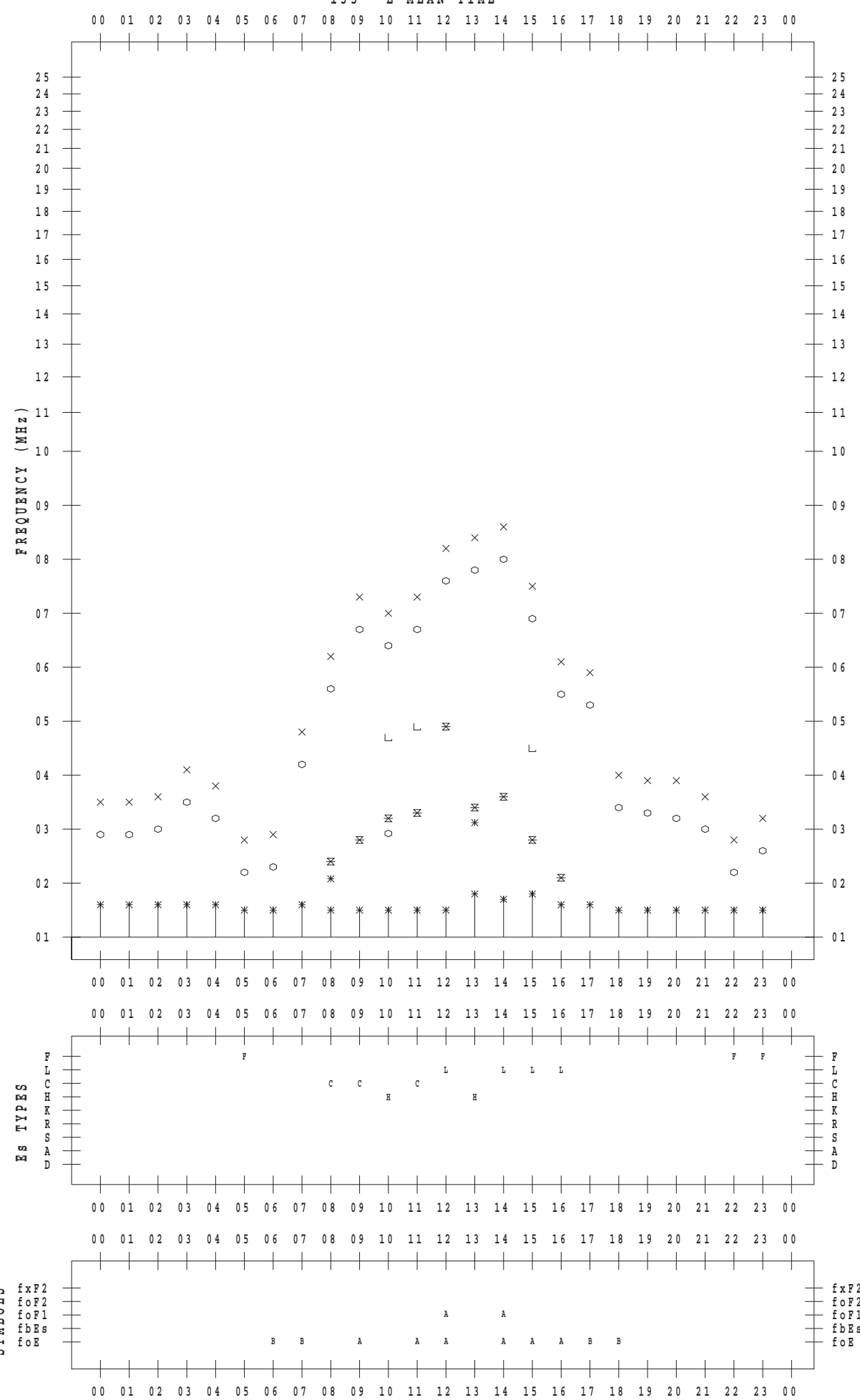
f - P L O T D A T A

SCALER : I.NISHIMUTA

STATION : Yamagawa

DATE : 2017/11/24

135 ° E MEAN TIME



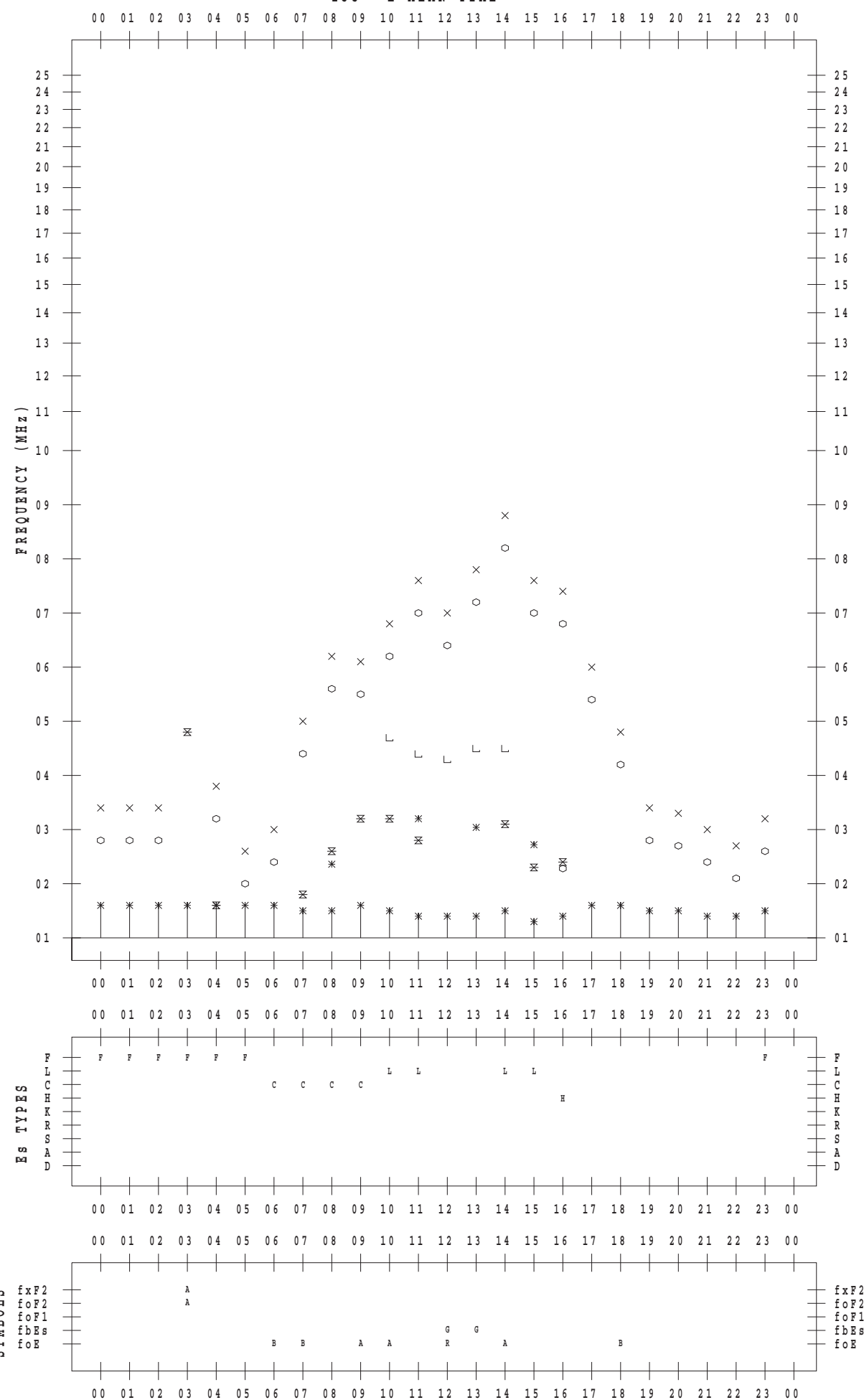
f - P L O T D A T A

SCALER : I.NISHIMUTA

STATION : Yamagawa

DATE : 2017/11/25

135 ° E MEAN TIME



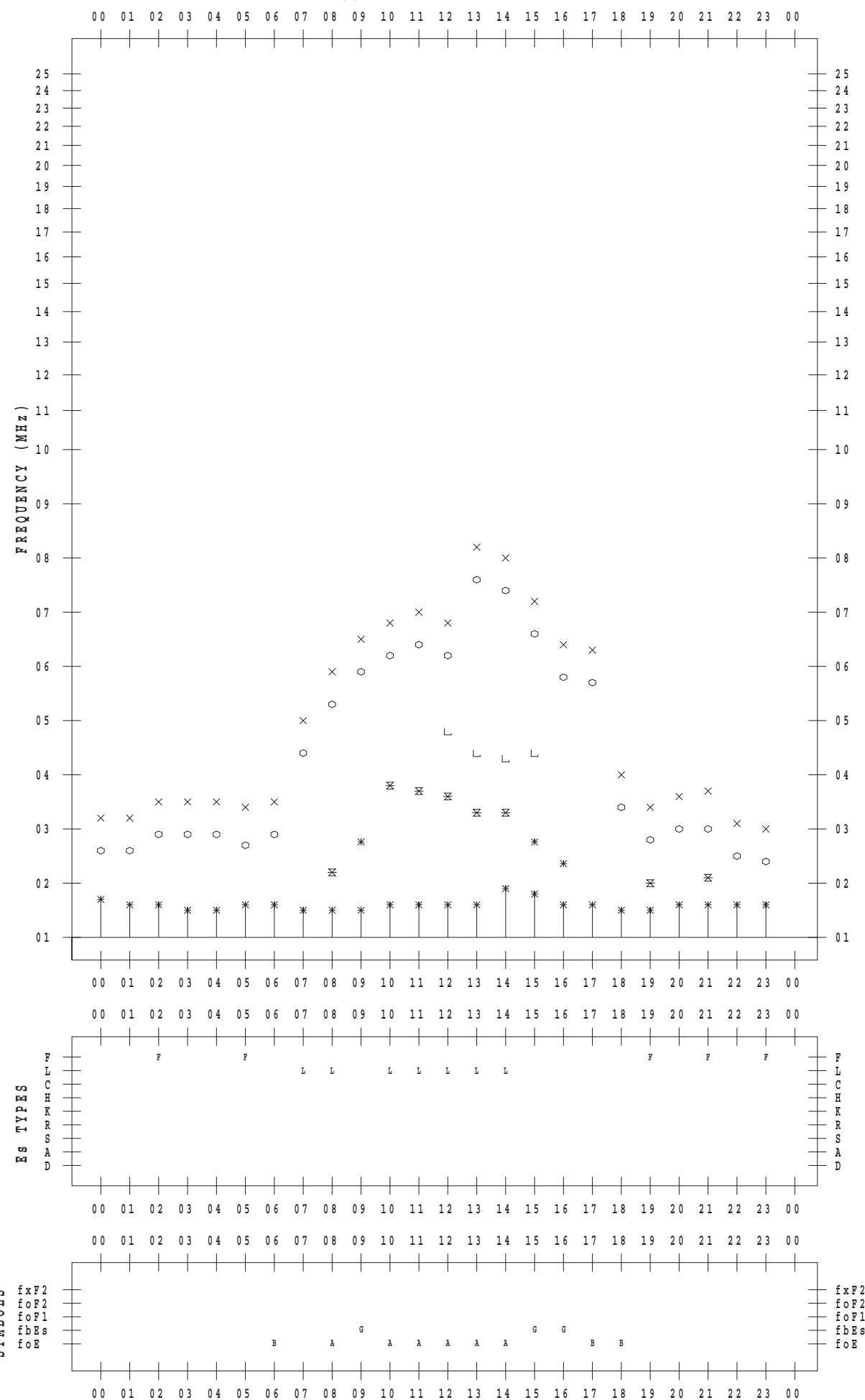
f - P L O T D A T A

SCALER : I.NISHIMUTA

STATION : Yamagawa

DATE : 2017/11/26

135 ° E MEAN TIME



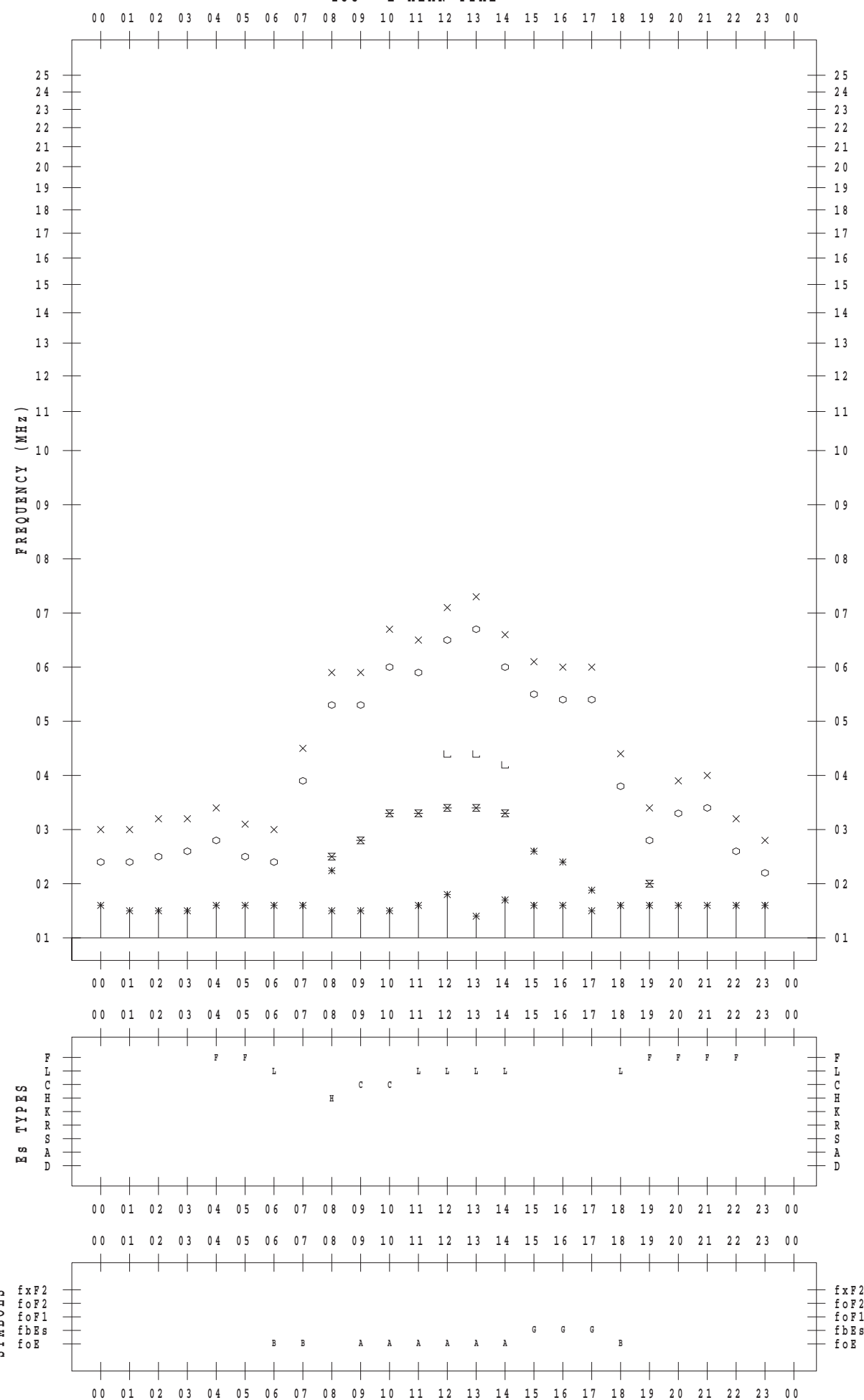
f - P L O T D A T A

SCALER : I.NISHIMUTA

STATION : Yamagawa

DATE : 2017/11/27

135 ° E MEAN TIME



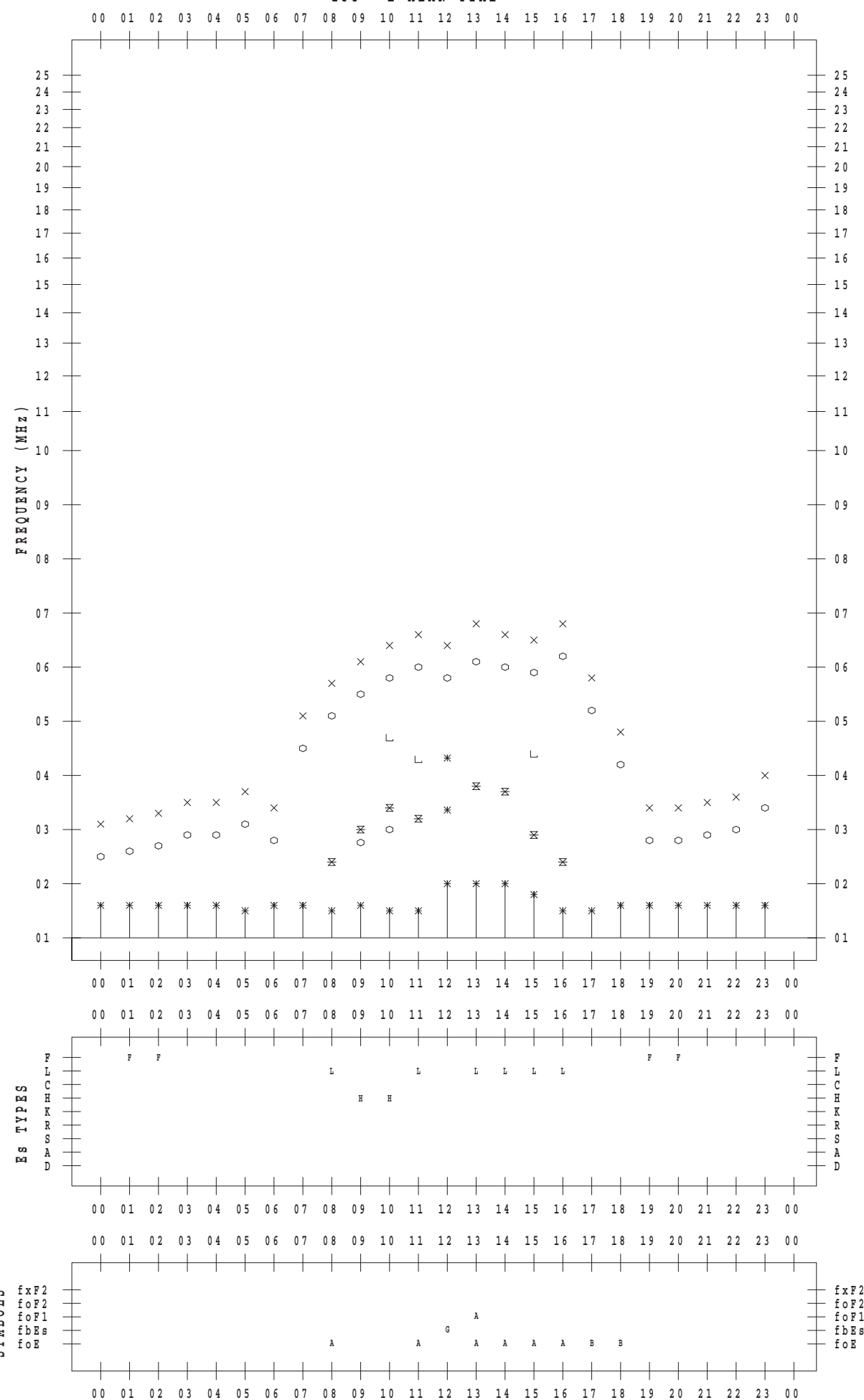
f - P L O T D A T A

SCALER : I.NISHIMUTA

STATION : Yamagawa

DATE : 2017/11/28

135 ° E MEAN TIME



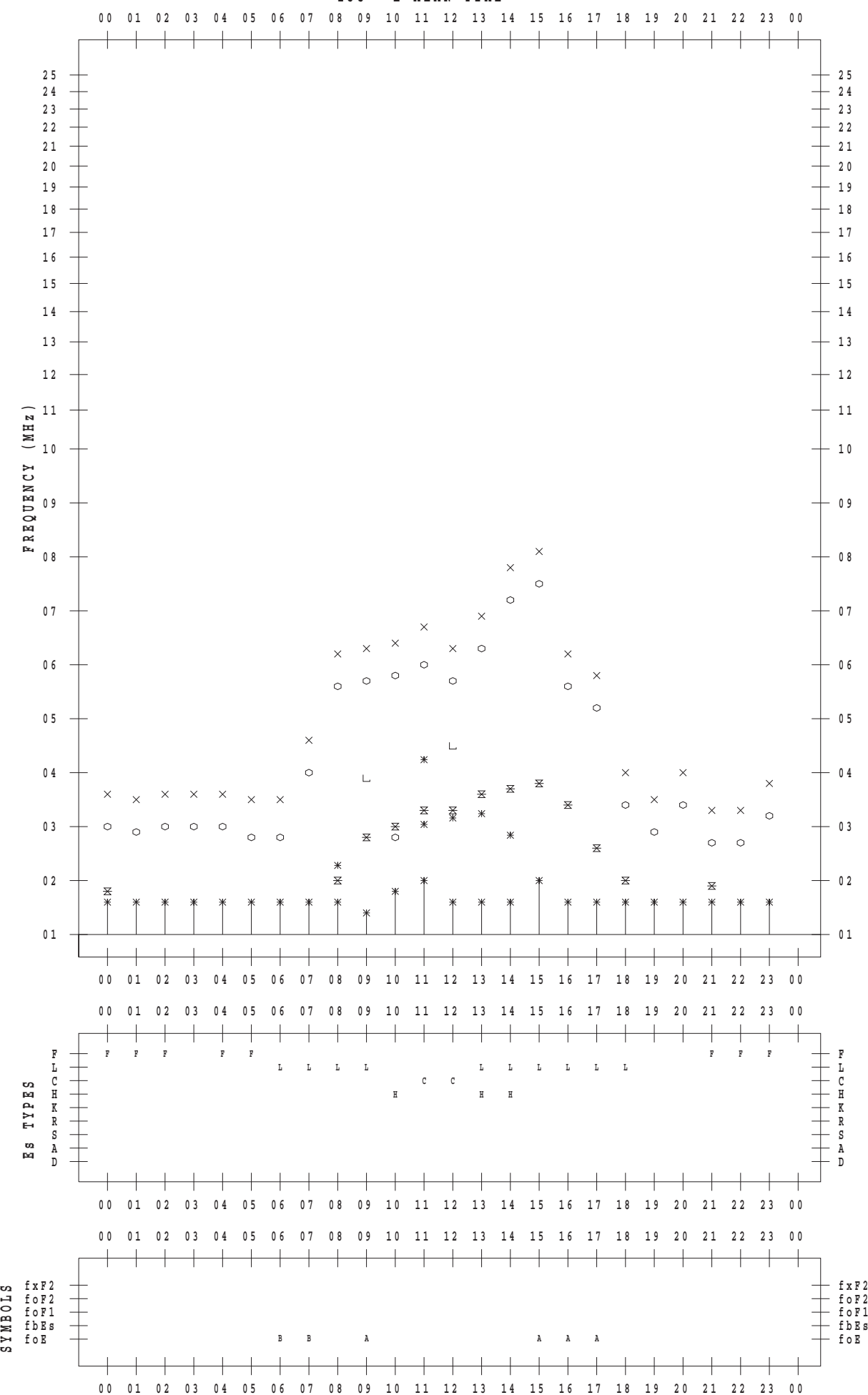
f - P L O T D A T A

SCALER : I.NISHIMUTA

STATION : Yamagawa

DATE : 2017/11/29

135 °E MEAN TIME



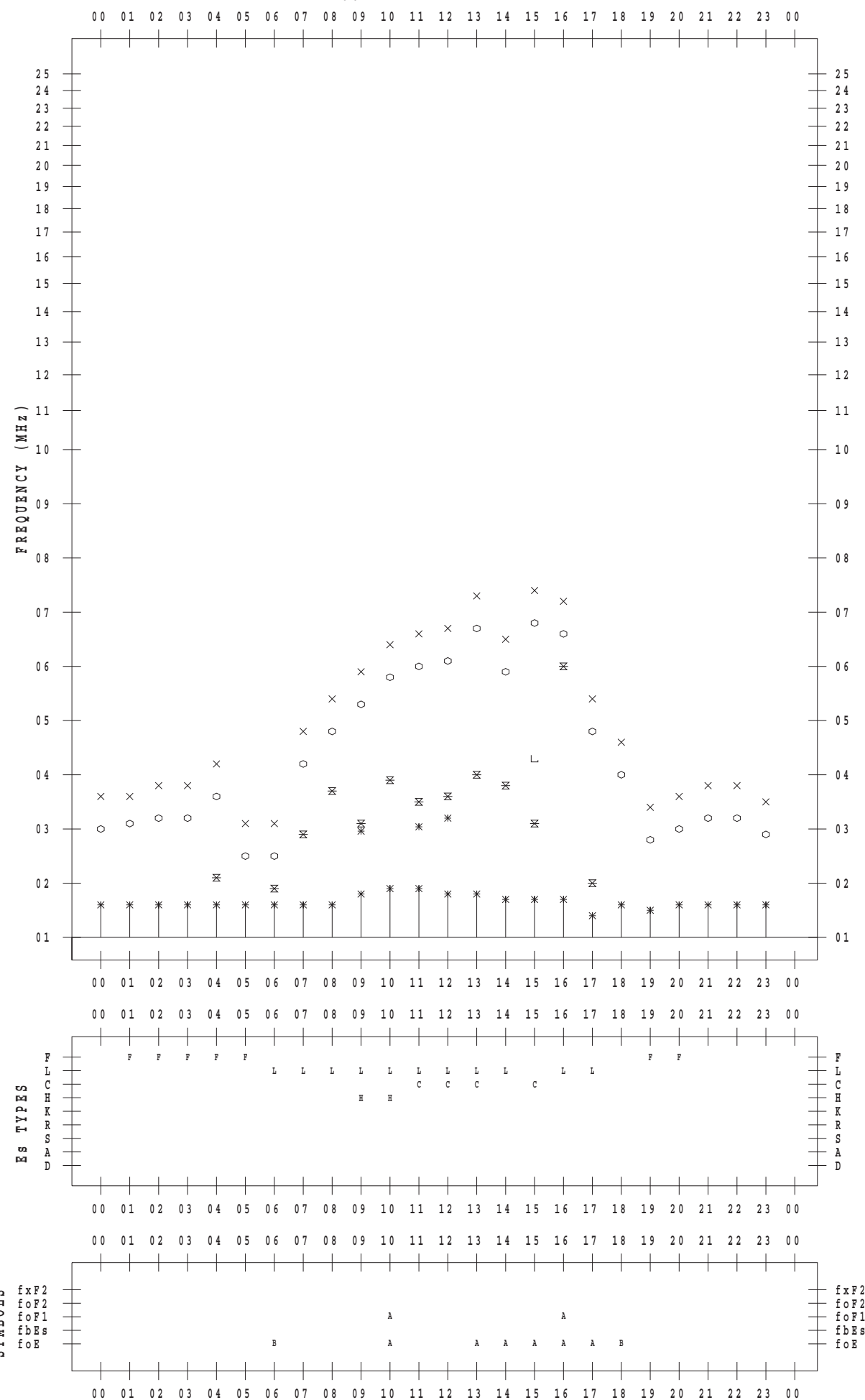
f - P L O T D A T A

SCALER : I.NISHIMUTA

STATION : Yamagawa

DATE : 2017/11/30

135 ° E MEAN TIME



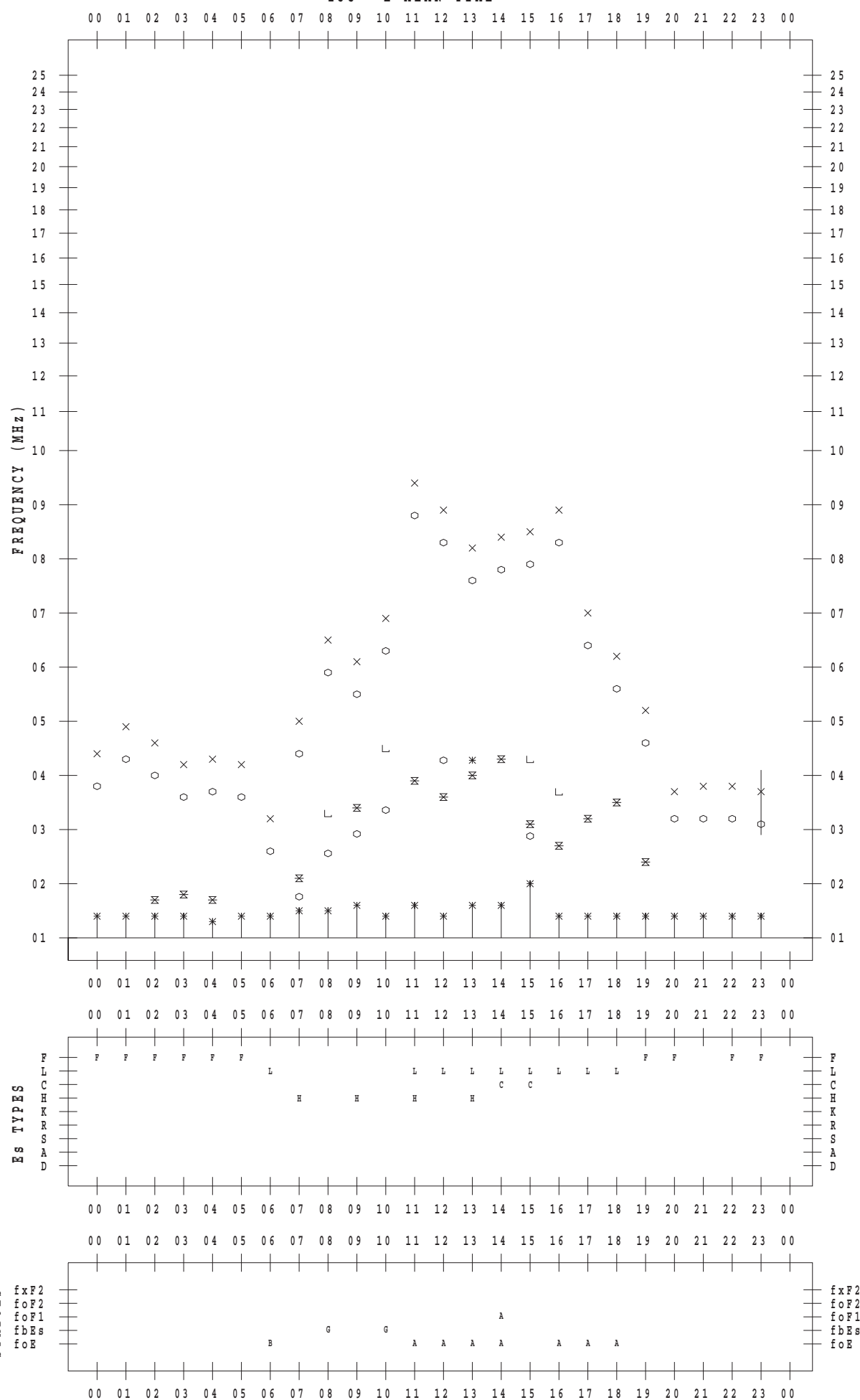
f - P L O T D A T A

SCALER : I.YAMAZAKI

STATION : Okinawa

DATE : 2017/11/1

135 ° E MEAN TIME



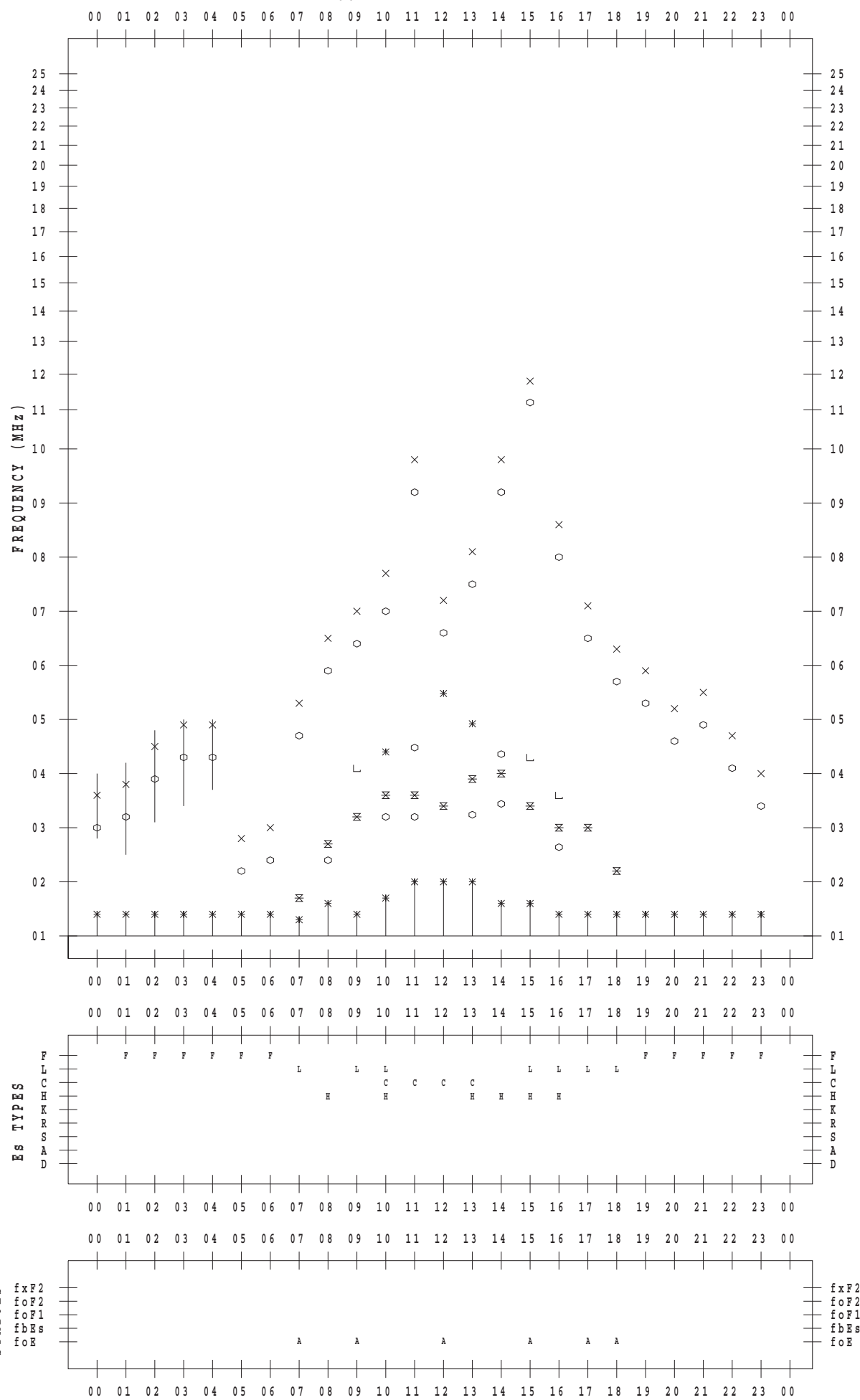
f - P L O T D A T A

SCALER : I.YAMAZAKI

STATION : Okinawa

DATE : 2017/11/2

135 ° E MEAN TIME



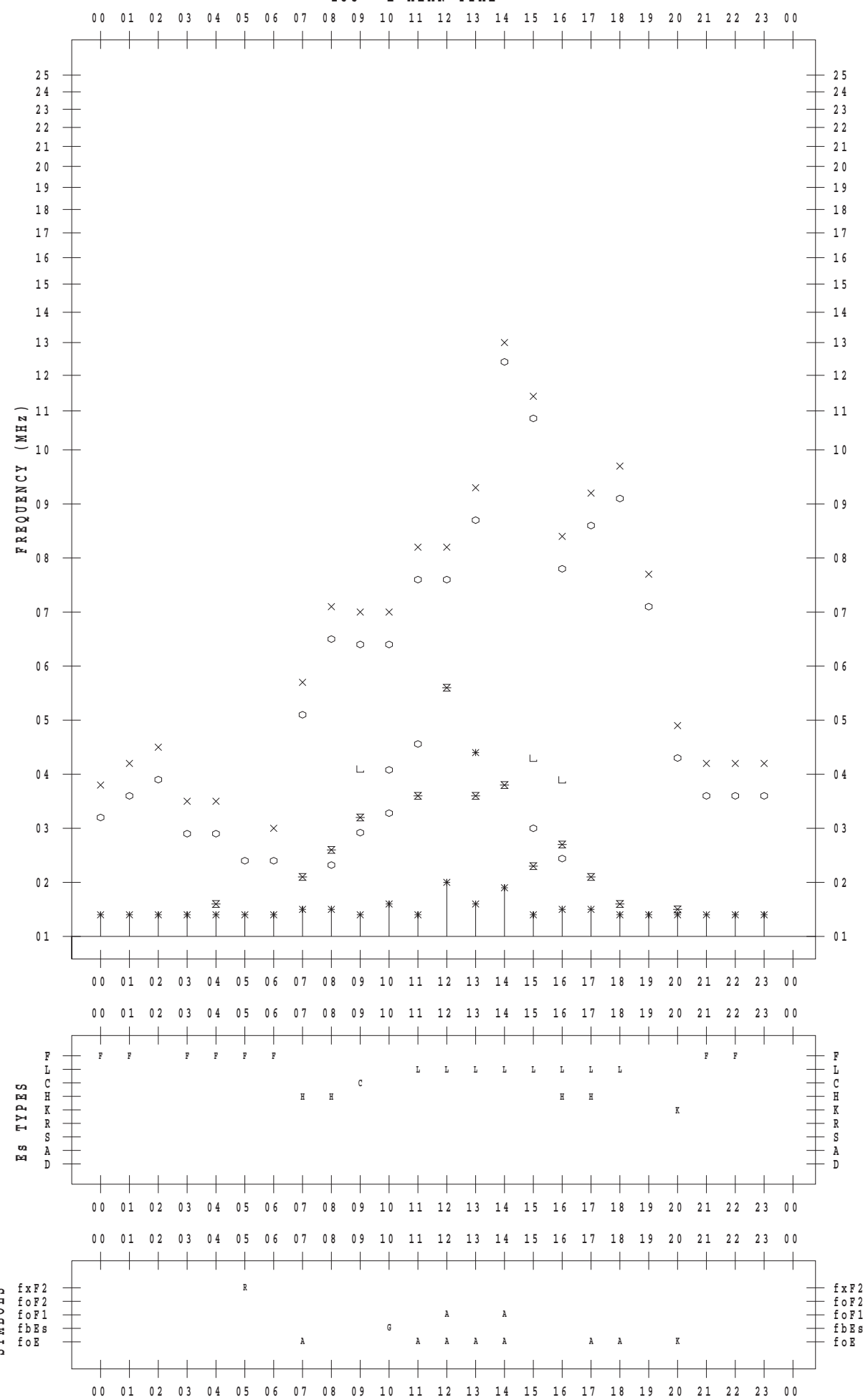
f - P L O T D A T A

SCALER : I.YAMAZAKI

STATION : Okinawa

DATE : 2017/11/3

135 ° E MEAN TIME



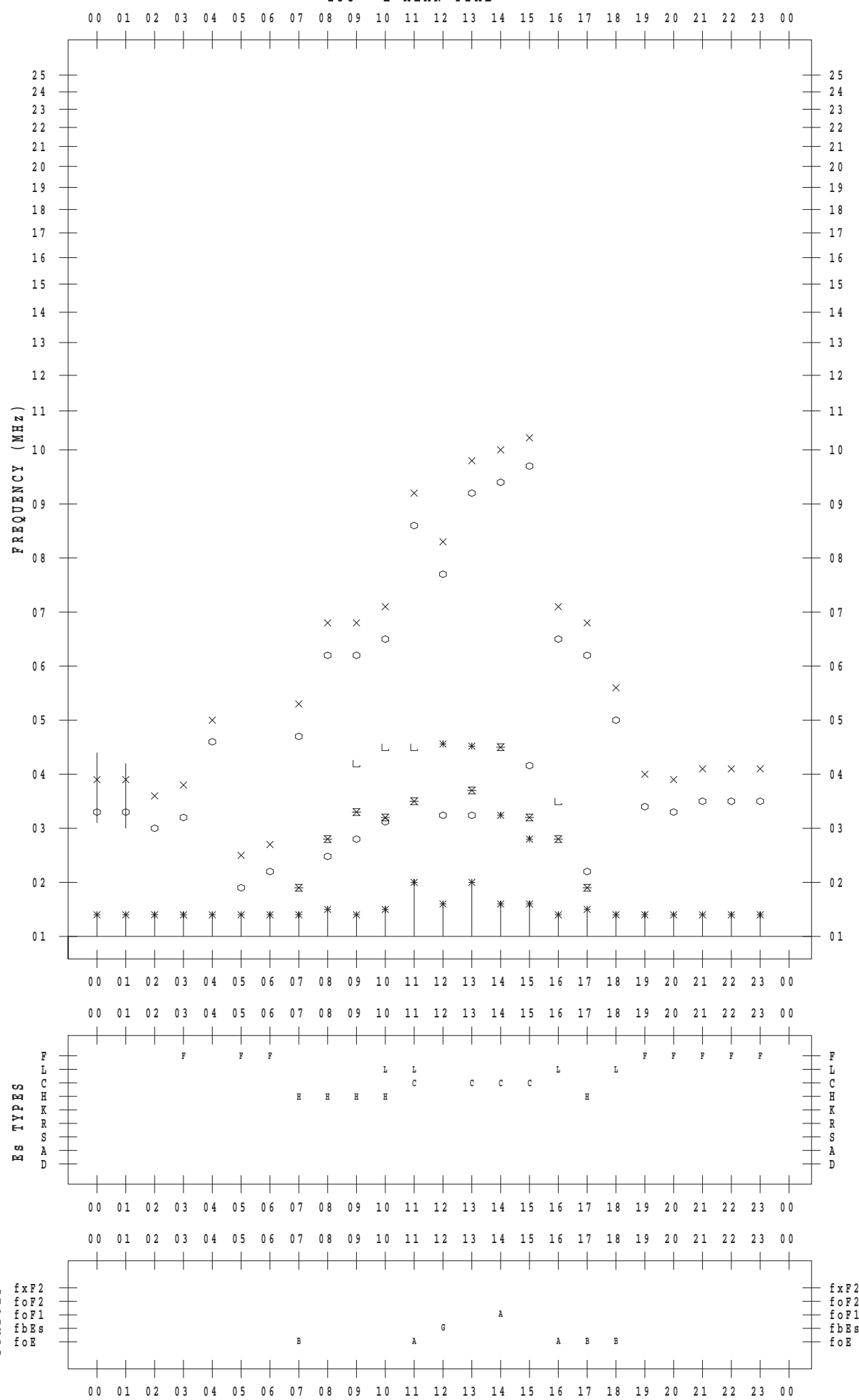
f - P L O T D A T A

SCALER : I.YAMAZAKI

STATION : Okinawa

DATE : 2017/11/4

135 ° E MEAN TIME



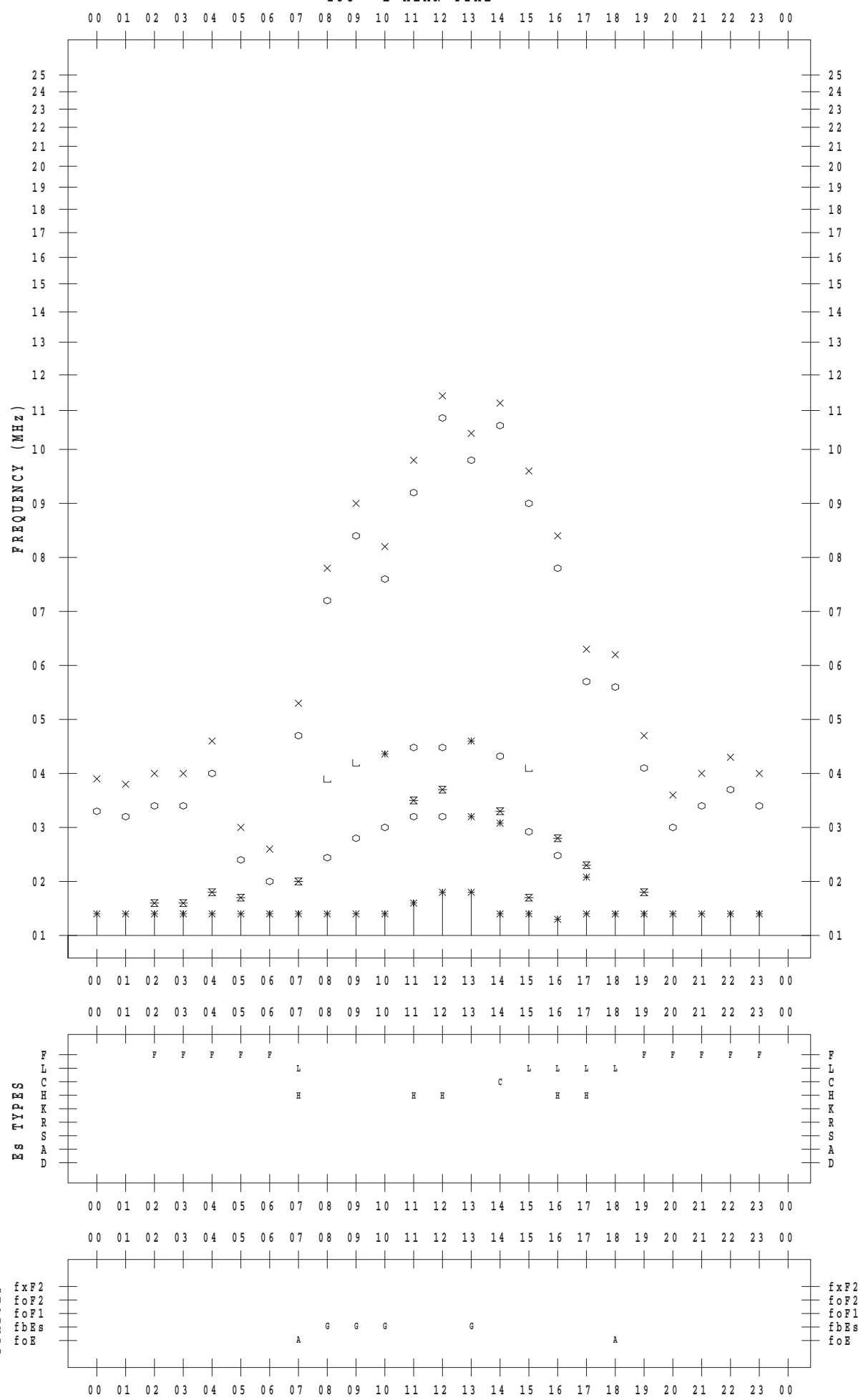
f - P L O T D A T A

SCALER : I.YAMAZAKI

STATION : Okinawa

DATE : 2017/11/5

135 ° E MEAN TIME



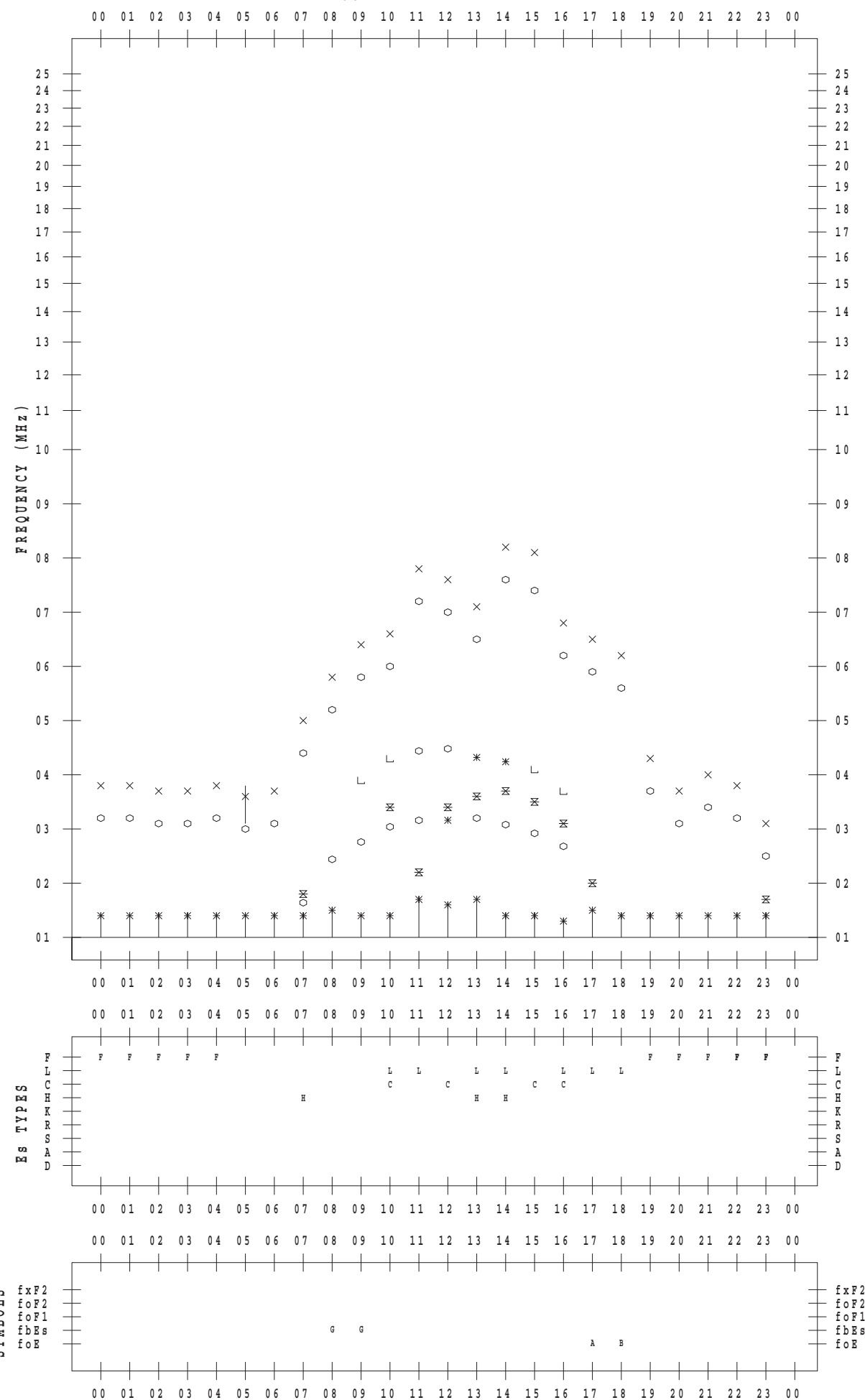
f - P L O T D A T A

SCALER : I.YAMAZAKI

STATION : Okinawa

DATE : 2017/11/6

135 ° E MEAN TIME



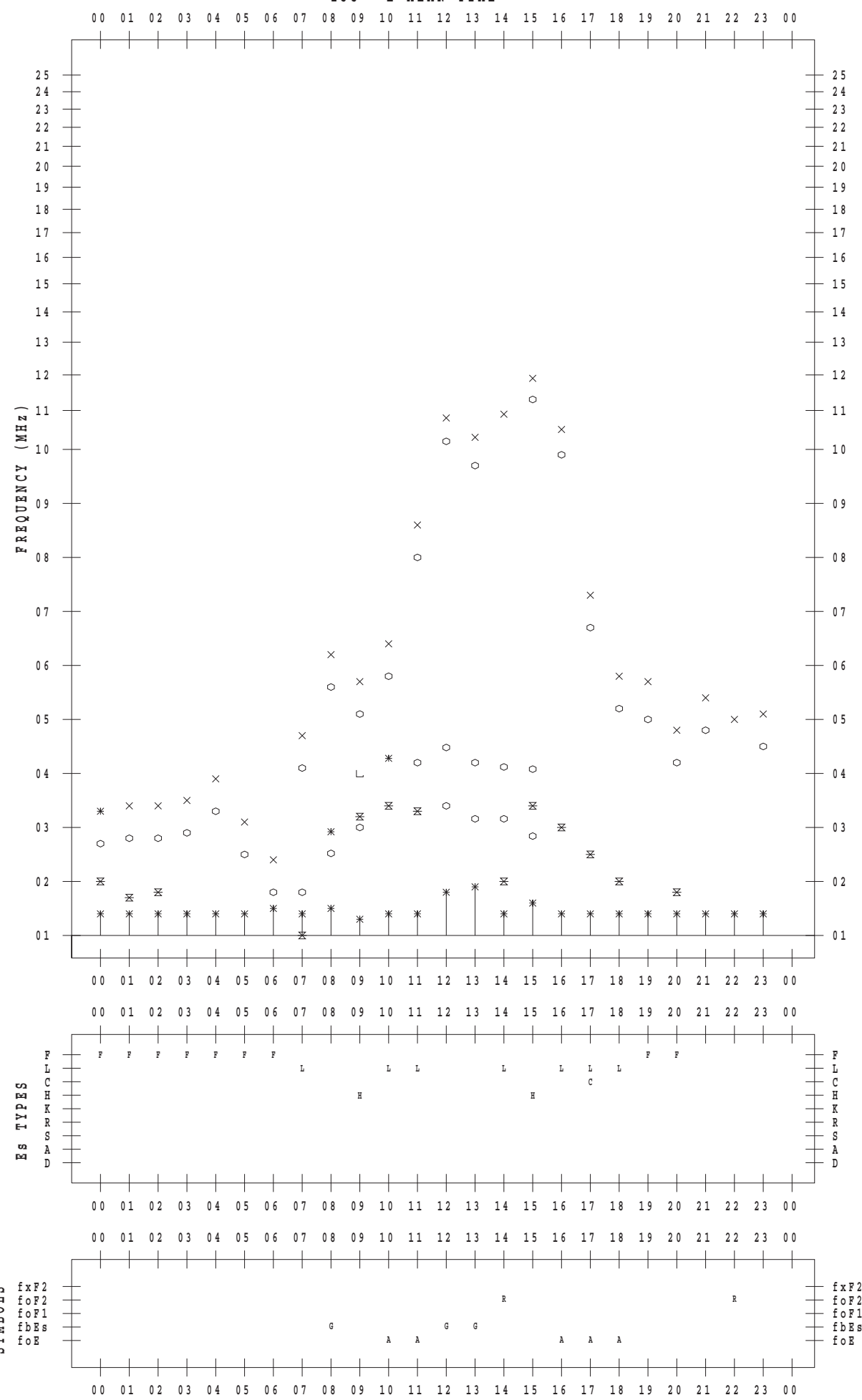
f - P L O T D A T A

SCALER : I.YAMAZAKI

STATION : Okinawa

DATE : 2017/11/7

135 ° E MEAN TIME



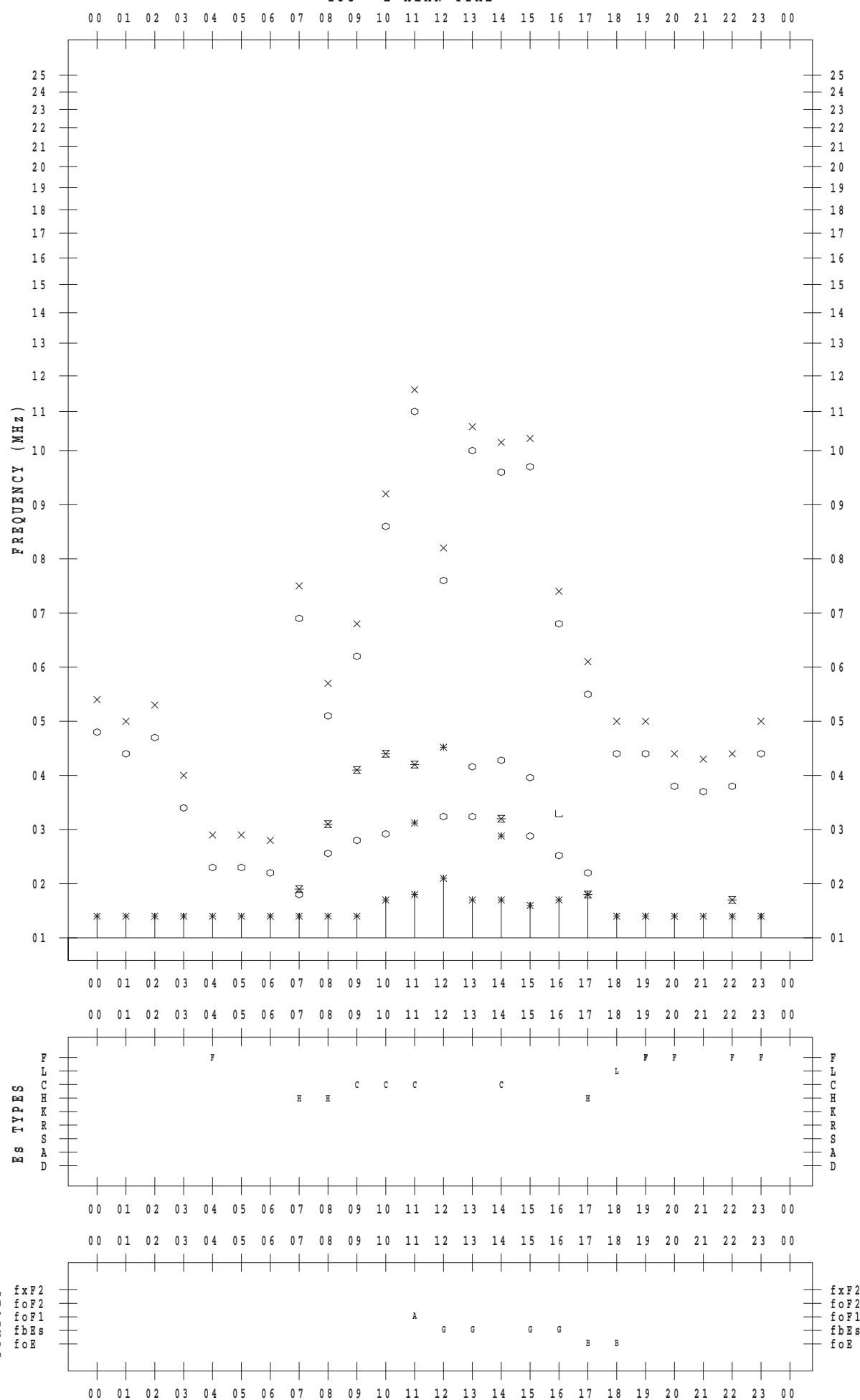
f - P L O T D A T A

SCALER : I.YAMAZAKI

STATION : Okinawa

DATE : 2017/11/8

135 ° E MEAN TIME



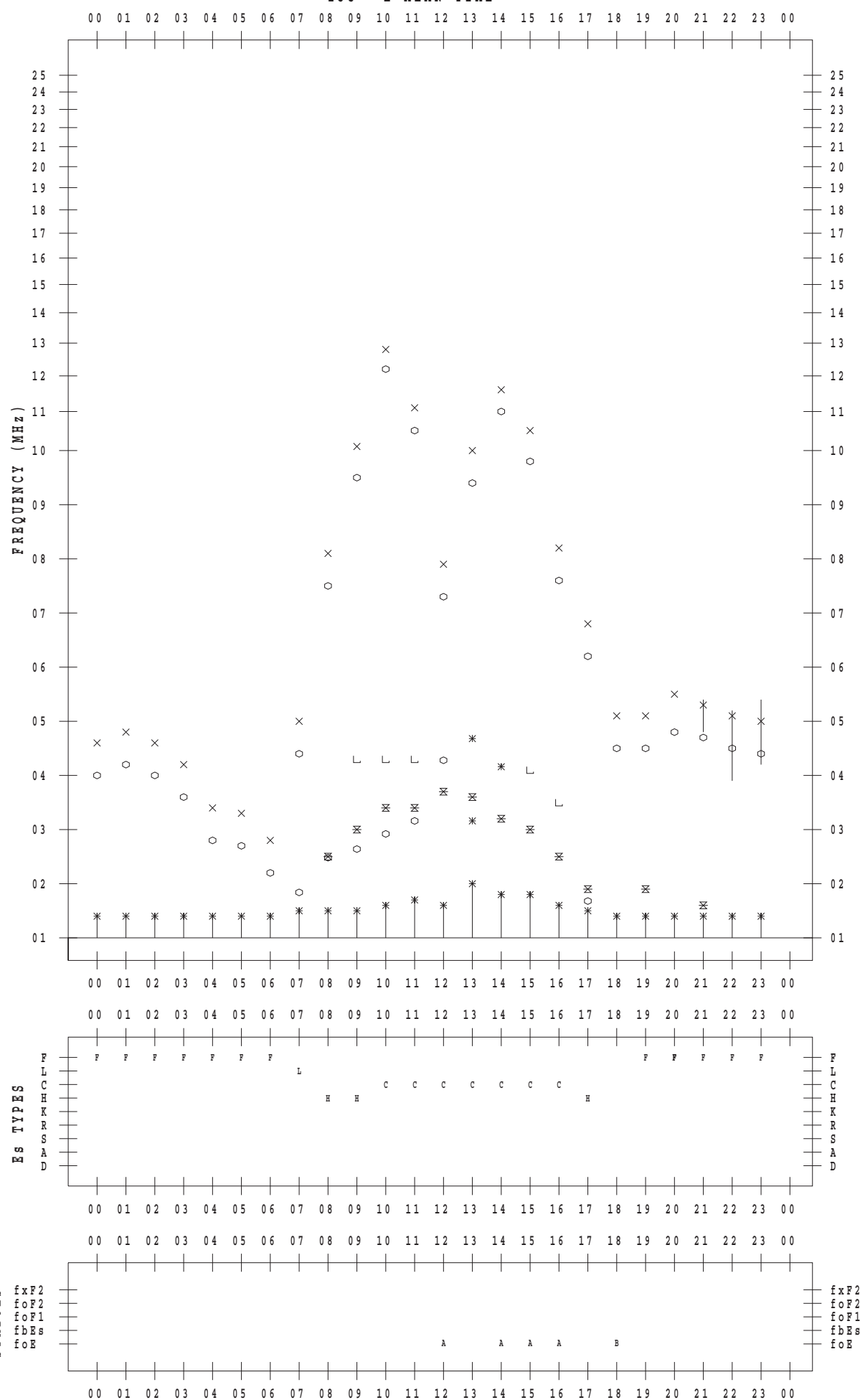
f - P L O T D A T A

SCALER : I.YAMAZAKI

STATION : Okinawa

DATE : 2017/11/9

135 °E MEAN TIME



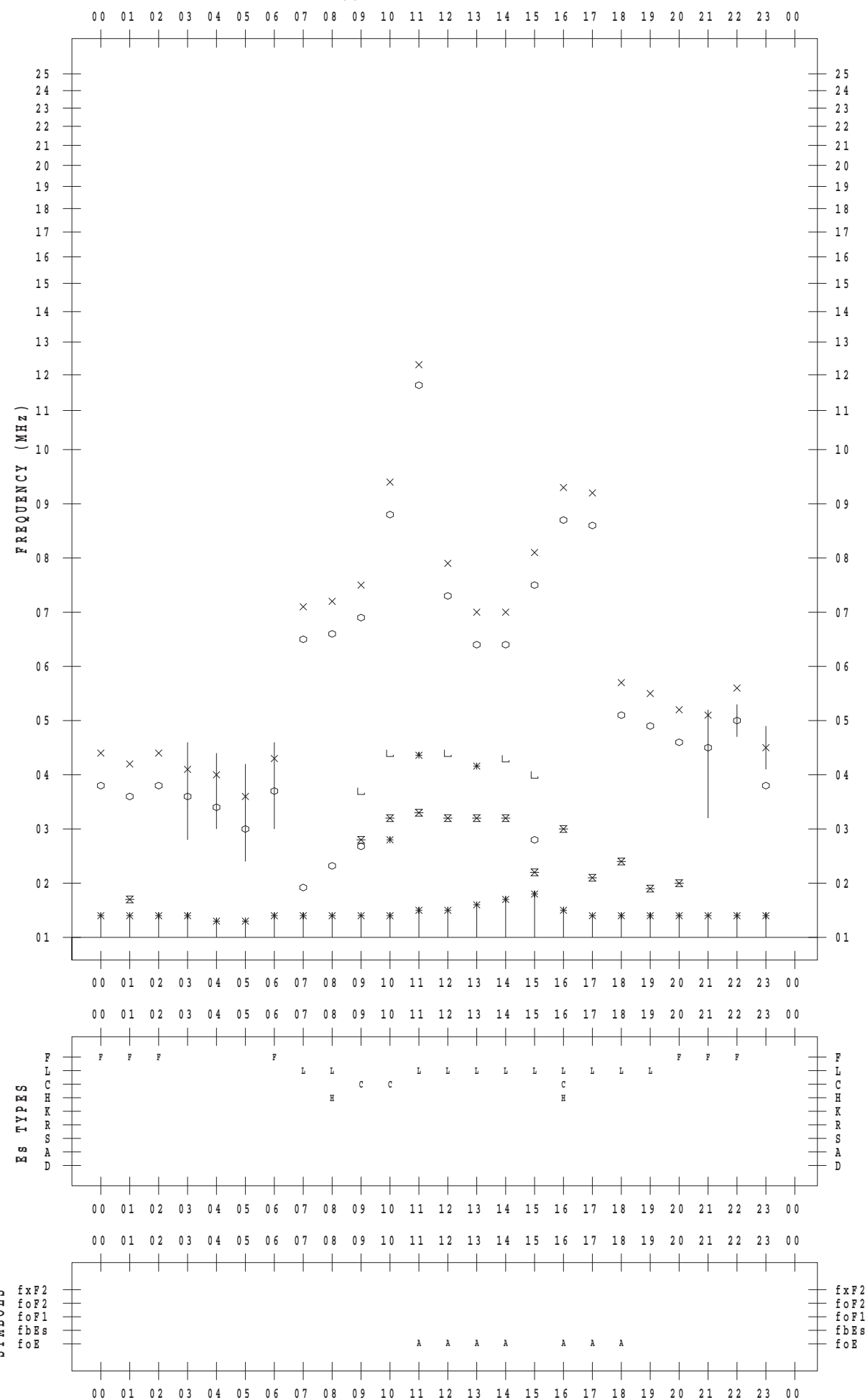
f - P L O T D A T A

SCALER : I.YAMAZAKI

STATION : Okinawa

DATE : 2017/11/10

135 ° E MEAN TIME



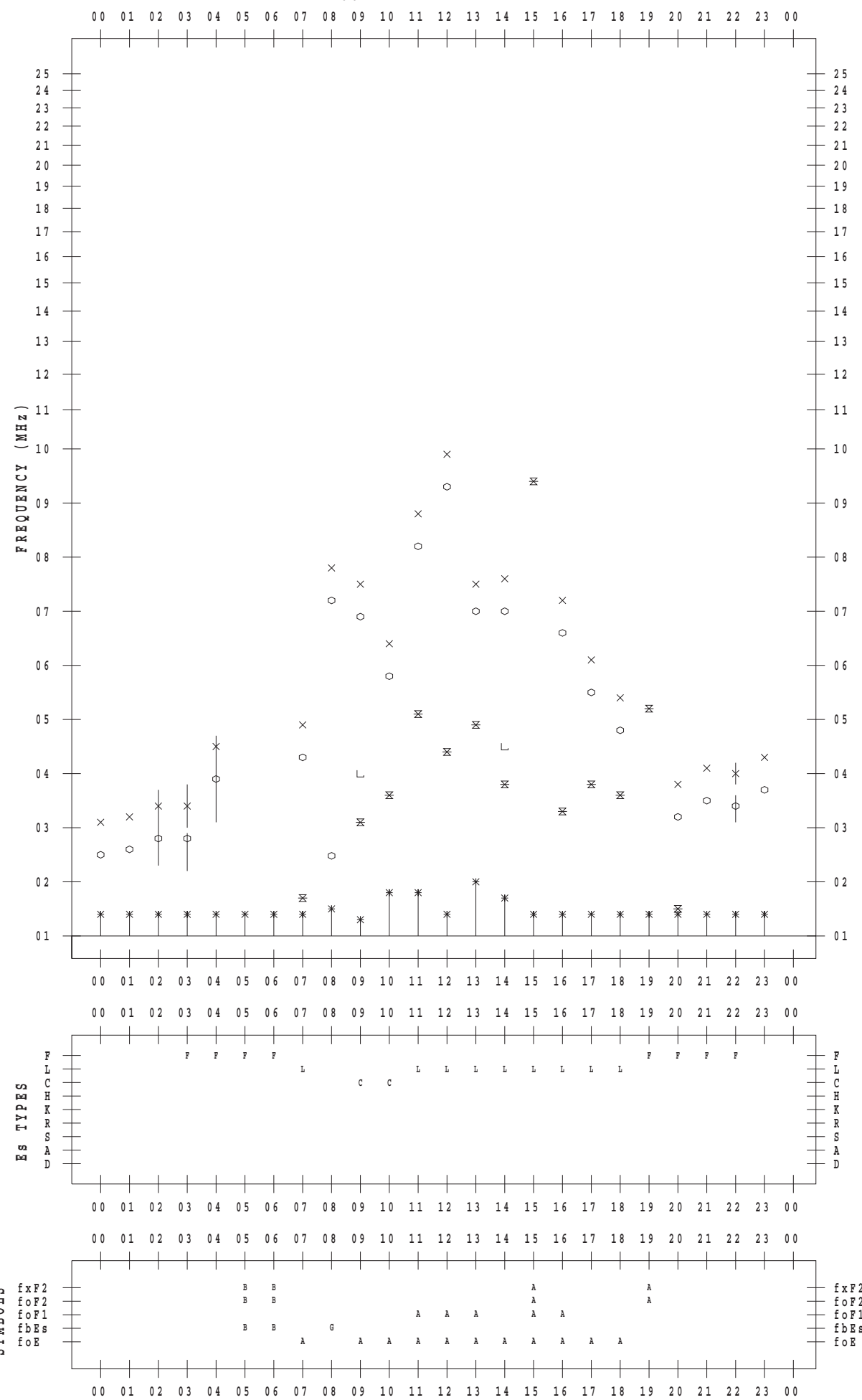
f - P L O T D A T A

SCALER : I.YAMAZAKI

STATION : Okinawa

DATE : 2017/11/11

135 ° E MEAN TIME



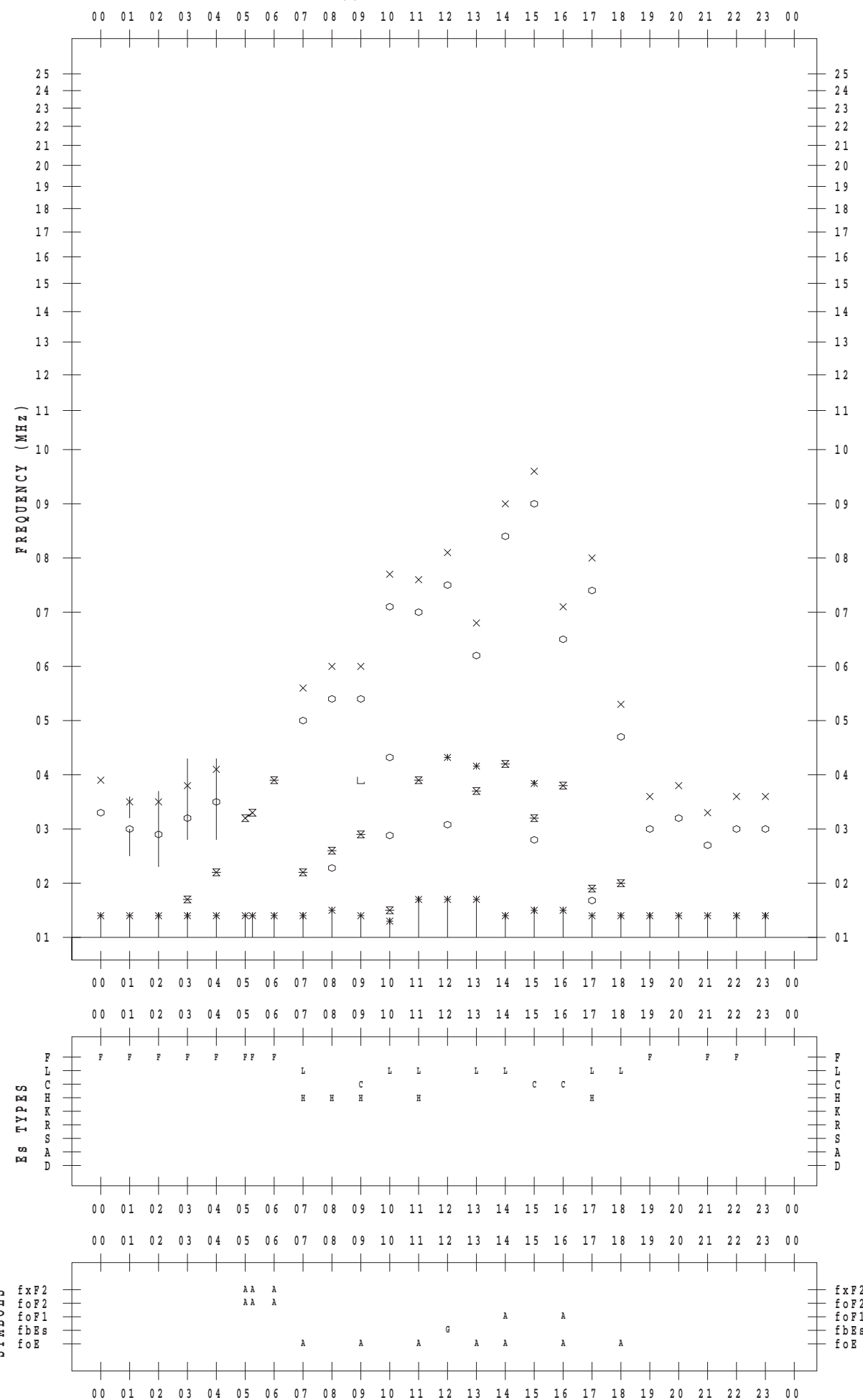
f - P L O T D A T A

SCALER : I.YAMAZAKI

STATION : Okinawa

DATE : 2017/11/12

135 ° E MEAN TIME



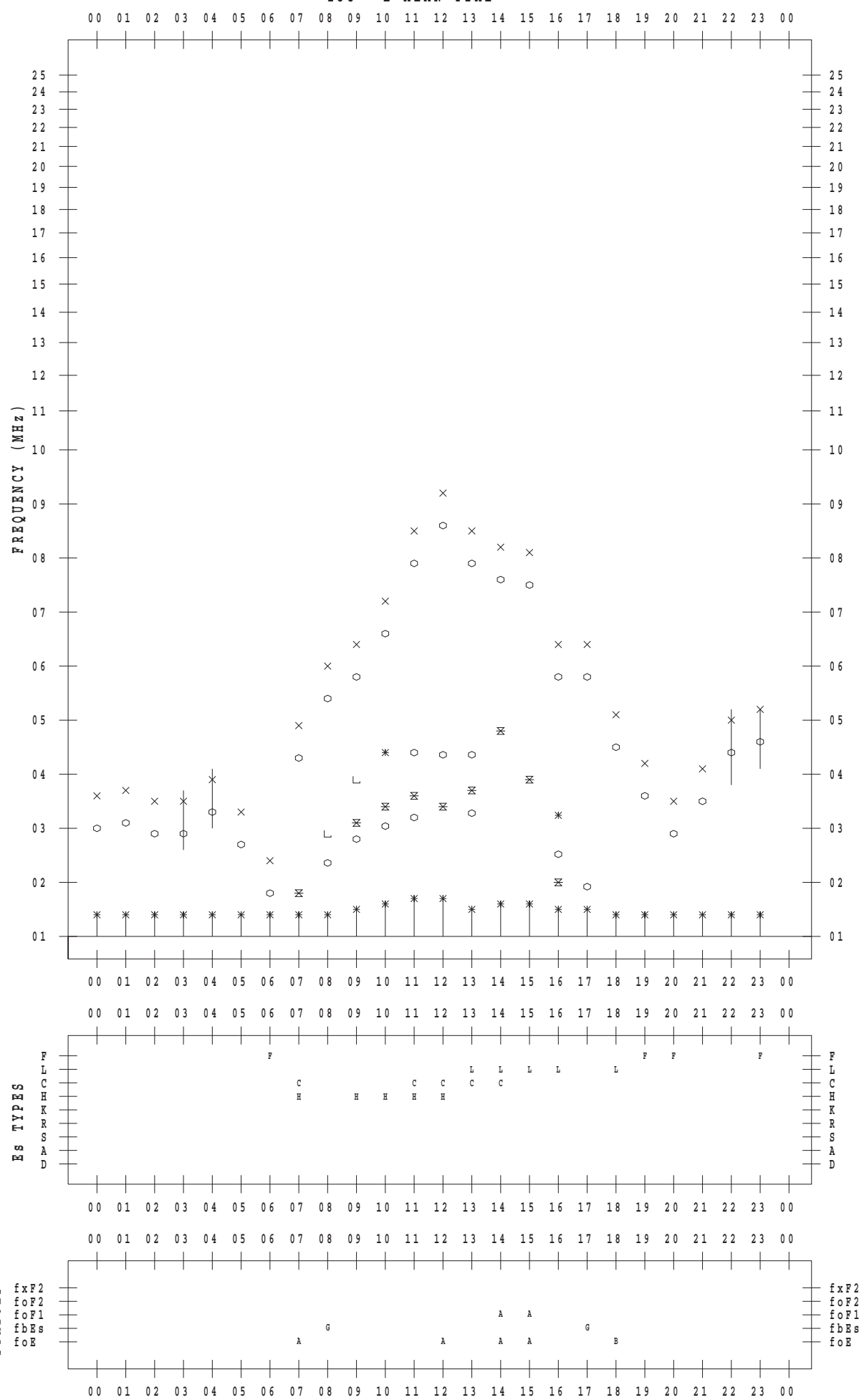
f - P L O T D A T A

SCALER : I.YAMAZAKI

STATION : Okinawa

DATE : 2017/11/13

135 ° E MEAN TIME



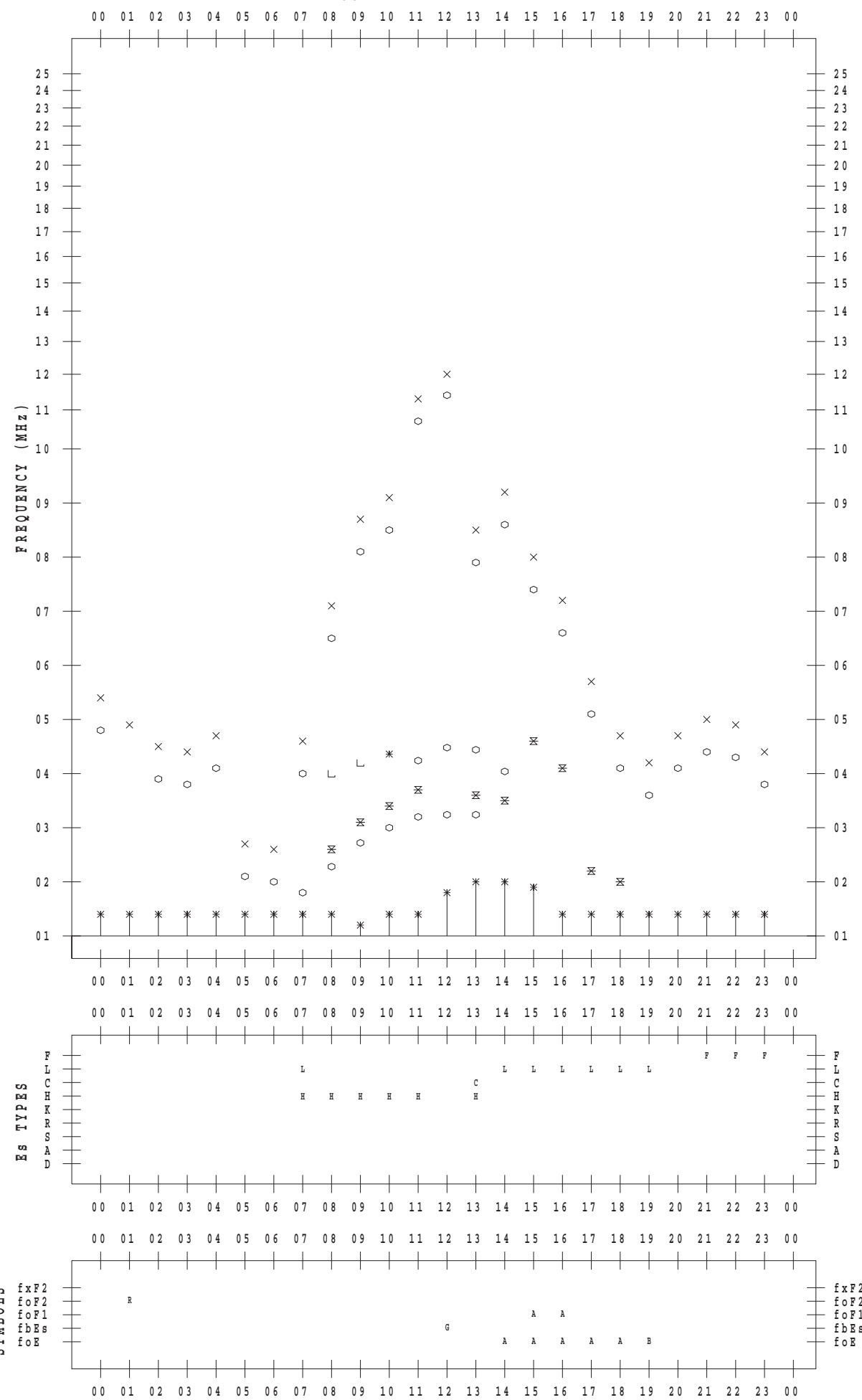
f - P L O T D A T A

SCALER : I.YAMAZAKI

STATION : Okinawa

DATE : 2017/11/14

135 ° E MEAN TIME



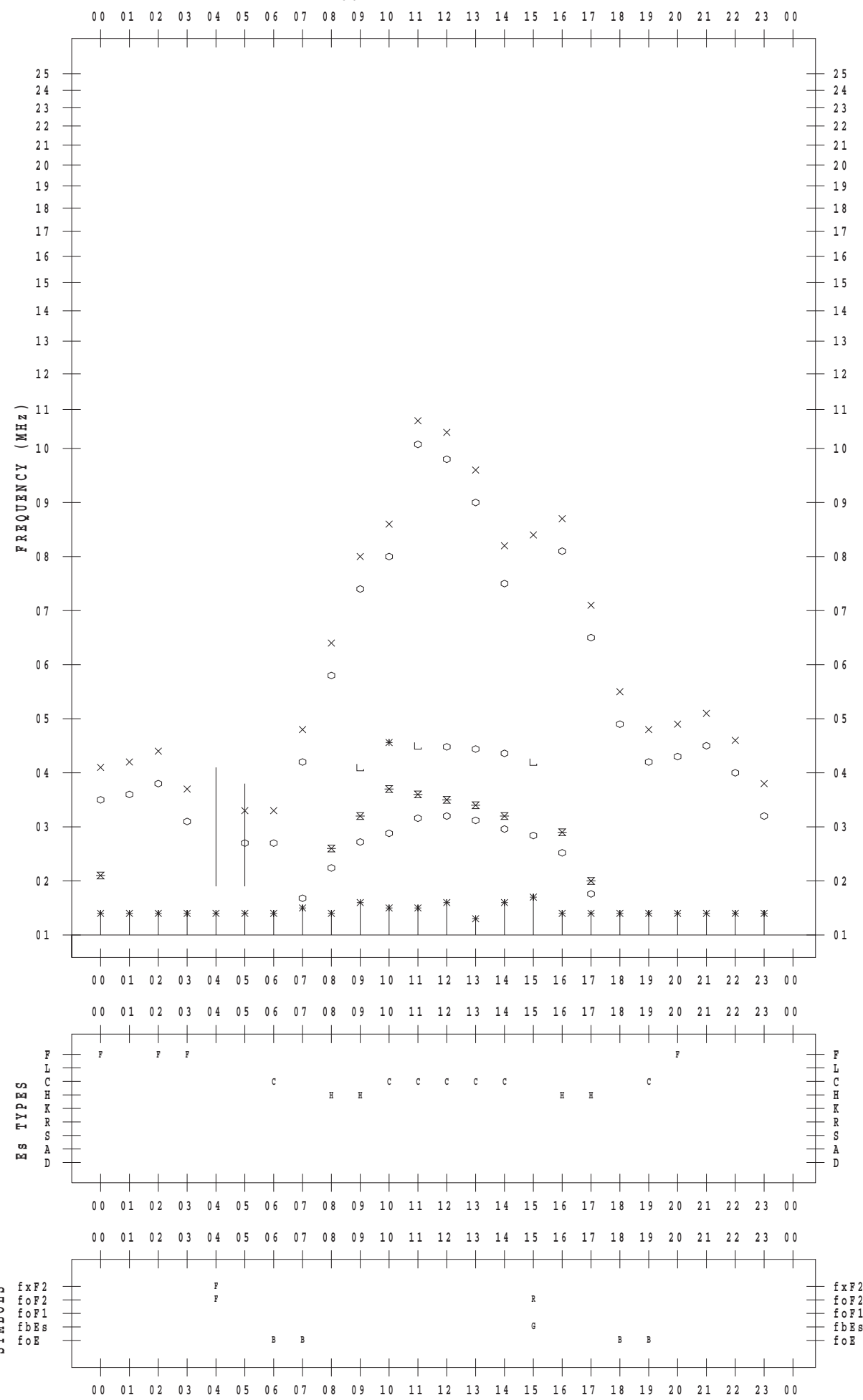
f - P L O T D A T A

SCALER : I.YAMAZAKI

STATION : Okinawa

DATE : 2017/11/15

135 ° E MEAN TIME



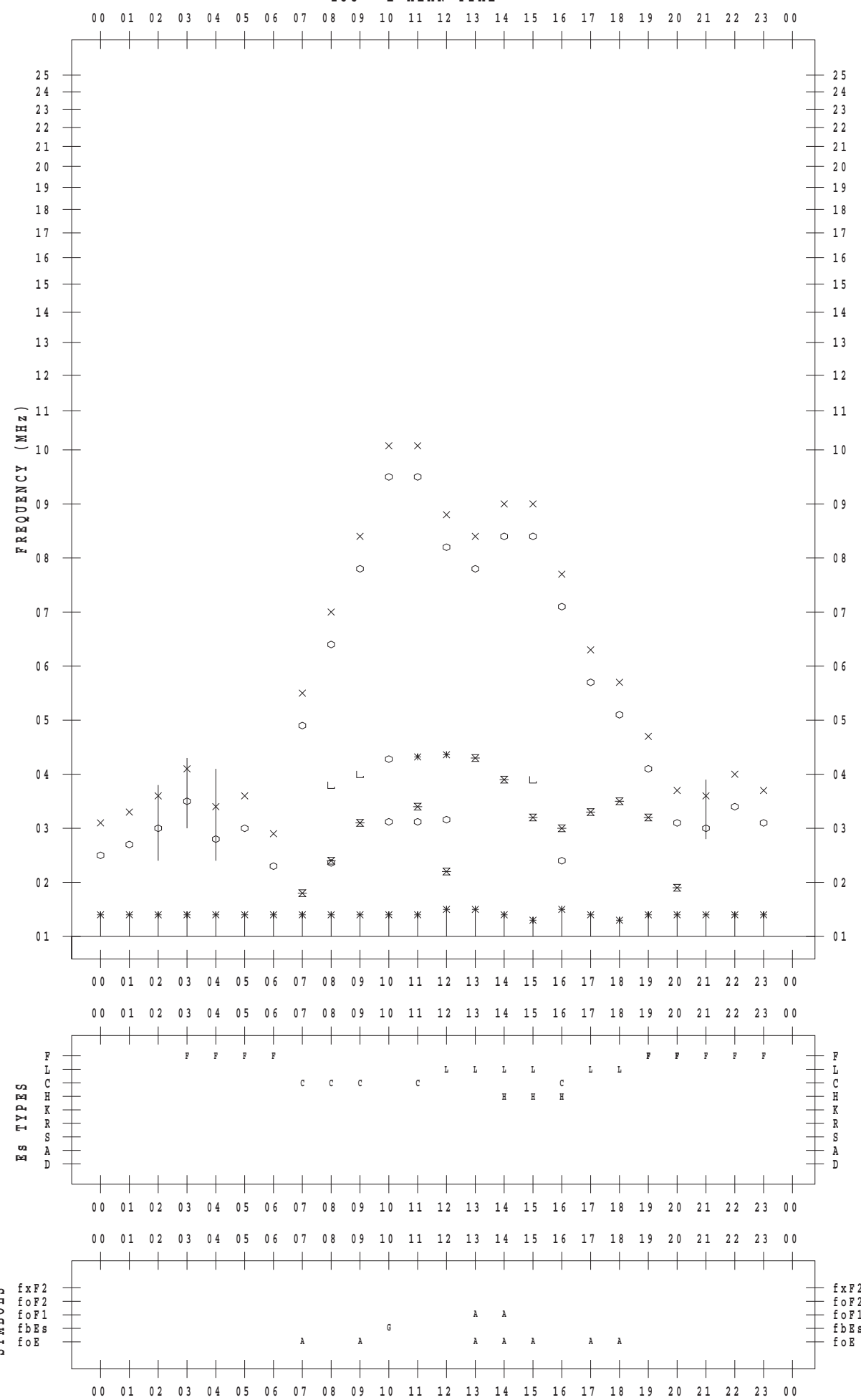
f - P L O T D A T A

SCALER : I.YAMAZAKI

STATION : Okinawa

DATE : 2017/11/16

135 ° E MEAN TIME



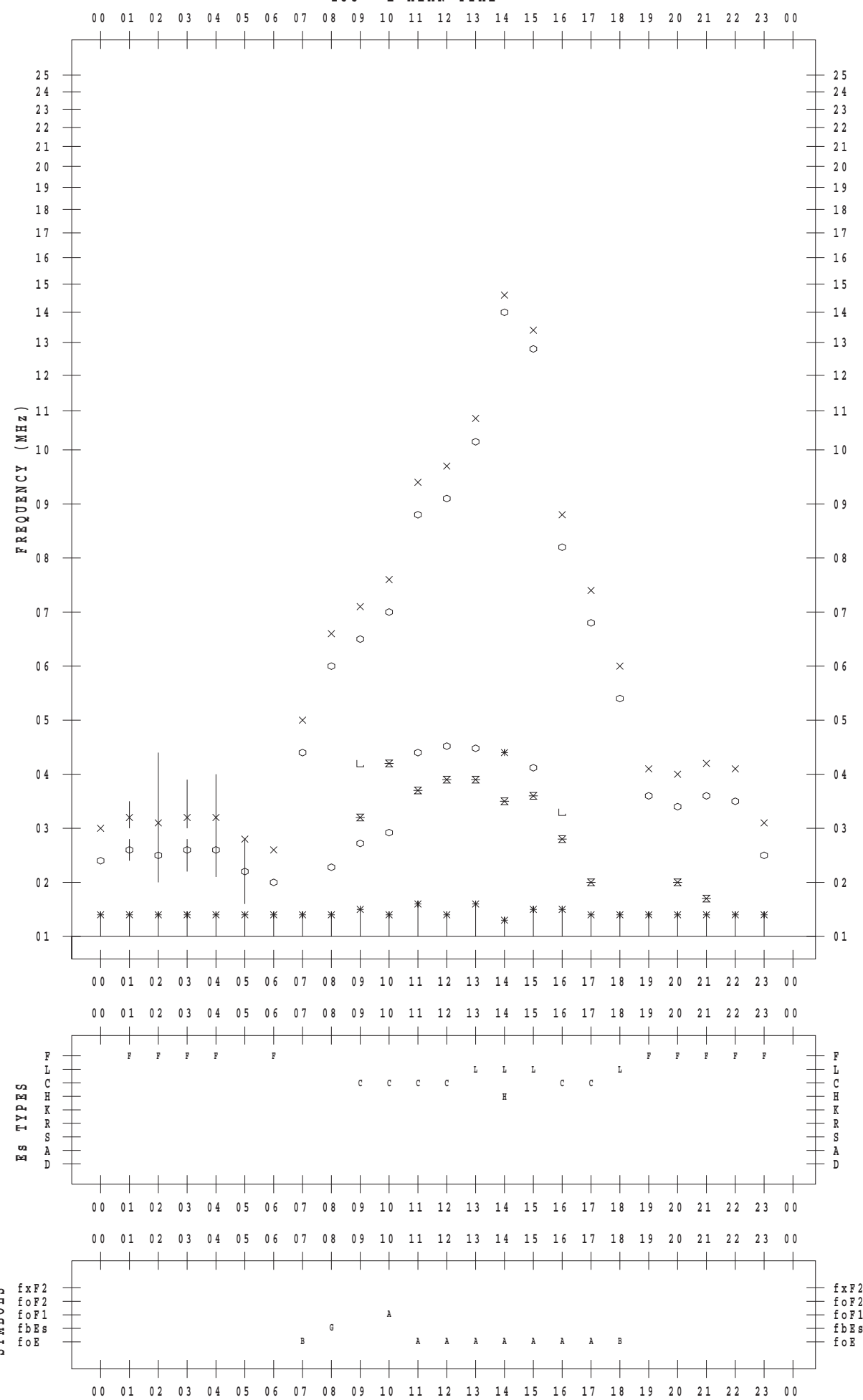
f - P L O T D A T A

SCALER : I.YAMAZAKI

STATION : Okinawa

DATE : 2017/11/17

135 ° E MEAN TIME



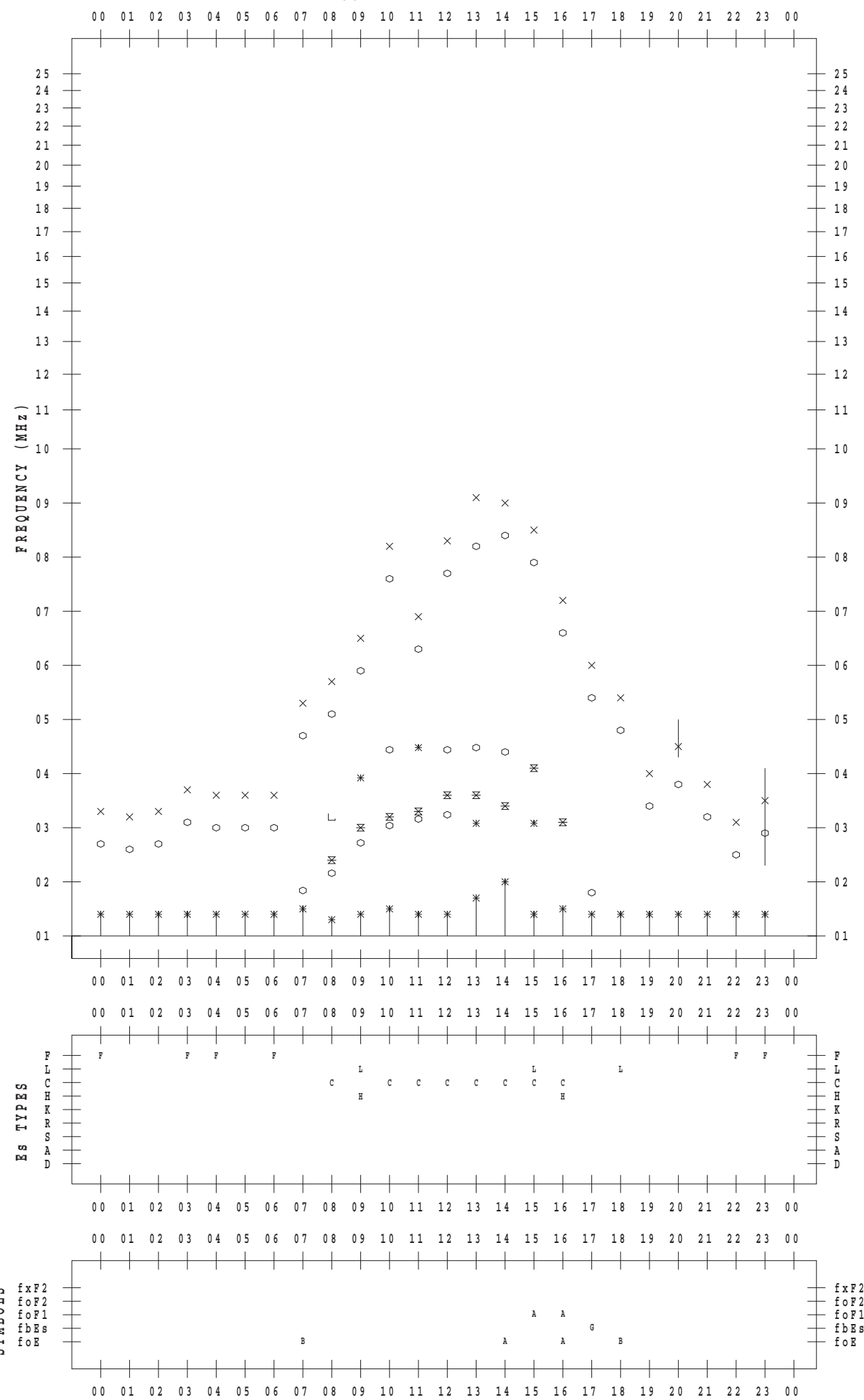
f - P L O T D A T A

SCALER : I.YAMAZAKI

STATION : Okinawa

DATE : 2017/11/18

135 ° E MEAN TIME



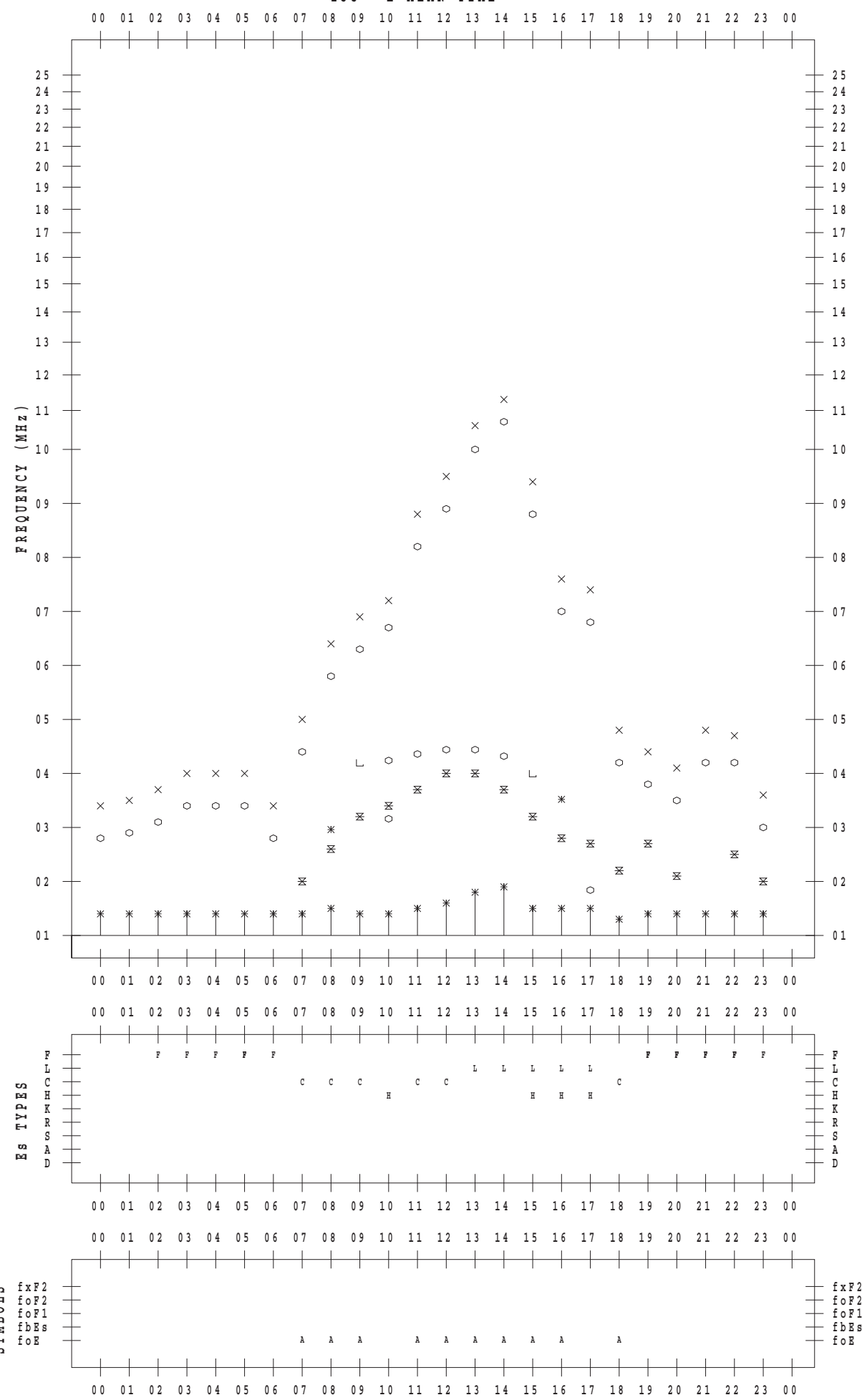
f - P L O T D A T A

SCALER : I.YAMAZAKI

STATION : Okinawa

DATE : 2017/11/19

135 ° E MEAN TIME



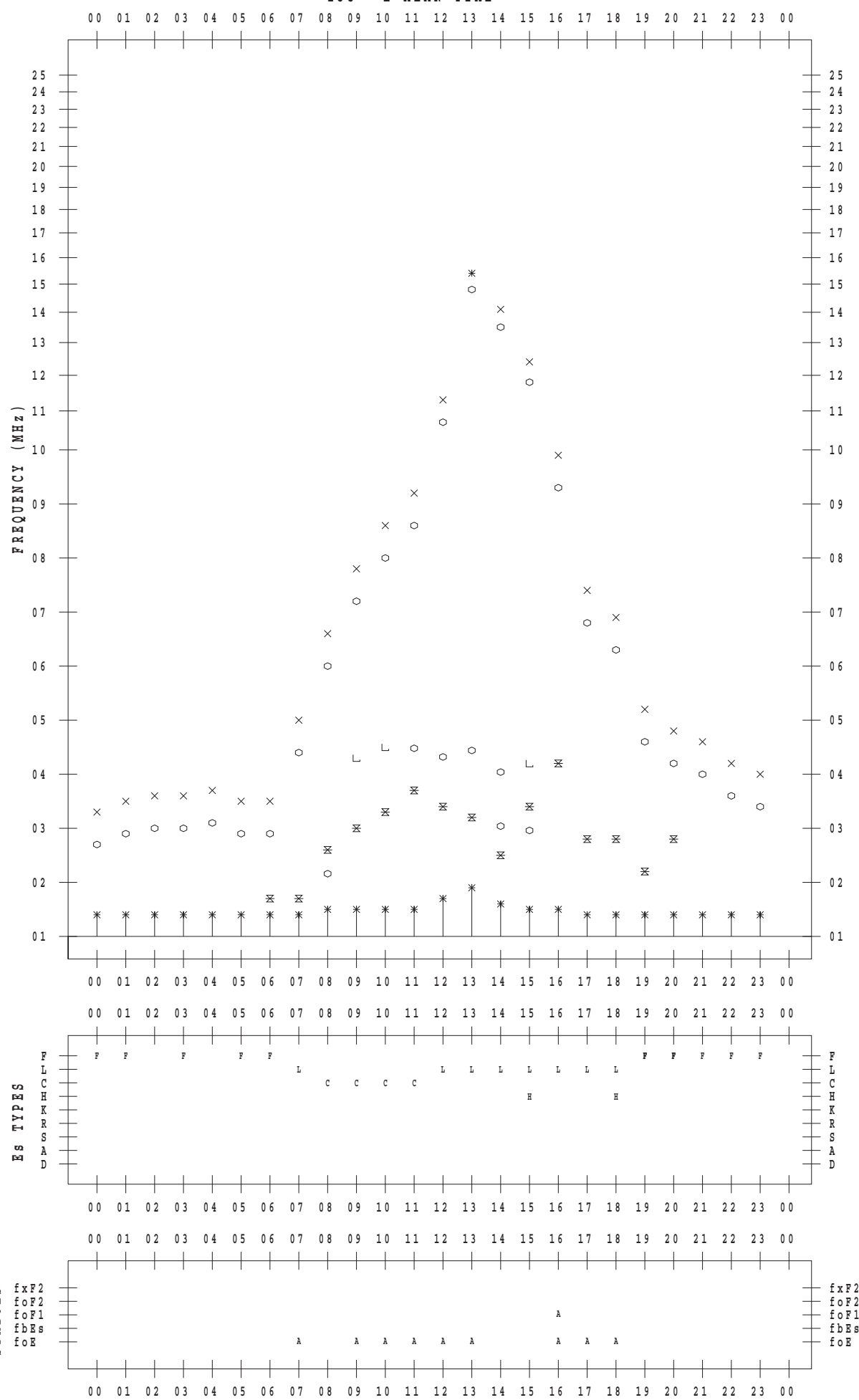
f - P L O T D A T A

SCALER : I.YAMAZAKI

STATION : Okinawa

DATE : 2017/11/20

135 ° E MEAN TIME



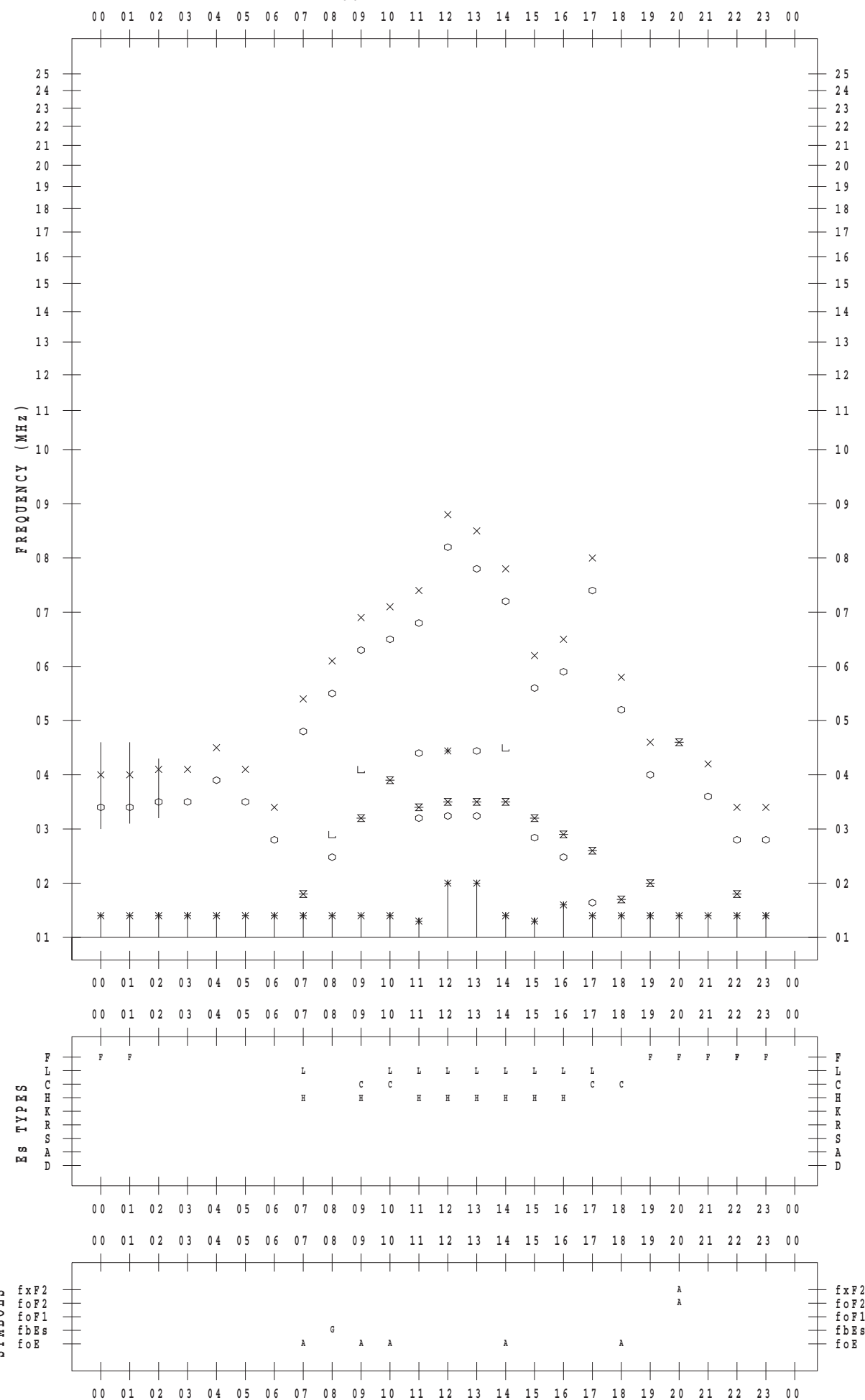
f - P L O T D A T A

SCALER : I.YAMAZAKI

STATION : Okinawa

DATE : 2017/11/21

135 ° E MEAN TIME

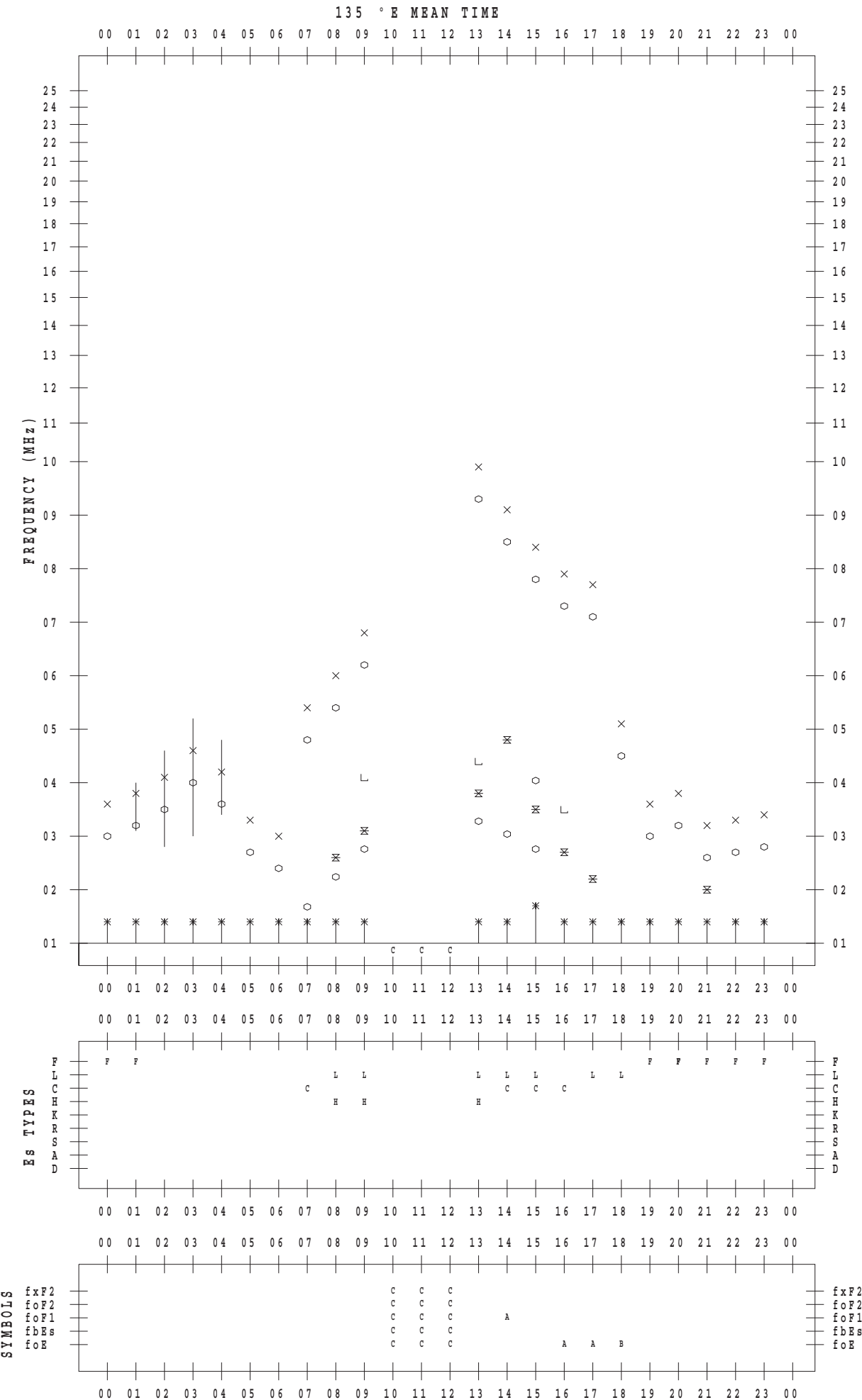


f - P L O T D A T A

SCALER : I.YAMAZAKI

STATION : Okinawa

DATE : 2017 / 11 / 22



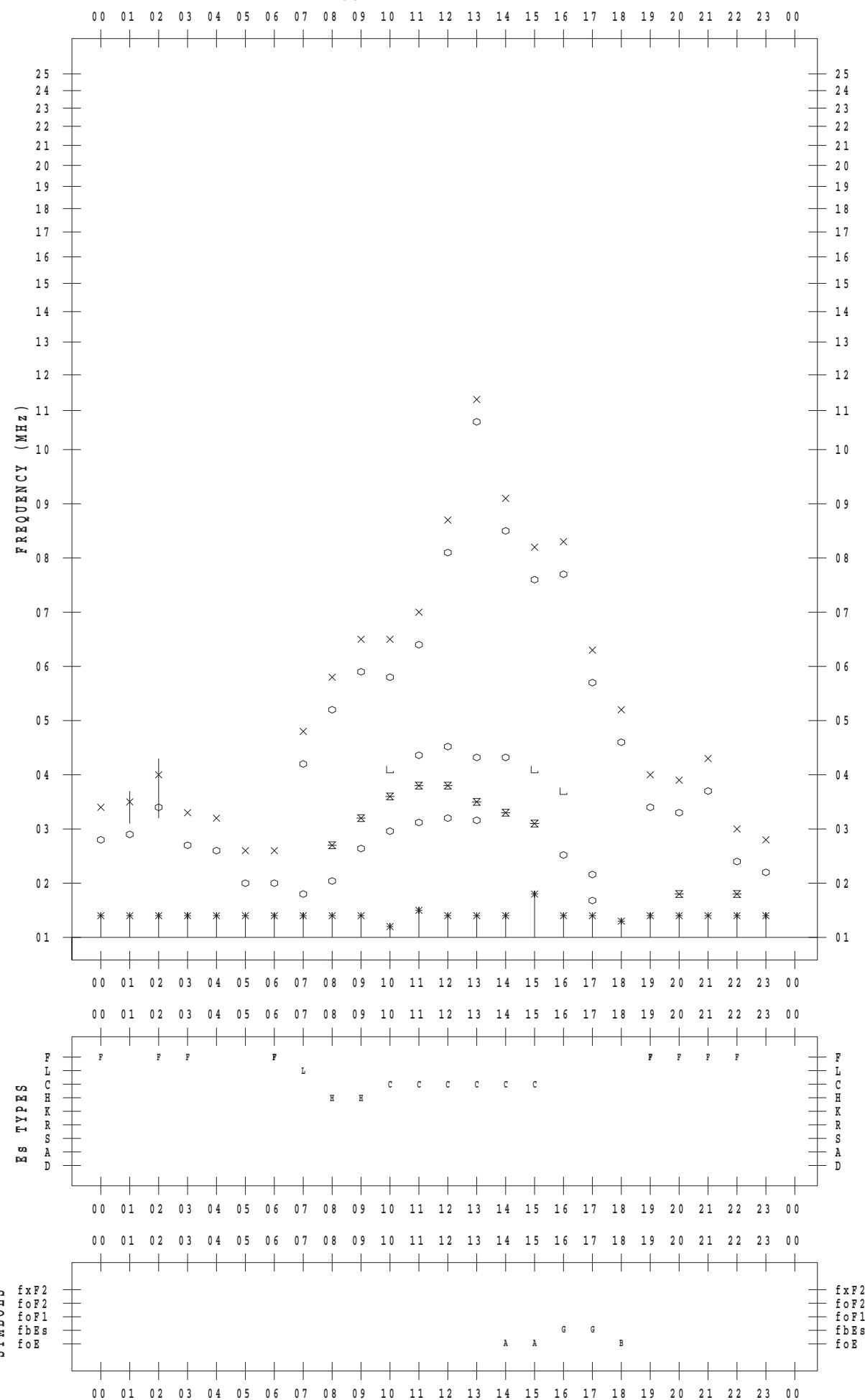
f - P L O T D A T A

SCALER : I.YAMAZAKI

STATION : Okinawa

DATE : 2017/11/23

135 ° E MEAN TIME



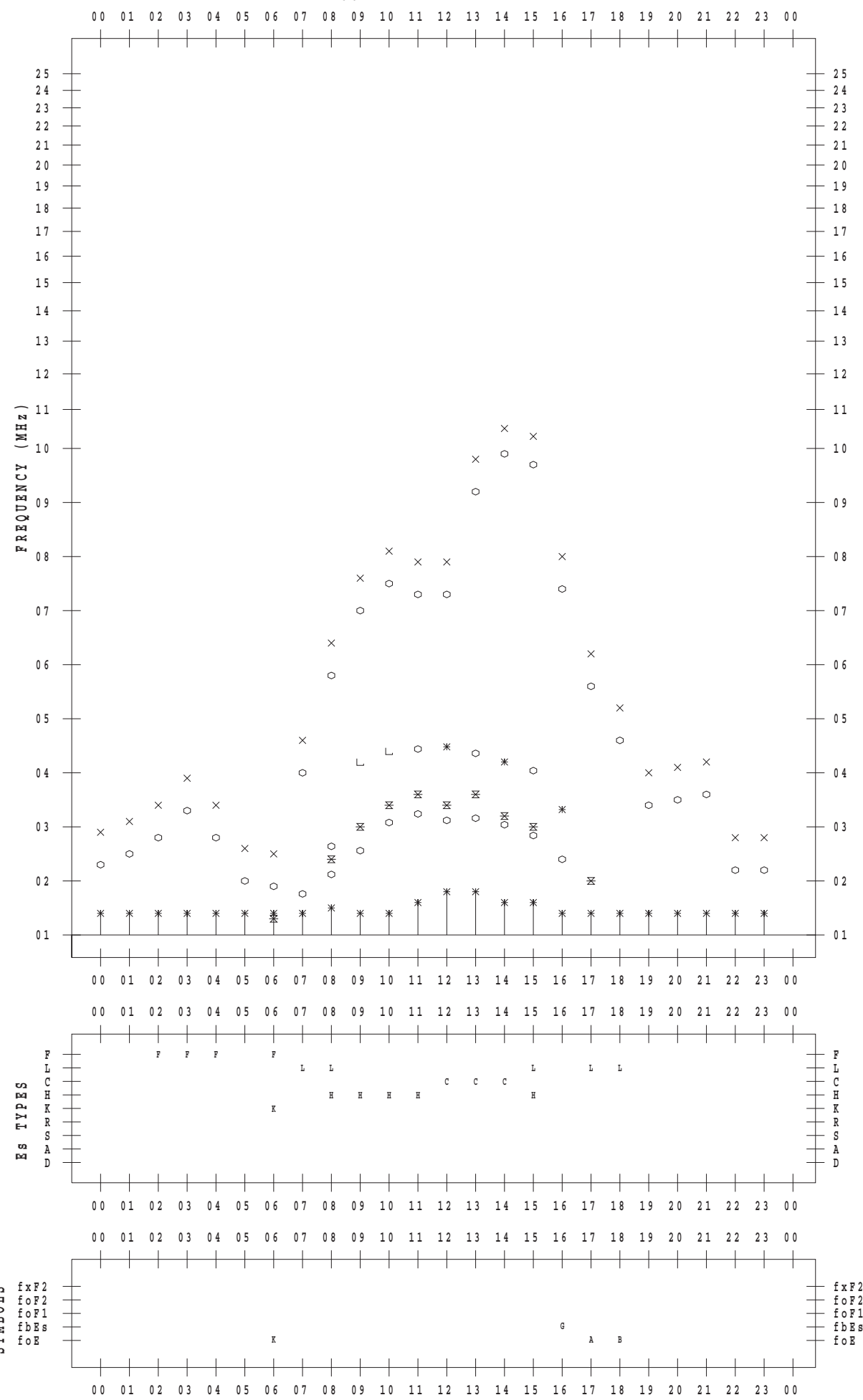
f - P L O T D A T A

SCALER : I.YAMAZAKI

STATION : Okinawa

DATE : 2017/11/24

135 ° E MEAN TIME



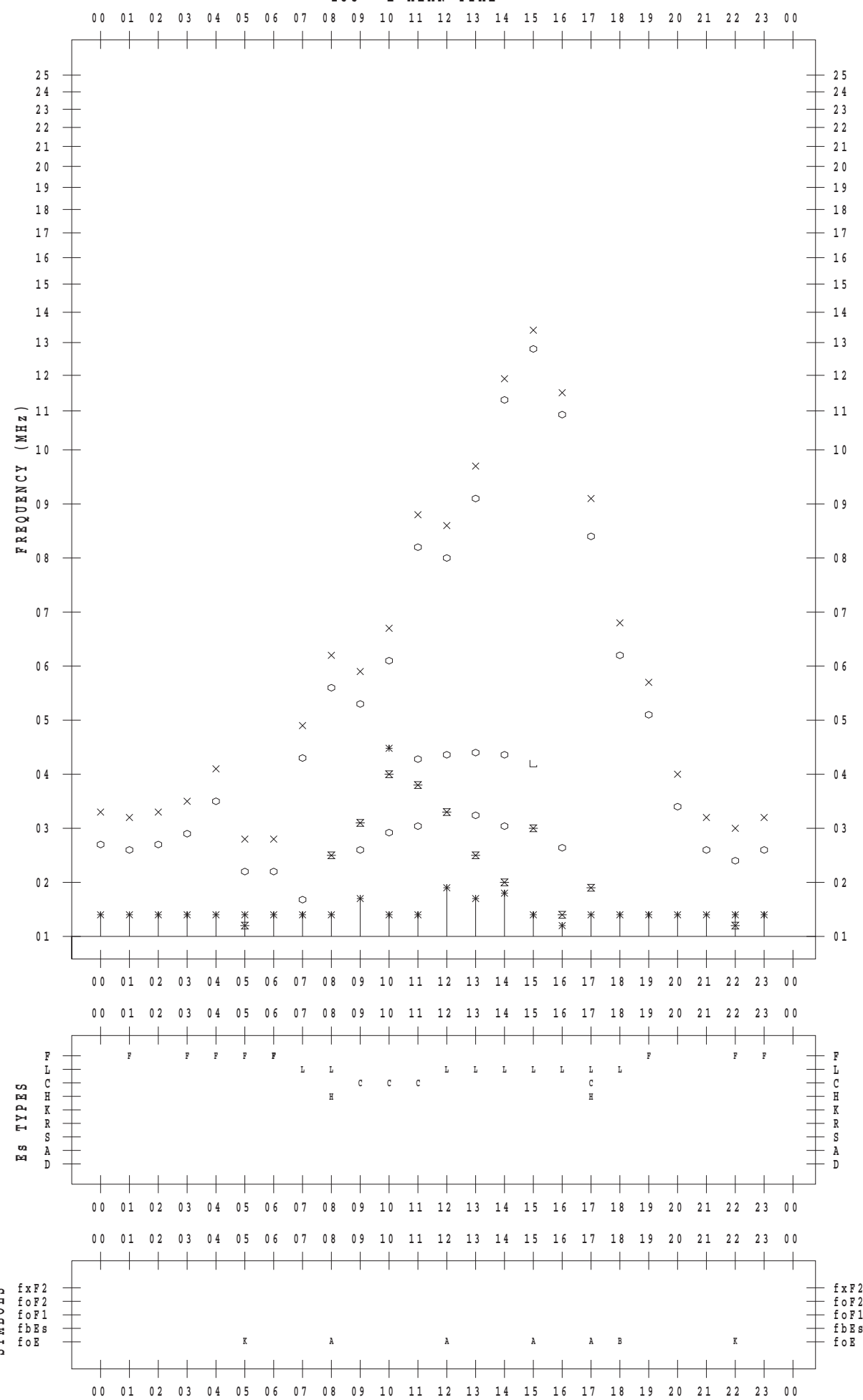
f - P L O T D A T A

SCALER : I.YAMAZAKI

STATION : Okinawa

DATE : 2017/11/25

135 ° E MEAN TIME



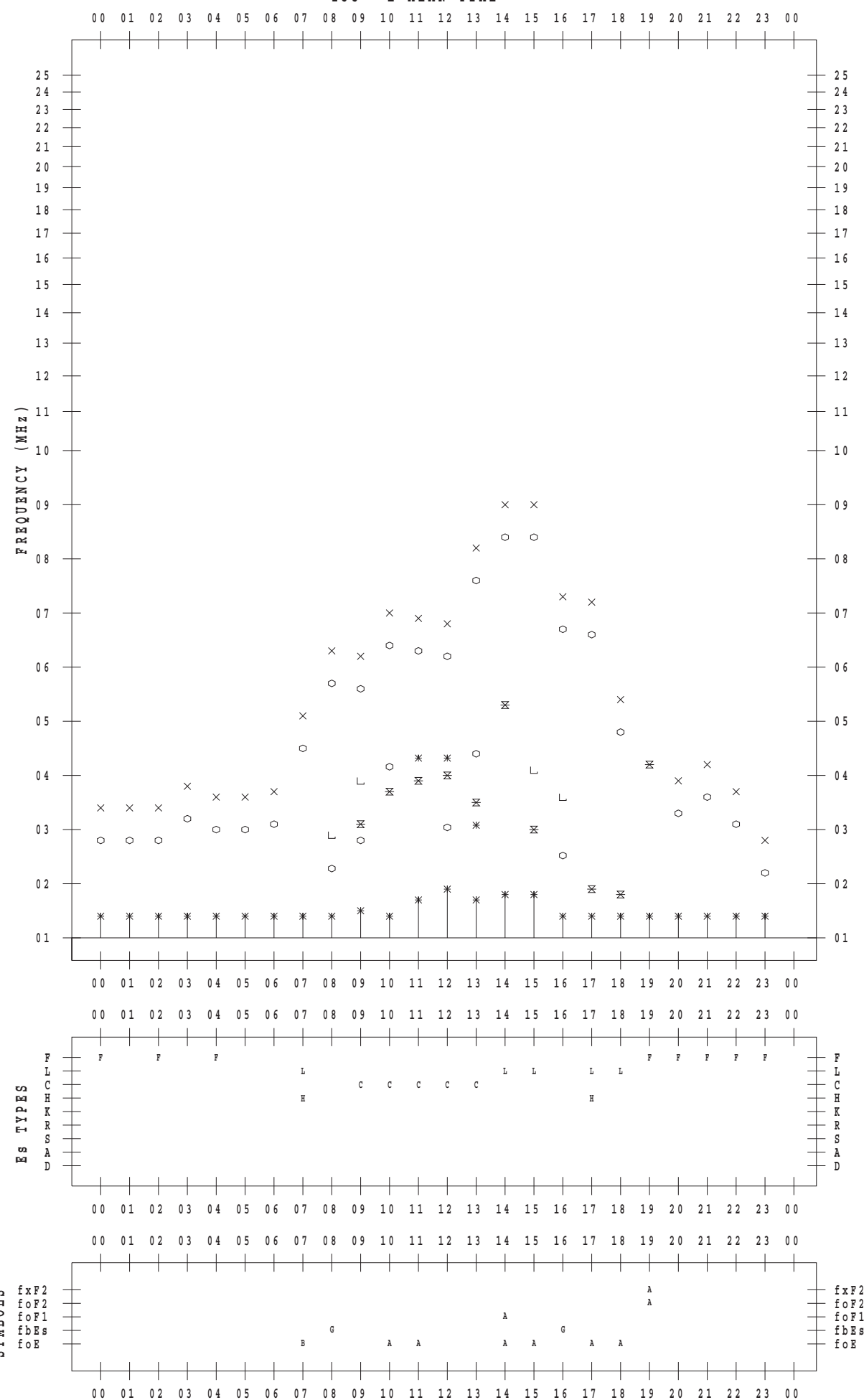
f - P L O T D A T A

SCALER : I.YAMAZAKI

STATION : Okinawa

DATE : 2017/11/26

135 ° E MEAN TIME



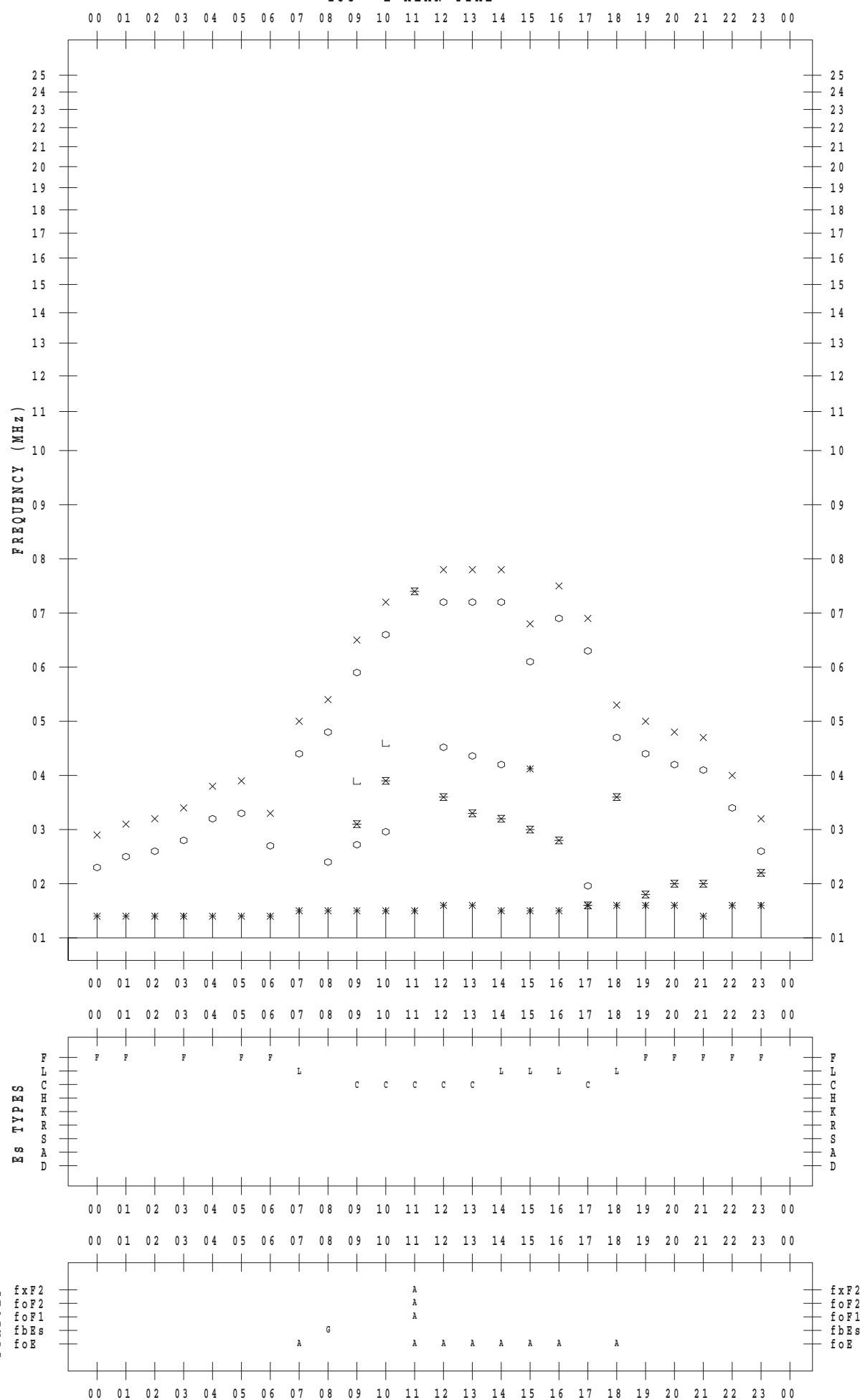
f - P L O T D A T A

SCALER : I.YAMAZAKI

STATION : Okinawa

DATE : 2017/11/27

135 ° E MEAN TIME



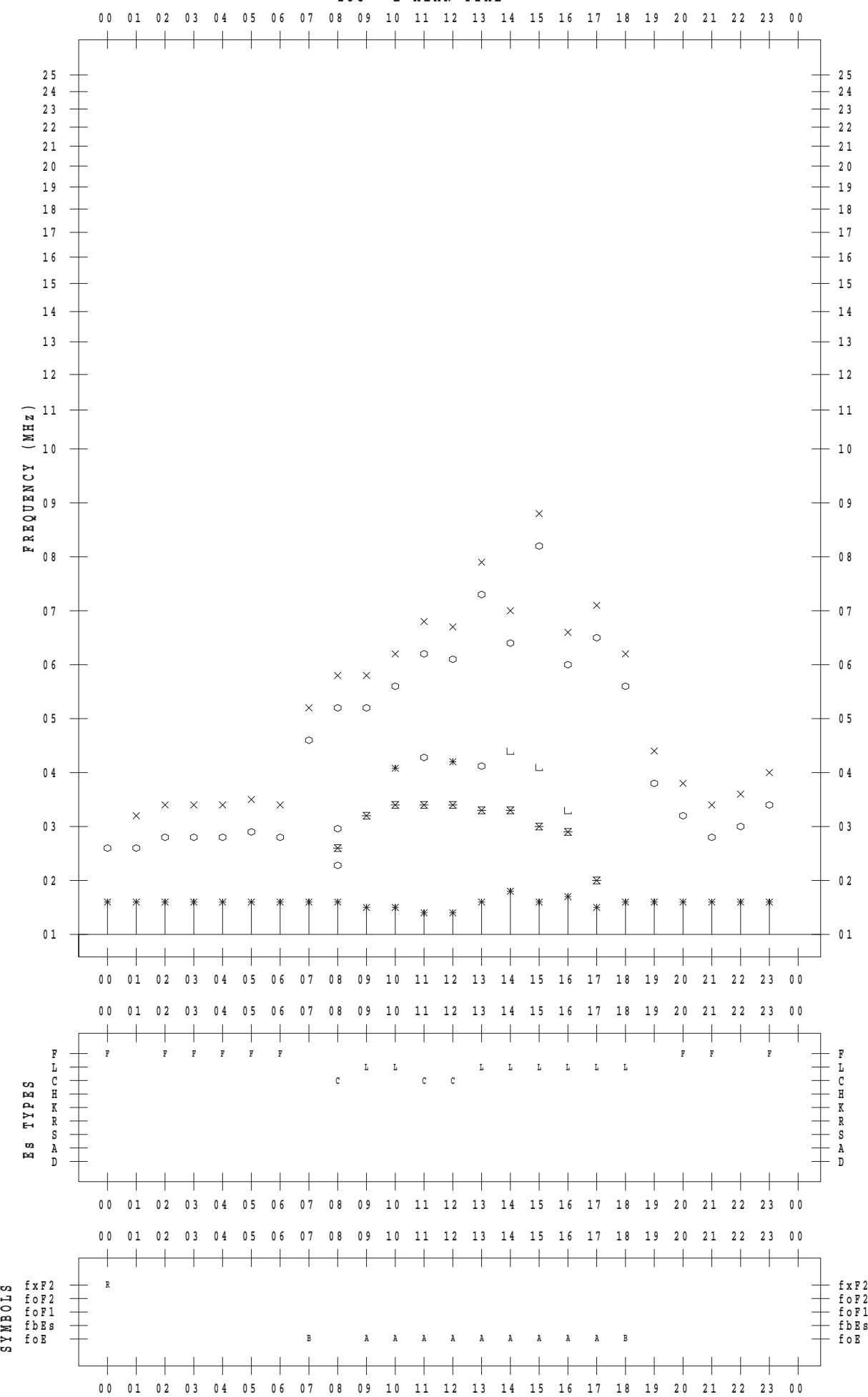
f - P L O T D A T A

SCALER : I.YAMAZAKI

STATION : Okinawa

DATE : 2017/11/28

135 ° E MEAN TIME



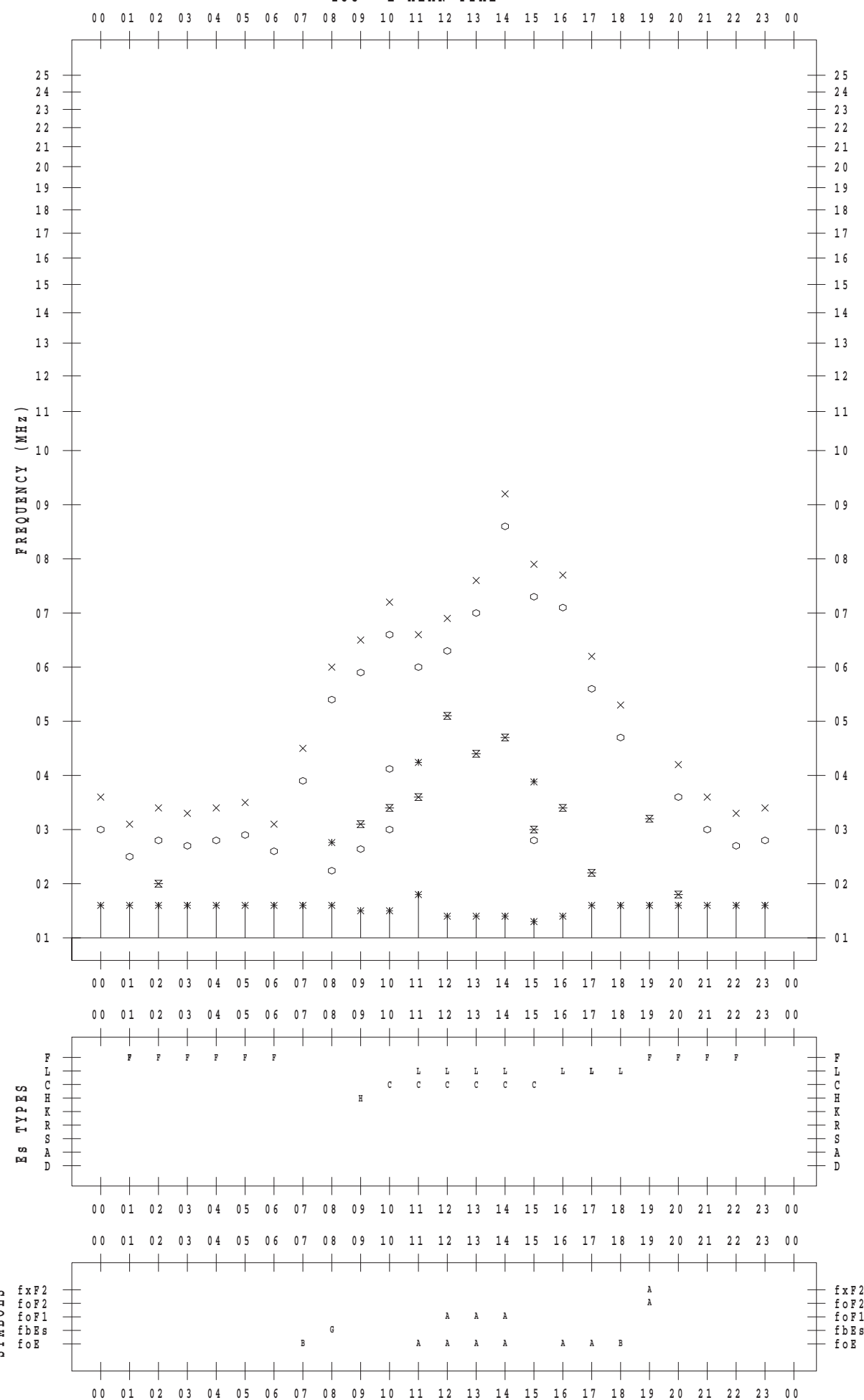
f - P L O T D A T A

SCALER : I.YAMAZAKI

STATION : Okinawa

DATE : 2017/11/29

135 ° E MEAN TIME



f - P L O T D A T A

SCALER : I.YAMAZAKI

STATION : Okinawa

DATE : 2017/11/30

135 °E MEAN TIME

